



505.492
.A67

Vol 3 met inhoud
2/22/49

ARCHIVES NÉERLANDAISES
DES
SCIENCES
EXACTES ET NATURELLES

PUBLIÉES PAR
LA SOCIÉTÉ HOLLANDAISE DES SCIENCES à HARLEM,
ET RÉDIGÉES PAR

E. H. VON BAUMHAUER

Secrétaire de la Société,

AVEC LA COLLABORATION DE

MM. D. Biereus de Haan, C. A. J. A. Oudemans, W. Koster,
C. H. D. Buijs Ballot et C. K. Hoffmann.

TOME XIX.

43
7582



HAARLEM,
LES HÉRITIERS LOOSJES.
1884.

Handwritten notes at the top of the page, including the name "Mrs. S. M. ...".

Handwritten number "1880" in the top right corner.

LETTERS BY MATTHEW...

E. H. VAN DER...



Handwritten text at the bottom of the page, possibly a date or location.

TABLE DES MATIÈRES.

Programme de la Société Hollandaise des Sciences pour l'année 1884.	
S. DE JAGER, Quelle est l'influence de la respiration abdominale sur la pression sanguine artérielle?	Pag. 1.
M. W. BEYERINCK, Recherches sur la contagiosité de la maladie de gomme chez les plantes.....	" 43.
L. PIERRE, Diploknema sebifera, nouvelle sapotacée de Bornéo.	" 103.
C. H. D. BUYS BALLOT, Sur les perturbations de l'aiguille aimantée.....	" 107.
H. A. LORENTZ, Le phénomène découvert par Hall et la rotation électromagnétique du plan de polarisation de la lumière.....	" 123.
R. D. M. VERBEEK, Rapport sommaire sur l'éruption de Krakatau, les 26, 27 et 28 août 1883.....	" 153.
E. H. VON BAUMHAUER, Sur la météorite de Ngawi, tombée le 3 octobre 1884, dans la partie centrale de l'île de Java.....	" 177.
TH. W. ENGELMANN, Recherches sur les relations quantitatives entre l'absorption de la lumière et l'assimilation dans les cellules végétales.....	" 186.
F. DE BOER, Extension du théorème de Rolle	" 207.
J. C. VAN BEEK, Sur la filtration des liquides à travers les membranes fibreuses	" 244.
J. W. GILTAY, La polarisation des récepteurs téléphoniques.....	" 272.
E. H. VON BAUMHAUER, Sur un thermo-régulateur de construction très simple et pouvant servir aussi de thermomètre enregistreur	" 297.

F. C. DONDEBS, Equations de couleurs spectrales simples et de leurs mélanges binaires, dans les systèmes normal (polychromatique) et anormaux (dichromatiques)	Pag. 203.
J. P. VAN DER STOK, Sur le calcul des observations horaires de la force horizontale du magnétisme terrestre.....	" 347.
M. T. J. STIELTJES, Note sur le déplacement d'un système invariable dont un point est fixe.....	" 372.
D. J. KORTEWEG, Sur les trajectoires décrites sous l'influence d'une force centrale.....	" 391.
M. T. J. STIELTJES, Quelques remarques sur la variation de la densité dans l'intérieur de la terre.....	" 435.
C. H. C. GRINWIS, Sur l'équation complète du viriel.	" 461.

505.492

.A67

ARCHIVES NÉERLANDAISES

DES

Sciences exactes et naturelles.

QUELLE EST L'INFLUENCE

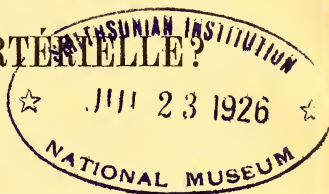
DE LA

RESPIRATION ABDOMINALE SUR LA

PRESSIION SANGUINE ARTÉRIELLE?

PAR

S. DE JAGER.



L'ampliation de la cavité thoracique, pendant la respiration, résulte de la contraction du diaphragme et de la contraction des muscles qui soulèvent les côtes. Dans l'inspiration ordinaire, les deux facteurs prennent part à cette ampliation, mais pas toujours au même degré; or, suivant que l'un ou l'autre devient prépondérant, on parle de type respiratoire abdominal ou costal.

Bien qu'ils soient jusqu'à un certain point sous la dépendance de la volonté, le type costal se rencontre habituellement chez la femme, le type abdominal chez l'homme, et quant aux animaux qui servent le plus souvent aux recherches, le chien et le chat ont une respiration où domine le mode costal, le lapin une respiration presque purement abdominale.

Que la dilatation de la cavité thoracique s'opère suivant le type costal ou suivant le type abdominal, dans les deux cas elle est suivie de l'épanouissement des poumons, de l'accroissement de la pression négative (aspiration) qui règne sur les viscères thoraciques. Mais la contraction du diaphragme n'aura

pas seulement pour effet d'agrandir la cavité thoracique, elle rendra en même temps la cavité abdominale plus petite; en conséquence, à chaque inspiration, la pression sur les viscères abdominaux augmentera par suite de la contraction du diaphragme, à chaque expiration elle diminuera de nouveau.

Comme il existe dans la cavité abdominale différents vaisseaux sanguins d'un volume plus ou moins considérable, tant artères que veines, et en outre un très grand nombre de capillaires, ces vaisseaux devront éprouver aussi le changement alternatif de pression pendant la respiration. Quelle influence cela exerce-t-il sur la circulation? Cette influence, évidemment, doit être de nature périodique.

Dans son célèbre Mémoire sur le mécanisme de la respiration et de la circulation, ¹⁾ M. Donders nous a appris comment la pression négative intra-thoracique influe, par son augmentation et sa diminution, sur l'afflux du sang veineux vers le thorax. Chaque inspiration favorise cet afflux, parce que, durant l'acte inspiratoire, l'aspiration augmente dans la cavité du thorax, de sorte que les grosses veines y subissent une dilatation et que, par suite, le sang est attiré des parties périphériques vers le thorax; mais en outre, lors de l'inspiration, la pression croît dans la cavité abdominale, d'où il résulte que les veines y éprouvent un rétrécissement et que le sang est poussé de l'abdomen vers le thorax. Ainsi, chacun des deux facteurs, diminution de la pression dans le thorax, augmentation de la pression dans la cavité abdominale, favorise le mouvement du sang dans les grosses veines qui le portent au cœur. M. Donders fait remarquer l'importance de ces conditions pour la circulation sanguine dans le système de la veine porte.

L'influence que les alternatives de la pression intra-abdominale exercent sur la circulation veineuse s'explique seulement par

¹⁾ Donders, *Beiträge zum Mechanismus der Respiration und Circulation im gesunden und kranken Zustande*, dans: *Zeitschr. f. rat. Med.*, t. III, p. 287.

la faiblesse de la pression sanguine dans les veines et par la circonstance que la paroi de ces vaisseaux est mince et ne possède qu'un faible coefficient d'élasticité. De petites variations dans la pression extérieure à laquelle cette paroi est soumise devront donc influencer déjà sur le calibre des veines. Il en est tout autrement des artères. A priori, nous pouvons dire que l'influence des mêmes variations de pression extérieure sur ces vaisseaux, dans lesquels règne une pression sanguine élevée et qui ont une paroi beaucoup plus épaisse et un coefficient d'élasticité plus fort, *doit* être beaucoup moindre.

Si le calibre des artères, c'est-à-dire ici de l'aorte abdominale et de ses ramifications, se ressent effectivement des changements alternatifs de la pression intra-abdominale, il doit en résulter des variations périodiques dans la circulation sanguine locale, lesquelles réagiront alors sur les autres parties du système aortique: en d'autres termes, des variations de la pression ou de la vitesse du sang doivent se manifester dans le système aortique, synchroniquement avec les contractions du diaphragme.

M. Marey ¹⁾ croit devoir admettre une pareille action directe sur la circulation artérielle. Parlant de l'influence que les mouvements respiratoires exercent „sur la ligne d'ensemble du tracé du pouls”, c'est-à-dire, suivant M. Marey, sur la pression moyenne du sang artériel, il regarde le changement que le tracé (pression sanguine moyenne) subit comme dépendant de la manière dont s'effectue la respiration. Lorsqu'on respire par l'une des narines (l'autre narine et la bouche étant fermées), auquel cas l'air pénètre difficilement dans les voies respiratoires et en est aussi difficilement expulsé, le tracé s'abaisse pendant l'inspiration, s'élève pendant l'expiration. Respire-t-on, au contraire, à bouche largement ouverte, de façon que l'air puisse entrer et sortir facilement, alors le tracé monte pendant l'inspiration et descend pendant l'expiration. Ces deux modes

¹⁾ Marey, *Physiologie médicale de la circulation du sang*, Paris, 1863, p. 287.

de respiration occasionnent donc des changements tout à fait opposés dans la pression sanguine artérielle. M. Marey explique ce phénomène par l'état de l'aorte thoracique et de l'aorte abdominale durant la respiration. Dans le premier cas, l'aspiration intra-thoracique augmentera notablement lors de l'inspiration, parce que l'air ne peut pas s'introduire avec une rapidité suffisante par une seule narine; l'aorte thoracique sera donc dilatée, et par suite il y aura abaissement de pression dans les ramifications de l'aorte. Lors de l'expiration, ce sera l'inverse. Dans le second cas, où l'air arrive très facilement aux poumons, l'aspiration intra-thoracique sera beaucoup moins accrue que dans le premier cas, et l'aorte thoracique sera donc beaucoup moins dilatée; mais comme, lors de l'inspiration, la contraction du diaphragme donne lieu à une augmentation de pression dans la cavité abdominale, l'aorte abdominale sera comprimée à ce moment et la pression s'élèvera donc dans la partie de l'aorte qui est située plus en avant, ainsi que dans les ramifications de cette partie, par exemple, dans l'artère radiale. Ce second effet se manifestera bien aussi dans la respiration par une seule narine, mais il aura alors beaucoup moins d'influence que dans la respiration libre. Ainsi, les deux changements qui se produisent, dans le thorax et dans l'abdomen, réagissent en sens opposé sur la pression dans l'artère radiale, et M. Marey pense que, en cas de respiration parfaitement normale, ils pourraient neutraliser réciproquement leur influence, en d'autres termes, que la pression dans l'artère radiale n'en éprouverait aucune variation.

Dans son nouvel ouvrage, *La circulation du sang*, 1881 ¹⁾, M. Marey demeure fidèle à cette opinion et croit aussi avoir démontré par une expérience faite sur un animal l'influence de la respiration abdominale sur la pression sanguine artérielle. Un manomètre inscripteur étant relié à l'artère fémorale d'un lapin,

¹⁾ Marey, *La circulation du sang à l'état physiologique et dans les maladies*, Paris 1881, p.454.

et la courbe des mouvements respiratoires étant inscrite simultanément, M. Marey voit, lorsque l'animal est couché sur le ventre, la pression sanguine s'abaisser pendant l'inspiration et s'élever pendant l'expiration; couche-t-on ensuite l'animal sur le dos, ce qui donne lieu à une respiration fortement abdominale, la pression sanguine artérielle subit des changements inverses aux précédents, elle s'élève lors de l'inspiration et s'abaisse lors de l'expiration.

M. v. Basch paraît également attribuer à la pression intra-abdominale une certaine influence sur la pression du sang ¹⁾. Il croit aussi que, en cas d'accroissement de la pression intra-abdominale, le sang sera refoulé des organes abdominaux dans la veine cave et que l'afflux du sang veineux au cœur sera donc favorisé; mais en même temps, par cet accroissement de pression, le domaine capillaire de la région abdominale sera rétréci et le sang venant du tronc de l'aorte éprouvera une résistance plus grande; il se produira donc un état qui, en ce qui concerne l'effet sur la pression dans la carotide, équivaudra à une excitation des nerfs splanchniques.

En énumérant les divers facteurs qui par leur concours donneraient lieu aux oscillations respiratoires de la pression sanguine, M. Zuntz ²⁾ nomme, entre autres, la pression que les muscles exercent sur le contenu de la cavité abdominale, pression tendant à entraver l'écoulement du sang de l'aorte, à favoriser le transport du sang, par la veine cave inférieure, vers le cœur. De cette manière, suivant M. Zuntz, l'abaissement du diaphragme, lors de l'inspiration, peut déjà augmenter la pression sanguine, et une expiration active produira cet effet dans une mesure encore beaucoup plus forte.

¹⁾ v. Basch, *Die volumetrische Bestimmung des Blutdrucks am Menschen*, dans *Medicin. Jahrb.*, 1876, p. 431.

²⁾ N. Zuntz, *Beiträge zur Kenntniss der Einwirkungen der Athmung auf den Kreislauf*, dans *Archiv f. d. ges. Phys.*, t. XVII, p. 374.

Déjà en 1875, M. Kuhn ¹⁾ avait montré, par la voie expérimentale, que des variations de pression dans l'abdomen peuvent déterminer des oscillations synchrones de la pression sanguine artérielle. Chez des chiens, dont les nerfs vago-sympathiques étaient sectionnés, dont le thorax était ouvert, mais dont la cavité abdominale était encore fermée, M. Kuhn a vu se produire des oscillations de la pression sanguine, lesquelles étaient régulières, mais duraient plus longtemps que les insufflations d'air par le soufflet. Ces oscillations plus longues étaient toutefois parfaitement isochrones avec des mouvements pseudo-respiratoires, de telle sorte que, lors de la pseudo-inspiration, la pression sanguine s'élevait. Lorsque les insufflations étaient suspendues, les oscillations dont les périodes correspondaient à ces insufflations disparaissaient complètement; celles de durée plus longue persistaient au contraire, et prenaient un peu plus d'amplitude. Chez des chiens placés dans les mêmes conditions, sauf qu'ils avaient été curarisés et que par conséquent les mouvements pseudo-respiratoires ne se produisaient pas, on n'observait jamais ces oscillations de la pression sanguine. M. Kuhn pense que le rétrécissement et la dilatation alternatifs de la cavité abdominale (par la contraction du diaphragme) sont ici la condition *sine qua non* de la production de ces oscillations, et que celles-ci s'expliqueraient simplement par l'augmentation et la diminution alternatives de l'afflux du sang au cœur droit.

M. Luciani ²⁾ aussi aurait constaté expérimentalement l'influence de la contraction du diaphragme sur la pression du sang: il aurait vu que cette pression ne s'élève plus pendant l'inspiration, lorsque les nerfs phréniques ont été coupés.

M. Schweinburg a publié, en 1881, un Mémoire ³⁾ dans

1) C. H. Kuhn, *Over de respiratie-schommelingen der slagaderlijke bloedsdrukking*, Amsterdam, 1875.

2) Cité d'après Schweinburg, *Archiv v. du Bois-Reymond*, 1881, p. 479.

3) L. Schweinburg, *Die Bedeutung der Zwerchfellcontraction für die respiratorischen Blutdruckschwankungen*, dans *Archiv f. Physiol. v. du Bois-Reymond*, 1881, p. 475.

lequel il annonce avoir reconnu, par l'étude des oscillations respiratoires de la pression sanguine chez l'homme, que celles-ci suivaient les mêmes lois que chez les animaux; il y avait toutefois aussi des différences, qui ne se laissaient pas expliquer par les théories alors connues. En outre, ses expériences rendaient très probable, suivant lui, que les variations de la pression intra-abdominale exerçaient une grande influence sur les oscillations respiratoires de la pression du sang chez l'homme. Il chercha alors à prouver qu'il en est de même chez les animaux. Il enregistrait la pression sanguine dans l'artère carotide, en même temps que les mouvements respiratoires du thorax, chez un chien narcotisé et ayant les nerfs vago-sympathiques coupés, après quoi il sectionnait les nerfs phréniques, de sorte que le diaphragme était paralysé et que la respiration ne se faisait donc plus que par le mouvement des côtes. Après avoir décrit les courbes de 3 de ces expériences, M. Schweinburg dit: „de pareils tracés montrent que lorsque le diaphragme est paralysé, les oscillations respiratoires de la pression du sang disparaissent entièrement ou presque entièrement, d'où l'on peut conclure avec certitude, semble-t-il, que l'action du diaphragme contribue tout au moins pour une très forte part à la production de ces oscillations". Or, après la paralysie du diaphragme, la pression intra-abdominale n'éprouverait presque plus aucun changement pendant la respiration. L'épanouissement des poumons se fait alors uniquement par le soulèvement des côtes. Comme en outre, suivant M. Schweinburg, les oscillations de la pression sanguine deviennent notablement plus petites lorsque, sans couper les nerfs phréniques, on ouvre la cavité abdominale du chien, il conclut que la suppression des oscillations respiratoires de la pression sanguine après la section des nerfs phréniques doit avoir sa cause dans les changements survenus, à la suite de cette opération, dans la cavité abdominale. L'accroissement normal de la pression artérielle pendant l'inspiration disparaîtra, après la section des nerfs phréniques, parce que le mouvement du sang de la veine cave inférieure vers le cœur n'est alors plus favorisé

par une augmentation inspiratoire de la pression intra-abdominale, et, plus encore, parce que le sang peut alors couler librement, sans qu'une pareille augmentation vienne entraver son cours, de l'aorte dans les vaisseaux sanguins des viscères abdominaux. Dans les circonstances normales, au contraire, la contraction du diaphragme (lors de l'inspiration) accroîtra la pression intra-abdominale; par suite, les vaisseaux sanguins de la cavité de l'abdomen seront comprimés, l'écoulement du sang dans ces vaisseaux sera gêné, et une plus grande quantité de sang sera donc refoulée dans les autres ramifications de l'aorte, situées en dehors de la cavité abdominale. „Que dans cette dernière action”, dit M. Schweinburg, „doit être cherchée la cause principale de la surélévation de la pression sanguine, et non dans la première, qui tend directement à remplir le cœur, c'est ce qui paraît complètement démontré par mes expériences”. L'abaissement de la pression sanguine, lors de l'expiration, tient alors à ce que par le relâchement du diaphragme se trouve supprimée l'augmentation de la pression intra-abdominale, et à ce que par suite les vaisseaux intra-abdominaux redeviennent plus larges, d'où il résulte que le sang peut de nouveau s'écouler librement de l'aorte thoracique.

La seconde partie du Mémoire de M. Schweinburg est consacrée aux oscillations respiratoires de la pression sanguine chez l'homme. Je ne dirai rien de cette partie, mon intention, dans le présent travail, étant de ne traiter la question de la respiration intra-abdominale qu'au point de vue des expériences sur les animaux. Il me semble en effet, vu la complexité d'action qu'on rencontre dans ce phénomène, que les différents facteurs qui y interviennent doivent d'abord être déterminés par des expériences exactes, conduisant à des résultats concordants, avant qu'on puisse se former une opinion sur la cause des particularités que nous observons à cet égard chez l'homme. Or, des expériences exactes ont assurément été exécutées sur cette question par des expérimentateurs habiles, mais, en beaucoup de points, l'accord fait encore défaut.

Dans un travail postérieur ¹⁾, M. Schweinburg a cherché à confirmer par une autre expérience les conclusions de son premier Mémoire. En enregistrant la pression du sang dans la carotide, les nerfs vagues étant coupés, il a vu disparaître les oscillations respiratoires de la pression sanguine lorsqu'il comprimait l'aorte thoracique. A cet effet, il préparait ce vaisseau, près de la colonne vertébrale, en reséquant une portion de l'avant-dernière côte, sans léser la plèvre; l'aorte pouvait alors être comprimée, pendant que la respiration se faisait comme à l'ordinaire.

Après ce court aperçu historique, je m'arrêterai encore un instant à quelques considérations générales sur les oscillations respiratoires de la pression sanguine artérielle. Dans mon dernier Mémoire concernant cette question ²⁾, j'ai essayé de montrer, avec toute la clarté possible, que ces oscillations *doivent* avoir leur cause fondamentale dans les changements que la circulation pulmonaire subit pendant la respiration. La courbe de la pression du sang artériel naît, en effet, de la combinaison de la courbe de la capacité et de la courbe de la vitesse de circulation: elle est, en quelque sorte, la résultante de celles-ci. De cette manière, en s'appuyant sur les résultats d'expériences exécutées sur l'animal vivant, dans des circonstances diverses, on pouvait expliquer complètement les différentes variations qui s'observent dans ces oscillations de la pression artérielle. Déjà alors, je faisais remarquer que peut-être la courbe de la pression sanguine pouvait être modifiée par des influences nerveuses, par des changements dans la fréquence des battements du cœur ou dans la pression périphérique; mais la cause essentielle de ses oscillations devait toujours être cherchée dans la circulation pulmonaire. Cette opinion je crus pouvoir l'exprimer sans courir le risque d'être accusé d'idées préconçues.

¹⁾ L. Schweinburg, *Weiteres über die Entstehung der respiratorischen Blutdruckschwankungen* dans *Archiv f. Physiol.* v. du Bois-Reymond, 1882, p. 540.

²⁾ S. de Jager, *Die Lungencirculation und der arterielle Blutdruck*, dans: *Archiv f. d. ges. Physiol.*, t. XXVII, p. 152.

Les belles recherches de M. Kuhn venaient tout particulièrement à mon appui. Bien que M. Kuhn, ainsi qu'il ressort nettement de son travail, ne fût point parti du principe que la circulation pulmonaire déterminerait les oscillations respiratoires de la pression sanguine (les recherches de MM. Funke et Latschenberger n'étaient pas encore connues), il était arrivé à ce résultat ¹⁾, „que le volume des poumons a une influence décisive sur la hauteur de la pression sanguine”, et il avait finalement conclu: „que dans l'épanouissement et l'affaissement des poumons il se produit des actions mécaniques qui influencent directement la poussée du sang dans le système artériel”.

Après cette conclusion, obtenue d'une manière tout à fait impartiale, des séries de recherches furent exécutées sur la circulation pulmonaire elle-même. J'y contribuai pour ma part ²⁾ et, dans un Mémoire postérieur, j'appliquai les résultats de ce travail à la pression artérielle. Je trouvai ainsi que la présomption de M. Kuhn, ci-dessus énoncée, était parfaitement exacte, et lorsque ensuite j'eus appris à mieux connaître, d'abord la nature même de ces actions mécaniques qui interviennent dans l'épanouissement et l'affaissement des poumons, puis la manière dont elles influent sur la pression sanguine artérielle, je me crus autorisé à y voir la source principale des oscillations de cette pression.

Les nouvelles expériences, dont je vais rendre compte, n'ont fait que me confirmer dans cette opinion. Mais il ne s'ensuit pas que la cause indiquée doive être la seule. J'ai écarté, comme il a été dit ci-dessus, la question de savoir si la courbe de la pression sanguine est encore influencée par d'autres facteurs. C'est ainsi que les changements de l'activité cardiaque pendant la respiration, dus aux influences nerveuses, se répercutent indubitablement sur les oscillations artérielles. On n'a qu'à comparer les tracés de la pression sanguine obtenus dans les

1) *l. c.*, p. 115 et 127.

2) S. de Jager, *Ueber den Blutstrom in den Lungen*, dans: *Archiv f. d. ges. Physiol.*, t. XX, p. 426.

circonstances ordinaires et après la section des nerfs vago-sympathiques, pour reconnaître immédiatement la différence de forme; mais, en même temps, il ressort de cette comparaison que lorsque, par suite de cette section, les variations de l'activité du cœur sont exclues, les oscillations respiratoires persistent, et que leur relation avec les phases de la respiration devient même beaucoup plus distincte.

Reste-t-il, après la section des nerfs vago-sympathiques, encore d'autres facteurs accessoires? M. Talma, dans le Mémoire qu'il a publié dernièrement à ce sujet ¹⁾, attribue beaucoup d'importance aux variations de la pression sur la face externe du cœur pendant la respiration. Bien que je ne veuille nullement contester cette influence, il faut pourtant reconnaître que, si réellement elle était prédominante, une grande différence devrait se manifester dans la forme des oscillations respiratoires, suivant que la respiration artificielle (par le soufflet) est effectuée à thorax fermé ou à thorax ouvert; dans le premier cas, en effet, la face externe du cœur éprouvera chaque fois le surcroît de pression occasionné par l'insufflation, dans le second cas, elle n'en ressentira rien. Or, du Mémoire de M. Kuhn je crois pouvoir inférer que, dans ce second cas, la forme des oscillations respiratoires ne subit aucun changement bien appréciable; du reste, M. Talma lui-même voit des oscillations respiratoires se produire dans ce cas (p. 327), et *alors* il les attribue, lui aussi, à des variations de la résistance dans les vaisseaux pulmonaires. Pourquoi de semblables variations de résistance n'apparaîtraient pas lorsque le thorax reste fermé, c'est ce qu'il n'est pas aisé de comprendre. Mais, encore une fois, je n'entends pas nier l'influence des changements de la pression supportée par le cœur. En ce qui concerne toutefois l'influence de la circulation pulmonaire elle-même, qu'il me soit permis de soumettre à M. Talma une couple d'observations.

¹⁾ Talma, *Beiträge zur Kenntniss des Einflusses der Respiration auf die Circulation des Blutes*, dans: *Archiv f. d. Physiol.* t. XXIX, p. 344.

„Lorsque”, dit-il, „la quantité de sang que le ventricule droit reçoit pendant la diastole reste la même, et que la fréquence des contractions demeure également constante, la quantité de sang qui traverse les poumons ne peut augmenter, si faibles que puissent devenir les résistances”. Cela, toutefois, n'est pas un argument contre l'influence de la circulation pulmonaire. Admettons, pour un instant, que la quantité de sang amenée au cœur par les veines caves reste parfaitement constante, ainsi que la fréquence des pulsations cardiaques; il faut alors, pour que le sang ne s'accumule nulle part, que dans des intervalles de temps égaux, comprenant quelques respirations (en 5 minutes, par exemple), une même quantité de sang soit poussée chaque fois dans le tronc aortique. La pression moyenne dans l'aorte peut alors être représentée par une ligne droite horizontale. Mais, avant que le sang ne parvienne du cœur droit au cœur gauche, il doit traverser tout un système vasculaire, dont le calibre intérieur varie avec les différentes phases de la respiration. Naturellement, cette variation réagira périodiquement sur la quantité de sang qui coule des veines pulmonaires vers le cœur gauche, et ainsi apparaîtront, malgré la constance parfaite de l'apport au cœur droit, des oscillations périodiques dans la quantité de sang que reçoit le cœur gauche; par suite, on observera aussi des oscillations périodiques de la pression du sang dans les artères, bien que, là encore, la pression sanguine moyenne soit représentée par la ligne droite ci-dessus mentionnée. Il ne s'agit donc pas, pour le moment, de savoir si le cœur droit reçoit plus ou moins de sang (nous examinerons tantôt de quelle manière cela influe sur la pression artérielle), mais si la quantité de sang reçue par le cœur gauche varie périodiquement.

Mes expériences sur la circulation artificielle chez l'animal récemment tué ont démontré que, malgré la constance de l'apport dans l'artère pulmonaire, des courbes de capacité et de vitesse de circulation s'accusent dans la pression de la carotide, et, ainsi que je le faisais remarquer, dans ces expériences la carotide

pouvait être regardée comme un simple prolongement, en dehors du thorax, des veines pulmonaires ¹⁾. Ce qu'on observait dans la courbe carotidienne, combiné avec la quantité de sang qui s'écoulait de l'aorte abdominale, permettait de tirer une conclusion au sujet des changements éventuels de cette circulation dans les veines pulmonaires lors des variations périodiques du volume des poumons. Or, il ressortait de ces expériences, que la quantité de sang qui se rend au cœur gauche, l'apport à l'artère pulmonaire étant constant, variait suivant que les poumons étaient épanouis ou affaissés.

Bien que je n'osasse affirmer que les variations de la circulation pulmonaire soient les mêmes lors de l'inspiration normale, qui détermine l'épanouissement des poumons, et lors de l'aspiration artificielle intra-pulmonaire (comme dans les expériences de M. Talma), laquelle, au lieu de l'épanouissement des poumons, doit provoquer leur affaissement, je veux pour un instant admettre cette identité et considérer la courbe de M. Talma (fig. 2) comme née d'une inspiration normale avec suspension subséquente. La forme de cette courbe montre alors clairement, ce me semble, la périodicité des variations de la circulation pulmonaire. On y voit, près de la suspension de l'inspiration, une lente ascension, mais, au bout de quelque temps, cette ascension fait de nouveau place à un abaissement. Plus loin, fig. 8, M. Talma a représenté une inspiration réelle, les nerfs vago-sympathiques étant coupés; là aussi, il voit lors de l'inspiration profonde une lente ascension, qui vers la fin est suivie d'abaissement. „Il ressort directement de la figure, „dit-il”, qu'on aurait tort de vouloir expliquer toutes les variations de la pression dans les artères par les variations du calibre des vaisseaux pulmonaires” ¹⁾. Si l'on continue de supposer que l'apport au cœur droit devient constant, ce qui d'ailleurs, *cæteris paribus*, doit arriver au moment de la suspension inspiratoire où à la fin d'une inspiration très profonde et lente, la courbe de la

1) *L. c.*, p. 160.

2) *L. c.*, p. 334.

vitesse de circulation (élévation de la pression sanguine) apparaîtra bien dûment après l'achèvement de la variation initiale, mais dès qu'un nouvel état d'équilibre s'est établi dans la circulation pulmonaire elle-même, l'influence de la courbe de la vitesse de circulation doit naturellement s'évanouir et la pression du sang dans l'aorte (ou dans la carotide) doit retomber à sa hauteur moyenne.

Lorsqu'on a fait beaucoup de déterminations de la pression sanguine, dans des conditions de circulation artificielle, de circulation normale, de respiration normale, de respiration artificielle par un soufflet, de respiration artificielle par des mouvements imprimés au diaphragme, et que toujours on a vu la pression sanguine éprouver des oscillations, qui non-seulement apparaissent synchroniquement avec les mouvements pulmonaires, mais dont l'amplitude suit pas à pas l'étendue de ces mouvements; lorsque toujours on a constaté que les accidents de ces nombreuses courbes sont en accord avec ce qui devrait résulter de la circulation pulmonaire, on ne peut guère échapper à la conviction que les variations de cette circulation *doivent* être la cause fondamentale des oscillations de la pression.

La différence qui se manifeste dans la courbe de la pression sanguine, lorsqu'on substitue chez un chien la respiration nasale à la respiration trachéale, n'est pas un argument contre l'influence de la circulation pulmonaire. M. Gad ¹⁾ a cru trouver dans cette expérience, si je le comprends bien, la preuve que la variation de la pression pleurale, pendant la respiration, influe sur les oscillations respiratoires de la pression sanguine artérielle, puisque le facteur indiqué par MM. Funke et Latschenberger ²⁾, l'influence de la variation de volume des poumons, reste le même quand la respiration nasale remplace la respiration trachéale, et que

1) J. Gad, *Ueber Athemschwankungen des Blutdruckes*, dans: *Archiv f. Physiol.* v. du Bois-Reymond, 1880, p. 287.

2) O. Funke u. J. Latschenberger, *Ueber die Ursachen der respiratorischen Blutdruckschwankungen im Aortensystem*, dans: *Archiv f. d. ges. Physiol.*, t. XV, p. 405, et t. XVII, p. 547.

néanmoins des changements apparaissent dans les oscillations.

Mais, lors de cette substitution de la respiration nasale à la respiration trachéale, il est indubitable que la circulation pulmonaire ne reste *pas* la même. Si l'honneur d'avoir les premiers attiré l'attention sur ce facteur des oscillations artérielles revient à MM. Funke et Latschenberger, on ne saurait nier, comme je l'ai déjà fait remarquer antérieurement, qu'ils ne se soient trompés dans leurs conclusions au sujet de cette influence de la circulation pulmonaire. „Trois facteurs”, disais-je ¹⁾ „déterminent la capacité des poumons: 1° l'élargissement des vaisseaux pulmonaires par la pression du sang dans les vaisseaux afférents et efférents; 2° la pression de l'air sur les vaisseaux alvéolaires, pression qui tend à les comprimer et par conséquent à réduire leur capacité; 3° la distension, tant longitudinale que perpendiculaire à l'axe, que les vaisseaux pulmonaires subissent lors de la dilatation des poumons par l'aspiration”. Or, si la respiration trachéale est changée en respiration nasale, 1° la variation de la pression de l'air sur les vaisseaux alvéolaires ne sera pas la même dans les deux cas; 2° la variation de la pression pleurale ne restera pas non plus la même, et cette dernière, à son tour, influera sur la dilatation des vaisseaux du poumon et par suite sur la différence de pression entre l'artère et les veines pulmonaires: raisons bien suffisantes pour que la circulation pulmonaire éprouve l'influence du changement dans le mode respiratoire.

Avant de rechercher si la pression dans l'abdomen a de l'influence sur la pression sanguine artérielle, nous devons encore considérer d'un peu plus près cette pression intra-abdominale. Je n'ai trouvé d'indications à cet égard que chez M. P. Bert ²⁾. Il introduisait un tube de verre dans l'intestin d'un chien, de telle sorte que l'ouverture de l'anus était bouchée par une petite

1) *L. c.*, p. 467.

2) P. Bert, *Leçons sur la physiologie comparée de la respiration*, Paris, 1870, p. 338.

poche de caoutchouc entourant le tube. Celui-ci était relié à un manomètre à eau, dont la branche ouverte communiquait, par transport d'air, avec un tambour enregistreur. Ainsi s'inscrivaient les variations de la pression intra-abdominale, en même temps qu'étaient inscrits les mouvements du thorax ou les variations de la pression intra-trachéale. M. Bert trouva que la pression intra-abdominale ne variait pas toujours dans le même sens par rapport aux mouvements respiratoires, mais qu'elle présentait en apparence beaucoup d'irrégularités, qui toutefois se laissaient précisément expliquer par la circonstance que la respiration n'avait pas toujours lieu de la même manière. Si le diaphragme se contracte pendant l'inspiration, la pression dans l'abdomen augmentera; l'inspiration est-elle, au contraire, produite exclusivement par la contraction des muscles thoraciques, la pression intra-abdominale devra décroître pendant l'inspiration. Il s'ensuit que, si les deux facteurs (diaphragme et muscles thoraciques) agissent conjointement mais à des degrés différents, la variation de la pression intra-abdominale peut être très différente d'un cas à l'autre. Pour démontrer expérimentalement cette conclusion, M. Bert voulut enregistrer la pression intra-abdominale chez le lapin — qui respire presque exclusivement à l'aide du diaphragme — après avoir sectionné la moelle cervicale; il coupa aussi, chez le chien, les nerfs phréniques, afin de supprimer la respiration diaphragmatique. Des circonstances accidentelles l'ont malheureusement empêché de donner à ces expériences leur pleine exécution.

Il y a naturellement un intérêt spécial à savoir comment la pression intra-abdominale varie pendant la respiration lorsque le diaphragme se comporte passivement, d'autant plus qu'il s'agit d'expliquer aussi les oscillations de la pression sanguine artérielle dans les cas de paralysie diaphragmatique. M. Rosenthal a déjà attiré l'attention sur ces mouvements passifs du diaphragme ¹⁾. „Lorsque le diaphragme”, dit-il, „est relâché ou

¹⁾ J. Rosenthal, *Die Athembewegungen und ihre Beziehungen zum Nervus Vagus*, Berlin, 1862, p. 49.

contracté, tandis que le thorax exécute encore des mouvements, ceux-ci doivent évidemment se communiquer au diaphragme, non seulement parce que le diaphragme est attaché au bord des côtes, mais aussi en vertu de l'élasticité des poumons. — Ces mouvements passifs se voient surtout très bien quand le diaphragme est relâché (particulièrement après la section des deux nerfs phréniques, ou après la section de l'un deux, au côté correspondant), et on peut déjà les distinguer des vraies contractions diaphragmatiques à ce que, dans leurs phases, il sont directement opposés aux mouvements respiratoires de la cage thoracique". Les mouvements du diaphragme, tant actifs que passifs, s'observeraient très nettement en appliquant la méthode que M. Snellen ¹⁾ a employée jadis pour étudier l'influence du nerf vague sur les mouvements respiratoires, méthode qui consiste à enfoncer une aiguille perpendiculairement dans le ventre, immédiatement au-dessous du sternum; cette aiguille suit alors très exactement les mouvements du diaphragme. Je regrette beaucoup de n'avoir pas fait usage de cette méthode, concurrentement avec l'autre, dans les expériences dont il me reste encore à rendre compte.

J'ai enregistré la pression intra-abdominale en même temps que les mouvements de la paroi thoracique et de la paroi abdominale. Chez un chien de 6 kilogrammes, narcotisé par la morphine et le chloroforme, un coussin d'air était appliqué sur les côtes, à droite du sternum, et un second sur la ligne blanche de l'abdomen, au milieu de l'espace entre le sternum et la symphyse; en outre, un large cathéter, entièrement ouvert par devant, était introduit par l'anus dans l'intestin. Les deux coussins d'air et le cathéter communiquaient, chacun séparément, par transport d'air, avec un tambour enregistreur, de sorte que les mouvements de la paroi thoracique, ceux de la paroi abdominale et les variations

1) H. Snellen, *Onderzoekingen over den invloed van de n. vagus op de ademhalingsbewegingen*, dans: *Onderz. ged. in het Physiol. Laborat. d. Utrechtsche Hoogeschool*, t. VII, 1854-55, p. 121.

de la pression dans l'abdomen s'inscrivaient simultanément sur un cylindre tournant.

Tout d'abord on constata que la pression dans l'intestin n'éprouvait presque pas de changements pendant la respiration; les intestins étant peu remplis, la paroi abdominale était flasque, et un rapetissement de la cavité abdominale, par la contraction du diaphragme, ne pouvait donc guère modifier la pression. La preuve que ce résultat n'était pas dû à l'obstruction du cathéter par des matières intestinales, c'est que, en appliquant la main sur la paroi de l'abdomen et en faisant rentrer celle-ci, on voyait le levier du tambour accuser une surélévation notable.

Pour renforcer les variations de la pression intra-abdominale, j'augmentai la pression absolue dans la cavité de l'abdomen, en injectant de l'eau tiède dans les intestins, jusqu'à ce que la paroi abdominale montrât une certaine tension; le cathéter remis en place, l'occlusion de l'anus était suffisante pour maintenir cette tension. Le tube de caoutchouc qui reliait le cathéter au tambour était ensuite maintenu à une certaine hauteur par un support. L'eau s'élevait alors, dans la partie montante du tube, jusqu'à ce que la colonne liquide fit équilibre à la pression dans l'intestin. Les variations de cette pression, au cours de la respiration, étaient maintenant beaucoup plus considérables. A chaque inspiration, le levier du thorax s'élevait, et de même celui de l'abdomen; le mouvement du premier était toutefois plus étendu que celui du second, preuve de la prépondérance de la respiration costale dans ce cas. Les deux leviers ne s'élevaient pourtant pas toujours au même instant. Ordinairement, le mouvement du thorax se dessinait le premier, mais quelquefois aussi c'était celui de l'abdomen; dans ce dernier cas, la contraction du diaphragme commençait donc avant celle des muscles thoraciques, ce qui paraît dépendre de la volonté de l'animal. Quand les mouvements costaux et abdominaux se faisaient simultanément, ou que la paroi de l'abdomen se soulevait la première, je voyais la pression intra-abdominale monter directement lors de l'inspiration et redescendre lors de l'expiration.

Mais lorsque le mouvement de la paroi thoracique précédait celui de la paroi abdominale, en d'autres termes, lorsque la contraction du diaphragme commençait un peu après celle des muscles du thorax, je voyais, lors de l'inspiration, la pression intra-abdominale s'abaisser d'abord un peu, pour ne s'élever qu'ensuite.

Après que les deux nerfs vago-sympathiques eurent été coupés, ce qui rend la respiration beaucoup moins fréquente, mais chaque inspiration plus profonde, les variations de la pression intra-abdominale étaient devenues beaucoup plus étendues.

Une pression vigoureuse sur la paroi abdominale, dans la pause entre deux respirations, fait fortement soulever le levier de l'intestin.

Chez un autre chien, du poids de $6\frac{1}{4}$ kilogrammes, il fut procédé de la même manière: après l'avoir narcotisé par la morphine et le chloroforme, on plaça des coussins d'air sur le thorax et sur la ligne blanche de l'abdomen, on introduisit le cathéter dans l'intestin et on relia les coussins et le cathéter à des tambours.

Le levier qui devait inscrire la pression intestinale éprouva de nouveau des oscillations presque insensibles; il ne s'élevait franchement que lorsqu'on comprimait l'abdomen avec la main. De l'eau fut donc de nouveau injectée dans l'intestin. Comme dans le cas précédent, la respiration était surtout costale, mais les mouvements de la paroi thoracique et de la paroi abdominale coïncidaient assez bien entre eux. La pression intestinale s'élevait lentement, mais pas beaucoup, pendant l'inspiration, redescendait pendant l'expiration. Pour obtenir des respirations plus profondes, on coupa les nerfs vago-sympathiques; il en résulta de nouveau, simultanément, une diminution de la fréquence. Maintenant encore, la respiration était principalement costale; l'abdomen se soulevait presque en même temps que la paroi thoracique, mais, durant cette période, la pression intra-intestinale montait beaucoup plus qu'avant la section des nerfs vago-sympathiques. Les deux nerfs phréniques furent alors coupés à leur tour, Après cette nouvelle opération, la paroi thoracique exécutait des mouvements très étendus, la paroi abdominale,

par contre, des mouvements très faibles; de plus, ces mouvements étaient maintenant opposés l'un à l'autre. A chaque inspiration, le thorax se voûtait, l'abdomen se déprimait légèrement. Ce même résultat de la section des nerfs phréniques je l'ai observé, encore plus nettement, dans d'autres expériences, dont il sera question plus loin. Contrairement à ce qui avait lieu avant la section, je voyais la pression intestinale s'abaisser à chaque inspiration, s'élever à chaque expiration.

Ces variations de la pression intra-abdominale, avant et après la section des nerfs phréniques, ont encore, chez le même chien, été mises en évidence d'une autre manière. Au lieu d'être relié au tambour, le tube du cathéter intestinal communiquait avec un manomètre à eau. Avant la section des nerfs phréniques, je constatais ainsi une augmentation de pression lors de l'inspiration, une diminution lors de l'expiration, la différence étant d'environ 5 mm H₂O. Après la section, à chaque inspiration l'eau descendait dans la branche ouverte du manomètre, à chaque expiration elle montait, et la différence s'élevait à environ 10 mm H₂O. On avait oublié, dans cette expérience, de déterminer le point zéro du manomètre, de sorte que la valeur absolue de la pression intra-intestinale resta inconnue. Cette pression absolue ne présentait d'ailleurs ici qu'un intérêt relativement faible, vu que, par l'injection d'eau, elle avait été surélevée artificiellement.

Ces expériences confirment donc la présomption de M. P. Bert et, combinées avec les observations de M. Rosenthal sur les mouvements du diaphragme en cas de paralysie, elles prouvent que dans la contraction diaphragmatique ordinaire, c'est-à-dire lors de l'inspiration, la pression intra-abdominale s'élève. Si, toutefois, la contraction des muscles thoraciques précède celle du diaphragme, il peut se produire d'abord un abaissement de la pression intra-abdominale. Au début de l'inspiration, le diaphragme remonte alors un peu, en se comportant comme s'il était paralysé, et la pression abdominale ne commence à croître que lorsque la contraction s'étend au diaphragme lui-même. De

là vient que cet accroissement fait entièrement défaut et qu'on n'observe à chaque inspiration qu'une diminution de la pression intra-abdominale, quand le diaphragme est réellement paralysé (après la section des nerfs phréniques). Dans ce cas, à chaque inspiration le diaphragme s'élève, pour faire équilibre à l'aspiration intra-thoracique, accrue par l'augmentation de l'élasticité des poumons. Lors de l'expiration, cette aspiration intra-thoracique redevient moindre, d'où il résulte que le diaphragme reprend son ancienne position d'équilibre, qu'il s'abaisse, et que la pression intra-abdominale remonte à la hauteur qu'elle avait avant le début de l'inspiration.

Il est clair que cette pression intra-abdominale peut encore subir beaucoup de changements, en rapport avec les phases de la respiration, s'il existe des obstacles à l'entrée de l'air lors de l'inspiration ou à sa sortie lors de l'expiration, ou si l'expiration devient active, les muscles de l'abdomen se contractant. Aussi, quand on veut étudier seulement l'influence de la contraction du diaphragme sur la pression intra-abdominale, il faut que la respiration de l'animal soit paisible et normale, et que la trachéotomie ait été pratiquée, afin que l'air puisse passer librement; c'est ce qui avait eu lieu dans mes expériences.

Il ressort encore de ces expériences que l'accroissement de la pression intra-abdominale, pendant l'inspiration normale, est peu considérable. Lorsque les intestins n'étaient pas remplis, cet accroissement était à peine accusé par le levier, pourtant très mobile, du tambour, et lorsqu'ils avaient été remplis artificiellement (avec de l'eau), les variations ne s'élevaient, même après une inspiration profonde, qu'à environ 5 mm H₂O. En cas de réplétion intestinale encore plus forte, ces variations, dues à la contraction du diaphragme, prendraient sans doute plus d'amplitude. Toutefois, nous pouvons bien admettre que, dans les circonstances ordinaires, elles sont moindres que celles de la pression intra-thoracique.

Si maintenant les variations de la pression intra-abdominale

étaient, comme le prétend M. Schweinburg, la cause des oscillations qui se produisent dans la pression artérielle, ces oscillations ne devraient pas disparaître après la section des nerfs phréniques, mais devraient avoir lieu, relativement à l'inspiration et à l'expiration, dans un sens précisément inverse de celui où elles se produisaient pendant la respiration normale (c'est-à-dire, avant la section des nerfs phréniques). Voyons ce que l'expérience nous apprend à cet égard.

Dès l'abord il m'a paru très important de savoir comment la pression sanguine se comporte, pendant la respiration, non seulement dans la carotide, mais aussi, et synchroniquement, dans une artère dont le sang vient de traverser la cavité abdominale, par exemple, dans l'artère crurale. Si réellement la pression intra-abdominale a de l'influence sur la circulation du sang dans le tronc de l'aorte abdominale, cette influence doit se faire sentir autrement dans la carotide que dans la crurale. En supposant, par exemple, que l'accroissement de la pression intra-abdominale rétrécisse l'aorte abdominale, une élévation de la pression sanguine pourrait se produire, au moment du rétrécissement, tant dans la carotide que dans la crurale; dans la crurale, cette élévation devrait très rapidement faire place à un abaissement, tandis que dans la carotide, au contraire, elle devrait persister plus longtemps, jusqu'à un certain maximum.

A priori, nous pouvons supposer que la variation de la pression abdominale, durant la respiration ordinaire, n'influera pas d'une manière sensible sur le calibre de l'aorte abdominale. Cette variation de pression est à peine, comme on l'a vu, de quelques millimètres H_2O , la pression dans l'aorte elle-même dépasse de beaucoup 100 mm Hg.

Or, la première chose qui frappe, quand on enregistre simultanément la pression du sang dans la carotide et dans la crurale, c'est que les deux courbes obtenues sont tout à fait semblables; la courbe de la crurale reste, quant à ses accidents, un peu en arrière de celle de la carotide, mais, si la première est portée en avant de cette petite différence, elles montrent

entre elles un parallélisme parfait, dans les circonstances les plus différentes.

J'ai enregistré la pression du sang dans les deux artères en adaptant au kymographion de Ludwig le manomètre double, et en reliant chacun des deux manomètres, de la manière ordinaire, à l'une des artères. Sur les côtes, près du sternum, et sur la ligne blanche de l'abdomen furent placés des coussins d'air, dont chacun communiquait, par transport d'air, avec un tambour enregistreur. Sur le papier sans fin s'inscrivaient donc, en même temps que la pression du sang dans les deux artères, les mouvements de la paroi thoracique et de la paroi abdominale.

La fig. 1, pl. I, donne les tracés d'une pareille expérience. Les courbes sont prises d'un chien narcotisé par la morphine et le chloroforme. Les deux nerfs vago-sympathiques avaient été coupés, pour éliminer les variations de l'action cardiaque durant la respiration. Le libre accès de l'air aux poumons était assuré par la trachéotomie. La courbe supérieure (*Ca*) est celle de la pression sanguine dans la carotide gauche, l'inférieure (*Cr*) celle de la pression dans la crurale gauche. Le parallélisme des deux courbes saute immédiatement aux yeux et est encore plus frappant si l'on considère en même temps les courbes des autres figures de la planche. Dans la fig. 1 nous voyons en outre que les saillies de la courbe crurale, à chaque battement du cœur, sont un peu moins prononcées que celles de la carotide; la même remarque s'applique aux fig. 2 et 3, fournies par le même chien, dans des circonstances que nous indiquerons tout à l'heure. La cause de cette légère différence gît dans le calibre de la petite pièce de liaison, sur laquelle l'artère était liée. La crurale de ce chien étant très étroite, je ne pouvais y engager qu'une pièce de faible diamètre; celle qui servait à relier la carotide avait une ouverture un peu plus large.

Nous voyons dans les deux courbes de la fig. 1 les oscillations respiratoires ordinaires. Dans la crurale, elles sont un peu en retard sur celles de la carotide, mais la différence est minime.

A l'inspiration, abaissement momentané, suivi bientôt d'ascension, laquelle ascension continue au début de l'expiration, pour se changer ensuite en abaissement, — tel est, de même que dans les courbes obtenues antérieurement, la marche constante. La courbe de la capacité et la courbe de la vitesse de circulation existent donc ici l'une et l'autre; surtout lors de l'expiration, la courbe de la capacité (ascension initiale) s'accuse nettement, à cause de la rapidité supérieure de cette phase respiratoire; à l'expiration succédait ordinairement une courte pause. L'inspiration s'accomplit plus lentement ¹⁾.

Ce concours des deux courbes, celle de la capacité et celle de la vitesse de circulation, s'est reproduit dans toutes mes expériences; surtout la vitesse de la respiration a, toutes choses égales d'ailleurs, beaucoup d'influence. A chaque mouvement respiratoire rapide, la courbe de la capacité s'accroît davantage; celle de la vitesse de circulation devient distincte surtout dans les pauses (suspensions). Quand les mouvements respiratoires sont lents, la courbe de la capacité peut s'effacer presque entièrement, de sorte que la courbe de la vitesse de circulation (par exemple, l'ascension lors de l'inspiration lente) reste seule visible.

La pression du sang, dans les deux artères de ce chien, ayant ainsi été inscrite paisiblement pendant quelque temps, les nerfs phréniques, préparés d'avance, furent coupés. Immédiatement après la section se déclarèrent des mouvements respiratoires violents et rapides, durant lesquels les courbes de la pression sanguine ne perdirent pas leur parallélisme. Bientôt, toutefois, l'animal redevint tranquille. Il faisait maintenant, avec les côtes, des inspirations très profondes. Le changement survenu dans le mouvement de la paroi abdominale frappait au premier coup d'œil. On voyait cette paroi se déprimer à chaque inspiration, tandis que, avant la section des nerfs phréniques, elle se voûtait lors de l'inspiration. Les mouvements des leviers rendaient aussi ce changement directement sensible: avant la

¹⁾ Les courbes des mouvements respiratoires ayant été omises, les figures, naturellement, n'apprennent rien sur la forme de ces mouvements.

section, les deux leviers oscillaient de la même manière, se levaient et s'abaissaient à peu près ensemble; après, ils se mouvaient en sens inverse l'un de l'autre. Mais, où le changement s'accuse le mieux, c'est dans les courbes elles-mêmes. A chaque relèvement très prononcé de la courbe tracée par le levier du thorax, correspond un abaissement de la courbe du levier de l'abdomen. Nous avons donc là, de nouveau, une preuve manifeste de l'influence de la section des nerfs phréniques, influence qui donne lieu à l'ascension du diaphragme à chaque inspiration et, par suite, comme nous l'avons vu, à l'abaissement de la pression intra-abdominale pendant cette période.

Quelque changement s'est-il maintenant produit dans les oscillations de la pression artérielle? La fig. 2 donne la réponse à cette question; tout commentaire serait à peu près superflu. Les oscillations respiratoires ont persisté tout entières et ont même pris un peu plus d'amplitude. Cela tient de nouveau à la différence de profondeur de la respiration. Dans la fig. 1, les respirations étaient superficielles; dans la fig. 2, l'influence de la contraction du diaphragme, à la vérité, est supprimée et cette suppression est au préjudice de l'épanouissement des poumons; mais les mouvements des côtes ont tellement gagné en étendue que la perte en question est plus que compensée et que l'épanouissement des poumons est donc plus complet que dans la fig. 1. Quant à la forme des oscillations, elle est restée la même. — Cet exemple est d'autant plus instructif que la fig. 1 a été prise, à dessein, d'une partie de la courbe où fortuitement la respiration diaphragmatique existait presque seule, où la paroi thoracique n'exécutait que des mouvements très faibles.

Par surcroît, la cavité abdominale a été ouverte depuis le sternum jusque près de l'arcade pubienne, dans la ligne blanche. On voit alors les intestins mis à nu s'enfoncer à chaque inspiration, s'élever à chaque expiration. La fig. 3 donne les courbes de la pression sanguine. Les oscillations respiratoires ordinaires s'y retrouvent.

J'ai répété cette expérience sur trois autres chiens (pesant respectivement 8, 18½ et 5½ kilogrammes), dans les mêmes circonstances et avec le même résultat. Dans une seule de ces trois expériences la paroi abdominale, après la section des nerfs phréniques, continua encore à s'élever un peu pendant l'inspiration, ce qui me fit supposer d'abord que toutes les branches des nerfs phréniques n'avaient pas été coupées. Mais, en observant avec soin, je reconnus que lorsque l'inspiration costale est très profonde, lorsque les dernières côtes sont donc très fortement soulevées, la paroi abdominale est en quelque sorte tendue entre ces côtes et le bord du bassin. Cela ne peut naturellement avoir lieu que si la paroi abdominale est lâche au début de l'inspiration, c'est-à-dire si la cavité de l'abdomen est peu remplie. La preuve que le phénomène était dû à cette cause, et non à la paralysie incomplète du diaphragme, fut obtenue en ouvrant la cavité abdominale. On put alors voir de nouveau les intestins se renfoncer à chaque inspiration.

Les résultats de ces expériences sont déjà très propres à nous éclairer au sujet de l'influence des variations de la pression intra-abdominale sur la pression du sang dans les artères. En montrant que la forme et l'amplitude des oscillations respiratoires n'éprouvent pas de changement lorsqu'on intervertit complètement les variations de la pression intra-abdominale par rapport aux mouvements respiratoires, nos expériences mettent hors de doute que ces variations de pression ne peuvent ni être la cause principale de la production des oscillations respiratoires, ni exercer sur elles une influence prépondérante.

Aussi je ne m'explique pas l'assertion de M. Schweinburg. Après les recherches ci-dessus citées de M. Rosenthal et de M. P. Bert, il aurait déjà dû s'attendre, si réellement il regardait la pression intra-abdominale comme exerçant une influence prépondérante, à ce que, après la section des nerfs phréniques, les oscillations respiratoires seraient complètement renversées par rapport aux phases de la respiration, et non à ce qu'elles disparaîtraient. Dès lors, en effet, il était établi, par de nom-

breuses expériences, que l'ouverture de l'abdomen, bien que supprimant la pression intra-abdominale, ne fait pas évanouir les oscillations artérielles et n'en diminue même pas l'amplitude. Que l'ouverture de l'abdomen peut toutefois avoir de l'influence sur la forme de ces oscillations, c'est un fait que j'ai déjà signalé dans mon Mémoire précédent sur ce sujet, mais en l'expliquant par des raisons toutes différentes, à savoir, par l'élargissement que les vaisseaux sanguins de la cavité abdominale éprouvent quand cette cavité reste longtemps ouverte, et par l'abaissement de la pression artérielle, qui en est la conséquence.

L'augmentation ou la diminution de la pression intra-abdominale n'a-t-elle donc absolument aucune influence sur la pression du sang dans les artères?

La fig. 4 représente la pression sanguine dans la carotide droite et la crurale droite d'un chien, assoupi par l'injection de laudanum de Sydenham dans la jugulaire droite. Les nerfs vago-sympathiques étaient coupés, la trachéotomie avait été pratiquée. Un coussin d'air se trouvait placé sur les côtes, latéralement au sternum, et communiquait par transport d'air avec un tambour, dont le levier inscrivait les mouvements respiratoires. Un second tambour était relié, de la même manière, à un autre coussin d'air, qui pouvait être appliqué sur la paroi abdominale; en exerçant alors avec la main une forte pression sur ce coussin d'air, on déprimait en même temps la paroi de l'abdomen, et la cavité de celui-ci était rapetissée; le levier du tambour relié à ce coussin d'air indiquait par son ascension le moment et la durée de la pression exercée sur la paroi abdominale; quant cette pression cessait (la main étant retirée), le levier retombait.

Par suite de la section des nerfs vago-sympathiques, la respiration était peu fréquente, une pause bien marquée existant après chaque expiration; la durée de cette pause était suffisante pour que, dans l'intervalle, on pût exercer une pression sur l'abdomen et en observer l'effet sur la pression du sang dans les deux artères.

Dans la fig. 4 nous voyons la pression sanguine s'abaisser pendant l'inspiration, s'élever pendant l'expiration, et de nouveau s'abaisser lentement dans la pause qui succède à l'expiration. Ainsi, pendant les mouvements respiratoires, on ne distingue que les courbes de capacité, à cause de la rapidité du mouvement respiratoire; dans la pause apparaît la courbe de la vitesse de circulation. En *a* et *b* il a été profité de cette pause pour diminuer, par pression directe sur l'abdomen, la capacité de la cavité abdominale. Comme on le voit, la pression sanguine s'élève pendant qu'on comprime l'abdomen, s'abaisse pendant qu'on le laisse se relâcher, et ensuite (donc, dans la pause, après le relâchement) se relève; l'inspiration, qui suit alors à très court intervalle, change de nouveau cette élévation en abaissement.

J'ai voulu étudier aussi l'effet d'une pression continue, et celui de la pause, après que la pression a cessé. Dans toutes les expériences de ce genre, il importe beaucoup plus, en effet, de connaître les conséquences d'un état statique que celles d'un état incessamment variable. C'est seulement après avoir reconnu l'effet d'une pression *augmentée* ou *diminuée*, qu'on peut juger de l'influence exercée *pendant* l'augmentation ou la diminution de cette pression. De là vient que j'ai toujours attaché tant d'importance aux phénomènes qui se manifestent dans la *suspension* inspiratoire ou expiratoire.

Pour l'objet que j'avais en vue, la pause qui sépare les respirations successives était encore trop courte. Je curarisai donc un chien par injection dans la veine jugulaire, après avoir pratiqué la trachéotomie; les nerfs vago-sympathiques furent coupés et la respiration entretenue au moyen d'un soufflet. Sur le côté de la canule trachéale était fixé un tube de caoutchouc, relié à un tambour enregistreur, pour l'inscription des variations de la pression dans la trachée. Après quelques bonnes insufflations, la respiration fut suspendue et une pression fut exercée, de la même manière que dans le cas de la fig. 4, sur la paroi de l'abdomen. La fig. 5 donne un exemple du résultat de cette

pression. Vers la fin de la courbe, là où les compressions et les relâchements de l'abdomen se succèdent sans interruption, on trouve de nouveau une élévation de la pression sanguine pendant la compression, un abaissement pendant le relâchement; mais la première partie de la courbe nous fait connaître l'effet des suspensions. Lorsque la pression sur la paroi abdominale est maintenue, la pression sanguine s'abaisse, et elle se relève dans la pause qui fait suite au relâchement de l'abdomen (donc, après l'abaissement produit *pendant* le relâchement).

Que nous apprennent maintenant ces deux expériences? ¹⁾ Elles nous montrent que lorsqu'une pression est exercée, dans les circonstances susdites, sur la paroi abdominale, la pression sanguine artérielle éprouve des oscillations synchrones aux variations de la pression intra-abdominale, et que ces oscillations sont semblables dans la carotide et dans la crurale. Ce dernier point est de grande importance. Il en résulte avec certitude que les variations de la pression intra-abdominale n'ont pas d'influence sur le calibre de l'aorte abdominale, ou n'ont qu'une influence trop faible pour changer d'une manière appréciable la pression dans le système artériel. Si, en effet, l'accroissement de la pression intra-abdominale (et dans nos expériences cet accroissement était beaucoup plus considérable que dans une inspiration ordinaire) déterminait le rétrécissement de l'aorte abdominale, la pression sanguine pourrait bien s'élever, tant dans la carotide que dans la crurale, *pendant* qu'on comprime l'abdomen, mais ensuite, la compression persistant, les courbes de la carotide et de la crurale devraient perdre leur parallélisme. Celle de la carotide devrait se maintenir à la hauteur atteinte, ou s'élever encore davantage, celle de la crurale devrait, au contraire, s'abaisser. Or, nous le voyons, le parallélisme reste parfait. Je ne parvenais à le déranger, dans mes expériences, qu'en déprimant la paroi abdominale assez profondément pour

¹⁾ J'ai obtenu les mêmes résultats en répétant ces expériences sur d'autres chiens.

sentir battre l'aorte sous l'extrémité de mes doigts, et en maintenant cette compression.

Les oscillations artérielles dépendent-elles donc des variations de la pression sur les ramifications aortiques (y compris les capillaires) des viscères abdominaux? Dans cette hypothèse encore, l'abaissement de la courbe lorsque la pression sur l'abdomen est maintenue, son ascension dans la pause après le relâchement, resteraient inexplicables. Car, en supposant que cette pression détermine le rétrécissement d'une si grande partie du système vasculaire qu'il en résulte, au moment où elle se produit, une élévation de la pression sanguine dans les autres ramifications de l'aorte, cette élévation, toutes choses égales d'ailleurs, ne devrait évidemment pas se changer en abaissement lorsque la pression abdominale persiste.

En ce qui concerne l'explication des oscillations respiratoires de la pression sanguine artérielle au moyen de variations dans la pression intra-abdominale, les résultats de ces expériences sont décisifs. Comparons seulement, fig. 4, en premier lieu, la pression sanguine lors de l'inspiration normale et lors d'une pression artificielle sur la paroi de l'abdomen (dans les deux cas, la pression intra-abdominale est augmentée); en second lieu, la pression sanguine lors de l'expiration normale, avec suspension expiratoire subséquente, et lors du relâchement de la paroi abdominale avec pause subséquente (dans les deux cas, la pression intra-abdominale est et reste abaissée de nouveau à sa valeur normale); nous voyons alors, tant dans la première que dans la seconde comparaison, que les oscillations de la pression artérielle sont, d'un cas à l'autre, exactement opposées. Par exemple: en cas d'expiration normale, élévation de la pression sanguine, avec abaissement dans la suspension; en cas de relâchement de la paroi abdominale, abaissement, avec élévation dans la pause.

Comment donc rendre compte de ces oscillations dans les deux expériences? Deux possibilités se laissent concevoir.

D'abord, on peut supposer que les oscillations de la pression

du sang artériel, lors de ces variations dans la pression intra-abdominale, sont dues à l'augmentation ou à la diminution de l'apport au cœur droit, par suite du rétrécissement ou de l'élargissement de la veine cave inférieure abdominale.

En second lieu, il ne faut pas oublier que lorsque, comme dans les expériences précitées, nous rétrécissons la cavité abdominale en déprimant sa paroi, le diaphragme est poussé vers le haut et la capacité de la cavité thoracique est par suite diminuée, d'où résulte un état expiratoire des poumons; quand la pression sur l'abdomen est supprimée, le diaphragme reprend sa position normale, s'abaisse, et une inspiration en est la conséquence; c'est effectivement ce que montrait le levier qui marquait les variations de la pression dans la trachée chez le chien curarisé. En ce qui concerne les poumons, le fait d'exercer une pression sur l'abdomen, puis de l'abandonner à lui-même, donne donc lieu à une expiration, suivie d'une inspiration. Ces changements dans le volume des poumons doivent entraîner des changements correspondants dans la circulation pulmonaire.

Or, quant aux changements que la circulation pulmonaire subit pendant l'expiration et aux conséquences qui en résultent pour la pression sanguine artérielle, nous savons que, dans les circonstances ordinaires, il se produit lors de l'expiration d'abord une élévation et ensuite un abaissement de la pression sanguine, donc la même chose que ce qu'on observe en comprimant l'abdomen et en maintenant cette pression. De même, l'abaissement initial avec élévation subséquente de la pression sanguine, résultat de l'inspiration ordinaire, se retrouve lors du relâchement de la paroi abdominale comprimée et dans la pause qui la suit. Les oscillations de la pression artérielle, qu'on détermine en comprimant et relâchant alternativement la paroi abdominale, se laissent donc expliquer complètement par les effets qui doivent se produire en vertu de l'expiration et de l'inspiration artificiellement provoquées par la manœuvre en question.

Si dans les courbes de la fig. 5, obtenues lorsque la compression et le relâchement de l'abdomen se suivaient sans pauses

intermédiaires, nous ne voyons, pendant la première, rien que de l'élévation, pendant le second, rien que de l'abaissement, cela peut tenir simplement à la rapidité avec laquelle s'exécutaient la compression et le relâchement, à la rapidité avec laquelle, par conséquent, se succédaient l'expiration et l'inspiration artificielles et qui ne laissait apparaître que les courbes de capacité. Notre explication est donc en parfait accord avec tous les phénomènes mentionnés.

A l'occasion de ces phénomènes, que la pression artérielle présente en cas de pression exercée sur la paroi abdominale, il faut rappeler les expériences de M. Kuhn, déjà citées plus haut (p. 6). M. Kuhn a observé que des oscillations artérielles se produisent encore, à la suite de variations dans la pression intra-abdominale, même lorsque le thorax est ouvert, et il a pensé que ces oscillations peuvent s'expliquer par l'augmentation ou la diminution de l'afflux du sang au cœur droit. On ne doit pas perdre de vue, toutefois, que lorsque la paroi thoracique, — soit les côtes, soit le diaphragme, — exécute, artificiellement ou par voie d'action musculaire, des mouvements, les poumons peuvent très facilement, même en cas de thorax ouvert, y participer plus ou moins. Très facilement, en effet, ils restent collés à la paroi thoracique, et alors, entraînés dans ses mouvements, ils s'épanouissent bien dûtment. Dans les expériences avec respiration artificielle et thorax ouvert, on peut fréquemment observer cette adhésion, et, en pareil cas, des variations se produiraient de nouveau dans la circulation pulmonaire. Néanmoins, même quand on veille à ce que les poumons s'affaissent complètement et ne restent pas collés à la paroi, on voit les pressions sur l'abdomen déterminer encore des oscillations dans la pression artérielle, oscillations qui, eu égard à ce qui précède, ne peuvent dépendre que de changements dans le calibre de la veine cave inférieure abdominale. Tout à l'heure nous reviendrons là-dessus.

Préalablement, je dois encore dire quelques mots de la fig. 6. Elle offre un exemple de la pression sanguine dans la carotide

et la crurale gauches d'un chien curarisé, chez lequel la respiration était entretenue à l'aide du soufflet et dont les nerfs vago-sympathiques étaient coupés. Ici encore, nous voyons les deux courbes marcher parallèlement; ici encore, l'influence de la circulation pulmonaire est manifeste. Les oscillations sont, par rapport aux phases d'épanouissement des poumons, exactement l'opposé de ce qu'elles sont dans la respiration normale, et nous savons que la circulation pulmonaire aussi se comporte dans ses variations d'une manière précisément inverse, lorsque à l'épanouissement et l'affaissement normaux on substitue l'insufflation et l'affaissement. Déjà antérieurement ¹⁾ j'ai appelé l'attention sur le fait que, chez l'animal vivant curarisé et ayant la cavité abdominale ouverte, on peut faire épanouir les poumons tantôt par aspiration (en tirant sur le diaphragme), tantôt par insufflation (avec un soufflet), et que, dans ces deux cas, les oscillations de la pression artérielle se présentent dans des relations exactement contraires.

Quand l'expérience a lieu le thorax et l'abdomen fermés, la pression intra-abdominale varie de la même manière lors de l'insufflation et lors de l'inspiration normale, mais les oscillations de la pression sanguine sont inverses: nouvelle preuve *contre* l'influence des variations de la pression intra-abdominale.

Nous avons vu que M. Schweinburg, pour démontrer cette influence, cite, dans son second Mémoire, encore une autre expérience. Différentes fois, chez des chiens narcotisés et respirant normalement, j'ai introduit la main dans la cavité abdominale ouverte, et oblitéré, en la comprimant entre les doigts, l'aorte abdominale. La courbe de la crurale s'abaisse alors rapidement, jusqu'à quelques mm Hg au-dessus du zéro; celle de la carotide s'élève. On attend que ce mouvement ascensionnel soit achevé, et alors on constate, synchroniquement avec les respirations, des oscillations de la pression du sang dans la carotide. Même quand le thorax et l'abdomen sont largement ouverts et que

¹⁾ *l. c.*, p. 186.

l'aorte thoracique est comprimée au-dessus du diaphragme, la pression sanguine élevée de la carotide continue à présenter des oscillations synchrones avec les insufflations et les affaissements des poumons.

De ce qui précède, il ressort que les variations de la pression intra-abdominale, dues à la respiration, n'influent pas *directement* sur la pression du sang artériel: si la paroi externe de l'aorte abdominale et de celles de ses ramifications qui occupent la cavité de l'abdomen doit naturellement éprouver les susdites variations, celles-ci, dans les circonstances ordinaires, sont trop faibles pour exercer la moindre action sur la pression sanguine artérielle.

Mais ce défaut d'influence directe n'existe pas seulement pour les variations de pression auxquelles donne lieu la respiration normale et qui n'ont qu'une valeur de quelques mm Hg: nous avons vu que, même en cas de pressions artificielles assez fortes sur l'abdomen, les changements qui se produisent alors dans la pression sanguine artérielle ne sauraient dépendre de changements dans le calibre de l'aorte abdominale ou de ses subdivisions.

Si nous recherchons maintenant ce qui est connu au sujet de la grandeur des variations de la pression intra-thoracique, nous trouvons que ces variations n'atteignent également qu'un petit nombre de mm Hg ¹⁾, et que par conséquent elles n'auront pas non plus d'influence sur le calibre de l'aorte thoracique, dans laquelle, normalement, le sang se trouve aussi sous une haute pression, aussi haute, pour le moins, que dans l'aorte abdominale. Ainsi, pendant la respiration normale et pour une pression sanguine normale, il ne sera exercé, ni dans le thorax ni dans l'abdomen, par des changements du calibre de l'aorte, quelque influence sur la pression artérielle.

Il en est autrement de l'influence de ces variations de pression

¹⁾ Voir: Donders, *Beiträge*, dans *Zeitschr. f. rat. Med.*, t. III, p. 287: et Heynsius, *Sur la valeur de la pression négative intrathoracique pendant la respiration normale*, dans *Arch. néerl.*, t. XVII, p. 299.

sur le diamètre intérieur des veines, comme nous l'avons déjà vu en ce qui concerne l'influence de la pression intrathoracique sur le calibre des veines pulmonaires, et comme allons maintenant le montrer pour ce qui regarde l'influence de la pression intra-abdominale sur le calibre des veines de la cavité de l'abdomen. J'ai déjà mentionné ce que d'autres ont dit à cet égard, et moi-même j'ai constaté que chez un chien curarisé, ayant les nerfs vago-sympathiques coupés et le thorax ouvert, et dont les poumons n'adhéraient pas, des oscillations se produisaient encore dans la pression sanguine artérielle, à la suite de variations de la pression intra-abdominale. Les oscillations avaient très peu d'amplitude, ce qui tenait peut-être en partie à ce que peu à peu, par l'effet du curare, du refroidissement, etc., la pression sanguine s'était notablement abaissée. Tant dans la carotide que dans la crurale j'observais, en pressant sur l'abdomen, une légère élévation, puis un lent abaissement lorsque la pression persistait; en relâchant la paroi abdominale, un léger abaissement, faisant place, dans la pause, à une très lente élévation. Ces oscillations de la pression artérielle ne suivaient *pas directement* les variations de la pression intra-abdominale, mais à quelque distance. Je crois pouvoir les regarder bien réellement, à l'exclusion de toute autre cause, comme la conséquence des changements de calibre des veines abdominales. M. Kowalewsky ¹⁾ a déjà montré, en effet, qu'à l'état de repos des poumons on peut imiter les oscillations respiratoires de la pression sanguine artérielle, en comprimant et relâchant alternativement la veine cave. Moi-même, en enregistrant la pression sanguine dans la carotide et dans la crurale, le thorax étant ouvert et la respiration entretenue artificiellement, j'ai vu les deux courbes s'abaisser parallèlement lorsque, pendant une suspension de la respiration, on comprimait la veine cave inférieure, puis se relever parallèlement après que la veine avait

¹⁾ N. Kowalewsky, *Ueber die Einwirkungen der künstlichen Athmung auf den Druck im Aortensystem*, dans *Archiv f. Physiol.* v. du Bois-Reymond, 1877, p. 416.

été relâchée. Mais dans les deux courbes il subsistait encore, même pendant l'abaissement, des oscillations synchrones avec les changements de volume des poumons, quand la veine cave inférieure était comprimée *durant* la respiration artificielle.

Ces expériences ne permettent donc guère de douter que l'augmentation ou la diminution de l'apport de sang au cœur droit, par la veine cave inférieure, fasse sentir son influence sur la pression sanguine artérielle.

Pendant la respiration, il existe, comme nous l'avons déjà dit, deux causes qui font varier l'apport au cœur droit. Lors de l'inspiration, la pression négative intrathoracique augmente et agit favorablement sur le cours du sang dans les veines caves, tant inférieure que supérieure; simultanément, par l'augmentation de la pression intra-abdominale, le sang est refoulé de la veine cave inférieure vers le thorax. Il y a donc une double raison pour que pendant l'inspiration le cours du sang vers le cœur droit soit activé, et puisque nous avons reconnu que les variations de l'apport au cœur droit se font sentir dans le système aortique, cet accroissement d'apport pendant l'inspiration devra se manifester dans l'aorte comme élévation de la pression sanguine. Il constitue donc un facteur auxiliaire de l'élévation normale qui se produit pendant l'inspiration. Nous avons vu, en effet, que cette élévation est ordinairement précédée d'un abaissement, dû à l'augmentation de capacité des vaisseaux pulmonaires; mais, dans cette période, l'influence de l'accroissement d'apport au cœur droit ne se fera pas encore sentir, un certain temps, comme nous l'avons dit, étant nécessaire pour cela. Cette influence peut donc être attendue vers le moment où la courbe de la vitesse de circulation apparaît dans l'aorte.

Il est évident d'ailleurs que l'apport au cœur droit ne continue pas régulièrement à s'accroître pendant tout le cours de l'inspiration, mais que peu à peu il diminue de nouveau, pour redevenir, peut-être avant la fin de l'inspiration et certainement lors de la suspension inspiratoire, égal à ce qu'il était au début de l'inspiration. L'augmentation de l'apport au cœur droit, par

suite de l'augmentation de l'aspiration intrathoracique et de l'augmentation de la pression intra-abdominale, n'a lieu, en effet, que durant le changement de calibre de la veine cave, et cesse lorsque ce calibre est redevenu constant. A cet égard, les idées des auteurs ne sont pas toujours parfaitement exactes. Je me permettrai, par exemple, de présenter quelques observations au sujet des vues émises sur ce point par M. Rollett ¹⁾. Après avoir rappelé qu'il existe dans le thorax une pression négative, qui règne donc sur tous les organes contenus dans cette cavité et par conséquent aussi sur les veines, il poursuit ainsi: „Par contre, sur la surface extérieure des veines situées en dehors du thorax, pèse la pression atmosphérique, ou une pression encore un peu plus forte, vu qu'il s'y joint la tension des tissus parcourus par les veines. A tout instant, le sang est donc poussé vers le thorax". Les mots „à tout instant" ont évidemment rapport aux veines, et l'idée est donc que, par suite de la différence de pression sur les veines situées à l'intérieur et à l'extérieur du thorax, le cours du sang vers le thorax est activé aussi bien pendant l'expiration que pendant l'inspiration. Il est vrai que M. Donders, dans le Mémoire déjà cité ²⁾, a écrit: „Une vérité, qui ne manque pas d'importance, en ressort immédiatement: même pendant l'expiration, le cœur et les vaisseaux intrathoraciques sont soumis à une pression moins élevée que les vaisseaux distribués dans les autres parties du corps; le sang veineux est donc aspiré d'une manière continue vers la cavité thoracique". Mais il faut remarquer que M. Donders nomme ici, à la fois, le cœur et les vaisseaux. Or, il est certain que, pendant la respiration normale, la diastole du cœur sera toujours facilitée par la pression négative, tant à l'inspiration qu'à l'expiration, parce que, comme M. Donders l'a montré, cette pression négative existe aussi bien dans l'une que dans l'autre de ces phases; en ce sens, l'afflux du sang veineux au

1) Rollett, *Physiologie des Blutes und der Blutbewegung*, dans *Handbuch der Physiologie von Dr. L. Hermann*, t. IV, 1^e p., p. 330.

2) *l. c.* p. 305.

cœur sera donc accéléré „d'une manière continue" (tant à l'inspiration qu'à l'expiration).

Mais, si l'on distingue entre l'effet de cette aspiration sur le cœur et celui sur les veines, la conclusion précédente ne sera pas applicable à ces dernières. La pression, qu'elle soit négative ou positive, agit sur la paroi extérieure du vaisseau sanguin, et non sur le sang lui-même. La circulation du sang ne peut donc pas en être activée ou entravée directement, mais seulement par l'intermédiaire des changements de calibre que le vaisseau sanguin subit sous l'influence de cette pression extérieure variable. Le calibre d'un vaisseau sanguin dépend, en effet, de trois facteurs: 1° la pression du sang sur la paroi interne, 2° la pression du dehors sur la face externe, 3° l'élasticité de la paroi. Le premier de ces facteurs étant pour un instant regardé comme constant, le calibre changera, par exemple s'élargira, lorsque la pression extérieure diminue ou qu'une aspiration est exercée sur la paroi externe, et cet élargissement continuera jusqu'à que la paroi, dans son nouvel état de plus grande distension, fasse de nouveau équilibre à la pression extérieure diminuée. Si alors cette aspiration reste constante, le vaisseau conservera un calibre constant, et le sang coulera simplement par un canal un peu plus large. En faisant donc abstraction de la diminution de résistance qui résulte de l'élargissement du vaisseau, on voit que la pression extérieure, pourvu qu'elle demeure la même, n'aura plus aucune influence sur la circulation; ce n'est que *pendant le changement* de cette pression extérieure, donc pendant la période où le calibre du vaisseau augmentait, qu'une action directe était exercée sur le cours du sang.

Pendant l'élargissement du vaisseau, le sang sera aspiré vers la partie qui s'élargit, et réciproquement, lorsque la pression extérieure augmente et que par suite le vaisseau est rétréci, le sang sera chassé de cette partie, pendant tout le temps que le rétrécissement s'opère. *C'est donc seulement dans ses périodes de variation que la pression extérieure peut être regardée comme*

une force d'impulsion ou d'aspiration pour le sang ; cet effet cesse dès que la pression extérieure est devenue constante.

Appliquons ce principe mécanique aux changements de calibre des veines intrathoraciques pendant la respiration. L'augmentation de l'aspiration intrathoracique, lors de l'inspiration, fera élargir les veines et, par suite, agira comme force aspiratrice sur le sang qui se rend à ces veines. Mais elle n'agira ainsi que *pendant* l'inspiration. Dans la suspension inspiratoire, l'aspiration n'a plus d'influence sur la circulation dans ces veines, si ce n'est que le sang éprouve un peu moins de résistance dans les veines une fois élargies. Pendant l'expiration, période de décroissement pour l'aspiration thoracique, le calibre des veines en question sera de nouveau diminué. Ce rétrécissement, bien entendu, n'agira pas comme force aspiratrice, mais au contraire comme force refulante, sur le sang qui coule dans ces veines. En supposant que la vitesse de l'inspiration et de l'expiration soit la même et que les deux mouvements aient une étendue égale, l'augmentation et la diminution de l'aspiration intrathoracique se produiront dans le même temps et auront des valeurs égales, l'élargissement des veines aura lieu avec la même rapidité et entre les mêmes limites que leur rétrécissement ; l'avantage que l'inspiration apporte au cours du sang des veines périphériques vers les veines du thorax serait alors exactement neutralisé par le désavantage qui résulte de l'expiration. Mais les valvules des veines ¹⁾ empêchent le reflux du sang, et grâce à elles il devient donc possible que les variations de la pression négative, au cours de la respiration, favorisent la circulation du sang dans les veines du thorax. Si les valvules n'existaient pas, ces variations resteraient sans influence.

La même chose peut être dite des variations de la pression dans la cavité abdominale, où le rétrécissement des veines *pendant* l'inspiration pousse le sang vers le cœur droit, parce

¹⁾ Sous ce rapport, le cœur lui-même doit être considéré comme une valve à l'extrémité du système veineux.

que les valvules s'opposent au reflux ; ici encore, en l'absence de ces valvules, les susdites variations ne pourraient activer le cours du sang vers le cœur droit. *Les variations tant de la pression intrathoracique que de la pression intra-abdominale agissent donc sur les veines comme pompe aspirante et foulante, et cette action est rendue possible par les valvules du système veineux.*

Par l'augmentation de la pression intra-abdominale, lors de l'inspiration, les veines sont donc un peu rétrécies et le sang est poussé, pendant ce rétrécissement, vers le cœur droit ; mais si cette pression intra-abdominale augmentée et par conséquent aussi le rétrécissement des vaisseaux persistent, le sang, traversant des canaux plus étroits, éprouvera plus de résistance et l'apport au cœur droit devra diminuer. Il est donc à présumer que dans la suspension inspiratoire la quantité de sang qui se rend au cœur droit ne redevient pas seulement la même qu'au début de l'inspiration, mais tombe encore au-dessous de cette quantité initiale, raison de plus pour qu'en fin de compte, pendant cette suspension inspiratoire, la pression sanguine redescende dans l'aorte.

Si, dans les circonstances normales, nous devons donc refuser aux variations de la pression intra-abdominale toute action directe sur la pression sanguine artérielle, il n'en est pas moins vrai qu'indirectement, par leur action sur la circulation veineuse, elles influencent la pression dans le système aortique ; l'augmentation qu'elles déterminent, pendant l'inspiration normale, dans l'apport de sang au cœur droit, profite à l'élévation ordinaire (courbe de la vitesse de circulation) de la pression sanguine artérielle.

UTRECHT, novembre 1883.

EXPLICATION DES FIGURES.

(Pl. I.)

Toutes les figures sont des courbes obtenues pour la pression du sang dans les artères carotide et crurale du chien, à l'aide de l'appareil enregistreur de Ludwig.

Toutes se rapportent à la pression sanguine dans la circulation normale, après section des nerfs vago-sympathiques.

La courbe supérieure *Ca* est le tracé de la pression sanguine dans la carotide, la courbe placée au-dessous, *Cr*, celui de la pression dans la crurale; la droite *Z* est une ligne horizontale, située un certain nombre de millimètres au-dessus de la ligne zéro du manomètre enregistreur de la carotide, et un autre nombre de millimètres au-dessus de la ligne zéro du manomètre enregistreur de la crurale; la courbe inférieure *S* indique le temps: chaque division horizontale représente 1 seconde.

Les courbes vont toutes dans le sens de la flèche, soit de droite à gauche.

Pour ménager l'espace, la courbe des mouvements respiratoires ou de la pression sur l'abdomen a été omise; à sa place, on a marqué sur chacune des lignes *Ca*, *Cr*, *Z* et *S*, par une ligne perpendiculaire, le commencement et la fin de chaque phase respiratoire ou de chaque phase de pression.

I	signifie:	Inspiration.
E	"	Expiration.
E.P.	"	Pause après l'expiration.
G	"	Insufflation.
C	"	Affaissement.
Pr	"	Pression sur la paroi abdominale.
L	"	Relâchement de la paroi abdominale.
Pr.P.	"	Maintien de la pression sur la paroi abdominale.
L.P.	"	Pause après le relâchement de la paroi abdominale.

Fig. 1. Pression du sang dans la carotide et la crurale gauches d'un chien de 5 kilogr., narcotisé par la morphine et le chloroforme, les nerfs vago-sympathiques coupés et la trachée ouverte. *Z* se trouve à 53 mm au-dessus de la ligne zéro de la carotide, et à 67 mm. au-dessus de celle de la crurale. Pression moyenne du sang dans la carotide, environ 176 mm Hg, dans la crurale, environ 168 mm Hg.

Fig. 2. Pression du sang chez le même chien de la fig. 1, après qu'on eut sectionné en outre les nerfs phréniques. *Z* est à 56 mm au-dessus de

la ligne zéro de la carotide, à 70 mm au-dessus de celle de la crurale. Pression moyenne du sang dans la carotide, environ 184 mm Hg, dans la crurale, environ 176 mm Hg.

Fig. 3. Pression du sang chez le même chien de la fig. 2, après qu'on eut ouvert en outre la cavité abdominale. Z est à 57 mm au-dessus de la ligne zéro de la carotide, à 71 mm au-dessus de celle de la crurale. Pression moyenne du sang dans la carotide, environ 176 mm Hg, dans la crurale, environ 168 mm Hg.

Fig. 4. Pression du sang dans la carotide et la crurale droites d'un chien de 10 kilogr., narcotisé par injection de Laud. liq. Syd. dans la jugulaire droite; les nerfs vago-sympathiques coupés, la trachée ouverte. Dans la pause entre les respirations successives, on a comprimé l'abdomen. Z est à ?¹⁾ mm au-dessus de la ligne zéro de la carotide, à 75 mm au-dessus de celle de la crurale. Pression moyenne du sang dans la carotide, ? mm Hg, dans la crurale, environ 200 mm Hg.

Fig. 5. Pression du sang dans la carotide et la crurale gauches d'un chien de 6 $\frac{1}{2}$ kilogr., curarisé. La respiration était entretenue, après la section des nerfs vago-sympathiques, le thorax et l'abdomen restant fermés, au moyen d'un soufflet. Les courbes sont prises à un moment où la respiration était suspendue et où des pressions étaient exercées sur la paroi abdominale. Z est à 52 mm au-dessus de la ligne zéro de la carotide, à 68 mm au-dessus de celle de la crurale. Pression moyenne du sang dans la carotide, environ 176 mm Hg, dans la crurale, environ 168 mm Hg.

Fig. 6. Pression du sang dans la carotide et la crurale gauches d'un chien de 21,5 kilogr., curarisé, les nerfs vago-sympathiques coupés, le thorax et l'abdomen fermés, la respiration entretenue au moyen du soufflet. Z est à 52 mm au-dessus de la ligne zéro de la carotide, à 67 mm au-dessus de celle de la crurale. Pression moyenne du sang dans la carotide, environ 180 mm Hg, dans la crurale, environ 172 mm Hg.

¹⁾ Par suite de circonstances accidentelles, le zéro du manomètre de la carotide a été déterminé fautiveusement dans cette expérience, de sorte que la pression moyenne du sang ne peut pas être donnée en chiffres.

RECHERCHES
SUR LA
CONTAGIOSITÉ DE LA MALADIE DE GOMME CHEZ
LES PLANTES,
PAR
M. W. BEYERINCK.

Aperçu général.

En 1878, M. E. Prillieux ¹⁾ a montré que les grains vivants du Blé poulard (*Triticum turgidum*) sont assez souvent attaqués et en partie détruits par une bactérie pigmentaire rouge, maladie qui m'est bien connue par les collections de l'Ecole d'agriculture de l'Etat, à Wageningen.

M. H. Wakker ²⁾ a fait voir, en 1883, que la maladie dite le „jaune” des jacinthes est également le résultat de l'activité de bactéries, qui peuvent exister dans les tissus vivants de la plante.

C'étaient là, à ma connaissance, les premiers exemples authentiques de maladies causées, chez les plantes, par la présence de bactéries; ils autorisaient la supposition que d'autres maladies encore, dans le règne végétal, étaient également dues à ces organismes, et je me demandai si la gomme, qui dans certaines circonstances découle des organes blessés des Amygdalées, ne pourrait pas être du mucilage de bactéries. Le fait surtout que les parois des vaisseaux et les fibres libériennes sont susceptibles de se transformer en gomme, me portait à attendre

¹⁾ Sur la coloration et le mode d'altération des blés roses, dans *Ann. d. sc. nat. Bot.*, t. VIII, 1878, p. 248.

²⁾ *Botanisches Centralblatt*, 1883, p. 315.

une réponse affirmative à cette question. Avant moi, d'ailleurs, d'autres avaient déjà eu la même idée, comme je l'ai reconnu par un passage d'un article publié dans l'une des dernières années du *Gardener's Chronicle*, passage, toutefois, que je ne puis plus retrouver. Je ne parvins pas, il est vrai, à découvrir des bactéries dans tout morceau quelconque de gomme, et M. le professeur De Vries, dont j'invoquai le secours, ne les vit pas non plus; mais dans quelques petits fragments je trouvai des bactéries en grand nombre, et je supposai que ces bactéries pouvaient passer à un état difficilement visible. Il faut convenir pourtant que certains phénomènes observés au cours de la maladie de gomme, phénomènes sur lesquels je reviendrai plus loin, s'expliquent mal par cette hypothèse bactérienne. Aussi, au bout de quelque temps, je reconnus que cette présomption était tout à fait inexacte; mais, en attendant, elle m'avait conduit à entreprendre une série d'expériences d'inoculation avec des parcelles de gomme, expériences qui m'apprirent, en premier lieu, que la maladie de gomme est éminemment contagieuse et facile à provoquer artificiellement; en second lieu, que des fragments de gomme chauffés ou bouillis pendant longtemps perdent leur pouvoir d'infection, de sorte qu'il restait peu de doute concernant le fait qu'un organisme vivant devait être impliqué dans la contagion. Après avoir poursuivi mes expériences, dans les circonstances les plus diverses, pendant plus d'un an, je réussis enfin à établir avec certitude la vraie nature du contact de la maladie de gomme.

Je trouvai, en effet, que la virulence n'appartient qu'aux fragments de gomme qui renferment les spores d'un certain Champignon d'une organisation relativement élevée, appartenant à la classe des Ascomycètes, et que ces spores, même quand on les introduit séparément, c'est-à-dire non enveloppées de gomme, sous l'écorce des Amygdalées, donnent lieu à des phénomènes pathologiques remarquables et, par un mode d'infection spécifique, produisent toujours sûrement une affection gommeuse locale.

N'ayant pas réussi à déterminer ce Champignon, je pris la liberté, lorsque je fus suffisamment initié aux particularités de la vie de ma plante, de demander des éclaircissements ultérieurs à M. le professeur C. A. J. A. Oudemans; celui-ci reconnut immédiatement le parasite pour une espèce nouvelle de *Coryneum*, espèce à laquelle il m'a fait l'honneur de donner mon nom.

Une fois bien familiarisé avec les différentes formes sous lesquelles se présente le parasite de la maladie de gomme des Amygdalées, je soumis à un examen attentif la gomme arabique. J'étais intimement convaincu que ce produit doit se trouver, tout comme la gomme des Amygdalées, sous l'influence d'un parasite, et mon attente à cet égard n'a pas été trompée. Dans des morceaux de gomme, encore agglutinés avec des fragments de branches d'Acacia, j'ai en effet rencontré un Champignon qui sous tous les rapports essentiels ressemblait au *Coryneum Beyerinckii*, et auquel M. Oudemans imposa d'abord le nom de *Coryneum gummiparum*. Plus tard, lorsque de nouvelles études eurent fait connaître aussi les autres phases du développement de cet Ascomycète, ce nom dut être remplacé par celui de *Pleospora gummipara*, espèce à laquelle le *Coryneum* ressortit comme état conidien. On ne saurait douter que ce parasite soit la cause de la maladie de gomme des Acacias, et je regarde aujourd'hui comme certain que la gomme arabique pourra être produite à volonté, par infection artificielle.

En passant, je noterai ici que, guidé par la même suite d'idées, j'ai essayé, sur des pommiers et des poiriers, de provoquer artificiellement, par voie d'inoculation, la maladie si redoutée du „chancre”; ce résultat toutefois n'a pu être obtenu, de sorte que la maladie en question ne paraît pas être contagieuse, et certainement n'est pas due à des bactéries.

Pendant l'exécution, à l'intérieur de l'appartement, de nombreuses expériences d'inoculation de la gomme sur des rameaux

coupés, j'observai que, au voisinage des points où les parcelles de gomme avec spores vivantes de *Coryneum* avaient été introduites sous l'écorce, les tissus de la plante changeaient de couleur, devenaient généralement bruns, puis finissaient par se nécroser. Les taches ainsi produites avaient un aspect caractéristique, comme détrempé, et pour expliquer leur formation on devait admettre qu'un liquide de nature très spéciale découle de la gomme et attaque les tissus de la plante. Ce liquide, je le désignerai sous le nom de ferment de *Coryneum*.

Enfin, lors de l'infection, à l'air libre et à la lumière, de branches vertes de pêcher, je reconnus que les taches dont il vient d'être question, longtemps avant de brunir et de se nécroser, prennent une couleur rouge intense, par suite de l'apparition d'un pigment rouge dans le suc cellulaire. Cette observation m'a conduit à rassembler quelques faits relativement au pigment rouge en général; les résultats de cette étude, que je ne crois pas tout à fait dépourvus d'intérêt, seront communiqués dans un autre Mémoire.

Reprenant maintenant en détail les divers sujets ci-dessus indiqués, je vais décrire successivement mes expériences d'inoculation, le parasite de la maladie de gomme des Amygdalées, les phénomènes de la maladie de gomme et le parasite de la gomme arabique.

Auparavant, toutefois, je dois témoigner ma vive reconnaissance à M. le professeur Oudemans, pour l'intérêt qu'il a bien voulu prendre à mes recherches et pour le secours qu'il m'a prêté. Non seulement j'ai obtenu de lui toutes sortes de renseignements concernant les parasites gommipares, mais il a mis tant d'empressement à rédiger les descriptions détaillées, que j'ai encore pu en enrichir le présent travail.

I. EXPÉRIENCES D'INOCULATION.

*Expériences d'inoculation avec la gomme de pêcher sur
des branches de pêcher.*

Les arbres qui ont servi à ces expériences, de même qu'à toutes les suivantes, se trouvaient dans trois jardins différents, le mien, celui de l'École d'agriculture et celui de M. F. C. Koker; je profite de cette occasion pour remercier M. Koker de l'appui qu'il m'a fourni en mettant libéralement ses arbres à ma disposition.

En février 1882, je pratiquai dans l'écorce d'un long rameau de prolongement, âgé de un et deux ans, d'un pêcher franc qui jusqu'alors n'avait jamais montré la moindre trace de gomme, une douzaine d'incisions, de la même forme que celles destinées à la greffe en écusson. Au voisinage de ces incisions il était facile de soulever un peu l'écorce, de façon que je pus introduire sous elle de petits fragments de gomme, pris sur un rameau de pêcher affecté de la maladie gommeuse. Le résultat fut que toutes les plaies ainsi traitées furent violemment attaquées de la maladie, de sorte qu'au mois de mai on y voyait des masses de gomme d'un volume très considérable. Après avoir continué pendant près d'une année à exsuder de la gomme, la plupart de ces plaies ont commencé à guérir spontanément. Comme moyen de contrôle, j'avais pratiqué dans une branche voisine une série d'incisions exactement pareilles, mais qui ne reçurent pas de gomme; toutes ces plaies, sans exception, sont restées parfaitement normales et ont bientôt été fermées complètement par du cal sain.

Dans mes expériences postérieures, j'ai procédé d'une manière un peu différente: d'une série de plaies, faites sur une seule et même branche, les unes, de deux en deux, furent infectées avec de la gomme, les autres, intermédiaires, ne le furent pas; en opérant ainsi, j'étais assuré que toutes les plaies se trouvaient dans des conditions physiologiques semblables,

assurance qu'on n'a pas, au même degré, quand les plaies sont réparties sur des branches différentes. Une légère modification a aussi été apportée à la forme des plaies: au lieu de l'incision de la greffe en écusson, j'ai pratiqué une simple incision longitudinale; l'écorce se laisse alors soulever encore suffisamment pour qu'on puisse glisser en dessous une parcelle de gomme ou des spores de *Coryneum*, et la plaie elle-même est moins grave, guérit plus rapidement et est moins exposée à l'infection spontanée.

Avec ce nouveau mode d'expérimentation, il est encore arrivé, en général, que les plaies inoculées ont seules contracté la maladie de gomme, tandis que les autres ont guéri normalement. Pour obtenir ce résultat, il faut toutefois que les plaies ne soient pas trop rapprochées, car la maladie de gomme passe très facilement de l'une à l'autre: l'eau de pluie surtout, en coulant le long de la branche, donne lieu au transport de la gomme de plaie en plaie, et, en outre, la maladie elle-même se propage dans toutes les directions à travers le tissu de la branche. Ordinairement, à la vérité, cette infection secondaire se laisse assez facilement distinguer de l'infection primaire, de sorte que le résultat essentiel de l'expérience est rarement douteux.

Des expériences semblables à celles ci-dessus décrites ont été exécutées plus tard, à une plus grande échelle, sur trois autres pêchers, et toujours j'ai obtenu le résultat le moins équivoque, à savoir, que les plaies infectées avec des spores de *Coryneum* étaient attaquées par la maladie de gomme, ou, si le virus avait été introduit en trop grande quantité, que les branches blessées mouraient complètement, d'une mort prématurée. Un des arbres qui servirent à ces expériences était un nectarine, c'est-à-dire un pêcher à fruits lisses, mais, en ce qui concerne la maladie de gomme, cet arbre se comporte comme un pêcher ordinaire.

A l'origine, encore ignorant de la nature du contagé, j'infectais simplement avec le premier morceau de gomme venu, que je détachais d'une branche de pêcher malade. Sans doute, d'une manière générale, le résultat de cette pratique était tel qu'on

ne pouvait douter que la gomme ne fût le véhicule du contagé ; néanmoins, il ressortait aussi de ces expériences qu'un nombre relativement assez grand de plaies restaient saines même après l'inoculation, tandis que les autres, qui avaient été inoculées avec des parcelles du même morceau de gomme, contractaient la maladie. Dès que je fus fixé sur ce point, j'abandonnai l'hypothèse que la gomme pouvait être du mucilage de bactéries avec „bactéries invisibles”, et désormais, avant de faire une expérience, j'examinai au microscope les fragments de gomme que je voulais y employer.

Il va sans dire que la gomme peut renfermer toutes sortes de corps étrangers, qui y ont été apportés soit par le vent, soit par l'eau de pluie découlant le long des branches. Parmi les organismes vivants qui se rencontrent très fréquemment dans la gomme, on peut citer des bactéries et des cellules de levûre, des spores de différentes espèces de Champignons, des Algues inférieures et des grains de pollen des plantes les plus diverses. Dans la gomme exsudée de plaies superficielles un peu larges, on trouve *presque toujours* différentes formes de mycéliums et ordinairement aussi les spores du vrai parasite de la maladie gommeuse, le *Coryneum Beyerinckii*.

Toutefois, certaines parties d'un morceau quelconque de gomme, et même des parties très étendues, peuvent être entièrement pures d'organismes étrangers, en général, et de *Coryneum* en particulier. Avec ces parties limpides j'ai institué un grand nombre d'expériences d'inoculation, et la grande majorité des plaies inoculées sont restées normales, n'ont pas été attaquées par la maladie de gomme. La circonstance que, même en opérant ainsi, quelques-unes des plaies sont devenues gommenses, doit être attribuée à une infection spontanée par le milieu ambiant, ou à l'existence du virus en quelque point de la gomme employée, existence qui avait échappé à l'observation microscopique. Plus loin je reviendrai sur ce sujet, pour signaler une difficulté qui s'y est présentée.

Expériences d'inoculation sur d'autres arbres.

Dès que j'eus reconnu que la maladie de gomme peut être produite, chez le pêcher, par voie d'infection artificielle, la question de savoir si la maladie gommeuse du prunier, du cerisier et de l'abricotier est due à la même cause, m'inspira un vif intérêt. Des expériences d'inoculation m'apprirent que la gomme de pêcher est capable de provoquer la maladie de gomme chez toutes les espèces qui viennent d'être nommées; ceux des symptômes de la maladie qui sont caractéristiques pour chacun des arbres en question apparaissent alors distinctement, preuve qu'ils dépendent entièrement de la nature de l'arbre, et non de celle de la matière virulente.

Outre ces espèces, j'ai encore réussi à inoculer la maladie de gomme au pêcher-amandier (*Amygdalo-Persica*), au *Prunus Mahaleb* et au *Prunus Laurocerasus*. Je dois ajouter, toutefois, que les plaies inoculées du mahaleb et du laurier-cerise n'ont pas exsudé de gomme jusqu'ici; mais le succès d'une inoculation de *Coryneum* se reconnaît, beaucoup plus tôt que par le flux gommeux, à quelques autres symptômes, qui seront décrits spécialement ci-dessous. Cela s'applique même au pêcher, bien que, chez lui, l'écoulement de la gomme puisse déjà commencer quatre ou cinq jours après l'infection.

Des spores de *Coryneum*, ou de la gomme contenant du *Coryneum*, ayant été introduites sous l'écorce de *Rosa canina*, *Pyrus Malus*, *P. communis* ¹⁾, *Weigelia rosea*, *Acer Negundo*, *Forsythia viridissima*, *Hydrangea japonica*, *Citrus Aurantium*, *Quercus pedunculata* et *Eleagnus hortensis*, les plaies guérirent toutes sans formation de gomme; pour le *Pyrus communis* et le *Rosa canina*, la guérison fut toutefois moins prompte qu'elle ne l'eût été si aucune introduction de gomme n'avait eu lieu; en

1) F. Meyen dit dans sa *Pflanzenpathologie*, Berlin, 1841, p. 233: „Bei unserem Steinobst ist dieser Gummifluss fast ebenso gewöhnlich, wie bei den Astragalen. Er kommt aber, wengleich verhältnissmässig nur sehr selten, auch bei unserem Kernobste vor“.

outre, chez la dernière espèce, une partie de l'écorce, au voisinage des plaies, prit une couleur rouge et plus tard mourut. Sur les branches de poirier, aux alentours des plaies, le *Coryneum* continua à vivre, pendant assez longtemps, sous la forme de *fumigo*. La plupart de ces arbres et arbrisseaux ont été choisis uniquement parce qu'il se trouvaient dans une partie facilement accessible de mon jardin; l'*Eleagnus hortensis* fut soumis à l'expérience parce que d'autres espèces d'*Eleagnus*, par exemple *E. canadensis*, sont sujets à une forme de maladie gommeuse qui ressemble tout à fait à la gomme des arbres à fruits à noyaux ¹). Une raison analogue a dicté le choix du *Citrus Aurantium*: cet arbre aussi présente, dans le midi de l'Europe, une maladie de gomme, qui, suivant M. Briosi, paraît avoir un caractère contagieux et est probablement causée par un Champignon, auquel il a donné le nom de *Fusisporium limoni* ²); j'ai trouvé, en outre, une indication ³) d'après laquelle la „gomme des Indes orientales” proviendrait d'une Aurantiacée, le *Feronia elephantum* Correa; de cette gomme, toutefois, rien d'autre ne m'est connu.

*Expériences d'inoculation avec la gomme de cerisier,
de prunier et d'abricotier*

Dans toutes les expériences ci-dessus décrites, l'inoculation a toujours été pratiquée avec de la gomme corynéfère ou des spores de *Coryneum*, prises sur des branches de pêcher. Par une autre série d'expériences j'ai trouvé que la gomme des cerisiers, griottiers, pruniers, abricotiers et pêcheurs-amandiers peut contenir la même espèce de *Coryneum* que la gomme du pêcher, et qu'avec cette gomme corynéfère il est possible d'infecter artificiellement des branches de pêcher; sans aucun

¹) B. Frank, *Die Krankheiten der Pflanzen*, 1^e Hälfte, p. 93, Breslau, 1880

²) G. Briosi, *Intorno al mal di gomma degli agrumi*, dans: *Mém. d. Cl. d. sc. fisici etc., Real Acad. d. Lincei*, Ser. 3, Vol. II, Roma 1877--78, Sep. p. 12. *Bot. Jahresbericht*, VI (1878), Abth. 1, p. 461. — Voir aussi, E. de Novellis, *Botan. Centralblatt*, I, 1880, p. 469.

³) H. Baillon, *Histoire des Plantes*, t. IV, Paris, 1873, p. 446.

doute, une pareille transmission s'opérera parfois aussi, spontanément, dans la nature. J'ai également réussi à communiquer la maladie à des branches d'abricotier au moyen de gomme de cerisier, et à des branches de prunier au moyen de gomme de pêcher-amandier. La preuve est ainsi fournie que les propriétés du parasite ne sont pas notablement modifiées par le fait de son existence sur des espèces végétales différentes. Cela n'empêche pas, toutefois, que les divers états de végétation du parasite, dans les diverses espèces de gommes en question, ne diffèrent tant soit peu quant à l'aspect extérieur. Il m'a paru inutile de donner plus d'extension à ce genre d'expériences.

*La virulence des spores de Coryneum est-elle
susceptible d'atténuation? Prédilection des plantes
nourricières aux maladies contagieuses.*

Dans une de mes expériences, où de la gomme de griottier avait été transportée sur une branche de pêcher, les phénomènes d'infection s'étaient déclarés avec une rapidité et une violence extraordinaires, d'où je devais conclure que dans ce cas était intervenu un virus plus actif que celui de mes autres expériences. Il me parut intéressant d'étudier ce point de plus près, et, bien que les résultats obtenus ne soient pas complètement satisfaisants, je crois devoir décrire succinctement les expériences exécutées dans cette direction.

Pour abrégé, un pêcher du jardin de M. Koker sera désigné par *A*, un second arbre parfaitement sain, de mon propre jardin, par *B*, et un troisième, du jardin de l'École d'agriculture, par *C*. Le pêcher *A*, fortement malade, fournit, en février 1882, la gomme employée pour la première inoculation de *B* et de *C*. Au bout d'un an environ, les plaies gommeuses de *A* commencèrent à guérir spontanément, mais il y restait encore assez de gomme pour qu'on pût inoculer avec elle quelques autres branches de *B*, ainsi que des branches saines de *A* et de *C*. Cette opération ne produisit chez *B* même qu'une infection très faible, tandis que

les branches de *A* ne tardèrent pas à mourir et que celles de *C* furent attaquées assez vivement de la maladie. Or, comme l'arbre *B*, inoculé de nouveau, tant avec de la gomme de *A* qu'avec de la gomme de griottier, fut infecté violemment, le précédent résultat ne peut être attribué exclusivement à la réceptivité moindre de *B* pour la maladie de gomme; la seule explication qui reste, me semble-t-il, c'est d'admettre que le *Coryneum*, après avoir longtemps vécu sur l'arbre *B*, n'agissait plus sur lui avec la même force que lors de sa première arrivée ou lors de son transport sur un autre arbre. De cette manière, il devient compréhensible aussi pourquoi les plaies dans lesquelles, à la suite d'infection artificielle, la maladie de gomme s'est développée à un haut degré, finissent tôt ou tard par guérir d'elles-mêmes.

Pour les virus des maladies infectieuses des animaux, une règle analogue paraît être d'une application très générale: eux aussi paraissent s'atténuer après avoir longtemps vécu dans un même individu, et gagner en force lorsqu'on les transplante sur un autre sujet.

De nature un peu différente est une observation relative à la rouille du blé, sur laquelle M. C.-B. Plowright appelle l'attention dans les termes suivants: „Il y a une énorme différence dans la gravité du mal causé par la rouille, suivant qu'elle dérive directement de l'Épine-Vinette ou qu'elle provient de l'*Uredo* qui s'est reproduit lui-même durant plusieurs générations. Cela ressort à toute évidence du fait que l'*Uredo* se voit tous les ans, dans presque tous les champs de blé — sinon dans tous; mais le cultivateur ne s'en préoccupe nullement, vu que la récolte n'en est pas sensiblement diminuée. Pour la rouille, au contraire, qu'on rencontre au voisinage de buissons d'Épine-vinette, le cas est différent. Là, par l'énergie de sa croissance, le champignon nuit tellement au blé, que la plante ne peut plus produire qu'un petit nombre de grains épuisés. Le mycélium se développe et

1) *On the connection of the wheat Mildew with the Barberry*, dans *Gardener's Chronicle*, 1882, II, p.234.

fructifie avec tant de vigueur, aux dépens du blé, que souvent le chaume de celui-ci ne mûrit pas, mais meurt encore vert. C'est d'ailleurs à quoi l'on pouvait s'attendre, en considérant que l'œcidiospore est un produit sexuel, tandis que l'urédospore ne l'est pas".

Au point de vue théorique, les faits dont il vient d'être question s'accordent entre eux et nous apprennent que l'intensité de l'action d'un parasite augmente par certains changements apportés aux conditions dans lesquelles il vivait jusqu'alors.

Dans cette même direction j'ai encore fait quelques autres expériences, où deux cerisiers différents étaient soumis à l'infection réciproque et à l'auto-infection; les résultats furent toutefois trop douteux pour mériter d'être communiqués. Par contre, je dois dire un mot d'expériences d'inoculation avec de la gomme chauffée et bouillie. Dans quelques cas, une courte ébullition était suffisante pour rendre le *Coryneum* entièrement inerte et probablement le tuer. Dans d'autres cas, les parcelles de gomme bouillies occasionnèrent initialement les mêmes symptômes qui d'ordinaire annoncent une infection gommeuse bien réussie (symptômes sur lesquels je reviendrai plus loin). Après que ces phénomènes furent restés visibles durant plusieurs mois, sans qu'il se formât la moindre trace de gomme, les plaies entrèrent peu à peu en voie de guérison. Il est possible que la gomme, que je faisais bouillir avec de l'eau dans un tube à essai sur la flamme du gaz, n'ait pas été échauffée suffisamment dans toute sa masse et par suite n'ait pas été tuée; mais alors on peut supposer que la virulence des spores de *Coryneum* avait été atténuée par la chaleur. M. A. Chauveau ¹⁾ ayant prouvé expérimentalement que la virulence du *Bacillus anthracis* est beaucoup affaiblie quand il a été soumis à une température de 42° C, puis de 47° C, la diminution du pouvoir infectant du *Coryneum*, à la suite de l'échauffement, n'avait à priori rien d'improbable. L'inoculation de spores de *Coryneum* à vitalité normale, dans

1) *Comptes rendus*, 1883, t. 96, p. 553.

des branches de laurier-cerise, donne lieu à des phénomènes qui ressemblent sous maints rapports aux résultats obtenus avec la gomme chauffée, notamment en ce qui concerne l'apparition du pigment rouge, plus tard la coloration en brun des bords des plaies et la non-production de gomme. Comme, dans ce cas, il me paraît possible que les phénomènes en question soient exclusivement dus à un ferment sécrété par le *Coryneum*, il me semble également concevable que dans les expériences avec la gomme bouillie j'avais bien tué le parasite, mais pas détruit complètement le ferment sécrété. Si cette dernière interprétation est la vraie, je n'aurais donc pas encore obtenu, par la chaleur, l'atténuation de la virulence des spores de *Coryneum*.

Des parcelles de gomme humide de cerisier, qui avaient été séchées environ $\frac{1}{4}$ d'heure sur des lames de verre dans une étuve à 56° C, ne déterminèrent pas, inoculées sur des branches saines de cerisier, la maladie de gomme. La couleur grise ou brune des branches de cerisier s'oppose toutefois à ce que les phénomènes d'infection précurseurs de la maladie gommeuse proprement dite, lesquels chez le pêcher surtout sont si distincts, puissent être observés, de sorte que je ne puis dire avec certitude si dans ce cas le *Coryneum* avait été complètement tué ou seulement affaibli; j'incline pour la première alternative.

Dans la pathologie végétale, c'est encore une question controversée que de savoir si des plantes nourricières déterminées peuvent, ou non, posséder une prédisposition aux maladies parasitaires. M. Hartig et M. Frank ne l'admettent pas, M. Sorauer ¹⁾ au contraire en est pleinement convaincu.

Que tous les arbres de la même espèce et de la même variété n'offrent pas également prise à la maladie de gomme, c'est un fait certain; on ne sait pas au juste quelle est la source de cette différence, mais la cause occasionnelle directe est naturellement une inégalité du pouvoir de résistance. Or celle-ci revient, je crois, à une inégalité dans la force constitutionnelle du proto-

¹⁾ *Bot. Jahresbericht*, VI (1878), 2^e Abth., 1882, p.4171.

plasma des différents individus, — et l'existence réelle d'une pareille inégalité a été mise hors de doute par les nombreux faits rassemblés par Darwin ¹⁾. On ne saurait donc guère constater aujourd'hui la possibilité d'une prédisposition pour des maladies déterminées, due à la „constitution plus ou moins faible” d'individus végétaux déterminés.

A quel point les cultivateurs et botanistes anglais sont convaincus d'une prédisposition de la Pomme de terre pour la maladie de cette plante, indépendamment de l'influence des conditions de culture, c'est ce que montre le passage suivant ²⁾: „Les déclarations des cultivateurs mènent à la conclusion que chaque espèce, obtenue de semis, a besoin de quatre à six ans pour arriver à la fixité, que souvent alors elle est sans valeur, mais que, si elle fournit une pomme de terre de bonne qualité, celle-ci s'améliore de plus en plus par la culture. Au bout de quelque temps, toutefois, disparaît toute immunité relative qu'initialement elle aurait pu avoir pour la maladie. Tous les témoins ont vanté le grand pouvoir de résistance à la maladie qu'a jusqu'ici manifesté la pomme de terre Champion, mais ils ont prévenu la Commission que la Champion aussi succomberait sans doute à son tour”.

Selon les praticiens anglais, la pomme de terre Champion, après s'être „suffisamment éloignée de la semence”, acquerra donc une prédisposition à la maladie. — On pourrait demander, avec quelque raison, si le *Phytophthora infestans*, qui lui aussi se reproduit continuellement par voie asexuelle, ne doit pas subir un changement analogue à celui de la pomme de terre Champion? Peut-être cela a-t-il effectivement lieu, mais avec une vitesse différente et dans une direction un peu différente; il est certain,

2) *The Variation of Animals and Plants under Domestication*, 2^e éd., 1875, t. II, Ch. XXIII et XXIV. *Cross and Selffertilization of Plants*, Londres, 1876.

1) Rapport présenté par une Commission parlementaire d'enquête, en Angleterre, au sujet de la maladie de la pomme de terre et des moyens de la combattre, p. 6, 9 juill. 1880.

au moins, que dans les dernières années humides la maladie a été beaucoup moins intense qu'on n'aurait pu l'attendre d'après l'expérience antérieure. Mais la manière de vivre du *Phytophthora infestans* n'est pas encore élucidée dans toutes ses particularités, de sorte qu'il serait hasardé d'émettre à cet égard des conjectures déterminées.

Expériences d'inoculation avec différentes substances.

Les changements remarquables qui s'observent lorsque la gomme attaque les branches des Amygdalées sont de nature telle qu'on ne s'attendrait certainement pas, si cela n'avait été mis en évidence par les expériences ci-dessus décrites, à ce qu'ils puissent être provoqués par le mycélium d'un Champignon. J'ai donc jugé nécessaire de m'assurer, par des expériences spéciales, si des corps étrangers, autres que des fragments de gomme avec spores de *Coryneum*, pourraient également occasionner, par inoculation, la maladie gommeuse. A cet effet, j'ai employé en premier lieu de petits morceaux de bois de pêcher enlevés à des branches saines, et je les ai glissés sous l'écorce de pêchers et de cerisiers. En second lieu, j'ai opéré avec des fragments de bois mort de pêcher, où au microscope je n'avais pas rencontré de filaments mycéliens, et j'ai introduit ces fragments dans de jeunes branches de pêcher. En troisième lieu, j'ai inoculé de jeunes branches de cerisier et de pêcher avec le cambium gommeux et le phloème gommeux d'un cerisier, où l'examen microscopique ne m'avait pas non plus fait découvrir des filaments de mycélium. Toutes ces expériences furent exécutées en avril 1882; aucune d'elles n'a entraîné la maladie de gomme. Il est inutile d'insister sur celles qui ont eu lieu avec des objets morts, elles sont assez explicites; mais quelques remarques doivent être faites au sujet des inoculations avec des tissus affectés de gomme. Les expériences de cette sorte me paraissent avoir de l'intérêt, en ce qu'elles fournissent la preuve que le contact d'un tissu sain avec un tissu malade ne suffit

pas, à lui seul, pour que le premier contracte la maladie de gomme; dans l'appréciation de ce résultat, il ne faut toutefois pas perdre de vue que le tissu malade, employé pour l'inoculation, a dû mourir très promptement. On ne peut donc rien en conclure quant à la question de savoir si les tissus malades, dans la plante vivante, possèdent ou non la propriété de sécréter une matière morbifique liquide, qui s'infiltré dans les tissus sains et leur communique la maladie. Je crois que, pour résoudre cette question, il n'y aurait d'autre moyen que de prendre des rameaux fortement atteints de la gomme, mais ne contenant pas de mycélium de *Coryneum*, — en tant que j'ose me fier à l'exactitude de mes propres recherches microscopiques, de pareils rameaux peuvent réellement être trouvés, — et de les greffer sur un substratum sain. Si ce substratum devenait malade de la gomme, on pourrait inférer sûrement qu'une matière morbifique y a pénétré, probablement à l'état liquide. Le mycélium de *Coryneum* ne serait alors évidemment pas impliqué, d'une manière directe, dans le phénomène. Les grandes difficultés attachées à ce mode opératoire ¹⁾ m'ont jusqu'ici retenu d'en faire l'essai, bien que j'incline à croire qu'on réussirait effectivement à transmettre ainsi la maladie à un sujet sain, et il ne me semble pas inadmissible que le parenchyme malade, — par exemple, dans la formation des canaux gommifères, — soit susceptible de s'étendre par suite d'une action contagieuse des cellules malades sur les cellules saines.

Dans les inoculations dont nous venons de parler, il a été fait usage de matières mortes, ou de tissus qui certainement sont morts très peu de temps après l'institution de l'expérience. Il reste donc à savoir si la présence, sous l'écorce, de n'importe quels organismes étrangers vivants produit, en général, la maladie de gomme. Assurément, par toutes sortes de raisons,

¹⁾ Décider si un rameau malade contient ou non du mycélium de *Coryneum* ne paraît guère possible autrement que par la destruction complète du rameau, et, même alors, il est difficile d'arriver à une certitude parfaite. Les caractères extérieurs sont, sous ce rapport, très trompeurs.

cela était improbable à priori; mais, en outre, des expériences directes m'ont appris que le *Cladosporium herbarum*, — emprunté d'abord à des chaumes de blé attaqués de la „carie”, ensuite à des feuilles d'avoine mourantes, — est complètement inactif dans l'écorce du pêcher. J'ai choisi ce Champignon parce que le *Coryneum* peut se présenter à l'état de *Cladosporium*. — M. Drawiel ¹⁾, de son côté, a inoculé des branches de cerisier avec le *Polyporus igniarius*, dans le dessein de provoquer la maladie de gomme; cette expérience aussi est restée sans résultat. Finalement, je mentionnerai encore l'expérience suivante.

Lorsque j'eus reconnu que l'activité de la gomme dépend de la présence d'un organisme vivant, mon attention ne se porta pas d'abord sur le *Coryneum*, mais sur une petite moisissure blanche, une espèce de *Fusisporium*, à ce que je crois, qui sort sous la forme de coussinets blancs de l'écorce de branches malades d'Amygdalées quand ces branches sont conservées dans un espace humide, et dont les spores sont très communes dans la gomme, surtout dans celle du prunier. Inoculé, toutefois, ce Gymnomycète se montra complètement inactif.

Pour l'apparition de la maladie de gomme, les propriétés du *Coryneum Beyerinckii* sont donc nécessaires.

L'observation suivante ne paraît pas cadrer tout à fait avec ce que nous avons vu jusqu'ici. En août 1882, j'examinai au microscope, sans pouvoir y découvrir la moindre trace de mycélium, un rameau de pêcher, très fortement attaqué de la gomme et dans lequel, par suite, il s'était formé une multitude de „canaux gommifères”. J'enlevai avec précaution l'écorce, parce qu'il était à craindre que des organismes étrangers, peut-être des spores de *Coryneum*, pussent y adhérer; de cette manière, je retins seulement le petit cylindre ligneux avec les canaux gommifères à sa surface. De ce cylindre j'ai coupé avec un rasoir des lamelles presque assez minces pour servir d'objets

1) *Botanisches Centralblatt*, I, 1880, p. 533.

microscopiques et, en septembre 1882, j'ai inoculé ces lamelles dans une demi-douzaine de plaies faites à des branches de pêcher saines. A ma grande surprise, toutes ces plaies se sont mises à gommer au mois de mai 1883, après avoir présenté en hiver les symptômes précurseurs ordinaires de la maladie de gomme. Comme, dans ce cas, je n'avais aucune raison de croire à une infection spontanée, il me paraît probable que le tissu du rameau avait contenu çà et là des filaments de *Coryneum*, ne se laissant pas distinguer, au microscope, du tissu de la plante.

II. CORYNEUM BEYERINCKII,

LE PARASITE DE LA MALADIE DE GOMME DES AMYGDALÉES.

M. le professeur Oudemans a donné de ce parasite une description exacte ¹⁾, que je reproduis ici, traduite du latin:

„Les pulvinules de *Coryneum* ont un diamètre de $\frac{1}{15}$ — $\frac{1}{20}$ millim. et consistent en un stroma parenchymateux brun clair, duquel s'élèvent, serrées les unes contre les autres, de nombreuses conidies brièvement stipitées, en général quadricellulaires, qui dans l'eau pure ou gommeuse germent promptement. Le premier filament germinatif naît ordinairement de la cellule apicale, puis viennent la deuxième, la troisième et la quatrième cellule, de sorte que souvent on peut trouver quatre filaments germinatifs à chaque conidie. Les filaments germinatifs produisent des cellules à forme de Levûre, qui se séparent l'une de l'autre, ou des filaments mycéliaux bruns à parois épaisses, multicellulaires, dont se détachent, au bout d'un temps plus ou moins long, les conidies bien connues, 2- ou 3-cellulaires, du *Cladosporium* et aussi parfois des conidies de *Macrosporium*, plus grosses et plus ou moins distinctement muriformes. La formation du *Coryneum* ne paraît pas avoir lieu sur les filaments germinatifs immergés dans l'eau.

1) *Hedwigia*, 5 Sept. 1883, N^o. 8.

„Les pédicelles des conidies de *Coryneum* sont ordinairement aussi longs que les conidies elles-mêmes (21—32 μ), larges de 2—3 μ , incolores, unicellulaires, cylindriques ou un peu renflés par le bas. Rarement ils sont allongés et alors divisés par plusieurs cloisons. Parfois, ces pédicelles s'accolent entre eux.

„Les conidies sont en forme de barillet étroit, ou oblongues-ovées, longues de 28—32 μ , larges de 11—13 μ dans la partie la plus épaisse, et ordinairement partagées par 3 cloisons en 4 cellules. Les cloisons sont à peu près également espacées, ou bien les deux cloisons extrêmes se rapprochent des pôles, d'où résultent, dans le premier cas, quatre cellules égales, dans le second, deux cellules moyennes plus grandes et deux cellules extrêmes plus petites. La couleur des cellules est ou bien la même chez toutes, olivâtre clair, ou bien elle est plus pâle chez les cellules supérieure et inférieure. Au niveau des cloisons, il y a des étranglements peu profonds. Dans les pulvinules on voit çà et là des conidies à 2, 3 et 5 cellules, et partout de jeunes cellules-mères de conidies, non cloisonnées.

„Tout autour des petits amas de *Coryneum* se trouvent des plantules imparfaitement développées, soudées latéralement entre elles et dont l'ensemble forme une espèce de petite coupe. Les paraphyses manquent.”

Comme il est avéré que plusieurs espèces de *Coryneum* sont des états conidiens de Pyrénomycètes, — telle est, par exemple, la relation entre le *Coryneum disciforme* et le *Melanconis lanciformis*, qui se trouvent tous les deux sur les branches sèches du bouleau, — on peut admettre qu'il en est de même, ou qu'il en a été de même phylogénétiquement, pour les autres espèces de *Coryneum*. Les fruits ascoides du *C. Beyerinckii* ayant échappé jusqu'ici à toutes les recherches, il se peut donc, ou bien que ce degré de développement n'apparaisse que rarement, dans des conditions spéciales et encore inconnues, ou bien que les dernières traces en aient disparu, tandis que les ancêtres de la plante possédèrent un jour des asques.

Les Corynéacés sont rapportés au groupe artificiel des Gymno-

mycètes de Fries. Les Gymnomycètes sont caractérisés d'une manière générale par un stroma parenchymateux, dont toute la surface, ou seulement la face supérieure, donne naissance, sur des filaments simples ou ramifiés, à des conidies isolées ou unies en chapelets. Les Corynéacés portent directement sur le stroma celluleux les conidies sessiles; parfois, une cellule pédicellaire, d'une forme un peu différenciée, constitue le passage entre le stroma et les spores. Dans le genre *Coryneum*, le stroma perce sous la forme de coussinet l'écorce de branches mortes ou vivantes; il est de couleur brune et porte des spores également colorées en brun foncé ou en brun-grisâtre, pédicellées ou sessiles.

Le *Coryneum Beyerinckii* (*a*, fig. 1, Pl. II) possède, ainsi qu'il a été dit ci-dessus, des spores conidiennes quadricellulaires, claviformes, brunes, à parois épaisses, ayant de 28—32 et même jusqu'à 40 μ de longueur; chacune des quatre cellules germe très rapidement dans la gomme, dans l'eau sucrée ou sous l'écorce du pêcher, et émet alors des filaments multicellulaires, brun clair, riches en protoplasma (fig. 2). En *a*, fig. 1, on voit trois de ces spores déjà en germination, quoique encore unies au stroma. Les filaments germinatifs se développent dans la gomme en un mycélium brun clair, qui produit, surtout dans la gomme du pêcher-amandier et du prunier, beaucoup de conidies de *Cladosporium*, bi- ou tricellulaires, lesquelles peuvent de même germer directement. Les stromas chargés de conidies sont situés, dans le cas d'infection artificielle, au bord des plaies gommeuses, sous la gomme, à la surface de l'écorce et spécialement sur le callus traumatique qui s'est formé à la suite de la lésion. C'est en mai et juin qu'on trouve les plus beaux pulvins, et c'est aussi dans ces mois que les branches auxquelles on a inoculé des spores commencent le plus vite à excréter de la gomme.

Le mycélium végétatif de ce Champignon peut se présenter sous des formes très diverses; selon toute probabilité, ces formes dépendent de la nature et de la quantité des aliments disponibles, de l'accès plus ou moins facile de l'oxygène, de l'âge

du parasite et de la saison. Outre le mycélium normal, à parois minces, brun clair ou incolore, multicellulaire, qui vit en parasite dans l'écorce vivante des Amygdalées et dans la gomme riche en matières nutritives, les principales formes de mycélium sont les suivantes. D'abord *l'état de Fumago* (*c*, fig. 1, Pl. II). C'est un mycélium à parois épaisses, pseudo-parenchymateux, brun foncé, ressemblant au stroma conidifère, et qu'on trouve tout l'été dans les plaies gommeuses. Chacune de ses cellules est apte à la division et peut ainsi se développer en un filament cellulaire. Dans des circonstances déterminées, ces filaments cellulaires peuvent devenir très déliés et à parois très minces, ils perdent alors en même temps leur couleur et prennent l'aspect de fins filaments de moisissure; de pareils filaments minces sont très sujets à la métamorphose en gomme. Dans d'autres cas, les cellules qui naissent de la division du mycélium fumagiforme acquièrent, à la vérité, des parois minces, mais elles ne s'allongent pas, et au bout de quelque temps on les voit se désagréger et passer ainsi à l'état de levûre. Tout cela est indiqué en *c*, fig. 1.

En *e*, fig. 1, est représenté un passage entre le mycélium normal et la forme fumagienne, auquel on peut appliquer avec quelque droit le nom d'*état de Chroolepus*. Chaque cellule est à parois épaisses et renferme un, deux ou plusieurs corps transparents, qui ressemblent un peu à des gouttelettes de graisse et sont probablement analogues aux inclusions que M. F. Schmitz, chez d'autres plantes inférieures, a nommées „pyrénoïdes”; les cellules sont souvent unies deux à deux, de manière qu'aucune séparation nette ne se distingue plus dans la cloison entre les deux cellules de chaque couple. Parfois on voit germer les cellules, qui alors ou bien se développent en filaments mycéliaux, ou bien, comme le montre la fig. 1, *e*, produisent des sporidies à forme mycodermique, lesquelles sont susceptibles de se multiplier directement, par voie de bourgeonnement; ces sporidies aussi peuvent être envisagées comme un état de levûre du mycélium.

Dans ce qui précède, nous avons déjà appris à connaître deux origines différentes de la troisième forme que peut prendre le mycélium du *Coryneum*, la *forme de levûre*. En *d*, fig. 1, est représentée la levûre de *Coryneum*, telle qu'on la rencontre, surtout en hiver, sur les tissus vivants de branches de pêcher, dans les plaies gommipares; on voit aussi, dans cette figure, un filament mycélien à parois très minces, qui se désagrège en cellules de levûre. C'est à M. A. de Bary ¹⁾ qu'est proprement due la découverte du fait que les Champignons supérieurs peuvent produire, lors de leur germination, des proliférations en forme de levûre (*hefeartige Sprossungen*). M. W. Zopf, dans un remarquable Mémoire, *Die Conidienfrüchte von Fumago* ²⁾, a montré que la levûre de *Fumago* peut passer directement à l'état de Mycoderme. En étudiant le *Fumago salicina*, il a observé que la formation des bourgeons a toujours lieu aux extrémités de l'axe longitudinal des cellules, de sorte que le système entier, supposé à l'état de liaison, représente un filament cellulaire simple ou ramifié; il dit, en outre, que les cellules, après de fréquentes ramifications, deviennent de plus en plus petites. Dernièrement, M. O. Brefeld ³⁾ a constaté que les sporidies qui prennent naissance dans la germination des Ustilaginées peuvent se multiplier indéfiniment, tout comme les cellules du *Saccharomyces*.

Il n'est pas douteux que la faculté de prendre la forme de levûre existe chez une multitude de Champignons; aux nombreuses espèces qu'ont mentionnées les auteurs cités ci-dessus, je puis encore ajouter le *Cladosporium herbarum*, vivant sur les feuilles du maïs, et, d'après les figures de M. H. Bauke ⁴⁾, le

1) *Morphologie und Physiologie der Pilze, Flechten und Myxomyceten*, Leipzig, 1866, p. 181. Voir aussi: Löw, dans les *Jahrbücher* de Pringsheim VI, p. 46.

2) *Nova Acta*, t. XL, 1878, p. 295.

3) *Botanische Untersuchungen über Hefenpilze*, Heft V. *Die Brandpilze*, Leipzig, 1883.

4) *Beiträge zur Kenntniss der Pycnidien*, dans *Nova Acta*, t. 38, p. 443, Dresden, 1876; pl. XXVIII, fig. 12.

Cucurbitaria elongata est très probablement dans le même cas. Quant à une action de ferment, on n'en a d'ailleurs encore rien constaté chez tous ces états, morphologiquement analogues à la levûre de bière, des Champignons supérieurs.

Je dois maintenant mentionner encore une espèce particulière d'organes de fructification, qui se forme de temps en temps chez le *Coryneum Beyerinckii*. Plus haut, nous avons vu que les branches fortement gommeuses du pêcher donnent naissance à des rameaux latéraux, qui peuvent être traversés de canaux gommifères. La fig. 3 montre la coupe horizontale d'un pareil rameau latéral. Les canaux gommifères se trouvent tant dans le bois que dans le phloème et se laissent poursuivre jusqu'au sommet mort du rameau. Tout en jugeant possible que de semblables rameaux aient été, dès leur première origine, infectés de mycélium de *Coryneum*, qui se serait développé avec eux, de même que le *Phytophthora infestans* se développe dans la fane de la Pomme de terre, je dois reconnaître que je n'ai pas toujours été en état, à beaucoup près, de découvrir ce mycélium. L'observation suivante plaide toutefois en faveur de son existence. Il n'est pas rare de voir tôt ou tard apparaître sur ces rameaux malades de petites taches rouge de feu; en ces points, le tissu ne tarde pas à mourir, et il se forme ainsi une petite éminence ou une fossette colorée en gris ou en brun, qui est entourée d'une bordure rouge; sous le tissu nécrosé (*aw*, fig. 3) se trouve une mince couche de liège *kl*. Si l'on examine ces taches au microscope, on y voit au centre un pulvinule de *Coryneum* (*ck*, fig. 3), qui toutefois n'est pas recouvert d'une couche de gomme, et dont les spores (*b*, fig. 1) sont ordinairement portées sur un long pédicelle et unicellulaires; çà et là on trouve pourtant, entre les spores anormales, des spores pluricellulaires plus ou moins normales; le stroma de ces pulvinules est semblable à celui des coussinets formés sous la gomme. Le tout rappelle un peu les *Cladosporium* et *Macrosporium*, mais les sporophores sont beaucoup plus serrés. Je regarde comme probable que cette „forme aérienne” des fruits conidiens du *Coryneum* naît d'un

mycélium caché dans le rameau, et non de spores qui auraient été apportées par le vent, ou de toute autre manière, à la surface du rameau, où elles auraient germé.

J'ai fait beaucoup d'expériences pour arriver à la certitude en ce qui concerne le pouvoir infectant de l'état de fumago et de l'état de levûre, ainsi que des spores aériennes du *Coryneum*. Ces dernières et les cellules de levûre n'ont jamais, dans mes inoculations, donné lieu à des plaies gommeuses, de sorte que je les tiens pour non virulentes. A l'égard de l'état de fumago, je suis resté dans le doute, n'ayant pas réussi à isoler des fragments de gomme, propres à l'inoculation, au sujet desquels je fusse convaincu qu'ils ne contenaient pas de spores de *Coryneum*. Les expériences en question ne peuvent donc pas encore être regardées comme décisives.

III. SYMPTÔMES DE LA MALADIE DE GOMME.

Bien que les phénomènes de la maladie de gomme aient été parfaitement décrits par MM. Trécul, Wigand, Prillieux, Frank et Sorauer, il ne me paraît pas superflu de revenir ici sur quelques-uns des symptômes les plus remarquables, en les considérant au point de vue de la contagiosité du mal, laquelle était ignorée des savants qui viennent d'être nommés. J'ai, en outre, à faire connaître quelques particularités non encore décrites, que je sache, et auxquelles j'ai été rendu attentif en étudiant surtout le pêcher, tandis que mes prédécesseurs avaient porté leur attention principalement sur le cerisier.

La mort comme résultat de l'infection par le Coryneum.

La sensibilité des Amygdalées à l'infection par le *Coryneum* n'est pas la même à toutes les époques de l'année. La formation de la gomme a lieu le *plus rapidement* lorsque l'inoculation est pratiquée aux mois de juin et de juillet: il n'est pas rare alors de voir s'écouler déjà les premières gouttes de gomme au bout

de deux ou trois jours. Cela ne s'applique toutefois qu'au pêcher et à l'abricotier; chez le prunier et le cerisier, il se passe plus de temps avant que l'exsudation de gomme ne commence. Mais les suites les plus graves s'observent quand l'inoculation a lieu en hiver ou au premier printemps. Si l'on emploie alors d'un seul coup une très grande quantité de spores de *Coryneum*, ou si les plaies infectées sont très rapprochées les unes des autres, la branche entière meurt, parfois en quelques semaines. Souvent une seule plaie, où l'on a introduit de la gomme, suffit pour faire périr une branche; lorsque celle-ci n'est pas très grosse, il peut aisément arriver que d'abord l'écorce, à partir de la plaie, meure tout autour de la branche, après quoi le bois meurt bientôt à son tour: la partie supérieure, non infectée, de la branche ne tarde alors pas à se dessécher, par suite du manque d'eau. Cette mortification de branches, sous l'influence du *Coryneum*, a été observée chez toutes les Amygdalées sur lesquelles j'ai expérimenté.

Si des branches coupées sont placées dans une enceinte humide, et qu'on observe attentivement les phénomènes succédant à l'inoculation, on voit d'abord, à partir du point infecté, s'étendre dans tous les sens une coloration brune, laquelle doit sans aucun doute être attribuée à un liquide qui imbibe les tissus et qui me semble ne pouvoir provenir que du mycélium du *Coryneum*. Il ne saurait être question ici d'une action directe du mycélium, car la coloration en brun s'observe dans toutes les cellules, et les filaments mycéliaux manquent alors encore complètement dans le tissu qui change de couleur, ou bien ils commencent seulement à y pénétrer.

Pour beaucoup d'autres maladies parasitaires des plantes on est arrivé à une conclusion analogue, et M. R. Hartig applique aux matières sécrétées par les parasites le nom de ferments. „Les actions”, dit-il ¹⁾, „que les parasites exercent sur les tissus des plantes nourricières, ne se laissent expliquer qu'en admettant

1) *Lehrbuch der Baumkrankheiten*, Berlin, 1882, p. 37.

pour chaque espèce de Champignon l'existence d'un ferment particulier, qui, formé dans le plasma fongique, est excrété par les hyphes et se communique aux cellules voisines".

Les branches mortifiées ne présentent aucune trace de formation de gomme, de sorte que cette formation est en rapport avec l'état vivant des organismes impliqués.

Quand l'infection artificielle avec de la gomme est pratiquée sur des troncs épais, — j'ai expérimenté, au mois de mars, sur des pruniers qui avaient atteint la grosseur du bras, — le ferment ne peut pas s'étendre tout autour du tronc et la mortification des tissus reste localisée; comme, au point infecté, l'accroissement en épaisseur s'arrête, un aplatissement s'y produit dans le cours de l'été; l'écorce, mortifiée en cet endroit, se détache et tombe plus tard. Même à la suite d'une infection légère, j'ai toujours vu mourir des parties de tissu plus ou moins étendues. Après cela, la formation de la gomme s'effectue, en général, au bord de la partie nécrosée.

En juillet 1882, j'ai insinué des parcelles de gomme de *Coryneum* dans des *pétioles* de cerisier. La plupart des feuilles commencèrent par se flétrir, mais cela peut avoir été l'effet de la lésion des faisceaux ligneux. Plus tard, une coloration brune s'étendit, à partir du point infecté, sur le pétiole et sur le limbe, évidemment par suite de l'action zymotique du *Coryneum*; en même temps, un grand nombre de ces feuilles tombèrent, après être devenues rouges dans les parties qui ne s'étaient pas colorées en brun. Finalement, toutes les feuilles sont tombées, en présentant les mêmes phénomènes, sans la moindre trace de formation de gomme.

Tout autre fut le résultat chez les feuilles d'abricotier, aux pétioles desquelles j'inoculai le *Coryneum* à la fin du mois de mai 1881. A la vérité, une légère coloration brune apparut au voisinage de la plaie, mais cette coloration resta localisée, et plus tard commença la production de gomme, de la même manière que dans les branches d'abricotier.

C'est ici le lieu de mentionner que des feuilles de pêcher, qui

ont été longtemps collées à des plaies gommeuses, deviennent ordinairement brunes et finissent par mourir.

*Phénomènes extérieurs de la maladie de gomme
chez le pêcher.*

La couleur verte de l'écorce de ses branches rend le pêcher spécialement propre aux observations concernant la maladie de gomme.

Quand on introduit des spores de *Coryneum*, ou de la gomme à *Coryneum*, sous l'écorce verte de branches de pêcher âgées d'un an, on voit, comme premier symptôme de la maladie de gomme, apparaître une magnifique couleur rouge au voisinage immédiat du point infecté; ce phénomène tient à la formation d'un pigment rouge dans une ou plusieurs des trois assises de cellules collenchymateuses de l'écorce, qui se trouvent sous l'épiderme, en contact avec lui. Les cellules colorées en rouge meurent ordinairement au bout de peu de temps. Dans quelques cas, j'ai même observé cette rubéfaction, après l'inoculation du *Coryneum*, sur des branches de *Rosa canina*, mais, le plus souvent, l'influence infectante du *Coryneum* reste bornée, chez cet arbuste, à une coloration en brun, suivie de la mortification du bord de la plaie. Dernièrement, j'ai vu les jeunes scions verts du *Prunus Laurocerasus* devenir également d'un beau rouge autour des points infectés. Je dois ajouter que la coloration ne s'est manifestée distinctement que sous l'influence de la lumière, et qu'elle a toujours manqué dans les expériences faites en chambre, sur des branches coupées.

Le phénomène de la rubéfaction des branches de pêcher, avant le début de la maladie de gomme, est si frappant que, une fois l'attention éveillée, on peut aussi l'observer très facilement lors de l'infection spontanée, chez les arbres abandonnés à eux-mêmes. Des milliers de petites taches rouge carmin se voient souvent sur les branches vertes de pêcheurs atteints de la maladie de gomme. Au microscope, on trouve habituellement au centre de ces taches quelques filaments mycéliaux ou un

pulvinule rudimentaire de *Coryneum* (c k, fig. 3), semblable à la forme aérienne, ci-dessus décrite, des fruits conidiens qui se rencontrent sur les rameaux fortement malades de la gomme. Si toutes ces taches ne finissent pas par sécréter de la gomme (quelques-unes le font), cela tient à ce que sous le tissu attaqué par le *Coryneum* il se forme une petite couche de liège, d'où il résulte qu'ordinairement la petite tache meurt en entier et se détache de l'écorce, entraînant le *Coryneum*. Le ferment de *Coryneum* ne paraît pas attaquer le tissu subéreux, et c'est un fait bien connu que jamais le périoderme des Amygdalées ne donne naissance à de la gomme; il ne paraît pas non plus que le mycélium soit en état de transpercer la petite couche de liège.

La rubéfaction des branches de pêcher, en cas de maladie de gomme, étant très apparente, je m'attendais à la trouver mentionnée dans les écrits spéciaux. Je n'ai toutefois rencontré à ce sujet qu'une seule observation, qui ne se distingue pas précisément par la clarté. Elle est due à M. C. F. W. Jessen ¹⁾ et a été communiquée par lui, sous le titre „*Rotheln* (rouge)”, dans les termes suivants: „De nombreuses observations m'ont convaincu que la maladie n'est autre chose que le flux gommeux”. On ne doit pas oublier, d'ailleurs, qu'il existe chez le pêcher une maladie du „rouge”, qui n'a rien à faire avec la maladie de la gomme. Il n'est peut-être pas superflu de donner ici une courte description de cette maladie, et je ne puis mieux faire que d'en emprunter les termes à M. A. Du Breuil ²⁾: „Le rouge est une maladie exclusivement propre au pêcher. Quelques variétés, notamment le *royal* et l'*admirable jaune*, y sont plus exposées que les autres. Les arbres qui en sont atteints présentent des rameaux qui se colorent d'abord en rouge vif, et bientôt en rouge foncé. Dès que cet accident se manifeste, la végétation s'arrête tout d'un coup et les arbres meurent presque instantanément, surtout lorsque la maladie apparaît au moment

1) *Verhandlungen der K. Leop. Car. Akad. der Naturf.*, t. XXV, Bonn, 1855.

2) *Cours d'arboriculture*, 7^e éd., partie II, Paris 1876, p. 453.

où ils sont chargés de fruits. Quelquefois cependant, ils languissent pendant une année ou deux; mais alors les fruits ne sont pas mangeables. On ne connaît aucun remède à cette maladie, dont on ignore jusqu'à présent la cause; aussi convient-il de remplacer immédiatement les arbres attaqués, sans chercher à vouloir les guérir". Le pêcher est un arbre qui par des causes très diverses, devant être considérées comme des conditions défavorables pour la vie des tissus ou des organes, montre une grande tendance à devenir rouge, même jusque dans le bois. C'est ainsi, par exemple, que M. Sorauer dit ¹⁾: „Les pêchers greffés sur prunier croissent mal, leur bois se colore en rouge et bientôt ils dépérissent". Il n'y a donc guère lieu d'être surpris que cette coloration en rouge se produise aussi sous l'influence de l'infection par le *Coryneum*.

Après cette digression, je reprends la description des symptômes extérieurs de la maladie de gomme.

Une particularité qui se remarque surtout aux branches en apparence saines, de deux ans ou plus, d'arbres fortement atteints de la gomme, c'est l'augmentation en grandeur et aussi, à ce que je crois, en nombre des lenticelles. La cause de cette augmentation ne m'est pas apparue très clairement. Il ne saurait être question de la présence du mycélium du *Coryneum* sur toute la longueur de pareilles branches, et le phénomène ne peut probablement être attribué non plus au ferment du *Coryneum*, car, si ce ferment était en jeu, on devrait s'attendre à ce que la production de gomme, au lieu de rester bornée à un petit nombre de points, présentât un caractère plus général et s'étendît à tous les tissus vivants. Il serait concevable, pourtant, que le ferment de *Coryneum*, après avoir pénétré dans le protoplasma des cellules du pêcher, passât à un état latent, qu'il fit ainsi subir aux tissus un changement léger, et que plus tard seulement, dans des circonstances particulières, il provoquât la formation de gomme, ou même que cette formation fit com-

1) *Botanischer Jahresbericht*, VII, 1879, p. 367.

plètement défaut. Les tissus ainsi modifiés devraient alors, aussi dans la genèse des lenticelles, s'écarter un peu de la règle normale.

Les jeunes rameaux verts appartenant à des branches fortement gommeuses ne possèdent pas encore de lenticelles, et ressemblent sous ce rapport aux rameaux parfaitement sains du même âge. C'est un fait bien connu que ces jeunes rameaux peuvent recevoir la maladie des branches-mères qui les portent, et je me figure, ou bien que, dès leur origine, le mycélium du *Coryneum* s'est développé avec eux et a pénétré leurs tissus en une foule de points, — de même que le mycélium du *Tilletia* et de l'*Ustilago* croît et s'élève avec le chaume du blé, — ou bien que, dès le premier moment, le ferment du *Coryneum* s'y est répandu de l'une ou l'autre manière. Dans quelques cas la première de ces hypothèses est la plus probable, dans d'autres, la seconde. A l'intérieur de ces rameaux on trouve ordinairement quelques vrais canaux gommifères, les uns dans le bois (*g k*, fig. 3), les autres dans le liber mou (*g p*). La surface des rameaux présente çà et là, comme nous l'avons déjà dit, de petites taches rouge de feu, dont le centre est occupé par une petite portion mortifiée et grisâtre de l'écorce, sur laquelle s'élève un pulvinule plus ou moins rudimentaire de *Coryneum*, semblable à un *Cladosporium* (*c k*, fig. 3). Les sommets de ces rameaux meurent ordinairement de bonne heure en été, et la mortification s'étend de haut en bas sur le rameau, dont le sommet devient noir. Dans les feuilles portées par de semblables rameaux se forment généralement un grand nombre de petites taches brunes, qui plus tard se changent en trous. Tous ces phénomènes s'expliquent le mieux, à ce qu'il me semble, en admettant que partout se trouve du mycélium de *Coryneum* ou du ferment de *Coryneum*. Dans l'écorce des rameaux, j'ai parfois, au microscope, observé directement ce mycélium, mais assez souvent aussi je l'ai cherché inutilement; à l'intérieur du rameau, je n'ai jamais pu trouver de mycélium.

Anatomie de la formation de la gomme.

Le phénomène le plus important, celui qui mérite d'être signalé en premier lieu, est la formation du parenchyme ligneux pathologique, qui plus tard se résout en gomme. Les cellules dont ce parenchyme se compose sont cubiques ou polyédriques, à minces parois et riches en protoplasma. M. A. Trécul avait déjà vu ce tissu ¹⁾, mais ne l'avait pas très bien décrit. Une description exacte en a été donnée par M. E. Prillieux, qui dit ²⁾: „Il se forme donc ainsi, dans chaque point où va se développer un foyer de gomme, un tissu particulier (parenchyme ligneux) qui n'existe pas dans les tiges saines, et dont l'apparition est si intimement liée à la formation morbide de la gomme, qu'on doit le considérer comme un tissu pathologique". Dans une communication postérieure ³⁾, M. Prillieux est entré dans de nouveaux détails à ce sujet. M. A. Wigand dit que ces cordons de parenchyme ne se continuent pas sans interruption dans les branches du cerisier, mais qu'ils sont coupés de distance en distance par les rayons médullaires et, de cette manière, divisés en étages ⁴⁾. Dans les branches du pêcher, je n'ai rien observé de cette division; j'y ai trouvé de longs cordons parenchymateux continus et des canaux gommifères. MM. Wigand et Frank ont remarqué que les cellules de ces cordons affectent une disposition rayonnée par rapport au centre, et même M. Trécul semble déjà avoir aperçu cette disposition; il ne me paraît pas impossible qu'elle soit l'indice d'une origine commune pour ces cellules, lesquelles seraient nées d'une seule ou d'un petit nombre

¹⁾ *Maladie de gomme chez les cerisiers, les pruniers, les abricotiers, les amandiers*, dans *Comptes rendus*, 1860, t. II, p. 621.

²⁾ *Etude sur la formation de la gomme dans les arbres fruitiers*, dans *Comptes rendus*, 1864, p. 135.

³⁾ *La production de gomme dans les arbres fruitiers considérée comme phénomène pathologique*, dans *Comptes rendus*, 1874, p. 1190.

⁴⁾ *Ueber die Deorganisation der Pflanzenzellen, insbesondere über die physiologische Bedeutung von Gummi und Harz*, dans Pringsheim, *Jahrbücher*, III, 1863, p. 132.

de cellules primitives. M. Frank décrit les cordons en question de la manière suivante ¹⁾ : „Le parenchyme ligneux gommipare est disposé en cordons à section transversale arrondie, qui généralement sont limités aux deux côtés par des rayons médullaires, en avant et en arrière par des tissus normaux du corps ligneux, et qui d'ordinaire se trouvent juxtaposés au nombre de plusieurs dans une couche annuelle. Fréquemment, les cellules centrales de pareils groupes sont notablement plus grandes que les cellules ambiantes, lesquelles par suite sont plus ou moins aplaties et disposées concentriquement autour du centre, de manière à donner à l'ensemble du groupe une forme exactement circulaire. Par suite de la multiplication plus rapide, en ce point, des cellules de la couche cambiale, et du développement prépondérant des cellules centrales, il arrive ordinairement qu'un semblable groupe, à peine formé, s'avance par sa couche cambiale, sous forme d'arc, dans le liber”. — Je dois encore mentionner ici que les canaux gommifères, chez le pêcher, se rencontrent moins souvent dans le bois des rameaux (*g k*, fig. 3) que dans le liber mou (*g p*, fig. 3), de sorte que la fig. 3 représente, sous ce rapport, un cas exceptionnel.

D'après MM. Wigand et Frank, la formation de la gomme, dans les cordons, procède du centre et attaque d'abord les membranes primaires, ce qui indique, me semble-t-il, une action de ferment; lorsque la gomme se forme aux dépens de parois vasculaires, c'est au contraire la membrane secondaire qui est atteinte la première (Frank), probablement parce que le ferment gommipare déborde dans la cavité du vaisseau. Quant à l'assertion de M. Frank ²⁾, qu'il peut se former dans les vaisseaux tant de gomme, „que nous devons admettre, avec M. Karsten, non seulement la transformation en gomme de la membrane cellulaire, mais aussi, simultanément, l'assimilation de nouvelle gomme, puisée dans le suc nourricier”, je me l'explique en

1) *Ueber die anatomische Bedeutung und die Entstehung der vegetabilischen Schleime*, dans Pringsheim, *Jahrbücher*, V, 1866—67, p. 161.

2) *l.c.* p. 192.

supposant que, dans les cas en question, ou bien de la gomme du dehors a coulé dans le vaisseau, ou bien des filaments de *Coryneum* se sont transformés directement en gomme. Sur ce dernier point je reviendrai ci-dessous. — La disparition de la fécule, dans les tissus gommipares, est un fait certain; mais qu'elle puisse avoir lieu, comme le veut M. Frank, sans changement notable de forme, j'en doute, n'ayant jamais pu l'observer directement. Après avoir malaxé de la fécule de pomme de terre avec de la gomme de pêcher infectée de *Coryneum*, j'ai abandonné ce mélange à lui-même dans une enceinte humide; au bout de trois jours, le volume de la gomme avait notablement augmenté et au microscope on pouvait reconnaître que beaucoup de grains de fécule étaient fortement gonflés, mais une transformation complète en gomme n'a pas eu lieu. Dans de la gomme de cerisier, qui était pauvre en *Coryneum*, j'ai rencontré des grains de fécule non altérés. M. Mercadante ¹⁾ dit qu'il a vu la gomme se former sur la paroi de la cellule, tandis qu'en un autre point la fécule disparaissait dans le protoplasma. Au voisinage des canaux gommifères des branches de pêcher, beaucoup de cellules, sur le point de subir la métamorphose en gomme, laissent voir dans leur protoplasma la formation d'un corps jaunâtre, un peu translucide, qui ressemble ordinairement à un grain de fécule irrégulier, mais assez souvent aussi présente une forme botryoïde, et qui plus tard, quand toute la cellule se dissout, éprouve également une liquéfaction complète, en se changeant en gomme.

Dès que les cordons parenchymateux sont fondus en gomme, totalement ou partiellement, certaines cellules, situées dans la gomme ou à sa limite extérieure, commencent à croître et à se diviser activement, et à former ainsi de petits filaments cellulaires ramifiés, dendritiques (*c d*, fig. 4 *b*, Pl. III), qui ressemblent un peu au *Chroolepus* ²⁾. M. Wigand est le premier qui ait fait mention de ce fait; il dit que ces cellules contiennent

¹⁾ *Botanischer Jahresbericht*, IV, 1876, p. 916.

²⁾ B. Frank, *Die Krankheiten der Pflanzen*, t. I, 1880, p. 89, fig. 12.

de la fécule et des gouttelettes d'huile, mais, à mon avis, les gouttelettes rondes consistent en gomme. J'ai soumis ces proliférations cellulaires, qui se trouvent dans les canaux gommifères des branches de pêcher, dans les canaux gommifères des fruits du pêcher-amandier (*g p*, fig. 4 *b*) et dans les cavités à gomme des branches de cerisier, à une étude attentive, parce que l'idée se présentait assez naturellement que le mycélium du *Coryneum*, après s'être changé en pseudo-parenchyme, pouvait prendre cette forme. Mais chaque nouvel examen m'a ramené à la conviction que les filaments cellulaires doivent appartenir à la plante nourricière; telle est aussi l'opinion de M. Wigand et de M. Frank. Finalement, il y a encore à mentionner que le parenchyme ligneux pathologique naît souvent, aux dépens du cambium, sur tous les points à la fois d'une surface considérable, sous la forme d'un large ruban. Cela peut avoir lieu, paraît-il, chez toutes les Amygdalées. Aucun fait n'est plus propre à réfuter l'hypothèse que les faisceaux décrits seraient des „rhizomorphes pseudo-parenchymateux de *Coryneum*”, hypothèse qui au premier abord, quand on apprend que la maladie de gomme est contagieuse, semble très plausible.

Tout le monde sait que ce ne sont pas seulement les branches des Amygdalées qui peuvent être attaquées par la gomme, mais aussi leurs fruits, en particulier les prunes. M. Kützing a donné une figure de cette gomme ¹⁾. Les nombreuses bulles dont est criblée la gomme de prunier se trouvent aussi bien dans la gomme du fruit que dans celle des branches; chez les autres Amygdalées, je ne les ai pas vues. Le pêcher-amandier paraît être extrêmement sujet à cette forme de la maladie de gomme: dans le jardin de l'École d'agriculture de Wageningen, il y a un arbre de cette espèce, dont presque tous les fruits ont leur chair traversée d'innombrables canaux gommifères. En étudiant l'arrangement et la situation de ces canaux gommifères (*g p*, fig. 4 *a*), on reconnaît qu'ils suivent le cours des faisceaux

1) *Grundzüge der philosophischen Botanik*, Leipzig, 1851, p. 206, pl. III, fig. 1.

vasculaires et que chaque canal naît de la liquéfaction complète ou partielle d'un faisceau de phloème (*ph*); les faisceaux de xylème (*xl*) restent tout à fait intacts. Les faisceaux vasculaires situés au voisinage immédiat du noyau (fig. 4 *a*) sont moins atteints que ceux qui sont plus rapprochés de la périphérie. Dans les canaux gommifères (*gp*, fig. 4 *b*), il n'est pas difficile de trouver les filaments cellulaires (*cd*) dont il a été parlé plus haut; ils procèdent des cellules du phloème qui n'ont pas encore subi de changements notables. Bien que j'aie examiné avec le plus grand soin le tissu d'un fruit malade de pêcher-amandier, je n'ai pu y découvrir de mycélium de *Coryneum*. Par contre, dans la gomme qui après la chute des fruits non mûrs ne tarde pas à découler de leurs pédicelles, abondent les diverses formes de mycélium et de levûre qui sont caractéristiques pour le *Coryneum Beyerinckii*.

En introduisant de petites fragments de gomme à *Coryneum* dans de jeunes abricots, je n'ai pu communiquer la maladie à ces fruits; ils ont continué à se développer normalement. De jeunes prunes, traitées de la même façon, sont au contraire tombées peu de temps après, mais sans sécréter de la gomme.

Physiologie de la formation de la gomme.

*La gomme naît en partie aux dépens du mycélium
même du Coryneum.*

Nous devons maintenant nous poser la question de savoir comment on peut s'expliquer la production du parenchyme pathologique.

Tout ce qui précède étant pris en considération, je crois que dans cette production le ferment du *Coryneum* joue le rôle principal. Ce ferment peut être absorbé par le protoplasma des cellules cambiales; du moment que cela a eu lieu, la division de ces cellules ne donne plus naissance à du bois secondaire, ni à du phloème secondaire, mais au parenchyme pathologique. Cette production continue jusqu'à ce que les cellules cambiales

meurent, où jusqu'à ce qu'elles se rétablissent, probablement en détruisant le ferment par leur activité propre.

Si l'on adopte cette explication, — et je ne vois pas qu'une autre soit possible, — le fait, que dans les rayons médullaires ou dans l'écorce quelques cellules isolées peuvent être attaquées de la gomme, devient aussi moins énigmatique.

Admettre, toutefois, que des cellules en voie de division éprouvent, par l'absorption d'un corps de la nature des ferments, un changement persistant ou de longue durée, c'est une induction qui n'acquiert quelque valeur que si elle est appuyée de faits bien établis. La physiologie de la formation des galles nous offre, dans son vaste champ, une longue série de pareils faits, de la plus riche variété. Les remarquables changements déterminés par l'*Aecidium euphorbiae* sur différentes espèces d'*Euphorbia*, par l'*Aecidium elatinum* sur l'*Abies pectinata*, par l'*Aecidium thesii* sur le *Thesium intermedium*, — tous ces exemples ont déjà été cités et discutés si souvent, qu'il est inutile de nous y arrêter. Rien, toutefois, ne plaide autant en faveur de mon hypothèse que ce phénomène, bien avéré, que la panachure ou l'albinisme, — c'est-à-dire l'absence physiologique de la matière colorante dans les grains de chlorophylle, — peut, dans l'opération de la greffe, passer directement de l'ente au sujet, ou *vice versa*. Dans la pratique de l'horticulture ce phénomène est aujourd'hui généralement connu; Gärtner, Darwin et M. Frank ont rassemblé une foule de faits qui y sont relatifs, mais que je ne puis mentionner ici. M. F. W. Burbidge dit à ce sujet ¹⁾: „En ce qui concerne les Pelargoniums panachés, la greffe d'une très petite portion de tissu cellulaire, prise en une partie colorée de la tige ou des feuilles, suffit amplement pour provoquer la panachure dans une plante à feuillage vert, et ce fait mérite l'attention des horticulteurs et de ceux qui s'occupent d'hybridation, etc". M. E. Morren, ayant greffé

¹⁾ *Cultivated plants, their propagation and improvement*, London, 1877, p. 602.

l'*Abutilon Thompsoni* sur *Abutilon venosum*, *A. striatum* et *A. verillarium*, a vu qu'un seul pétiole peut transmettre la panachure ¹⁾: „Il suffit, ainsi que nous l'avons constaté par expérience, d'insinuer un pétiole de feuille panachée dans l'écorce d'un sujet incolore, pour lui infuser, en quelque sorte, cette altération de la chromule qui caractérise la panachure. Il va sans dire que ce pétiole vit peu de temps en pareille situation". Ces exemples, qu'il serait facile de multiplier, montrent péremptoirement que des matières d'une nature très spéciale peuvent sortir des cellules d'un organisme, pénétrer dans le protoplasma d'un autre organisme et modifier ce protoplasma de telle sorte, que les cellules auxquelles il donne naissance par sa division soient douées d'une propriété nouvelle. A ce genre de matières appartient, suivant ma conviction, le ferment du *Coryneum*.

J'ai essayé, en exprimant le suc des feuilles et des branches d'arbres et d'arbrisseaux albinotiques et injectant ce suc dans le cambium et l'écorce d'individus des mêmes espèces à l'état vert normal, de déterminer l'albinisme chez ces derniers. Ces expériences, toutefois, n'ont donné absolument aucun résultat: même les jets les plus délicats et les feuilles les plus jeunes ont pu être injectés ou arrosés du suc, sans que la moindre trace de décoloration se manifestât. Il suit de là qu'on n'a pas de raisons non plus pour croire que le suc provenant de tissus gommeux doive, dans les essais d'infection artificielle, donner lieu à la maladie de gomme. Le résultat négatif de mes expériences sur l'inoculation de tissus gommeux de branches de cerisiers dans des branches saines de la même espèce, n'est donc pas en contradiction avec la théorie du ferment de *Coryneum*.

Nous sommes maintenant assez avancés dans l'étude du sujet pour aborder la question de savoir si la maladie de gomme ne peut naître d'une autre manière que par infection corynéenne. De tout ce qui a été écrit sur la maladie de gomme il résulte une forte présomption que cette maladie peut apparaître indé-

1) *Contagion de la panachure (variegatio)*, Bruxelles, 1869, p. 6.

pendamment de tout organisme infectant; dans une foule de cas, — je puis l'affirmer d'après ma propre expérience, — il est impossible de rien découvrir du parasite dans les tissus gommeux. Aujourd'hui, toutefois, à raison des expériences ci-dessus décrites, je suis convaincu que, dans tous les cas de ce genre, le ferment de *Coryneum* a pénétré antérieurement dans les cellules, ou dans les *ancêtres* — peut-être très éloignés — des cellules, qu'il s'y est uni au protoplasma, s'est développé avec lui et finalement, les circonstances ayant changé, a occasionné les phénomènes pathologiques qui caractérisent la maladie de gomme. Combien de temps le ferment peut-il rester dans les cellules? Ces cellules elles-mêmes acquièrent-elles par là des propriétés contagieuses (point déjà touché plus haut)? Le ferment peut-il, dans des cellules en apparence saines, exister à l'état „latent”? Ce sont là autant de questions intéressantes, mais dont la solution paraît offrir de très grandes difficultés. Je me réserve de revenir, dans une autre occasion, sur tous les faits mentionnés ici.

La gomme a deux origines différentes; la plus grande partie provient des tissus de la plante attaquée, une petite partie résulte de la dégradation du mycélium du *Coryneum* lui-même. Cela s'applique non seulement à la gomme des Amygdalées, mais aussi à la gomme arabique et peut-être à beaucoup d'autres gommes. Le fait que le mycélium du *Coryneum* peut se transformer en gomme rappelle un peu „l'estomac qui se digère lui-même”, et ce fait me semble extrêmement remarquable.

Nous avons vu que le ferment du *Coryneum* paraît s'unir au protoplasma des cellules de la plante attaquée et lui imprimer un changement tel, que les cellules naissant de la division de ce protoplasma possèdent de nouvelles propriétés. Ce n'est pas encore la maladie de gomme, mais seulement un symptôme précurseur, accessoire. Une des nouvelles propriétés dont il s'agit, c'est que les cellules du parenchyme pathologique, à un moment donné, se transforment en gomme. Que cela ait lieu en vertu d'une action de fermentation, l'analogie nous oblige à

l'admettre. Personne ne doute plus, en effet, que la formation de la gomme aux dépens des fibres libériennes et des parois vasculaires, — observée par tous les botanistes qui se sont occupés de la maladie de gomme, — ne dépende d'une pareille action, et il n'est pas probable que le même effet doive, dans ce cas, être attribué à deux causes entièrement différentes. Lorsque le parenchyme pathologique commence à se fondre en gomme, cela tient donc sans doute à l'intervention du même ferment qui a été sécrété à l'origine par le *Coryneum*, mais qui maintenant provient du parenchyme pathologique lui-même. La grande abondance de la gomme ainsi produite conduit à penser que le parenchyme en question dispose de beaucoup plus de ferment que n'en avaient primitivement absorbé les cellules cambiales d'où ce parenchyme est dérivé. Comme les parois primaires sont les premières à se changer en gomme, le ferment paraît, dans ce cas aussi, abandonner les cellules et se répandre dans tout le tissu ambiant, et on ne peut guère douter que sous cette influence les parois de cellules parfaitement saines puissent être transformées en gomme, ainsi que cela semble avoir réellement lieu pour des grains de fécule isolés. Les fibres libériennes et les parois vasculaires peuvent également se convertir en gomme, sans qu'il y ait du mycélium de *Coryneum* dans leur voisinage immédiat.

Ces considérations rendent compréhensible la formation de la gomme aux dépens du mycélium de *Coryneum*. Les circonstances dans lesquelles cela arrive autorisent à admettre que le Champignon est alors très mal nourri; ce sont, en effet, les filaments de *Coryneum* enveloppés de toute part par la gomme qui subissent la transformation. Ces filaments, primitivement colorés en brun intense, se sont alors fortement allongés, ils sont devenus incolores et à parois minces, comme débilités par excès de croissance, leurs cloisons transverses sont très espacées et il n'y a que peu de protoplasma dans les cellules. Le processus de la fusion proprement dite est de tout point semblable à la gommification des tissus des Amygdalées: les cellules du *Coryneum*

disparaissent complètement (*b*, fig. 2, Pl. II), le protoplasma lui-même finit par se dissoudre dans la gomme en une masse homogène et limpide; sa nature granuleuse reste pourtant longtemps distincte et il n'est pas douteux que les parois des cellules soient attaquées les premières. Parfois il arrive que ces parois acquièrent, en se dissolvant, un pouvoir réfringent un peu différent de celui du reste de la gomme, et dans ce cas il est facile de reconnaître la part qui appartient, quant à la quantité de gomme formée, à la cellule en question. Il est à remarquer que de deux cellules contiguës, dans un même filament cellulaire, l'une peut passer à l'état de gomme, tandis que l'autre demeure intacte.

Les filaments mycéliens ténus et mal nourris sont jusqu'ici la seule forme de *Coryneum* dont j'aie constaté la participation à la métamorphose gommeuse: jamais je n'ai vu se résoudre en gomme ni l'état de levûre, ni la forme de fumago, qui d'ordinaire sont entièrement inclus dans la gomme. Par contre, je crois avoir observé positivement que cela arrive parfois à des filaments de moisissures étrangères, que la gomme peut accidentellement renfermer! C'est ainsi que la fécule de pomme de terre, mélangée de gomme, changé également, sous l'influence du *Coryneum*, en un corps volumineux, de consistance gélatineuse. Les grains deviennent alors irréguliers de forme, perdent leur structure en couches concentriques et acquièrent, sur beaucoup de points, de grosses excroissances.

Je présume que la métamorphose ci-dessus décrite des cellules de *Coryneum* ne s'effectue que lorsque, par l'une ou l'autre cause, ces cellules sont affaiblies ou commencent à dépérir: incapables alors de résister plus longtemps à l'action du ferment partout répandu dans la gomme, elles subissent la même altération à laquelle sont sujets les tissus des Amygdalées.

M. Frank a appelé l'attention sur le fait que la quantité de gomme découlant des plaies est souvent beaucoup plus grande que le volume des tissus qui ont disparu en cet endroit ¹⁾:

¹⁾ *Die Krankheiten der Pflanzen*, t. I, 1880, p. 92.

„Nous sommes ainsi amenés à conclure que dans la maladie de gomme, de même que dans le flux de résine, outre les membranes cellulaires servant de matériaux pour la formation de la sécrétion, il est encore consommé pour cet objet une certaine quantité de matières nutritives, qui, dans les conditions normales, auraient trouvé un autre emploi”. Ce surplus d'aliments est, d'après ma conviction, consommé par le parasite, qui plus tard participe lui-même à la formation de la gomme.

Il n'est peut-être pas superflu de donner un résumé succinct de l'idée que je crois maintenant devoir me faire de la maladie de gomme.

Le *Coryneum* sécrète un liquide, — le ferment de *Coryneum*, — qui agit énergiquement sur les parois cellulaires, sur les grains de fécule et probablement sur d'autres éléments de la cellule, et qui peut transformer ces matières directement en gomme, soit qu'elles appartiennent aux tissus des Amygdalées ou au *Coryneum* lui-même.

Le ferment de *Coryneum* peut pénétrer dans les cellules vivantes, par exemple dans le cambium, s'unir au protoplasma et modifier celui-ci de telle sorte que les cellules qui en naissent plus tard, par division, constituent un tissu possédant des propriétés nouvelles: ce tissu est le parenchyme ligneux pathologique.

Tôt ou tard ce parenchyme commence à sécréter de nouveau le ferment de *Coryneum* et se change en gomme. La quantité du ferment ainsi formé est plus grande que celle qui avait été fixée primitivement par les cellules d'où est dérivé le parenchyme pathologique.

La maladie de gomme peut se communiquer des parties infectées aux branches saines, sans qu'il soit possible de découvrir un mycélium de *Coryneum* s'étendant des unes aux autres. Cette propagation de l'infection est donc comparable à l'action contagieuse que des parties albinotiques exercent sur des tissus verts.

J'ai lieu de présumer que la voie par laquelle se meut le contagé de la maladie de gomme est le phloème, et que ce contagé est identique au ferment de *Coryneum*.

Dans d'autres cas, le développement du mycélium de *Coryneum* est la cause de la propagation de la maladie de gomme.

IV. PLEOSPORA GUMMIPARA, LE PARASITE DE LA GOMME ARABIQUE.

La grande analogie qui existe, quant à la composition chimique et au mode de formation, entre la gomme arabique et la gomme des Amygdalées, suggère involontairement l'idée que la première de ces gommes pourrait être, tout comme la seconde, le produit de l'action d'un parasite. A la fin de ce Mémoire, je mentionnerai l'opinion de deux auteurs qui croient avoir effectivement observé que la maladie gommeuse peut être en rapport avec le parasitisme; d'après eux, toutefois, les organismes pouvant occasionner cette maladie ne seraient pas des Champignons, comme j'essaierai de le démontrer, mais des parasites phanérogames.

M. J. Möller ¹⁾ a observé que la gomme d'Acacia peut consister en un mélange de deux espèces de gommes différentes. Suivant lui, la vraie gomme arabique, complètement soluble dans l'eau, naîtrait dans l'écorce interne, par un processus physiologique normal, dont il compare la signification biologique à la formation des plaques de rhytidome (*Borke*). Quant à la seconde espèce de gomme, qui dans l'eau se gonfle et devient du mucilage, il dit: „Les Acacias fournissent aussi un produit analogue à la gomme de cerisier. Ce produit n'a été rencontré que dans l'écorce moyenne et paraît se former en vertu d'une nocuité agissant du dehors”. Sous ce nom de „nocuité”, M. Möller entend l'une ou l'autre influence météorologique, mais il n'a pas en vue le parasitisme.

¹⁾ Joseph Moeller, *Ueber die Entstehung des Acacien-Gummi*, dans *Sitz. ber. d. Kais. Akad. d. Wiss. z. Wien*, Bd. 72, Abth. 1, p. 230.

En ce qui concerne l'existence de deux espèces de gommés, dont il est ici question, il faut remarquer que les qualités inférieures de gomme arabique, par exemple celle de Natal et de Madras, ne se dissolvent que partiellement dans l'eau et laissent beaucoup de mucilage. Elles se rapprochent par là de la gomme de cerisier, qui, d'après M. Wigand, consiste en un mélange d'arabine, soluble dans l'eau froide, et de cérasine; cette dernière matière ressemble à la bassorine, mais en diffère par sa solubilité dans l'eau bouillante ¹⁾. La forme corynéenne du parasite de la gomme arabique, le *Pleospora gummipara*, que je décrirai plus loin, a toutefois été trouvée dans la gomme arabique de toute première qualité, complètement soluble dans l'eau; il en est de même des pycnides et des périthèces du parasite, avec cette différence pourtant que dans les fentes de l'écorce, au voisinage de ces derniers organes, il se trouve un peu de mucilage ne se dissolvant pas entièrement dans l'eau, de sorte que je puis confirmer l'observation de M. Möller, suivant laquelle la gomme arabique contiendrait un mélange de deux espèces de gommés.

Il n'est pas facile de trouver de bons matériaux d'étude pour la gomme arabique, c'est-à-dire, des morceaux de gomme auxquels adhère encore une partie de l'écorce ou du bois de la plante. M. W.-F. Thiselton Dyer a eu la bonté, — et je l'en remercie bien cordialement, — de me permettre d'examiner avec soin les échantillons de gomme du Musée de Kew et d'en emporter des fragments pour préparations microscopiques. Son assistant, M. J.-M. Hillier, m'a donné au sujet de ces échantillons, avec la plus grande obligeance, tous les éclaircissements désirables. J'ai eu ainsi l'occasion d'étudier l'écorce d'*Acacia arabica* parmi la gomme arabique de Madras, d'*A. arabica* parmi la gomme arabique de Natal, d'*A. vera* parmi la gomme „bara" du Scinde, et enfin les petits fragments de bois d'*A. catechu*, qui se trouvent dans la gomme „kheir" de l'Inde.

1) Pringsheim, *Jahrbücher*, III, 1863, p. 116.

Dans tous ces cas, sauf pour la gomme kheir, j'ai réussi à trouver dans la gomme des filaments mycéliaux déliés, qui sont à la vérité plus minces que ceux du *Coryneum Beyerinckii*, mais qui pourraient appartenir peut-être à des espèces voisines (*a*, fig. 5, Pl. III). En outre, dans la gomme de Natal, j'ai rencontré quelques spores quadricellulaires et tricellulaires (*c*, fig. 5), plus petites et à parois plus épaisses que celles de l'espèce sus-nommée, mais pouvant d'ailleurs parfaitement provenir d'un *Coryneum*. Enfin, également dans la gomme de Natal, j'ai découvert la „forme de levûre” (*b*, fig. 5), qui m'était si bien connue par l'étude de la gomme de pêcher. Ni pulvines entières de *Coryneum*, ni fructifications d'autre sorte ou d'autres espèces de Champignons, ne furent trouvés dans les gommes en question.

Quoique le résultat de cet examen ne fût pas de nature à autoriser un jugement catégorique, il m'avait pourtant fortement affermi dans la présomption que, dans ces cas aussi, la production de la gomme pouvait être liée par un rapport causal au mycélium trouvé; ce point méritait une étude plus approfondie. Par deux voies je cherchai à atteindre le but. D'abord, en tâchant de découvrir le parasite dans la gomme arabe du commerce, ce qui m'a effectivement réussi, comme on le verra tout à l'heure. En second lieu, en cherchant la forme aérienne du *Coryneum* sur quelques feuilles et épines d'échantillons séchés d'*Acacia arabica*, que j'avais rapportées de Kew; le conservateur de l'herbier, M. Nicholson, m'avait en effet laissé détacher de ces échantillons, en vue de l'étude microscopique, les parties sur lesquelles je croyais apercevoir des organismes étrangers. Cette étude ne m'a toutefois pas conduit à une conclusion certaine. Quant à la chance de trouver de la gomme sur les échantillons de l'herbier, M. Nicholson l'avait déclarée si faible, que je n'ai pas fait de tentatives en ce sens.

Mais, ainsi que je l'ai dit plus haut, j'ai réussi au-delà de toute attente, et cela sans sortir du pays, en portant mes investigations sur la gomme du commerce. J'avais obtenu de M. Voornveld, d'Amsterdam, la permission d'explorer son stock

considérable de gomme arabique et d'y prendre les morceaux qui me paraîtraient propres aux recherches. Bien que cette gomme eût déjà été assortie à Trieste, je trouvai, dans les caisses de la première qualité, de si excellents matériaux d'étude, qu'il me fut possible de découvrir non seulement la forme corynéenne du parasite cherché, mais aussi ses périthèces et ses pycnides. Cet organisme est donc aujourd'hui connu d'une manière plus complète que le *Coryneum Beyerinckii*, qui se rencontre dans presque toute plaie gommeuse des Amygdalées, mais dont les périthèces, les pycnides et les spermogonies sont restés inconnus jusqu'ici.

Je vais maintenant décrire brièvement le nouveau parasite. M. Oudemans, après une étude approfondie de mes préparations, a donné à ce Champignon le nom de *Pleospora gummipara* et m'a fourni à son sujet une foule de renseignements dont il sera fait usage dans les lignes suivantes.

Du mycélium du *Pleospora gummipara* je n'ai vu jusqu'ici que deux formes bien distinctes, l'une composée de filaments cellulieux d'un diamètre de 2—4 μ , à parois médiocrement épaissies et d'un brun plus ou moins foncé (*a*, fig. 8, Pl. III), l'autre, l'état de fumago (*b*, fig. 8), consistant en cellules sphériques ou légèrement aplaties par compression mutuelle, mesurant également 2—4 μ en diamètre, à parois épaisses et d'un brun très foncé. Ces deux formes de mycélium sont unies l'une à l'autre par tous les passages possibles. Les filaments se voient surtout entre les éléments du phloème de l'écorce d'Acacia, et souvent ils leur ressemblent à tel point, qu'on ne les en distingue qu'à leur couleur plus foncée; en quelques endroits, la ressemblance est encore augmentée par la circonstance que le mycélium reste sur une longueur considérable parallèle aux rangées de cellules du parenchyme du phloème, et qu'il prend, par le rapprochement des cloisons transversales, la forme de pseudo-parenchyme. Les petits amas de fumago se rencontrent plus près de la surface extérieure et en contact direct avec la gomme exsudée. Les filaments mycéliaux, qui peuvent aussi être trouvés

en grande abondance dans la gomme même, sont beaucoup plus minces que ceux du *Coryneum Beyerinckii* de la gomme des Amygdalées, mais du reste entièrement semblables à ceux-ci. J'ai constaté que ces filaments mycéliaux sont sujets, tout comme ceux de l'espèce nommée en dernier lieu, à la métamorphose en gomme, processus qui a été décrit et figuré (*b*, fig. 2) plus haut; il est donc certain que la gomme arabe, si elle provient en majeure partie des cellules de l'Acacia, n'en dérive pas exclusivement, mais qu'une partie se forme aux dépens du *Pleospora gummipara* lui-même. Bien que je n'en aie pas la preuve directe, il me paraît assez probable que la partie mucilagineuse, insoluble dans l'eau, de la gomme arabe, partie qui se trouve en contact immédiat avec l'écorce des branches d'Acacia, naît du mycélium du *Pleospora*, tandis que la partie complètement soluble dans l'eau proviendrait alors exclusivement du tissu de la plante nourricière. Je dois toutefois faire remarquer, à ce propos, que la partie insoluble de la gomme des Amygdalées a indubitablement la double origine dont il est ici question.

Considérons maintenant les organes de la fructification du *Pleospora gummipara*. J'en ai rencontré de quatre formes différentes, savoir des *périthèces* (fig. 11, Pl. III), deux espèces de *pycnides* (fig. 9), l'une à stylospores unicellulaires (fig. 9 *b*), l'autre à stylospores pluricellulaires (fig. 10), enfin des *pulvinules conidiens* de la forme du *Coryneum* (fig. 6) ¹⁾.

De ces formes, les *pycnides* et les *périthèces* dévoilaient immédiatement leur connexité par leur structure et par la circonstance qu'on les rencontrait sur un seul et même mycélium. Mais

¹⁾ J'ai trouvé des spermogonies d'une structure très particulière sous l'épiderme couvert de gomme de quelques éclats d'écorce, entre les cellules cristallifères. L'hyménium producteur des spermaties tapisse, dans l'écorce d'Acacia, une cavité étroite ou fente, irrégulièrement aplatie, lenticulaire, communiquant avec l'extérieur par une petite ouverture de l'épiderme; çà et là se trouvent des cloisons brunes, constituées par un mycélium d'une ténuité excessive, qui partagent la cavité en différentes spermogonies, un peu irrégulières, mais présentant du reste la forme ordinaire. Le stroma

quant à la forme de *Coryneum*, il n'était pas directement évident qu'elle appartînt à la même espèce, car elle fut trouvée sur d'autres fragments d'écorce. Les raisons pour lesquelles, néanmoins, j'ai cru devoir rapporter l'état de *Coryneum* à la même espèce qui fournit les périthèces et les pycnides, savoir au *Pleospora gummipara*, sont les suivantes :

1°. Les conidies de *Coryneum* se trouvent sur un stroma qui naît d'un mycélium identique au mycélium très caractéristique auquel sont attachés les périthèces et les pycnides.

2°. Au point de vue botanique, on doit s'attendre à ce qu'aux conidies trouvées se rattachent des périthèces et des pycnides, et M. le professeur Oudemans m'a déclaré qu'aucune difficulté systématique ne s'oppose à l'identification spécifique de toutes les formes de fructification observées dans la gomme.

3°. Les périthèces, les pycnides et les conidies se présentent dans des conditions biologiques presque exactement semblables, à savoir, sous une épaisse couche de gomme, dans l'écorce.

4°. Relativement à l'Acacia, la gomme est indubitablement un produit pathologique, mais il me paraît à peu près certain que pour le parasite elle a une grande utilité, soit en favorisant la dissémination des spores, soit de toute autre manière, de sorte que la propriété gommipare doit être regardée comme un important caractère biologique du parasite. Or, c'est le propre des caractères biologiques fortement prononcés, de donner à leurs possesseurs un avantage marqué sur les formes *très voisines* qui en sont privées, en d'autres termes, de rendre à ces dernières la concurrence impossible dans des circonstances où les premiers se développent avec une vigueur particulière. D'après cette vue générale, il est très improbable que dans la gomme arabique

l'unâtre, qui donne naissance à l'hyménium, est tapi entre les cellules cristallifères. Comme je n'ai pu obtenir la certitude que ces spermogonies naissent du mycélium du *Pleospora*, ou sont en connexion directe avec lui, je n'ose les considérer comme organe du *Pleospora gummipara* et je ne m'y arrêterai donc pas davantage. D'ailleurs, toutes les autres espèces connues de *Pleospora* paraissent être apogames.

puisse vivre un autre organisme, ayant une étroite parenté avec le vrai parasite gommipare, mais ne formant pas de gomme; on ne saurait d'ailleurs douter que les périthèces en question, au cas où ils ne seraient pas liés spécifiquement aux conidies de *Coryneum*, dussent au moins appartenir à une espèce très rapprochée ¹⁾; dans ces circonstances, il est évidemment beaucoup plus naturel d'admettre que les états trouvés peuvent réellement procéder l'un de l'autre.

5°. Vers le bas des périthèces, à leur face externe, on trouve çà et là des conidies, qui devraient être désignées sous le nom de *Coryneum*; elles diffèrent toutefois, par des dimensions plus grandes et par une paroi plus mince, des conidies des pulvinules corynéens proprement dits.

6°. J'ai entrepris l'examen de la gomme arabique dans la conviction de trouver le *Coryneum* et avec l'espoir de rencontrer des périthèces; les résultats ont répondu à cette attente. Or, si l'on considère combien était faible la chance de réussite, il paraîtra sans doute probable, à priori, que j'ai rencontré seulement l'organisme gommipare et non, en outre, quelque autre espèce.

7°. Le *Coryneum Beyerinckii* est incontestablement très rapproché des *Pleospora*: c'est ce que prouve la grande ressemblance des conidies de quelques espèces de ce genre avec les conidies du *Coryneum*. Du moment où j'ai commencé à m'occuper de ce parasite, j'ai toujours eu l'espoir, malheureusement non réalisé, d'en trouver les *périthèces* à forme de *Pleospora*.

Je reconnais que les deux derniers de ces arguments n'ont en eux-mêmes pas grande valeur, mais j'ai cru devoir les citer parce que, joints aux autres, ils ajoutent à leur force.

Après cette digression, qui me semble rendre acceptable la

1) Dans la gomme des Amygdalées on rencontre assez souvent, il est vrai, des Champignons étrangers, tels que *Bacterium*, *Penicillium*, *Mucor*, etc.; mais ceux-ci sont très différents du *Coryneum Beyerinckii*, jamais ce ne sont des formes voisines.

connexion entre les conidies, les périthèces et les pycnides, c'est-à-dire, leur attribution à une même espèce, le *Pleospora gummipara*, je puis poursuivre la description des caractères de ces différentes formes de fructification.

Dans quelques éclats minces et noirâtres d'écorce d'Acacia, qui adhéraient à la face externe de morceaux de gomme limpide, plus ou moins blanchâtre par suite de l'existence de nombreuses fissures, j'ai trouvé plusieurs des périthèces et pycnides en question, dont les parois membraneuses consistaient en pseudo-parenchyme d'un noir de charbon. La couleur noire des éclats d'écorce est produite, non seulement par de nombreuses cellules corticales brun foncé de la branche d'Acacia même, mais surtout par le mycélium noirâtre du *Pleospora*, qui çà et là se pelotonne en petits amas de fumagine. C'est aussi de ces petits amas de fumagine que procède la formation des états de fructification, c'est-à-dire, des périthèces, des pycnides et des conidies.

Avant de communiquer mes propres observations concernant ces organes reproducteurs du parasite, je citerai la description qu'en a donnée M. Oudemans ¹⁾.

„*Pleospora gummipara*. *Perithecia* in propinquitate pycnidiorum in corticis parenchymate libere nidulantia, aterrima, glabra, ± perfecte globosa, partem millimetri $\frac{1}{6}$ — $\frac{1}{4}$ in diametro metientia, textura membranacea gaudentia, conidia pauca coryneoidia sessilia nonnumquam in superficie gerentia. — Asci (absque ullo paraphysium vestigio) oblongi-obovati, curvati, brevissime stipitati, 90 μ circa longi, superne 18—20 μ lati, 8-spori. Sporidia disticha, rite evoluta septis 3 horizontalibus et unico longitudinali murali-divisa, 6-locularia, p.m. 24 μ longa, 12 μ lata, ovalia vel p.m. obovata, medio ut plurimum profundius, supra et infra medium contra ad altitudinem septorum horizontalium magis superfiliater constricta, obscure-fusca, in uno eodemque asco vulgo aliis minus perfecte evolutis, coryneoides, 4-cellularibus — imo diplodioideis, 2-cellularibus — omnibus tamen quoad di-

¹⁾ *Hedwigia*, octobre 1883, N^o. 10.

mensionem suas sporidia typica murali-divisa aemulantibus, stipata.

Pycnidia dimensione et structura a peritheciis ut plurimum non discernenda, alia stylosporidiis indivisis, alia iterum stylosporidiis divisus copiosissimis repleta. — Stylosporidia omnia fusca, tunica cellulari crassiuscula praedita; quae indivisa suborbiculares vel orbiculari-ovalia, quae divisa ut plurimum bilocularia, simplicibus $7\ \mu$ in diametro metientibus paullo majora, vulgo autem aliis, septis unico verticali, altero horizontali, in tres vel quatuor partes, vel etiam plus minus murali-divisis commixta.

Conidia jam prius sub titulo *Coryneum gummiparum* descripta (*Hedwigia*, 1883, N^o. 9).

Les périthèces sont des vésicules globuleuses ou un peu ovoïdes, plus ou moins aplaties en dessous (fig. 11, Pl. III); leur largeur est de $\frac{1}{4}$ — $\frac{1}{2}$ mm, leur hauteur de $\frac{1}{6}$ — $\frac{1}{2}$ mm. La paroi est extrêmement mince, membraneuse, et consiste en une seule couche cellulaire de pseudo-parenchyme noir, polyédrique, dont les cellules ont un diamètre de 8—12 μ et sont à paroi mince. Comme il n'y a pas d'ostiole, les périthèces s'ouvrent par déhiscence irrégulière. En dessous et sur les côtés de la paroi du périthèce on voit, outre quelques filaments mycéliaux, çà et là des conidies corynéoïdes, qui ne se distinguent des conidies des pulvinules de *Coryneum*, dont il sera question plus loin, qu'en ce qu'elles sont un peu plus grosses et à paroi un peu plus mince; elles sont d'ailleurs, comme les vraies spores de *Coryneum*, sessiles ou très brièvement pédicellées, ce qui les rend difficiles à découvrir. Elles sont quadricellulaires, parfois tricellulaires.

Les périthèces sont plongés presque en entier dans le tissu cortical des branches, et seulement en contact avec la couche de gomme à leur côté supérieur; ils sont, en conséquence, limités par des fibres sclérenchymateuses à parois épaisses et par des cellules cristallifères, qui contiennent un octaèdre tétragonal tronqué d'oxalate de chaux (ces cellules cristallifères se trouvent en quantité immense dans l'écorce d'Acacia).

Les asques (fig. 12) ont tout au plus $\frac{1}{10}$ mm de long et

contiennent 8 spores; la paroi des asques est hyaline et, surtout vers le haut, un peu épaissie. Entre les asques il n'y a pas de paraphyses, mais bien çà et là de fins filaments granuleux, qui toutefois font partie du mucilage dont le périthèce est entièrement rempli (fig. 11). Ce mucilage est sans nul doute le produit du mycélium qui antérieurement occupait tout le périthèce, mais qui plus tard s'est liquéfié, et les filaments granuleux sont les restes du protoplasma de ce mycélium.

Les ascospores sont de petits corps très élégants, de couleur noire; elles atteignent une longueur maximum de 24μ , sur une épaisseur maximum de 14μ , mais elles peuvent aussi être plus minces. Elles sont très rarement 4-cellulaires (la fig. 12 montre une pareille spore 4-cellulaire dans la thèque à gauche), mais ordinairement muriformes, 6-cellulaires. Dans chaque spore, sans exception, il y a en effet 3 cloisons transversales, partageant la cavité en quatre compartiments, et chez quelques spores la division en reste là; dans la plupart, toutefois, chacun des deux compartiments moyens est en outre partagé, par une cloison longitudinale, en deux cellules. Les spores qui occupent le fond des thèques sont ordinairement 5-cellulaires, parce que les deux cellules inférieures ne se sont pas divisées.

Les pycnides (fig. 9) ne se distinguent presque pas, à l'extérieur, des périthèces, et ils se trouvent aussi dans une situation tout à fait semblable. Ce sont des vésicules presque sphériques de dimensions très diverses, dont le diamètre peut varier de $\frac{1}{10}$ à $\frac{1}{2}$ mm., et dont la paroi, d'un noir de charbon, est extrêmement mince et membraneuse. Cette paroi est composée de pseudo-parenchyme et porte, surtout à l'extrémité inférieure du pycnide, beaucoup de fins filaments mycéliaux; je n'y ai pas vu de conidies. Lorsqu'on comprime les pycnides sous le couvre-objet, ils éclatent, et l'examen microscopique du contenu montre que celui-ci peut être de deux espèces différentes. Il peut en effet y avoir dans les pycnides, ou bien des stylospores unicellulaires, ou bien des stylospores pluricellulaires. Dans la fig. 9a on voit un pycnide ouvert par en haut, d'où s'échappe un

courant d'innombrables stylospores unicellulaires; la fig. 9 b représente ces spores à un grossissement de 500 fois. Elles possèdent une paroi brun foncé et un contenu finement granuleux, et elles rappellent un peu l'*Ustilago carbo*, entre autres aussi en ce qu'elles ne sont pas parfaitement sphériques; leur diamètre est très faible, tout au plus de $8\ \mu$.

Les pycnides de la seconde espèce ne se distinguent pas extérieurement de ceux de la première, mais leur contenu est très différent. Les stylospores (fig. 10) sont en effet composées, dans ce cas, de 2, 3, 4, 5 ou 6 cellules. Lorsque la spore est divisée en quatre, chaque cellule a la forme d'un quart de sphère; quand les cellules sont au nombre de 5 ou 6, elles constituent un petit corps de la forme d'une ascospore en miniature. Jamais je n'ai observé plus de 6 cellules, ni dans les ascospores, ni dans les stylospores. Les stylospores pluricellulaires ont, de même que les unicellulaires, une paroi brun foncé; leur longueur s'élève tout au plus à $12\ \mu$, leur plus grande largeur à $8\ \mu$; ceci ne s'applique toutefois qu'aux stylospores 6-cellulaires, celles à 2, 3 ou 4 cellules n'atteignant que $4\ \mu$ en longueur et à peu près autant en largeur.

Les pycnides sont, tout comme les périthèces, immergés dans l'écorce et seulement en contact avec la gomme par leur face supérieure; lors de la déhiscence, les ascospores et les stylospores s'attachent donc nécessairement à la gomme, avec laquelle elles sont sans doute disséminées de l'une ou l'autre manière. La recherche précise des conditions naturelles de la germination de ces spores mettra probablement en lumière des particularités biologiques très intéressantes.

Nous avons maintenant à considérer l'état de *Coryneum* du *Pleospora gummipara*.

Une fois bien familiarisé avec la manière de vivre du *Coryneum Beyerinckii*, je ne doutai pas de l'existence d'un organisme analogue dans la gomme arabique, et j'ai effectivement trouvé quelques petits fragments noirâtres de branches d'Acacia sur lesquels était implanté le parasite cherché; il y formait de très

jolis pulvinules, cachés sous une épaisse couche de gomme, laquelle était fendillée çà et là, mais d'ailleurs d'une limpidité parfaite et presque entièrement soluble dans l'eau ¹). L'habitat du *Coryneum* de *Pleospora gummipara* est tout à fait analogue à celui du *Coryneum Beyerinckii*, car les fragments noirâtres de la plante nourricière furent reconnus pour appartenir à l'écorce de l'Acacia, et le cours tortueux des fibres indiquait la présence de callus traumatique.

Les pulvinules de *Coryneum* du *Pleospora gummipara* sont si petits, — environ $\frac{1}{10}$ de millimètre, — qu'ils ne se laissent isoler qu'au microscope simple; même en cherchant de cette manière, je ne les découvris que lorsque, raclant les fragments d'écorce et examinant la poudre à un grossissement plus fort, j'eus trouvé les spores et acquis ainsi la certitude qu'il devait y avoir des pulvinules de *Coryneum*. De même que pour la recherche des périthèces et des pycnides, il faut commencer par dissoudre dans l'eau la gomme du fragment d'écorce, car les organes de fructification du *Pleospora gummipara* sont si clair-semés, que l'exécution de coupes successives — je le dis par expérience — est un travail infructueux et décourageant.

Comme l'état de *Coryneum* m'a été connu avant les périthèces et les pycnides, et que j'osais à peine espérer trouver aussi ces deux dernières formes, j'avais immédiatement envoyé mes préparations à M. Oudemans, en le priant de vouloir bien déterminer et décrire la nouvelle espèce de *Coryneum*. Cette prière ayant été accueillie et le travail exécuté sans retard, la description de l'état conidien a été publiée, sous le titre de *Coryneum gummiparum*, avant celle des périthèces et des pycnides. Voici cette description ²):

1) N'ayant pas réussi à faire germer les ascospores, les stylospores ou les conidiospores du *Pleospora gummipara* dans une décoction d'écorce d'Acacia, mêlée d'eau sucrée, je dois admettre que les échantillons étudiés étaient morts.

2) *Hedwigia*, septembre 1883, N^o. 9.

„Acervis minutissimis, punctiformibus, atris, gregarie crescentibus; conidiis e pulvinulo parenchymatoso fusciscentis oriundis, breviuscule stipitatis, oblongis vel oblongo-obovatis, separatim examinatis dilute fuligineo-olivascensibus, 3-septatis (4-ocularibus), ad altitudinem septorum minime constrictis, 14μ longis, 6μ latis, loculis omnibus aequalibus et aequicoloratis; sterigmatibus colore carentibus, conidiis ut videtur brevioribus vulgo non rite distinguendis. Paraphyses desunt”. M. Oudemans ajoute l'observation que ce *Coryneum* est très voisin du *Coryneum microstictum*, qui vit sur l'écorce du *Rubus fruticosus*, et dont il ne se distingue, à part la propriété de déterminer la maladie de gomme, que par ses pulvinules plus petits, ses conidies unicolores et leurs pédicelles plus courts.

L'état de *Coryneum* du nouveau parasite est représenté dans la fig. 6. Les spores 4-cellulaires sont colorées en brun grisâtre, sessiles ou presque sessiles sur un stroma mince, qui est composé de cellules pseudo-parenchymateuses brun foncé à parois épaisses, lesquelles cellules naissent, comme on le voit très distinctement en quelques points, des cellules filamenteuses du mycélium. Dans le stroma, au côté gauche de la figure, sont indiquées, en contour, deux cellules de la branche d'Acacia. Il est à remarquer que les spores de ce *Coryneum* sont tellement petites que lorsque, dans l'eau des préparations microscopiques, elles éprouvent accidentellement le choc de particules agitées d'un mouvement moléculaire, elles sont elles-mêmes mises en mouvement; leur longueur est de $10-10 \mu$, leur plus grande largeur de 4μ .

Les cellules des branches d'Acacia, sur lesquelles le stroma est directement appliqué, sont de trois espèces différentes (fig.7): d'abord, de grandes cellules ponctuées, incolores, à parois faiblement épaissies; en second lieu, des fibres sclérenchymateuses à parois épaisses et à cours souvent tortueux; en troisième lieu, des cellules brun foncé à contenu homogène; enfin des cellules cristallifères, renfermant un gros grain d'oxalate de chaux, qui devient souvent libre lors de la préparation. Ces différentes formes de cellules pouvant être trouvées facilement dans l'écorce

d'Acacia, il me paraît probable, eu égard au cours tortueux des fibres, que les pulvinales du *Coryneum gummiparum*, tout comme ceux du *C. Beyerinckii*, naissent à la face externe d'un callus traumatique.

La forme de levûre a été cherchée jusqu'ici sans succès dans la gomme arabique; ayant toutefois trouvé cette forme dans la gomme de Natal, comme on l'a vu ci-dessus, je ne doute pas qu'on ne parvienne également à constater sa présence dans la gomme arabique.

Ces observations m'ont donné la conviction que la gomme arabique pourra être produite en quantité quelconque au moyen de l'infection artificielle, de la même manière que je l'ai montré pour la gomme des Amygdalées. En outre, il ne me paraît pas impossible que le *Pleospora gummipara* se laissera cultiver dans un liquide nutritif artificiel, et qu'il pourra y transformer en gomme arabique, par une action enzymotique, la fécule ou d'autres modifications de la cellulose.

La question de savoir s'il y a encore d'autres parasites, vivant sur l'Acacia, qui puissent déterminer l'excrétion de gomme, doit, à ce que je crois, être résolue négativement; de mes expériences sur le *Coryneum Beyerinckii*, ci-dessus décrites, il semble en effet résulter, d'abord, que le pouvoir infectant n'appartient même pas à tous les différents états de végétation sous lesquels ce parasite peut se présenter, et, en second lieu, qu'une forme voisine, le *Cladosporium herbarum*, introduite dans le tissu vivant de branches de pêcher, est complètement inactive.

Contraires à cette manière de voir sont les observations de deux autres auteurs, qui, si elles sont bien interprétées, sembleraient prouver, combinées avec mes propres résultats, que la désorganisation gommeuse est la conséquence d'une condition morbide que toute espèce de parasite peut provoquer et qui ne serait pas nécessairement due à une espèce particulière.

Voyons ce qu'en dit M. C. Martins ¹⁾, l'un de ces deux

¹⁾ Sur un mode particulier d'excrétion de la gomme arabique produite par l'Acacia Verek du Sénégal, dans: Comptes rendus, 1875, I, p. 607.

auteurs. Ce savant avait reçu du poste de Dagana, situé à 102 kilomètres de l'embouchure du Sénégal, seize branches gommifères d'*Acacia Verek*, rapportées par les Maures Trarza, qui récoltent la gomme; sur huit de ces branches il y avait un parasite, que M. Martins nomme *Loranthus senegalensis*: „C'est à la base de l'empâtement entre lui et le bois de l'*Acacia* que l'exsudation gommeuse a lieu et, dans mes échantillons, elle est plus abondante que celle qu'on remarque sur les branches exemptes de parasite.”

M. Solms Laubach ¹⁾, en second lieu, a également observé et figuré, dans le bois d'une plante nourricière non spécifiée, la métamorphose en gomme sous l'influence du contact avec les rhizoïdes d'une Loranthacée, probablement le *Strutanthus elegans* Eichler, récoltée par M. Warming près de Lago-santa, au Brésil. De même que chez les Cuscutées, les suçoirs du parasite en question donnent naissance à des cellules piliformes, qui disjoignent avec force les éléments ligneux de la plante hospitalière. „Cette attaque énergique provoque une désorganisation gommeuse du tissu ambiant, désorganisation qui se propage ensuite de divers côtés, creusant des cavités et des conduits irréguliers dans le bois nourricier, dont toutes les membranes se fondent en une masse gommeuse jaune et limpide. A son tour, cet effet favorise la croissance du parasite, dont les cellules terminales piliformes s'allongent de plus en plus, de sorte qu'on peut parfois les poursuivre au loin, remplissant des canaux irrégulièrement flexueux, creusés dans la gomme homogène (Pl. XXV, fig 1). Les tissus corticaux de la plante nourricière sont également très enclins à la désorganisation gommeuse; eux aussi se transforment fréquemment en gomme, à partir du point où ils sont en contact avec le prolongement du suçoir.”

Le même auteur a observé le fait très intéressant que, chez

1) *Das Haustorium der Loranthaceën und der Thallus der Rafflesiaceën und Balanophoreën*, dans *Abhandl. d. Naturf. Gesellsch. zu Halle*, Bd. XIII, Heft 3, 1875, Sep. p. 15.

d'autres Loranthacées, le tissu des suçoirs eux-mêmes peut être détruit par suite de métamorphose gommeuse ¹⁾. „Cette gommose se produit surtout, attaquant tous les tissus et ne laissant subsister, sous forme de lames minces, que les bandes de séparation ²⁾, dans les suçoirs dont, par une cause quelconque, l'extrémité absorbante n'a pu atteindre le corps ligneux de la plante nourricière; elle contribue alors, pour sa part, à accélérer la destruction de l'ensemble". Le tissu de ces suçoirs consiste principalement en cellules remplies d'amidon et se résout entièrement en une gomme homogène, jaune, transparente, se gonflant fortement dans l'eau.

D'après ces données, la gomme pourrait donc apparaître aussi sous l'influence de parasites phanérogames et se former, de même que je l'ai montré pour la gomme de pêcher, tant au moyen des tissus de la plante nourricière qu'aux dépens des parasites eux-mêmes.

Ces données, toutefois, ne sont évidemment pas assez complètes pour qu'on puisse en déduire des conclusions positives; elles se prêtent à plusieurs explications différentes. Mais on ne saurait en méconnaître le haut intérêt, et il serait à désirer que des recherches spéciales fussent faites, à cet égard, dans la patrie même des Acacias.

Pour terminer, une simple remarque encore au sujet de la gomme adragant.

J'ai rapporté de Kew deux échantillons de cette gomme, encore attachés au bois et d'origines différentes, l'un provenant de l'*Astragalus gummifer*, l'autre d'un *Astragalus* non déterminé spécifiquement. Sous le microscope, j'ai trouvé dans chacun de ces échantillons, au voisinage de l'écorce, un nombre restreint

1) *l.c.*, p. 7.

2) Ces „bandes de séparation" sont composées du tissu cortical de la plante nourricière, lequel, refoulé latéralement par les suçoirs qui s'y introduisent, est fortement comprimé et cuticularisé.

de filaments mycéliaux pourvus de cloisons transversales, et, entre les cellules corticales elles-mêmes, un réseau de ce même mycélium; quant à des spores, je n'ai pu en découvrir d'une manière certaine; çà et là il y avait bien, entre les cellules de l'écorce, des groupes de fins granules transparents, ressemblant plus ou moins à un *Torula*, mais je n'ai pu décider s'ils étaient en relation avec le mycélium, de sorte que leur origine et leur nature me sont restées inconnues. Si l'on considère que des lésions grossières faites aux Astragales, notamment par le bétail qui les foule aux pieds, sont une des principales causes occasionnelles de la formation de la gomme adragant, on sera porté à voir une certaine analogie entre la production de cette matière et celle de la gomme des Amygdalées, qui se forme également de préférence dans des plaies à guérison difficile, probablement parce que là existent les chances les plus favorables pour l'infection par les spores de *Coryneum*.

EXPLICATION DES FIGURES.

Le grossissement est indiqué, entre parenthèses, à la suite du numéro de la figure.

Planche II.

Fig. 1. (400). Différents états du *Coryneum Beyerinckii*, le parasite de la maladie de gomme des Amygdalées. *a.* Forme conidienne ordinaire, dans les pulvinules qu'on trouve sous la gomme des branches de pêcher; trois spores commencent à germer. *b.* Conidies à forme de *Cladosporium*, se trouvant à l'air libre, sur les taches bordées de rouge des rameaux de pêcher (*ck*, fig. 3), avec spores de une, deux ou trois cellules. *c.* Etat de *Fumago*, dans la gomme; au bas de la figure, on en voit naître des filaments germinatifs brun clair, à extrémités incolores; en haut, quelques cellules passent à la forme de levûre. *d.* Forme de levûre; plusieurs cellules se multiplient par bourgeonnement, ailleurs des cellules de levûre naissent de la désagrégation de filaments mycéliaux ténus et transparents. *e.* Mycélium à forme de *Chroolepus*; un des filaments mycéliaux germe, en donnant des sporidies qui rappellent celles de *Mycoderma*, sont presque semblables aux cellules à forme de levûre, mais un peu plus petites et comme celles-ci, se multiplient par bourgeonnement.

Fig. 2. (500). Filaments germinatifs d'une spore de *Coryneum Beyerinckii*, en voie de métamorphose gommeuse. En *a*, la limite de la masse de gomme née d'une même cellule est visible; en *b*, cela n'est pas le cas.

Fig 3. (26). Coupe d'un mince rameau de pêcher, âgé d'un an, fortement attaqué de la gomme, avec canaux gommifères. Un pulvinule rudimentaire de *Coryneum ck*, ressemblant à un *Cladosporium*, se trouve au centre d'une petite tache rouge du tissu tégumentaire *kw*. Dans le tissu nécrosé *aw* on voit des filaments mycéliaux; *kl* couche de liège, ne montrant pas de filaments mycéliaux; *sv* faisceau de fibres sclérenchymateuses; *bp* parenchyme à chlorophylle; *gp* canaux gommifères dans le phloème; *gk* canaux gommifères dans le bois, formés par la déliquescence de parenchyme ligneux pathologique.

Planche III.

Fig. 4. Canaux gommifères dans le fruit du pêcher-amandier, nés par déliquescence du phloème. *a*. (13). Coupe transversale du fruit, près de l'insertion du pédoncule; les faisceaux vasculaires sont tranchés en partie longitudinalement, en partie transversalement; *ha* poils du tissu tégumentaire *hw*, *bp* parenchyme chlorophyllien, *xl* faisceaux de xylème (représentés en noir), *ph* faisceaux de phloème (en gris), *gp* canaux gommifères dans la phloème (en jaune). *b*. (360). Coupe longitudinale d'un canal gommifère, dans le phloème *ph*; le xylème *xl* est composé de vaisseaux spiralés, ponctués et réticulés et de trachéides ponctuées, et touche au sarcocarpe par des cellules allongées. Dans le canal gommifère se trouve un "filament cellulaire" *cd*; une cellule de phloème nage librement dans la gomme; ces cellules contiennent des gouttelettes d'une matière qui réfracte fortement la lumière, — probablement de la gomme. Le sarcocarpe est composé de cellules sphéroïdales, qui renferment des grains d'amidon enveloppés de minces couches de protoplasma vert.

Fig. 5. (400). *a*. Minces filaments mycéliaux. *b*. Forme de levûre. *c*. Vraisemblablement spores de *Coryneum*, — le tout provenant de la gomme de Natal.

Fig. 6. (500). Etat conidien corynéoïde (*Coryneum gummiparum*) du *Pleospora gummipara*, le parasite de la gomme arabique. Les spores 4-cellulaires sont à peu près dépourvues de pédicelle, et par suite sessiles sur le stroma.

Fig. 7. (500). Formes cellulaires dans l'écorce d'Acacia, au voisinage immédiat des pulvinules corynéens, des pycnides et des périthèces du *Pleospora gummipara*; on y trouve des cellules ponctuées, des fibres sclérenchymateuses, des cellules à contenu brun et des cellules cristallifères à octaèdres tétraonaux.

Fig. 8. (500). *a.* Mode d'apparition de la forme de *Fumago* du *Pleospora gummipara* dans la gomme arabique. *b.* Etat de *Fumago* mûr.

Fig. 9. *Pleospora gummipara*, le parasite de la gomme arabique. *a.* (35). Pycnide éclaté par compression; sa paroi est membraneuse, formée de pseudo-parenchyme et porte beaucoup de hyphes déliés; le contenu consiste en petites stylospores unicellulaires, d'un brun foncé. *b.* (500). Ces stylospores, à un grossissement plus fort.

Fig. 10. (500). *Pleospora gummipara*. Stylospores à 2, 3, 4, 5 et 6 cellules, provenant d'un pycnide de la seconde espèce, qui du reste est entièrement semblable au pycnide de la fig. 9 *a.*

Fig. 11. (35). Périthèce de *Pleospora gummipara*. Entre les asques il y a du mucilage. Sur la paroi noire, membraneuse, pseudo-parenchymateuse du périthèce se trouvent çà et là des conidies corynéoïdes.

Fig. 12. (500). Quatre asques 8-spores d'un périthèce de *Pleospora gummipara*; dans un seul de ces asques le dessin est entièrement achevé pour toutes les 8 spores. Les spores sont ordinairement sexcellulaires, noires et à paroi épaisse. Dans l'asque à gauche on voit une spore quadricellulaire, ressemblant à une conidie de *Coryneum*, mais plus grande. Dans trois asques les spores inférieures sont quinquercellulaires.

DIPLOKNEMA SEBIFERA,
NOUVELLE SAPOTACÉE DE BORNÉO,

PAR

L. P I E R R E.

Au mois d'août de cette année je reçus de M. H. C. Knappert, cultivateur à Barabay (distr. Amoentay, Ile de Bornéo), quelques rameaux, feuilles et fleurs séchées d'un arbre dont les fruits produisent, selon lui, la graisse végétale connue dans le commerce sous le nom de Minjak Tangkawang, un article d'exportation très important. Cette graisse, employée comme aliment par les indigènes, a reçu dans l'industrie européenne une foule d'applications, en premier lieu comme huile lubrifiante pour les machines.

Ce produit, provenant en grande partie de Bornéo, était déjà connu dans le commerce anglais en 1857, lors du voyage de de Vriese, qui en a donné une description détaillée, intitulée: *Minjak Tangkawang en andere voortbrengselen van Borneo's Wester-afdeeling*, 1861.

Selon de Vriese, l'arbre producteur est une Diptérocarpée, qu'il décrit sous le nom de *Hopea macrophylla* ¹⁾ et dont une belle figure se trouve au Musée Colonial de Harlem. Dans les dernières années on a constaté que le nombre d'espèces produisant le suif végétal est très grand dans les familles des Diptérocarpées et des Sapotacées. Selon M. Schlimmer, dans son travail sur les arbres produisant la Gutta-percha ²⁾, les espèces

1) Selon M. Pierre, une espèce de *Shorea*.

2) *Tijdschrift van Nijverheid*, livr. d'avril 1883, p. 97.

de *Dichopsis* produisent en même temps dans leurs fruits une graisse assez semblable au Minjaq Tangkawang , et ce serait là un fait très important pour la question de la culture de ces arbres , qui paraît éminemment urgente à cause de l'exploitation déréglée qu'en font les indigènes.

M. Pierre , qui se trouve actuellement à Leyde , a eu la bonté de déterminer les exemplaires reçus de M. Knappert ainsi que quelques graines envoyées plus tard , et m'a autorisé à publier le résultat de son examen dans une revue scientifique néerlandaise.

F. W. VAN EEDEN ,

HARLEM, Déc. 1883.

Directeur du Musée Colonial.

DIPLOKNEMA ,

GEN. NOV.

Sepala 5, subaequilonga, 2 exterioribus, mox valvatis, interiora imbricata dorso carinata, ad marginem membranacea ciliata includentibus. Corolla lobis saepissime 10, imbricatoconvolutis, tubo lato 3—4 plo longioribus, sepalis æquilongis. Stamina sterilia 16—20, tubo sub 1—seriatim adnata, exteriora paululo longiora corollae lobis alterna, petaloidea, laminis lineari-oblongis, complanatis apici emarginatis, vel rotundatis. Staminodia 0. Discus hypogynus, pulvinatus, sulcatus. Ovarium 6—8 saepius 7 loculare, villosum. Stylus subulatus, tubulosus, sub anthesin paululo exsertus, sulcatus, infra medium villosus, stigmatè minuto 6—8 lobo, lobis incurvis. Ovula in quoque loculo solitaria, sub apice inserta, adscendentia amphitropa. Fructus: Pericarpium? Semen magnum, hilo latissimo orbiculari, tegumento necnon crasso, sublignoso, coriaceo, intus rugoso sub ruminato. Albumen 0. Cotyledones oblongae plano-convexae ad marginem tortae carnosae, intus leviter depressae vel oblique applicatae. Radicula brevis infera.

Arbor magna? cultura digna. Ramuli crassi. Folia ad apices ramulorum conferta, alterna. Stipulae? Flores polygamo-dioïci, numerosi ad axillas defoliatas vetustioresque umbellati. Pedunculi breves, ferrugineo-tomentosi. Ex seminibus, coctione, materia sebacea extrahitur fide Knappert et van Eeden.

Exemplar incompletum legit Knappert ad Barabay in insula Borneensis. Genus etsi imperfecte cognitum, bene distinctum videtur. Bassiae potius quam Payenae affine, a priore differt imprimis corollæ tubo brevi, staminum seriebus indistinctis vel necnon semotis, disco hypogyno pulvinato, stylo non elongato; a Payena foliorum venatione inflorescentia, stylo et ovario; ab utraque ob numerum sepalorum floresque polygamos, in ordine rarissime observatos. Tamen in *Bassia butyracea*, sepala 5 adsunt, sed haec a speciebus normalibus, corolla et staminibus sepalis longioribus notisque aliis generice dubia remanet.

DIPLOKNEMA SEBIFERA.

Ramuli adulti glabri, grisei. Folia (cum petiolo basi incrassato 2—4 cent. $\frac{1}{2}$ longo), 10—24 cent. longa, 3—7 cent. $\frac{1}{2}$ lata, elliptice oblonga, subobovata, breve acuminata, obtusa, basi angustata, subacuta vel rotundata, glaberrima, coriacea, costulis 28—30 adscendentibus semotis, nervis transversalibus undulato-parallelis (*Dichopseos* more). Sepala 4 mm $\frac{1}{2}$ alta, 3 mm lata, elliptica, rotundata, crassa, intus vix pubescentia, dorso fulvo tomentosa, interiora tamen dorso ad carinam exceptam glabra, ciliata. Corollae lobi basi angustati apici rotundati, marginibus denticulatis apice pubescentibus, (cum tubo glabro 1 mm alto) 4 mm $\frac{1}{2}$ longi. Stamina sterilia supra tubum breviter angustata dorso pubescentia, apice rotundata vel emarginata, raro pilosa, 3 mm $\frac{1}{2}$ alta. Discus glaber $\frac{1}{4}$ — $\frac{1}{2}$ mm elevatus. Ovarium cum stylo superne glabro 5 mm $\frac{1}{2}$ altum, loculis apice apertis vel dissepimentis destructis.

PIERRE.

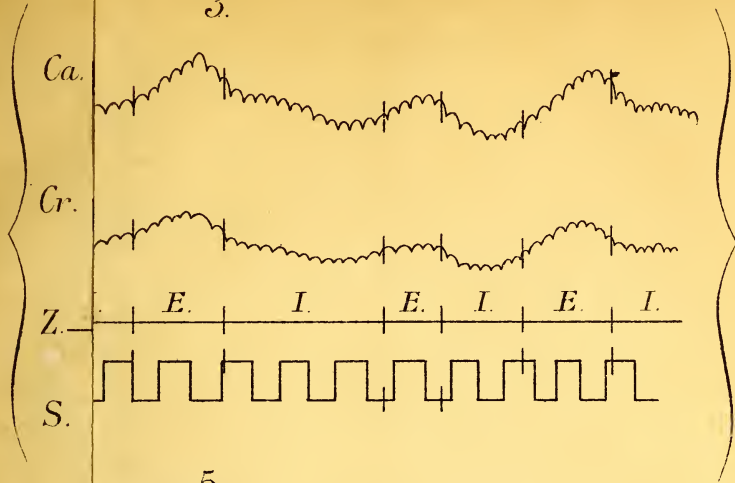
LEYDE, novembre 1883.

LÉGENDE DU DIPLOKNEMA SEBIFERA PIERRE.

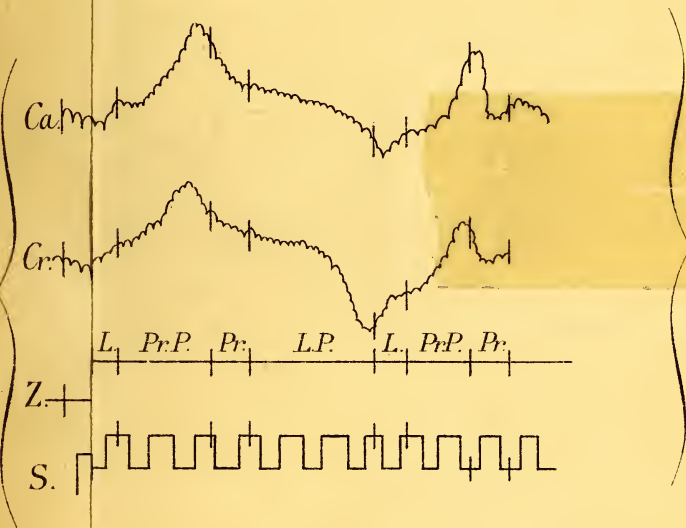
Pl. IV.

1. Fleur après l'anthèse. $\frac{1}{2}$.
 2. Sépale de la série extérieure, vu du côté intérieur. $\frac{1}{2}$.
 3. Fleur plus jeune, mais près de l'anthèse, réduite à sa corolle. Le tube est court, comme dans les *Payena*. $\frac{1}{2}$.
 4. La corolle est présentée du côté intérieur. On y voit les 2 séries de staminodes libres à partir du sommet du tube (*t*). Leur filets sont soudés au tube et, quoique insérées à la même hauteur, les séries sont distinctes, l'une, la plus intérieure, (comme dans les *Bassia*) opposée aux lobes de la corolle. Les filets dans leur partie adnée au tube s'impriment en sillons sur le disque hypogyne (*d*), qui est à peu près de même hauteur que le tube de la corolle. L'ovaire (*o*) est sessile sur le disque. Son style, velu comme lui jusqu'au dessous du milieu, est un tube divisé en 6—8 lobes stigmatiques au sommet, correspondant aux divisions de l'ovaire. $\frac{1}{2}$.
 5. Les figures *a*, *b*, donnent, la première une forme de staminode vue du côté intérieur, et la seconde une autre forme du même corps, vue du côté extérieur. Ces étamines *stériles* ont la forme de certaines étamines *fertiles* de *Payena*.
 6. Coupe longitudinale de la même fleur, dont l'ovaire à 8 loges uniovulées. Les cloisons des loges sont presque nulles au sommet. $\frac{1}{2}$.
 7. Coupe transversale d'un ovaire à 8 loges. Le nombre le plus constant de ces loges est de 7. On en trouve le plus souvent 8 au lieu de 6. Ce caractère variable du nombre des loges est celui des *Bassia* et des *Kakosmanthus*. $\frac{1}{2}$.
-

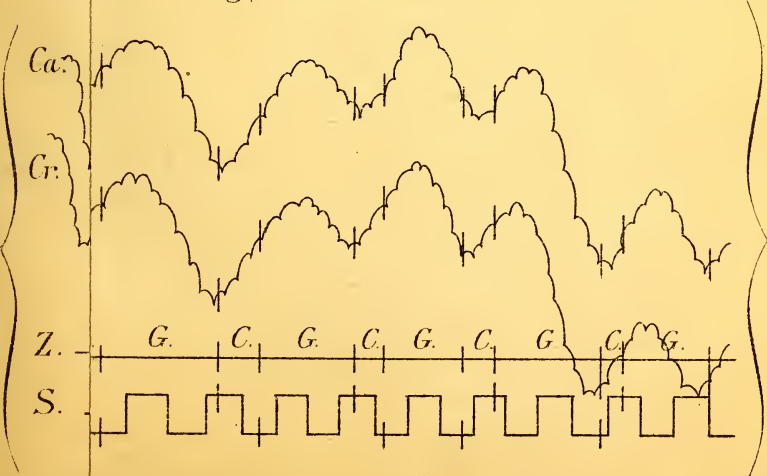
3.

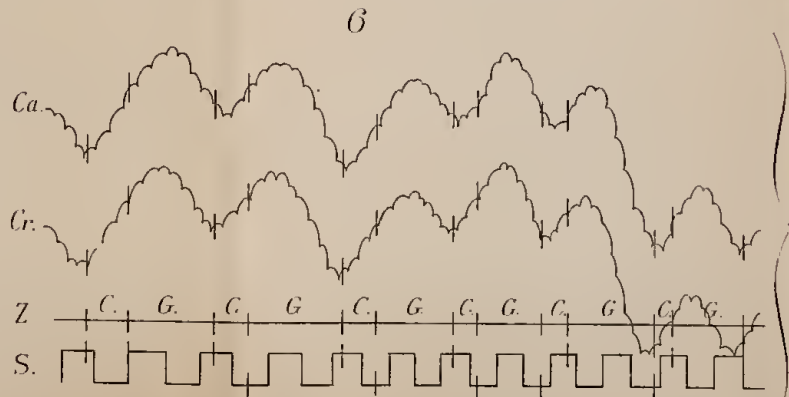
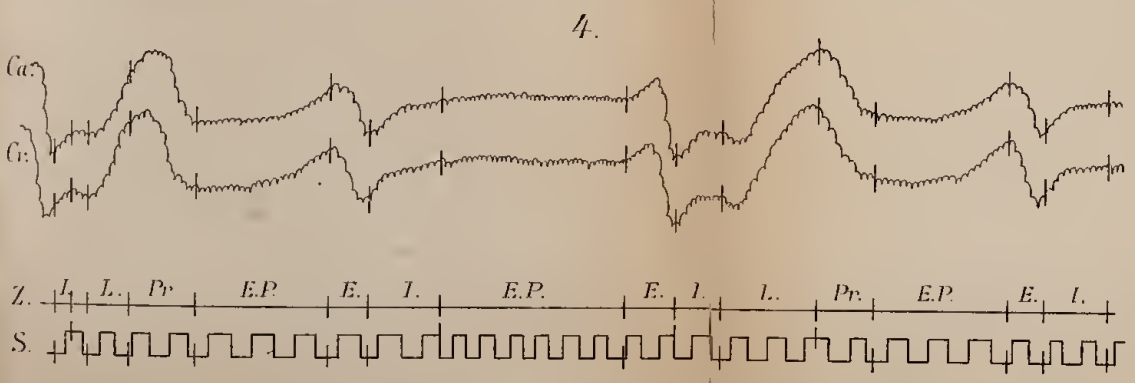
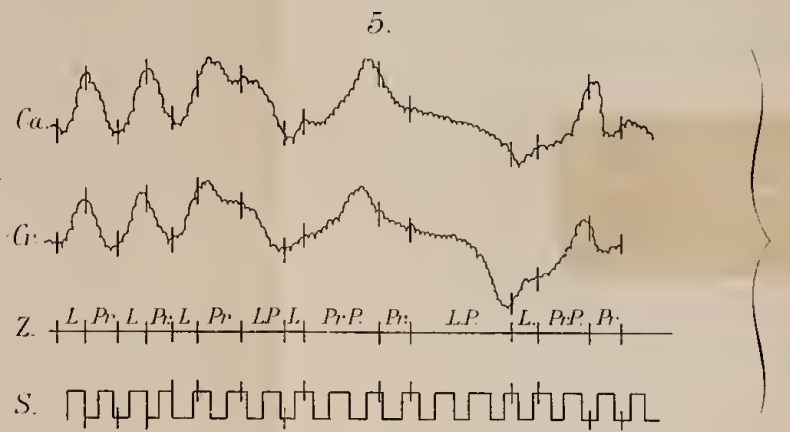
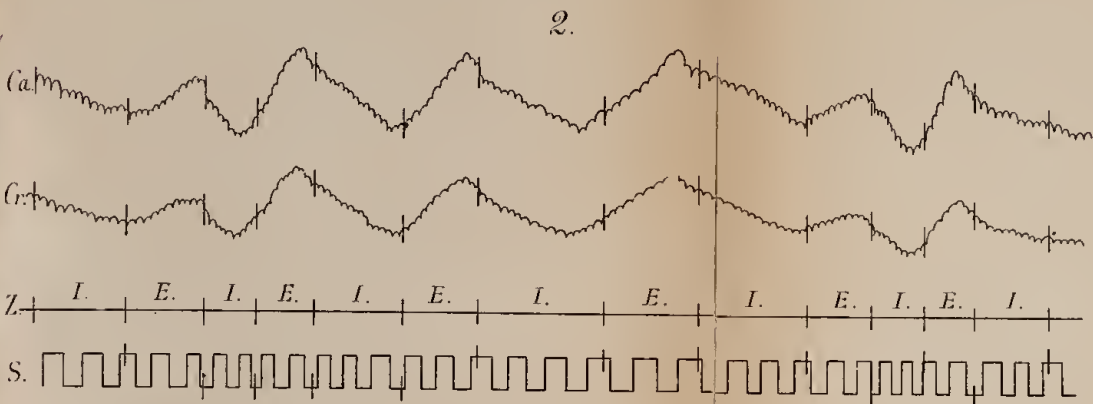
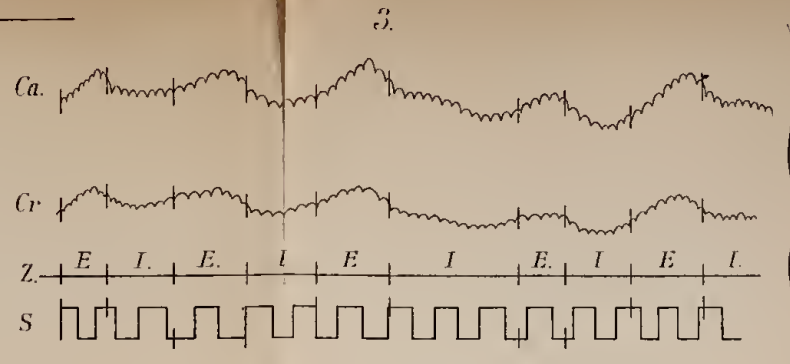
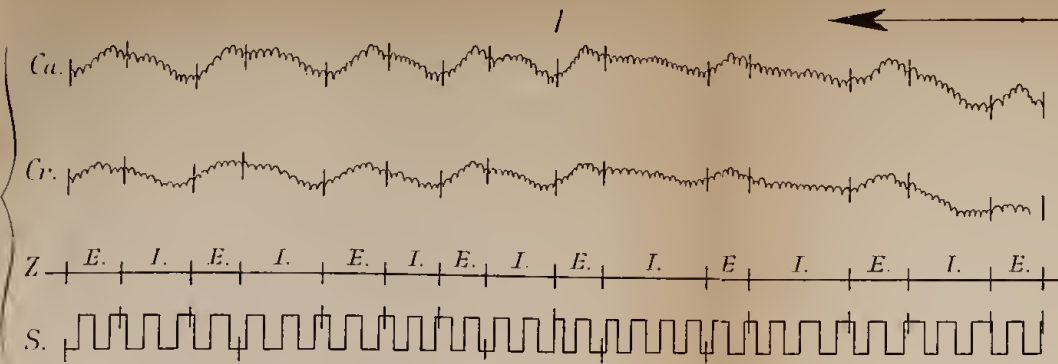


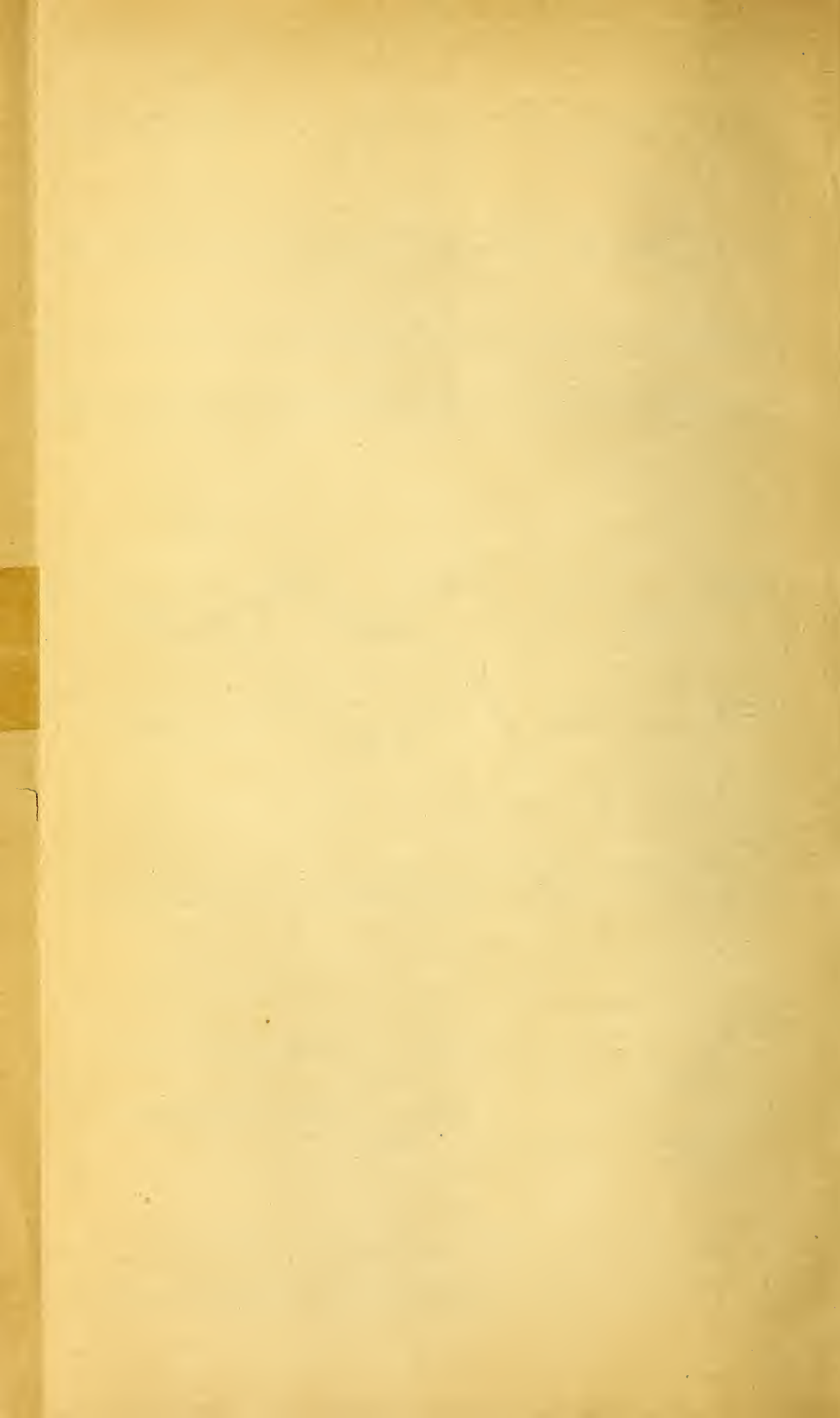
5.



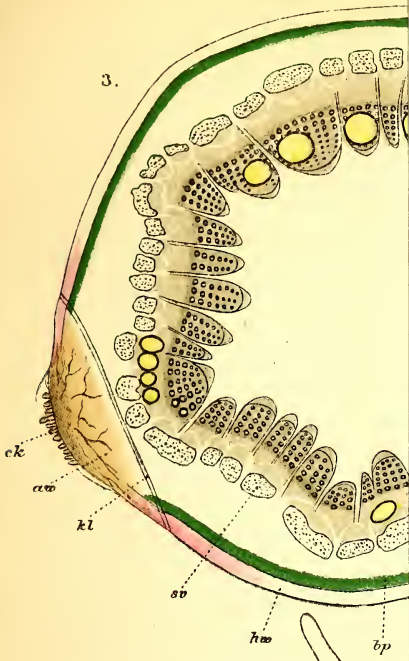
6.



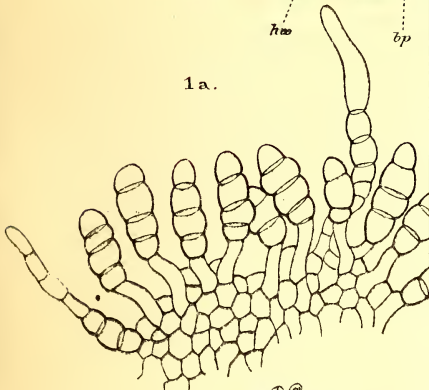




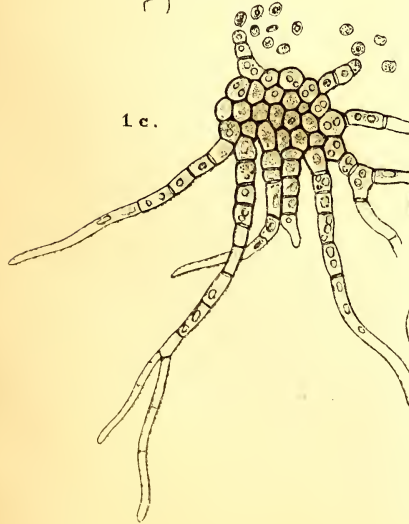
3.

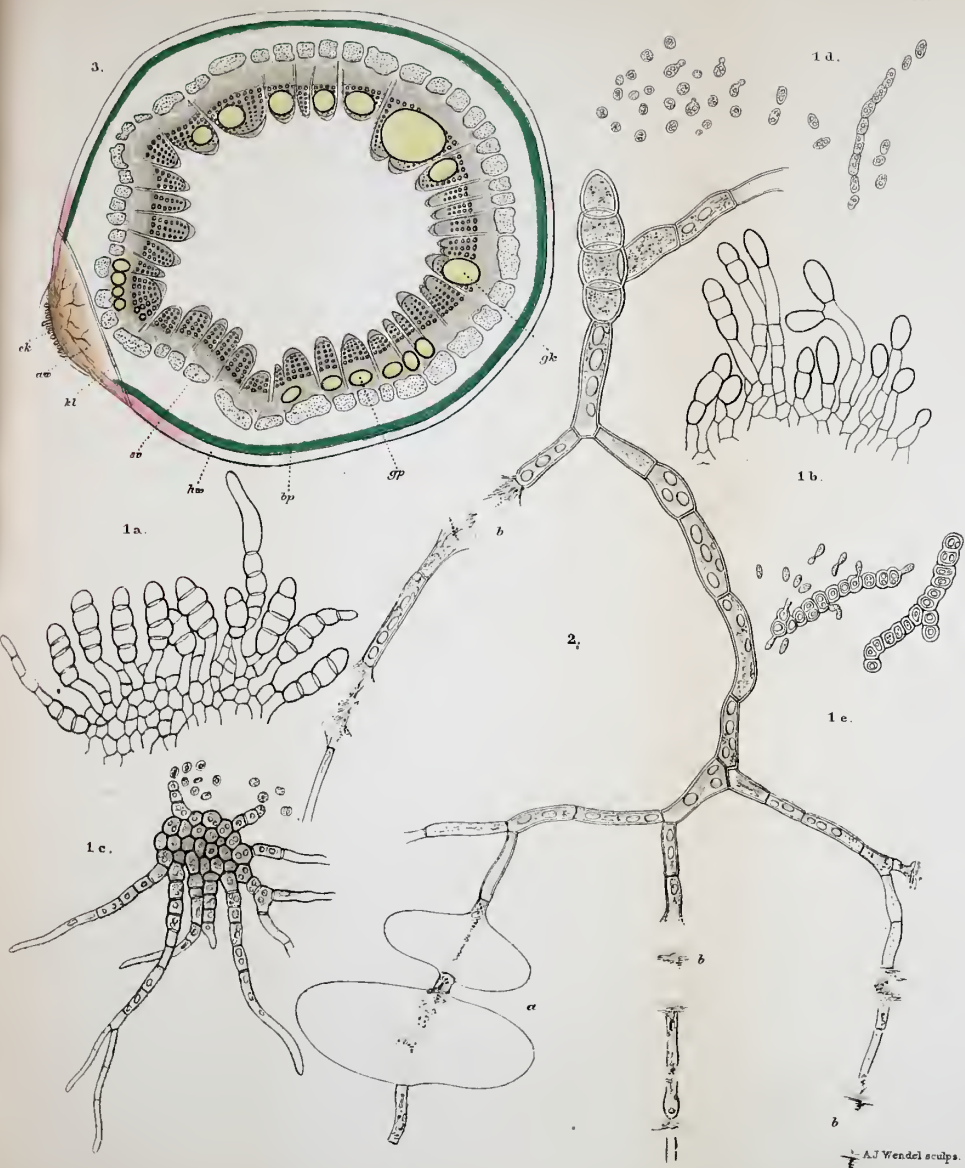


1 a.



1 c.



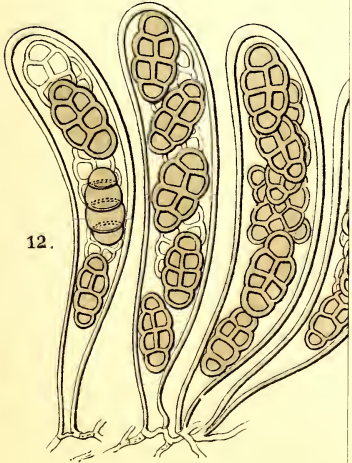


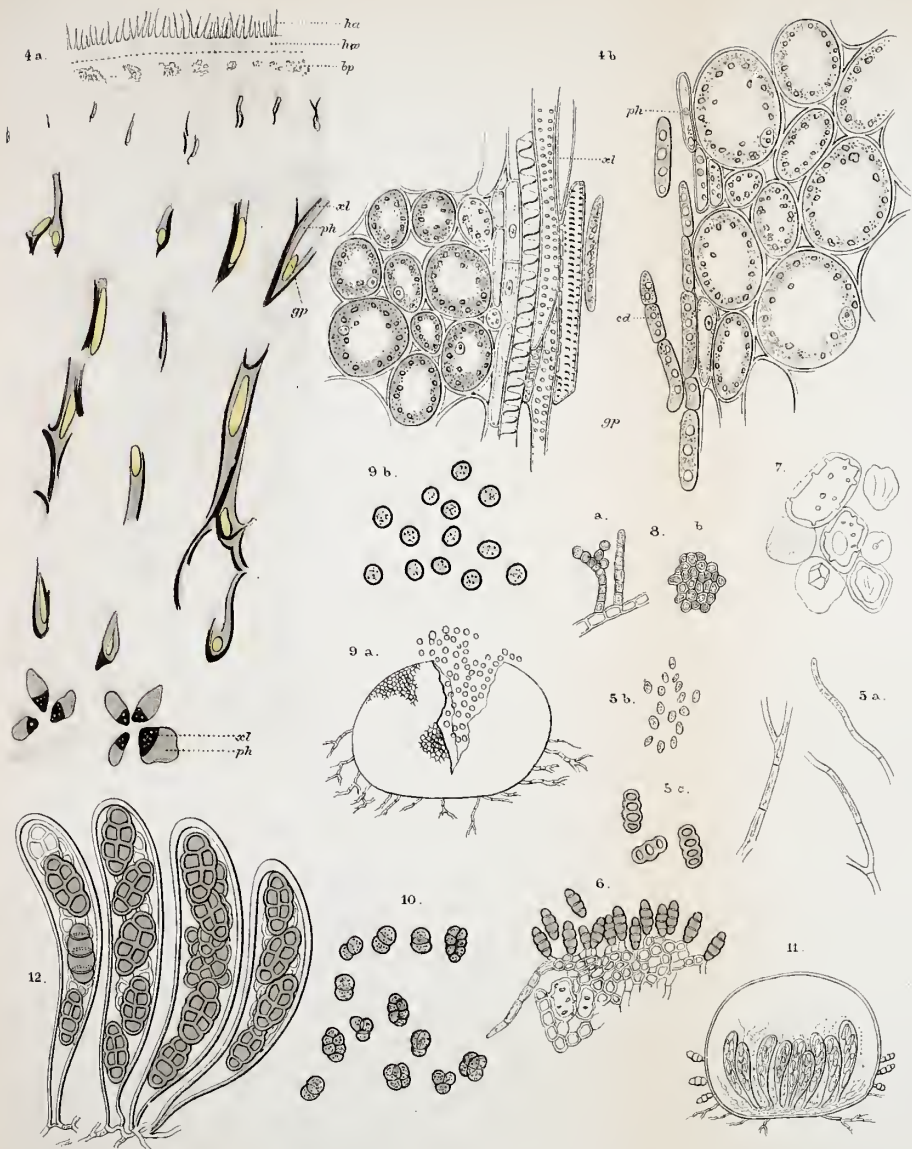


4 a.



12.

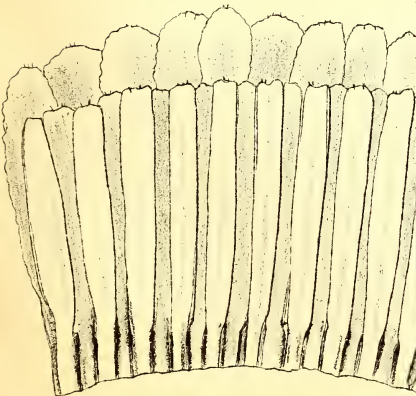
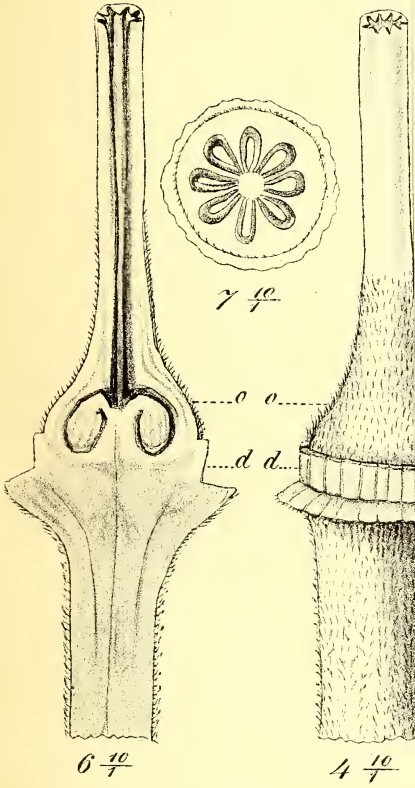






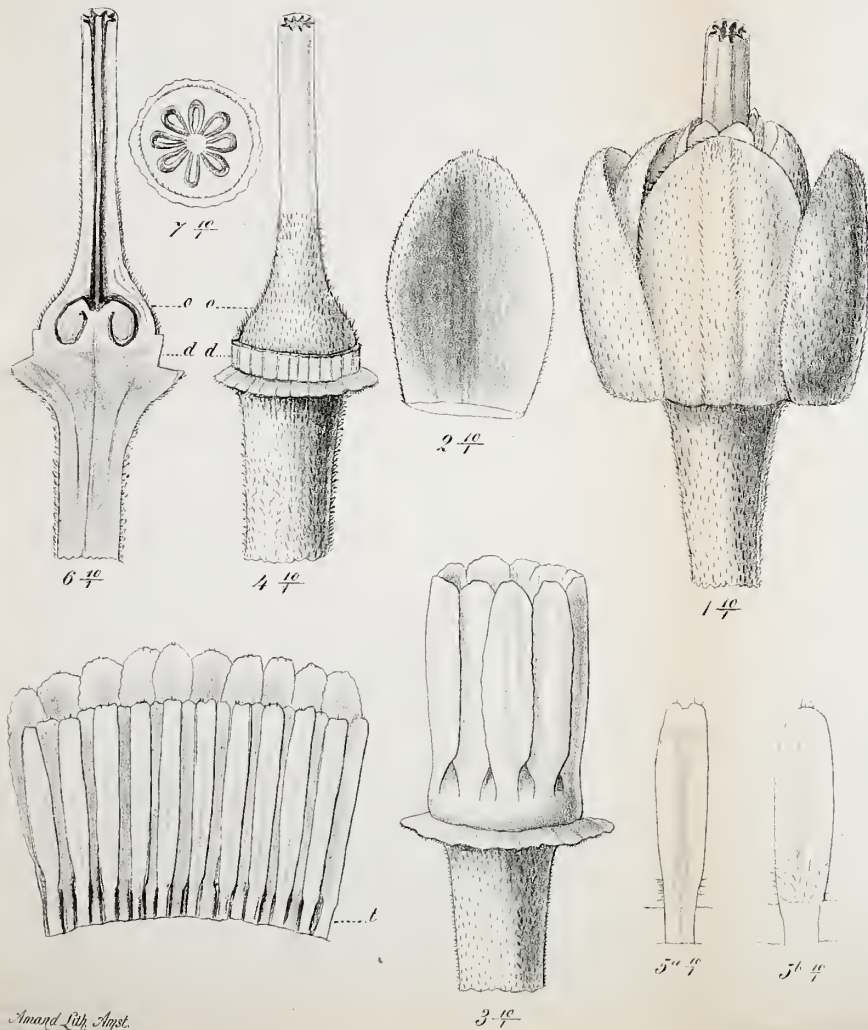
DIPL

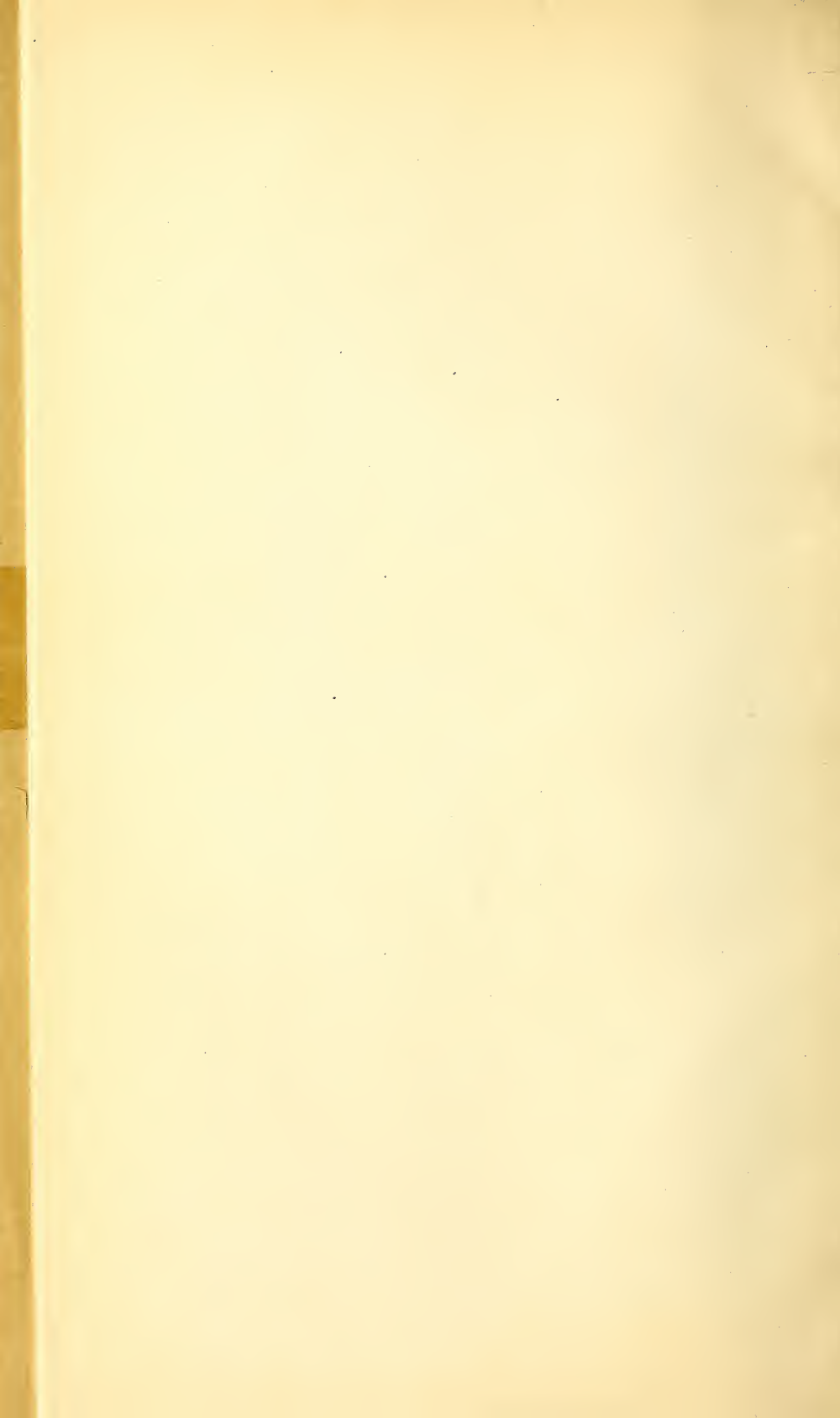
Colle



DIPLOKNEMA SEBIFERA PIERRE.

Borneo: H. C. Knappert,
Collection du Musée Colonial de Harlem.





PROGRAMME

DE LA

Société Hollandaise des Sciences, à Harlem.

ANNÉE 1884.

La Société hollandaise des sciences a tenu, le 17 mai 1884, sa 132^{ième} assemblée générale.

Le Directeur-Président, JHR. G. F. VAN TETS, ouvre la séance en rappelant les pertes douloureuses que la Société a faites, depuis sa dernière réunion générale, par le décès de MM. JHR. W. BOREEL VAN HOGELANDEN, A. A. DEL COURT VAN KRIMPEN et B. J. MULLER, directeurs, H. SCHLEGEL, C. B. TILANUS et B. H. EVERTS, membres nationaux, O. HEER, de Zurich, J. BARRANDE, de Prague, J. B. DUMAS, de Paris, et A. WURTZ, de Paris, membres étrangers. Il souhaite ensuite la bienvenue aux Directeurs nouvellement nommés: MM. M. G. P. DEL COURT VAN KRIMPEN et Jhr. J. B. VAN MERLEN.

Le Secrétaire, M. E. VON BAUMHAUER, informe l'Assemblée qu'aucun Mémoire n'a été reçu, cette année, en réponse aux questions mises au concours.

La Société a publié, dans le courant de l'année:

Archives néerlandaises des sciences exactes et naturelles, t. XVIII, nos. 3, 4 et 5, et t. XIX, nos. 1 et 2;

Natuurkundige Verhandelingen 4^o, 3^e série, t. IV, n^o. 3, contenant le Mémoire de M. C. E. Daniels: *Un cas de Leontiasis ossea (Craniosclerosis)*.

M. A. HEIJNSIUS donne lecture du rapport de la Commission consultée par MM. les Directeurs au sujet de l'attribution de la grande médaille d'or »BOERHAAVE", qui, cette année, revenait à la science physiologique.

Conformément aux conclusions de ce rapport, l'Assemblée, à l'unanimité, décerne la médaille BOERHAAVE à

M. FRANCOIS-CORNEILLE DONDERS,

Professeur à l'Université d'Utrecht,

qui par ses travaux nombreux et variés a contribué, plus qu'aucun autre physiologiste vivant, à développer et à étendre nos connaissances dans le domaine de la Physiologie.

Après avoir discuté et arrêté quelques nouveaux sujets de prix, l'Assemblée, sur la proposition de MM. les Directeurs, nomme membres nationaux de la Société:

MM. C. M. SCHOLS, professeur à l'Ecole polytechnique de Delft,

H. A. LORENTZ, professeur à l'université de Leyde,

E. MULDER et

N. BEETS, professeurs à l'université d'Utrecht;

membres étrangers:

MM. H. GYLDEN, à Stockholm,

E. W. BRÜCKE, à Vienne,

E. PFLÜGER, à Bonn.

QUESTIONS MISES AU CONCOURS.

Jusqu'au 1^{er} janvier 1885.

I. Etablir nettement les titres de HUYGÈNS au sujet de la théorie de la lumière, en s'appuyant sur ses ouvrages et ses lettres et en les comparant avec les écrits de ses contemporains.

II. On demande un Guide pour la détermination des Cryptogames de la Flore néerlandaise.

III. Faire une étude comparative exacte de la formation des feuilletts blastodermiques et de leur développement en corps embryonnaire chez au moins deux espèces d'oiseaux, appartenant à des ordres différents et couvés dans des conditions entièrement semblables.

IV. Scruter la valeur de la théorie des tourbillons (*vortices*) pour l'explication des phénomènes électriques.

V. Produire une monographie sur la Flore de la Guyane néerlandaise.

VI. Déterminer mathématiquement les coefficients d'induction et de potentiel d'un système donné de conducteurs électriques.

VII. Etablir, par des recherches microchimiques, les analogies et les différences entre les matières lithoïdes terrestres et celles qu'on trouve dans les météorites.

VIII. Malgré les nombreuses recherches auxquelles ont donné lieu les états allotropiques du soufre, il règne encore beaucoup d'incertitude à l'égard de la place qui doit être attribuée, parmi les états allotropiques, à quelques variétés de ce corps.

Cela est spécialement le cas pour le soufre mou qu'on obtient en chauffant l'élément à certaines températures, ou qui se sépare dans diverses réactions chimiques.

La Société demande une étude expérimentale, d'où l'on puisse conclure si le soufre mou obtenu de différentes manières doit être regardé comme un état allotropique particulier.

Jusqu'au 1^{er} janvier 1886.

I. M. HUGGINS, en 1866 et 1867, et M. STONE, en 1969, ont essayé de mesurer la chaleur rayonnante des étoiles fixes (*Proceedings of the Royal Society*, vol. XVII, p. 309, et vol. XVIII, p. 159); dans ces premiers essais, il n'a pas été tenu compte de l'absorption de la chaleur par l'atmosphère et par les lentilles convergentes; ces expériences, d'ailleurs, ne paraissent pas avoir été continuées, ni par les deux savants anglais, ni par d'autres.

En conséquence, la Société demande de nouvelles recherches sur la quantité de chaleur rayonnante d'un certain nombre d'étoiles de première et, s'il est possible, de seconde grandeur; on devra avoir égard à la chaleur absorbée par l'atmosphère et par les lentilles.

II. A quels résultats a conduit jusqu'ici l'étude du volume spécifique des corps liquides et solides?

Faire un exposé raisonné de ce qui a été écrit sur la matière et, autant que possible, indiquer dans quelle direction les recherches doivent être poursuivies.

III. D'après les travaux de M. PASTEUR et d'autres savants, des phénomènes pathologiques déterminés sont produits, chez l'homme et chez les mammifères, par des bactéries déterminées. On demande à ce sujet de nouvelles observations et expériences; la description devra être accompagnée de figures représentant les organes pathologiquement altérés et les bactéries dans les différentes phases de leur existence.

IV. Etudier d'une manière précise l'histoire du développement de quelques espèces d'Annélides.

V. Juger les moyens appliqués ou proposés pour déterminer l'influence que le fer des navires exerce sur le compas de route et pour s'affranchir complètement ou en partie de cette influence.

La Société recommande aux concurrents d'abrégier autant que possible leurs mémoires, en omettant tout ce qui n'a pas un rapport direct avec la question proposée. Elle désire que la clarté soit unie à la concision, et que les propositions bien établies soient nettement distinguées de celles qui reposent sur des fondements moins solides.

Elle rappelle, en outre, qu'aucun mémoire écrit de la main de l'auteur ne sera admis au concours, et que même, une médaille eût-elle été adjugée, la remise n'en pourrait avoir lieu, si la main de l'auteur venait à être reconnue, entre-temps, dans le travail couronné.

Les plis cachetés des mémoires non couronnés seront détruits sans avoir été ouverts, à moins que le travail présenté ne soit qu'une copie d'ouvrages imprimés, auquel cas le nom de l'auteur sera divulgué.

Tout membre de la Société a le droit de prendre part au concours, à condition que son mémoire, ainsi que le pli, soient marqués de la lettre L.

Le prix offert pour une réponse satisfaisante à chacune des questions proposées, consiste, au choix de l'auteur, en une *médaille d'or* frappée au coin ordinaire de la Société et portant le nom de l'auteur et le millésime, ou en une somme de *cent-cinquante florins*; une prime supplémentaire de *cent-cinquante florins* pourra être accordée si le mémoire en est jugé digne.

Le concurrent qui remportera le prix ne pourra faire imprimer le mémoire couronné, soit séparément, soit dans quelque autre ouvrage, sans en avoir obtenu l'autorisation expresse de la Société.

Les mémoires, écrits lisiblement, en *hollandais, français, latin, anglais, italien* ou *allemand* (mais non en caractères allemands), doivent être accompagnés d'un pli cacheté renfermant le nom de l'auteur, et envoyés franco au Secrétaire de la Société, le professeur E. H. von Baumhauer, à Harlem.

ARCHIVES NÉERLANDAISES

DES

Sciences exactes et naturelles.

SUR LES PERTURBATIONS DE L'AIGUILLE AIMANTÉE,

PAR

C. H. D. BUYS BALLOT ¹⁾.

J'ai entrepris quelques recherches sur les perturbations magnétiques, dans l'espoir de décider si ces perturbations, suivant qu'elles se produisent simultanément sur toute la surface de la Terre, ou qu'elles restent circonscrites dans des limites plus étroites, peuvent être attribuées à des causes différentes. Quoique cette étude n'ait pas fourni des résultats bien nets, l'exposé des considérations qui m'y ont guidé et des méthodes dont j'ai fait usage ne sera peut-être pas dépourvu de tout intérêt.

Il n'est pas besoin de rappeler comment les illustres fondateurs de la doctrine du magnétisme terrestre, von Humboldt et Gauss, ont immédiatement reconnu la condition essentielle des progrès futurs de cette jeune science. Des séries d'observations doivent être continuées longtemps et régulièrement en quelques stations convenablement choisies quant à leur situation, et de plus, en

¹⁾ Extrait d'une communication faite, en 1862, à la Société des arts et des sciences d'Utrecht (*Aanteekeningen van het verhandelde in de Sectie-Vergaderingen van het Provinciaal Utrechtsch Genootschap van Kunsten en Wetenschappen*, 1862, p.6).

ces mêmes stations et en d'autres, doivent avoir lieu des observations simultanées, exactement simultanées. Ces observations faites à des jours déterminés confirment la présomption, déjà émise antérieurement, que pendant les aurores boréales l'aiguille aimantée éprouve des perturbations sur de très vastes espaces, et cela au même instant. Les annuaires météorologiques sont là pour le démontrer. Le mouvement de l'aiguille de déclinaison est représenté, graphiquement, par des courbes entièrement semblables dans leur marche. Le terrain embrassé par ces observations semble passablement grand, mais pourtant, jusqu'ici, il est presque borné à l'Europe; or, même pour l'intelligence des phénomènes météorologiques ordinaires, l'Europe n'est pas un champ suffisant. J'en ai déjà fait la remarque il y a bien des années, notamment en 1850, dans les considérants d'une question mise au concours par la Société scientifique d'Utrecht. Une seule année d'observations simultanées sur toute l'étendue de la Terre, en des lieux bien choisis, peut avoir plus d'utilité que ces innombrables chiffres recueillis en des points ici beaucoup trop rapprochés, là beaucoup trop distants les uns des autres. La condition signalée n'est toutefois pas facile à remplir, et surtout ne l'était pas autrefois. Aussi a-t-on bientôt renoncé à faire, à certains jours déterminés, de cinq en cinq minutes, des observations simultanées; l'étude des phénomènes n'a été régulièrement poursuivie que dans quelques observatoires, et, parmi ceux-ci, il y en a bien peu où la position de l'aiguille aimantée ait été notée d'une manière continue. Quelques-uns donnent les valeurs d'heure en heure, d'autres toutes les deux heures, d'autres encore, trois fois par jour. D'ailleurs, *trois* données pour chaque aiguille, chaque minute, comment inscrire tout cela? Maintenant déjà, il y a des millions de chiffres superflus, car on ne les met pas en œuvre. Si l'on se décide à les imprimer, le meilleur mode paraît être celui adopté à Greenwich. Là, on ne publie que les positions extrêmes atteintes à chaque oscillation, avec le temps précis du rebroussement; la position correspon-

dant à un instant quelconque peut alors être trouvée, par interpolation, avec une exactitude suffisante. Ce procédé, toutefois, a aussi ses inconvénients, aucun nombre n'étant obtenu sans calcul. Plus tard, on a eu recours à la photographie, et dans les établissements où elle est appliquée on a maintenant, pour chacune des trois constantes du magnétisme terrestre, une courbe continue et par conséquent leur valeur à chaque instant. Il est à souhaiter que ces établissements se multiplient et que, aux investigateurs qui voudront se livrer à des recherches concernant les jours où il s'est passé quelque chose de particulier, l'occasion soit offerte de se procurer, pour un pareil jour, une copie des photographies obtenues sur toute la Terre. Dans l'étude dont j'ai à rendre compte, le besoin d'un semblable secours s'est vivement fait sentir; sans lui, il est impossible de donner une réponse certaine à la question posée.

Cette question est toutefois soulevée de divers côtés, et dès à présent on peut au moins en préparer la solution; plusieurs savants en ont même déjà proposé une solution, qui probablement est inexacte et à coup sûr incomplète. A quoi sont dues les perturbations de l'aiguille aimantée? Aux perturbations dans l'équilibre de l'électricité de la Terre, répond M. Lamont, dans son ouvrage: *Der Erdstrom*. Etudiant les courants qui apparaissent dans un fil métallique reliant deux plaques enfoncées dans le sol, M. Lamont se rendait indépendant des actions chimiques en opérant à la fois sur plusieurs couples de plaques, dont les éléments étaient placés à des distances différentes, et en n'attribuant au courant terrestre que ceux des courants observés au galvanomètre qui étaient simultanés dans les fils de même direction. Il obtenait ainsi des courants dérivés du courant terrestre primaire, et comme l'un des systèmes de plaques était disposé dans le méridien magnétique, un autre dans un plan perpendiculaire au méridien, il pouvait étudier séparément les courants qui changeaient la déclinaison et ceux qui modifiaient l'intensité horizontale. Renvoyant pour les détails à l'ouvrage cité, nous nous

contentons de rappeler ici la conclusion de M. Lamont: les courants ne produisent pas directement les perturbations des aiguilles, mais ils modifient, en direction et en intensité, le magnétisme de la Terre. Ces perturbations doivent donc se manifester sur toute la surface du globe, et cela à peu près au même instant.

Un peu différente est l'opinion de M. le Dr. Lloyd, de Dublin ¹⁾. Ce savant a comparé les courants terrestres, jadis observés par Barlow dans les lignes Derby-Rugby et Derby-Birmingham, avec les mouvements simultanés de l'aiguille aimantée à Greenwich, c'est-à-dire, avec les déviations que l'aiguille avait présentées par rapport à ses positions moyennes pour l'heure et le mois considérés. Comme résultat de cette comparaison, M. Lloyd trouve entre lesdits courants et mouvements une correspondance parfaite; seulement, les mouvements accessoires de l'aiguille sont, à Greenwich, un peu plus petits. Les tracés graphiques donnés dans son Mémoire légitiment, à mon avis, cette conclusion, qui n'est nullement ébranlée par la circonstance que l'accord est moindre entre les courants terrestres Derby-Rugby et les mouvements accessoires de l'aiguille à Munich; M. Lamont, à la vérité, se fonde sur cette circonstance pour rejeter la conclusion du savant anglais; mais, à ce moment, il n'avait pas encore pu prendre connaissance des détails de son calcul. M. Lloyd remonte ensuite, des perturbations de l'aiguille aimantée à Greenwich et en d'autres lieux, aux courants terrestres dans le voisinage de chacun de ces lieux: par le calcul des composantes et de leurs intensités, il arrive à représenter ces courants comme ayant à chaque heure un autre azimut et une autre intensité. Ils paraissent alors parcourir l'horizon, et on peut en dresser pour chaque lieu une espèce de rose, faisant

¹⁾ Rev. Humphrey Lloyd, *On earth-currents and their connexion with the diurnal changes of the horizontal needle. Transactions of the R. Irish Academy, XXIV Science*).

connaître quelles sont pour ce lieu, à une heure donnée du jour, l'intensité et la direction moyennes du courant. Dans les deux hémisphères, le courant suit le cours du *soleil*. En outre, les intensités et les vitesses angulaires ne sont pas partout les mêmes dans les mêmes azimuts, mais elles dépendent, suivant M. Lloyd, de la direction des montagnes voisines ou de l'extension de la terre ferme. Selon lui, il s'agirait donc plutôt de courants et d'influences bornés seulement à un certain espace.

C'est dans un sens encore plus restreint que les courants sont conçus par l'astronome P. Secchi ¹⁾. Celui-ci regarde les perturbations de l'aiguille comme étroitement liées aux variations atmosphériques, et il croit, même lorsque le ciel est serein et le temps en apparence au beau fixe, pouvoir prédire, à Rome, de la pluie et du vent, d'après des variations de l'intensité magnétique ou d'après des perturbations considérables des deux autres constantes. Peut-être a-t-il été impressionné outre mesure par le grand changement de temps survenu en septembre 1859, peu après les fortes perturbations magnétiques qui se sont fait partout ressentir. Moi aussi j'ai fait précédemment quelques recherches au sujet d'une semblable liaison, entendue toutefois dans un sens plus large. Je crus avoir trouvé qu'à l'époque où le soleil et la lune nous envoient le plus de chaleur, la déclinaison éprouve les changements les plus considérables, et j'essayai aussi de démêler si de grandes variations de température, s'étendant à de vastes espaces, ou bien des oppositions prononcées, soit entre l'est et l'ouest, soit entre le nord et sud, étaient en rapport avec des mouvements simultanés étendus de l'aiguille de déclinaison. Plus tard, M. le Dr. Krecke trouva effectivement, mais seulement d'après une

1) Voir différentes Notes de ce savant, avec le plus de détails dans le *Bulletino meteorologico dell' osservatorio del Collegio Romano*, publié grâce à la munificence du Prince Buon Compagno.

2) Voir, à ce sujet, Loomis dans le *Journ. de Silliman*, Balfourt Steward dans *Philos. Transactions*, 1861, p. 423.

courte période, — de sorte que la coïncidence pourrait être purement fortuite, — qu'aux dates des perturbations le St. Bernard avait toujours, par rapport au reste de l'Europe, la température la plus basse. Bien que j'eusse volontiers poursuivi cette étude, — ce qui montre qu'une connexion entre la distribution du temps et le mouvement de l'aiguille aimantée ne me paraît pas improbable, — j'ai pourtant élevé quelques objections contre les vues de M. Secchi, qui me semblait admettre une connexion trop intime et renfermée dans des limites trop étroites. M. Secchi, toutefois, ne s'est pas rendu à ces arguments, et il ne regarde pas non plus comme décisives les objections formulées par M. Allan Broun; il croit donc, car cela est impliqué dans sa conception, que les perturbations magnétiques sont locales. Tous les jours, en effet, le temps change quelque part sur la Terre, et si, en un lieu donné, un changement de temps correspond à une perturbation, mais qu'il n'y ait pas des perturbations tous les jours, c'est que celles-ci ne s'étendent pas à la Terre entière. Indubitablement, les perturbations se produisent toujours sur des espaces plus grands qu'on ne serait conduit à le croire d'après l'opinion de M. Secchi.

Enfin, une hypothèse a été énoncée qui doit faire admettre l'absolue généralité du phénomène. Les recherches de M. Kreil, du général Brisbane, de M. Sabine et de moi-même ¹⁾ ont péremptoirement démontré que la Lune exerce une action magnétique sur la terre. Quelques-uns attribuent aussi une pareille action au Soleil, non seulement une action indirecte, par la chaleur de l'astre, mais en outre une action directe, analogue à celle d'un aimant sur un autre aimant. La période trouvée par M. Lamont dans les variations diurnes de l'aiguille aimantée, et qui est ordinairement dite décennale, bien que M. Wolf, de Berne, lui donne une durée de 11 ans $\frac{1}{3}$, — durée égale, chose

¹⁾ *Aanteekeningen van het Verhandelde in de Sectie-Vergaderingen van het Prov. Utrechtsch Genootschap*, 1853, p. 54.

assez étrange, à celle de l'année de Jupiter, — cette période, dis-je, est considérée par M. Wolf et M. Sabine comme étant en rapport avec une période de même longueur, et concordante quant au temps du maximum et du minimum, dans le nombre des taches solaires. Il me semble que, pour trancher cette question, il faudra une série d'observations plus longue que celle dont on peut disposer aujourd'hui, même après les efforts méritoires de M. Wolf et de M. Schwaabe. Tandis que M. Lamont défend la durée de 10 ans et M. Hansteen celle de 11, je crois encore pouvoir prouver, avec le même degré de probabilité, aussi bien l'une que l'autre de ces durées, tant pour les taches solaires que pour les variations diurnes de la déclinaison de l'aiguille aimantée; en fait, une distribution des taches solaires, d'après chacune de ces deux périodes, a été communiquée par moi à M. Wolf et peut facilement être extraite de ses *Mittheilungen über die Sonnenflecken*. Il n'est pas facile de démontrer que deux périodes sont connexes. Certaines périodes de la vie humaine n'ont-elles pas été regardées aussi comme dépendantes du cours de la Lune, et les médecins ne reviennent-ils pas de plus en plus de cette idée, parce qu'il n'y a pas accord *parfait*, — car telle est la condition nécessaire, — ni quant à la durée, ni (on pourrait ajouter „par conséquent”) quant à *l'époque* chez des individus différents? Mais d'un autre côté, en présence de l'incertitude qui règne au sujet de l'inégalité des périodes, il n'est pas non plus permis de nier à priori qu'un rapport existe entre les taches solaires et les mouvements magnétiques, et je respecte donc volontiers l'opinion que M. Sabine et M. Wolf ont simultanément émise. J'avais même dû lui reconnaître une grande probabilité lorsque l'observation de M. Carrington fut communiquée par le général Sabine pour la première fois, dans une lettre; il est vrai qu'ensuite, dans les Annales de Poggendorf, il s'exprima en termes un peu atténués, et, plus tard, d'une manière encore moins formelle. Pourquoi les appareils photographiques de l'Angleterre, pays qui fait tant pour le magnétisme terrestre, autant, pourrait-on dire, que tous

les autres ensemble, pourquoi ces appareils ne donnent-ils pas des observations plus multipliées? Si elles étaient plus nombreuses, tout doute cesserait et, en constatant la connexion entre les variations brusques des taches solaires et les perturbations dans les mouvements de l'aiguille, on aurait en même temps reconnu que ces perturbations doivent être simultanées pour la Terre entière. Seulement, la position de l'horizon d'un lieu, au moment donné, pourrait faire qu'en ce lieu elles ne soient ressenties qu'à un faible degré.

Différentes considérations théoriques, on le voit, font désirer de connaître plus exactement ces perturbations et leurs causes. Non moins vif est l'intérêt que cette connaissance présente pour la pratique. Dans les lignes télégraphiques, en effet, il se produit également des perturbations, si fortes qu'on ne peut plus transmettre de signaux, à moins de disposer de deux fils entre les mêmes stations et de faire revenir le courant, non plus par la terre, mais par le second de ces fils. Grâce à cette combinaison, le bureau d'Amsterdam a pu, même au commencement de septembre 1859, échanger des signaux avec Londres. Les courants provoqués par les orages qui passent au-dessus des fils sont déjà un embarras pour la télégraphie, et les aurores boréales rendent la transmission des dépêches impossible sur de grandes parties de l'Europe. D'autres courants telluriques intenses sont-ils en relation avec des aurores boréales produites de jour et par suite non visibles, sauf peut-être, de temps en temps, à l'orientation des nuages? Quand naissent les courants telluriques? Sont-ils réellement, comme le croit M. Lloyd, synchrones avec des perturbations de l'aiguille aimantée, ou bien cela n'est-il le cas que pour les courants d'une certaine espèce, tandis que d'autres reconnaissent une origine différente? Sont-ils fréquemment limités à des lieux déterminés, comme M. Sabine l'admet pour Point-Barrow, ou sont-ils généraux sur la Terre, ainsi qu'il dit également l'avoir constaté maintes fois?

Telles sont les questions que j'aurais voulu résoudre, entre

autres dans l'espoir, comme je l'ai indiqué en commençant, de pouvoir assigner aux perturbations, suivant la manière dont elles se produisent, des causes différentes.

Pour cette recherche, je disposais du trésor d'observations recueilli pendant plusieurs années, suivant le plan du général Sabine, sur les ordres du Gouvernement britannique, à Toronto, à St.-Hélène, au Cap de Bonne-Espérance et à Hobarton; de 1843 à 1846 ces observations ont été simultanées, c'est-à-dire, faites les mêmes jours, car, ayant eu lieu partout à l'heure locale pleine, elles ne sont pas simultanées d'après l'heure de Göttingen, mais peuvent différer entre elles d'une demi-heure. Toutes ces observations ont dû être calculées de nouveau. Dans ses registres, le général Sabine aura probablement bien noté lui-même les perturbations, chacune à son heure, de manière à pouvoir juger assez facilement lesquelles étaient simultanées, lesquelles ne l'étaient pas; mais, ces registres, je ne les avais pas et je dus donc les refaire. Cela me semblait d'ailleurs préférable, les perturbations devant, à mon avis, être triées et appréciées avec plus de rigueur scientifique qu'elles ne l'ont été jusqu'ici. Ce perfectionnement de la méthode d'étude aura probablement dans d'autres occasions plus d'importance que dans celle-ci, où, grâce au tact et à l'expérience d'un savant tel que M. Sabine, le but n'en a pas moins été atteint, ou du moins approché de très près.

La sûreté de son coup d'œil, exercé par le long maniement des chiffres, fit immédiatement reconnaître à M. Sabine que les fortes perturbations suivaient, dans leur distribution sur la journée, une autre loi que les petites, et il crut en conséquence devoir épurer ses observations, en séparant et traitant à part les perturbations qui avaient une certaine valeur, le double de la valeur moyenne. Il obtint ainsi un certain nombre de moyennes. De nouveau il appliqua le procédé d'épuration. Cela lui donna ses moyennes définitives et, séparément, les observations maintenant reconnues pour perturbations. Celles-ci étaient, en effet,

autrement distribuées sur les heures du jour et de la nuit. A différentes reprises il s'assura même si la limite avait été à peu près atteinte, en extrayant encore une fois des observations les perturbations plus faibles d'une minute et en les joignant aux perturbations obtenues précédemment ; mais il n'en continua pas moins à craindre de n'être pas encore arrivé à la limite exacte.

Or, cette limite exacte, je la trouve immédiatement, d'une autre manière. J'ai pris les moyennes de toutes les observations faites à une même heure dans un mois donné, et j'ai appliqué ma méthode des déviations. Toutes les observations ont ainsi été obtenues sous la forme de déviations pour chaque heure du jour, les déviations positives et négatives séparées les unes des autres. Ensuite, j'ai simplement compté, pour chacune de ces deux espèces de déviations, combien il y en avait, à chaque heure, de zéro à une division de l'échelle, combien de une à deux divisions, de deux à trois, de trois à quatre, etc. De ces nombres il devait ressortir si les petites perturbations obéissent à une autre loi que les grandes, et, en cas d'affirmative, où se trouve la démarcation entre les unes et les autres.

Comme exemple de l'application de cette méthode, je donne ici, dans le tableau A, une partie des chiffres obtenus pour Toronto.

(Tab. p. 117.)

Ce tableau ne contient que les quatre classes de déviations de 3 à 4, de 4 à 5, de 5 à 6 et de plus de 6 parties de l'échelle, parce que c'est dans cet intervalle que tombe la limite. La première colonne indique l'heure de Toronto à laquelle les déviations se rapportent, les huit colonnes suivantes donnent le nombre des déviations, alternativement celui des déviations positives et négatives.

En considérant les colonnes affectées de +, on s'aperçoit bientôt que dans les deux premières les nombres les plus forts se trouvent en haut, les plus faibles en bas. Par contre, dans la dernière colonne +, les nombres les plus forts occupent évidemment la moitié inférieure. Pour les colonnes affectées de —,

A. PERTURBATIONS DE L'AIGUILLE DE DÉCLINAISON
à TORONTO, EN PARTIES DE L'ÉCHELLE.

HEURES.	DE 3-4.		DE 4-5.		DE 5-6.		DE 6-	
	+	-	+	-	+	-	+	-
0	40	37	28	22	17	13	22	34
1	57	34	20	18	17	14	26	23
2	51	39	38	20	16	9	12	36
3	74	36	26	23	22	16	2	32
4	56	39	34	24	30	13	8	39
5	59	48	33	25	15	15	17	28
6	55	49	31	37	10	12	12	32
7	48	47	19	30	16	21	9	19
8	37	53	22	26	5	4	9	20
9	54	48	21	19	7	19	2	19
10	33	21	11	24	10	10	8	24
11	20	24	19	9	6	10	10	18
12	33	20	16	17	6	9	22	16
13	24	32	17	12	11	8	36	17
14	21	57	13	20	18	6	52	17
15	32	74	29	19	16	17	73	14
16	26	78	25	26	25	7	69	11
17	36	55	31	17	21	6	45	11
18	32	50	16	22	16	9	64	18
19	27	49	23	16	14	9	48	28
20	32	43	20	23	14	15	39	25
21	34	31	29	22	16	22	32	31
22	40	35	30	16	14	19	26	32
23	37	25	31	22	16	17	37	38

c'est l'inverse. L'opposition s'accuse encore plus distinctement dans les différences entre les nombres correspondants de chaque paire de colonnes.

B. EXCÈS DU NOMBRE DES PERTURBATIONS POSITIVES
SUR LE NOMBRE DES PERTURBATIONS NÉGATIVES,
ET SOMMES DE TOUTES LES DÉVIATIONS.

HEURES.	DE	DE	DE	DE	DE	DE	SOMMES.	
	3-4.	4-5.	5-6.	6+.	3-5.	5 ET PLUS.	DE 3-5.	DE 5 ET PLUS
0	3	6	4	-12	+9	-8	127	86
1	2	2	3	3	4	6	129	80
2	12	18	7	-24	30	-17	148	72
3	38	3	6	-23	41	-17	159	72
4	17	10	7	-31	27	-24	157	90
5	11	8	0	-11	19	-11	165	75
6	6	-6	-2	-20	0	-22	172	66
7	11	-11	-5	-10	0	-15	144	65
8	-16	-4	+1	-11	-20	-10	141	38
9	6	2	-12	-17	8	-29	142	47
10	12	-13	0	-16	-1	-16	90	52
11	4	10	-4	-8	14	-12	72	44
12	13	-1	-1	6	12	+5	86	51
13	-1	5	3	19	-3	22	77	72
14	-36	-7	12	35	-43	47	111	93
15	-42	+10	-1	59	-32	58	154	120
16	-52	-1	8	58	-53	66	155	142
17	-19	+14	15	34	-5	49	132	83
18	-18	-6	7	46	-24	53	120	107
19	-22	7	5	20	-15	25	108	109
20	-11	-3	-1	14	-14	13	118	93
21	3	7	-6	1	+10	-5	113	101
22	5	14	-5	-6	19	-11	121	91
23	12	9	-1	+2	21	+1	115	105

Dans ce second tableau, B, la première colonne contient l'heure, les quatre suivantes la différence en plus du nombre des déviations positives sur celui des négatives. Dans la colonne 6 sont additionnés les nombres relatifs aux deux premières classes de déviations, dans la colonne 7, ceux qui proviennent des deux autres classes; dans la colonne 8 j'ai inscrit les sommes des déviations, tant positives que négatives, des deux premières classes, tandis que toutes les déviations de 5 à 6 et au-delà sont ajoutées ensemble dans la 9^{ième} colonne, attendu que la distribution des déviations appartenant aux différentes classes présente moins d'inégalité que n'en montrent les différences entre les déviations positives et négatives. On voit que, à Toronto, il y a une opposition évidente entre les déviations qui ne dépassent pas 5 parties de l'échelle et les déviations dont la valeur est plus grande. De la même manière, on reconnaît que pour Hobarton la limite se trouve à environ trois parties de l'échelle, pour le Cap de Bonne-Espérance et pour St.-Hélène à environ deux. Je dis „environ”; car, si l'on peut distinguer deux classes de déviations, il y a pourtant des passages de l'une à l'autre, ne fût-ce que parce qu'il n'a pas été tenu compte de l'influence de la lune et que les moyennes ne sont donc pas disposées suivant toutes les périodes connues; de ce chef, la moyenne aurait dû subir çà et là, mais à des heures différentes, un changement d'une demi-partie de l'échelle, en plus ou en moins. Si les observations portaient sur un plus grand nombre d'années, il faudrait aussi les étudier séparément pour les différentes saisons, ou même pour les différents mois, car la limite des classes pourrait très bien varier un peu avec les époques de l'année.

J'ai reconnu que les déviations ne peuvent être partagées qu'en deux groupes, que, par exemple, les déviations de valeur moyenne ne suivent pas une autre loi de distribution que les petites et aussi une autre loi que les grandes. D'après cette base, il n'y a donc certainement pas plus de deux classes de déviations. On ne peut même conclure, de l'opposition des lois

de distribution, à l'existence de deux causes différentes, l'une pour les déviations plus fortes, l'autre pour les déviations plus faibles. J'ai en effet déjà démontré, dans mes *Changements périodiques de température*, 1847, que les écarts que la température atmosphérique présente par rapport à son état moyen sont également, en hiver, autrement distribués qu'en été. Les grands écarts, de sept, huit degrés, ou plus, se produisent en hiver plus fréquemment dans le sens négatif, en été plus fréquemment dans le sens positif; et pourtant, dans les deux saisons, la cause de perturbation est la même, savoir, l'incidence de vents autres que les vents moyens. Pour établir des causes différentes à l'aide des phénomènes seuls, — bien entendu, il en serait tout autrement si l'on savait à priori que tantôt telle cause et tantôt telle autre exerce une action prépondérante, — j'ai cherché un nouveau critérium en rapport avec les considérations exposées au début de cette communication. On peut, en effet, se demander: certaines classes de déviations sont-elles générales pour toute la Terre, d'autres bornées à l'une de ses parties? On a le plus de chances de trouver la réponse à cette question en s'adressant aux déviations les plus fortes, car les petites ne peuvent être reconnues. Partout et toujours, en effet, il y a des déviations, et le seul caractère qui serait décisif, à savoir que les déviations simultanées fussent partout positives ou partout négatives, ou que les déviations positives dans un hémisphère correspondissent toujours à des déviations négatives dans l'autre hémisphère, ce caractère, dis-je, ne ressort pas de l'examen des observations. Il ne pourrait d'ailleurs être constaté qu'au moyen de registres photographiques, lesquels révèlent les oscillations des aiguilles, et qui permettraient de rattacher les unes aux autres les déviations et oscillations exactement simultanées.

Bien que, dans les vingt dernières années, quelques-unes des questions précédentes aient reçu une solution au moins partielle

ou aient dû être modifiées, j'ai cru pouvoir reproduire jusqu'ici mon Mémoire de 1862, parce qu'il me semblait utile d'insister un peu sur la méthode du triage des observations, avant que le Congrès international, qui se réunira prochainement à Vienne, soit appelé à se prononcer sur cette méthode.

La dernière partie de mon Mémoire, dans laquelle je montrais, au moyen de tableaux numériques, que dans les quatre stations précitées, Toronto, St.-Hélène, le Cap et Hobarton, il arrive fréquemment, mais non pas toujours, que des perturbations se produisent le même jour, — cette dernière partie était nécessaire à cette époque, parce qu'aucune comparaison aussi générale des observations n'avait encore été publiée; mais il serait superflu de la reproduire maintenant que le vœu ci-dessus énoncé, au sujet de l'inscription photographique, c'est-à-dire continue de la marche des instruments magnétiques, se trouve réalisé. A peine l'observatoire d'Utrecht était-il entré, en 1867, en possession de ces appareils inscripteurs, que j'ai donné, dans les *Annaires* de 1868 et 1869, les perturbations simultanées, à certains jours, pour quelques stations; il y a une couple d'années, une Commission s'est formée en Angleterre, qui s'occupe de faire reproduire et de réunir l'un à côté de l'autre un certain nombre de pareils tracés photographiques; en outre, de temps en temps, on adresse des épreuves de ces reproductions à M. le Dr. Whipple ou à M. le prof. Wild. Sous ce rapport, il y a donc lieu d'être satisfait.

En ce qui concerne toutefois la méthode à adopter pour la mise en œuvre des matériaux, l'accord n'est pas encore fait, et pourtant on sait déjà, par les belles observations de M. Wijkander, que souvent des perturbations ne s'étendent que sur un espace borné et sont d'une autre nature que celles qui se font sentir à des distances plus grandes.

Maintenant surtout, après l'expédition polaire internationale, pendant laquelle les observatoires fixes ont également, aux jours et heures convenus, observé sans interruption, on a à considérer

un si grand nombre de stations, qu'il est de la plus haute importance de s'entendre sur la manière dont les observations doivent être calculées et combinées.

Dans ce qui précède, j'avais proposé de calculer les écarts à l'indication moyenne déduite de toutes les observations; peut-être est-il plus simple, et n'en résultera-t-il pas une grande différence, de déduire la marche normale des observations relatives à des jours qui paraissent exempts de perturbations. Sans doute, il restera alors encore quelque chose d'arbitraire, en tant qu'il s'agit de décider si tel ou tel jour doit être regardé comme régulier; mais, néanmoins, il y a beaucoup à dire en faveur de cette simplification.

Quant au fond de la méthode ci-dessus proposée, je n'ai rien à y changer. Les déviations doivent être réparties en classes, d'après leur grandeur; pour chaque classe séparément il faut examiner comment marchent ces déviations, afin de découvrir, par comparaison, quelles classes affectent une certaine allure, quelles autres une allure différente; c'est ainsi que doit être cherché où se trouve la limite; rien n'autorise à fixer celle-ci d'avance, d'une manière arbitraire.

LE PHÉNOMÈNE DÉCOUVERT PAR HALL
ET LA
ROTATION ÉLECTROMAGNÉTIQUE DU PLAN
DE POLARISATION DE LA LUMIÈRE,

PAR

H. A. LORENTZ.

§ 1. Partant de l'idée que peut-être un aimant n'agirait pas seulement sur le conducteur d'un courant électrique, mais aussi directement sur le courant lui-même transmis par ce conducteur, M. Hall, de Baltimore, a fait, en 1879, une découverte importante ¹⁾. Après quelques expériences qui n'avaient conduit à aucun résultat, il plaça une mince feuille d'or, fixée sur une plaque de verre, entre les deux pôles d'un fort électro-aimant, de façon qu'elle fût perpendiculaire aux lignes de force du champ magnétique. Par la feuille d'or, qui avait la forme d'un rectangle, passait, d'un des côtés courts à l'autre, le courant de quelques éléments de Bunsen (le *courant principal*), et deux points, situés vis-à-vis l'un de l'autre sur les côtés longs, étaient reliés à un galvanomètre sensible.

Avant la mise en action de l'électro-aimant, ces deux points avaient été déterminés de telle sorte qu'ils fussent équipotentiels et que par conséquent, à l'établissement ou à la rupture du courant principal, aucun changement ne fût observé dans la position de

¹⁾ Un premier Mémoire dans *American Journal of Science a. Arts*, XIX, p. 200, et *Phil Mag.*, 5th Series, IX, p. 225; un second dans *American Journal*, XX, p. 161, et *Phil. Mag.*, X, p. 301.

l'aiguille du galvanomètre. Un courant étant alors admis dans le fil de l'électro-aimant, l'aiguille éprouvait une déviation, qui persistait tant que durait la force magnétique, et qui ne pouvait donc être attribuée à un phénomène d'induction. En d'autres termes, dès que la feuille d'or, traversée par le courant principal, est placée dans un champ magnétique, perpendiculaire aux lignes de force, il apparaît une force électromotrice dans une direction transversale, perpendiculaire aussi bien à la direction du courant principal qu'à celle de la force magnétique.

§ 2. Le phénomène n'avait d'ailleurs qu'une faible intensité; dans les différentes expériences, la force électromotrice transversale varia de $\frac{1}{3000}$ à $\frac{1}{6500}$ de la force électromotrice longitudinale qui est la cause du courant principal. Il fut reconnu, en outre, que le phénomène ne pouvait être observé que dans des feuilles métalliques très minces, et le matériel ne se prêtait donc pas à des mesures exactes. Néanmoins, M. Hall réussit à faire quelques déterminations quantitatives, indiquant que dans une même feuille métallique la force électromotrice transversale est proportionnelle tant à l'intensité du courant principal (ou à la force électromotrice qui entretient celui-ci) qu'à la puissance du champ magnétique. Ce résultat a été confirmé par des expériences postérieures de M. v. Ettingshausen ¹⁾, lesquelles s'accordent aussi d'une manière satisfaisante avec celles de M. Hall en ce qui concerne l'intensité de l'effet. M. v. Ettingshausen a trouvé, dans différents cas, les valeurs $\frac{1}{7700}$ et $\frac{1}{2500}$ pour le rapport des forces électromotrices transversale et longitudinale.

M. Hall a aussi essayé l'argent, le fer, le nickel, le platine et l'étain, et il y a observé le même phénomène, dont toutefois la direction n'était pas toujours la même.

§ 3. Dans l'or la direction peut être indiquée de la manière suivante. Si, selon l'usage ordinaire, on entend par la direction d'un courant celle que suit l'électricité positive, la direction de la force électromotrice transversale s'obtient en faisant tourner

¹⁾ *Wiener Sitzungsberichte*, 2^{te} Abth. LXXXI, p.441.

la direction du courant principal d'un angle de 90° dans le sens du courant qui circule dans la bobine de l'électro-aimant. Lorsque, comme dans les expériences de M. Hall, les deux points situés en face l'un de l'autre sur les côtés longs de la feuille métallique sont reliés au galvanomètre, la règle énoncée détermine la direction du courant observée dans cet instrument. La communication avec le galvanomètre n'existe-t-elle pas, la force électromotrice transversale produira naturellement une accumulation d'électricité positive à l'un des bords de la feuille métallique et d'électricité négative à l'autre bord, jusqu'à ce que la force électromotrice qui en résulte fasse équilibre à celle qui provient de l'aimant. Dans ce cas, la règle donnée détermine la direction allant du côté négatif au côté positif de la feuille métallique.

La règle trouvée pour l'or s'applique aussi aux autres métaux étudiés par M. Hall, à l'exception du fer; dans ce métal le phénomène se produit en sens inverse.

§ 4. Sans vouloir donner une *explication* de l'action décrite, nous pouvons envisager celle-ci au point de vue de quelques propositions générales concernant la nature des forces physiques.

Une première proposition de ce genre est relative au mouvement de deux systèmes matériels A et A' pouvant être regardés, par rapport à un plan fixe, comme l'image par réflexion l'un de l'autre. Nous entendons par là que les points matériels de A et A' , qui sont l'image l'un de l'autre, sont aussi de même nature physique, et que les points de A agissent réciproquement suivant les mêmes lois que ceux de A' . Le théorème en question dit alors que, s'il existe en A (sous l'influence des forces intérieures) un certain état de mouvement, il peut exister en A' un état de mouvement tel que A' reste l'image de A . Tous les phénomènes que nous connaissons plaident en faveur de ce théorème; il cesserait seulement d'être vrai si l'on voulait supposer concurremment des matières électriques et des matières magnétiques. Mais dès qu'on adopte la théorie d'Ampère sur la nature du magnétisme, l'image d'un pôle magnétique devient un pôle contraire et la proposition

peut être admise aussi dans le domaine de l'électromagnétisme.

En prenant maintenant, dans l'expérience de Hall, les images, par rapport à un plan quelconque, de la plaque métallique (c'est-à-dire de tous ses points matériels), du courant magnétisant, du courant principal et du courant du circuit galvanométrique (ou, si ce dernier manque, de l'électricité libre aux bords de la feuille métallique), on obtient une seconde expérience, dans laquelle, comme il est facile de le voir, la direction du phénomène est de nouveau déterminée par la règle du § précédent. Il en résulte que l'image d'un morceau de métal a exactement les mêmes propriétés (au moins en tant qu'il y a lieu d'en tenir compte ici) que ce métal lui-même.

On sait que cela ne peut être dit de tous les corps; il existe des matières dont l'image possède d'autres propriétés que la matière elle-même, et dont les parties constituantes doivent avoir un arrangement tel que, même si l'on prend l'image de chaque point matériel, l'image totale ne peut pas être superposée à la matière originale. Ces matières sont celles qui présentent la rotation *naturelle* du plan de polarisation, car, de la proposition mentionnée au commencement de ce §, il suit aisément que l'image d'une matière dextrogyre doit être lévogyre. Dans les matières telles que le quartz dextrogyre et lévogyre la nature nous présente des corps qui, en ce qui concerne leur structure moléculaire, montrent la même différence qu'un objet et son image, différence qui se manifeste d'ailleurs dans la forme cristalline extérieure. Le raisonnement ci-dessus prouve que le phénomène observé par Hall est, en tout cas, entièrement indépendant des causes qui donnent lieu à la rotation naturelle du plan de polarisation.

§ 5. Une seconde proposition est celle-ci: lorsque, dans un système matériel, la vitesse de chaque point est subitement invertie, ces points parcourent exactement les mêmes trajectoires qu'avant le renversement, avec les mêmes vitesses, seulement en direction opposée. Cette proposition ne peut être vraie que pour certaines catégories de forces. Sans rechercher si toutes les forces physiques connues appartiennent à ces catégories,

nous remarquerons ici que le théorème en question est applicable dans la théorie de l'électricité, si un état électrostatique est regardé comme un état réel de repos, un courant électrique, au contraire, comme un phénomène de mouvement, dont l'inversion produit le renversement de la direction du courant, et si l'on suppose seulement des forces telles que des attractions et des répulsions, qui sont des fonctions de la distance ou qui sont déterminées par la loi de Weber ou par celle de Clausius, ou enfin des pressions et des tensions, indépendantes des vitesses.

Figurons-nous maintenant l'expérience de Hall disposée de façon qu'il n'existe pas de communication des bords de la lame métallique avec le galvanomètre et qu'il y ait par conséquent, à ces bords, une accumulation d'électricité libre. Si l'on renverse alors toutes les directions de mouvement, le courant principal acquiert une direction contraire, l'aimant une polarité contraire, tandis que rien n'est changé à la charge électrostatique des bords de la feuille métallique. On obtient donc un état qui, tout comme l'état primitif, satisfait à la règle du § 3; celle-ci implique, en effet, qu'en cas de renversement simultané des pôles magnétiques et du courant principal, l'effet conserve le même signe. Nous pouvons donc conclure que le phénomène observé par M. Hall est en complet accord avec le théorème énoncé dans le présent §.

Ce théorème étant admis, un raisonnement simple montre qu'une autre expérience de M. Hall ¹⁾, faite avec un isolateur, ne pouvait conduire à aucun résultat. A partir des quatre côtés d'une plaque de verre à glace et jusqu'à une petite distance du centre avaient été forés des canaux parallèles aux faces latérales. Dans ces canaux étaient introduites des électrodes bien isolées, dont deux, situées vis-à-vis l'une de l'autre, communiquaient avec les armatures d'un condensateur chargé, tandis que les deux autres étaient reliées à un électromètre à quadrant. La plaque de verre étant placée, comme précédemment la feuille métallique, entre les pôles d'un électro-aimant, on reconnut que

¹⁾ *American Journal*, XX; *Phil. Mag.*, X, p.304.

le renversement de ces pôles n'avait pas d'influence sur l'indication de l'électromètre. M. Hall avait présumé que peut-être une pareille influence se produirait, en conséquence de ce que, comme dans le métal les lignes de courant, ici les lignes de force pouvaient subir une rotation, ce qui aurait effectivement pour résultat un changement de la différence de potentiel entre les deux électrodes reliées à l'électromètre.

Mais, si une pareille action existait, le renversement de toutes les directions de mouvement du système entier donnerait seulement lieu à l'interversion des pôles, tandis que dans la plaque de verre, où tout est en repos, rien ne changerait. Or, comme il est impossible qu'en cas d'interversion des pôles l'action reste la même, il faut ou bien que le théorème mentionné dans ce § soit inexact, ou bien que le résultat cherché par M. Hall soit impossible.

§ 6. Dans beaucoup de phénomènes électriques on peut admettre, — et telle est la troisième des propositions que nous avons en vue, — que l'électricité positive et négative (regardées ici comme des matières) se comportent de la même façon, qu'elles éprouvent donc les mêmes forces non seulement de la part de l'électricité de même signe ou de signe contraire mais aussi de la part de la matière ordinaire. La plupart des phénomènes électrostatiques sont en accord avec cette proposition, et il en est de même de beaucoup d'actions où intervient le courant galvanique; celui-ci peut souvent être conçu, indifféremment, soit comme un mouvement d'électricité positive vers un côté, soit comme un mouvement d'électricité négative vers le côté opposé. La preuve, toutefois, que la proposition énoncée n'est pas d'une vérité générale, est fournie, entre autres, par les phénomènes de décharge, par l'électrolyse et par la différence de potentiel entre des corps mis en contact. Or, il convient de remarquer que l'expérience de Hall est également en désaccord avec la proposition. En effet, si celle-ci était exacte, de tout état de mouvement de particules électriques dans un système de corps on pourrait déduire un second état, pareillement possible, en remplaçant simplement

chaque particule électrique positive par une égale particule négative, et réciproquement; d'un courant électrique il naîtrait ainsi un courant dirigé en sens contraire. Ceci étant appliqué à l'expérience de Hall, dans la forme, par exemple, où une accumulation d'électricité libre se produit aux bords de la feuille métallique, on devrait, en renversant les pôles magnétiques et le courant principal, obtenir aussi un effet opposé, tandis qu'en réalité l'effet conserve alors le même signe.

Pour toutes les théories qui cherchent à expliquer les phénomènes par les mouvements de particules électriques, il suit donc, de l'expérience de Hall, ou bien que dans un courant électrique les deux électricités ne se meuvent pas de la même manière (de sorte que leur substitution réciproque fait naître quelque chose qui n'est pas un courant électrique ordinaire), ou bien qu'il doit exister quelque autre différence dans la façon dont les électricités positive et négative se comportent.

Aussi, lorsque M. Boltzmann ¹⁾, peu de temps après que M. Hall eut fait connaître ses expériences, fonda sur elles une méthode pour déterminer la vitesse de l'électricité dans un courant galvanique, il admit que dans la feuille métallique une seule des deux électricités se déplace. Une grave objection à cette hypothèse est fournie, comme l'a remarqué M. Hall ²⁾, par la direction du phénomène dans le fer, laquelle est opposée à celle dans les autres métaux. Mais, qu'on accepte ou non l'hypothèse de M. Boltzmann, l'une ou l'autre différence entre les deux électricités sera toujours nécessaire pour expliquer l'expérience de Hall.

§ 7. Sans essayer une pareille *explication*, on peut donner une *description mathématique* du phénomène. M. Hopkinson ³⁾ a fait remarquer que cette description est déjà contenue dans

1) *Phil. Mag.*, IX, p.308.

2) *American Journ.*, XX, p.52, et *Phil. Mag.*, X, p.136.

3) *Phil. Mag.*, X, p.430.

un système d'équations établi antérieurement par Maxwell ¹⁾.

En effet, tout ce qu'a observé M. Hall peut être déduit si l'on fait subir aux équations

$$X = xu, \quad Y = xv, \quad Z = xw,$$

qui dans les cas ordinaires expriment la relation entre la force électromotrice (X, Y, Z) et le courant (u, v, w), une légère modification, savoir si, pour un conducteur placé dans un champ magnétique homogène, dont les lignes de force sont dans la direction de l'axe des z , on pose

$$X = xu + hv, \quad Y = xv - hu, \quad Z = xw \dots (1)$$

(X, Y, Z) doit alors être la force électromotrice qui existe indépendamment du phénomène de Hall, tandis que h est un coefficient proportionnel à la force magnétique.

Les équations (1) s'obtiennent facilement, si l'on remarque que la force électromotrice totale dans la direction de l'axe des x est composée de X et de la force électromotrice qui, d'après la règle du § 3, doit son origine au „courant principal” v et à la force magnétique. Cette force électromotrice *accessoire* peut être représentée par hv , et la force totale, à laquelle le courant u doit être proportionnel, devient alors $X \pm hv$; de la même manière on a, parallèlement à l'axe des y , la force électromotrice $Y \mp hu$. Le choix des signes est subordonné à la nature du système de coordonnées qu'on emploie. Nous admettons que lorsque l'axe positif des x tourne de 90° vers l'axe positif des y , cette rotation concorde, pour un spectateur placé du côté des z positifs, avec le mouvement des aiguilles d'une montre. Il suit alors, de ce qui a été dit au § 3, que dans (1) h est positif pour le fer, négatif pour les autres métaux étudiés.

De la faiblesse des actions observées dans l'expérience de

¹⁾ *Electricity a. Magnetism*, I, p.349.

Hall on peut d'ailleurs conclure que, même dans un champ magnétique très puissant, la quantité h est très petite comparativement à κ . Aussi, dans tous les calculs suivants, négligerons-nous les puissances deuxième et supérieures de h .

§ 8. Les équations (1) peuvent d'abord servir à étudier en détail le phénomène observé par M. Hall. Remarquons, à cet effet, que dans la mince feuille métallique, placée perpendiculairement à l'axe des z , il est permis de poser Z et $w = 0$, de sorte que nous n'avons affaire qu'aux deux premières équations. Si maintenant l'axe des x coïncide avec la longueur de la feuille métallique, u est le courant principal, et si les bords ne sont *pas* reliés au galvanomètre, l'équilibre se produit quand on a $v = 0$ et par conséquent, à la fois,

$$X = \kappa u \text{ et } Y = -h u.$$

La quantité

$$Y = -\frac{h}{\kappa} X$$

détermine la force électromotrice qui, dans l'état d'équilibre, existe par suite de la charge électrostatique des bords, et, si b est la largeur de la lame, la différence de potentiel entre les bords devient

$$\frac{h}{\kappa} b X.$$

Quant à l'intensité i du courant qui peut être observé dans le galvanomètre, elle est donnée par

$$i = \frac{h}{\kappa} \cdot \frac{b X}{r},$$

lorsque r est la résistance du circuit galvanométrique.

En désignant par I l'intensité du courant principal, et par δ l'épaisseur de la feuille métallique, on a

$$X = \frac{x I}{b \delta},$$

donc

$$i = \frac{h I}{\delta r}.$$

Au lieu de I , nous pouvons encore introduire la force électromotrice E de la pile qui nous fournit le courant principal. Si l'on désigne par α une quantité dépendant de la longueur et de la largeur de la feuille métallique et de la place des électrodes, la résistance que la feuille métallique oppose au courant principal peut être représentée par $\frac{\alpha}{\delta}$, de sorte que, R étant la résistance dans le courant principal en dehors de la feuille métallique, on a

$$I = \frac{E}{R + \frac{\alpha}{\delta}}.$$

De même, on aura

$$r = r_g + \frac{\alpha'}{\delta},$$

si r_g est la résistance dans le circuit galvanométrique en dehors de la feuille métallique et α' une quantité analogue à α . La formule

$$i = \frac{h E}{\delta \left(R + \frac{\alpha}{\delta} \right) \left(r_g + \frac{\alpha'}{\delta} \right)}$$

montre comment le courant dans le galvanomètre varie avec δ . Ce courant devient maximum lorsque

$$\frac{\alpha \alpha'}{\delta^2} = R r_g,$$

c'est-à-dire, lorsque le produit des deux résistances de la feuille métallique, dont il y a à tenir compte, est égal à celui des résistances extérieures. Bien entendu, cela exige une épaisseur très faible.

§ 9. Nous examinerons encore de plus près jusqu'à quel point une modification peut être introduite dans la marche des courants électriques par les termes $+hv$ et $-hu$ qui entrent dans les équations (1). Bornons-nous au cas d'une mince feuille métallique de forme quelconque, placée dans le plan xy , et limitée en partie par des bords où il ne peut entrer ni sortir d'électricité (bords *libres*), en partie par des bords (ou portions de bords) donnant accès ou issue à l'électricité et que nous supposerons maintenus ainsi chacun à un potentiel constant. Supposons qu'il y ait deux pareilles électrodes, s_1 et s_2 , aux potentiels φ_1 et φ_2 , et tâchons de déterminer la distribution du courant dans la lame.

Lorsque aucune force magnétique n'agit, nous avons, φ désignant la fonction potentielle en un point quelconque,

$$u = -\frac{1}{\kappa} \frac{\partial \varphi}{\partial x}, v = -\frac{1}{\kappa} \frac{\partial \varphi}{\partial y} \dots \dots \dots (2)$$

et dans l'état stationnaire

$$\frac{\partial^2 \varphi}{\partial x^2} + \frac{\partial^2 \varphi}{\partial y^2} = 0, \dots \dots \dots (3)$$

tandis qu'aux électrodes on doit avoir

$$\varphi = \varphi_1 \text{ et } \varphi = \varphi_2$$

et au bord libre

$$u \cos \alpha + v \sin \alpha = 0,$$

ou

$$\frac{\partial \varphi}{\partial n} = 0.$$

n représente ici la normale au contour de la lame, et α l'angle (nx). Nous nous figurons la normale dirigée vers l'extérieur.

Quand φ est déterminée par ces conditions, la quantité d'électricité qui dans l'unité de temps passe de s_1 à la lame et de celle-ci à s_2 (nous supposons $\varphi_1 > \varphi_2$), est donnée par

$$e = -\delta \int (u \cos \alpha + v \sin \alpha) ds_1,$$

où l'intégration doit s'étendre à toute l'électrode.

Supposons maintenant qu'une force magnétique agisse et qu'il y ait par conséquent lieu d'appliquer les équations (1). En continuant d'attribuer à φ, u, v la signification antérieure, nous pouvons, dans ce nouveau problème, écrire pour la fonction potentielle et pour les composantes du courant: $\varphi + \varphi', u + u', v + v'$; φ', u', v' sont ici, comme h , de très petites quantités.

La première des équations (1) donne alors

$$-\frac{\partial(\varphi + \varphi')}{\partial x} = \kappa(u + u') + h(v + v'),$$

ou, en négligeant des quantités du second ordre et en ayant égard à (2),

$$u' = -\frac{1}{\kappa} \frac{\partial \varphi'}{\partial x} + \frac{h}{\kappa^2} \frac{\partial \varphi}{\partial y}; \dots \dots \dots (4)$$

de même, on a

$$v' = -\frac{1}{\kappa} \frac{\partial \varphi'}{\partial y} - \frac{h}{\kappa^2} \frac{\partial \varphi}{\partial x} \dots \dots \dots (5)$$

De ces équations, combinées avec

$$\frac{\partial u'}{\partial x} + \frac{\partial v'}{\partial y} = 0,$$

on déduit pour l'état stationnaire

$$\frac{\partial^2 \varphi'}{\partial x^2} + \frac{\partial^2 \varphi'}{\partial y^2} = 0 \dots \dots \dots (6)$$

Comme d'ailleurs, aux électrodes, φ prend déjà les valeurs prescrites, il faut qu'on y ait

$$\varphi' = 0,$$

tandis qu'au bord libre nous obtenons la condition

$$u' \cos \alpha + v' \sin \alpha = 0,$$

ou, en vertu de (4) et (5),

$$\frac{\partial \varphi'}{\partial n} = \frac{h}{\kappa} \left(\frac{\partial \varphi}{\partial y} \cos \alpha - \frac{\partial \varphi}{\partial x} \sin \alpha \right).$$

La dernière équation peut être remplacée par

$$\frac{\partial \varphi'}{\partial n} = \frac{h}{\kappa} \frac{\partial \varphi}{\partial s}, \dots \dots \dots (7)$$

lorsque s est compté le long du bord et pris positif dans une direction telle, qu'une rotation de la normale n vers la direction s corresponde à une rotation de l'axe des x vers l'axe des y .

φ' différant maintenant de 0, comme le confirment les expériences de M. Hall, il s'agit de savoir si la quantité d'électricité, qui par unité de temps s'écoule de s_1 sur la lame, est changée. En écrivant pour cette quantité $e + e'$, on a

$$e' = - \delta \int (u' \cos \alpha + v' \sin \alpha) d s_1,$$

donc, en vertu de (4) et (5),

$$e' = \frac{\delta}{\kappa} \int \frac{\partial \varphi'}{\partial n} d s_1,$$

puisque, le long de s_1 , il vient

$$\frac{\partial \varphi}{\partial s} = 0.$$

L'état étant supposé stationnaire, la quantité e' doit, en tout cas, quitter la lame à la seconde électrode, de sorte qu'on a aussi

$$e' = - \frac{\delta}{\kappa} \int \frac{\partial \varphi'}{\partial n} d s_2.$$

Nous démontrerons maintenant que $e' = 0$. A cet effet, nous faisons usage de la formule connue

$$\int \varphi \left(\frac{\partial^2 \varphi'}{\partial x^2} + \frac{\partial^2 \varphi'}{\partial y^2} \right) d\omega - \int \varphi' \left(\frac{\partial^2 \varphi}{\partial x^2} + \frac{\partial^2 \varphi}{\partial y^2} \right) d\omega = \\ = \int \varphi \frac{\partial \varphi'}{\partial n} ds - \int \varphi' \frac{\partial \varphi}{\partial n} ds,$$

où $d\omega$ représente un élément de surface de la feuille métallique et où les deux premières intégrales doivent être prises sur toute l'étendue de cette feuille, les deux dernières le long du bord libre et des électrodes. Or, en vertu de (3) et de (6), les deux premières intégrales s'évanouissent, et la quatrième est également 0, parce qu'aux électrodes on a $\varphi' = 0$ et au bord libre $\frac{\partial \varphi}{\partial n} = 0$. On obtient donc

$$\int \varphi \frac{\partial \varphi'}{\partial n} ds = 0. \dots \dots \dots (8)$$

Étendue à la première électrode, cette intégrale donne :

$$\varphi_1 \int \frac{\partial \varphi'}{\partial n} ds_1 = \frac{\kappa}{\delta} \varphi_1 e', \dots \dots \dots (9)$$

et pareillement, étendue à la seconde électrode :

$$\varphi_2 \int \frac{\partial \varphi'}{\partial n} ds_2 = -\frac{\kappa}{\delta} \varphi_2 e' \dots \dots \dots (10)$$

Pour la troisième partie de l'intégrale (8), partie qui doit être prise le long du bord libre, il est permis d'écrire, en vertu de (7) :

$$\frac{h}{\kappa} \int \varphi \frac{\partial \varphi}{\partial s} ds = \frac{h}{2\kappa} \int \frac{\partial (\varphi^2)}{\partial s} ds$$

et nous pouvons étendre cette intégration au contour entier, puisque le long des électrodes on a $\frac{\partial \varphi}{\partial s} = 0$. Or, si l'on considère que le contour consiste en une ou plusieurs lignes fermées, dont chacune doit être parcourue en entier quand on veut évaluer l'intégrale (voir ce qui a été dit ci-dessus concernant la direction positive le long de s), on reconnaît que la dernière

intégrale disparaît. L'équation (8) se réduit donc à ceci, que la somme de (9) et (10) s'annule, et de là suit $e' = 0$.

Si les équations (1) sont exactes, il passera donc par la lame, sous la différence de potentiel $\varphi_1 - \varphi_2$, la même quantité d'électricité, que la lame se trouve ou non dans le champ magnétique; en d'autres termes, la force magnétique ne déterminera aucun changement dans la *résistance* de la lame. Les expériences entreprises par M. Hall et par d'autres ¹⁾, en vue de la découverte d'un pareil changement, ne pouvaient donc fournir aucun résultat ou du moins ne faire trouver qu'un changement de résistance d'un ordre supérieur à h .

§ 10. Immédiatement après que M. Hall eut exécuté ses premières expériences, M. Rowland ²⁾ fit remarquer que l'action dont elles accusaient l'existence pouvait conduire à une explication de la rotation électromagnétique du plan de polarisation de la lumière. En effet, si sous l'influence d'un aimant un courant est dévié de sa direction, par suite de l'apparition d'une composante transversale, on comprend que les vibrations lumineuses, qui selon la théorie de Maxwell sont des mouvements de même nature que les courants électriques, éprouvent également une rotation dans un champ magnétique. Plus tard, M. Rowland a publié un Mémoire étendu ³⁾, dans lequel il étudie la question de plus près, en se bornant aux corps isolants. Il est vrai que dans son expérience sur un isolateur M. Hall n'a pu constater une rotation des lignes de force, et que des raisons théoriques nous ont aussi fait regarder une semblable action comme peu probable; mais rien n'empêche de supposer que dans les isolateurs il se produit d'une autre manière une action analogue à celle que M. Hall a observée dans les métaux. On peut en effet admettre que, dans un champ magnétique, tout *mouvement* d'électricité dans l'isolateur (le *displacement-current* de Maxwell)

1) *Phil. Mag.*, IX, p.226 et X, p.301 et 326.

2) *Phil. Mag.*, IX, p.432.

3) *Amer. Journ. of Math.*, III, p.89. De ce Mémoire, je ne connais que l'extrait donné dans les *Beiblätter zu Wied. Ann.*, V.p.313.

provoque une force électromotrice transversale. Telle est l'hypothèse qui a servi de point de départ à M. Rowland dans le Mémoire cité en dernier lieu.

Les expériences de Hall n'ayant montré le nouveau phénomène que dans les métaux, j'ai cru que précisément chez ces corps il était opportun d'étudier l'influence du magnétisme sur le mouvement lumineux. Cette étude m'a paru offrir d'autant plus d'intérêt que les expériences de M. Kerr, sur la lumière réfléchie par un pôle magnétique, ont fait connaître des phénomènes qui sont indubitablement dans une relation intime avec la rotation du plan de polarisation dans les corps transparents.

§ 11. Imaginons qu'un milieu quelconque, — conducteur ou non, — dans lequel se manifeste l'effet observé par M. Hall, soit placé dans un champ magnétique homogène, à lignes de force parallèles à l'axe des z . Lorsque des mouvements électriques ont lieu dans ce corps, la force électromotrice ($\mathbf{X}, \mathbf{Y}, \mathbf{Z}$), qui au temps t agit en un point (x, y, z) , sera composée de deux parties, à savoir, de la force (X, Y, Z) imputable à l'action électrostatique et à l'induction, et de la force électromotrice accessoire, découverte par M. Hall. Comme nous devons admettre, pour pouvoir expliquer aussi dans les isolateurs la rotation du plan de polarisation, que le *displacement-current* produit une action analogue à celle du courant ordinaire de conduction nous supposerons que la force électromotrice transversale dépend de la manière indiquée au § 7 des composantes totales du courant. Celles-ci étant représentées par u, v, w , nous posons donc

$$\mathbf{X} = X - hv, \quad \mathbf{Y} = Y + hu, \quad \mathbf{Z} = Z. \dots (11)$$

§ 12. Rien n'est changé, par l'intervention de l'action nouvelle, ni à la manière dont la force électromotrice (X, Y, Z) dépend des composantes du courant, de la distribution de l'électricité libre et des moments magnétiques qui peuvent être suscités par le courant électrique, ni à la relation de ces dernières quantités entre elles.

En désignant donc par φ et χ les fonctions potentielles élec-

trique et magnétique, par L , M , N les composantes de la force magnétique, — les quatre dernières quantités en tant qu'elles sont dues au mouvement électrique, donc avec exclusion de la force magnétique permanente à laquelle le corps est soumis, — enfin par ϑ la constante magnétique, on peut appliquer les équations ordinaires ¹⁾

$$\left. \begin{aligned} \frac{\partial Z}{\partial y} - \frac{\partial Y}{\partial z} &= (1 + 4\pi\vartheta) A \frac{\partial L}{\partial t}, \\ \frac{\partial X}{\partial z} - \frac{\partial Z}{\partial x} &= (1 + 4\pi\vartheta) A \frac{\partial M}{\partial t}, \\ \frac{\partial Y}{\partial x} - \frac{\partial X}{\partial y} &= (1 + 4\pi\vartheta) A \frac{\partial N}{\partial t}, \end{aligned} \right\} \dots \dots (I)$$

$$\frac{\partial X}{\partial x} + \frac{\partial Y}{\partial y} + \frac{\partial Z}{\partial z} = -\Delta\varphi + A^2 k \frac{\partial^2 \varphi}{\partial t^2} \dots \dots (II)$$

$$\left. \begin{aligned} \frac{\partial N}{\partial y} - \frac{\partial M}{\partial z} &= A \left(\frac{\partial^2 \varphi}{\partial x \partial t} - 4\pi u \right), \\ \frac{\partial L}{\partial z} - \frac{\partial N}{\partial x} &= A \left(\frac{\partial^2 \varphi}{\partial y \partial t} - 4\pi v \right), \\ \frac{\partial M}{\partial x} - \frac{\partial L}{\partial y} &= A \left(\frac{\partial^2 \varphi}{\partial z \partial t} - 4\pi w \right), \end{aligned} \right\} \dots (III)$$

$$\frac{\partial L}{\partial x} + \frac{\partial M}{\partial y} + \frac{\partial N}{\partial z} = -\Delta\chi \dots \dots (IV)$$

$$\frac{\partial u}{\partial x} + \frac{\partial v}{\partial y} + \frac{\partial w}{\partial z} = \frac{1}{4\pi} \frac{\partial}{\partial t} (\Delta\varphi) \dots \dots (V)$$

$$\frac{\partial L}{\partial x} + \frac{\partial M}{\partial y} + \frac{\partial N}{\partial z} = \frac{1}{4\pi\vartheta} \Delta\chi, \dots \dots (VI)$$

qui avec (11) déterminent le mouvement lumineux, si nous y joignons encore les équations qui expriment la relation entre u , v , w et X , Y , Z .

¹⁾ Helmholtz, *Ueber die Bewegungsgleichungen der Electricität in ruhenden Leitern*, dans *Crelle's Journal* LXXII. Voir aussi ma *Theorie der terugkaatsing en breking van het licht*, Chap. II. A et k sont les constantes qui entrent dans la formule de l'induction.

§ 13. Bien que cette relation ne soit pas complètement connue, nous pouvons pourtant traiter la question très simplement, en nous bornant à considérer des faisceaux lumineux d'une durée de vibration déterminée et en laissant de côté tous les problèmes qui appartiennent à la théorie de la dispersion.

D'abord nous pouvons admettre que dans un milieu isotrope u n'est lié qu'à \mathbf{X} , v à \mathbf{Y} , w à \mathbf{Z} , et que la forme de ces trois relations est la même. Ensuite, il sera permis de supposer que la relation entre \mathbf{X} et u est exprimée par une équation dans laquelle ces quantités elles-mêmes et un ou plusieurs de leurs coefficients différentiels par rapport à t entrent linéairement, avec des coefficients constants, c'est-à-dire qu'on a

$$A\mathbf{X} + B\frac{\partial \mathbf{X}}{\partial t} + \text{etc.} \dots = A'u + B'\frac{\partial u}{\partial t} + \text{etc.}, \quad (12)$$

où $A, B, \dots, A', B', \dots$ dépendent de la nature du corps ¹⁾.

On peut facilement déduire de là que, lorsque \mathbf{X} est donné par une fonction goniométrique du temps, u est également représenté par une fonction de ce genre, laquelle toutefois, en général, offrira une certaine différence de phase par rapport à \mathbf{X} . La chose devient encore plus simple si l'on cherche d'abord, ainsi qu'il est permis de le faire pour un système d'équations linéaires, une solution où entrent des fonctions exponentielles, de laquelle on déduira ensuite la solution véritable, en sup-

¹⁾ Cette équation comprend, par exemple, le cas où dans un isolateur les composantes de la polarisation diélectrique sont $= \varepsilon \mathbf{X}, \varepsilon \mathbf{Y}, \varepsilon \mathbf{Z}$ et où, par

conséquent, $u = \varepsilon \frac{\partial \mathbf{X}}{\partial t}$. De même, elle comprend le cas d'un courant ordinaire de conduction, où l'on a $\mathbf{X} = \kappa u$. Mais, même en admettant (voir ma *Theorie der terugkaatsing en breking van het licht*, Chap. V, ainsi que Schlömilch's *Zeitschrift*, t. XXII, p. 1 et 205, t. XXIII, p. 197) que dans un métal il existe une polarisation électrique des molécules et que dans un courant une certaine masse est en mouvement, on arrive à des formules qui sont comprises dans l'équation (12). La forme générale de celle-ci a l'avantage d'être indépendante d'hypothèses particulières sur le mécanisme par lequel u est excité par \mathbf{X} .

posant les exposants imaginaires et en prenant seulement les parties réelles.

Si maintenant u et \mathbf{X} ne contiennent le temps que dans le facteur

$$e^{\gamma t},$$

(où γ sera supposé imaginaire $= -i \frac{2\pi}{T}$), l'équation (12) et les deux équations correspondantes se réduisent à

$$u = p \mathbf{X}, \quad v = p \mathbf{Y}, \quad w = p \mathbf{Z} \dots \dots \dots (13)$$

La quantité p est en général complexe et comprend les deux quantités (par exemple, la vitesse de propagation et le coefficient d'absorption, ou l'angle d'incidence principal et l'azimut principal) par lesquelles peuvent être caractérisées les propriétés optiques du milieu. Il est évident que p dépendra de γ , par conséquent de la durée de vibration T , mais, tant que nous nous bornons à une valeur unique de T , il n'est pas nécessaire d'examiner de plus près cette dépendance.

§ 14. Considérons maintenant le cas d'un faisceau lumineux qui traverse le milieu dans la direction de l'axe des z , donc suivant les lignes de force du champ magnétique. Nous ferons voir que des vibrations transversales sont possibles, mais qu'un mouvement d'électricité doit avoir lieu tant suivant l'axe des x que suivant l'axe des y . En d'autres termes, nous démontrerons que les expressions

$$u = e^{\gamma(t - Rz)}, \quad v = a e^{\gamma(t - Rz)}, \quad w = 0$$

satisfont aux équations du mouvement, lorsque a et R sont convenablement choisis.

Posons, pour abrégé :

$$e^{\gamma(t - Rz)} = P,$$

donc

$$u = P, \quad v = a P, \quad w = 0;$$

il suit alors de (13):

$$\mathbf{X} = \frac{1}{p} P, \quad \mathbf{Y} = \frac{a}{p} P, \quad \mathbf{Z} = 0,$$

de (11)

$$X = \left(\frac{1}{p} + a h\right) P, \quad Y = \left(\frac{a}{p} - h\right) P, \quad Z = 0,$$

et de (I)

$$L = \frac{R}{(1 + 4\pi\vartheta)A} Y, \quad M = -\frac{R}{(1 + 4\pi\vartheta)A} X, \quad N = 0.$$

A (II), (IV), (V) en (VI) il sera satisfait par

$$\varphi = 0 \text{ et } \chi = 0,$$

tandis que la troisième des équations (III) donne alors $0 = 0$ et que les deux premières fournissent deux conditions. Si l'on pose

$$4\pi A^2 (1 + 4\pi\vartheta) = B, \dots \dots \dots (14)$$

ces deux conditions sont

$$\gamma \left(\frac{1}{p} + a h\right) R^2 = B$$

et

$$\gamma \left(\frac{a}{p} - h\right) R^2 = a B.$$

De là résulte finalement:

$$a = \pm i$$

et

$$R^2 = \frac{B p}{\gamma (1 \pm i h p)} \dots \dots \dots (15)$$

§ 15. L'apparition des doubles signes montre que deux états de vibration, tels que nous les avons supposés, sont possibles et que ces deux états suivent, dans leur propagation, des lois différentes.

Dans le premier, on a

$$u = P, \quad v = i P,$$

d'où, en posant

$$\gamma = -i \frac{2\pi}{T}$$

et

$$R = S_1 + i S_2$$

(car R est en général une quantité complexe), et en prenant finalement les seules parties réelles, on déduit:

$$u = e^{-\frac{2\pi S_2}{T} z} \cos \frac{2\pi}{T} (t - S_1 z),$$

$$v = e^{-\frac{2\pi S_2}{T} z} \sin \frac{2\pi}{T} (t - S_1 z).$$

Ces équations représentent un faisceau de lumière polarisée circulairement, qui se propage avec la vitesse $\frac{1}{S_1}$ et subit une absorption dont la valeur est déterminée par S_2 .

En prenant les signes inférieurs, on obtient un faisceau analogue, mais à polarisation circulaire opposée, et auquel correspondent d'autres valeurs de S_1 et de S_2 .

L'équation (15), qui détermine la quantité R pour les deux états de mouvement, peut être mise sous une forme encore plus convenable par l'introduction de la valeur R_0 , relative au cas où aucune force magnétique n'agit sur le corps. On a évidemment

$$R_0^2 = \frac{Bp}{\gamma}, \quad p = \gamma \frac{R_0^2}{B},$$

de sorte que (15) devient

$$R^2 = \frac{R_0^2}{1 \pm i\gamma \frac{R_0^2 h}{B}},$$

où, vu la faible valeur de h ,

$$R = R_0 \left(1 \mp \frac{1}{2} i \gamma \frac{R_0^2 h}{B} \right) \dots \dots \dots (16)$$

Dans un isolateur, p est une quantité purement imaginaire et, puisque γ l'est également, R_0 est réel; d'après (16), R prendra

de même une valeur réelle. Aucun des deux rayons polarisés circulairement ne subit donc, dans ce cas, une absorption; il n'y a à considérer que leurs vitesses de propagation, et de la différence de celles-ci on conclut, de la manière connue, à la rotation du plan de polarisation. Après le travail de M. Rowland, nous n'avons toutefois pas à nous occuper de cette question.

§ 16. Chez les métaux, rien jusqu'ici n'a été constaté directement quant aux différences d'absorption et de vitesse de propagation que doivent présenter les deux faisceaux lumineux dont il vient d'être question. Mais, comme en général chaque particularité dans la manière dont la lumière se propage dans un corps se dévoile dans les propriétés de la lumière réfléchie, il a été prouvé par les expériences de M. Kerr que le fer, placé dans un champ magnétique, réfléchit la lumière suivant d'autres lois que le fer non magnétisé.

La théorie exposée plus haut permet de traiter la réflexion dans un champ magnétique ¹⁾. Nous admettons, à cet effet, que le phénomène observé par M. Hall existe seulement dans le second milieu, que par conséquent dans le premier, — qui en outre sera transparent, — le plan de polarisation n'est pas dévié. Nous nous bornons d'ailleurs au cas le plus simple, celui où le plan de séparation est perpendiculaire aux lignes de force et où la lumière a une incidence normale. Dans le second milieu il n'y aura alors qu'une propagation suivant les lignes de force, propagation à laquelle, si l'axe positif des z est dirigé du côté de ce milieu, s'appliquent immédiatement les formules établies dans les derniers §§.

Pour trouver comment est réfléchi un mouvement incident donné, nous commençons par un problème plus simple, à savoir celui-ci: comment la lumière incidente doit-elle être constituée pour que dans le second milieu il ne se forme qu'un seul des deux faisceaux polarisés circulairement que nous avons appris

¹⁾ Avant que M. Hall eût publié ses expériences, M. Fitzgerald (*Phil. Trans.*, CLXXI, p.691) avait déjà donné une théorie des expériences de M. Kerr, dans laquelle, toutefois, il n'était pas tenu compte de l'absorption.

à connaître, et quelles sont alors les propriétés de la lumière réfléchie? Ce problème offre deux cas, suivant qu'on veut ne se laisser former dans le second milieu que le faisceau polarisé à droite ou le faisceau polarisé à gauche, mais, les formules relatives à ces deux cas ne différant entre elles que par quelques signes, nous pouvons traiter les deux cas simultanément. En combinant les résultats obtenus, nous pourrons ensuite trouver la solution pour le cas où le mouvement incident est donné.

§ 17. Lorsque dans aucun des deux milieux n'existe l'effet de Hall, les forces électromotrices X , Y et les forces magnétiques L , M parallèles au plan de séparation varient d'une manière continue quand on passe du premier milieu au second ¹⁾. Cette continuité étant une conséquence de la manière dont les susdites quantités dépendent des mouvements électriques et des moments magnétiques, les mêmes conditions limites s'appliqueront encore au cas actuel, pourvu qu'on attribue à X et Y la signification indiquée au § 11. Ces conditions limites sont d'ailleurs les seules dont il y ait à tenir compte, car il est clair que, dans le cas simple auquel nous nous bornons, il se produira un état de mouvement purement transversal, et que ni mouvement électrique, ni moments magnétiques, ni force électrique ou magnétique n'apparaîtront dans la direction de l'axe des z .

§ 18. En distinguant par les indices 1 et 2 les quantités qui ont rapport au premier et au second milieu, on peut écrire pour le mouvement dans ce dernier (§ 14)

$$u_2 = P_2, v_2 = \pm i P_2,$$

$$X_2 = \left(\frac{1}{p_2} \pm i h \right) P_2, Y_2 = \left(\pm \frac{i}{p_2} - h \right) P_2,$$

$$L_2 = \frac{R_2}{(1 + 4\pi \vartheta_2) A} P_2, M_2 = - \frac{R_2}{(1 + 4\pi \vartheta_2) A} X_2,$$

$$P_2 = e^{\gamma(t - R_2 z)}$$

Nous n'avons pas ajouté un facteur indéterminé (amplitude) à v_2 ,

1) Helmholtz, *l.c.* Voir aussi ma *Theorie der terugkaatsing en breking*, p.66 et 158.

parce que l'intensité du faisceau qu'on veut faire apparaître peut naturellement être choisie arbitrairement. Alors toutefois l'intensité, non seulement de la lumière réfléchie, mais encore de la lumière incidente, devient une quantité inconnue.

De même que dans le second milieu, un mouvement, tant dans la direction de l'axe des x que dans celle de l'axe des y , devra avoir lieu dans le premier milieu. Le mouvement incident consistera donc en deux composantes u_1 et v_1 , que nous pouvons représenter par

$$u = s P_1, \quad v = \sigma P_1, \\ P_1 = e^{\gamma(t - R_1 z)}.$$

On aura ensuite, d'après les équations du mouvement pour le premier milieu,

$$X_1 = \frac{s}{\rho_1} P_1, \quad Y_1 = \frac{\sigma}{\rho_1} P_1, \\ L_1 = \frac{R_1}{(1 + 4\pi\vartheta_1)A} Y_1, \quad M_1 = -\frac{R_1}{(1 + 4\pi\vartheta_1)A} X_1.$$

Les quantités s et σ sont des constantes inconnues.

La lumière réfléchie aura une constitution semblable à celle de la lumière incidente. Affectant donc d'un accent les quantités qui appartiennent à ce faisceau, pour les distinguer de celles qui ont rapport à la lumière incidente, nous représentons le mouvement réfléchi — s' et σ' étant deux nouvelles constantes — par

$$u_1' = s' P_1', \quad v_1' = \sigma' P_1', \\ X_1' = \frac{s'}{\rho_1} P_1', \quad Y_1' = \frac{\sigma'}{\rho_1} P_1', \\ L_1' = -\frac{R_1}{(1 + 4\pi\vartheta_1)A} Y_1', \quad M_1' = +\frac{R_1}{(1 + 4\pi\vartheta_1)A} X_1, \\ P_1' = e^{\gamma(t + R_1 z)}.$$

§ 19. A la surface de séparation, où nous supposons $z = 0$, on aura

$$P_1 = P_1' = P_2$$

et la continuité de X , Y , L et M donne successivement

$$\frac{s + s'}{p_1} = \frac{1}{p_2} \pm i h, \dots \dots \dots (17)$$

$$\frac{\sigma + \sigma'}{p_1} = \pm \frac{i}{p_2} - h,$$

$$\frac{R_1}{1 + 4 \pi \vartheta_1} \cdot \frac{\sigma - \sigma'}{p_1} = \frac{R_2}{1 + 4 \pi \vartheta_2} \left(\pm \frac{i}{p_2} - h \right),$$

$$\frac{R_1}{1 + 4 \pi \vartheta_1} \cdot \frac{s - s'}{p_1} = \frac{R_2}{1 + 4 \pi \vartheta_2} \left(\frac{1}{p_2} \pm i h \right). \dots (18)$$

De ces équations il résulte d'abord

$$\sigma = \pm i s, \quad \sigma' = \pm i s',$$

de sorte que, pour qu'un seul faisceau de lumière apparaisse dans le second milieu, la lumière incidente doit être polarisée circulairement, et que dans ce cas la lumière réfléchie possédera la même propriété.

Ensuite, on tire de (17) et (18)

$$s' = \frac{\frac{R_1}{1 + 4 \pi \vartheta_1} - \frac{R_2}{1 + 4 \pi \vartheta_2}}{\frac{R_1}{1 + 4 \pi \vartheta_1} + \frac{R_2}{1 + 4 \pi \vartheta_2}} s,$$

et il n'y a aucune difficulté à trouver séparément chacune des deux valeurs s et s' .

§ 20. Si nous attribuons maintenant à l'amplitude s de la lumière incidente la valeur 1, celle de la lumière réfléchie devient

$$a = \frac{s'}{s} = \frac{\frac{R_1}{1 + 4 \pi \vartheta_1} - \frac{R_2}{1 + 4 \pi \vartheta_2}}{\frac{R_1}{1 + 4 \pi \vartheta_1} + \frac{R_2}{1 + 4 \pi \vartheta_2}} \dots \dots \dots (19)$$

et le mouvement total dans le premier milieu est représenté par

$$u_1 = P_1, \quad v_1 = \pm i P_1, \\ u_1' = a P_1', \quad v_1' = \pm i a P_1'.$$

Les valeurs de R_2 et de a , pour le cas où aucune force ma-

gnétique n'agit, étant désignées par $R_{2(0)}$ et a_0 , on a d'après (16)

$$R_2 = R_{2(0)} \mp \frac{1}{2} i \gamma \frac{R^3_{2(0)} h}{B_2}$$

et d'après (19)

$$a = a_0 \pm \delta,$$

où

$$\delta = i \frac{h \gamma}{B_2} \frac{R_1 R^3_{2(0)}}{(1 + 4 \pi \vartheta_1) (1 + 4 \vartheta \vartheta_2)} \left[\frac{R_1}{1 + 4 \pi \vartheta_1} + \frac{R_{2(0)}}{1 + 4 \pi \vartheta_2} \right]^2 \dots \dots \dots (20)$$

Séparant enfin les deux problèmes traités jusqu'ici concurremment, nous obtenons deux solutions représentées par

$$\begin{aligned} u_1 &= P_1, \quad v_1 = + i P_1, \\ u_1' &= (a_0 + \delta) P_1', \quad v_1' = + i (a_0 + \delta) P_1' \end{aligned}$$

et

$$\begin{aligned} u_1 &= P_1, \quad v_1 = - i P_1, \\ u_1' &= (a_0 - \delta) P_1', \quad v_1' = - i (a_0 - \delta) P_1'. \end{aligned}$$

De la combinaison de ces deux solutions on peut maintenant en déduire une troisième dans laquelle la lumière incidente est polarisée rectilignement. Si l'on veut que les vibrations s'y exécutent dans le plan xz , la lumière incidente conservant d'ailleurs l'amplitude 1, on n'a qu'à prendre la demi-somme des deux solutions. On a alors

$$\begin{aligned} u_1 &= P_1, \quad v_1 = 0, \\ u_1' &= a_0 P_1', \quad v_1' = i \delta P_1'. \end{aligned}$$

§ 21. Tandis que, en dehors du champ magnétique, un faisceau lumineux à incidence normale et polarisation rectiligne ne donne lieu qu'à un faisceau réfléchi ayant la même direction de vibration, ici il apparaît en outre une composante (v_1') polarisée perpendiculairement à la lumière incidente. C'est cette composante qui a été observée dans les expériences de M. Kerr. Pour caractériser complètement ce faisceau, on devra déduire

de (20) son amplitude et sa phase comparativement à la lumière incidente, ou comparativement à la composante u_1' . Bornons-nous en ce moment à l'amplitude; celle-ci calculée, on peut, dans une certaine mesure, porter un jugement sur le phénomène observé par M. Kerr. Cette amplitude s'obtient, comme on sait, en prenant le module de l'expression complexe que nous venons de trouver pour v_1' , opération dans laquelle on peut appliquer la proposition que le module du produit de plusieurs quantités complexes est le produit des modules de chacun des facteurs.

§ 22. On arrive ainsi à un résultat assez simple, lorsqu'on admet que dans le métal la valeur de ϑ peut être supposée égale à la valeur dans le premier milieu. On a alors

$$\delta = i \frac{h \gamma}{B} \frac{R_1 R^{32(0)}}{[R_1 + R_{2(0)}]^2},$$

et en posant

$$\frac{R_{2(0)}}{R_1} = \sigma e^{i \tau}$$

(σ et τ réels ¹⁾), on trouve successivement

$$\text{Mod. } [R_{2(0)}] = \sigma R_1,$$

$$\text{Mod. } [R^{32(0)}] = \sigma^3 R_1^3,$$

$$\text{Mod. } [R_1 + R_{2(0)}]^2 = R_1^2 (1 + 2 \sigma \cos \tau + \sigma^2),$$

par conséquent, à cause de

$$\text{Mod. } (\gamma) = \frac{2 \pi}{T},$$

$$\text{Mod. } (\delta) = \frac{2 \pi h R_1^2}{B T} \cdot \frac{\sigma^3}{1 + 2 \sigma \cos \tau + \sigma^2} \dots (21)$$

Telle est l'amplitude de la composante en question, dans la lumière réfléchie.

§ 23. Il s'agit maintenant de savoir si ce résultat peut encore être admis pour le fer et l'acier. Chez ces matières, la constante magnétique ϑ , dans le cas de forces magnétiques qui agissent

1) σ a ici une autre signification qu'au § 18.

pendant un temps assez long, diffère beaucoup de la constante ϑ_1 , pour l'air $\left(\frac{1 + 4\pi\vartheta}{1 + 4\pi\vartheta_1}\right)$, et il n'y a pas à douter que la formule (21) serait complètement inexacte si le métal avait la même constante magnétique vis-à-vis de forces magnétiques rapidement variables, telles qu'elles se présentent dans les vibrations lumineuses.

Si l'on considère, toutefois, que sous l'influence du magnétisme les molécules du fer subissent une rotation et qu'une certaine masse est donc mise en mouvement, il paraîtra très possible que, pendant les vibrations lumineuses, les molécules n'ont pas le temps de suivre d'une manière appréciable les forces magnétiques et que par conséquent, pour ces mouvements, ϑ n'est pas sensiblement plus grand dans le métal que dans l'air. Effectivement, dans la réflexion ordinaire par l'acier, rien n'a décelé, que je sache, l'influence que devrait avoir, dans ce cas, une forte valeur de ϑ ¹⁾: la réflexion sur l'acier suit les mêmes lois que celle sur tout autre métal.

Dans le problème dont nous nous sommes occupés ici, il y a encore une circonstance de nature à réduire notablement la valeur de ϑ . Le métal, en effet, était placé dans un champ magnétique puissant, et il est facile de voir que lorsque le fer, dans une certaine direction, a déjà acquis complètement ou presque complètement le maximum de moment magnétique, de petites forces accessoires susciteront des moments plus faibles que si la première magnétisation n'existait pas.

J'espère plus tard pouvoir revenir sur ces questions; provisoirement, toutefois, il ne me semble pas improbable que la formule (21) puisse s'appliquer même au fer et à l'acier.

§ 24. On doit remarquer encore que, dans le calcul des §§ 16—22, il n'a pas été introduit, comme supposition néces-

1) Cette influence consisterait en ce que chez le fer et l'acier les propriétés de la lumière réfléchie, pour des angles d'incidence différents, ne pourraient être calculées, à l'aide de l'angle d'incidence principal et de l'azimut principal, de la même manière que chez les autres métaux.

saire, que le second milieu soit un métal. Un corps transparent doit également présenter un phénomène semblable à celui que M. Kerr a observé dans le fer, et de la formule générale (21) on peut facilement déduire Mod. (δ) pour un pareil corps. Dans ce cas, en effet, $\frac{R_{2(0)}}{R_1}$ est réel et égal à l'indice de réfraction n , de sorte qu'on a $\tau = 0$ et $\sigma = n$ et que le dernier facteur dans (21) devient

$$\frac{n^3}{(1+n)^2}.$$

§ 25. La formule (21) montre que Mod. (δ), pour des matières différentes, est proportionnel, d'abord à la valeur que h a pour ces matières, et, en second lieu, à la fraction

$$F = \frac{\sigma^3}{1 + 2\sigma \cos \tau + \sigma^2}.$$

Celle-ci peut être calculée pour chaque corps au moyen de ses propriétés optiques (pour un métal, au moyen de l'angle d'incidence principal A et de l'azimut principal H)¹⁾. C'est ainsi que je trouve pour l'acier ($A = 76^\circ 40'$, $H = 16^\circ 48'$) $F = 2,83$, pour l'argent ($A = 72^\circ 30'$, $H = 40^\circ 9'$) $F = 2,09$, tandis que pour le sulfure de carbone ($n = 1,6$) on a $F = 1,15$.

J'ai calculé la valeur de F pour l'argent, parce que dans les expériences de M. Hall ce métal a montré, après le fer, l'action la plus forte, de sorte qu'il est permis de croire que si, après le fer, quelque autre métal peut présenter un effet sensible dans l'expérience de Kerr, ce sera l'argent. M. Hall dit²⁾ que la valeur de h pour le fer est à celle pour l'argent comme 78 à 8,6, et en combinant ce rapport avec les résultats que nous avons obtenus pour F , on trouve que pour l'argent Mod. (δ) sera environ 12 fois plus petit que pour le fer.

§ 26. Il importera maintenant de savoir si, quant à la grandeur absolue, les phénomènes observés par M. Kerr dans ses expériences

1) Voir ma *Theorie der terugkaatsing en breking*, p.168.

2) *Phil. Mag.*, X, p.323.

sur la réflexion sont en accord avec la valeur que M. Hall a trouvée pour h . Pour résoudre cette question, il faut d'abord faire subir une légère modification à la formule (21). Les valeurs réelles des quantités h et A — cette dernière entre dans B , en vertu de (14) — ne sont en effet pas égales aux valeurs observées h' et A' , et cela à cause de la polarisation diélectrique et magnétique de l'air dans lequel les observations qui servent à déterminer ces quantités ont été faites. D'abord, on a ¹⁾

$$A^2 = \frac{A'^2}{(1 + 4\pi\epsilon_1)(1 + 4\pi\vartheta_1)},$$

ϵ_1 étant la constante de la polarisation diélectrique dans l'air. En second lieu, d'après (1), h est une quantité analogue à κ (savoir, le rapport d'une force électromotrice et d'un courant électrique), et l'on a donc ²⁾

$$h = \frac{h'}{1 + 4\pi\epsilon_1}.$$

Si l'on remarque enfin que R_1 est la valeur inverse de la vitesse de propagation dans l'air, et qu'on peut donc poser $R_1 = A'$, la formule (21) devient

$$\text{Mod. } (\delta) = \frac{h'}{2T} \cdot \frac{\sigma^3}{1 + 2\sigma \cos \pi + \sigma^2}$$

et se prêtera alors à la comparaison avec des mesures absolues.

En terminant cette étude il convient de remarquer que dans ses expériences M. Kerr n'a qu'une seule fois opéré avec des rayons réfléchis perpendiculairement à la surface. Il est donc nécessaire d'étendre la théorie que nous venons de développer au cas des incidences obliques. C'est ce qu'a fait M. W. van Loghem, dans sa *Theorie der terugkaatsing van het licht door magneten*.

1) *Theorie der terugkaatsing en breking*, p.69.

2) *Ibidem*, p.44.

RAPPORT SOMMAIRE
SUR L'ÉRUPTION DE KRAKATAU,
LES 26, 27 ET 28 AOUT 1883;

PAR

R. D. M. VERBEEK.

Les recherches faites, en vertu d'une décision du Gouvernement, en date du 4 octobre 1883, sur la nature, l'extension et les conséquences des éruptions volcaniques de *Krakatau*, ont conduit à divers résultats intéressants, dont je donnerai ici un aperçu succinct. Un rapport détaillé est en voie de préparation, mais ne pourra paraître que dans quelques mois, l'exécution des nombreuses cartes et planches, qui l'accompagneront, demandant beaucoup de temps.

L'exploration a embrassé non seulement les îles du détroit de la *Sonde*, mais aussi les régions littorales des districts de *Lamong*, de *Bantam* et de *Batavia*, ravagées totalement ou en partie. Dans le détroit de la *Sonde* on a visité les îles *Merak*, *Toppers-hoedje*, *Dwars in den weg*, *Seboekoe*, *Sebesi*, *Lagoendi*, *Krakatau*, *Taboean*, *Prinsen-eiland*, les *Monnikrotsen* et *Meeuwen-eiland*; ensuite, la bande littorale de *Ketimbang* à *Kalianda* et l'intérieur des terres jusqu'à *Kesoegihan*, ainsi que le pied du *Radja Bassa*; la côte depuis *Hoeroen* jusqu'à *Teloq Betoeng* et les environs du chef-lieu; la partie sud de la *Semangka-baai* (la partie nord était rendue inaccessible par la ponce), les kampoengs *Tampang* et *Blimbing* près du *Vlakken hoek*, *Java's 1^{ste} punt* et la côte depuis *Tjaringin* et *Anjer* jusqu'à *Merak*. Le voyage, d'une durée de 17 jours, eut lieu à bord du *Kediri*, capitaine 't *Hoen*, bâtiment qui avait été cédé pour cette fin par le Chef des travaux du port de *Batavia*.

Au sujet des causes de la puissante éruption de *Krakatau*, de même que sur celles des éruptions volcaniques en général, il n'y a guère d'indications à donner. Quelque chose pourtant, dans le cas actuel, en peut être dit. *Krakatau* est située, avec plusieurs autres volcans, sur une fente ou fracture de l'écorce terrestre, fente qui passe droit à travers le détroit de la *Sonde* et sur l'existence probable de laquelle j'ai le premier attiré l'attention, il y a un peu plus de 3 ans. Le long d'une pareille fente peuvent s'opérer de petits glissements de la croûte terrestre, d'où résulte une pression sur les matières fondues qui se trouvent au-dessous de la croûte; le long d'une semblable fracture, si bien fermée qu'elle soit par les masses minérales adjacentes, l'eau peut aussi affluer plus facilement qu'ailleurs dans les espaces souterrains; lorsque cette eau arrive en contact avec les matières fondues, il se forme de la vapeur à haute température et à pression très élevée, et c'est vraisemblablement cette vapeur qui doit être regardée comme le moteur principal dans la plupart des éruptions volcaniques, sinon dans toutes. Beaucoup de circonstances se réunissent donc pour faire que les éruptions se produisent de préférence sur les lignes de fracture, à la seule condition que l'eau (eau de pluie ou eau de mer) puisse s'y introduire en quantité suffisante. Du repos bi-séculaire des volcans du détroit de la *Sonde*, nous devons donc conclure que l'afflux d'eau a été faible durant cette période et qu'il n'a augmenté que dans les dernières années. Or, justement dans ces dernières années, notre crevasse a été le théâtre d'une foule de tremblements de terre, dont a eu surtout à souffrir le phare de *Java's 1^{ste} punt*. La secousse la plus violente se fit sentir le 1^{er} septembre 1880; elle détermina la rupture de la partie supérieure de la tour, qui plus tard dut être démolie. Ces tremblements de terre étaient probablement dus à des effondrements souterrains, et je crois pouvoir admettre que ceux-ci ont produit le long de notre crevasse des modifications, par suite desquelles l'eau de mer a pu s'infiltrer en plus grande abondance qu'antérieurement. Dans les 3 dernières années, la tension de la vapeur d'eau formée

est devenue assez forte pour refouler la lave, des régions beaucoup plus profondes qu'elle occupe, dans la cheminée du cratère de *Krakatau*, et l'éruption a eu lieu lorsque la vapeur a enfin pu se frayer violemment, à *travers la lave*, un passage vers l'évent volcanique et la surface du sol. Lors de ce passage, une portion de la lave a été entraînée et projetée, en majeure partie sous forme de fine poussière, en dehors du cratère. La structure poreuse des matières éjaculées — il se forma presque exclusivement de la ponce — doit indubitablement être attribuée à la vapeur d'eau, chassée avec une grande force à travers la lave.

Une exposition plus détaillée de la manière dont l'éruption proprement dite a été préparée et accomplie ne pourra être donnée que plus tard, des dessins étant nécessaires pour la parfaite intelligence du sujet. Ici je me bornerai à remarquer encore que, par l'éruption de *Krakatau*, nos idées sur la forme et l'étendue des espaces souterrains seront probablement beaucoup modifiées. S'il est permis d'admettre un rapport entre notre éruption, la recrudescence d'activité que les volcans de l'*Archipel indien* ont montrée depuis cette époque, et les tremblements de terre qui ont été ressentis en *Australie* pendant et après les éruptions des derniers jours — coïncidence en tout cas très remarquable — on devra regarder comme probable que les espaces en question ont des dimensions beaucoup plus considérables que les géologues actuels ne leur en supposent habituellement.

Krakatau est le seul point qui ait travaillé. Des récits circulent suivant lesquels *Sebesi* et le *Radja Bassa* auraient également été en activité, mais cela est inexact.

De l'ancienne île de *Krakatau* il n'existe aucun lever détaillé; pour se former une idée des formes du terrain, on n'a que les cartes marines anglaise et hollandaise, toutes les deux à petite échelle, et une couple de croquis faits par M. Buijskes, en 1849, et par moi, en 1880. Ces deux croquis montrent que l'île possédait trois sommets; le plus septentrional, le *Perboewatan* (nommé *Roewatan* dans quelques rapports) était le moins élevé des trois et présentait des coulées de lave sur plusieurs côtés; c'est ce

sommet qui est entré le premier en activité, au mois de mai 1883, et qui probablement avait aussi projeté des ponces en 1860. Le sommet du milieu, qui portait le nom de *Danan*, a également été à l'œuvre, en août 1883. Le pic situé le plus au sud, le mont *Rakata* proprement dit (nom qui par corruption s'est changé en *Krakatau*), était de beaucoup le point le plus élevé de l'île entière : la carte marine lui donne 822 mètres d'altitude. Ce point aussi est un ancien cratère, mais qui n'a pas travaillé en 1883.

Le 20 mai 1883, le *Perboewatan* manifesta subitement son activité ; si, avant cette date, on n'a rien su de l'approche d'une éruption, cela tient sans doute à la circonstance que *Krakatau* était inhabitée et seulement visitée de temps en temps par des pêcheurs de Lampong, qui ne s'éloignaient pas du rivage ; il serait inadmissible que rien n'eût présagé cette éruption.

Les éruptions continuèrent avec une intensité variable, et avec des intervalles de repos, jusqu'au 26 août. Vers la fin de cette phase, le cratère du mont *Danan* entra également en action. Bien que non dépourvues d'importance en elles-mêmes, ces éruptions étaient insignifiantes comparées à ce qui devait suivre. Le 11 août, des arbres croissaient encore sur le pic, de sorte qu'à ce moment la destruction de la végétation restait limitée au voisinage immédiat des cratères. Le 26, les explosions augmentèrent beaucoup en intensité, pour atteindre leur maximum le 27, à 10 heures du matin. Elles perdirent alors de leur violence, mais n'en continuèrent pas moins pendant toute la nuit du lundi au mardi, jusqu'à ce qu'enfin, le 28, vers 6 heures du matin, elles cessèrent.

Relativement aux éruptions qui se sont succédé depuis le mois de mai jusqu'au 26 août, on n'a pas, en général, appris grand' chose d'intéressant ; tous les renseignements que j'ai pu recueillir à ce sujet seront communiqués dans le rapport détaillé.

Les éruptions du 26 et du 27 août furent accompagnées de violentes détonations et vibrations atmosphériques. Pendant ces deux jours, on entendit presque sans interruption un bruit sourd,

semblable au grondement du tonnerre dans le lointain; les explosions proprement dites étaient accompagnées d'éclats courts, comparables à de forts coups de canon, tandis que les détonations les plus violentes étaient encore beaucoup plus brèves et plus crépitantes et ne se laissaient comparer à aucun autre bruit.

Les bruits des éruptions du mois de mai furent encore entendus, dans la direction N.-O., à *Moeara Doea*, résidence de *Palembang*, et à *Bintoehan*, district de *Kauer*, résidence de *Benkoelen*, localités situées respectivement à 230 et 270 kilomètres de *Krakatau*; mais la propagation du son, telle qu'elle eut lieu le 26 août, surpasse tout ce qui est connu en ce genre. Les coups ont été entendus à *Ceylan*, au *Birman*, à *Manille*, à *Doreh* sur la *Geelvinkbaai* en *Nouvelle-Guinée*, et à *Perth* sur la côte occidentale de l'*Australie*, ainsi que dans tous les lieux plus rapprochés de *Krakatau*. Si, de *Krakatau* comme centre, on décrit un cercle avec un rayon de 30° , ou 3333 kilomètres, ce cercle passe précisément par les points les plus éloignés où le bruit ait été perçu. La distance des points extrêmes, à l'est et à l'ouest, est donc de 60° (le diamètre du cercle), ou $\frac{1}{6}$ de la circonférence entière du globe. La superficie de ce cercle, ou plutôt de ce segment sphérique, est de plus du 15^{ème} de la superficie de la terre. Dans les temps historiques, on ne connaît pas d'éruption dont les bruits se soient propagés sur une si énorme étendue. Lors de l'éruption du *Tambora*, dans l'île de *Soembawa*, en 1815, le rayon du cercle dans lequel le bruit fut entendu était moitié moindre, c'est-à-dire de 15° , et la superficie était donc 3,93 fois plus petite.

Si, avec le même rayon de 30° , on trace un cercle sur la terre en prenant pour centre *Amsterdam*, ce cercle a le parcours suivant. Le point le plus septentrional tombe par 82° lat. N., donc au nord du *Spitzberg*; de là, le cercle se dirige vers le centre de la *Nouvelle-Zemble*, puis le long de la chaîne de l'*Oural*, sur *Orenbourg*, *Tiflis*, *Damas*, *Jérusalem*, *Suez*; il coupe ensuite le tropique du Cancer par environ 15° long. E. de Gr., atteint son point le plus méridional par 22° lat. N., dans le désert du

Sahara, coupe de nouveau le tropique du Cancer par 5° long. O. de Gr., passe près de l'*Ile de Fer*, embrasse les *Canaries* et les *Açores*, ainsi que la plus grande partie du *Groënland*, et revient ainsi à son point de départ, au nord du *Spitzberg*.

En divers endroits on a observé que les détonations les plus fortes correspondaient à des heures différentes, et il est aussi arrivé qu'en des lieux plus rapprochés le bruit n'était souvent perçu que faiblement, ou pas du tout, tandis qu'en des points plus éloignés il était entendu très distinctement. Ainsi, par exemple, le coup le plus fort a été entendu à *Buitenzorg*, le 27, à sept heures moins un quart du matin, à *Batavia* à huit heures et demie, à *Teloeg Betoeng* à dix heures. Cela tient principalement à la direction du vent; il ressort clairement des rapports que les bruits avaient le plus de force à ce côté de *Krakatau* vers lequel soufflait le vent et étaient chassées les fines particules de cendre. Mais ainsi ne s'explique pas encore le fait qu'à des distances plus grandes le bruit était parfois plus distinct qu'à des distances moindres, lorsque les lieux comparés se trouvent dans la même direction relativement à *Krakatau*, comme cela est le cas, par exemple, pour *Anjer*, *Serang* et *Batavia*. Ce phénomène doit probablement être attribué aux grandes masses de particules de cendre répandues dans les couches inférieures de l'atmosphère. Si l'on suppose, par exemple, un gros nuage de cendre suspendu entre *Krakatau* et *Anjer*, ce nuage agira sur les ondes sonores comme un coussin épais et moelleux; à côté et par-dessus le nuage, le son pourra alors très bien se propager vers des points plus éloignés, tels que *Batavia*, tandis qu'à *Anjer*, immédiatement derrière le nuage de cendre, on ne percevra aucun bruit, ou seulement des bruits très faibles. D'autres explications, par exemple au moyen de l'interférence du son, me paraissent moins acceptables, quoique non absolument impossibles.

Outres ces vibrations sonores, il s'est formé aussi, lors des explosions, des ondes aériennes plus longues et très longues, qui ne se sont pas manifestées par des tons, mais qui n'en ont pas moins produit des effets très remarquables. Les plus rapides

de ces vibrations se communiquaient naturellement aux édifices et aux cloisons des chambres, de sorte que les objets suspendus à ces cloisons, ou au plafond, entraient en mouvement. C'est ainsi, par exemple, qu'à *Batavia* et à *Buitenzorg*, à une distance de 150 kilomètres de *Krakatau*, des portes et des fenêtres furent secouées avec bruit, des horloges s'arrêtèrent, des statuettes placées sur des armoires furent renversées, des réservoirs de lampes suspendues sautèrent de leurs suspensions et tombèrent à grand fracas, avec verres et globes, sur le sol.

Mais ce n'est pas à cette distance seulement que la vibration de l'air s'est fait sentir. A *Batoe-Radja* en *Palembang* (250 kilom. de *Krakatau*), à 3 heures du matin, des lézardes se produisirent à la caserne des Pradjoeirts; à *Palembang* même, 350 kilom. de *Krakatau*, différents bâtiments de l'Etat durent être évacués, parce qu'ils menaçaient ruine; bien plus, sur la terre *Alkmaer*, en *Passoeroean*, à 850 kilomètres de *Krakatau*, les murs se crevassèrent dans les habitations de l'administrateur et du machiniste. Tout cela était l'effet de vibrations aériennes, et non de tremblements de terre, qui dans cette éruption, chose digne de remarque, n'ont nulle part été observés avec certitude.

Enfin, les explosions les plus violentes ont encore donné naissance à des ondulations atmosphériques d'une longueur d'onde prodigieuse. L'Institut météorologique de *Batavia* ne possédant plus de baromètre enregistreur, ces ondulations auraient passé inaperçues en cette ville, si, heureusement, elles n'avaient été inscrites par l'indicateur de l'usine à gaz. Cet appareil, à enregistrement automatique, marque d'une manière continue, sur une feuille de papier enroulée autour d'un cylindre tournant, la pression du gaz. Or, le grand gazomètre de l'usine ayant, le 26 et le 27 août, été mis en mouvement par la pression des ondes atmosphériques, l'indicateur a noté ces oscillations, et la courbe de la pression ne présente plus, ces jours-là, la forme normale, mais une foule de dentelures. A l'aide des lignes horaires tracées sur le papier, on peut déterminer exactement l'heure où ces oscillations ont été inscrites, et, en retranchant le temps

nécessaire à l'onde pour arriver de *Krakatau* à *Batavia*, on trouve l'instant où l'onde s'est formée et où l'explosion a eu lieu (abstraction faite d'une correction pour le temps qui s'écoule entre le moment où la pression est exercée sur le gazomètre et celui où cette pression est inscrite par l'indicateur, intervalle qui malheureusement n'est pas connu avec précision). Les observations barométriques faites en Europe et en Amérique ont appris que ces grandes ondes aériennes possèdent une vitesse égale, ou presque égale, à la vitesse du son, d'où il suit qu'elles ont besoin de 7 minutes pour parcourir la distance de *Krakatau* à *Batavia*.

J'ai déduit de là que les éruptions les plus fortes ont eu lieu aux heures suivantes: 27 août, 5^h 35^m, 6^h 50^m, 10^h 5^m, et 10^h 55^m, temps de *Batavia*. De ces quatre, la plus violente, de beaucoup, a été l'explosion de 10^h 5^m. Aussi est-il parti alors de *Krakatau* une onde aérienne qui, autour de ce point comme pôle, s'est étendue annulairement à la surface du globe, dont elle a parcouru jusqu'à 3 fois et $\frac{1}{4}$ la circonférence entière. La vitesse, ainsi qu'il a déjà été dit, égalait à peu près celle du son, bien qu'il s'agisse ici d'ondes d'une longueur colossale (longueur d'onde des tons les plus graves que l'oreille puisse percevoir, environ 20 mètres; longueur d'onde de l'ondulation aérienne de *Krakatau*, plus d'un million de mètres).

Les éruptions, qui d'abord avaient eu lieu au-dessus du niveau de la mer, sont devenues sous-marines probablement vers 10 heures du matin, le 27 août. Jusque-là, il n'avait été rejeté que de la cendre plus ou moins humide, mais, à partir de ce moment, fut aussi éjaculée une grande quantité de boue, mélange de sable volcanique et d'eau de mer. L'effondrement de la partie septentrionale de la montagne doit avoir précédé ces éruptions sous-marines, comme on peut l'inférer du temps où la grande onde liquide, qui a probablement eu pour origine l'effondrement en question, a inondé le *Vlakke Hoek*. Lors de cet effondrement, un grand changement s'est produit dans le groupe d'îles de *Krakatau*. Au N. O. de *Krakatau* est situé le *Verlaten-eiland*,

au N. E. le *Lang-eiland*, et à l'ouest de cette dernière île se trouvait le *Poolsche Hoed*. Ce dernier îlot a disparu, les deux autres îles existent encore et ont même été agrandies par les matières éjaculées, qui se sont déposées à leur surface et le long de leurs bords. Le plus grand changement, toutefois, a été subi par *Krakatau* même. Toute la partie septentrionale, avec les cratères *Perboewatan* et *Danan* et la moitié du pic s'est engloutie dans la profondeur. On ne voit plus se dresser aujourd'hui que la moitié sud du pic, lequel a été coupé juste par son point le plus élevé et présente au côté septentrional une magnifique falaise de plus de 800 mètres de hauteur. L'effondrement a donc donné naissance à une coupe volcanique qui n'a probablement pas sa pareille au monde. Un dessin en couleurs de ce remarquable escarpement sera joint à mon rapport détaillé.

Krakatau occupait autrefois une étendue de $33\frac{1}{2}$ kilomètres carrés, dont 23 se sont abimés; il reste donc $10\frac{1}{2}$ kil. carrés. Mais, aux côtés sud et sud-ouest, l'île s'est accrue d'une ceinture de produits éruptifs, de sorte que la superficie de *Nieuw-Krakatau* est maintenant, d'après notre lever, de $15\frac{1}{2}$ kilom. carrés. *Lang-eiland*, qui jadis mesurait 2.9 kilom. carrés, en a aujourd'hui 3.2. *Verlaten-eiland* a reçu un accroissement très considérable; sa superficie, autrefois de 3.7 kilom. carrés, s'élève actuellement à 11.8 kilom. carrés. Du *Poolsche Hoedje*, il ne subsiste plus rien.

A la place occupée jadis par *Krakatau* on trouve maintenant partout une mer profonde, où la sonde descend le plus souvent à 200 m. et même, en quelques points, à 300 m. Un fait curieux, c'est qu'au milieu de cette mer profonde un rocher est resté debout et se dresse à environ 5 mètres au-dessus de la surface des eaux. Tout à côté de ce rocher, qui ne mesure certainement pas plus de 10 m. en carré, la profondeur de la mer dépasse 200 m. C'est comme une gigantesque massue, que *Krakatau* élève, menaçante, de son sol effondré.

Les produits de l'éruption de 1883 consistent presque exclusivement, comme je l'ai déjà dit, en ponces; çà et là seule-

ment l'attention est attirée, au milieu de ces matières gris clair, par quelque fragment de rétinite, de couleur plus foncée, ou par un petit fragment d'obsidienne, d'aspect complètement vitreux. Quoique, dans le cratère, la masse pierreuse ait sans nul doute été liquide, nulle part la lave n'a pu s'échapper en coulée, parce que tout a été éjaculé sous forme de débris plus ou moins gros et le plus souvent à l'état pulvérulent.

La *composition chimique* des matières rejetées n'a pas encore été suffisamment étudiée, mais, des analyses exécutées jusqu'ici, il paraît résulter que tous ces produits ne contiennent pas la même quantité d'acide silicique; peut-être les gros blocs, flottant à la surface de la masse fondue, étaient-ils un peu plus acides que la lave qui se trouvait à une plus grande profondeur dans le cratère et qui a été éjaculée à l'état de cendres. De la cendre recueillie par moi-même à *Buitenzorg* contenait, d'après des analyses faites à *Batavia*, 60% de silice, un fragment de ponce provenant de l'île *Calmeyer* en renfermait 68%, un fragment d'obsidienne de *Krakatau* un peu plus de 68%, et une cendre jaune et fine de la côte orientale de *Krakatau* jusqu'à 70%. On a trouvé, en outre: alumine 14--16%, oxydule de fer 6%, chaux 4%, soude 4 à 6% et un peu de magnésie.

L'*examen microscopique* de la cendre recueillie à *Buitenzorg*, préalablement soumise à la lévigation, a fait reconnaître: 1° Du verre, en très nombreuses particules à contours irréguliers, ordinairement criblées de pores à air, arrondis ou oblongs; dans quelques particules, les fils du verre sont courbés. Ces particules vitreuses, fragments microscopiques de ponce, sont toujours en proportion prédominante. 2° Des *feldspaths*, très frais et limpides, montrant parfois distinctement les stries des macles binaires polysynthétiques, mais le plus souvent en cristaux simples; le tout paraît être de la plagioclase, l'analyse n'indiquant pas de potasse. Comme inclusions, on trouve dans ce feldspath du verre, de l'apatite, de l'augite et de la magnétite. 3° Du *pyroxène*, en partie de couleur verte et alors éteignant obliquement, donc de l'*augite monocline*, en partie de couleur brune et alors, à ce qu'il

paraît, éteignant toujours parallèlement ; il n'est pas encore tout à fait certain si ces dernières augites, beaucoup plus abondantes que les vertes, appartiennent à un pyroxène *rhombique* (bronzite ou hypersthène), ou si ce sont des augites monoclines brunes, reposant, dans les préparations, sur l'orthopinacoïde ; ce serait là, sans doute, une circonstance accidentelle, mais qui n'aurait rien de surprenant si, dans ces cristaux, l'orthopinacoïde est beaucoup plus développé que le clinopinacoïde. Chez un de ces cristaux bruns je crois aussi avoir observé l'extinction oblique, et parfois on trouve des passages des teintes brunes aux vertes. 4° De la *magnétite*, en grains et en octaèdres, constituant l'élément le plus ancien. La proportion de magnétite diminue dans la cendre à mesure que celle-ci est tombée plus loin de *Krakatau*.

Si la masse fondue s'était refroidie lentement, elle aurait donné naissance à une andésite augitique ordinaire ou à une rétinite andésitique (avec pyroxène rhombique).

Le volume des fragments rejetés décroît en général à mesure qu'on s'éloigne de *Krakatau* ; les matériaux grossiers sont tombés en majeure partie à l'intérieur d'un cercle décrit autour de *Krakatau* avec un rayon de 15 kilomètres, bien que des fragments de la grosseur du poing aient encore été lancés jusqu'à la distance de 40 kilomètres. En dedans du cercle de 15 kilomètres de rayon, l'épaisseur des couches de débris est de 20 à 40 mètres. Sur le revers de l'île de *Krakatau*, l'épaisseur des monticules de cendres est même en certains points, au pied du pic, de 60 à 80 mètres, mais elle diminue vers le haut, de sorte que, dans les profonds sillons que les pluies ont déjà creusés dans ces dépôts, l'ancienne surface de la montagne et les arbres renversés reparaissent au jour.

Au moment de ma visite, les puissantes couches de cendres étaient refroidies à la surface, mais vers le bas elles conservaient encore beaucoup de chaleur ; aussi, dans les ravins profonds, de l'eau chaude et de la vapeur se montraient-elles partout. Au *Verlaten-eiland*, au *Lang-eiland*, aux îles *Steers* et *Calmeyer*, et même à *Sebesi*, on voyait également, çà et là, se dégager

de la vapeur. A *Krakatau* il y a, en outre, des arbres carbonisés par la cendre brûlante et qui, au bord de la fracture, où l'air trouve accès, continuent à se consumer lentement; il en résulte que, la nuit, on observe çà et là des lueurs de feu et de la fumée. Ce sont surtout ces petits feux qui ont donné naissance au bruit que *Krakatau* travaillait encore.

L'ascension de la montagne, du côté postérieur, par-dessus les monticules de ponce, offre des difficultés, mais est pourtant exécutable; ce qui la rend surtout très fatigante, ce sont les nombreux ravins dans lesquels il faut à chaque instant descendre, sous les rayons d'un soleil ardent, qu'aucune ombre ne tempère. En partant de l'angle nord-ouest, et longeant à peu de distance le bord de la fracture, on peut monter jusqu'à environ 20 mètres du point le plus élevé, qui, d'après nos mesures, est à 831 mètres au-dessus du niveau de la mer; le pourtour du sommet même est crevassé et s'émiette continuellement.

Entre *Krakatau* et *Sebesi* gît une immense quantité de cendres et de ponces, qui a presque entièrement comblé la mer, au-dessus de laquelle elle fait saillie en une couple de points. A ces deux points, on a donné les noms de *Steers-eiland* et *Calmeyer-eiland*, Ces îles ne dépassent que de quelques mètres le niveau de l'eau; elles ont beaucoup à souffrir du choc des vagues, n'étant composées que de matières meubles, et bientôt elles auront disparu. Les 16 petits cratères dénoncés entre *Sebesi* et *Krakatau*, et réduits à 6 ou 4 dans des relations postérieures, n'ont jamais existé. On a pris pour des volcans en travail les amas de débris fumants, méprise qui, de loin et dans les premiers temps après la catastrophe, a dû se commettre très facilement.

Les cendres fines ont été emportées dans la direction E. S. E. jusque près de *Bandoeng* (250 kilomètres de *Krakatau*), dans la direction N. N. O. jusqu'à *Singapore* et *Bengkalis*, respectivement à 835 et 915 kilomètres de *Krakatau*, dans la direction S. O. jusqu'à *Kokos-eiland* (île *Keeling*), 1200 kilomètres de *Krakatau*; à l'O., au N. et au S., on ignore jusqu'à quelle

distance la cendre est tombée; la superficie est au moins de 750.000 kilomètres carrés, à peu près égale à celle de la *Suède* et de la *Norvège*, plus grande que celle de la Monarchie *Austro-Hongroise*, plus grande aussi que celle de l'*Empire germanique* avec le *Danemark* (y compris l'*Islande*), enfin, 21 fois plus grande que celle des *Pays-Bas*.

Evidemment, les vents régnants du S. E. et du N. E. ont fait avancer les particules, d'où il est résulté que le contour de la surface couverte par les cendres a formé une courbe irrégulière.

Des particules encore plus fines sont même tombées en dehors de cette ligne, dans la mer, ainsi qu'on l'a appris par les récits des navigateurs; enfin, les particules d'une ténuité excessive, mêlées à une grande quantité de vapeur d'eau, sont restées suspendues très longtemps dans les couches supérieures de l'atmosphère, et, poussées par le vent, ont fait un voyage autour du monde. La vapeur s'est condensée en eau, qui a été congelée par le froid des hautes régions; la réfraction à travers les innombrables petits cristaux de glace a occasionné les belles lueurs rouge foncé qui, durant les derniers mois, ont été observées, quelque temps après le coucher du soleil, sur tant de points, en *Asie*, en *Afrique*, en *Europe* et en *Amérique*; en même temps, les particules de cendre obscurcissaient plus ou moins la lumière du soleil, ou communiquaient à cet astre, au moment de son lever et de son coucher, des teintes bleues et vertes. Si l'on considère que le volume des matières solides éjaculées s'élève déjà à plusieurs kilomètres cubes, et que les produits gazeux émis possédaient peut-être un volume des centaines de fois plus grand, l'hypothèse d'un nuage de glace cosmique, invoquée pour expliquer les phénomènes météorologiques, paraîtra sans doute entièrement superflue.

Une preuve directe du fait, que dans les couches supérieures de l'atmosphère des particules de cendre ont été entraînées très loin, a été fournie déjà par de la neige tombée en *Espagne* et de la pluie recueillie aux *Pas-Bas*, dans lesquelles on a trouvé

les mêmes éléments que dans la cendre de *Krakatau*; quant à la très grande hauteur à laquelle, lors des dernières et violentes éruptions, les particules ont dû être lancées, on peut l'inférer de la circonstance que le 20 mai, dans une des toutes premières éruptions, le nuage de fumée aurait déjà atteint — d'après des mesures faites à bord de l'*Elisabeth*, corvette de guerre allemande, qui ce jour-là avait quitté *Anjer* à 9 heures matin — une élévation d'au moins 11000 mètres. Si cette information mérite confiance, il est donc très possible que, lors des explosions beaucoup plus violentes des 26 et 27 août, la hauteur de projection ait été de 15 à 20 kilomètres.

Une évaluation aussi exacte que possible de la quantité des matières solides rejetées m'a donné le chiffre de 18 *kilomètres cubes*. Dans les cas douteux, j'ai toujours pris les nombres les plus petits, de sorte que le chiffre de 18 kil³. peut bien être trop faible, mais non trop fort. L'erreur possible ne dépasse pas, d'après mon estimation, 2 à 3 kilomètres cubes.

Si considérable que soit ce volume, il reste pourtant beaucoup au-dessous de celui que le *Tambora* a fourni en 1815, et que Junghuhn évalue à 317 kilomètres cubes; cette dernière évaluation, toutefois, ne repose que sur des données peu nombreuses, et je suis porté à croire qu'un volume de 150 à 200 kilomètres cubes se rapprocherait plus de la vérité. Même dans ce cas, le chiffre serait encore 8 à 11 fois plus fort que le nôtre, ce qui d'ailleurs ne doit pas surprendre, puisqu'à *Madoera*, à plus de 500 kilomètres du *Tambora*, le soleil fut alors complètement obscurci pendant *trois jours*, tandis qu'ici, lors de la catastrophe de 1883, l'obscurité ne dura qu'un *petit nombre d'heures*.

De ces 18 kil³., représentant un poids de plus de 36×10^{12} kilogrammes, il n'y en a pas moins de 12, ou les $\frac{2}{3}$ de la masse totale, qui sont déposés à l'intérieur du cercle décrit autour de *Krakatau* avec un rayon de 15 kilomètres. Comme la mer entre *Krakatau* et *Sebesi* n'était profonde que de 36 mètres, en qu'en cet endroit l'épaisseur des couches de débris atteint environ le même chiffre, la navigation est devenue en-

tièrement impossible dans ces parages. Un peu plus loin l'épaisseur diminue très fort. A la distance de 15 à 22 $\frac{1}{2}$ kilomètres de *Krakatau*, l'épaisseur n'est plus, en moyenne, que de 1 à 1 $\frac{1}{2}$ m.; dans cet anneau se trouve *Sebesi*, qui maintenant ne présente qu'un monceau de cendre, d'où émergent seulement quelques courts tronçons d'arbres; rien ne subsiste plus des quatre kampoengs populeux qui s'élevaient dans la plaine vis-à-vis de l'îlot *Mengoenang* (*Huismans-eiland*), tout a été emporté par les vagues, et une couche de cendres, épaisse de 1 mètre, recouvre le sol. De 22 $\frac{1}{2}$ à 40 kilomètres, l'épaisseur moyenne des cendres est 0^m, 3, puis, jusqu'à 50 kilomètres, 0^m, 2. A une distance encore plus grande de *Krakatau*, l'épaisseur s'abaisse rapidement à 2, 1 et $\frac{1}{2}$ centimètres, mais ici, plus les matières deviennent fines, plus l'influence de la direction du vent se fait sentir. Une petite carte des cendres sera jointe au rapport détaillé.

Un dernier et très important phénomène, auquel l'éruption a donné lieu, est la production d'énormes vagues, qui ont submergé les côtes basses du détroit de la *Sonde*, détruit une foule de kampoengs et coûté la vie à plus de 35000 personnes.

Au sujet de l'heure où ces ondes ont apparu, il règne beaucoup d'incertitude, et cela n'est guère étonnant. Le nombre des Européens qui, sur les divers points du littoral ou à bord des navires, assistèrent à la catastrophe, n'était déjà pas considérable; presque tous, en outre, se trouvaient dans un état de surexcitation extrême, de sorte qu'ils n'ont songé que très exceptionnellement à regarder l'heure à la montre. La plupart des déterminations de temps ne furent donc que des estimations grossières, qui, surtout celles faites après que l'obscurité fut survenue, ne méritent pas grande confiance. On s'explique de cette manière que les déterminations de l'heure d'un même événement, dans le même lieu, par deux personnes différentes, aient pu différer entre elles, comme j'en ai eu la preuve, de une heure et demie.

Un fait remarquable est encore à noter à ce sujet, savoir, que la plus puissante des vagues en question, celle qui a de

beaucoup surpassé les autres en hauteur, la seule qui se soit propagée à de grandes distances le long de la côte septentrionale de *Java* et dans la direction du sud-ouest, n'a été vue presque nulle part; à *Tjaringen* seulement on l'a vue arriver un peu avant que l'obscurité ne se produisît, ce qui a eu lieu vers 10 heures du matin, le 27. *Anjer* avait été ravagé dès 6 heures du matin, puis abandonné. A *Teloeq Betoeng* et aux phares du *Vlakke hoek* et de *Java's 1^{ste} punt*, cette lame n'a pas été vue, à cause de l'obscurité profonde qui y régnait; à *Java's 1^{ste} punt*, sur le phare situé à 40 mètres au-dessus du niveau de la mer, on n'avait même rien remarqué du passage de l'onde, et ce n'est que le lendemain, lorsque la clarté reparut, qu'on découvrit la dévastation de la région littorale.

Comme la grande obscurité est survenue à *Bantam* peu après la forte explosion de 10^h5^m, — la même qui a aussi donné naissance à la grande onde aérienne, — et que la lame, avant la production de l'obscurité, n'eut que le temps d'atteindre la localité voisine *Tjaringin*, située à 47 kilomètres de *Krakatau*, la formation de cette lame ne peut avoir eu lieu beaucoup plus tôt que 9^h 50^m ou 9^h 55^m. Au *Vlakke Hoek*, 103 kilomètres de *Krakatau*, la lame arriva à environ 10^h 30^m, ce qui s'accorde bien avec notre détermination du temps, si l'on prend en considération que la vitesse des ondes dans la direction du *Vlakke Hoek* a été, à cause de la profondeur supérieure de la mer, plus grande que dans la direction de *Tjaringin*.

Il est donc très probable que, peu avant dix heures, a eu lieu l'effondrement des parois creuses de l'un des cratères en activité, ou des deux cratères à la fois; que l'eau a ainsi pu pénétrer en grande abondance, et qu'alors la moitié du grand pic, déjà complètement miné et crevassé par les éruptions, s'est également abîmée. La cause du grand ébranlement de la mer doit sans doute être cherchée dans l'effondrement du pic. De la partie septentrionale de l'île il ne devait guère rester, après les nombreuses éruptions, qu'une coque creuse, dont l'écroulement n'a pu déterminer des ondulations bien importantes; la

pénétration de l'eau ne devait pas non plus produire de fortes ondes, mais aura plutôt eu pour effet une aspiration vers *Krakatau*, et telle peut avoir été la cause du retrait de la mer, qui s'est manifesté sur différents points de la côte *avant* l'arrivée de la grande lame.

Quant au pic lui-même, il était encore massif, et j'ai calculé que la partie écroulée de cette montagne seule, donc sans le *Danan* et le *Perboewatan*, avait un volume d'au moins 1 kilomètre cube. L'immersion subite d'une pareille masse a dû donner naissance, autour de *Krakatau*, à une immense vague annulaire.

Il y a eu toutefois encore d'autres ondes, de moindre importance: une le dimanche, 26 août, à 5^h ou 5^h $\frac{1}{2}$ du soir, une ou deux pendant la nuit, puis, le lundi matin à 6 heures, une onde qui ravagea *Anjer*. Ces ondes beaucoup plus petites, on peut difficilement les attribuer à l'effondrement de portions de la montagne, parce qu'alors aussi la mer aurait probablement pénétré dans le cratère et qu'on eût eu déjà beaucoup plus tôt des éruptions boueuses: à moins de supposer que ces éruptions ont effectivement eu lieu, mais que nulle part la boue n'a été lancée assez loin pour retomber sur les points habités, — ce qui n'est pas absolument impossible.

Si, à ce moment, il n'y a pas encore eu d'écroulements de la montagne, il ne reste plus qu'à admettre que les ondes en question ont été produites par la chute dans la mer des énormes masses de matières éjaculées. Ainsi qu'il a été dit plus haut, 12 kilomètres cubes de pierres et de cendres gisent autour de *Krakatau*, dans un faible rayon; cette quantité y a été jetée, il est vrai, à partir du 20 mai, mais en très majeure partie, à coup sûr, lors des violentes explosions des 26 et 27 août. Or, si l'on admet que, par exemple, un kilomètre cube de matières tombent presque à la fois dans la mer, il devra aussi en résulter des ondes, qui pourront même, comme je l'ai reconnu, atteindre une hauteur assez considérable.

La grande lame formée vers 10 heures a monté très haut, surtout contre les rivages escarpés du détroit de la *Sonde*; c'est

ainsi que nous avons mesuré: au phare du *Vlakke Hoek*, 15 mètres; à *Beneawang (Semangka)*, hauteur incertaine; à *Teloeg Betoeng*, devant la maison de la résidence, 22 m.; à l'*Apenberg (Goenoeng Koenjit)*, 24 m.; près de *Kalianda*, remonté contre un plan incliné, 24 m.; contre le côté sud de *Dwars in den Weg*, à peu près 35 m. (hauteur non mesurée); contre *Toppers hoedje*, au côté sud, 30 m., au côté nord, 24 m.; à *Merak* même, hauteur difficile à voir, l'ancienne habitation de l'ingénieur ne se trouvant qu'à 14 m. au-dessus de niveau de la mer; à environ 2 kilomètres au sud de *Merak*, 35 m.; au nord d'*Anjer*, sur la côte en face du *Brabandshoedje*, 36 mètres. La hauteur est donc partout différente et dépend de la situation des lieux, de leur éloignement de *Krakatau*, de la nature plus ou moins abritée et de l'escarpement de la côte. A *Sebesi* même, aucune trace de la lame n'est plus visible, tout ayant été enseveli sous une épaisse couche de cendre, tombée après le retrait de l'onde; à *Seboekoe*, la hauteur atteint de 25 à 30 m., mais n'a pas été mesurée.

La grande lame, qui doit être partie de *Krakatau* vers 9^h50^m environ, s'est propagée à de très grandes distances, entre autres jusqu'à *Ceylan*, *Aden*, *Maurice*, *Port-Elisabeth* dans l'Afrique australe, et même jusqu'aux côtes de *France*. La vitesse des ondes a naturellement été très diverse, car elle augmente avec la profondeur des mers; des renseignements détaillés, à ce sujet, ne pourront être donnés que plus tard, lorsque les indications de tous les marégraphes auront été reçues. Pour l'*Archipel indien* et une couple de points en dehors de cet archipel, j'ai trouvé les chiffres suivants: (Voir le tableau p. 171.)

Dans notre archipel la vitesse est faible, à cause du peu de profondeur de la mer, mais dans la mer profonde qui se trouve sur le trajet vers *Maurice* et le *Cap* la vitesse devient très grande, savoir, de plus de 300 milles marins par heure, vitesse qui n'est comparable qu'à celle de l'onde de la marée lunaire et à celle des ondes séismiques de *Simoda* au *Japon*, le 23 décembre 1855, et de *Tacna* au *Pérou*, le 13 août 1868.

LOCALITÉS.	Vitesse en milles par heure.	Profondeur moyenne de la mer en mètres.
<i>Noordwachter-eiland</i>	37	37
<i>Tandjong-Priok (Batavia)</i>	36	35
<i>Ondiepwatereiland</i>	33	29
<i>Dendang (Billiton)</i>	31	26
<i>Tandjong-Pandan (Billiton)</i>	32	27½
<i>Tjilamaja (Krawang)</i>	31	26
<i>(Oedjoeng-Pangka (près de Soerabaja)</i>	29¼	23
<i>Pasar Manna (Benkoelen)</i>	113	344½
<i>Padang</i>	109	320½
<i>Maurice (Port-Louis)</i>	(364) ?	(3575) ?
<i>Port-Elisabeth</i>	306	2526

A l'aide de ces vitesses, on peut trouver la profondeur moyenne de la mer entre les points parcourus; j'ai consigné ces profondeurs dans le tableau, mais, à proprement parler, elles ne sont valables que lorsque la hauteur de l'onde est petite par rapport à la profondeur de la mer, ce qui dans notre archipel n'est pas strictement exact. Néanmoins, les nombres s'accordent assez bien avec la carte marine. Dans la détermination de l'heure à *Maurice* il paraît y avoir une erreur, car la profondeur moyenne ne saurait y offrir une différence si considérable avec celle de *Port-Elisabeth*.

Après ces effroyables crises, *Krakatau* rentra peu à peu dans le repos, mais non sans avoir encore mugé violemment pendant la soirée et la nuit du 27 au 28 août. Le soir, de 10 à 1 h., les coups et les détonations entendus à *Buitenzorg* n'étaient guère moins forts qu'ils ne l'avaient été le matin. Après le 28 août, toutefois, on n'a plus rien entendu du volcan. Les tableaux du marégraphe de *Tandjoeng Priok* montrent encore de petites oscillations jusqu'au 30 août à midi, mais, passé ce moment, la hauteur de l'eau était également redevenue normale.

Pourtant j'ai reconnu que, bien postérieurement au 28 août, il doit y avoir eu encore une éruption assez importante à *Krakatau*, et cela très peu de temps avant que je visitasse l'île.

Parti le 11 octobre de *Batavia*, avec mon personnel, j'arrivai le 15, après avoir touché différents points du détroit de la *Sonde*, à *Calmeyer*. Dans cette île, banc de sable ponceux, complètement nu et divisé par des anses en 7 fragments, nous nous arrêtàmes quelques heures, pour la mesurer en tous sens; cette opération eut lieu par une température de 42° C, qui nous laissa tous à demi suffoqués. Déjà ici, mon attention fut attirée par le fait que le sable ponceux blanc ou gris clair était recouvert d'une couche, épaisse de 0^m,2, de cendre plus foncée, très fine, qui à la surface présentait de nombreuses gerçures, résultat de la dessiccation, et qui était donc évidemment arrivée là à l'état de boue humide; à ce moment, toutefois, je n'attachai pas à ce fait une importance spéciale.

Le 16, j'abordai à *Krakatau*, où je restai jusqu'au 18. Lorsque, faisant le lever de la montagne, nous fûmes parvenus, le 17, au point le plus élevé, et qu'ensuite nous commençâmes à descendre la pente abrupte du côté sud, je remarquai avec étonnement, sur les matières ponceuses ordinaires, de couleur grise, deux bandes noires, qui, naissant à l'altitude de 600 mètres, donc à environ 200 mètres en contre-bas du sommet, se poursuivaient en ligne assez droite, sur une longueur de 1300 mètres, jusqu'à 100 m. au-dessus du niveau de la mer. A l'examen, je reconnus que ces bandes noires étaient deux courants de boue, qui avaient coulé le long du versant de la montagne et qui recouvraient la ponce blanche sous une épaisseur moyenne de 0^m,2 à 0^m,3 et sur une largeur de 1 à 5 mètres. Le plus remarquable, toutefois, c'est que ces courants de boue ne suivaient pas seulement les croupes de la montagne, mais étaient aussi manifestement descendus dans les profonds ravins du dépôt ponceux. Ils ne peuvent donc s'être formés que lorsque le sable ponceux avait déjà été sillonné par les pluies, et comme l'érosion

de ces ravins a dû demander plusieurs semaines, l'éruption boueuse n'a pu se produire immédiatement après les éruptions du mois d'août. A l'époque de ma visite, la boue gris foncé, très fine, était encore humide et se laissait pétrir sous les doigts, ce qui prouve également qu'elle n'était arrivée que depuis peu de temps.

Cette éruption a aussi amené au jour des corps très singuliers, savoir, des petites boules parfaitement arrondies, semblables à des billes d'enfants, d'un diamètre de $1\frac{1}{2}$ à 6 centimètres. Elles font une vive effervescence dans les acides et contiennent: 55% de carbonate de chaux, 26% de silice, 11% d'alumine et 5% d'eau.

Ces rognons marneux riches en calcaire doivent provenir de couches de marne existant au fond du détroit de la *Sonde*, dans le voisinage de *Krakatau*, et dont les détritrus, éjaculés par le cratère, étaient animés d'un rapide mouvement de rotation. Les boules, qui sont très rares, ne se trouvent jamais dans le sable ponceux, mais seulement à sa surface, ordinairement enfoncées jusqu'à la moitié; elles appartiennent évidemment aux toutes dernières déjections. Je n'ai pu m'assurer si les courants de boue sont également calcarifères, l'échantillon que j'avais emporté s'étant malheureusement égaré.

La dernière éruption boueuse, — qui doit avoir été assez importante, puisque à *Calmeyer*, à 12 kilomètres de *Krakatau*, la couche supérieure noire a $0^m,2$ d'épaisseur, et que la boue a été lancée par dessus le sommet de la montagne, haut de 830 mètres, pour retomber sur un point du versant opposé, d'où elle a coulé plus bas, — cette dernière éruption n'a très probablement eu lieu que 6 jours avant mon arrivée, savoir, le 10 octobre, à environ 9 heures $\frac{1}{2}$ du soir; ce soir là, en effet, vers 10 heures, il est arrivé à *Tjikawoeng*, sur la *Welkomstbaai*, une onde liquide assez forte, la seule qui ait été remarquée depuis le 28 août. Un bruit sourd, dans la direction de *Krakatau*, a été alors entendu, tant dans la localité qui vient d'être nommée qu'un peu plus au nord, à *Soemoer*. A *Tjikawoeng*, l'onde s'est avancée sur le rivage jusqu'à environ 75 mètres au-delà de

la ligne de haute mer; elle n'a toutefois pas été observée en d'autres points de la côte, parce que le littoral dévasté n'était pas encore habité et se trouvait entièrement désert pendant la nuit. L'onde en question est une nouvelle preuve que la chute de grandes quantités de matières éjaculées, autour de *Krakatau*, suffit pour produire de violents ébranlements marins dans le détroit de la *Sonde*.

L'éruption du 10 octobre paraît avoir été réellement la dernière. Toutefois, c'est à peine si on en a su quelque chose, et il se pourrait donc que des actions faibles postérieures eussent passé complètement inaperçues. Lorsque je visitai *Krakatau*, il n'y avait plus nulle part la moindre trace d'activité; le 18 octobre nous quitions l'île, et le 19 au soir nous étions au *Vlakke Hoek*, où aucun phénomène n'attira notre attention. Les grondements qui furent entendus ce soir-là à *Tangerang* et à *Mauk*, venant de l'ouest, n'auront donc probablement pas eu leur origine à *Krakatau*. Il serait toutefois très intéressant de faire une nouvelle visite à cette île, pour s'assurer s'il y est encore survenu des changements depuis le 18 octobre.

Sans doute, après l'épouvantable crise du mois d'août et l'effondrement de la plus grande partie de l'île, une violente éruption du volcan de *Krakatau* n'est pas à craindre; mais les faibles actions ultimes peuvent, elles aussi, fournir encore beaucoup de données intéressantes, comme le montrent, par exemple, les petites billes de marne.

Une grande carte de *Krakatau* paraîtra avec le Rapport détaillé; à celui-ci seront jointes également des cartes de *Calmeyer* et des parties ravagées de *Merak*, *Java's 1^{ste} punt*, *Sebesi*, *Seboekoe*, *Teloeg Betoeng* et *Kalianda*; puis des tableaux de la pression à l'usine à gaz de *Batavia* et de la hauteur de l'eau aux marégraphes de *Tandjong-Priok* et de *Soerabaja*; une carte des cendres et d'autres documents; enfin, quelques dessins en couleur de *Krakatau* et des régions dévastées où, en peu d'instant, des milliers d'hommes ont perdu la vie, dans la journée néfaste du 27 août 1883.

SUR LA MÉTÉORITE DE NGAWI,
TOMBÉE LE 3 OCTOBRE 1883, DANS LA PARTIE
CENTRALE DE L'ILE DE JAVA;

PAR

E. H. VON BAUMHAUER.

Par lettres en date des 21 et 25 novembre 1883, M. R. D. M. Verbeek, ingénieur des mines de 1^{ère} classe à Buitenzorg, a eu l'obligeance de m'informer que le 3 octobre 1883, entre 5 et 5½ heures du soir, il était tombé :

1°. Une météorite dans le *desa* (village) de Gentoeng, district de Djogorogo, arrondissement de Ngawi, résidence de Madioen; cette météorite avait été cassée en trois morceaux par un indigène.

2°. Une seconde météorite, tombée vers la même heure à Kedoeng Poetri, district de Sepreh, arrondissement de Ngawi.

3°. Une grosse boule blanche, sans croûte fondue, qu'une jeune fille indigène dit avoir ramassée près du *desa* de Tjoeroet, district de Manggar, sous-résidence de Demak, résidence de Semarang.

D'après les cartes des résidences de Java, la distance de Tjoeroet, où serait tombée le n°. 3, à Kedoeng Poetri, où a été ramassé le n°. 2, est d'environ 84 kilomètres, tandis que Gentoeng, où est tombé le n°. 1, se trouve à environ 7 kilomètres de Kedoeng Poetri.

M. Verbeek, qui avait vu ces pierres à Buitenzorg, doutait déjà fortement de l'origine météorique du n°. 3.

A la nouvelle que ces météorites avaient été envoyées aux Pays-Bas, pour le Musée national de Leyde, je m'adressai à S. E. le Ministre des colonies, qui voulut bien me donner com-

munication des deux missives suivantes, adressées par les résidents de Semarang et de Madioen à S. E. le Gouverneur-Général des Indes néerlandaises; en ce qui concerne les météorites elles-mêmes, le Ministre me renvoyait à M. le professeur K. Martin, directeur du Musée minéralogique et géologique de Leyde, où ces météorites avaient été déposées.

Copie n°. 7660/1.

SEMARANG, le 12 octobre 1883.

J'ai l'honneur d'informer Votre Excellence que, suivant une communication de M. le sous-résident de Demak, on a observé dans cet arrondissement, le mercredi 3 courant, à environ 5 heures du soir, un météore igné, répandant une vive lumière, et qui, apparu à l'ouest, se mouvait au ciel dans la direction de l'est. Au bout de quelques instants, le météore éclata, en produisant une forte détonation, semblable à un coup de canon, qui, d'après les avis reçus, a été entendue dans tout l'arrondissement.

Une jeune fille indigène, qui se trouvait par hasard dans une sawah (rizière) à l'est du dessa de Tjoeroet, district de Manggar, vit tomber l'aérolithe tout près d'elle. En voulant le ramasser, elle s'aperçut qu'il était fortement échauffé, brûlant. Lorsque la pierre fut refroidie, elle la ramassa et la porta au Wedono de Manggar, qui l'a envoyée au sous-résident, par l'entremise du régent.

Dans les arrondissements de Semarang, d'Ambarawa et de Grobagan, le même météore a également été observé, le 3 du mois courant, vers 5 heures $\frac{1}{2}$ du soir, et on y a aussi distinctement entendu la détonation.

Qu'il me soit permis d'offrir à votre Excellence la pierre en question, et de lui proposer respectueusement de la soumettre à l'examen de M. l'ingénieur en chef, directeur du service des mines.

Le résident (signé) WEGENER.

*A son Excellence le Gouverneur-Général
des Indes néerlandaises.*

Pour copie conforme.

*Le secrétaire du Gouvernement
(signé) GALLOIS.*

Copie n°. 6048/25.

MADIOEN, le 16 octobre 1883.

En suite à ma lettre du 5 courant, n°. 5811/25, j'ai l'honneur d'informer Votre Excellence que le phénomène lumineux dont il s'y agissait a été manifestement un bolide. Quatre indigènes du dessa de Gentoeng, district de Djogorogo, arrondissement de Ngawi, ont vu une pierre tomber de l'atmosphère, l'ont ramassée et l'ont cassée en trois morceaux.

Le même jour, une seconde pierre, qui lors de sa chute s'enfonça assez profondément dans le sol, fut trouvée par un indigène de Kedoeng Poetri (district de Sepreh, arrondissement de Ngawi).

Cette dernière pierre, restée entière, a la forme d'un coin, ce qui est évidemment dû à l'état de ramollissement par la chaleur, où elle se trouvait en pénétrant dans le sol. La surface de la pierre montre distinctement les traces de l'incandescence qu'elle a subie.

J'ai fait remettre cette pierre, ainsi que les trois fragments mentionnés plus haut, au garde-magasin d'ici, avec ordre de les envoyer à son collègue de Batavia, qui les fera parvenir au Secrétaire général.

Le résident (signé) OUDEMANS.

*A son Excellence le Gouverneur-Général
des Indes néerlandaises.*

Pour copie conforme.

*Le secrétaire du Gouvernement
signé (GALLOIS).*

Lors d'une visite que je fis à M. le professeur Martin, le 29 janvier 1884, j'eus l'occasion de voir au Musée la pierre dont il est question dans la missive de M. le résident de Semarang. C'est une boule jaune, presque parfaitement ronde, d'un diamètre de plus de 1 décimètre, évidemment un simple caillou roulé, formé, comme le montre la cassure, d'un calcaire à foraminifères ordinaire. Une méprise, très facile à expliquer, a eu lieu dans

ce cas. La jeune fille indigène, encore sous le coup de l'effroi que lui avait causé la violente détonation et la vue d'un globe de feu tombant à peu de distance, s'est rendue à l'endroit de la chute, où elle a vu une boule ronde, de grosseur inaccoutumée pour elle, une pierre roulée qui se trouvait là par hasard. Tout naturellement elle a cru que cette pierre venait de tomber du ciel, tandis que, ignorante de l'aspect extérieur des météorites, elle n'aura pas remarqué la vraie pierre tombée, qui d'ailleurs était probablement enfoncée à une assez grande profondeur dans le sol.

Comme il ne me paraissait guère douteux qu'une météorite était tombée à l'endroit en question, j'ai, à la date du 30 janvier, appelé l'attention de S. E. le Ministre des colonies sur l'intérêt qu'il y aurait à rechercher la susdite jeune fille du dessa de Tjoeroet, à lui demander de désigner la place où elle a vu tomber le bolide, et à exécuter des fouilles en ce point et aux alentours, pour tâcher d'y découvrir une pierre noir-brunâtre à la surface, gris foncé à l'intérieur. Son Exc. a eu la bonté de me faire savoir que le désir exprimé par moi avait été communiqué au Gouverneur-Général des Indes. Il n'est donc pas impossible que la pierre perdue finisse par se retrouver ¹⁾.

Outre cette prétendue météorite, je vis à Leyde la météorite vraie, ci-dessus mentionnée sous le n°. 2, qui avait été trouvée par l'indigène de Kedoeng Poetri et qui était restée entière. Cette pierre, pesant un peu plus de 200 grammes, était, sauf en une couple de points où de petits éclats en avaient été détachés, entièrement recouverte d'une croûte noir-brunâtre,

¹⁾ Dans le Journal le *Handelsblad* du 21 mai 1884, parmi les nouvelles des Indes, je lis ce qui suit: «Le Journal le *Locomotief* contient une information suivant laquelle le météore observé, il y a quelque temps, dans la partie centrale de Java, serait tombé près d'une parcelle de terre tenue en bail emphytéotique par M. F. Kläring, à Sumberobjong, dans le Ngawi. Celui-ci a fait déterrer la pierre, et la conserve. L'administration ne peut pas se la faire remettre à l'amiable, bien que la pierre soit tombée sur le domaine de la Compagnie». Serait-ce là la pierre perdue, dont la chute a été vue par la jeune fille?

de $\frac{1}{2}$ mm d'épaisseur; elle avait une configuration cunéiforme.

Enfin, il y avait encore une couple de petits fragments provenant de la pierre désignée sous le n°. 1; l'un d'eux avait environ la forme d'un cube ou d'une pyramide quadrangulaire tronquée, d'un diamètre d'un peu plus de 2 centimètres et dont les quatre faces latérales de la pyramide étaient encore recouvertes de la croûte noire; ce fragment pesait environ 18 grammes, tandis que l'autre, partiellement avec croûte noire, ne pesait que 4 grammes.

Comme l'ingénieur en chef, directeur du service des mines, et le directeur de l'instruction publique, des cultes et de l'industrie, aux Indes, avaient manifesté le désir que l'étude de ces météorites me fut confiée, et comme l'examen des échantillons indiquait clairement que les nos. 1 et 2 avaient appartenu à la même masse, M. le professeur Martin me céda les deux petits fragments n°. 1, en gardant pour le Musée de Leyde la pierre intacte n°. 2. M. Martin n'ayant pas consenti à ce que celle-ci sortît temporairement du Musée, je priai M. Wendel, lithographe à Leyde, de la représenter, en grandeur naturelle, dans cinq positions différentes; ces dessins, comme tout ce qui vient des mains de cet artiste, sont supérieurement exécutés (voir la Planche V). Pour la même raison, je dus aussi prier M. le professeur H. A. Lorentz, de Leyde, de vouloir bien déterminer la densité de la pierre; il s'y est prêté de la façon la plus obligeante et m'a communiqué les résultats de son examen dans la note suivante, dont je le remercie sincèrement:

„La météorite pèse 202^{gr},1 et sa densité (relative au volume total) est de 3,11 (à 15° C). La pierre, toutefois, est très poreuse et peut absorber l'eau en quantité assez notable. L'ayant plongée dans l'eau, sous la cloche de la machine pneumatique, j'ai pu y faire pénétrer 6^{gr},4 de ce liquide; il suit de là, puisque le volume total est de 65 centimètres cubes, qu'au moins $\frac{1}{10}$ de ce volume est occupé par des cavités; peut-être même la proportion est-elle encore plus forte, car, en premier lieu, il se pourrait qu'un séjour plus prolongé sous la cloche eût occasionné le dégagement d'un peu plus d'air, et, en second lieu, la possibilité

existe que quelques-unes des cavités soient complètement fermées. Quoi qu'il en soit, en prenant pour le volume des cavités 6^{cc},4, on trouve, pour la densité de la matière dont la météorite est composée, 3,45; en réalité, ce nombre est une limite inférieure."

Une détermination avec le pycnomètre, que j'ai exécutée moi-même, sur la faible quantité de 0^{gr},6 de poudre fine de la pierre, dans l'eau distillée bouillie, m'a donné pour la densité, par rapport à celle de l'eau à 15° C, le nombre 3,561.

Il est donc avéré que le 3 octobre 1883 entre 5 et 5½ heures du soir, au-dessus de la partie centrale de Java, une météorite s'est approchée de la terre, qu'elle a éclaté dans les hautes régions de l'atmosphère, et qu'une couple des éclats, après avoir traversé l'air avec une grande vitesse, avoir été amenés dans ce trajet à un état d'incandescence et de fusion superficielles et s'être ainsi entourés d'une croûte noir-brunâtre, sont tombés sur le sol et ont accidentellement été découverts par quelques personnes; en outre, il est extrêmement probable que, dans le même périmètre, beaucoup d'autres fragments sont tombés à terre sans avoir été aperçus, qu'ils se sont profondément enfoncés dans le sol et, par suite, sont irrévocablement perdus pour nous.

M. Verbeek m'a encore écrit, le 10 mars 1884, qu'une autre chute de météorites a eu lieu, dans la nuit du 17 au 18 janvier 1884, à Tjinangka, district d'Anjer, résidence de Bantam; toutefois, à la date de sa lettre, et malgré les recherches ordonnées par le Résident, M. Spaan, on n'avait pu trouver aucune de ces pierres; personne ne les avait vues tomber, par suite de l'heure à laquelle la chute s'était produite.

La météorite du 3 octobre 1883, que j'ai inscrite dans mon Catalogue sous le nom de *météorite de Ngawi*, est remarquable surtout par sa structure. Son aspect extérieur ne présente rien de particulier; tant le n°. 2 que le n°. 1 sont des fragments d'un corps plus grand, et la forme en coin du n°. 2 est sans

doute purement accidentelle et nullement attribuable à ce qu'il aurait été à un état de ramollissement en pénétrant dans le sol. Les deux fragments sont recouverts, comme presque toutes les météorites lithoïdes, d'une croûte terne brun-noirâtre, résultat d'un commencement de fusion des silicates, sous l'influence de l'énorme chaleur développée à la surface de la masse, durant sa course rapide, par la violente compression de l'air. Sur une des faces latérales on distingue des stries parallèles, dues au frottement que la météorite, probablement encore chaude à la surface, aura éprouvé, en s'enfonçant dans le sol, de la part des pierres qu'elle y rencontrait.

L'assertion de la jeune fille indigène, relativement à l'état brûlant du caillou calcaire roulé, me paraît devoir être regardée comme le produit d'une imagination terrifiée; il n'est guère admissible, en effet, que la météorite tombée en ce point ait cédé au caillou assez de chaleur pour l'échauffer fortement; ce caillou aura probablement été exposé longtemps aux rayons du soleil.

La météorite de Ngawi appartient au groupe des météorites très pauvres en fer nickelé métallique; celui-ci s'y montre seulement çà et là, sous forme de ponctuations à éclat métallique. Par contre, elle est très riche en fer sulfuré; non-seulement on y voit briller çà et là des cristaux de troïlite, mais le fer sulfuré est encore répandu d'une manière très caractéristique dans toute la masse. Il forme, en effet, l'enveloppe d'innombrables globules, très inégaux en volume et dont quelques-uns ont un diamètre de 2 à 3 mm.; la pierre entière n'est qu'une agglomération de pareils globules, comme le montre distinctement la section polie de l'échantillon n^o. 2, représentée, sous un grossissement de quatre fois, dans la fig. 1, pl. VI; la remarquable structure de la masse est nettement accusée par cette figure. Les bords noirs des globules consistent en fer sulfuré, et c'est à cet élément que la pierre doit une certaine solidité, car l'intérieur des globules est tellement friable, ou réduit en poudre fine, que la taille en lamelles minces propres à l'examen microscopique a été à peu près impraticable. M. le professeur Behrens, de Delft, qui a

acquis tant d'habileté sous ce rapport, n'est arrivé à obtenir qu'une préparation assez imparfaite, dont M. Wendel a fait une reproduction lithographique au grossissement de $\frac{1}{1}$ (fig. 2, pl. VI). Voici ce que M. Behrens m'a communiqué comme résultat de son examen microscopique :

„La base consiste en enstatite (et peut-être hypersthène), olivine et fer sulfuré noir; çà et là elle est pointillée de fer métallique, en petits grains parfois microscopiques et ordinairement entourés de fer sulfuré. L'olivine affecte généralement la forme de cristaux plus ou moins arrondis, limpides, contenant de rares inclusions ponctiformes de verre brun; l'enstatite, au contraire, se présente en agrégats sphéroïdaux de petits cristaux prismatiques fracturés, rarement de cristaux compactes et de secteurs flabelliformes finement fibreux. Les cristaux arrondis d'olivine et les agrégats sphéroïdaux d'enstatite sont enveloppés et agglutinés par le fer sulfuré, qui parfois pénètre aussi, sous forme de petits filaments déliés, entre les microlithes d'enstatite. Le fer sulfuré s'est manifestement solidifié le dernier, ce qui est d'accord avec son point de fusion peu élevé. La masse pierreuse est éminemment friable et donne l'impression d'un conglomérat dont les noyaux sont en partie brisés, tandis que le ciment, solidifié plus tard, présente plus de cohésion”.

Dans la fig. 2 (Pl. VI) *px* signifie: pyroxène (enstatite et peut-être hypersthène); *fs*: fer sulfuré; *ol.*: olivine.

La partie centrale de la figure est un vide, dont la matière s'est perdue pendant la taille.

Sans doute, cette texture sphéroïdale se rencontre dans beaucoup de météorites lithoïdes, désignées sous le nom de chondrites; néanmoins, parmi toutes les météorites, au nombre de près de 100, que je possède dans ma collection, et qui sont tombées à des époques et dans des régions très différentes, je n'en ai pas trouvé une seule dans laquelle ce caractère, d'être entièrement composée de globules cimentés par du fer sulfuré, soit aussi fortement prononcé que dans la météorite de Ngawi.

Qu'apprend maintenant l'analyse chimique de cette météorite ?

Quoique la très faible quantité de matière dont je disposais ne m'ait pas permis d'étendre les recherches autant que j'avais pu le faire jadis pour les météorites d'Utrecht, de l'Aigle, de Tjabé et de Knyahinya, mon étude a pourtant jeté le jour nécessaire sur la composition de ce remarquable aérolithe.

Je rappellerai ici un point sur lequel j'ai longuement insisté à l'occasion de l'examen de la météorite de Tjabé (*Archives néerlandaises*, t. VI, p. 305), à savoir, que l'analyse d'un petit fragment d'un agrégat de silicates, de fer sulfuré et de fer nickelé métallique ne peut donner qu'une idée très imparfaite de la composition de l'ensemble, et que, par conséquent, deux ou plusieurs analyses de la même pierre doivent toujours conduire à des résultats très différents; en effet, le rapport entre le fer nickelé métallique disséminé çà et là en masses plus ou moins grandes, le fer sulfuré qui ou bien pénètre la pierre sous forme de réseau ou bien y est condensé çà et là en cristaux d'un vif éclat, enfin, les silicates qui constituent la partie essentielle de la pierre, mais qui y sont répartis d'une manière très inégale, ce rapport, dis-je, varie considérablement d'un point à l'autre. En outre, nous ne possédons encore aucun moyen suffisant de séparer les silicates solubles dans les acides des bisilicates et trisilicates moins solubles; j'en ai déjà fait la remarque antérieurement, et la difficulté m'a apparu encore beaucoup plus clairement dans le cas actuel. Lorsque la matière, réduite en poudre excessivement fine, a été traitée à plusieurs reprises et pendant beaucoup d'heures par l'acide chlorhydrique, puis, pour enlever l'acide silicique devenu libre, par le carbonate potassique bouillant, et qu'ensuite on recommence l'attaque par l'acide chlorhydrique, il se dissout de nouveau une quantité assez notable de matière, et chaque fois, dans la partie dissoute, la proportion de l'acide silicique devient plus forte par rapport à celle des bases; ce mode de séparation n'a donc qu'une valeur relative.

Comme l'aimant n'extrayait de la pierre finement pulvérisée que 2,3% de substance, dont près de la moitié en outre était

de la poudre non magnétique adhérente et du fer sulfuré, j'ai déterminé la proportion de fer nickelé en chauffant la poudre d'abord dans un courant d'hydrogène sec, et la traitant ensuite avec du bichlorure de mercure, ainsi que je l'ai décrit en rendant compte de l'examen de la météorite de Tjabé.

Le reste de l'analyse a également eu lieu de la manière indiquée à cette occasion, et la plupart des dosages ont été effectués sur trois portions différentes de poudre, de sorte que le résultat suivant est la moyenne de trois analyses:

COMPOSITION MOYENNE DE LA MÉTÉORITE DE NGAWI.

Fer nickelé métallique	{ fer 2,87 nickel 0,65 cobalt <i>trace</i> }	3,52	Oxygène . .		
Fer sulfuré	5,71	5,71			
Silicate soluble dans l'acide chlorhydrique	{ acide silicique . . . 19,28 protox. de fer . . . 15,61 " " nickel . . . 1,57 " " manganèse <i>trace</i> alumine 0,23 magnésie 12,42 chaux 1,67 soude 1,17 potasse 0,22 }	52,17	10,28 3,47 0,34 0,11 4,97 0,48 0,29 0,04	10,28 9,70	
	Silicates inattaquables ou difficilementattaquables par l'acide chlorhydrique.	{ acide silicique . . . 23,49 protox. de fer . . . 8,45 alumine 0,55 magnésie 2,89 chaux 0,96 soude 1,56 potasse 0,23 }	38,13	12,53 1,88 0,26 1,16 0,27 0,40 0,04	12,53 4,01
	Fer chromé	0,47	0,47		
		100,00	100,00		

Le rapport de l'oxygène de l'acide silicique à celui des bases est, pour l'ensemble des silicates: 22,81: 13,71, ou environ 3: 2.

Il ressort de cette analyse:

1°. Que la météorite est très pauvre en fer nickelé métallique, et par contre très riche en fer sulfuré.

2°. Que le silicate le plus facilement dissous par l'acide chlorhydrique et le carbonate potassique est un monosilicate, l'*olivine*, qui contient un peu de nickel et dans lequel le rapport atomique entre le fer et le magnésium est environ de 2: 3.

3°. Que le silicate (ou les silicates) inattaquable ou difficilement attaquant par l'acide chlorhydrique n'est pas exclusivement un bisilicate (enstatite), mais un trisilicate ou un mélange de bisilicate et de trisilicate, peut-être avec de l'acide silicique libre; à cet égard, l'analyse ne peut rien décider. La même chose d'ailleurs a été trouvée par moi pour la météorite de Tjabé et par Wöhler pour celle de Mezö-Madaras (tombée, en 1852, en Transylvanie). Dans ces deux pierres, la proportion d'acide silicique de la partie inattaquable par l'acide était beaucoup trop élevée pour un bisilicate.

RECHERCHES
SUR LES
RELATIONS QUANTITATIVES
ENTRE
L'ABSORPTION DE LA LUMIÈRE ET L'ASSIMILATION
DANS LES CELLULES VÉGÉTALES,
PAR
Th. W. ENGELMANN.

I. Le photomètre microspectral, appareil pour
l'analyse microspectrale quantitative.

Les expériences que j'ai faites antérieurement, à l'aide de la méthode des bactéries, sur les cellules végétales vivantes vertes, vert bleuâtre, jaunes et rouges ¹⁾, ont montré que les rayons lumineux exercent, en général, une action assimilatrice d'autant plus énergique qu'ils sont absorbés en plus forte proportion par la chromophylle des cellules en question. Le rapport entre l'assimilation et l'absorption ne pouvait toutefois être soumis à une étude quantitative exacte, tant qu'on ne possédait pas le moyen de mesurer la valeur de l'absorption dans les objets d'une petitesse microscopique.

Les oculaires microspectraux connus jusqu'ici (Sorby-Browning, Zeiss-Abbe, etc.) permettent bien d'observer les spectres d'absorption d'objets microscopiques et de les comparer directement avec d'autres spectres, mais ils ne se prêtent pas à la mesure de la perte de lumière occasionnée par l'absorption. Tout au plus comportent-ils une estimation, dans laquelle toutefois, pour différentes raisons physiologiques sur lesquelles il est inutile d'insister ici, l'observateur, même le plus exercé et le plus attentif, reste toujours exposé à de grossières erreurs.

¹⁾ *Couleur et assimilation*, dans *Arch. néerl.*, t. XVIII (1883), p. 29.

Ce défaut, il y est remédié par le photomètre microspectral déjà annoncé à la fin du Mémoire ci-dessus cité, et qui depuis lors m'a été livré, d'une exécution parfaite, par M. C. Zeiss, de Jéna. Ce photomètre peut être adapté directement à tout corps de microscope de dimension moyenne ou grande.

Il se compose de deux parties séparées, l'une, inférieure, qui comprend le mécanisme de la fente, le prisme de comparaison et l'appareil d'éclairage latéral, l'autre, supérieure, le spectroscopie proprement dit.

Le mécanisme de la fente, dans la pièce inférieure, consiste essentiellement en deux moitiés de fente (s et s_1), dont chacune se meut, symétriquement à l'autre, au moyen d'une vis micrométrique. Le milieu de l'une des demi-fentes forme donc toujours le prolongement ininterrompu du milieu de l'autre. Sur le tambour de chacune des vis micrométriques la largeur de la fente se lit directement, en unités de $0^{\text{mm}},01$. Les millièmes de millimètre sont encore parfaitement appréciables.

A l'aide d'une loupe oculaire, l'image de l'objet microscopique coloré est projetée au milieu de la fente s (fente de l'objet), aussi exactement que possible à la limite de s_1 (la fente de comparaison). Pour la facilité du réglage précis et, en général, des petits déplacements uniformes de l'objet, celui-ci repose sur une table à laquelle un mouvement horizontal est imprimé par une vis. La table porte-objet dont je me sers est celle inscrite sous le N°. 51 dans le Catalogue de Zeiss N°. 26, 1883.

Sous la fente de comparaison peut être glissé un prisme à réflexion totale, lequel, à travers un petit tube vissé sur le côté, reçoit de la lumière d'un miroir mobile en tous sens, lumière provenant de la même source qui éclaire l'objet. Pour que l'éclaircissement de la fente de comparaison soit uniforme, indépendant de la position de l'œil, l'orifice intérieur du petit tube est muni d'une lentille collectrice, par laquelle une image virtuelle de l'orifice extérieur, auquel s'adaptent des diaphragmes etc., est formée dans le tube du microscope, à peu près au même point où se trouve l'ouverture de l'objectif par lequel la fente objective s reçoit sa lumière.

Lorsqu'on fait usage du prisme de comparaison, il faut examiner chaque fois, au moyen du spectroscope, si la lumière qui éclaire la fente objective, avant l'interposition de l'objet, et celle qui éclaire la fente de comparaison ont une composition exactement semblable. Comme cela n'est généralement pas le cas, même quand les deux lumières proviennent de la même source, les perturbations qui en résultent doivent être éliminées, ce qui peut avoir lieu d'une manière satisfaisante par deux méthodes fondées sur des principes différents, méthodes que je me dispenserai d'exposer ici.

Souvent on fait mieux de supprimer le prisme de comparaison, auquel cas la fente de comparaison est éclairée par la lumière qui, venant du miroir du microscope, a rasé l'objet. Il est alors encore plus facile d'éviter ou de corriger les différences de qualité et d'intensité entre l'éclairage de s et celui s_1 .

Après que l'objet a été convenablement installé dans la fente s , on enlève la loupe et on pose la partie supérieure de l'appareil, le spectroscope proprement dit, sur la partie inférieure, à laquelle elle est fixée, par un mécanisme simple, dans une situation toujours identique. Les ébranlements sont évités ici d'une manière beaucoup plus parfaite que dans les oculaires spectraux en usage jusqu'à ce jour.

La partie supérieure de l'appareil contient d'abord un tube collimateur avec lentille, par lequel la lumière venant des fentes est projetée sur un système de prismes, Celui-ci envoie les rayons dispersés dans un tube d'observation incliné de 60° sur l'axe optique du microscope, à la partie supérieure duquel tube ils sont réunis, au moyen d'une lentille faible, en deux spectres réels (S et S_1). On observe ces deux spectres à travers une loupe oculaire, où ils ont alors, projetés à 250 mm de l'œil, entre les raies a et G de Fraunhofer, une longueur de 180 mm, de sorte qu'ils apparaissent sous un angle visuel à peu près quatre fois plus grand que celui des spectres dans l'oculaire spectral de Zeiss-Abbe. L'intensité lumineuse est si grande que dans beaucoup de cas, même en se servant de la lumière du gaz, on peut avantageusement avoir recours aux plus fortes lentilles à immer-

sion dans l'huile. En ce qui concerne la netteté des spectres, il suffira de remarquer que dans le spectre de la lumière solaire qui a traversé deux plaques de verre dépoli, et avec une fente large de 25μ et même moins, D se montre très distinctement et très nettement double, la plus réfrangible des deux lignes étant d'ailleurs notablement plus foncée et plus large que l'autre, environ comme dans le spectre solaire figuré par M. G. Müller dans les Publications de l'observatoire astrophysique de Potsdam, t. II, n°. 6, pl. 33. Quand on emploie la lumière solaire directe ou peu affaiblie, le nombre des raies de Fraunhofer, qui peuvent être distinguées, ne le cède que très peu à celui des raies représentées sur cette planche.

Le champ visuel peut être restreint à volonté par deux paires de plaques, qui, au moyen de vis à mouvement très doux, se laissent déplacer perpendiculairement l'une à l'autre dans le plan focal de la loupe oculaire. L'une des paires permet d'isoler un groupe quelconque de longueurs d'onde de S et S_1 , pour l'observer séparément et comparer sa clarté dans les deux spectres; l'autre paire sert à exclure la lumière latérale superflue. Ce sont là deux conditions absolument nécessaires pour l'exactitude des mesures à effectuer avec notre instrument.

Les longueurs d'onde se lisent directement sur une échelle d'Angström, projetée de la manière connue dans le champ visuel. Des dispositions spéciales rendent facile de mettre l'échelle au point exact par rapport au spectre et de la faire passer rapidement de l'état d'éclairement à celui d'obscurcissement, ou vice-versa.

La détermination de l'absorption lumineuse se fait, comme dans beaucoup d'autres spectrophotomètres, en rendant égale la clarté des deux spectres, aux points qu'on veut comparer; dans notre appareil, on obtient cette égalité en changeant convenablement, au moyen de la vis micrométrique correspondante, la largeur de la fente de comparaison s_1 . Lorsque la fente est éclairée uniformément, condition facile à remplir, on peut admettre, sans erreur appréciable, que les intensités lumineuses sont proportionnelles aux largeurs des fentes; des largeurs notées

on déduit donc aisément l'intensité relative $\frac{J_1}{J}$ de la lumière transmise et par suite la quantité relative de la lumière absorbée, c'est-à-dire le coefficient d'absorption $n = \frac{J - J_1}{J}$, en supposant que la perte de lumière, $J - J_1$, ne dépende que de l'absorption.

Cette dernière hypothèse, bien entendu, n'est pas rigoureusement exacte. Une partie de la lumière que le miroir projette sur l'objet est réfléchié; dans le cas actuel, celui de cellules végétales, la réflexion a lieu à la séparation de l'eau et de la membrane cellulaire, à celle de la paroi cellulaire et du protoplasma, etc. La grandeur de cette perte est différente en des points différents de la même cellule; aux bords, par exemple, elle est en général un maximum; dans chaque cas elle dépend de la forme, des dimensions, de la situation, de la structure, etc. Les difficultés qui résultent de là paraissent toutefois plus sérieuses qu'elles ne le sont en réalité. D'un côté, en effet, la perte dont il s'agit est souvent susceptible de mesure directe (on déterminera par exemple, chez la même cellule, la perte totale de lumière $J - J_1$, en des parties les unes chargées les autres dépourvues de chromophylle, mais du reste entièrement semblables, — ce qui est notamment d'une exécution très facile chez *Callithamnion*, *Spirogyra*, *Zygnema cruciatum*, *Mesocarpus*, *Sphaeroplea annularia*); d'un autre côté, par le choix heureux et la multiplication suffisante des objets et des points soumis à l'épreuve, il est possible d'éviter ou de supprimer la difficulté. Une circonstance qui est aussi à noter sous ce rapport, c'est que la perte occasionnée par la réflexion pèse généralement au même degré sur tous les genres de rayons. D'après l'ensemble de mes observations, je ne puis taxer cette perte, en moyenne, qu'à quelques centièmes de la valeur de J , de sorte qu'il ne peut en provenir aucune altération considérable des résultats.

Des difficultés d'une autre nature naissent, pour la détermination de n , tantôt des déplacements des cellules, spontanés ou provoqués par la lumière (Naviculacées, Oscillarinées), tantôt des mouvements (surtout photocinétiques) des corps chromophyl-

liens à l'intérieur des cellules. Dans le premier cas, il faut beaucoup de patience et souvent de longs tâtonnements pour le choix des objets; dans le second, on doit, avant de commencer les mesures, exposer la cellule pendant quelque temps à la même lumière où elle se trouvera lors de la détermination de n , afin que les corps chromophylliens aient le temps de prendre la situation et la forme qui correspondent à ce degré d'éclairement. Pour remplir cette condition, une source lumineuse constante est indispensable. Comme il importe peu, pour la mesure de n , de quelle nature est la source lumineuse, pourvu qu'elle fournisse un spectre continu d'une étendue et d'une clarté suffisantes, je me suis toujours servi du grand brûleur rond et double de Sugg, de Westminster (N^o. NN = 50 bougies norm.), dont la lumière était au besoin concentrée par une grande lentille. La flamme du gaz était maintenue à une hauteur parfaitement constante, à l'aide d'un régulateur de pression d'Elster, de Berlin.

Toutes les observations avaient lieu dans une chambre assez fortement obscurcie. La lampe, susceptible de déplacement dans la ligne verticale, était entourée d'un cylindre de tôle noirci, pourvu supérieurement d'une cheminée et latéralement d'ouvertures qu'on pouvait masquer ou démasquer à volonté; le microscope était placé dans ma cage obscure, à laquelle, pour la circonstance, avaient encore été apportées quelques dispositions auxiliaires.

Dans ces conditions et, bien entendu, en observant les diverses règles qui s'appliquent aux expériences microspectrales et aux déterminations spectrophotométriques en général (règles au sujet desquelles M. Vierordt, dans des écrits bien connus, a déjà dit tout l'essentiel), trois mesures étaient ordinairement suffisantes, dans chaque cas, pour fournir une moyenne assez exacte. Dans le rouge extrême au-delà de a et dans le violet à partir de G environ, il n'était plus guère possible d'effectuer des mesures précises, les spectres ayant dans ces régions une intensité lumineuse trop faible.

Pour faire juger du degré d'exactitude qui peut être atteint, je communique ci-dessous les chiffres obtenus dans une de mes

expériences. Ces chiffres donnent, en centièmes de millimètre, les largeurs absolues (w_1) de la fente s_1 pour lesquelles, aux points spectraux indiqués en tête des colonnes, la clarté était la même dans les deux spectres S et S_1 .

23 septembre 1883. *Bulbochaete*. Observé avec l'objectif C de Zeiss. Prisme de comparaison. — Largeur n de la fente objective s : 0,15 mm.

$$\lambda \left(\text{en } \frac{\mu}{1000} \right) = 680 \quad 622 \quad 589 \quad 558 \quad 522 \quad 506 \quad 486 \quad 431$$

	$B\frac{1}{4}C$	$C\frac{1}{2}D$	D	$D\frac{1}{2}E$	$E\frac{1}{2}b$	$E\frac{1}{2}F$	F	G
$w_1 =$	3,2	7,3	10,0	14,2	12,8	8,1	3,9	2,4
	4,0	8,0	10,4	13,6	12,3	8,3	3,4	2,2
	3,2	8,1	10,2	13,0	11,9	7,5	4,0	2,6

Moyenne 3,47 7,8 10,2 13,6 12,3 8,0 3,8 2,4

Après que la cellule eut été retirée de la fente objective, la valeur de w_1 pour laquelle l'intensité lumineuse était partout la même aux deux côtés, (w_1^0), s'élevait, comme moyenne de six expériences, à 31,4.

Les écarts de ces chiffres, par rapport à la moyenne, ne dépassent pas ceux qu'on trouve lorsque, au lieu de corps chromophylliens vivants, on prend des matières colorantes inaltérables, soit en solution, soit sous la forme solide. C'est ce que montrent les deux exemples suivants:

Bichromate de potasse en solution aqueuse à 1%, formant une couche épaisse de 1 cm dans un récipient de verre à faces planes et parallèles. $w = 0,20$ mm. Prisme de comparaison.

$$\lambda = 670 \quad 589 \quad 558 \quad 540 \quad 522 \quad 486 \quad 431$$

	$B\frac{1}{2}C$	D	$D\frac{1}{2}E$	$D\frac{3}{4}E$	$E\frac{1}{2}b$	F	G
$w_1 =$	18,8	16,6	15,2	11,2	5,0	0	0
	18,0	17,6	15,0	10,2	4,9	0	0
	18,5	18,5	15,6	9,4	4,9	0	0

Moyenne 18,4 17,6 15,3 10,3 4,9 0 0

$$w_1^0 \text{ (le récipient rempli d'eau distillée) } = 18,7$$

(moyenne de onze observations).

Lamelle hexagonale de *fer oligiste* (Fe_2O_3), incluse dans l'oligo-clase de Tvedestrand en Norwège. $S = 20$. Pas de prisme de comparaison.

$\lambda =$	700	650	600	550	500	450
$w_1 =$	18,0	18,6	16,4	13,9	12,8	8,3
	18,6	19,0	16,0	13,7	12,2	9,8
Moyenne	18,3	18,8	16,2	13,8	12,5	9,0
	$w_1^0 = 20$ (moyenne de quatre mesures).					

Ces expériences constituent, en outre, des preuves en faveur de l'applicabilité générale de ma méthode. Dans tous les domaines de l'étude microscopique, tant ceux du monde organisé que ceux du règne inorganique, elle pourra être mise à profit, comme il est sans doute inutile de le montrer en détail. Ici, je dois me borner à faire connaître les résultats obtenus au sujet de l'absorption de la lumière dans les cellules végétales vivantes, et même je n'ai à les mentionner qu'en tant qu'ils touchent la question indiquée au début de ce Mémoire.

II. Bases expérimentales pour la détermination des rapports quantitatifs entre l'énergie assimilatrice et la grandeur de l'absorption.

La détermination de ces rapports exigeait, en premier lieu, que la valeur de n fût mesurée, chez le plus grand nombre possible de cellules diversement colorées, en un nombre suffisant de points du spectre, et cela aux mêmes points et chez les mêmes espèces de cellules pour lesquels avait été déterminée aussi la valeur de A , par la méthode des bactéries.

A première vue, il pourrait paraître plus simple et plus court de mesurer A et n chez des individus cellulaires en nombre moindre, mais toujours chez les mêmes. En réalité, toutefois, cette voie offre plus de difficultés, pour les raisons suivantes. Pour la détermination exacte de A par la méthode de l'observation successive ¹⁾, il faut en général utiliser une partie beau-

¹⁾ Ueber Sauerstoffausscheidung von Pflanzenzellen im Mikrospectrum, dans *Bot. Zt.*, 1882, N^o. 26.

coup plus grande du contenu coloré de la cellule (sinon la cellule entière, ou même plusieurs cellules, comme chez les Oscillarinées) que pour la détermination exacte de n . Dans le premier cas, on obtient les valeurs moyennes du dégagement d'O de toutes les particules chromatophores frappées par la lumière; dans le second, seulement les valeurs moyennes de n pour un nombre relativement restreint de ces particules. Or ces dernières valeurs doivent, pour des raisons données dans la section I, être trouvées très différentes, suivant le point de la cellule qu'on a placé dans la fente objective. Pour neutraliser les erreurs qui en résultent, on serait donc en général obligé de déterminer les valeurs de n , chez une seule et même cellule, en des points très divers. Or cela a ses difficultés, parce que, dans le temps très long que ces mesures demandent, et sous l'influence d'un éclairage continu très énergique et d'autres conditions plus ou moins anormales, les cellules peuvent aisément subir des modifications profondes: accumulation d'amidon, changements de la couleur et de la transparence par suite de dépérissement, etc. En outre, l'observateur, astreint pendant plusieurs heures, sans interruption, à des comparaisons photométriques, est fortement exposé à se fatiguer trop tôt.

Aussi, bien que j'aie exécuté une série de déterminations parallèles de A et n sur la même cellule (entre autres chez *Mesocarpus*, *Bulbochaete*, *Vaucheria*, *Closterium*, *Euglena*) et que les résultats aient été en somme assez satisfaisants, j'ai préféré, en règle générale, mesurer A et n indépendamment l'un de l'autre, mais chez des individus aussi nombreux que possible, et en même temps aussi semblables que possible, des mêmes espèces. En multipliant suffisamment les objets et les mesures particulières, je devais obtenir des valeurs moyennes comparables.

En ce qui concerne A , je disposais déjà d'un assez grand nombre de mesures antérieures ¹⁾, auxquelles, depuis lors, sont venues s'en ajouter beaucoup d'autres. Malheureusement,

1) *Couleur et assimilation*, dans *Archiv. néerl.*, t. XVIII, p. 29.

un ciel parfaitement serein étant très rare en Hollande, la plupart des déterminations de A ont dû être exécutées, maintenant aussi, à la lumière du gaz; pour les cellules rouges (*Callithamnion*, etc.), les mesures directes à la lumière solaire me font même encore complètement défaut. Néanmoins, les expériences faites avec l'une et l'autre espèce de lumière me paraissent suffisamment nombreuses pour fournir une base solide.

Les valeurs de n ont été mesurées, dans le courant de l'été et de l'automne derniers, chez *Cladophora*, *Bulbochaete*, *Oedogonium*, *Spirogyra*, *Mesocarpus*, *Vaucheria*, *Closterium*, *Euglena* — *Melosira*, *Navicula*, *Pinnularia*, *Gomphonema* — *Callithamnion* et *Ceramium* — *Oscillaria*.

Le choix des points du spectre aurait, en partie, pu être meilleur. On aurait surtout dû éviter, pour la détermination de A , les points où n varie très rapidement avec la longueur d'onde. Mais, pour cela, il eût fallu connaître déjà exactement n , ce qui n'était pas le cas.

Dans ce qui suit, j'ai réduit toutes les valeurs de A au spectre normal de la lumière solaire. Cela était rendu possible par la circonstance que le rapport γ , entre l'énergie assimilatrice relative de la lumière solaire (A^s) et celle de la flamme du brûleur de Sugg employé dans toutes mes expériences au gaz (A^g), se laissait calculer à l'aide des résultats fournis par la méthode des bactéries ¹⁾. J'ai trouvé pour $\gamma = \frac{A^g}{A^s}$, comme moyennes de toutes les expériences exécutées jusqu'en novembre 1883, les valeurs suivantes (γ en $B\frac{1}{2}C$ ²⁾, c.-à-d. $\lambda = 680$, étant pris pour unité):

pour $\lambda =$	718	680	622	589	522	468	431
	(a)	$(B\frac{1}{2}C)$	$(C\frac{1}{2}D)$	(D)	(Eb)	(E)	(G)
$\gamma =$ env.	1,400	1,000	0,784	0,651	0,411	0,254	0,125

¹⁾ *Ibid.*, p.37.

²⁾ Dans mes publications antérieures, j'ai ordinairement noté pour ce point $B\frac{1}{2}C$. Cela n'est toutefois pas complètement exact, en ce sens que j'avais toujours en vue le milieu de la bande d'absorption I chez des cellules vivantes, milieu qui correspond environ à $\lambda = 680$, donc, approximativement, à $B\frac{1}{2}C$.

(La valeur en $E\frac{1}{2}b$ est probablement trop forte de 2—3 pour cent.)

Les tableaux I—IV, auxquels correspondent les représentations graphiques des fig. 1—4 de la Pl. VII, contiennent les valeurs moyennes calculées pour A et n , d'après toutes les expériences que j'ai exécutées sur des cellules vertes, brunes, vert-bleuâtre et rouges, sans corrections d'aucune espèce. J'ai seulement, dans le tableau I et dans la figure 1 correspondante, exclu les expériences relatives au *Mesocarpus*, parce que, chez ces cellules, la plaque chlorophyllienne était, presque sans exception, tellement recouverte des globules fortement réfringents bien connus, et la lumière était par suite tellement affaiblie par la réflexion, qu'une détermination exacte de n paraissait à peu près impossible ¹⁾. (Voir les Tableaux I—IV p. 197.)

Dans les fig. 1—4, construites d'après les tableaux ci-dessus, les valeurs de A sont reliées entre elles par des traits forts, les valeurs de n par des traits plus déliés. Naturellement, les ordonnées ne représentent pas partout les valeurs vraies de A et n , mais seulement aux points où des mesures ont eu lieu. En réalité, la forme des courbes est encore plus compliquée, de petits relèvements et abaissements se surajoutant aux lignes droites du tracé des figures. Mais, pour le but que nous nous proposons, il n'est évidemment pas nécessaire de connaître exactement, dans tous ses détails, l'allure des courbes. Il suffit de mesurer A et n en un nombre modéré de points autant que possible caractéristiques du spectre, pour avoir un point de départ assuré pour la détermination des rapports quantitatifs entre ces deux grandeurs. Aussi, parmi les conséquences variées qui ressortent de nos tableaux et de nos figures, je signalerai seulement celles qui ont de l'importance pour cet objet essentiel de notre étude.

Nous y voyons donc tout d'abord, comme il était à prévoir, que pour la chromophylle verte, brune, vert-bleuâtre et rouge n est chaque fois une fonction différente de la longueur d'onde. Mais, en y regardant de plus près, on constate en même temps

1) En F toutes les cellules de *Mesocarpus* donnèrent pour A des valeurs très élevées, ordinairement plus élevées qu'en $B\frac{1}{2}C$.

TABLEAU I. CELLULES VERTES.

λ	A^S	Nombre des		n	Nombre des	
		Objets	Mesures		Objets	Mesures
718	12,2	30	84	23,7	28	99
680	100,0	92	256	81,2	32	122
622	80,8	26	57	52,6	19	69
589	60,5	58	183	47,5	28	94
558	47,4	24	62	40,2	25	77
522	39,3	62	160	51,0	28	91
506	59,7	15	28	63,2	13	38
486	66,1	51	106	83,4	32	117
468	59,3	14	23	86,3	16	56
431	45,9	9	13	90,7	22	59

TABLEAU II. CELLULES BRUN-JAUNÂTRE.

718	12,3	19	60	15,8	17	49
680	100,0	89	380	63,1	18	51
622	81,5	28	106	31,0	15	41
589	73,0	60	224	30,6	18	46
558	92,5	30	141	40,4	17	46
522	94,9	43	132	55,3	18	47
486	79,3	42	142	67,4	17	41
468	69,8	3	15	67,0	9	26
431	57,0	5	15	81,5	10	30

TABLEAU III. CELLULES VERT-BLEUÂTRE.

718	12,0	6	17	25,0	3	12
680	80,7	30	142	52,3	5	19
622	100,0	11	37	55,9	5	18
589	92,3	26	131	51,1	4	13
558	52,4	8	21	41,3	4	13
522	46,9	20	73	40,0	4	13
486	37,4	12	26	49,4	4	12
431	—	—	—	59,8	4	12

TABLEAU IV. CELLULES ROUGES.

718	2,3	3	10	12,7	5	15
680	23,9	23	93	48,1	5	18
622	29,1	10	36	—	—	—
589	58,2	14	50	44,6	5	17
572	100,0	15	61	73,0	5	19
522	68,9	11	35	68,1	5	17
486	42,8	11	36	64,2	5	15
431	18,2	4	6	81,5	4	10

une concordance très remarquable entre les quatre cas, à savoir, quant aux points suivants :

Le minimum absolu de l'absorption se trouve dans le rouge extrême ¹⁾.

Entre B et E , tout au plus F , il y a un ou plusieurs maxima et minima.

Au-delà, n croît d'une manière continue, pour atteindre dans la partie la plus réfrangible du spectre ses valeurs absolues les plus élevées.

Comparé à A , n varie toujours, depuis le rouge extrême jusque dans le vert, dans le même sens que A .

Dans la partie plus réfrangible, les valeurs de A s'abaissent, en dépit de l'augmentation continue de l'absorption.

Il existe donc entre A et n , non pas, il est vrai, une proportionnalité directe, mais pourtant une relation manifestement assez simple et constante. Je pensai que la forme de cette relation se laisserait peut-être découvrir si l'on tenait compte de l'inégalité que présente, d'après toutes les recherches faites jusqu'ici, la distribution de l'énergie actuelle dans le spectre. Il est évident, en effet, que A doit dépendre de l'énergie relative de la lumière au point correspondant du spectre, et doit même, dans certaines limites et conditions, être proportionnel à cette énergie. La disproportionnalité la plus frappante entre A et n , l'abaissement de A au côté de l'extrémité violette, en dépit de l'accroissement notable de n , semblait pouvoir s'expliquer par l'abaissement assez rapide que subit ici, d'après tout ce qu'on sait, l'énergie de la lumière solaire. Un examen plus approfondi,

¹⁾ Il est à présumer, d'après cela, que les rayons calorifiques invisibles situés au-delà de l'extrémité rouge sont transmis presque sans affaiblissement par toutes les chromophylles, point qui doit avoir de l'importance pour l'économie calorifique des plantes, mais sur lequel nous ne pouvons nous arrêter ici. Le problème est des plus complexes, contrairement à ce qui semblerait résulter de la plupart des travaux qu'on possède jusqu'ici sur ce sujet.

dont le principe avait déjà été indiqué à la fin de mon Mémoire antérieur ¹⁾, a conduit à la solution suivante de la question, et cela en faisant découvrir une nouvelle méthode pour déterminer la distribution de l'énergie dans le spectre.

III. Détermination de la distribution de l'énergie dans le spectre, au moyen de la méthode des bactéries et de l'analyse microspectrale quantitative.

L'énergie absolue, nécessaire pour dégager une quantité d'oxygène telle que la réaction bactérienne caractéristique se produise, est, dans toute série d'expériences convenablement exécutée, une constante (*c*) indépendante de la longueur d'onde. La preuve en est fournie par le fait que, pendant la durée d'une pareille série expérimentale, la largeur de fente exigée pour la réaction reste constante pour tout point quelconque du spectre ²⁾. Cette largeur de fente étant désignée par *a*, on a donc

$$c = a E \dots \dots \dots (1)$$

où *E* représente, dans chaque cas, l'énergie actuelle de la lumière au point du spectre qui correspond à *a*.

Si l'on suppose maintenant que, dans mes expériences microspectrales par la méthode des bactéries, la portion absorbée *n* de l'énergie *E'* de la lumière tombant sur la cellule a été dépensée exclusivement ³⁾ au travail assimilateur, *n E'* est également pour chaque série d'expériences une constante indépendante de la longueur d'onde:

$$c' = n E' \dots \dots \dots (2)$$

¹⁾ *Couleur et assimilation*, l. c.

²⁾ Voir, entre autres, l'exemple (*Melosira*) communiqué dans *Couleur et assimilation*, p. 39, note II.

³⁾ — ou pour une fraction constante. Cette dernière hypothèse est toutefois extrêmement improbable, à raison des nombreuses différences que les chromophylles assimilatrices diversement colorées présentent dans leur manière de se comporter vis-à-vis de lumières à vibrations inégalement rapides

En multipliant (1) et (2), on obtient

$$E E' = \frac{c c'}{a n},$$

équation qui peut être remplacée, — puisqu'il ne s'agit que de valeurs relatives, non de valeurs absolues, — par

$$E^2 = \frac{1}{a n}.$$

Mais, d'après la définition donnée antérieurement 1), on a $\frac{1}{a} = A$, d'où il suit

$$E = \frac{\sqrt{A}}{n} \dots \dots \dots (3)$$

A l'aide de cette formule on peut calculer E en fonction de λ . Si l'on trouve alors que les valeurs de A et n données par les chromophylles à coloration différente conduisent toutes à la même forme de fonction, il en résultera, puisque les valeurs de chaque couple de séries d'expériences sont entièrement indépendantes de celles obtenues pour les autres chromophylles, une preuve tout à fait objective de l'exactitude de la relation trouvée $E = f(\lambda)$ et par conséquent aussi de l'exactitude de l'hypothèse faite ci-dessus, concernant le rapport entre l'absorption, l'action assimilatrice et l'énergie de la lumière.

Ce calcul, exécuté sur les valeurs moyennes de A et de n consignées dans les tableaux I—IV, donne les valeurs suivantes pour l'énergie relative de la lumière solaire:

TABLEAU V.

E, moyenne des expériences en $\lambda =$	a	$B\frac{1}{2}C$	$C\frac{1}{2}D$	D	$E\frac{1}{2}b$	F	G
sur les cellules vertes =	718	680	622	589	522	468	431
" " " brunes =	57,8	89,5	100	91,9	70,8	71,8	57,4
" " " vert-bleuâtre =	54,4	77,8	100	95,3	80,4	66,9	41,0
" " " vert-bleuâtre =	51,6	92,4	99,5	100	82,7	64,7	67,1

1) Ueber Sauerstoffausscheidung von Pflanzenzellen im Mikrospectrum, *Botan. Zeitung*, 1882, N^o. 26.

En jetant un coup d'œil sur la construction graphique de ce tableau, fig. 5, on voit qu'effectivement les expériences faites sur les cellules vertes, brunes et bleues conduisent toutes à peu près à la même courbe pour la distribution de l'énergie dans le spectre solaire. Les expériences encore peu nombreuses et sous maint rapport imparfaites sur les cellules rouges donnent aussi, en gros, la même courbe; ici également, l'énergie atteint son maximum tout près de D et, à partir de ce point, décroît d'une manière continue vers les deux côtés, d'abord lentement, puis avec plus de rapidité.

On constatera avec satisfaction que cette marche est essentiellement la même que celle qui résulte des expériences exécutées avec la pile thermo-électrique par M. Lamansky sous la direction de M. Helmholtz, et aussi des mesures bolométriques, plus récentes et, à ce qu'il paraît, non moins dignes de confiance, de M. Langley.

Une concordance parfaite ne pouvait évidemment pas être attendue. Néanmoins, les écarts entre les valeurs trouvées par notre méthode physiologique et celles obtenues par des voies purement physiques ne sont guère plus grands que les différences existant entre ces dernières valeurs elles-mêmes.

Le seul écart un peu prononcé se montre dans le rouge extrême, où la méthode des bactéries donne pour E des valeurs notablement moindres. Mais ici, à cause de la faible intensité lumineuse et du rapide accroissement de A et de n entre les raies de Fraunhofer a et B , la mesure exacte de A et de n est si difficile que l'accord relativement très grand des trois nombres inscrits sous a dans le tableau V me paraît, vu le nombre assez restreint des déterminations sur lesquelles ils reposent, devoir être regardé comme un effet du hasard. Au reste, ces valeurs en a se relèvent un peu lorsqu'on tient compte de la perte que la lumière subit au contact de la cellule, par la réflexion, etc.

Pour faciliter la comparaison des valeurs trouvées par les différentes voies, je les réunis dans le tableau VI (et, en partie, graphiquement dans la fig. 6).

L_m désigne les valeurs obtenues par M. Lamansky ¹⁾ dans le spectre solaire d'un prisme de flint, après réduction, par M. Lundquist ²⁾, au spectre solaire normal.

L_n indique les valeurs déterminées par M. Langley, à l'aide de la „balance actinique”, dans le spectre de diffraction du soleil; les valeurs L_n I (fig. 6 L_n) sont empruntées au tableau inséré, en 1881, dans les *Ann. de chimie et de physique* (5) XXV, p. 215; les valeurs L_n II sont déduites de la courbe HH, que l'auteur a donnée dans son appendice à l'ouvrage de C. A. Young, *The sun*, London, 1882, p. 307, fig. 82.

En I donne les moyennes des valeurs déduites de mes expériences sur les cellules vertes, brunes et vert-bleuâtre, valeurs résumées en majeure partie dans le tableau V (et dans la fig. 5).

En II (Fig. 6, En) donne les moyennes de toutes les déterminations de A et n que j'ai faites jusqu'ici (commencement de novembre 1883), y compris, par conséquent, les mesures chez les cellules rouges et chez *Mesocarpus*.

TABLEAU VI.

Distribution de l'énergie dans le spectre normal de la lumière solaire.

$\lambda =$	680	622	600	589	593	558	522	486	431	
L_m	88,0	99,0	100,0	99,5	98	96,5	90,0	77,0	66,0	
L_n {	I	89,5	96,5	98,0	99,5	100,0	96,0	89,0	78,0	48,0
	II	86,0	98,5	100,0	99,0	98,5	97,5	92,0	73,0	47,5
En {	I	86,5	100,0	97,5	96,0	93,0	90,5	78,0	68,0	55,5
	II	83,0	97,5	99,5	100,0	97,5	95,0	84,0	75,0	54,0

Tout comme pour le spectre solaire, la distribution de l'énergie se laissa calculer aussi pour le spectre de la flamme du brûleur de Sugg employé dans mes expériences. Les résultats de ce calcul s'accordaient de nouveau très bien avec ceux obtenus par les voies purement physiques, bien que, — déjà à raison de la différence notable des spectres de la flamme du gaz étudiés par

1) S. Lamansky, *Untersuchungen über das Wärmespectrum des Sonnen- und Kalklichtes*, dans *Pogg. Ann.*, CXLVI, 1872, Pl. V, fig. 2.

2) G. Lundquist, *Ueber die Wärmevertheilung im Normalspectrum*, dans *Pogg. Ann.* CLV, 1875, p. 153.

les différents observateurs — l'accord fût un peu moindre que pour la lumière solaire.

Au reste, je suis loin de recommander ma méthode comme un moyen commode pour déterminer la distribution de l'énergie dans les spectres. Par suite de la complexité plus grande des conditions, d'où résulte nécessairement une plus grande variété de sources d'erreurs, et surtout à cause de la technique spéciale de l'investigation bactérienne, laquelle suppose une certaine habitude de l'expérimentation microbiologique, cette méthode doit céder le pas aux méthodes physiques usitées pour le même objet.

Même le grand avantage qu'en principe elle possède sur celles ci, à savoir, de fournir par l'accord des résultats obtenus sur des cellules de couleurs différentes une preuve tout à fait objective de son exactitude, cet avantage ne doit pas être regardé comme lui étant exclusivement propre. On aura déjà remarqué, en effet, qu'elle ne constitue qu'un cas particulier d'une méthode générale (d'ailleurs mentionnée nulle part, à ma connaissance) qui, pour atteindre son but, peut se passer de l'intervention des bactéries. Les objets diversement colorés sur lesquels sont exécutées les mesures nécessaires pour la détermination de E

d'après l'équation $E = \sqrt{\frac{A}{n}}$, n'ont nullement besoin d'être des cellules vivantes, ni même des corps organiques. Il suffit qu'ils soient de couleur aussi variée que possible, qu'ils se prêtent à la détermination de la valeur de l'absorption, et que, sous l'influence de la lumière, ils subissent un changement mesurable (échauffement, etc.) proportionnel à la quantité de l'énergie absorbée. Ces conditions peuvent être remplies de bien des manières différentes, et ce serait une œuvre utile que de chercher laquelle de ces manières est la plus sûre et la plus commode.

IV. Résultats concernant les relations quantitatives entre l'absorption de la lumière et l'assimilation.

L'accord qui vient d'être constaté entre les résultats obtenus

au sujet de la distribution de l'énergie dans le spectre prouve l'exactitude de l'équation $E = \sqrt{\frac{A}{n}}$, que nous avons établie pour le calcul de cette distribution; par suite, il confirme aussi, en général, l'hypothèse sur laquelle cette équation repose, à savoir que, dans l'emploi de la méthode des bactéries, l'énergie de la lumière absorbée ne sert, tout entière, qu'à l'accomplissement du travail assimilateur.

La relation quantitative cherchée entre l'absorption et l'assimilation, c'est-à-dire, le rapport de la quantité d'énergie lumineuse disparue comme tellé (E_{abs}) à l'énergie chimique potentielle produite (E_{ass}), est donc, dans ces conditions, pour toutes les longueurs d'onde et pour toutes les chromophylles, le même et, en outre, le plus simple possible, savoir

$$E_{\text{abs}} = E_{\text{ass}}.$$

La longueur d'onde et les propriétés optiques des particules plasmatiques assimilatrices n'ont d'importance qu'en ce sens, qu'elles contribuent pour une part essentielle à déterminer la grandeur de l'absorption ¹⁾. C'est là, toutefois, une question conduisant à un domaine encore inexploité et obscur, et sur laquelle je n'insiste donc pas.

Notre équation, expression générale de la relation quantitative la plus fondamentale entre la lumière et l'assimilation du carbone, mériterait, à plusieurs titres, un examen approfondi. Mais, sous ce rapport aussi, je dois me borner à de simples indications.

D'abord, pour prévenir tout malentendu, disons encore une fois, expressément, que l'équation $E_{\text{abs}} = E_{\text{ass}}$ ne peut trouver une confirmation pratique que dans des conditions expérimentales bien déterminées, et que, même alors, elle ne se vérifie pas d'une

1) J'appelle l'attention sur ce point, parce que M. J. Reinke (*Berichte d. d. bot. Ges.*, I, p. 414) veut faire dépendre la quantité du travail assimilateur, non-seulement de l'absorption et de l'énergie des rayons lumineux, mais aussi directement du nombre des vibrations (ou de la longueur d'onde) de ces rayons.

manière absolue (pas plus qu'aucune autre des lois naturelles), mais seulement d'une manière approchée; il est vrai que, au témoignage de nos expériences, cette approximation peut ne pas différer beaucoup de l'accord absolu.

Les conditions en question sont surtout les suivantes. L'absorption de lumière ne doit se produire que dans les particules chromophyllifères assimilatrices. Les objets doivent se trouver dans un liquide approprié, dont la température ne s'éloigne pas trop de celle à laquelle a lieu ordinairement la végétation des cellules. Toutes les particules de chromophylle, aptes à l'assimilation et exposées à la lumière, doivent disposer constamment de quantités suffisantes de CO_2 , c'est-à-dire, de quantités au moins aussi grandes que celles qu'elles peuvent décomposer dans les circonstances données. L'éclairage, enfin, ne doit être ni assez intense pour que les limites du pouvoir assimilateur des corps chromophylliens soient dépassées, ni assez faible pour qu'il n'émerge plus une portion notable de la lumière incidente de chaque longueur d'onde.

Toutes ces conditions sont suffisamment remplies dans la méthode des bactéries. Moins elles sont satisfaites, plus le rapport entre la grandeur de l'absorption et celle de l'assimilation change et en même temps se complique, à tel point que bientôt la question d'une relation quantitative générale — c'est-à-dire applicable à tous les cas — entre la lumière, l'absorption et l'assimilation, n'a plus aucun sens.

Or tel est, plus ou moins, le défaut de toutes les recherches faites jusqu'à ce jour (sur des objets macroscopiques). Leurs résultats ne valent chaque fois que pour les conditions spéciales et compliquées dans lesquelles ils ont été obtenus. Ils ont besoin d'être expliqués eux-mêmes au moyen de ces conditions et des relations élémentaires exprimées dans nos équations. Cela n'empêche pas, bien entendu, que ce qui leur manque en valeur théorique, ils peuvent le regagner en importance pratique immédiate.

Il est au plus haut degré remarquable que, d'après l'équation $E_{\text{abs}} = E_{\text{ass}}$, l'utilisation de la lumière au profit de la fonction

la plus importante — la néogénèse de substance organique — est, dans tous les cas, la plus parfaite qui soit possible dans les circonstances données. A priori, cela n'était nullement forcé. Une partie de l'énergie absorbée par la chromophylle vivante pouvait, en effet, être changée en d'autres formes de travail, par exemple en chaleur, comme on le voit dans les solutions de chlorophylle morte, etc.

Il y a là manifestement une adaptation des plus avantageuses, en premier lieu pour la plante et indirectement pour toute la nature vivante, — circonstance qui, en tout état de cause, ne peut que plaider en faveur de l'exactitude de notre loi.

Dans celle-ci, finalement, la loi de la conservation de l'énergie trouve aussi une confirmation, dont sans doute elle n'a plus besoin aujourd'hui, comme c'était encore le cas il y a trente ans ¹⁾, mais qui n'en sera pas moins la bienvenue, car il s'agit d'un des points les plus merveilleux de la trame des phénomènes terrestres, celui où l'organique naît de l'inorganique.

Pour l'exposition et la démonstration plus complètes des faits et des vues consignés dans le présent Mémoire, ainsi que dans mes communications antérieures sur la méthode des bactéries et l'assimilation ²⁾, je dois renvoyer à un travail d'ensemble, qui sera publié plus tard.

¹⁾ Voir Helmholtz, *Ueber die Erhaltung der Kraft*, Berlin, 1847, p. 69 (ou *Wiss. Abhandlungen*, p. 66). *Ueber die Wechselwirkung der Naturkräfte u. s. w.*, Königsberg, 1854, p. 37.

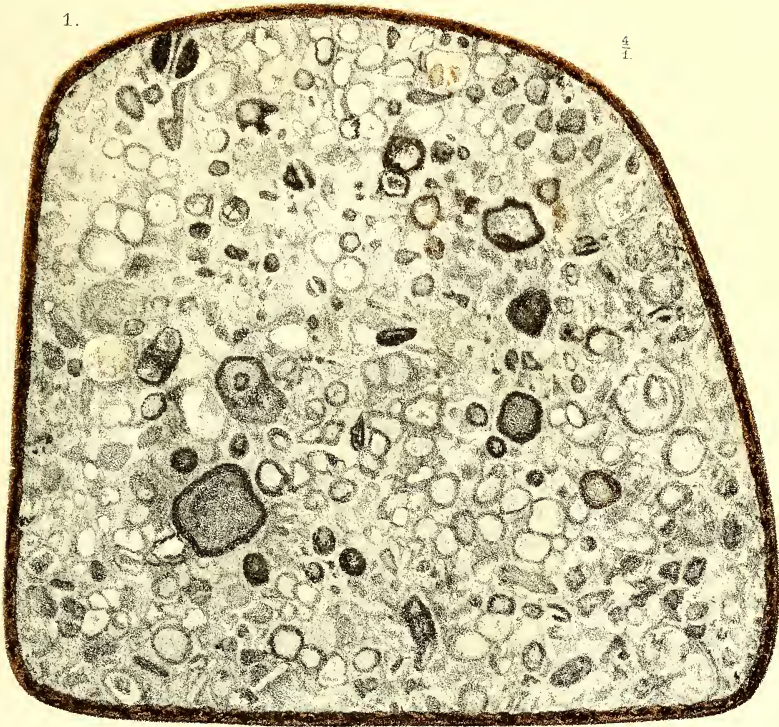
²⁾ *Bot. Ztg.* 1881, n^o. 28. — 1882, nos 20 et 21, 26, 39. — 1883, nos 1 et 2. — *Pflüger's Archiv. f. Physiol.*, t. XXIX, 1882; t. XXX et XXXII, 1883, *Arch. néerl.* t. XVII. 1882, p. 417; t. XVIII, 1883, p. 29, p. 280.



A. J. Wendel, ad nat. del. et lith.

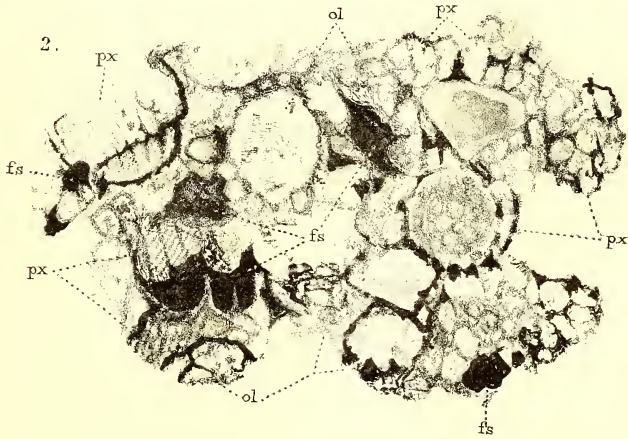
1.

$\frac{4}{1}$



2.

$\frac{10}{1}$



A.J. Wendel, ad nat. del. et lith.

Fig 1.

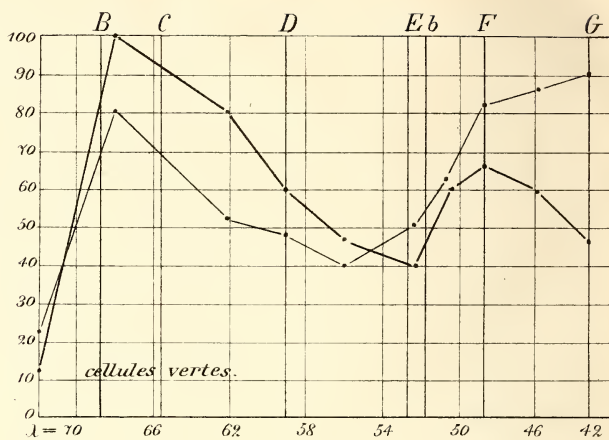


Fig. 3.

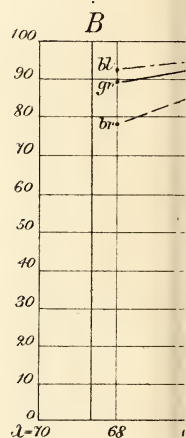
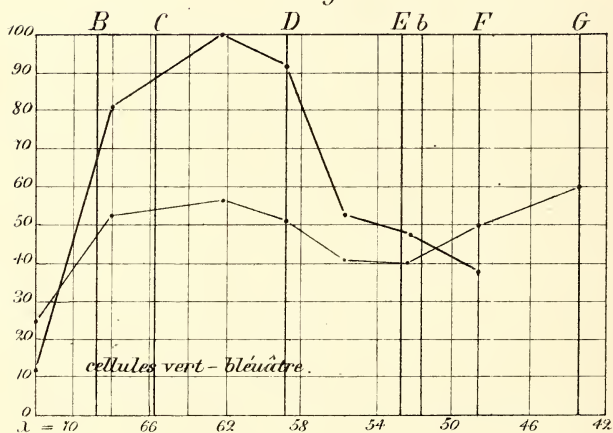
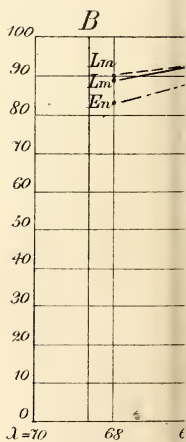
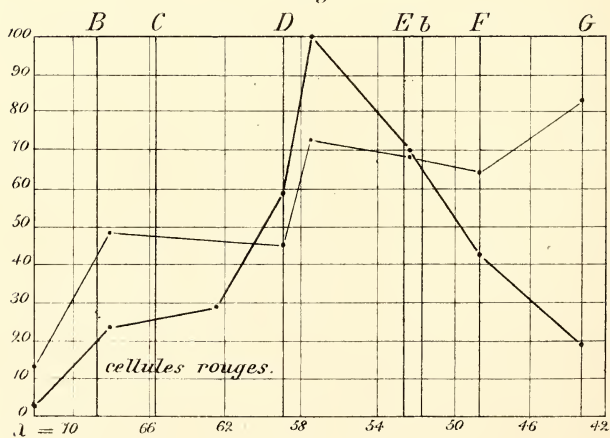


Fig. 4.



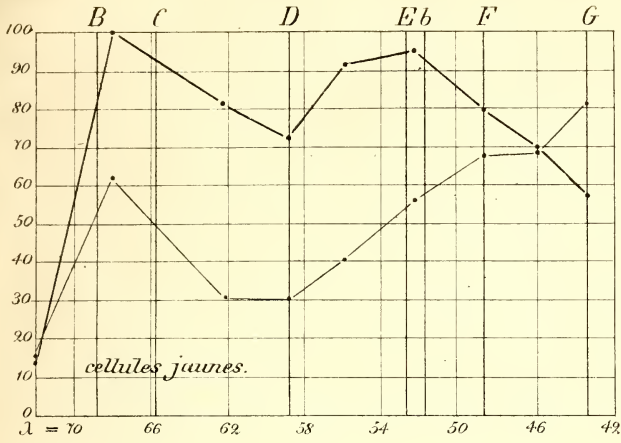


Fig. 5.

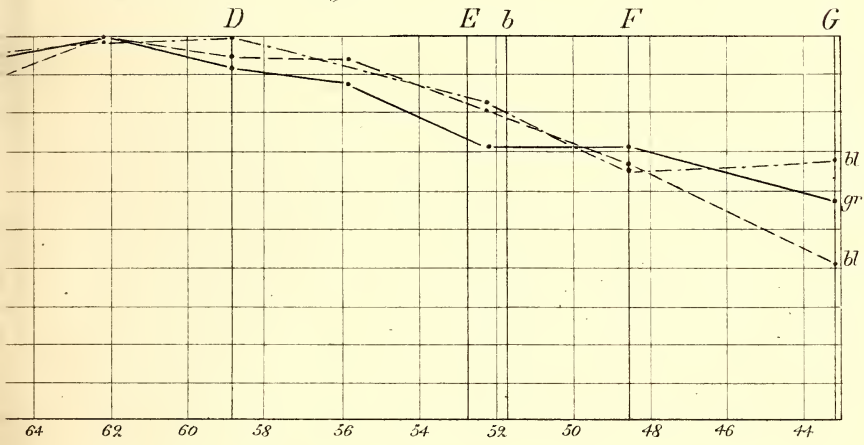
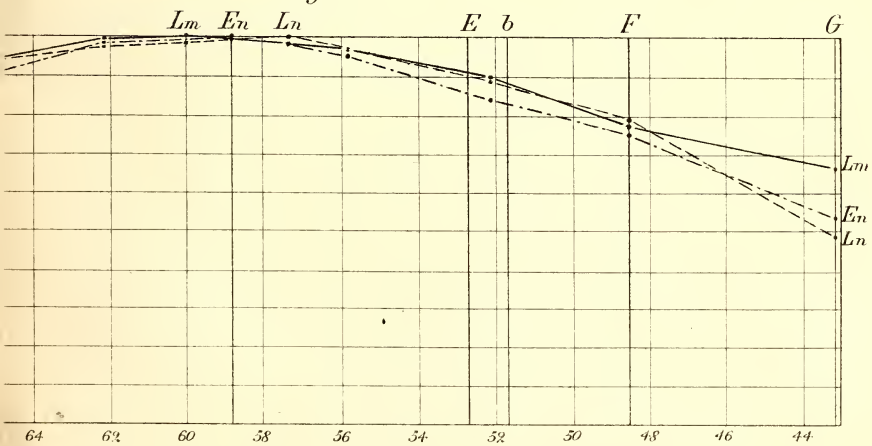
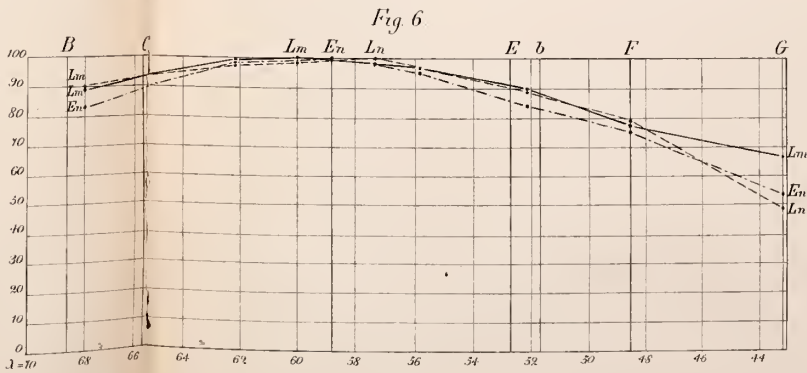
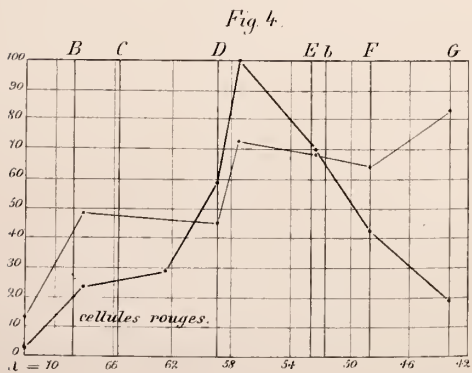
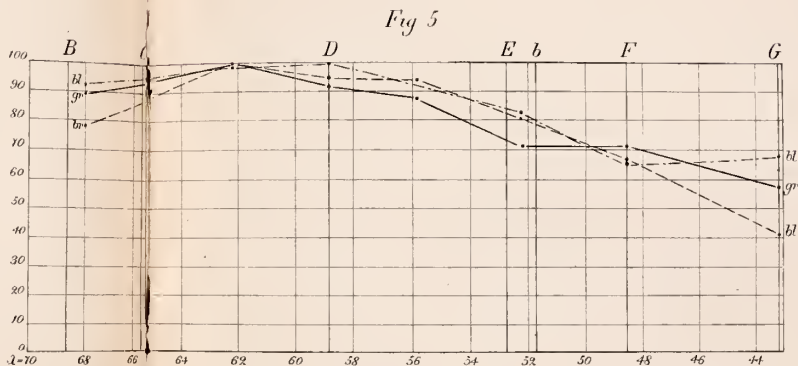
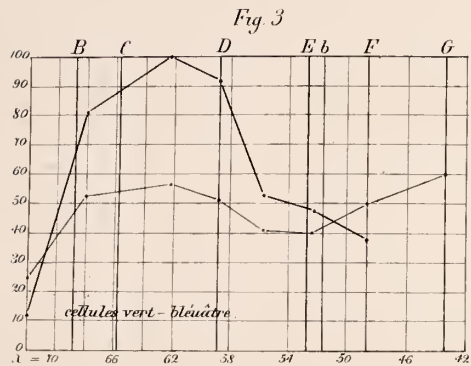
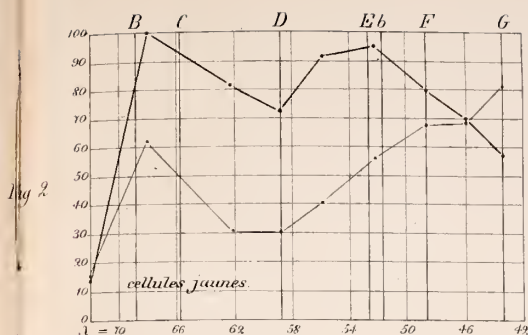
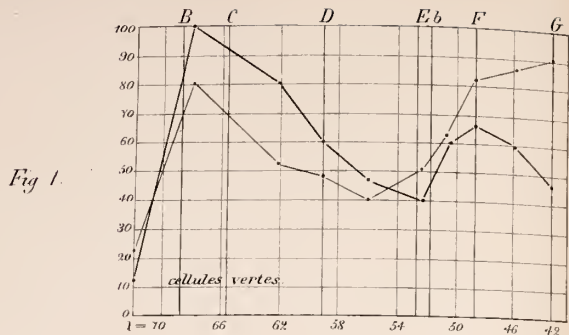
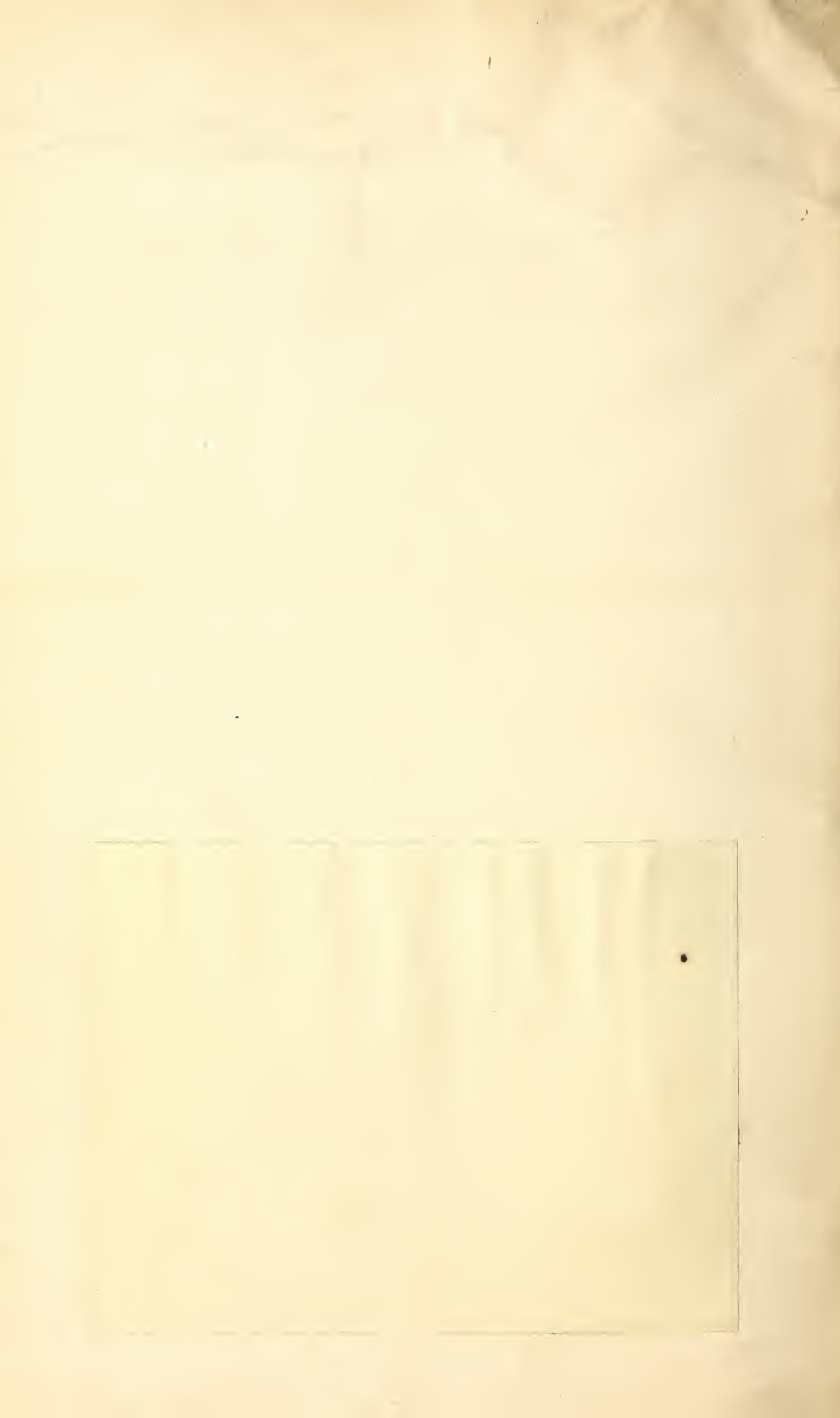


Fig. 6.







ARCHIVES NÉERLANDAISES

DES

Sciences exactes et naturelles.

EQUATIONS DE COULEURS SPECTRALES SIMPLES

ET

DE LEURS MÉLANGES BINAIRES,

DANS LES

SYSTÈMES NORMAL (POLYCHROMATIQUE) ET ANORMAUX
(DICHROMATIQUES)

PAR

F. C. DONDERS.

I. *Mélanges de rouge* ($\lambda 0.^\mu 6705$) *et de vert* ($\lambda 0.^\mu 535$).

a. *Equations avec le Jaune* ($\lambda 0.589$).

(Avec le concours de MM. Waelchli, Sulzer et Burnham).

En comparant le jaune spectral (environ D) avec des mélanges de rouge et de vert spectraux, Lord Rayleigh ¹⁾ avait remarqué que la proportion de ces composantes, nécessaire pour obtenir l'égalité, variait considérablement chez des personnes différentes. Le mélange qui pour lui-même et pour la plupart des autres donnait du jaune, était pour quelques-uns, notamment pour trois de ses beaux-frères, „désespérément trop rouge, presque aussi rouge que la cire à cacheter rouge”. Chez ces personnes, si l'on voulait obtenir du jaune, la proportion du rouge devait être beaucoup diminuée, et pour l'œil ordinaire la couleur était alors décidément verte.

L'examen porta sur 23 hommes, la plupart étudiants du laboratoire. Sur ce nombre, 16 s'accordaient, dans les limites des erreurs d'observation, avec Lord R. Un écart dans le sens indiqué fut trouvé chez 5 des personnes soumises à l'examen: chez les

¹⁾ *Nature*, 1881, t. XXV, p. 64, — communiqué à l'Association britannique, le 2 sept. 1881.

trois frères (un quatrième frère et trois sœurs étaient normaux) et chez deux autres personnes. C'est là, dit Lord R, „une particularité intéressante de la vision des couleurs, tout à fait distincte de l'achromatopsie". Chez les sujets en question, affirme-t-il, „l'appréciation de petites différences de couleur est aussi nette que dans les cas ordinaires".

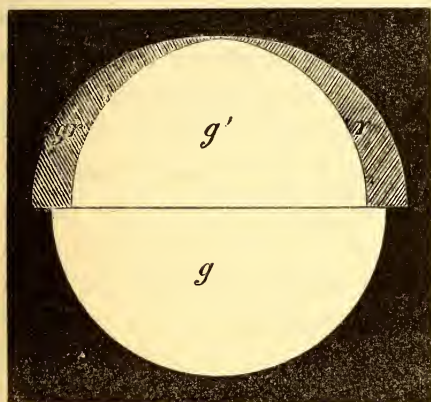
Ce résultat était très inattendu.

Pour répéter les expériences, nous avons fait usage de mon appareil à trois fentes, décrit précédemment ¹⁾: deux fentes couplées, situées l'une à côté de l'autre, et une fente simple, située directement sous les fentes couplées et mobile dans le sens horizontal. La fente simple nous donnait le jaune spectral (ou, à volonté, toute autre couleur), les fentes couplées fournissaient les deux composantes superposées, le rouge et le vert. Les vis de ces fentes sont à portée de la main de l'observateur: en tournant la vis des fentes couplées il obtient l'égalité de couleur, en faisant mouvoir celle de la fente simple il produit l'égalité d'intensité lumineuse. On trouvait donc ainsi, non-seulement la proportion du mélange, mais aussi (par la largeur qu'il fallait donner à la fente simple) l'intensité obtenue I. La somme des largeurs des fentes couplées fut portée à 1 mm, correspondant à 100 sur l'échelle. — La lumière émanait d'une forte flamme de gaz (brûleur de Sugg), entourée d'un cylindre en fer blanc de 80 cm. de hauteur et de 30 cm. de diamètre, flamme dont le sommet et la base étaient interceptés par un diaphragme, de sorte que la partie moyenne constante, haute de 2 cm, trouvait seule accès à un verre blanc dépoli, qui servait de source lumineuse. Après une seconde fente, dont la hauteur et la largeur pouvaient être modifiées, venait un tube court aplati, entouré d'une gaine en velours un peu plus longue, laquelle par son extrémité s'appliquait directement contre l'appareil à fentes et excluait toute lumière étrangère. Les trois fentes recevaient donc la radiation du verre dépoli, lequel émettait toujours uniformément la même

¹⁾ Voir: v.d. Weyde, *Methodisch onderzoek der kleurstelsels van kleurblinden*, Utrecht, 1882, p. 18 et suiv.

lumière ¹⁾. Pareillement, de chaque point des fentes la lumière atteignait sans obstacle la surface entière de la lentille collimatrice, et de chaque point du prisme tous les rayons émergents frappaient la lentille collectrice. Entre le prisme et la lentille collectrice sont encore interposés les prismes jumeaux de von Kries et de Frey ²⁾: deux prismes très minces, réunis par leurs arêtes réfringentes en une ligne horizontale. De cette manière, les trois fentes fournissent six spectres: deux spectres simples et deux paires de spectres se recouvrant en partie; et, de ces spectres, l'un des simples et l'une des paires superposées tombent dans la fente oculaire, à savoir la paire inférieure et le spectre simple supérieur. Les trois autres spectres tombent en dehors de la fente oculaire. L'œil, placé directement devant la fente, reçoit toute la lumière correspondante des trois spectres désignés en premier lieu, celle du spectre simple en direction un peu ascendante, celle des spectres couplés en direction légèrement descendante: cette lumière, restée divergente dans l'œil, forme sur la rétine un cercle (fig. 1) correspondant à la forme de la lentille collectrice,

Fig. 1.



dont la moitié inférieure g apparaît dans la lumière simple, la moitié supérieure g' dans la lumière composée, les deux moitiés n'étant séparées que par une droite horizontale, la ligne de jonction des spectres jumeaux. La différence de direction des rayons verts et des rayons rouges est cause que les cercles ne se recouvrent pas parfaitement

¹⁾ Lorsque le spectroscopie était déplacé, d'un centimètre et même plus, parallèlement au verre dépoli, ou lorsqu'il était dérangé plus ou moins de sa direction exactement perpendiculaire par rapport à ce verre, cela n'exerçait aucune influence sur les équations.

²⁾ *Archiv f. Physiologie*, 1881, p. 336.

et que, par suite, à l'un des côtés déborde un peu le vert *gr*, à l'autre côté le rouge *r*.

Lord R. n'avait pas déterminé d'une manière précise le rouge et le vert employés comme composantes, et pour le jaune spectral il s'était aussi contenté de prendre à peu près D. Voulant obtenir des proportions fixes et comparables, nous résolûmes de partir de longueurs d'onde déterminées et trouvâmes que celles qui correspondent aux raies du lithium, du sodium et du thallium, soit respectivement $\lambda 0''{,}6705$, $\lambda 0''{,}589$ et $\lambda 0''{,}535$, convenaient parfaitement. Nous les appellerons dorénavant rouge de Li, jaune de Na et vert de Tl. Elles ont l'avantage d'être faciles à trouver et à contrôler, même avec des appareils simples. Il importe de déterminer très exactement le rouge de Li: vers ce point l'intensité lumineuse varie si rapidement, qu'une différence de $0''{,}001$ en longueur d'onde devient déjà très appréciable dans la proportion requise.

En tournant la vis des fentes couplées on obtient les mélanges de rouge et de vert en toutes proportions, et la couleur varie du rouge pur, lorsque le vert $= 0$, au vert pur, lorsque le rouge $= 0$: l'observateur s'arrête à la proportion pour laquelle la couleur est celle du jaune de Na, — seulement un peu moins saturée, soit jaune de Na'. Ensuite il rend les intensités égales, en faisant tourner la vis de la fente simple, puis, s'il est nécessaire, il retouche de nouveau et alternativement la couleur et l'intensité, jusqu'à ce que toutes les deux soient égales. Sur le tambour des fentes couplées peut alors se lire la proportion des composantes, sur celui de la fente simple, l'intensité du jaune correspondant. Par là est trouvée l'équation:

$$x \text{ Tl} + y \text{ Li} = Q \text{ Na}'.$$

Parmi les personnes examinées, 56 appartenaient à la première catégorie de Lord R., 48 du sexe masculin — en majorité étudiants en médecine ou professeurs — et 8 du sexe féminin.

Chez la plupart, les deux yeux furent comparés l'un à l'autre

et, là où se rencontrait une différence considérable, nous faisons instituer les équations pour chaque œil séparément.

Les proportions requises de Tl et de Li varièrent de

$$\begin{aligned} 31 \text{ Tl} &\subset 69 \text{ Li} = 24,8 \text{ Na}' \\ \text{à } 23 \text{ „} &\subset 77 \text{ „} = 18 \text{ Na}' . \\ \text{moyenne } 27,4 \text{ „} &\subset 72,6 \text{ „} \end{aligned}$$

L'erreur moyenne m_1 (écart moyen à la moyenne générale), dans une série de 10 observations, fut chez

	Donders.	Waelchli.		Burnham.		Sulzer	
	O. S.	O. D.	O. S.	O. D.	O. S.	O. D.	O. S.
Pour la proportion de rouge et de vert.	0,31%	0,92%	1,76%	0,31	0,36	0,48	0,42
Pour l'intensité.	0,41	1,58	1,32	2,1	1,6	0,7	0,4 ;

elle était donc manifestement plus grande pour l'observation de l'égalité d'intensité, $\text{Na}' = \text{Na}$, que pour celle de l'égalité de couleur, $\text{Tl} \subset \text{Li} = \text{Na}$.

Dans 10 observations faites à des jours différents, *une* par jour, les valeurs moyennes trouvées et les écarts susdits furent pour

	Largeurs des fentes, en centièmes de mm.				
	Proportion centésimale.			Intensité.	
	Tl.	Li.	Ecart moyen.	Na'.	Ecart moyen.
Donders . . .	29,8	70,2	0,45	24,6	1,27
Engelmann.	25,7	74,3	0,94	23,4	1,8

Ces écarts comprennent toutes les sources d'erreur, aussi celles qui proviennent de la composition et de la combustion du gaz plus ou moins variables d'un jour à l'autre.

Pour pouvoir compter avec quelque confiance sur les résultats de l'ajustement des fentes par des personnes peu exercées, un dessin semblable à la fig. 1, revêtu des couleurs exactes, était d'abord expliqué, puis montré au spectroscope. A la question, si g' et g étaient ici tous les deux le même jaune que dans le dessin, elles répondaient ordinairement: oui! Elles avaient à dire ensuite, pendant qu'on faisait tourner le tambour, à quel moment g' devenait ou rougeâtre ou verdâtre. Et enfin elles devaient tourner elles-mêmes, jusqu'à ce que g' fût redevenu du même jaune que g . Si ce point se trouvait à peu près au milieu entre les positions où elles avaient déclaré g' rougeâtre et verdâtre, l'observation était jugée suffisante. Dans le cas contraire, on recommençait. De la même manière avait lieu la détermination de l'intensité de Na'.

Chez la grande majorité des sujets, la proportion Li: Tl requise est intermédiaire entre celles nécessaires pour les yeux de Donders et d'Engelmann. Nous avons trouvé:

Thallium . . .	31	30	29	28	27	26	25	24	23	22	
chez	6	8	11	10	6	6	6	2	3	1	personnes.

Ces chiffres montrent qu'il n'y a pour ces personnes qu'un seul maximum, correspondant à Tl 28,6, et que toutes appartiennent à une seule et même catégorie, bien qu'elles présentent entre elles des différences plus grandes que l'erreur moyenne pour un seul et même individu.

Sur 68 personnes, il n'y en a qu'une, le Dr. Sulzer, chez qui nous avons trouvé une différence importante entre

O. D.	30	Tl + 69,5	Li et
O. S.	19,8	Tl + 80,2	Li.

Plus loin, à l'article *d.*, on trouvera une Note de M. Sulzer, dans laquelle il a exposé en particulier ce qui a rapport au sens chromatique de ses deux yeux, comparés entre eux.

En opposition avec les sujets dont il a été question ci-dessus, nous en rencontrâmes d'emblée, parmi nos étudiants, quatre qui, s'écartant beaucoup des limites indiquées, appartenaient évidemment à la seconde catégorie de Lord R. Ils figurent, dans le tableau suivant, sous les nos. 57, 58, 59 et 60, en même temps que 1 et 2, de la première catégorie

	x	Tl	$+$	y	Li	$=$	Na'	$x : y$
57 B. étudiant	53			46,7			26,2	0,88
58 S. „	48,7			51,3			26,8	1,05
59 V.D. „	51,6			48,4			29,5	0,94
60 P. „	53,6			46,4			29,6	0,87
1 Donders	29,8			70,2			24,6	2,34
2 Engelmann	25,7			74,3			23,4	2,89

On voit que les quatre premiers cas de ce tableau s'accordent suffisamment entre eux, mais s'éloignent beaucoup des deux derniers. Ils forment donc indubitablement une seconde catégorie. Mais, à part les différences en question, leur sens chromatique est-il normal, comme Lord R. l'admet pour les sujets de son étude? — Nous avons trouvé le contraire. Nos quatre sujets ont tous le sens polychromatique *faible* (se rapprochent du système dichromatique des aveugles pour le vert), ce que le déchiffrement des tableaux pseudo-isochromatiques de Stilling mit immédiatement en évidence, et ce que d'autres épreuves vinrent confirmer. Ce résultat suggérait la présomption qu'un sens polychromatique faible serait propre, en général, aux cas présentant le rapport ci-dessus donné. Pour nous en assurer, nous examinâmes encore quelques personnes, dont la faiblesse du sens chromatique nous était déjà précédemment connue, et quelques autres, qui furent promptement découvertes parmi les étudiants du cours pratique et parmi les élèves du lycée ¹⁾. D'une manière générale, ces nouveaux cas confirmèrent notre attente. Il en est ainsi, par exemple, pour:

¹⁾ Dans cette recherche, deux de nos candidats, MM. Betz et Nolst Trenité, m'ont prêté un concours empressé.

			$x \text{ Tl} \subset y \text{ Li} = \text{Na}'$	$x : y$	
61 . . .	V. lycéen . . .	67,9	32,1	26,1	0,47
62 . . .	's J. id. . . .	49	51	25	1,04
63 . . .	F. id. . . .	57,5	42,5	30,3	0,74
64 . . .	K. id. . . .	53,8	46,5	26,6	0,86
65 . . .	V. A. id. . . .	57,7	42,3	26,7	0,73

Mais nous rencontrâmes aussi quelques cas de sens chromatique faible, pour lesquels l'équation concordait avec celle de l'œil normal; tels sont les suivants:

			$x \text{ Tl} \subset y \text{ Li} = \text{Na}'$	$x : y$	
66 . . .	G. lycéen . . .	24	76	23,5	3,17
67 . . .	V. d. B. id. . . .	28,3	71,7	24,5	2,53
68 . . .	V. A. id. . . .	25,6	74,2	20	2,9

Et, inversement, dans un cas, celui de M. Schaefer, professeur de physiologie d'*University-College*, à Londres,

			$x \text{ Li} \subset y \text{ Tl} = \text{Na}'$	$x : y$	
O. D.		58,2	41,8	20,4	0,72
O. S.		61,4	38,6	24,2	0,63,

le sens chromatique était à peu près normal. Au total, en effet, et spécialement en ce qui concerne la sensibilité aux passages entre le jaune et le vert, le sens chromatique de M. Schaefer était presque égal à celui de M. Donders; seulement, dans la vision indirecte, on constatait un affaiblissement un peu plus rapide du sens chromatique en s'éloignant de la tache jaune. Les trois frères B., examinés par Lord R., se trouvaient peut-être dans le même cas. Au reste, l'existence d'un sens chromatique faible échappe assez souvent dans un examen plus ou moins sommaire.

Chez les soi-disant aveugles pour les couleurs (système purement dichromatique), la comparaison de Lord Rayleigh n'est plus praticable. Le rouge, le jaune et le vert rentrent pour eux dans une seule et même couleur, leur couleur chaude, et la comparaison entre ces

couleurs et leurs mélanges ne concerne donc que l'intensité et la saturation. La latitude est alors si grande, que la comparaison n'a que peu ou point de valeur. Cela s'applique même aux cas où il existe déjà quelque chose de plus qu'un système purement dichromatique. Quelques sujets, M. Scheltema et M. O. Snellen par exemple, qui dans l'ophthalmo-spectroscope de Glan ne peuvent obtenir du blanc pur au moyen du rouge et du bleu, et qui par conséquent ont un peu plus qu'un système dichromatique, trouvent, pour la comparaison avec le jaune spectral, le mélange 70 Tl + 30 Li aussi bon que 70 Li + 30 Tl. A intensité lumineuse égale, la différence entre le jaune de Na et le vert de Tl est, pour eux, très légère, et la seconde de ces couleurs peut aussi être remplacée en plus ou moins grande partie par du rouge de Li, sans que la comparaison en souffre. Qu'ils sont peu sensibles aux passages du jaune au vert, c'est ce que j'avais déjà reconnu d'une autre manière ¹⁾.

*b. Equations des mélanges de rouge et de vert
avec les différentes couleurs spectrales
intermédiaires.*

(Avec le concours de MM. Waelchli, Sulzer et Burnham).

Par la même méthode qui avait servi aux comparaisons avec le jaune de Na, nous avons déterminé les proportions dans lesquelles le rouge de Li et le vert de Tl doivent être pris pour les équations avec toutes les couleurs spectrales situées entre la raie du Li et celle du Tl.

Notre spectroscope était parfaitement adapté à cet ordre de recherches: il n'y avait rien à changer aux composantes, elles restaient le rouge de Li et le vert de Tl; et toutes les couleurs de comparaison étaient obtenues par le mouvement de la fente simple.

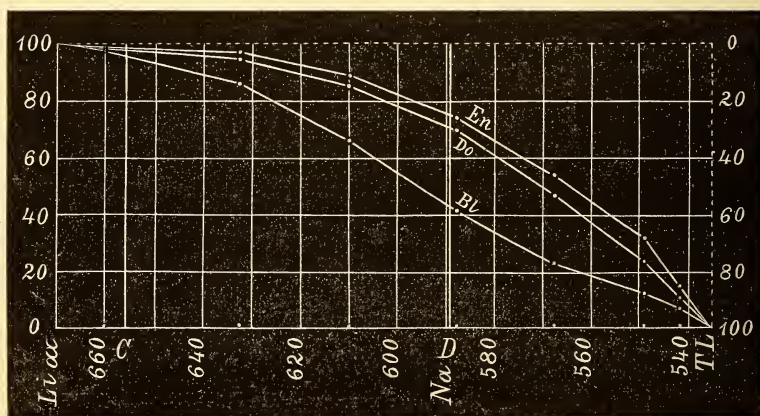
Comme résultat d'une *seule série* de déterminations, nous avons trouvé pour:

¹⁾ Voir Ouderz, *Physiol. Labor.*, 3^e série, t. VII, p. 95.

Echelle.		Donders.			Engelmann.			Blonk.		
Chiffre.	λ	Tl	Li	Intens	Tl	Li	Int.	Tl	Li	Int.
12.7	0.6705	0	100	100	0	100	100	0	100	100
13	0.660	2.5	97.5	68.9	1.4	98.6	69.9	2.25	97.75	54.25
14	0.633	5.2	94.8	22.6	3.85	96.15	23.1	12.8	87.2	19.65
15	0.610	14.7	85.3	19.8	11.2	88.8	17.95	32.7	67.3	25.9
16	0.588	32.4	67.6	19.8	26.05	73.95	18.85	58	42	23.5
17	0.568	57	43	33.2	45.8	54.2	30.1	77.9	12.1	36.8
18	0.549	78.2	24.4	52.3	67.33	32.66	44.8	88.5	11.5	60.6
18.5	0.541	91.4	8.6	71.5	84.05	15.95	66.2	93.6	6.4	81
18.9	0.535	100	0	100	100	0	100	100	0	100

Ces résultats étaient faciles à mettre en courbes, et une seule et même courbe (fig. 2) suffisait pour Li et Tl, leur somme étant invariablement = 100.

Fig. 2.



Do est la courbe de Donders.

En " " " " Engelmann.

Bl " " " " Blonk.

L'abscisse de la figure est le spectre (d'interférence) allant de Li, avec λ 0,6705, à Tl, avec λ 0,535, spectre sur lequel sont

indiquées les longueurs d'onde intermédiaires et, en outre, les raies C et D de Fraunhofer. — La ligne verticale à gauche, qui monte de 0 à 100, est l'ordonnée de Li; la verticale pointillée, à droite, qui descend de 0 à 100, est l'ordonnée de Tl, ayant pour abscisse l'horizontale supérieure (pointillée), égale à l'inférieure. Les ordonnées menées de chaque point de la courbe vers le bas et vers le haut représentent donc les quantités de rouge de Li et de vert de Tl données par les largeurs (respectives) des fentes couplées. Or ces ordonnées se laissent facilement réduire au spectre d'interférence. La dispersion du spectre dioptrique au point Tl est à celle au point Li à peu près comme 1,9 : 1; si le rapport était 1 : 1, comme dans le spectre d'interférence, la fente lumineuse du Tl devrait être 1,9 fois plus étroite. Pour la réduction, sa valeur doit donc être divisée par 1,9, puis la somme de cette valeur réduite et de la valeur du Li doit encore être calculée en 100^{ièmes}.

Des courbes de ce genre ont été construites pour un grand nombre de personnes. Les courbes des yeux à sens chromatique normal tombent en majeure partie entre celles de Donders et d'Engelmann, les courbes des yeux à sens polychromatique faible, au voisinage de celle de Blonk ¹⁾.

Les résultats, sous maint rapport intéressants, obtenus par M. Sulzer seront communiqués plus loin (Voir *d.*).

On voit, par ce qui précède, que les comparaisons des mélanges de vert de Tl et de rouge de Li avec le jaune de Na sont décisives pour toutes les couleurs spectrales comprises entre les raies Li et Tl. Cela s'applique (en tant que les observations permettent d'en juger) non-seulement aux courbes d'une seule et même classe, mais aussi à celles des deux classes, dans leur rapport mutuel, — indépendamment des défauts du sens chromatique propres aux divers cas.

Toutes les courbes (voir la fig.) tournent leur côté convexe vers le haut, d'où il ressort que, en partant de la raie Li, la pro-

1) Voir: *Onderz. Physiol. Labor.*, t. VIII, p. ...

portion de vert de Tl s'élève d'autant plus rapidement qu'on approche davantage de la raie Tl. Là où la courbe devient légèrement concave vers le haut, cette concavité disparaît par la réduction du spectre dioptrique au spectre d'interférence.

La régularité des courbes d'une seule série d'observations pour *Do* et *En* (fig. 1) et l'accord des deux séries, une ascendante et une descendante, pour M. Sulzer (voir plus loin *d.*) témoignent de la grande exactitude de la méthode.

c. Explication de la différence des deux catégories de Rayleigh.

Par nos déterminations (*a*, p. 306) de $x \text{ Li} \subset y \text{ Tl} = \text{Q Na}'$ nous avons trouvé que, dans la *première* catégorie, celle des yeux normaux, $x : y$ variait

$$\begin{aligned} \text{de } 69 & : 31 = 2,3 : 1 \\ \text{à } 77,8 & : 22,2 = 3,33 : 1 \\ \text{moyenne } 72,6 & : 27,4 = 2,65 : 1, \end{aligned}$$

dans la seconde catégorie, constituée en général par des cas de sens chromatique faible,

$$\begin{aligned} \text{de } 51,3 & : 48,7 = 1,053 : 1 \\ \text{à } 32,1 & : 67,9 = 0,473 : 1 \\ \text{moyenne } 45 & : 55 = 0,82 : 1. \end{aligned}$$

Pour 0 Tl il faut donc, en cas de sens chromatique normal, 2,65 Li, en cas de sens chromatique faible, seulement 0,82 Li; en d'autres termes, dans le premier cas, 1 Tl est neutralisé par 2,65 Li, dans le second, par 0,82 Li.

A quoi tient cette énorme différence?

La première idée qui nous vint fut celle d'une différence des intensités relatives de Li et de Tl. Chez les aveugles pour le vert, l'intensité du vert spectral est, en effet, relativement faible, et comme la faiblesse du sens chromatique se trouve sur la voie qui conduit à la cécité pour le vert, il y avait quelque raison de présumer

que, dans ce cas de faiblesse aussi, le rapport des intensités de Li et de Tl serait au détriment de Tl. L'expérience, toutefois, ne confirma pas cette conjecture. Sur 10 yeux à sens chromatique normal et 10 à sens chromatique faible nous déterminâmes le rapport des intensités relatives de Na: Li et de Na: Tl, puis, au moyen de ces deux rapports, fut calculé celui de Tl: Li.

Le tableau ci-dessous contient les résultats.

pour le sens chromatique normal. pour le sens chromatique faible.

N O M.	Na 10		Tl 1	N O M.	Na 10		Tl 1
	= Li	= Tl	= Li		= Li	= Tl	= Li
E. . . .	54.6	25.5	2.1	B. . . .	45	23.6	1.9
D. . . .	60.8	19.8	3	V. D. .	68.8	20.4	3.4
B. . . .	49.7	21.9	2.3	S. . . .	77.4	32.8	2.3
N. T. . .	52.5	21.2	2.5	V. A. .	72	26	2.8
D. . . .	53.3	25	2.1	S. . . .	69.9	20.4	3.4
C. . . .	60.5	30.6	2	s' J. . .	81	27	3
E. . . .	53	25.4	2.1	V. P. .	61.1	19.5	3.1
K. . . .	26.9	17.3	1.6	F. . . .	77.5	22.5	3.4
H. . . .	32.4	19.1	1.7	V. H. .	66	26	2.5
V. L. . .	43.2	21.4	2	W. . .	67	31.5	2.1
Moyenne	48.7	22.7	2.14	Moyenne	68.5	24.9	2.79

Il ressort de ces chiffres que, pour le sens chromatique normal, l'intensité de 1 Tl est en moyenne égale à celle de 2,14 Li, pour le sens chromatique faible, à celle de 2,79 Li. — Le tableau nous apprend, en outre, que la différence des deux catégories ne réside pas tant dans le rapport des intensités de Na: Tl que dans celui de Na: Li.

Le rapport des intensités Tl: Li a été obtenu, comme nous l'avons vu, d'une manière indirecte, savoir, en comparant Li et Tl, chacune séparément, à Na. La méthode directe a fourni des résultats à peu près semblables.

Chez 15 personnes à sens chromatique normal, nous avons trouvé:

Méthodes :	q Li : q' Tl			
	min.	max.	moyenne	m ₁
indirecte	1,94	3,3	2,53	0,44
directe	1,8	3,7	2,64	0,52

De même que pour le sens chromatique normal et le sens chromatique faible, nous avons aussi déterminé le rapport des intensités de Tl: Li chez 10 aveugles pour le vert et chez 10 aveugles pour le rouge; nous communiquons ci-dessous les résultats de ces déterminations, qu'on pourra comparer à ceux des précédentes:

aveugles pour le rouge.				aveugles pour le vert.			
N O M.	Na 40		Tl 4	N O M.	Na 40		Tl 4
	= Li	= Tl	= Li		= Li	= Tl	= Li
C. . . .	360	13.1	27.5	v. d. S.	65.2	32.6	1
G. . . .	232	16.4	14.1	K. . . .	68.2	26.8	2.5
E. H. . .	327	11.1	29.4	B. S. . .	66.9	37.1	1.8
H. W.N.	283	14	20.2	H. . . .	62.5	26	2.4
T. K. . .	277	15	18.4	v. d. V.	66.7	26.3	2.5
v. d. W.	295	8.7	33.9	v. L. . .	65	19	3.4
E. . . .	240	8	30	H. . . .	68.5	23.5	2.9
W. . . .	296	10.4	28.4	I. . . .	59.5	17.5	3.4
I. . . .	217	11	19.7	B. . . .	31.7	17.2	1.8
H. . . .	240	14.2	16.9	v. D. . .	84.2	19.6	4.3
Moyenne	276	12.19	23.85	Moyenne	63.84	24.56	2.7

Nous trouvons donc

chez les aveugles pour le rouge Li : Tl en moyenne = 23,8

» » » » » vert » » » » » = 2,7

On voit que, pour les derniers, le rapport des intensités, tant de Na: Li que de Na: Tl, et par conséquent aussi de Tl: Li, concorde assez bien avec celui qu'on trouve en cas de sens chromatique normal. Une forte et constante opposition est offerte, au contraire, par les rapports d'intensité chez les aveugles pour le

rouge. Aussi les intensités lumineuses relatives de Li, Tl et Na suffisent-elles pour caractériser les deux formes de sens dichromatique.

S'il est prouvé, par les résultats qui viennent d'être communiqués, que la différence entre les deux catégories ne dépend pas du rapport Tl:Li, l'explication peut difficilement être cherchée ailleurs que dans un développement relativement faible de la valence verte dans le Tl, comparé à celui de la valence rouge dans le Li. Le rapport de ces valences détermine alors celui des quantités de Tl et de Li qui se neutralisent.

Après avoir reconnu que, pour les yeux de la première catégorie, le rapport $x : y$ est en connexion avec la place du jaune simple dans le spectre (voir *d*), j'ai examiné jusqu'à quel point cette place a aussi de l'influence sur $x : y$ en cas de sens chromatique faible. Le résultat a été qu'il n'y a pas à tenir compte d'une pareille influence. Les personnes de la seconde catégorie indiquent dans le cercle chromatique le même jaune que le jaune simple, et dans le spectre, à de rares exceptions près, un jaune qui n'est pas loin de la raie D.

d. Explication des différences individuelles dans la première catégorie, celle du sens chromatique normal.

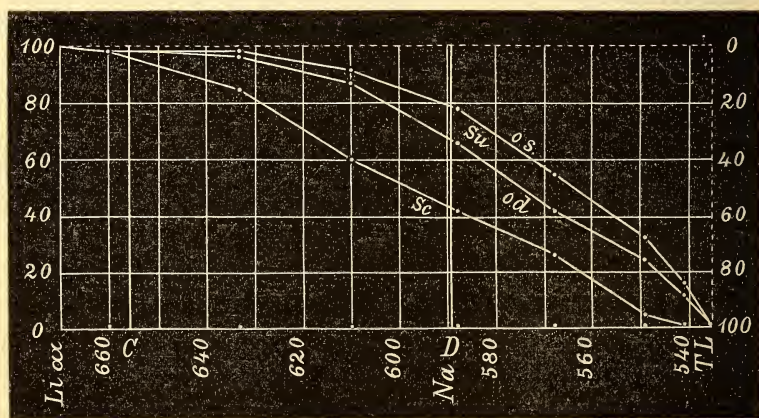
Les différences qui, en cas de sens chromatique normal, existent dans le rapport $x : y$ des coefficients de l'équation $x \text{ Li} \cup y \text{ Tl} = \text{Q Na}'$ oscillent de 69 : 31 à 77,8 : 22,2, valeurs qui sont à peu près entre elles comme 2 : 3.

Nous devons maintenant rechercher à quoi tiennent ces différences. La voie à suivre nous a été indiquée par les cas où, chez la même personne, on a trouvé pour chacun des deux yeux un rapport $x : y$ différent.

A ce point de vue, le cas du Dr. Sulzer, dont les deux yeux représentent à peu près les deux extrêmes du sens chromatique normal, a été particulièrement intéressant, comme on va pouvoir en juger.

a. Note du Dr. Sulzer. „Lors de l'établissement de l'équation $x \text{ Tl} \subset y \text{ Li} = Q \text{ Na}'$, des différences notables furent révélées, par rapport aux quantités x et y , entre les deux yeux; ce phénomène existait peut-être chez la plupart des observateurs à vue normale, mais chez aucun autre il n'atteignait des proportions aussi considérables, ce qui détermina à soumettre les deux yeux à un examen comparatif. Lorsque le jaune spectral et le jaune composé, qui pour l'œil droit avaient exactement la même teinte et la même intensité, étaient contemplés de l'œil gauche, le jaune composé paraissait, il est vrai, un peu moins lumineux et un peu moins saturé, mais de même teinte que pour l'œil droit; le jaune spectral, au contraire, contrastait distinctement, par un ton orangé, avec le jaune composé. Pour avoir l'équation relative à l'œil gauche, la relation $30,5 \text{ Tl} \subset 69,5 \text{ Li} = 23,04 \text{ Na}'$ devait être changée en $19,8 \text{ Tl} \subset 80,2 \text{ Li} = 19,95 \text{ Na}'$. Une différence analogue existe entre les deux yeux, à un degré décroissant vers les deux côtés du spectre, pour les équations de toutes les couleurs comprises entre Li et Tl: c'est ce que montrent clairement les deux courbes *o. s.* et *o. d.* de la fig. 3 (voir fig. 2).

Fig. 3.



Un examen plus spécial a fait voir que le phénomène dépend de ce que, dans la partie chaude du spectre, à des longueurs d'onde égales répondent des sensations qui pour les deux yeux

différent en teinte, en intensité et en saturation, tandis que, dans la partie froide, la différence est bornée à l'intensité et à la saturation. Le phénomène se produisait aussi avec les flammes des métaux correspondants (Li, Tl, Na), ainsi qu'avec la lumière transmise par des verres à colorations correspondantes, tandis que les matières colorantes opaques provoquaient dans les deux yeux des sensations égales.

M. Sulzer a cherché de trois manières différentes à évaluer les longueurs d'onde qui correspondent respectivement, dans les deux yeux, à des sensations égales.

1°. En déterminant pour chaque œil, à la fente simple du spectroscopie double, la situation des couleurs simples.

2°. En déterminant pour chaque œil, au moyen du spectroscopie double, les couleurs spectrales simples qui répondent aux mêmes mélanges de Tl et de Li.

3°. Par le déplacement de deux spectres égaux (l'un correspondant à l'une des fentes couplées, l'autre à la fente simple du spectroscopie double tourné de 90°), spectres projetés l'un à côté de l'autre, avec interposition d'un diaphragme occupant le plan sagittal, sur un écran, et dont l'un affectait l'œil droit, l'autre l'œil gauche; ainsi que par le déplacement des deux images superposées d'un seul et même spectre, images produites par des prismes égaux, placés devant les deux yeux et ayant tous les deux leur angle réfringent tourné soit vers le haut, soit vers le bas.

Les valeurs moyennes des résultats obtenus dans la première série de déterminations sont les suivantes :

Jaune simple		Vert simple.		Bleu simple.	
Oeil droit.	Oeil gauche	Oeil droit	Oeil gauche.	Oeil droit.	Oeil gauche.
λ 0,587	0,577	0,538	0,532	0,485	0,485

L'écart moyen à la valeur moyenne était, dans le jaune, de 0,0005 λ pour l'œil droit, de 0,001 λ pour le gauche; dans le vert simple, de 0,002 λ pour l'œil droit, de 0,0009 λ pour le

gauche; enfin, dans le bleu simple, de $0,002 \lambda$ pour les deux yeux.

Les valeurs moyennes des résultats de la comparaison de différents mélanges de Tl et de Li avec les couleurs spectrales intermédiaires, résultats obtenus pour chaque œil par une série ascendante et une série descendante, sont contenus dans le tableau suivant:

			Oeil droit.		Oeil gauche.	
Tl	⊖	Li	Intensité.	λ	Intensité.	λ
10		90	20.3	0.613	17.5	0.6085
20		80	15.3	0.602	16.7	0.593
30		70	22.0	0.5892	20.2	0.578
40		60	21.5	0.581	22.6	0.573
50		50	31.2	0.5745	29.5	0.563
60		40	31.0	0.567	35.0	0.5585
70		30	44.3	0.5585	44.6	0.5525
80		20	47.0	0.5525	53.1	0.547
90		10	53.5	0.547	65	0.543

Les nombres de la troisième et de la cinquième colonne montrent, pour chacun des deux yeux, comment se comportent les unes par rapport aux autres les intensités des mélanges et les longueurs d'onde qui leur correspondent par la couleur.

La comparaison directe de deux spectres juxtaposés et la comparaison des images doubles, exécutées pour le même rouge, le même jaune, le même vert et le même bleu, ont donné des résultats qui confirment ceux des comparaisons indirectes, mais qui, par suite de l'exactitude moindre des méthodes de mesure (mesure directe des déplacements nécessaires pour la juxtaposition de couleurs égales), étaient affectés d'erreurs moyennes plus fortes.

L'intensité du jaune spectral est à peu près la même pour les deux yeux. A partir de ce point, et des deux côtés, l'intensité s'affaiblit plus rapidement pour l'œil gauche que pour l'œil droit,

et cela, du côté chaud, jusqu'à l'extrémité du spectre, du côté froid, environ jusqu'à λ 0,5325, point au-delà duquel l'intensité pour l'œil gauche reste d'abord constante, puis augmente légèrement.

Pour Tl et Li, les valeurs moyennes des quantités qui correspondent à 10 Na, valeurs déduites d'un grand nombre d'observations faites à des époques différentes, s'élèvent à :

$$\text{o. d. } 10 \text{ Na} = 12,5 \quad \text{Tl} = 30,8 \quad \text{Li}$$

$$\text{o. s. } 10 \text{ „} = 14,3 \quad \text{„} = 56,6 \quad \text{„}$$

Quant aux intensités dans le reste du spectre, la marche en est indiquée dans le tableau suivant, duquel on pourra déduire, par réduction, la marche des différentes intensités par rapport à Na :

10 Tl (λ 0.535) =						
λ	o. d.			o. s.		
	↓	↑	moy.	↓	↑	moy.
0.692	110.8	110.8	110.8	149.2	148.5	148.4
0.660	39.0	43.2	41.1	63.4	65.8	64.6
0.633	14.9	14.7	14.8	18.9	18.0	18.45
0.610	8.4	8.7	8.55	11.2	11.0	11.1
0.5892	7.9	8.1	8.0	9.8	10.2	10.0
0.5884	7.5	7.8	7.65	8.9	8.9	8.9
0.5685	9.1	8.7	8.9	10.6	10.8	10.7
0.5495	8.5	8.3	8.4	9.0	8.3	8.65
0.5325	10.8	10.9	10.85	9.8	9.4	9.6
0.5195	17.2	16.1	16.65	13.1	12.7	12.9
0.506	23.9	24.2	24.05	19.8	21.1	20.45
0.495	48.6	46.2	47.4	41.2	38.1	39.65
0.485	74.1	78.2	76.15	64.1	61.8	62.95

Jusqu'au bleu-verdâtre il n'existe pas de différence de saturation pour les deux yeux ; à partir de là, la saturation de l'œil gauche devient plus faible que celle de l'œil droit, et dans l'indigo elle n'est plus que les $\frac{2}{3}$ ou la $\frac{1}{2}$ de cette dernière.

Le rapport des intensités d'un mélange de Tl et de Li à la

somme des intensités des composantes est à peu près le même pour les deux yeux, ainsi qu'il résulte des coefficients qui seront donnés plus loin (f) pour les longueurs d'onde comprises entre Tl et Li.

A intensité égale (fente simple du spectroscopie double = 100 = 1 mm), le spectre, au côté chaud, devient visible pour l'œil droit plus tôt que pour l'œil gauche. La différence est d'environ 0,010 λ . Au côté froid, le spectre commence à disparaître vers une longueur d'onde qui est la même pour les deux yeux.

Les deux yeux possèdent, malgré une myopie de 3,5 à droite et de 2 à gauche, leur pleine acuité visuelle et présentent aussi, sous tous les rapports autres que ceux dont il a été question, un état entièrement normal.

La sensibilité aux légères différences de jaune et de vert est, pour les deux yeux, plus grande que d'ordinaire; plusieurs séries d'observations faites à ce sujet (avec les prismes liquides doubles, par conséquent *pas* avec des couleurs spectrales, Donders) montrent dans l'œil gauche une sensibilité un peu plus grande aux différences les plus faibles, de telle sorte, toutefois, que par la fixation binoculaire le discernement devient encore plus facile que par la fixation monoculaire de gauche.

Les recherches dont il vient d'être rendu compte nous apprennent que les impressions lumineuses produites par les mêmes longueurs d'onde peuvent, pour les deux yeux d'un même individu, présenter des écarts quant au ton, à l'intensité et à la saturation. Comme ces deux yeux montrent, dans la comparaison de Tl et Li avec Na, les mêmes différences que les yeux d'individus différents, il est probable qu'entre ces derniers peuvent aussi exister les susdits écarts.

Les particularités qu'offrent les deux yeux de Sulzer sont, en résumé, les suivantes. Le spectre, qui pour l'œil droit commence un peu plus tôt que pour l'œil gauche, atteint pour le premier, près de la raie du lithium, presque deux fois autant d'intensité que pour le second. Les intensités deviennent à peu près égales près de la raie du sodium, où elles atteignent en outre leur

maximum; à partir de ce point, les intensités décroissent plus rapidement pour l'œil gauche que pour le droit jusqu'au vert-bleuâtre, puis, après une zone d'intensité égale, les couleurs deviennent un peu plus lumineuses pour l'œil gauche. Pour la saturation, les rapports sont inverses. A côté d'une petite différence en faveur de l'œil droit dans la partie chaude du spectre, nous trouvons pour cet œil, à partir du vert-bleuâtre, une saturation rapidement croissante et atteignant vers la raie du strontium le double de la saturation pour l'œil gauche. Le plus inattendu, toutefois, c'est la différence du ton, en vertu de laquelle le jaune pur de l'œil droit, en λ 0,589, paraît orangé à l'œil gauche, tandis que le jaune pur de l'œil gauche se trouve près de λ 0,577.

La manière dont le ton se comporte dans la partie chaude du spectre de l'œil gauche, comparativement au spectre de l'œil droit, se laisse caractériser brièvement en disant que, pour l'œil gauche, le côté chaud du spectre est déplacé vers le côté froid, le maximum du déplacement se trouvant près de la raie Na.

Le spectre individuel de l'œil gauche montre, dans la comparaison des couleurs composées avec les couleurs spectrales, sous le rapport des proportions requises des composantes, un caractère diamétralement opposé à celui qui existe en cas de sens chromatique faible, caractère qui se trouve confirmé aussi dans la sensibilité aux différences de vert et de jaune.

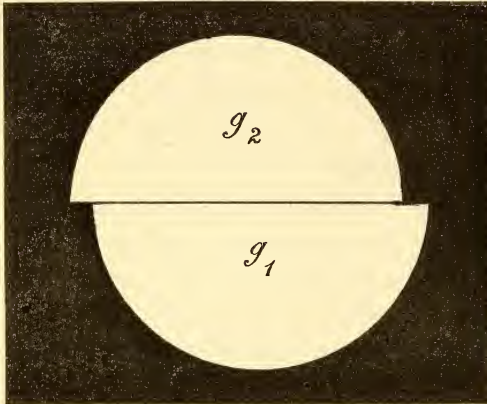
b. *La situation du jaune dans le spectre.* Des quatre couleurs simples de Leonard de Vinci, le jaune, qui ne forme dans le spectre qu'une bande étroite, à la limite du rouge et du vert, est la plus nettement caractérisée. Aussi la longueur d'onde, qui y correspond, se laisse-t-elle déterminer avec une exactitude suffisante. Différentes méthodes ont été essayées et comparées entre elles:

1. Spectroscope avec oculaire, l'œil suivant les couleurs qui apparaissent dans la fente oculaire quand on met la fente lumineuse.

2. Spectroscope sans oculaire, l'œil, appliqué à la fente ocu-

laire, suivant les changements de couleur que présente, lors du mouvement de la fente lumineuse, le demi-cercle inférieur (fig. 4 g_1).

Fig. 4.



3. Comme 2, sauf que le jaune g_1 de la fente mobile est comparé à un jaune g_2 , librement choisi, d'une des fentes couplées.

Nous avons, en général, donné la préférence à la méthode 1; 3 est plus compliquée, sans être beaucoup plus exacte; 1 est moins exacte

que 2. La méthode 3 a toutefois servi à examiner jusqu'à quel point l'intensité, qui pouvait être modifiée en sens opposé pour les deux demi-cercles, a de l'influence ¹⁾. La méthode 1 trouve son application lorsque la source lumineuse est faible.

Quand on veut déterminer la situation du jaune, il importe surtout que la rétine soit à l'état neutre. On doit préluder à la détermination par un court séjour dans les ténèbres, ou dans une chambre grise, ne recevant que la lumière d'un ciel couvert, tamisée par du verre blanc dépoli. Toute lumière étrangère, notamment celle de la flamme de gaz qui fournit le spectre, doit être soigneusement exclue de la chambre. Le soir, travaillant à la lumière artificielle, on amène une teinte fausse (trop rouge).

L'état neutre obtenu, on montre dans le spectroscope le jaune moyen (environ $\lambda 0.581 \mu$). Pour beaucoup de personnes ce jaune est du jaune pur, d'autres le disent verdâtre au rougeâtre;

1) L'influence de l'intensité a été trouvée faible: un jaune gai ne s'obtient qu'à une intensité assez grande; quand elle est faible, le ton devient gris, sans changement de couleur proprement dit; en cas d'intensité grande, la limite au côté vert devient moins tranchée.

en imprimant de petits mouvements lents à droite et à gauche, d'une amplitude de plus en plus réduite, toutes finissent par trouver les limites où la teinte tire un peu sur le rouge ou sur le vert, et entre ces limites elles fixent leur jaune. Si alors, après une demi-minute de repos, elles déclarent la couleur bonne, leur détermination est admise. Il est remarquable avec quelle force, durant le mouvement, le contraste se fait sentir, non-seulement vis-à-vis d'un jaune de comparaison, comme dans la méthode 3, jaune qui incline alors alternativement au vert et à l'orangé, mais aussi comme changement de la couleur — jugée seule, en elle-même. Si elle est verdâtre, et qu'on tourne jusqu'au jaune vrai, elle prend une teinte orangée, pour ne faire place au jaune qu'après un instant d'attente; réciproquement, elle prend une teinte verte, lorsque primitivement elle inclinait à l'orangé. C'est un point auquel il faut faire attention, pour amener la teinte exacte. L'essentiel est: tourner lentement et, après quelques instants de repos ou de rafraîchissement au verre dépoli, contrôler.

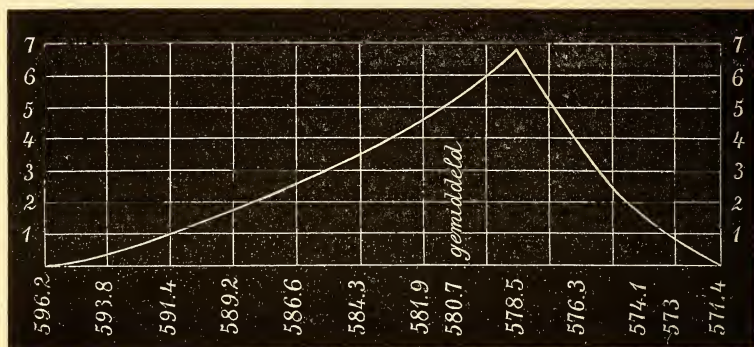
Obtenues de cette manière, les déterminations ne donnent qu'un faible écart à la moyenne. Pour moi, dans différentes séries, il était de λ 0,0002 à λ 0,0009; pour M. Engelmann, de λ 0,0004 à λ 0,0008; pour d'autres, il n'était guère plus fort. Les moyennes relatives à des jours différents présentent des écarts un peu plus grands, évidemment parce qu'à des jours différents la rétine n'atteint pas le même degré de neutralité. Ces moyennes ne variaient toutefois pour moi que de λ 0,5885 à λ 0,5903, pour M. Engelmann de λ 0,5795 à λ 0,5812, ne s'éloignant donc que de λ 0,0012 à λ 0,0013 de la moyenne générale, de sorte que, pour l'objet que nous avons en vue, elles étaient parfaitement suffisantes.

Or, chez la plupart des observateurs moins exercés, l'erreur qui affecte les déterminations n'atteint pas des proportions beaucoup plus fortes.

La détermination a été faite, de la manière indiquée, sur 111 yeux, appartenant à 76 personnes. Pour la longueur d'onde

la plus petite on a trouvé λ 0,572, pour la plus grande λ 0,594, moyenne λ 0,582.

Fig. 5.



La fig. 5, ci-dessus, donne un aperçu des résultats. Les abscisses marquent les longueurs d'onde, les ordonnées le nombre des cas; le maximum de ce nombre correspond à λ 0,579, tandis que la longueur d'onde moyenne est = λ 0,5821. Evidemment tous ces cas forment une seule catégorie. Rappelons que chez M. Sulzer le jaune a été trouvé pour l'œil droit en λ 0,589, pour l'œil gauche en λ 0,577, — donc, pour l'un et l'autre, à peu de distance des limites respectives de la courbe.

c. *Relation entre la situation du jaune et la proportion de Tl:Li, x:y.* Après que M. Sulzer eut obtenu les résultats ci-dessus mentionnés (voir *a*, p. 318), la situation du jaune fut déterminée aussi dans des cas de sens chromatique égal des deux yeux, parce qu'il était à croire que, dans ces cas également, la proportion $x:y$ serait en connexion avec la situation du jaune. Cette présomption fut immédiatement confirmée par la détermination de la situation du jaune chez quelques personnes pour qui le rapport $x:y$ nous était déjà connu de date antérieure (v. p. 306). C'est ainsi que

W. . . .	pour Li 69 : Tl 31. ,	avait le jaune en λ	0.5911
K. . . .	" " 69 : " 31.	" " " " "	0.5910
D. . . .	" " 70.2 " 29.8	" " " " "	0.5892
D. . . .	" " 71.7 " 28.3	" " " " "	0.588
E. . . .	" " 74.3 " 25.7	" " " " "	0.5797
E. . . .	" " 74.8 " 25.2	" " " " "	0.5764
N. T. .	" " 77.1 " 22.9	" " " " "	0.5761
H. . . .	" " 77.8 " 22.2	" " " " "	0.572

Plus tard, les deux mêmes déterminations ont encore été faites, dans une seule et même séance, chez 8 autres personnes, ce qui nous a donné :

N O M.	I			II	III			IV	
	Li	Tl = Na'		Jaune λ	Li	Tl = Jaune		40 Na = Li	= Tl
S.	69.3	30.7	25.9	0.590	71.1	28.9	23.9	70	19.2
H.	70.5	29.5	24.5	0.587	70	30	24	57	29.2
V. L. . .	71.1	28.9	24.2	0.5845	68.3	31.7	22.6	45	25.5
H.	71.9	28.1	24.9	0.584	67.7	32.7	27.6	52.7	15.3
F. E. . .	73	27	22.4	0.586	69	31	24.3	46	9.4
P. E. . .	73.8	26.2	23	0.5825	69.1	30.9	26.6	67.5	16
H.	75	24.8	21.1	0.585	71.8	28.2	22.9	?	13
D. K. . .	76.3	23.7	23.7	0.583	72	28	23.4	29.7	12.7

Les colonnes I et II confirment de nouveau la connexion du rapport $x : y$, qui entre dans l'équation de Na, avec la situation du jaune. A première vue, une pareille connexion semble nécessaire. Plus le jaune se porte vers le côté du vert, plus Na se rapprochera de l'orangé et moins il faudra de Tl dans l'équation de Na. La relation, toutefois, n'a pas ce degré de simplicité. Si, la sensation de Na changeant, celles de Tl et de Li restaient les mêmes, le raisonnement serait exact. Mais il n'y a pas à compter sur cette constance. Puisque, comme l'a trouvé M. Sulzer, le changement de place du jaune entraîne celui du vert, la couleur de Tl, qui est située entre le jaune et le vert, ne restera

pas non plus liée à son siège, et un déplacement de Li, dans lequel changera assez rapidement, sinon la couleur, au moins l'intensité, est également à prévoir, lorsque le jaune simple ne coïncide pas avec Na. Or, de ces déplacements doivent résulter des changements dans la relation, lesquels effectivement ne font pas défaut dans les tableaux (p. 327).

Si maintenant nous formons l'équation du jaune, c'est-à-dire, $Tl \subset Li = \text{jaune}$, — le résultat ne manque pas d'intérêt. Il est manifeste, en effet, que le rapport $x : y$ approche alors pour tous les yeux de celui où le jaune coïncide sensiblement avec Na, c'est-à-dire, de Tl 30 : 70. C'est ce que nous voyons chez M. Sulzer, qui dans l'équation de Na a pour son œil droit 31 Tl, pour son œil gauche seulement 21, tandis que dans l'équation du jaune, comme le montrent les courbes (fig. 3), il obtient pour son œil droit (le jaune en λ 0,588) 33,5 Tl, pour son œil gauche (le jaune en λ 0,577) 33,2 Tl. — Les courbes relatives à Donders et à Engelmann apprennent la même chose. Pour Na, les quantités de Tl sont chez eux respectivement = 29 et 26; pour leur jaune respectif (λ 0,589 chez D., 0,581 chez E.), elles sont = 29 et 30: la différence est donc réduite à 1. Des expériences directes, avec observations alternatives, dans des circonstances égales, ont donné, pour les moyennes de 5 déterminations:

	$Tl \subset Li$	jaune en	$Tl \subset Li = \text{jaune}$
Donders . .	29,71 70,29 = Na	0,589	29,71 70,29 = „
Engelmann.	25,75 74,25 = Na	0,581	30 70 = „

Ainsi qu'il résulte de ces chiffres, dans l'équation Na d'E. le mélange est, pour mon œil, vert comparativement au jaune spectral de Na, et dans son équation du jaune le mélange est pour moi jaune, ou même, à côté de la couleur spectrale pour moi verte, jaune d'or; tandis qu'E., dans mes équations de Na et du jaune (égales l'une à l'autre), voit le mélange également en jaune, la couleur spectrale juxtaposée en orangé.

Le même témoignage est rendu par les observations (col. III

comparée à col. I) du second tableau de la page 327, observations qui peuvent être regardées comme très exactes. On voit qu'ici, dans les équations de Na, les proportions varient (la situation du jaune allant de λ 0,59 à λ 0,5825) de 30,7 : 69,3 à 23,7 : 76,3, tandis que dans les équations du jaune (à part H., qui donne 32,7), elles n'oscillent qu'entre 31,7 : 68,3 et 28 : 72, et ne s'éloignent donc pas trop de 30 Tl, proportion qui est à peu près atteinte là où le jaune coïncide sensiblement avec Na.

Ce résultat est intéressant en ce qu'il rend compte, au moins partiellement, de ce fait inattendu : qu'en premier lieu M. Sulzer, chez qui Na était orangé pour l'un des yeux et jaune pour l'autre, voyait par l'un et l'autre dans des teintes sensiblement égales les pigments jaunes opaques, et qu'ensuite, dans mon cercle de couleurs pigmentaires, formé de bandes rayonnantes de différences également perceptibles, tous, sans exception, indiquaient la même bande comme jaune le plus parfait, n'importe où ils indiquaient leur jaune dans le spectre. De cela, dis-je, les résultats obtenus rendent compte : en effet, les pigments en question contiennent relativement peu de jaune spectral, mais beaucoup d'un jaune formé par des mélanges de couleurs verdâtres et rougeâtres : or, pour ces mélanges, tous les yeux ont, comme le montre le tableau, à peu près la même couleur, quelques-uns même (H. et D. K.) une couleur rougeâtre compensatrice.

e. Les plus petites différences perceptibles du
jaune et des couleurs contiguës, pour le
sens chromatique normal et anormal.

Ainsi que je l'ai déjà dit incidemment ci-dessus (p. 317), le coefficient Li : Tl de la *seconde* catégorie n'est *pas* en rapport avec la situation du jaune. Sur le cercle chromatique, les personnes qui appartiennent à cette catégorie indiquent comme jaune la même bande qu'indiquent celles de la première. Et comme jaune spectral, toutes, à une seule près (qui chercha son jaune en Tl), choisirent le jaune au voisinage de D. L'écart m_1 est toutefois plus grand

chez elles, et les déterminations moyennes faites à des jours différents présentent aussi des divergences plus notables. C'est ainsi que chez B., étudiant en médecine, qui, nonobstant son équation $\text{Li } 46,7 + \text{Ti } 53,3 = \text{Na}$, possède un sens chromatique assez parfait, j'ai trouvé, à des jours différents, de $\lambda 0,595$ à $\lambda 0,583$, en moyenne $\lambda 0,590$, et dans un même jour, pour une série de déterminations, $m_1 = \lambda 0,0022$.

Tout cela concerne la détermination libre du jaune pur. Une autre détermination, dont nous allons maintenant nous occuper, est celle de la plus petite différence perceptible. M. Mandelstamm ¹⁾ et M. Dobrowolsky ²⁾ l'ont déterminée chacun pour soi et ont trouvé, en fractions des longueurs d'onde respectives, pour

	Mandelstamm.	Dobrowolsky.
C	1 : 106	1 : 248
entre C et D		1 : 331
D	1 : 465	1 : 772
entre D et E	1 : 139	1 : 246
E	1 : 214	1 : 340
entre E et F	1 : 400	1 : 615
F	1 : 409	1 : 740
G	1 : 270	1 : 429
entre G et H		1 : 320.

Comme on le voit, le second a obtenu des valeurs beaucoup plus petites que le premier; mais, dans leurs rapports, elles s'accordent pourtant assez bien. Tous deux trouvent la plus petite en D et en F. Pour obtenir les différences, il se servaient des plaques ophthalmométriques, amenées de leur propre main sous l'angle pour lequel ils croyaient constater une différence de couleur. Mon spectroscope se prêtait admirablement à ce genre de déterminations. La couleur fixe de comparaison (soit Na, soit le jaune simple) était amenée avec la fente simple et avec l'une

¹⁾ *Archiv f. Ophth.*, XVIII, 2, p. 399.

²⁾ Voir *Ibid.*, XVIII, 1, p. 72, où l'on trouve aussi les chiffres corrigés de M. Mandelstamm. La détermination de B, de l'exactitude de laquelle M. Dobrowolsky lui-même doute, a été omise.

des fentes couplées, et celle-ci, à l'aide d'une vis micrométrique, pouvait être déplacée (changement de couleur) et, à l'aide d'une autre vis, rétrécie ou élargie (changement d'intensité). Nous suivions, du reste, la méthode des cas exacts et inexacts, déterminant le minimum, pour lequel une différence était reconnue, et le maximum, pour lequel elle ne l'était pas, et prenant la moyenne ¹⁾. Les différences sur lesquelles on avait à se prononcer étaient produites par une main étrangère, qui en même temps changeait les intensités: l'observateur avait alors à égaliser d'abord lui-même les intensités, et à juger ensuite la différence de couleur produite, — l'influence de l'intensité sur le jugement ne se laissant pas éliminer lorsque l'observateur lui-même produit aussi la différence de couleur, ce qui d'ailleurs a l'inconvénient de faire entrer en jeu le contraste (voir p. 325). Par cette méthode, j'ai obtenu, à des jours différents, pour la plus petite différence perceptible, λ 0,0004 à λ 0,0006 ²⁾. Dans des expériences comparatives avec M. Straub, nous la déterminâmes tous les deux pour λ 0,589 et pour λ 0,581, c'est-à-dire, pour son jaune simple et pour le mien, et ces expériences révélèrent que M. Straub était plus sensible aux différences de ce dernier, moi, à celles du premier. Il y a donc lieu d'admettre qu'on est le plus sensible aux changements du jaune. M. Mandelstamm et M. Dobrowsky ont également, comme nous l'avons vu, trouvé la plus petite différence perceptible en D, c'est-à-dire, tout au moins au voisinage du jaune simple; puis un second minimum en F, dans le bleu simple ou tout près. Il n'y a rien de surprenant à ce que la plus grande sensibilité aux différences se rencontre précisément dans les points critiques, où les couleurs simples passent des deux côtés à des couleurs opposées entre elles. M. König et M. Dieterici viennent aussi de trouver dans le bleu un minimum de l'erreur m_2 ,

1) Voir: G. E. Müller, *Zur Grundlegung der Psychophysik*, 1881, p. 63.

2) Pour apprécier convenablement les rapides changements de couleur dans le jaune et ailleurs, il faut, si la source lumineuse est forte, que la fente soit étroite: avec une fente plus large, les différences perceptibles se distribuent aussi sur les couleurs voisines.

tandis que le second minimum a été trouvé par M. König près de D, par M. Dieterici à une certaine distance de D, savoir, à environ λ 0,570. Est-ce que, pour M. Dieterici, le jaune simple ne serait pas déplacé dans cette direction? — Au reste, m_2 ne donne pas la mesure exacte de la plus petite différence perceptible.

De même que l'appréciation du jaune est imparfaite chez les sujets appartenant à la seconde catégorie, de même leur sensibilité aux petites différences a diminué, le sens chromatique fut-il d'ailleurs à peine affaibli. En voici des exemples:

1. B. étudiant en médecine. Cherchant des personnes de la seconde catégorie, je leur donnais à déchiffrer les tableaux anisochromatiques de Stilling, et il me sembla que, sous ce rapport, B. le cédait un peu aux sujets à vue normale. D'accord avec cette impression, l'équation du Na exigea Tl 53,3: Li 46,7. Pourtant, il fut reconnu plus tard que B. pouvait déchiffrer tous les tableaux de Stilling (seconde édition), que pareillement dans les expériences de Holmgren il témoignait à peine de quelque affaiblissement du sens chromatique, et qu'avec les doubles prismes liquides, qui donnent des mélanges de jaune et de vert, il ne le cédait que peu ou point à moi-même. Aussi il s'estime en possession d'un sens chromatique excellent. Néanmoins avec les couleurs spectrales, par la méthode qui vient d'être décrite, la plus petite différence perceptible était chez lui beaucoup plus grande que chez les sujets normaux. Tandis que son jaune fut trouvé en λ 0,5902, la plus petite différence perceptible s'élevait pour lui à λ 0,0013, pour moi, déterminée à la même occasion, seulement à 0,00051.

2. Un cas analogue a été fourni par l'étudiant en médecine V. D. Avec quelque effort, il déchiffre tous les tableaux de Stilling, mais il sait que, surtout à la lumière du soir, il ne distingue pas aussi facilement que d'autres le vert et le jaune. L'équation Tl 51,6 \circ Li 48,4 = Na 29,5 le classe dans la seconde catégorie. Pour jaune simple, il indique λ 0,5906; 0,5926 lui est trop rouge, 0,589 trop vert. L'erreur moyenne m_1 commise en cherchant à égaliser parfaitement les deux couleurs, était de λ 0,0003. La plus petite différence perceptible de son jaune, d'après la méthode des cas exacts et inexacts, s'élevait à 12,5 divisions de l'échelle, tandis que pour moi, qui la déterminais alternativement avec lui pour mon propre jaune, elle n'était que de 4,8.

3. La plus petite différence perceptible était beaucoup plus grande chez S., étudiant en médecine, qui avait trouvé pour équation Tl 48,7 \circ Li 51,3 = Na 26,8, mais qui ne déchiffrait les tableaux de Stilling que difficilement et partiellement, et dont la faiblesse du sens chromatique s'était révélée tant dans les expériences de Holmgren que dans celles avec les prismes liquides.

Dans le cercle chromatique il indique la couleur juste, mais parmi les couleurs spectrales son choix est incertain et oscille entre λ 0,5736 et λ 0,543, moyenne λ 0,555.

Comparée à λ 0,5892 Na, il trouve λ 0,596 exactement pareille, mais λ 0,6, à intensité égale, décidément rougeâtre et λ 0,589, par contraste, tirant sur le vert; λ 0,584 lui paraît tout à fait semblable à Na, λ 0,573 légèrement verdâtre, 0,55 plus verte et plus pâle et à côté, par contraste, λ 589 maintenant rougeâtre.

Sur les différences perceptibles l'intensité lumineuse a une grande influence. Avec une fente large de 0^{mm},15, λ 0,589 est jaune, λ 0,58 déjà verdâtre, λ 0,578 décidément verte et à côté, par contraste, λ 0,589 de nouveau rougeâtre; avec une fente large de 0^{mm},62, λ 0,578 est encore entièrement semblable à λ 0,589, et λ 0,552 seulement devient indubitablement verte et pâle.

L'influence de l'intensité, manifestement très grande dans ce dernier cas, ne manque pas non plus dans celui du sens chromatique normal, où, quand l'intensité est grande, le jaune s'étend aux dépens du vert (Chodin). Du côté du rouge, que le sens chromatique soit faible ou normal, l'influence de l'intensité est beaucoup moindre.

Il ne faut d'ailleurs pas perdre de vue que les différences d'intensité, sans différence de longueur d'onde, sont plus aisément interprétées comme différences de couleur lorsque le sens chromatique est très faible, que lorsqu'il est normal: pour obtenir des résultats nets, dans la comparaison de longueurs d'onde différentes, on ne devra donc faire juger de la couleur qu'après avoir rendu les intensités égales. Et même alors, une différence de saturation pourrait encore être en jeu. Dans les cas tels que celui de S., il y a donc bien lieu de soupçonner qu'il existe quelque chose de plus qu'une simple faiblesse du sens polychromatique, qu'on est en présence d'un système purement dichromatique. Chez S., toutefois, on eut la preuve du contraire, en reconnaissant que d'un mélange de rouge spectral et de bleu on ne pouvait obtenir du blanc ou du gris neutre, mais seulement du pourpre et du rose, et que dans le spectre la ligne neutre faisait défaut.

L'aveugle pour le rouge, à système dichromatique pur, désigne

encore, lui aussi, son jaune dans le spectre, — parfois même avec un écart moyen faible :

C'est ainsi que

4. S., étudiant en médecine, complètement aveugle pour le rouge, arrivait : en cas d'intensité modérée (fente de 0^{mm},2), à la moyenne λ 0,5763, avec $m_1 = 0,005$;

en cas d'intensité plus grande (fente de 0^{mm},8), à la moyenne λ 0,5794, avec $m_1 = 0,005$.

Partant de λ 0,589 comme couleur de comparaison, il trouvait :

λ 0,596 (à intensité égale) exactement pareille,

" 0,6 de couleur un peu plus vigoureuse,

" 0,62 plus éclatante,

" 0,63 à λ 0,65 de plus en plus rouge.

Lorsque les comparaisons avaient lieu pour des intensités beaucoup plus grandes ou plus petites, les différences étaient moins bien saisies.

Partant de nouveau de λ 0,589, et y comparant des longueurs d'onde plus petites, il déclarait :

λ 0,584 exactement pareille.

" 0,573 un peu plus pâle: 0,589 a plus d'éclat.

" 0,56 plus pâle.

" 0,589 est immédiatement reconnue pareille.

" 0,56 est plus pâle.

" 0,54 à 0,52 de plus en plus pâle.

Pour de grandes intensités, les différences de saturation deviennent moins sensibles.

L'aveugle pour le vert ne distingue même plus guère d'après la saturation. Exemple :

5. V. d. V. (étudiant en médecine), aveugle pour le vert, à système purement dichromatique.

Partant de λ 0,589, des comparaisons sont faites avec des longueurs d'onde plus grandes, jusqu'à λ 0,63, 0,66, 0,69 : à intensité égale, λ 0,589 (jaune typique) et 0,69 (rouge typique) sont exactement pareilles, — λ 0,69, en cas d'intensité faible, peut-être un peu "plus intense de couleur" (plus saturée).

La comparaison étant faite avec des longueurs d'onde plus petites, λ 0,584 est encore exactement pareille à λ 0,59, mais, à partir de λ 0,578, la couleur devient un peu plus pâle, et en λ 0,52 il parle de blanc sale, à côté duquel λ 0,589 lui paraît, par contraste, rouge. Sa ligne neutre se trouve vers λ 0,497.

Malgré cela, au spectroscope, il savait assez bien désigner le jaune. Dans 40 déterminations, il choisit en moyenne λ 0,594, comme maximum 0,607, comme minimum 0,587, avec la valeur $m_1 = \lambda$ 0,0053 pour écart moyen

à la moyenne générale. Dans ces déterminations il était guidé par l'intensité. Lorsque l'indication de celle-ci faisait défaut, comme dans l'établissement de l'équation $\text{Li} \odot \text{Tl} = \text{Na}$, il trouvait après avoir réglé Na d'après l'intensité, tout mélange également bon.

Les cas ci-dessus forment une série, dans laquelle le discernement des couleurs, appartenant à la zone chaude du spectre, se perd de plus en plus.

f. Le rapport des intensités des mélanges
à la somme de leurs composantes.

(Avec le concours du Dr Sulzer).

Dans les comparaisons des mélanges de $\text{Li} \odot \text{Tl}$ avec Na (ou avec le jaune), nous ne déterminions pas seulement la proportion de Li : Tl ($x : y$), mais en outre l'intensité du Na (ou du jaune) obtenu. La question se présentait maintenant de savoir quel est le rapport des intensités de ce mélange $\text{J Li} \odot \text{Tl}$ à celles des composantes J Li et J Tl , et plus spécialement à la somme des composantes $\text{J Li} + \text{J Tl}$. Il s'agissait de déterminer le coefficient

$$\text{J Li} \odot \text{Tl} : \text{J Li} + \text{J Tl}.$$

Les équations mêmes nous donnent déjà immédiatement les intensités du mélange, sous la forme $\text{J Li} \odot \text{Tl} = \text{Q Na}$. Pour trouver le coefficient, il ne reste donc qu'à calculer aussi J Li et J Tl en J Na . A cet effet, nous avons fait usage des relations

$$10 \text{ Na} = x' \text{ Tl} \text{ et}$$

$$10 \text{ Na} = y' \text{ Li},$$

déjà déterminées antérieurement pour les personnes ici mentionnées.

Dans le tableau suivant on trouve les résultats obtenus de cette manière, pour des cas de sens chromatique normal.

a, b, c sont les quantités, tirées de mon grand tableau ¹⁾;

¹⁾ *Onderzoekingen, gedaan in het physiol. labor. der Utrechtsche Hoogeschool, t. VIII, bl. 178.*

d , e , f les intensités correspondantes; f trouvée, d et e calculées en Na;

g la somme de d et e .

La dernière colonne donne le coefficient cherché.

Nos. d'ordre.	N O M S.	a	b	c	d	e	f	g	h	
		Q Li \subset Q Tl =		Q Na'	J Li	J Tl	J Li \subset Tl	J Li + J Tl	Coef.	
1.	Ka.....	69	31	27.7	20.8	17.5	27.7	38.3	0.72	
2.	Wa.....	68.9	31.1	24.8	19.5	24.5	24.8	44	0.564	
3.	Ou.....	69	31	23.5	14.1	19.2	23.5	33.3	0.706	
4.	Su O.D.....	69.5	30.5	23.0	20.7	23.6	23.	44.3	0.52	
5.	Do 1).....	70.2	29.8	24.6	12.5 (?)	14.3	24.6	26.8	0.91 (?)	
„	Déterm. postérieure	69.6	30.4	24.9	17.8	14.5	24.9	32.3	0.77	
6.	Cr.....	71.	29.	22.	20	17.8	22	37.8	0.582	
7.	v. L.....	71.1	28.9	26.2	17.7	20.8	26.2	38.5	0.68	
8.	v. B.....	71.2	28.8	23.2	14.8	13.5	23.2	28.3	0.82	
9.	Hu.....	71.7	28.3	19.6	17.7	11.8	19.6	29.5	0.664	
10.	Ei.....	73	27.	21.4	15.2	18.8	21.4	34	0.63	
11.	En.....	74.3	25.7	21.6	17.4	13.	21.6	30.4	0.71	
„	Determ. postérieure	75.4	24.6	22.3	16.7	18.2	22.3	34.9	0.64	
12.	Tr.....	77.1	22.9	19.7	14.6	12.2	19.7	26.8	0.735	
13.	Be.....	77.1	22.9	19.3	15.5	10.5	19.3	26	0.742	
14.	Su..... O.S.	80.2	19.8	20.	17.3	13.9	20.	31.2	0.64	
	Moyenne.....	72.4	27.	22.6					0.687	
	Moyenne {	Nos. 1—7	69.8	30.2	24.6					0.649
			Nos. 8—14	74.9	25.1	20.7				

Ce tableau nous apprend que l'intensité du mélange (colonne c ou f) est toujours plus petite que la somme des intensités des composantes (g): le coefficient varie de 0,52 à 0,82 et est en moyenne 0,678.

Les cas sont rangés d'après la quantité de Li (a) dans l'équation de Na: or, évidemment, à mesure que Li croît, l'intensité

1) Pour le calcul des moyennes il n'a pas été tenu compte de la première détermination de Do, dans laquelle d a manifestement une valeur inexacte, ni de la seconde détermination de En.

du mélange (c) diminue. Cette influence se fait sentir aussi, bien que moins distinctement, dans le coefficient (h): pour les N^{os}. 1—7 il est en moyenne 0,649, pour les N^{os}. 8—14 en moyenne 0.706.

Au mode de calcul suivi pour obtenir J Li et J Tl (d et e), d'après les résultats trouvés antérieurement, chez les personnes mentionnées, pour $10 D = x' Tl$ et $10 D = y' Li$, on pourrait objecter que l'intensité absolue à laquelle la comparaison s'opère n'est pas sans influence sur le rapport des intensités de Na à Li et à Tl. Nous résolûmes, en conséquence, de déterminer aussi directement les quantités Na sur les quantités Li et Tl trouvées en chaque cas. Cela eut lieu dans 9 cas. Les résultats sont consignés dans le tableau ci-après, sous les mêmes numéros — en tant que les mêmes personnes y figurent — que dans le tableau précédent:

a, *b*, *c* sont de nouveau les chiffres de l'équation de Na, qui pour ce tableau ont été redéterminés spécialement (d'où une légère différence avec les précédents), en même temps que

d, *e*, *f*, les intensités; — pour 6 et 10 toutes les déterminations ont eu lieu simultanément pour les deux tableaux.

No.	NOMS.	a.	b.	c.	d.	e.	f.	g.	h.	k.
		QLi > QTl = QNa'			JLi	JTl	JLi > Tl	JiL + JTi	Coeff.	Coefficient calculé du tableau précédent.
1.	Ka.	70.7	29.3	28.4	22.8	19.5	28.4	42.3	0.671	0.72
2.	Wa.	69	31	25.6	30.5	21.2	25.6	51.7	0.50	0.564
4.	Su. OD.	70.5	29.5	25.8	22.7	28.7	25.6	51.4	0.502	0.52
5.	Do.	69.7	30.3	23.9	14.8	17.8	23.9	32.6	0.73	0.77
6.	Er.	71	29	22	18.9	19.2	22.	38.1	0.577	0.582
7.	v. L.	71.1	28.9	27.	21.	22	27	43.	0.603	0.68
10.	Ei.	73.	27	21.4	19.6	24.	21.4	43.6	0.49	0.63
11.	En.	75.4	24.6	20.4	16.72	18.2	22.3	34.9	0.64	0.71
14.	Su. Os. .	80	20.	21.3	20.9	19.3	21.3	40.2	0.53	0.64
Moyenne. .		72.5	27.5	24.0					0.583	0.646

On voit que dans ce tableau le coefficient est, sans exception, encore plus petit que dans le précédent:

le maximum, ici 0,73 , est là 0,77
 „ minimum, „ 0.49 , „ „ 0,52
 la moyenne, „ 0,583, „ „ 0,687.

Dans les deux tableaux le plus grand coefficient appartient à Do, et les coefficients plus petits tombent aussi, en général, sur les mêmes personnes. En présence de cette constance des résultats, il ne peut être douteux que l'intensité du mélange de Li et de Tl ne le cède de beaucoup à la somme des intensités de Li et de Tl, pris séparément.

Ayant fait précédemment, de même qu'avec Na, les équations de $\text{Li} \subset \text{Tl}$ avec les autres couleurs spectrales S , situées entre Li et Tl (voir b , p. 311), nous avons pu déterminer le coefficient $J \text{ Li} \subset \text{Tl} : \text{Li} + J \text{ Tl}$ pour chaque couleur, de même que pour Na. Un exemple des résultats est donné par le tableau suivant, qui concerne mon œil droit:

a Couleur S . λ	b		c		d		e	f	g
	QLi	\subset Q ₁	QTl	= Q _s	J Li	J Tl	J Li Tl :	J Li +	J Tl Coeff.
0.6705 (Li)	100		0	100	100	0	100	100	1
0.660	99.5		0.5	70.2		1.1	70.2		
0.654	99		1.0	62.7	57.4	1.9	62.7	59.3	
0.642	98.2		1.8	38.1	37.1	3.6	38.1	40.7	0.936
0.633	96.6	0.3	3.4	27.7	27.8	6.5	27.7	34.3	0.808
0.610	87.6	1.15	12.4	20.7	16.7	10.3	20.7	27	0.767
0.590	70.7	1.7	29.9	23.9	14.4	19	23.9	33.4	0.716
0.5685	43.5	1.5	56.5	36	10.9	32	36	42.9	0.839
0.5495	20.7	0.1	79.3	59	8.2	60.4	59	68.6	0.86
0.542	3.8	1.4	96.2	78	1.7	77.8	78	79.5	0.981
0.535 (Tl)	0		100	100				100	1.000

La colonne a indique les longueurs d'onde des couleurs de comparaison, en commençant par Li λ 0,6705 et finissant par Tl λ 0,535;

Dans toutes les équations nous trouvons le coefficient < 1 , donc l'intensité du mélange plus petite que la somme des intensités des composantes. A une seule exception près (III), le plus petit coefficient correspond à $\lambda 0,589$, c'est-à-dire, comme chez moi, au jaune de sodium: en ce point, chez M. Waelchli et pour l'un des yeux de M. Sulzer, il devient même inférieur à $0,5$; le maximum, $0,716$, se trouve chez moi. Chez I, III et V les déterminations ont été faites deux fois, à des temps différents. Pour les deux yeux de M. Sulzer, elles eurent lieu le même jour, et plus tard on en fit encore d'autres, pour le seul œil droit: l'accord des deux déterminations sur l'œil droit est très satisfaisant. L'exactitude, est en général, plus grande qu'on n'eût pu le supposer en considérant que, des trois équations qui doivent fournir le coefficient, il n'y en a qu'une ($q \text{ Li} \supset q' \text{ Tl} = Q_s$) qui soit isochromatique, tandis que les deux autres ($q \text{ Li} = Q_s$ et $q' \text{ Tl} = Q_s$) sont hétérochromatiques. — Dans l'établissement d'une équation hétérochromatique il y a une apparence d'arbitraire. Il semble qu'on eût pu choisir tout aussi bien un rapport différent. Mais, si l'on modifie quelque peu l'intensité d'une des deux couleurs, on la déclare, sans hésiter, *positivement* trop foncée, ou *positivement* trop claire. Si l'on essaie de se rendre compte de ses sensations, on trouve l'une des couleurs de sa nature plus claire, l'autre plus sombre, par exemple, Na plus claire que Tl, et toutes les deux plus claires que Li. Dans la comparaison, la couleur claire a l'air d'être tempérée par un crêpe, — c'est ainsi qu'un jauné quasi voilé d'un crêpe devient semblable à un rouge clair, — et d'abord on est porté à évaluer trop bas l'impression lumineuse du premier. Pour bien juger, l'œil ne doit pas s'arrêter longtemps sur l'une des deux couleurs, il doit plutôt passer à intervalles égaux de l'une à l'autre, et parcourir aussi à différentes reprises, dans les deux sens, la zone limite entre les deux couleurs, zone où, par contraste, la différence d'intensité s'accuse le plus fortement. Que l'on se garde surtout des comparaisons par vision excentrique: on obtient alors des résultats tout différents, dont nous n'avons que faire en ce moment.

Pour lever tous les doutes, j'ai d'ailleurs, dans la plupart des cas, fait exécuter, outre les comparaisons ordinaires, d'autres comparaisons $J_{Li} = J_s$ et $J_{Tl} = J_s$, où l'intensité de s était positivement déclarée trop forte; or, même alors, le coefficient, au voisinage de D , restait toujours au-dessous de 1. Il ne devenait > 1 qu'à proximité de Tl et de Li , là où il approche déjà de l'unité dans les comparaisons ordinaires.

Disons encore qu'on faisait toujours deux séries entières d'observations, l'une ascendante, l'autre descendante, en augmentant leur nombre lorsqu'une grande exactitude était désirée; le coefficient était calculé pour chacune d'elles séparément et on prenait la moyenne des valeurs ainsi obtenues. Pour donner une idée nette des observations et des calculs, je communique ici, dans son ensemble, l'une des déterminations: (voir le tableau p. 342.)

Puisque le coefficient d'intensité du mélange dépasse à peine 0,5 chez Sulzer (œil droit) et chez beaucoup d'autres, l'intensité de l'une des composantes doit parfois être plus grande que celle du mélange. C'est effectivement ce que montrent les chiffres:

	J mélange	JTl	JLi
Pour Sulzer O. D. en λ 0,5892	24	27.1	28.5
O. S. "	22.1	22.9	23.9
plus tard O. S. "	21.3	19.3	20.9
Waelchli "	24.6	22.8	26.6
antérieurement "	25.6	21.2	30.5

Pour d'autres cela n'est pas le cas. Ainsi il a été trouvé par:

Donders en λ 0.5892	24.88	17.1
Kagenaar " " "	30.25	21.4

Ce résultat peut aussi être contrôlé d'une manière plus directe. Après avoir réalisé l'équation de Na , on ferme la fente de Li et on amène la fente simple sur Tl , en rendant son intensité égale à celle de la fente de Tl . Les deux fentes Tl égales, on ouvre la fente du Li . La première impression de Sulzer, œil

λ	Quantités de				Intensités de						Coefficients de											
	TI	Li	Moy. TI	m_1	$TI \subset Li$	TI	$< TI$	Li	$< Li$	$TI + Li$	$< TI + Li$	$\frac{TI \subset Li}{TI + Li}$	Moy.	m_1	$\frac{TI \subset Li}{< TI + < Li}$	Moy.	m_1					
0.660	1.0	99.0			73.5	6.4	83.2	7.2	6.5	73.8	62.4	89.6	81.0	68.9	0.823	0.840	0.8315	0.0085	0.976			
	1.0	99.0			67.3																	
0.633	2.9	97.1			37.1	5.5	23.0		6.9	28.5	28.1	37.5	38.5	35.0	0.963		0.838					
	2.9	97.1			29.3	9.0	28.5		6.9	28.5	28.1	37.5	38.5	35.0	0.781		0.838					
	3.0	97	2.88	0.072	26.2	10.0	26.0		6.0	26.0	22.6	36.0	28.6	28.6	0.728		0.917	0.864			0.027	
0.610	2.9	97.1			28.7	9.8	32.0		6.9	32.0	26.9	41.8	33.8	33.8	0.687		0.850					
	2.7	97.3			23.2	8.7	23.3		5.5	23.3	21.8	32.0	27.3	27.3	0.725		0.849					
0.5892	12.7	87.3	12.3	0.4	29.8	15.9	24.1		11.0	24.0	22.4	40.0	37.3	33.4	0.745		0.769	0.0245				
	11.9	88.1			29.6	13.3	24.0		11.0	24.0	22.4	37.3	37.3	33.4	0.794		0.794		0.886			
0.5884	29.5	70.5			24.0	27.1	28.5		28.5	28.5	16.1	55.6	55.6	35.5	0.432		0.503	0.047				
	29.8	70.2	29.5	0.2	26.3	30.1	19.5		19.4	19.5	16.1	49.5	49.5	35.5	0.528		0.503	0.047		0.741	0.733	0.0085
0.5685	29.2	70.8			27.0	29.0	20.1		20.5	20.1	16.8	49.1	49.1	87.3	0.549		0.549		0.724			
	34.0	66.0	32.1	1.9	23.7	31.6	19.9		21.9	19.9	18.1	51.5	49.0	40.6	0.460		0.504	0.044		0.662		
0.5495	30.2	69.8			26.9	28.1	20.9		20.9	20.9	18.1	49.0	49.0	40.6	0.549		0.504		0.662			
	57.2	42.8			37.9	44.4	19.0		27.4	19.0	8.9	60.4	60.4	36.3	0.626		0.673	0.032		0.998	0.888	0.110
0.544	57.1	42.9	57.43	0.38	36.2	36.0	14.9		14.9	14.9	8.9	50.9	50.9	36.3	0.711		0.673	0.032		0.998	0.888	0.110
	58.0	42.0			35.8	31.4	21.0		28.5	21.0	17.6	52.4	52.4	45.1	0.638		0.638		0.777			
0.544	84.2	15.8	49.8	4.4	58.9	62.3	13.6		48.7	13.6	8	75.9	69.5	56.7	0.776		0.791	0.015		0.988		
	75.5	24.5			56.0	57.6	11.9		48.7	11.9	8	69.5	69.5	56.7	0.806		0.791	0.015		0.988		
0.544	91.1	8.9	91.2	0.1	79.3	82.1	3.7		68.5	3.7	4.8	85.8	101.5	73.3	0.924		0.896	0.028		1.2005		
	91.3	8.7			88.0	91.5	9.6		68.5	9.6	4.8	85.8	101.5	73.3	0.867		0.896	0.028		1.2005		

droit, fut que le mélange était plus rouge et plus clair que le Tl; mais, au bout de quelques secondes, le rouge disparut et la clarté tomba jusqu'à celle du Tl, et même au-dessous. C'est aussi ce que trouvèrent Dobberke et surtout Waelchli. Pour moi également, la couleur devint rougeâtre au moment de l'ouverture de la fente du Li, pour faire bientôt place à du jaune de Na, qui toutefois était et resta très décidément plus intense que le Tl, — en accord avec la valeur plus grande de mon coefficient d'intensité du mélange. Ce même résultat s'appliquait aussi à Kagenaar. Mais, chez celui-ci, il arrive que l'intensité de la composante Li surpasse celle du mélange, savoir, en λ 0,61, où la première est Li 26, la seconde S 25, et en λ 0,633, où les intensités sont respectivement Li 35,5 et S 31,5: chez Kagenaar, ainsi que nous l'avons vu plus haut, le rapport J Li : J Na est exceptionnellement grand. Les chiffres montrent que, chez Sulzer et Waelchli, la fente du Li doit aussi perdre quelquefois de son intensité par l'adjonction du Tl. La rapidité avec laquelle disparaît la prédominance de la couleur ajoutée en même temps que l'intensité du mélange diminue, est très frappante: le phénomène mérite une étude spéciale. — Les expériences n'ont pas seulement porté sur le rapport Li : Tl de l'équation de Na, mais aussi sur toutes les autres équations mentionnées dans les tableaux. Lorsque les quantités de Li, ajoutées au Tl, étaient plus petites, je pouvais encore, au moment même du mélange, en observer distinctement l'influence sur la couleur et sur l'intensité, mais, dès que cessait l'influence sur la couleur, celle exercée sur l'intensité devenait également douteuse. Chez d'autres aussi, les résultats répondirent, en général, à ce que les tableaux faisaient prévoir.

Ce qui vient d'être dit au sujet de l'intensité relative des mélanges de couleurs, concerne uniquement le sens chromatique normal. Dans le tableau suivant on trouve les résultats obtenus par Blonk et Snel, dont le premier a le sens chromatique diminué, le second, un sens chromatique très faible. De chacun d'eux

nous possédons deux séries d'observations, aussi détaillées que celles de Sulzer (tableau p. 342); mais il suffira de donner les résultats des équations exactes, ainsi que les moyennes

λ	Blonk.			Snel.		
	Série 1.	Série 2.	moy.	Série 1.	Série 2.	moy.
0.633	0.68	0.62	0.65	0.79	0.88	0.835
0.610	0.65	0.54	0.595	0.61	0.72	0.665
0.5895	0.49	0.61	0.55	0.93	0.85	0.89
0.5685	0.88	0.70	0.79	1.03	0.93	0.98
0.5495	1.00	0.90	0.95	0.92	0.86	0.89
0.542	0.98	1.01	0.995	0.89	0.97	0.93

On voit que, chez Blonk, les équations concordent assez bien avec celles du sens chromatique normal, les coefficients étant seulement, en général, un peu plus grands; mais chez Snel ces coefficients sont très irréguliers et se rapprochent beaucoup plus de l'unité. Ils forment ainsi la transition aux coefficients des aveugles pour le rouge et des aveugles pour le vert, lesquels diffèrent si peu de l'unité, que nous n'avons pas le droit d'admettre que les intensités des mélanges ne sont pas égales aux sommes des intensités des composantes. C'est ce qui ressort du tableau suivant, qui donne les coefficients d'une personne à sens chromatique normal et de cinq personnes à sens dichromatique: comme ces derniers ne distinguent pas les couleurs, on ne pouvait partir de S' , mais il fallait prendre, pour base des équations, des quantités déterminées de Tl et de Li. (Voir le tableau p. 345.)

Sur ce tableau, M. van Genderen Stort, à sens chromatique normal, est le seul chez qui le coefficient de $30 \subset 70$ Li soit beaucoup au-dessous de l'unité, savoir égal à 0.638, s'accordant en cela avec le mien et avec celui d'autres personnes à sens chromatique normal.

Chez les trois suivants, tous aveugles pour le rouge, la grandeur du coefficient n'a de signification que pour Li 90 et Li 95, parce que c'est seulement à partir de là que l'intensité du Li est un peu notable vis-à-vis de celle du Tl: or, pour ces proportions, les

		Tl \subset Li = S			Tl = S		Li = S		Coeff.
v. Genderen Stort.	normal.	90	10	34.1	90	33.9	10	2.4	0.944
		30	70	26.1	30	21.7	70	19.1	0.638
v. Elfrinkhof.....	aveugle pour le rouge.	90	10	67.0	90	67.4	10	0.8	0.982
		30	70	29.2	30	27.2	70	2.6	0.976
		10	90	14.5	10	11.8	90	3.5	0.947
		5	95	12.1	5	6.8	95	4.9	1.036
v. d. Weijde.....	"	5	95	11.06	5	7.62	95	3.94	0.957
Wenckebach.....	"	5	95	6.88	5	3.8	95	3.4	0.955
		5	95	7.98	5	4.26	95	3.3	1.06
v. d. Zijp.....	aveugle pour le vert.	90	10	40.4	90	30.7	10	2.3	1.224
		30	70	23.3	30	12.8	70	8.1	1.115
Klinkert.....	"	30	70	22.8	30	12.1	70	11.2	0.978

coefficients ne varient que de 0,947 à 1,036 (1,06 ?) et, par conséquent, oscillent autour de l'unité.

Chez les deux derniers, aveugles pour le vert, on n'a à considérer que les coefficients pour 70 Li \subset 30 Tl, combinaison à laquelle, chez les personnes à sens chromatique normal, correspond un coefficient d'environ 0,6, et ici, comme moyenne, un coefficient > 1 et pouvant donc, tout au moins, être regardé comme égal à 1.

Ce résultat, fourni par les aveugles pour les couleurs, se rattache probablement à l'égalité du caractère des deux couleurs Tl et Li, qui, chez eux, appartiennent toutes deux à la couleur chaude.

Après tout ce qui précède, on ne peut plus douter que, lorsque du rouge et du vert se neutralisent, l'intensité est notablement moindre que la somme des intensités de ces deux éléments.

Ce résultat m'a surpris.

Des expériences antérieures, faites avec M. Waelchli, nous avaient appris que le blanc, formé de jaune et d'indigo ou de

violet, surpassait de beaucoup la composante jaune et pouvait être estimé avoir une intensité égale à la somme des intensités du jaune et du violet. Avant nous, M. Weinhold ¹⁾, dans des expériences analogues, avait obtenu le même résultat, et M. Bruecke ²⁾ croyait également avoir reconnu que des couples de couleurs non spectrales (il le dit expressément pour le rouge et le bleu) forment un mélange dont l'intensité est égale à la somme des intensités des composantes.

Avant de discuter la signification du fait aujourd'hui bien constaté pour les mélanges de Tl et de Li, j'attendrai que j'aie exécuté, avec l'exactitude nécessaire, des comparaisons analogues pour les combinaisons des différentes couleurs spectrales, tant des couleurs simples adjacentes, que de celles qui sont plus éloignées l'une de l'autre, et qu'en outre l'influence des intensités ait été étudiée avec soin.

Provisoirement, j'ai déjà fait connaître ³⁾ que, tout comme cela a lieu pour les mélanges de rouge de Li et de vert de Tl, les intensités des mélanges de jaune de Na (D de Fraunhofer) et de vert-bleu (λ 0,503) sont moindres que la somme des intensités des composantes (Waelchli, Straub, Donders), tandis que, plus tard, nous avons trouvé que pour les mélanges de Na et de Li, le coefficient ne diffère que peu ou point de l'unité. Cela ne s'appliquait pas, toutefois, aux mélanges de rouge et de bleu ou d'indigo (Donders, Straub), mélanges dont la saturation reste toujours beaucoup au-dessous de celle du violet.

1) Poggendorff's *Annalen*, t. II, n. série., 1877, p. 631.

2) *Sitzber. K. Akad. der W.*, 1882, t. LXXXIV, part. 3, p. 440.

3) *Kon. Akad. v. Wetenschappen*, séance du 29 déc. 1883.

SUR LE CALCUL

DES OBSERVATIONS HORAIRES DE LA FORCE HORIZONTALE DU MAGNÉTISME TERRESTRE,

PAR

J. P. VAN DER STOK,

directeur de l'Observatoire de Batavia.

Le principal obstacle auquel on se heurte dans le calcul des données du magnétisme terrestre c'est que, outre les mouvements ordinaires, tels par exemple que les variations diurnes, il y en a manifestement encore d'autres, les soi-disant perturbations, qui viennent déranger le cours régulier de la grandeur observée: or, de ces derniers mouvements, en l'absence de toute théorie, et vu notre ignorance presque complète de la nature des phénomènes observés, il n'existait même pas, jusqu'ici, une définition claire.

Reconnaître les plus grandes de ces perturbations n'est pas difficile: elles sont, lorsqu'une violente éruption se produit dans l'atmosphère solaire, si fortement accusées, que sans définition rigoureuse, à la seule inspection superficielle, on peut constater la perturbation, mettre à part la période troublée pour en faire l'étude ultérieure, et exclure du calcul général les données qu'elle a fournies.

Là, toutefois, où se rencontrent de grandes perturbations, il est évident, même sans examen régulier des courbes photographiques, qu'il doit exister aussi des déviations plus petites, *de même nature*, et d'autant plus nombreuses qu'elles sont plus petites: or, la séparation de ces déviations ne peut se faire qu'à l'aide

d'une méthode *numérique* fondée sur une définition logique et précise. Plus cette méthode sera exacte, plus vite on pourra arriver à la connaissance des lois de ces perturbations, et comme la voie suivie jusqu'à présent n'a pas donné de résultats proportionnés au travail et à l'argent consacrés à l'étude du magnétisme terrestre, — de sorte que beaucoup d'observatoires s'abstiennent même de la réduction et de la publication régulières des données recueillies, — la condition de facilité et de rapidité d'emploi devra céder le pas, dans le choix de la méthode, à l'impérieuse exigence de l'exactitude.

Dans un Mémoire ¹⁾ présenté, au mois de mai dernier, à la Conférence polaire tenue à Vienne, mémoire qui a été imprimé, comme annexe, à la suite du Protocole de la Conférence, j'ai essayé de lever cette incertitude qui entravait le progrès de la science du magnétisme terrestre, en proposant une nouvelle définition et une méthode de calcul ayant cette définition pour base. J'avais, dans ce travail, donné le calcul complet des observations de la force horizontale pendant le mois d'octobre 1882 à Batavia; mais le temps m'avait manqué pour contrôler la méthode proposée de la seule manière réellement décisive, savoir, en composant synthétiquement quelques observations au moyen d'éléments arbitraires, pour retrouver ensuite par voie d'analyse, en partant de ces sommes, les composantes qu'on y avait fait entrer. Pourquoi la méthode suivie par Sabine devait conduire à des conclusions inexactes, et comment est née celle que je propose, ce sont là des points exposés avec détail dans le Mémoire en question: le présent travail a pour objet, en premier lieu, de faire l'épreuve de la méthode sur des données arbitrairement choisies, en second lieu, d'améliorer quelques-unes des corrections précédemment indiquées, enfin, de répondre à différentes observations et objections qui m'ont été obligeamment adressées. Tant la définition que la méthode deviendront claires par l'application qui va en

1) *Bulletin de la Commission polaire internationale*, 6^e livraison, St.-Pétersbourg, 1884.

être faite, de sorte que, à leur égard, je puis renvoyer au Mémoire précité.

Dans le tableau I on trouve, pour cinq jours successifs, des observations horaires artificiellement composées, de la manière dont je me figure composées les résultantes réellement observées. Ces cinq jours sont empruntés à mon travail sur la force horizontale en octobre 1882 à Batavia, et ils ne sont donc pas entièrement hypothétiques; pour mieux faire ressortir les difficultés, j'ai choisi des jours assez fortement troublés (22—26 oct.).

Comme on le voit, chaque observation est formée de *trois* composantes. En premier lieu, il y a les nombres fondamentaux, à changements *lents* et *continus*: ils expriment le mouvement que l'aiguille aimantée présenterait s'il n'y avait ni variation diurne, ni perturbations. Rien n'est connu au sujet de ce mouvement: M. Allan Broun pensait qu'il devait être, au moins en ce qui concerne la force horizontale, le même sur tout le globe, et des observations postérieures paraissent confirmer cette opinion; mais, faute de bonnes observations comparables, le sujet n'a pas encore été beaucoup étudié, et jusqu'ici on n'a découvert, dans le mouvement en question, ni ordre régulier, ni dépendance de quelque cause connue, cosmique ou terrestre.

La seconde composante est la mieux connue, c'est la variation diurne. Celle-ci, périodique sur un espace de 24 heures, est, pour la force horizontale, très grande à Batavia, moitié moindre à Pawlowsk. Pour le premier jour, ces variations sont inscrites dans le tableau telles qu'elles ont été trouvées à Batavia par deux mois d'observations (septembre et octobre); le second jour on a appliqué (la valeur de ces premières variations étant prise pour unité) une variation 0,75, le troisième jour une variation 1,25, le quatrième une variation 1,50, et le cinquième jour, enfin, une variation 0,25.

Les courbes de Batavia, où le mouvement est plus grand qu'aux latitudes plus élevées, font voir clairement que cette variation, même lorsque la courbe offre une allure bien continue

et est par conséquent exempté de perturbations prononcées, peut différer notablement à des jours différents; cela est d'ailleurs tout naturel, puisqu'on sait que la variation dépend du nombre des taches existant à la surface du Soleil. Comme ce mouvement a lieu surtout aux heures où le Soleil est le plus élevé au-dessus de l'horizon, la continuité de l'allure, d'un jour à l'autre, n'est pas nécessaire.

La troisième composante, enfin, est la perturbation, dont la définition devient par conséquent celle-ci: est considéré comme perturbation tout mouvement de l'aiguille qui n'offre pas une allure continue pendant un temps un peu long et qui n'est pas congru au mouvement périodique diurne déduit de 2 mois d'observations. Une période diurne peut donc, suivant cette définition, exister pour les perturbations, à condition qu'elle ne soit pas semblable à la variation proprement dite, cas, en effet, où logiquement il n'y aurait plus aucune différence à indiquer entre la marche diurne et la perturbation, et où certainement on ne parviendrait jamais à trouver une méthode de séparation pour ces grandeurs semblables. — Comme on le voit, c'est surtout le quatrième jour (25 oct. 1882) qui est fortement troublé.

Le problème à résoudre revient donc à ceci: Etant connues les sommes de ces composantes (tableau A), et en outre la variation diurne moyenne, telle qu'elle a été calculée au moyen de 2 mois d'observations et appliquée au premier jour, en déduire de nouveau les trois composantes du tableau I. Une solution directe et complète de ce problème ne peut naturellement être trouvée; par approximation, toutefois, il est possible d'obtenir entre les données et le calcul un accord d'autant plus grand qu'on voudra se donner plus de peine pour effectuer l'opération. Les conditions à imposer à la méthode sont: 1° que déjà la première approximation fournisse des résultats assez satisfaisants pour qu'on puisse l'appliquer à la grande masse des observations, sans que la somme de travail devienne trop considérable pour la pratique; 2° que, en ne tenant pas compte de la quantité de travail, on soit en état d'atteindre, avec une sûreté presque complète, une

période plus courte, même pour de petites perturbations. Dans le premier cas, le grand nombre des déviations trouvées compensera ce qui manque en exactitude aux petites perturbations. De sa nature même, l'opération se divise donc en trois parties :

1°. Calcul des premières composantes, qui varient lentement et d'une manière continue (valeurs primordiales).

La méthode découle de la définition même des trois grandeurs. Les moyennes diurnes 110, 84, 89, 98 et 66 seront indépendantes de la variation diurne, parce que celle-ci est *périodique*; elles seront égales aux valeurs primordiales au milieu du jour, c'est-à-dire à 12^h,5, parce que ces valeurs ont une marche *continue*; enfin, l'erreur occasionnée par les perturbations sera égale à la différence des sommes des perturbations positives et négatives divisée par 24. Si une perturbation est constamment positive pendant une durée plus longue qu'un jour, la valeur moyenne, à la vérité, n'est pas égale à la valeur primordiale donnée: mais alors aussi cette perturbation n'est pas discontinue et, suivant la définition même, ne doit pas être regardée tout entière comme perturbation, mais en partie comme amplification de la valeur primordiale, en partie comme perturbation; dans ce cas, le calcul lui-même dissiperait donc l'équivoque des données et rapporterait la partie continue là où, logiquement, est sa place.

Si l'on prend, de la même manière, la moyenne pour la période date 1, heure 2, à date 2, heure 1 inclusivement, période à laquelle correspondra donc la somme 2649 — 111 + 61, le même raisonnement pourra être appliqué pour 13^h,5; seulement, pour cette heure et les heures suivantes, jusqu'à la date 2, heure 12,5, la variation diurne n'est pas entièrement éliminée: lorsque les variations successives sont très différentes entre elles, comme par exemple au passage de la date 4 à la date 5, la moyenne obtenue est affectée d'une erreur dépendant de la différence de ces variations, différence qui à son tour dépend de la grandeur absolue du mouvement périodique. Aux latitudes boréales cette erreur sera donc toujours petite; à Batavia, pour les cas rares où les variations qui se succèdent

diffèrent beaucoup entre elles, la source d'erreurs en question ne pourrait pas être négligée. Une autre cause d'erreurs doit être cherchée dans les maxima et minima que présentera nécessairement le mouvement des valeurs primordiales; ces erreurs aussi seront petites, pourvu que, conformément à la définition, le mouvement soit lent et continu: s'il est abrupt, elles rentrent dans les perturbations. Plus loin, en traitant de la seconde élaboration, je ferai connaître une méthode de correction préférable à celle que j'avais proposée dans mon premier Mémoire sur ce sujet.

Les nombres primordiaux ainsi calculés sont réunis dans le tableau B. Le nombre valable pour 12^h,5 est inscrit à l'heure 12; les 10 premiers et les 12 derniers nombres ont été calculés en supposant que, dans le tableau I, les données primordiales s'étendent encore un demi-jour en deçà et au delà, avec le même changement et la même variation diurne, sans perturbations.

2°. Calcul de la variation diurne.

En retranchant les valeurs primordiales approchées, obtenues comme il vient d'être dit, des nombres du tableau A, on trouve les différences du tableau C, dans lesquelles il ne reste donc plus que les perturbations et le mouvement diurne. S'il n'y avait pas de perturbations, ou si elles se compensaient mutuellement, sans participer à la période du mouvement diurne, la somme des susdites différences (la somme positive serait égale à la somme négative) donnerait la mesure exacte de la variation, et cette somme, divisée par 400 (somme des variations du jour 1, déduite de 2 mois d'observations), ferait connaître le nombre proportionnel ou coefficient d'amplitude de ce mouvement. Lorsque la somme des déviations positives n'est pas égale à celle des négatives, mais, par exemple, plus grande, la cause doit en être cherchée dans les perturbations, qui ont rendu les déviations négatives plus petites, les positives plus grandes; dans ce cas, ou bien il y a eu dans les perturbations une période, qui a contrecarré la variation proprement dite, ou bien les valeurs primordiales employées avaient, par suite de l'influence de ces perturbations, été calculées trop bas. En supposant que tous les

nombres positifs soient trop forts de la quantité a , tous les nombres négatifs trop faibles de cette même quantité a , il en résultera, — puisque dans notre cas, emprunté à Batavia, il y a 8 déviations positives et 16 déviations négatives, — qu'en général, si a est petit, la somme totale sera trop faible de $8a$, tandis que la différence des sommes positive et négative sera égale à $24a$: la correction est donc du tiers de la différence des deux sommes. Si c'est la somme des déviations négatives qui est plus grande que l'autre, la période est trouvée trop forte et l'on doit en retrancher un tiers de la différence des deux sommes. Comme exemple de cette correction, je citerai le 4^e jour, qui donne les sommes $+ 319$ et $- 213$: la mesure de la variation diurne devient donc

$$\frac{319 + 213 + \frac{319 - 213}{3}}{400} = 1,42.$$

Pour les latitudes septentrionales, où l'on trouve, au contraire 16 déviations positives et 8 négatives, la correction, bien entendu, sera de signe opposé.

Une seconde correction qu'on peut déjà appliquer ici, facilement et sûrement, consiste à ne pas faire entrer dans la somme les déviations positives qui se présentent à des heures négatives, ni les déviations négatives qui correspondent à des heures positives : on rejette ces heures, comme indubitablement affectées de perturbations, et on prend alors pour unité, non plus la somme 400, mais seulement la somme des variations normales aux heures employées. Cette correction n'a pas été faite dans notre cas, parce qu'on n'y rencontre pas des différences très grandes, capables d'exercer une influence un peu sensible; mais dans un cas de fortes perturbations, tel que celui du 2 octobre, la correction pourrait être absolument nécessaire. En opérant de cette manière, la variation trouvée sera, en général, un peu trop grande; là seulement où, comme le 4^e jour, les perturbations elles-mêmes accusent distinctement une période, opposée à celle du jour normal, on trouve une variation trop faible. L'erreur ainsi commise est

proportionnelle à la déviation normale pour une heure déterminée : à Batavia, une différence de un dixième dans le coefficient d'amplitude de la variation diurne calculée donne déjà, à onze heures, une différence de 4 unités ; la méthode convient donc mieux pour les localités où la variation diurne est petite que pour celles où elle a une valeur plus considérable.

3°. Si l'on retranche enfin, des nombres du tableau C, les variations diurnes prises approximativement proportionnelles aux coefficients d'amplitude qui viennent d'être calculés, variations inscrites au tableau C', on obtient la première approximation pour la troisième composante, tableau D. Les plus grandes différences entre ces perturbations et les déviations données se trouvent, ainsi qu'il était à prévoir, aux heures des plus grandes variations diurnes. Si, les autres données restant les mêmes, on avait appliqué la variation diurne de St. Pétersbourg, l'approximation obtenue eût été beaucoup meilleure. On voit que la *période* existant dans les perturbations du 4^e jour a aussi été distinctement conservée, et on peut admettre que pour les lieux de haute latitude la méthode fournira de bons résultats ; pour les stations équatoriales, toutefois, une correction ultérieure des variations diurnes calculées paraît désirable.

Je ne crois pas qu'avec une peine moindre on puisse arriver à des résultats également bons ; si toutefois le travail exigé était impossible, ce qu'il y aurait de mieux à recommander, pour les hautes latitudes, serait une combinaison de notre méthode avec celle proposée par M. le professeur Wild pour le triage de jours où le mouvement diurne est clairement reconnaissable. Une variation normale ayant été trouvée de cette manière, par un ou plusieurs mois d'observations, cette variation pourrait être regardée comme valable pour tous les jours, et en la retranchant des différences du tableau C, on parviendrait plus rapidement aux perturbations. A Batavia ce procédé ne serait pas applicable : la variation diurne y est plus de deux fois aussi grande qu'à Pawlowsk, tandis que les perturbations (de la force horizontale), tout en n'y étant guère plus petites (la somme des perturbations trouvées

par cette méthode, pour un même mois, est à Batavia 6 449, à Pawlowsk 6 876 cent-millièmes de l'unité C. G. S.), sont beaucoup plus larges et moins abruptes : ce n'est que dans le cas de perturbations très fortes qu'on remarque à Batavia les mouvements en zigzag, à saillies en forme de piques, si bien connus à Pawlowsk. Il en résulte que dans toutes les courbes, sans distinction, la variation diurne est immédiatement reconnaissable, et qu'un triage à vue n'est donc guère possible.

En tout cas, le premier de nos calculs devrait être exécuté, si l'on ne veut pas confondre avec les perturbations les très grandes différences qui se rencontrent dans les valeurs primordiales, et retomber ainsi dans l'incertitude antérieure de la définition.

Au reste, une grave objection s'élève contre l'économie de temps dont il vient d'être question : par elle, on renoncerait à l'étude de la variation diurne elle-même et des changements auxquels elle est soumise, étude qui, précisément, promet de devenir féconde pour la connaissance de l'état journalier du Soleil. Les perturbations proprement dites, en effet, paraissent dépendre de la naissance et de la disparition des taches, plutôt que de leur nombre à un moment donné.

La seconde partie de notre tâche concerne la question de savoir jusqu'à quel point la méthode proposée peut servir à une étude descendant aux détails, mais limitée à un petit nombre de jours, et pour laquelle, en conséquence, il n'y a pas à se préoccuper de la somme de travail nécessaire.

Je suppose donné le calcul, suivant la méthode ci-dessus exposée, d'une période de quelque durée. La première opération à faire, pour obtenir des valeurs primordiales plus exactes, est de corriger les observations horaires de l'influence des plus fortes perturbations trouvées par approximation (tableau D). Dans le tableau AA cette correction a eu lieu pour toutes les perturbations supérieures ou égales à 15, qui à cet effet ont été appliquées, avec un signe contraire, aux nombres du tableau A.

Après avoir déduit des nombres du tableau AA les nouvelles moyennes de 24 heures (tableau B', première colonne de chaque jour), il s'agit d'améliorer celles-ci. Une première source d'erreurs dont elles sont affectées résulte, comme nous l'avons déjà dit, de l'inégalité des variations diurnes. La correction à faire de ce chef, aux *sommes* du tableau B', est facile à déduire du tableau C' : dans les secondes colonnes du tableau B' on trouve les valeurs ainsi corrigées; surtout pour le passage du 4^e au 5^e jour, les différences ne sont pas négligeables.

Si cette correction n'a d'importance que dans le cas assez rare où une grande et une très petite variation diurne se succèdent immédiatement, la seconde source d'erreurs, à savoir l'existence de maxima et de minima dans les valeurs primordiales, se présentera plus fréquemment. D'après le mode de calcul appliqué ici, on prend chaque fois la moyenne des 11 nombres antérieurs et des 12 nombres postérieurs : en désignant par x le nombre cherché, par b le changement des nombres antérieurs pour chaque heure, par a celui des nombres postérieurs, on trouvera donc, pour l'heure x , la somme

$$24x + 78a + 66b, \dots \dots \dots (1)$$

ou pour la moyenne

$$x + 3,25a + 2,75b = x + \frac{13a + 11b}{4}.$$

Si le point x se trouve sur une ligne droite ascendante, b est négatif et égal à a , de sorte que la moyenne devient :

$$x + 0,5a;$$

on fait donc une erreur $0,5a$, ce qui est naturel, puisque la moyenne, qui vaut pour 12^h,5, est inscrite à 12 heures. L'erreur commise $\frac{13a + 11b}{4}$ est toutefois le plus grand en cas de valeurs

maximum ou minimum, parce que a et b sont alors de même signe. Lorsque la force baisse rapidement et notablement, comme cela a eu lieu du 2 au 3 octobre 1882 (tant à Batavia qu'à

Pawlowsk), les accroissements a et b peuvent atteindre une valeur de cinq unités et plus: il pourra donc être commis une erreur de 30 unités, d'où il résultera non-seulement qu'un maximum sera trouvé beaucoup plus petit, un minimum plus grand, mais aussi qu'il pourra s'opérer un déplacement, dont l'étendue dépendra du rapport des quantités a et b . C'est ainsi que, le quatrième jour, on trouve le maximum 104 réduit à 98, et en outre reculé de la 16^e à la 7^e heure, tandis qu'à l'heure 16, au lieu du nombre cherché 104, on rencontre, pour valeur primordiale, le nombre 92. Pour calculer la correction à faire, et en même temps le déplacement produit, on remarquera que les sommes, aux heures qui suivent celle où se trouve la valeur minimum x , sont:

$$\begin{aligned} 24x + 78a + 66b + 12a - 12b + a + b \\ 24x + 78a + 66b + 24a - 24b + 3a + 3b \\ 24x + 78a + 66b + 36a - 36b + 6a + 6b. \end{aligned}$$

Le $n^{\text{ième}}$ terme, compté à partir de l'heure x , est donc:

$$24x + 78a + 66b + 12(a - b)n + (1 + 2 + \dots + n)(a + b)$$

ou

$$24x + 78a + 66b + 12(a - b)n + \frac{n(n + 1)}{2}(a + b)$$

$$S_n = 24x + 78a + 66b + (12,5a - 11,5b)n + 0,5(a + b)n^2 \quad (2)$$

Cette formule ne convient que pour les limites $n = + 11$ et $n = - 11$. En effet, pour 12 heures avant et après le minimum, les moyennes seront respectivement:

$$x + 11,5b \quad \text{et} \quad x + 12,5a.$$

La somme (2) atteint sa valeur la plus petite lorsque

$$n = \frac{11,5b - 12,5a}{a + b}.$$

Ce déplacement est positif, c'est-à-dire un avancement, lorsque $b > a$, négatif, c'est-à-dire un recul, lorsque $a < b$; ou, d'une manière générale, le déplacement s'opère vers le côté du change-

ment le plus petit. Il ne dépend pas de la grandeur absolue des changements, mais seulement de leur rapport, et il peut s'élever jusqu'à un maximum de 11,5 places en avant et de 12,5 places en arrière.

Supposons $b > a$, le déplacement est positif et la valeur la plus petite est donc trouvée trop tard: le 12^{ième} terme après cette valeur M_1 se trouve alors certainement en dehors de l'influence de la valeur minimum x : c'est le $12 + \frac{11.5 b - 12.5 a}{a + b}$ ième terme après x , et cette moyenne M_2 est, d'après (3),

$$M_2 = x + 12.5 a + \frac{11.5 b - 12.5 a}{a + b} a$$

ou

$$M_2 = x + \frac{24 a b}{a + b} \dots \dots \dots (4)$$

Quant à la plus petite valeur trouvée M_1 , elle est le

$$\frac{11.5 b - 12.5 a}{a + b} \text{ ième terme après } x;$$

en substituant cette expression à n dans la formule (2) et divisant par 24, nous trouvons, après réduction:

$$M_1 = x + \frac{12 a b}{a + b} \dots \dots \dots (5)$$

Le 11,5^{ième} terme avant M_1 est le

$$11.5 - \frac{11.5 b - 12.5 a}{a + b} = \frac{24 a}{a + b} \text{ ième terme avant } x,$$

et par conséquent, d'après la form. (2),

$$M_0 = x + \frac{12 a b}{a + b} + \frac{11 (a + b)}{4}.$$

De cette formule et des deux précédentes, on déduit:

$$x = 2 M_1 - M_2 \quad \frac{a b}{a + b} = q = \frac{M_2 - M_1}{12} \dots \dots \dots (6)$$

$$a + b = p = \frac{4 (M_0 - M_1)}{11} \dots \dots \dots (7)$$

Il résulte de là que les quantités cherchées *a* et *b* sont les racines d'une équation du second degré, dans notre cas :

$$b = 0.5 p + \sqrt{0.25 p^2 - p q} \dots \dots \dots (8)$$

$$a = 0.5 p - \sqrt{0.25 p^2 - p q}$$

Lorsqu'il ne ressort pas clairement des moyennes trouvées lequel des deux changements est le plus grand, le cas est généralement peu prononcé et la correction inutile; du reste, la formule (8) elle-même fera connaître si l'on a deviné juste : dans le cas contraire, en effet, l'expression radicale devient imaginaire.

Si $a > b$, le 12^{ième} terme avant la plus petite valeur trouvée M_1 , se trouve en dehors de l'influence du minimum, et pour le calcul de la quantité auxiliaire *p* on emploie alors le 12,5^{ième} terme après M_1 ; on trouve

$$x = 2 M_1 - M_0 : \frac{a b}{a + b} = q = \frac{M_0 - M_1}{12} \dots \dots \dots (9)$$

$$a + b = p = \frac{4 (M_2 - M_1)}{13} .$$

Le plus souvent, comme dans notre exemple, on pourra déterminer facilement l'une des deux quantités. L'exemple est mal choisi, en ce sens que ni le minimum du 2^e jour, ni le maximum du 4^e jour ne sont fortement exprimés; la méthode exposée sera d'autant plus exacte que les différences entre M_0 , M_1 et M_2 deviendront plus grandes; lorsque ces différences sont petites, comme ici, il se pourrait, à cause des perturbations imparfaitement éliminées, que la méthode donnât des résultats inexacts : alors aussi, toutefois, la correction est inutile. Dans les cas, tels que le nôtre, où l'abaissement est lent, on fera mieux de déterminer immédiatement les quantités *a* et *b* à une distance suffisante de M_1 , en prenant à cette distance la moyenne de la variation horaire. A la 5^{ième} heure du 2^{ième} jour, l'accroissement

commence à devenir régulier et égal 1, et 12 heures après M_1 , on le trouve encore tout aussi régulier et égal à 0,5.

Il est plus sûr toutefois, en pareil cas, de ne déterminer l'accroissement que là où l'influence du minimum a indubitablement cessé. Dans notre cas, par exemple, on a $b > a$; le 12^{ième} terme après 84 est 88, et l'accroissement en ce point est manifestement égal à 0,5; on a donc

$$2 M_1 - M_2 = x = 168 - 88 = 80$$

$$\frac{a b}{a + b} = \frac{M_2 - M_1}{12} = \frac{1}{3} = q,$$

d'où il suit immédiatement :

$$b = 1 \text{ et le déplacement } \frac{11,5 b - 12,5 a}{a + b} = 3,5, \text{ soit de 4 places.}$$

Le minimum 84, trouvé à la 22^{ième} heure, doit donc être reculé de quatre places et abaissé à la valeur 80, et à partir de ce nouveau minimum doivent être appliqués les changements horaires 0,5 et 1.

En ce qui concerne le maximum $M_1 = 98$, on a $a > b$, de sorte qu'il faut appliquer la formule (9); on a $M_0 = 93$, et le 12^{ième} terme après M_1 est $M_2 = 89$; on trouve donc

$$x = 103 \quad a = 2,27 \quad b = 0,51$$

et un déplacement de 8 heures en avant.

Conformément à ces données on a construit à nouveau le tableau des valeurs primordiales (tableau BB): les 12 premières et les 12 dernières valeurs y sont simplement inscrites à vue. Les nombres de ce tableau donnent, comme on le voit, des valeurs qui se rapprochent déjà beaucoup des valeurs réellement données.

Les nombres du tableau BB étant à leur tour soustraits de ceux du tableau AA, on trouve (tableau CC) des différences qui peuvent être considérées comme ne comprenant plus que la variation diurne et la perturbation; il paraît donc convenable de ne pas appliquer ici la correction à laquelle a été soumis le tableau C,

mais de ne tenir compte (en excluant les différences de la 15^{ième} heure) que des sommes des différences positives et négatives : on reconnaîtra si l'on s'est déjà rapproché davantage de la vérité, à l'inégalité moindre des sommes positives et négatives. Effectivement, celles-ci n'offrent plus de différences que pour le 4^{ième} jour, à fortes perturbations. Le dernier jour on a aussi, suivant une correction indiquée précédemment, exclu du calcul les différences positives des heures 4, 6, 18 et 22, et, en conséquence, on a obtenu le coefficient d'amplitude en divisant la somme par 353, au lieu de 400.

Omettant le tableau dans lequel auraient été inscrites les nouvelles variations diurnes (calculées à l'aide des coefficients d'amplitude placés au bas du tableau CC), nous nous bornerons à donner, dans le tableau DD, la seconde approximation des perturbations. Dans la pratique, en effet, on n'écrit pas le tableau C', mais le calcul de la variation diurne se fait à vue, au moyen d'un tableau de multiplication de la variation normale. Il ne m'a pas semblé qu'il valût la peine de chercher à établir, entre les perturbations calculées et données, un accord plus étroit que celui obtenu par cette seconde approximation. Je ferai remarquer, d'ailleurs, que pour un jour peu troublé, tel que le 3^{ième}, les perturbations calculées sont presque exactement égales aux perturbations données, et que les 5 jours pris pour exemple doivent très certainement être comptés parmi les cas défavorables. C'est même pour cette raison que je les ai choisis, au lieu de m'en tenir aux valeurs arbitraires composées antérieurement ¹⁾ : dans ce premier exemple, les perturbations étaient trop petites et distribuées trop favorablement pour la méthode. Enfin, je rappellerai que les différences les plus grandes entre le calcul et les données se trouvent aux heures des plus grandes variations diurnes, et que par conséquent, à des latitudes plus élevées, l'approximation aurait conduit à des résultats plus exacts.

¹⁾ *Bulletin etc., l.c.*

Il reste encore à résoudre une question concernant la définition de la perturbation. Supposons que la force, après avoir atteint un maximum, baisse rapidement et devienne un minimum, puis se remette lentement à croître: dans la définition il n'a été parlé que de mouvements lents et continus, nous devons donc tâcher d'éclaircir ces notions. Pour cela, il est nécessaire de donner une petite extension à la théorie ci-dessus développée sur la moyenne de nombres qui se meuvent suivant des lignes droites. Lorsqu'un minimum succède à un maximum, différents cas peuvent se présenter. En premier lieu, il est possible (si l'on a, par exemple, $s > b > a$, ce qui sera bien le cas le plus fréquent) que p , la distance du maximum x au minimum y , soit si grand, que les deux valeurs M_1 et M'_1 , les extrêmes calculées, peuvent être obtenues de la manière ordinaire, au moyen des formules (6) et (9); la formule auxiliaire (7), toutefois, et en général les grandeurs situées entre x et y , ne peuvent plus être employées. Par contre, on connaît maintenant la distance A de M_1 à M'_1 , de sorte que le calcul reste possible et simple. Les déplacements subis par M_1 et M'_1 sont respectivement

$$V_1 = - \frac{12.5 s - 11.5 b}{b + s} \quad \text{et} \quad V_2 = + \frac{11.5 s - 12.5 a}{a + s},$$

valeurs liées entre elles par l'équation:

$$- V_1 + V_2 + p = A.$$

Pour déterminer les 6 quantités x , y , a , b , s et p , on a donc les relations:

$$x = 2 M_1 - M_0, \quad y = 2 M'_1 - M'_2$$

$$\frac{b s}{b + s} = \frac{M_1 - M_0}{12} = q_1; \quad \frac{a s}{a + s} = \frac{M'_2 - M'_1}{12} = q_2 \dots (10)$$

$$p = \frac{x - y}{s} = \frac{V}{s}$$

$$\frac{12.5 s - 11.5 b}{b + s} + \frac{11.5 s - 12.5 a}{a + s} + p = A, \dots (11)$$

d'où l'on tire :

$$s = \frac{V - 24 (q_1 + q_2)}{A - 24} = \frac{M_0 - M'_2}{A - 24}, \dots (12) ^1)$$

puis, pour les déplacements :

$$V_1 = \frac{24 q_1 - 12.5 s}{s} \qquad V_2 = \frac{11.5 s - 24 q_2}{s}.$$

Supposons maintenant p très petit, de sorte que tant la moyenne pour l'heure x que celle pour l'heure y contiennent la période p tout entière: donc $p < 12$. En considérant que la somme des p termes après le maximum x est

$$p y + \frac{p(p-1)}{2} s,$$

et qu'on a aussi

$$y = x - p s,$$

on trouve pour la somme à l'heure x :

$$S = 24 x + 78 a - 66 b - 12.5 p (a + s) + 0.5 p^2 (a + s)$$

et pour les termes suivants :

$$S = 24 x - 78 a + 66 b - (12.5 + n)(a + s)p + 12 n (a + b) + \frac{n(n+1)}{2} (a - b) + 0.5 p^2 (s + a),$$

ou, en posant

$$\begin{aligned} k &= 24 x + 78 a - 66 b \\ F &= k + 0.5 p (p - 25) (s + a) \\ l &= 12.5 a + 11.5 b - p (s + a) \\ j &= 0.5 (a - b), \\ S_n^x &= F + l n + j n^2 \dots \dots \dots (13) \end{aligned}$$

¹⁾ La formule (12) cesse d'être applicable dans le cas de $A = 24$; alors, en appelant S_1 la somme des cinq sommes avant la somme M_1 , S_2 la somme des cinq sommes après M_1 , on trouve facilement, au moyen de la formule (2), la relation $b + s = \frac{s_1 + s_2 - 10 M_1}{55}$, et les valeurs de b et s seront encore les deux racines de l'équation $z^2 - p z + p q = 0$.

Le terme général, compté à partir du minimum y , devient alors :

$$S_n'' = F' + l'n + j'n^2, \dots \dots \dots (14)$$

où

$$F' = 24y + 78a - 66b - 0.5p(p - 23)(s + b)$$

$$l' = 12.5a + 11.5b - p(s + b)$$

$$j' = 0.5(a - b).$$

Ces deux formules valent seulement pour les sommes qui s'étendent sur toute la distance p , donc du 12— p ième terme avant x jusqu'au 11— p ième terme après x , c'est-à-dire sur 23— p termes.

En différentiant les sommes (13) et (14) et égalant à 0, nous trouvons pour n les valeurs :

$$V_1 = -\frac{l}{2j} = -\frac{12.5a + 11.5b - p(s + a)}{a - b} \dots \dots (15)$$

$$V_2 = -\frac{l'}{2j} = -\frac{12.5a + 11.5b - p(s + b)}{a - b} \dots \dots (16)$$

La formule (15) est applicable entre les limites

$$V_1 = p - 12 \text{ et } V_1 = 11,$$

la formule (16) entre les limites

$$V_2 = -12 \text{ et } V_2 = 11 - p.$$

Il suit de là que, pour des changements donnés a , b et s , le cas ci-dessus se présentera si p est situé entre les limites :

$$\frac{0.5a + 23.5b}{b + s} \text{ et } \frac{23.5a + 0.5b}{a + s},$$

circonstance à laquelle on devra avoir égard lorsqu'il s'agira d'appliquer les formules à un cas spécial quelconque.

Des formules (15) et (16) il résulte que jamais le maximum et le minimum ne tombent tous les deux entre ces limites; par soustraction on trouve, en effet,

$$V_1 - V_2 = p,$$

ce qui signifie que la valeur maximum de l'une des formules coïncide avec la valeur minimum de l'autre. On arrive au même résultat, naturellement, en substituant (15) et (16) à n dans les formules (13) et (14); on obtient alors:

$$S^x - S^y = 0.$$

On ne pourra donc pas toujours reconnaître, par les sommes ou moyennes calculées, quels étaient les nombres primordiaux. Si p est petit, cela devient impossible; mais alors aussi le mouvement n'est pas imputable aux valeurs primordiales, mais aux perturbations. La limite cherchée entre la définition des perturbations et celle du premier mouvement continu gît donc dans la possibilité même de reconnaître l'état en question.

LA HAYE, août 1884.

Tableau I.

1	2	3	4	5	Somme
1 120-16+ 7	96-12-13	84-20+ 4	96-24+17	86 - 4- 1+ 28-14	
2 119-14+ 2	95-11- 2	85-18+ 3	97-21+14	84 - 4+ 16+ 35- 2	
3 118-12- 2	94- 9- 6	85-15+ 4	97-18+15	82 - 3+ 9+ 28- 8	
4 117-10- 2	93- 8+ 8	86-13+ 6	98-15+20	80 - 3+ 4+ 38- 2	
5 116- 8- 2	92- 6 0	86-10+ 5	98-12+26	78 - 2- 3+ 31- 5	
6 115- 6- 2	91- 5+ 5	87- 8+ 2	99- 9+37	76 - 2+ 1+ 45- 2	
7 114+ 6- 5	90+ 5- 1	87+ 8 0	99+ 9+ 8	74 + 2+ 3+ 41- 6	
8 113+15- 3	89+12+10	88+19 0	100+23- 2	72 + 4+ 2+ 42- 5	
9 112+30+ 2	88+23+13	88+38- 5	100+45- 4	70 + 8+ 6+ 21- 9	
10 111+40+ 4	87+30+ 4	89+50- 2	101+60+ 8	68 + 10+ 8+ 24- 2	
11 110+42+ 2	86+32- 4	89+53+41	101+63- 3	66 + 11+ 10+ 53- 7	
12 109+40+ 8	85+30- 5	90+50+ 2	102+60-30	64 + 10+ 5+ 15-35	
13 108+20+ 9	84+15-12	90+25-17	102+30-47	62 + 5- 4+ 9-80	
14 107+ 8+12	83+ 6-13	91+10 0	103+12-48	60 + 2-12+ 12-73	
15 106 0+18	82 0- 8	91 0-12	103 0-41	58 0+ 1+ 19-61	
16 105- 8+19	81- 6-10	92-10-19	104-12-29	56 - 2- 3+ 19-61	
17 104-10+14	80- 8-20	92-13-18	102-15-24	54 - 3 0+ 14-62	
18 103-12+14	81- 9- 1	93-15-12	100-18-10	52 - 3+ 4+ 18-23	
19 102-14+ 7	81-11 0	93-18-13	98-21- 3	50 - 4+ 4+ 11-16	
20 101-16- 4	82-12- 1	94-20 0	96-24+11	48 - 4+ 2+ 13- 5	
21 100-19-11	82-15+18	94-24- 5	94-29+15	46 - 5- 4+ 33-20	
22 99-19-16	83-15+ 6	95-24+ 2	92-29+24	44 - 5+ 6+ 38-16	
23 98-18-12	83-14- 1	95-23+ 2	90-27+18	42 - 5+ 1+ 21-13	
24 97-17-16	84-14- 3	96-22- 2	88-26+17	40 - 5+ 14+ 31-21	
+118	+ 64	+ 71	+230	+ 96	+ 579
- 75	-100	-105	-241	- 27	- 548
193	164	176	471	123	1127

Tableau A.

Tableau B.

	1	2	3	4	5	1	2	3	4	5
1	111	61	68	89	81	120	95	88	97	78
2	107	82	70	90	96	120	93	89	96	77
3	104	79	74	94	88	120	91	89	95	77
4	105	93	79	103	81	119	88	89	95	76
5	106	86	81	112	73	119	86	89	95	76
6	107	91	81	127	75	119	85	89	95	75
7	115	94	95	116	79	118	84	89	96	74
8	125	111	107	121	78	117	83	89	96	72
9	144	124	121	141	84	115	84	88	97	71
10	155	121	137	169	86	114	84	88	97	69
11	154	114	183	161	87	112	84	88	98	67
12	157	110	142	132	79	110	84	89	98	66
13	137	87	98	85	63	108	85	89	98	64
14	127	76	101	67	50	107	84	90	98	61
15	124	74	79	62	59	106	84	91	98	59
16	116	65	63	63	51	106	83	92	97	57
17	108	52	61	63	51	105	83	93	95	55
18	105	71	66	72	53	104	83	95	93	53
19	95	70	62	74	50	103	83	96	91	51
20	81	69	74	83	46	103	83	97	90	49
21	70	85	65	80	37	102	82	98	87	46
22	64	74	73	87	45	101	83	99	84	44
23	68	68	74	81	38	99	86	98	81	41
24	64	67	72	79	49	97	87	98	78	39
	2649	2024	2126	2351	1579					

Tableau C.

	1	2	3	4	5
1	— 9	— 34	— 20	— 8	+ 3
2	— 13	— 11	— 19	— 6	+ 19
3	— 16	— 12	— 15	— 1	+ 11
4	— 14	+ 5	— 10	+ 8	+ 5
5	— 13	0	— 8	+ 17	— 3
6	— 12	+ 6	— 8	+ 32	0
7	— 3	+ 10	+ 6	+ 20	+ 5
8	+ 8	+ 28	+ 18	+ 25	+ 6
9	+ 29	+ 40	+ 33	+ 44	+ 13
10	+ 41	+ 37	+ 49	+ 72	+ 17
11	+ 42	+ 30	+ 95	+ 63	+ 20
12	+ 47	+ 26	+ 53	+ 34	+ 13
13	+ 29	+ 2	+ 9	— 13	— 1
14	+ 20	— 8	+ 11	— 31	— 11
15	+ 18	— 10	— 12	— 36	0
16	+ 10	— 18	— 29	— 34	— 6
17	+ 3	— 31	— 32	— 32	— 4
18	+ 1	— 12	— 29	— 21	0
19	— 8	— 13	— 34	— 17	— 1
20	— 12	— 14	— 23	— 7	— 3
21	— 32	+ 3	— 33	— 7	— 9
22	— 37	— 9	— 26	+ 3	+ 1
23	— 33	— 18	— 24	0	— 3
24	— 31	— 20	— 26	+ 1	+ 10
R.	1.2	1.0	1.5	1.4	0.5

Tableau C'.

	1	2	3	4	5
1	— 19	— 16	— 24	— 22	— 8
2	— 17	— 14	— 21	— 20	— 7
3	— 14	— 12	— 18	— 17	— 6
4	— 12	— 10	— 15	— 14	— 5
5	— 10	— 8	— 12	— 11	— 4
6	— 7	— 6	— 9	— 8	— 3
7	+ 7	+ 6	+ 9	+ 8	+ 3
8	+ 18	+ 15	+ 23	+ 21	+ 8
9	+ 36	+ 30	+ 45	+ 42	+ 15
10	+ 48	+ 40	+ 60	+ 56	+ 20
11	+ 50	+ 42	+ 63	+ 59	+ 21
12	+ 48	+ 40	+ 60	+ 56	+ 20
13	+ 24	+ 20	+ 30	+ 28	+ 10
14	+ 10	+ 8	+ 12	+ 11	+ 4
15	0	0	0	0	0
16	— 10	— 8	— 12	— 11	— 4
17	— 12	— 10	— 15	— 14	— 5
18	— 14	— 12	— 18	— 17	— 6
19	— 17	— 14	— 21	— 20	— 7
20	— 19	— 16	— 24	— 22	— 8
21	— 23	— 19	— 29	— 27	— 10
22	— 23	— 19	— 29	— 27	— 10
23	— 22	— 18	— 27	— 25	— 9
24	— 20	— 17	— 26	— 24	— 9

Tableau D.

Tableau A A.

Tableau D.					Tableau A A.					
1	2	3	4	5	1	2	3	4	5	
1	+ 10	- 18	+ 4	+ 14	+ 11	111	79	68	89	81
2	+ 4	+ 3	+ 2	+ 14	+ 26	107	82	70	90	70
3	- 2	0	+ 3	+ 16	+ 17	104	79	74	78	71
4	- 2	+ 15	+ 5	+ 22	+ 10	105	78	79	81	81
5	- 3	+ 8	+ 4	+ 28	+ 1	106	86	81	84	73
6	- 5	+ 12	+ 1	+ 40	+ 3	107	91	81	87	75
7	- 10	+ 4	- 3	+ 12	+ 2	115	94	95	116	79
8	- 10	+ 13	- 5	+ 4	- 2	125	111	107	121	78
9	- 7	+ 10	- 12	+ 2	- 2	144	124	121	141	84
10	- 7	- 3	- 11	+ 16	- 3	155	121	137	153	86
11	- 8	- 12	+ 32	+ 4	- 1	154	114	151	161	87
12	- 1	- 14	- 7	- 22	- 7	157	110	142	154	79
13	+ 5	- 18	- 21	- 41	- 11	137	105	119	126	63
14	+ 10	- 16	- 1	- 42	- 15	127	92	101	109	65
15	+ 18	- 10	- 12	- 36	0	106	74	79	98	59
16	+ 20	- 10	- 17	- 23	- 2	96	65	80	86	51
17	+ 15	- 21	- 17	- 18	+ 1	93	73	78	81	51
18	+ 15	0	- 11	- 4	+ 6	90	71	66	72	53
19	+ 9	+ 1	- 13	+ 3	+ 6	95	70	62	74	50
20	+ 7	+ 2	+ 1	+ 15	+ 5	81	69	74	68	46
21	- 9	+ 22	- 4	+ 20	+ 1	70	63	65	60	37
22	- 14	+ 10	+ 3	+ 30	+ 11	64	74	73	57	45
23	- 9	0	+ 3	+ 25	+ 6	68	68	74	56	38
24	- 13	- 3	0	+ 25	+ 19	64	67	72	54	30

2581 2060 2149 2296 1532

Tableau B'.

	1	2	3	4	5
1	—	93 94	88 85	96 —	76 80
2	—	91 93	88 86	96 —	74 78
3	—	90 91	89 86	97 —	72 77
4	—	89 90	89 87	97 —	71 76
5	—	88 89	89 87	98 —	70 74
6	—	87 88	89 87	98 —	69 73
7	—	86 87	89 87	98 —	68 71
8	—	86 86	89 87	98 —	67 70
9	—	85 86	80 88	98 —	66 68
10	—	86 —	89 88	97 —	66 67
11	—	86 —	89 —	96 —	65 65
12	108 —	86 —	90 —	96 —	64 —
13	106 —	85 86	90 —	95 —	—
14	105 —	85 86	91 —	95 93	—
15	104 —	85 86	91 —	94 93	—
16	103 —	85 86	92 91	94 92	—
17	102 —	85 86	92 91	94 92	—
18	102 101	84 85	92 —	93 91	—
19	101 100	84 85	93 —	92 89	—
20	100 —	84 85	93 —	90 88	—
21	99 —	84 84	94 —	88 87	—
22	98 —	85 84	95 —	85 86	—
23	96 97	86 85	95 96	82 84	—
24	94 95	87 85	96 —	79 83	—

Tableau BB.

	1	2	3	4	5
1	119	94 84	97	81	
2	118	93 84	97	79	
3	117	91 85	97	77	
4	116	90 85	98	76	
5	115	89 86	98	74	
6	114	92 86	99	73	
7	113	91 87	99	71	
8	112	90 87	100	70	
9	111	89 88	100	68	
10	110	88 88	101	67	
11	109	87 89	101	65	
12	108	86 90	102	64	
13	106	85 90	102	62	
14	105	84 91	103	60	
15	104	83 91	103	58	
16	103	82 91	101	56	
17	102	81 91	98	54	
18	101	80 92	96	52	
19	100	81 93	94	50	
20	100	81 93	92	48	
21	99	82 94	89	46	
22	98	82 95	87	44	
23	97	83 95	85	42	
24	95	83 96	83	40	

Tableau CC.

Tableau DD.

Tableau CC.					Tableau DD.							
1	2	3	4	5	1	2	3	4	5	Somme.		
1	— 8	— 15	— 16	— 8	0	+11	— 19	+ 5	+ 15	+ 6	+ 37	— 19
2	— 11	— 11	— 14	— 7	— 9	+ 5	+ 1	+ 4	+ 13	+ 22	+ 45	— 0
3	— 13	— 12	— 11	— 19	— 6	+ 1	— 2	+ 4	+ 14	+ 16	+ 35	— 2
4	— 11	— 12	— 6	— 17	+ 5	+ 1	+ 12	+ 7	+ 19	+ 9	+ 48	— 0
5	— 9	— 3	— 5	— 14	— 1	0	+ 4	+ 5	+ 25	+ 2	+ 36	— 0
6	— 7	— 1	— 5	— 12	+ 2	0	+ 4	+ 3	+ 37	+ 4	+ 48	— 0
7	+ 2	+ 3	+ 8	+ 17	+ 8	— 5	— 2	0	+ 8	+ 6	+ 14	— 7
8	+ 13	+ 21	+ 20	+ 21	+ 8	— 5	+ 8	+ 1	0	+ 2	+ 11	— 5
9	+ 33	+ 35	+ 33	+ 41	+ 16	— 2	+ 9	— 6	— 1	+ 5	+ 14	— 9
10	+ 45	+ 33	+ 49	+ 52	+ 19	— 2	— 1	— 3	+ 11	+ 4	+ 15	— 6
11	+ 45	+ 27	+ 62	+ 60	+ 22	— 5	— 8	+ 40	+ 1	+ 6	+ 47	— 13
12	+ 49	+ 24	+ 52	+ 52	+ 15	+ 2	— 10	0	— 27	0	+ 2	— 37
13	+ 31	+ 20	+ 29	+ 24	+ 1	+ 7	— 15	— 18	— 45	— 7	+ 7	— 85
14	+ 22	+ 8	+ 10	+ 6	+ 5	+ 13	— 15	0	— 47	— 13	+ 13	— 75
15	+ 2	— 9	— 12	— 5	+ 1	+ 20	— 9	— 12	— 41	+ 1	+ 21	— 62
16	— 7	— 17	— 11	— 15	— 5	+ 22	— 10	— 18	— 27	— 2	+ 22	— 57
17	— 9	— 8	— 13	— 17	— 3	+ 18	— 20	— 17	— 21	+ 1	+ 19	— 58
18	— 11	— 9	— 26	— 24	+ 1	+ 18	+ 1	— 11	— 7	+ 6	+ 25	— 18
19	— 5	— 11	— 31	— 20	0	+ 12	+ 1	— 14	0	+ 5	+ 18	— 14
20	— 19	— 12	— 19	— 24	— 2	0	+ 2	+ 2	+ 14	+ 4	+ 22	— 0
21	— 29	— 19	— 29	— 29	— 9	— 7	+ 19	— 4	+ 18	— 2	+ 37	— 13
22	— 34	— 8	— 22	— 30	+ 1	— 12	+ 8	+ 3	+ 27	+ 8	+ 46	— 12
23	— 29	— 15	— 21	— 29	— 4	— 8	0	+ 2	+ 22	+ 3	+ 27	— 8
24	— 31	— 16	— 24	— 29	— 10	— 11	— 2	— 2	+ 20	+ 15	+ 35	— 15
1.18	0.85	1.29	1.42	0.41		+130	+ 69	+ 76	+244	+125		+644
						— 57	— 113	— 105	— 216	— 24		— 515
						187	182	181	460	149		1159

NOTE

SUR LE

DÉPLACEMENT D'UN SYSTÈME INVARIABLE DONT UN POINT EST FIXE,

PAR

M. T. J. STIELTJES.

1. On sait depuis Euler que ce déplacement se ramène toujours à une rotation autour d'un axe qui reste fixe.

Plusieurs auteurs ont établi ce théorème d'une manière purement analytique; je citerai en particulier Duhamel, qui a traité de ce sujet dans l'introduction de son Cours de mécanique.

Si je reviens sur cette matière, c'est pour mettre en lumière une difficulté inhérente à l'analyse suivie par Duhamel. On verra en effet que les formules données par cet auteur pour déterminer la position de l'axe de rotation, cessent de donner cette position dans un cas où elle est cependant parfaitement déterminée — je parle du cas où le déplacement se ramène à une rotation de 180° .

Soit O le point fixe, O_x, O_y, O_z les axes d'un système de coordonnées rectangulaires fixe dans l'espace, $O_{x_1}, O_{y_1}, O_{z_1}$ ceux d'un système de coordonnées rectangulaires lié au système invariable. Les cosinus des angles que forment entre eux les axes de ces deux systèmes de coordonnées rectangulaires se trouvent réunis dans le tableau (A):

	x_1	y_1	z_1
x	a	b	c
y	a'	b'	c'
z	a''	b''	c''

Ces valeurs se rapportent à la *première* position du système invariable. Pour la seconde position nous écrirons $a + \Delta a$, $b + \Delta b \dots$, $c'' + \Delta c''$ au lieu de $a, b \dots c''$.

Nous supposons qu'on peut faire coïncider les directions positives des x_1, y_1, z_1 avec celles des x, y, z ; — on sait qu'alors le déterminant formé avec les neuf quantités $a, b \dots c''$ du tableau (A) est égal à $+ 1$.

Je rappelle quelques relations entre ces diverses quantités :

$$\begin{aligned}
 a &= b' c'' - b'' c' \\
 1 &= a^2 + a'^2 + a''^2 \\
 0 &= ab + a'b' + a''b''
 \end{aligned}$$

Pour abrégér, je ferai usage d'un signe sommatoire Σ qui aura rapport à trois termes, que l'on déduit de celui qui est écrit en mettant l'accent simple et double; — p. e., les deux dernières relations sont $1 = \Sigma a^2$, $0 = \Sigma ab$. Un chiffre placé à la suite d'une formule indiquera le nombre total de formules analogues qu'on peut en déduire par un changement, soit des lettres a, b, c , soit des accents.

Il est clair qu'on a entre les quantités $a + \Delta a, \dots c'' + \Delta c''$ les mêmes relations qu'entre $a, b \dots c''$. En combinant ces diverses relations on peut en déduire un grand nombre d'autres; — je réunis ici quelques relations simples dont nous aurons surtout besoin :

- (1) $a = b'c'' - b''c'$ 9
- (2) $2 \Sigma a \Delta a + \Sigma \Delta a^2 = 0$ 3
- (3) $\Sigma a \Delta b + \Sigma b \Delta a + \Sigma \Delta a \Delta b = 0$ 3

Existence et détermination de l'axe de rotation.

2. Cela posé, les relations

$$(4) \dots \dots \dots \left\{ \begin{array}{l} x = a x_1 + b y_1 + c z_1, \\ y = a' x_1 + b' y_1 + c' z_1 \\ z = a'' x_1 + b'' y_1 + c'' z_1 \end{array} \right.$$

combinées avec les équations analogues pour la seconde position du système, donnent :

$$(5) \dots \dots \dots \left\{ \begin{array}{l} \Delta x = x_1 \Delta a + y_1 \Delta b + z_1 \Delta c, \\ \Delta y = x_1 \Delta a' + y_1 \Delta b' + z_1 \Delta c' \\ \Delta z = x_1 \Delta a'' + y_1 \Delta b'' + z_1 \Delta c'' \end{array} \right.$$

en désignant par $x + \Delta x$, $y + \Delta y$, $z + \Delta z$ les coordonnées du point considéré après le déplacement. Voyons maintenant s'il y a des points qui n'ont pas changé de position; on devra avoir :

$$(6) \dots \dots \dots \left\{ \begin{array}{l} 0 = x_1 \Delta a + y_1 \Delta b + z_1 \Delta c \\ 0 = x_1 \Delta a' + y_1 \Delta b' + z_1 \Delta c' \\ 0 = x_1 \Delta a'' + y_1 \Delta b'' + z_1 \Delta c''. \end{array} \right.$$

Pour qu'il soit possible de satisfaire à ces relations par des valeurs de x_1 , y_1 , z_1 qui ne sont pas toutes égales à zéro, il faut et il suffit que le déterminant :

$$(7) \dots \dots \dots D = \begin{vmatrix} \Delta a & \Delta b & \Delta c \\ \Delta a' & \Delta b' & \Delta c' \\ \Delta a'' & \Delta b'' & \Delta c'' \end{vmatrix}$$

soit égal à zéro. Si cette condition est remplie, les trois plans représentés par les équations (6) passent par une même ligne, l'axe de rotation, dont la position est parfaitement déterminée, du moins autant que les neuf mineurs du second degré de D ne sont pas tous égaux à zéro.

Proposition I.

Le déterminant D est toujours égal à zéro.

Proposition II.

Les neuf mineurs du second degré de D sont tous égaux à zéro, *seulement* dans le cas qu'on a $\Delta a = 0 \quad \Delta b = 0 \dots \Delta c'' = 0$, — c'est-à-dire quand il n'y a pas de déplacement.

Désignons par $D_a, D_b \dots D_{c''}$ les mineurs de D , en sorte qu'on a

$$(8) \dots \dots \left\{ \begin{array}{l} D = \Sigma \Delta a D_a = \Sigma \Delta b D_b = \Sigma \Delta c D_c \\ 0 = \Sigma \Delta a D_b = \Sigma \Delta b D_c = \Sigma \Delta c D_a. \end{array} \right.$$

La valeur de D_a est $\Delta b' \Delta c'' - \Delta b'' \Delta c'$, mais l'équation (1) donne :

$$\Delta a = b' \Delta c'' - b'' \Delta c' + c'' \Delta b' - c' \Delta b'' + \Delta b' \Delta c'' - \Delta b'' \Delta c', \text{ donc :}$$

$$(9) \dots \left\{ \begin{array}{l} D_a = \Delta a \quad -b' \Delta c'' + b'' \Delta c' - c'' \Delta b' + c' \Delta b'' \quad 3, \text{ de même :} \\ D_a' = \Delta a' \quad -b'' \Delta c + b \Delta c'' - c \Delta b'' + c'' \Delta b \quad 3, \\ D_{a''} = \Delta a'' \quad -b \Delta c' + b' \Delta c - c' \Delta b + c \Delta b' \quad 3. \end{array} \right.$$

On en déduit, en multipliant par $\Delta a, \Delta a', \Delta a''$ et faisant l'addition :

$$(10) \dots \dots D = \Sigma \Delta a^2 - \Sigma b D_b - \Sigma c D_c \quad 3.$$

Mais en multipliant les équations (9) par a, a', a'' on trouvera par l'addition, en vertu des relations (1) :

$$\Sigma a D_a = \Sigma a \Delta a - \Sigma b \Delta b - \Sigma c \Delta c,$$

ou bien, à cause de (2) :

$$(11) \dots \left\{ \begin{array}{l} \Sigma a D_a = -\frac{1}{2} \Sigma \Delta a^2 + \frac{1}{2} \Sigma \Delta b^2 + \frac{1}{2} \Sigma \Delta c^2; \text{ de même :} \\ \Sigma b D_b = +\frac{1}{2} \Sigma \Delta a^2 - \frac{1}{2} \Sigma \Delta b^2 + \frac{1}{2} \Sigma \Delta c^2 \\ \Sigma c D_c = +\frac{1}{2} \Sigma \Delta a^2 + \frac{1}{2} \Sigma \Delta b^2 - \frac{1}{2} \Sigma \Delta c^2. \end{array} \right.$$

En substituant ces valeurs de $\Sigma b D_b, \Sigma c D_c$ dans l'équation

partant des équations (9) et faisant attention aux relations (3) :

$$(14) \dots \Sigma b D_a = \Sigma a D_b = - \Sigma \Delta a \Delta b \quad 3.$$

On obtient encore une expression remarquable pour la somme $\Sigma D_a^2 + \Sigma D_b^2 + \Sigma D_c^2$. En effet, on a d'après (11) et (14) :

$$\begin{aligned} \Sigma a D_a &= - A + B + C \\ \Sigma b D_a &= - \Sigma \Delta a \Delta b \\ \Sigma c D_a &= - \Sigma \Delta a \Delta c, \end{aligned}$$

où j'ai posé, pour abrégé, $\frac{1}{2} \Sigma \Delta a^2 = A$, $\frac{1}{2} \Sigma \Delta b^2 = B$, $\frac{1}{2} \Sigma \Delta c^2 = C$. La somme des carrés de ces trois équations donne :

$$\Sigma D_a^2 = (- A + B + C)^2 + (\Sigma \Delta a \Delta b)^2 + (\Sigma \Delta a \Delta c)^2$$

Or on a, d'après une transformation bien connue :

$$\begin{aligned} 4 A B &= \Sigma \Delta a^2 \times \Sigma \Delta b^2 = (\Sigma \Delta a \Delta b)^2 + D_c^2 + D_{c'}^2 + D_{c''}^2 \\ 4 A C &= \Sigma \Delta a^2 \times \Sigma \Delta c^2 = (\Sigma \Delta a \Delta c)^2 + D_b^2 + D_{b'}^2 + D_{b''}^2, \end{aligned}$$

donc :

$$\Sigma D_a^2 + \Sigma D_b^2 + \Sigma D_c^2 = (A + B + C)^2,$$

c'est-à-dire

$$(15) \Sigma D_a^2 + \Sigma D_b^2 + \Sigma D_c^2 = \frac{1}{4} \left[\Sigma \Delta a^2 + \Sigma \Delta b^2 + \Sigma \Delta c^2 \right]^2.$$

Autre formule pour déterminer l'axe de rotation.

3. D'après ce qui précède, on a :

$$\begin{aligned} D &= \Delta a D_a + \Delta b D_b + \Delta c D_c = 0, \\ \Delta a' D_a + \Delta b' D_b + \Delta c' D_c &= 0, \\ \Delta a'' D_a + \Delta b'' D_b + \Delta c'' D_c &= 0. \end{aligned}$$

En multipliant ces équations par $c + \frac{1}{2} \Delta c$, $c' + \frac{1}{2} \Delta c'$, $c'' + \frac{1}{2} \Delta c''$ la quantité D_c se trouvera éliminée après l'addition, en vertu des relations (2). En posant donc :

$$(16) \dots \begin{cases} p = \Sigma (c + \frac{1}{2} \Delta c) \Delta b = - \Sigma (b + \frac{1}{2} \Delta b) \Delta c \\ q = \Sigma (a + \frac{1}{2} \Delta a) \Delta c = - \Sigma (c + \frac{1}{2} \Delta c) \Delta a \\ r = \Sigma (b + \frac{1}{2} \Delta b) \Delta a = - \Sigma (a + \frac{1}{2} \Delta a) \Delta b, \end{cases}$$

on obtient $-q D_a + p D_b = 0$ ou $D_a : D_b = p : q$. En réunissant toutes les relations de même nature, on trouve :

$$(17) \dots \dots \dots \begin{cases} p : q : r = D_a : D_b : D_c \\ \qquad \qquad \qquad = D_{a'} : D_{b'} : D_{c'} \\ \qquad \qquad \qquad = D_{a''} : D_{b''} : D_{c''}. \end{cases}$$

Par conséquent la formule (13), qui détermine l'axe de rotation, peut se mettre sous la forme :

$$(18) \dots \dots \dots x_1 : y_1 : z_1 = p : q : r.$$

C'est la formule donnée par Duhamel. Elle devient illusoire quand on a à la fois $p = 0$, $q = 0$ et $r = 0$. Nous verrons que cela a lieu non seulement quand il n'y a pas de déplacement, mais encore dans d'autres cas. Alors cette formule (18) devient insuffisante et il faut recourir aux formules (13). Nous allons déduire maintenant un système de formules qui nous permettra de dire avec précision dans quels cas on a : $p = 0$, $q = 0$, $r = 0$.

4. Nous avons

$$\begin{aligned} 0 &= (a + \frac{1}{2} \Delta a) \Delta a + (a' + \frac{1}{2} \Delta a') \Delta a' + (a'' + \frac{1}{2} \Delta a'') \Delta a'' \\ + r &= (b + \frac{1}{2} \Delta b) \Delta a + (b' + \frac{1}{2} \Delta b') \Delta a' + (b'' + \frac{1}{2} \Delta b'') \Delta a'' \\ - q &= (c + \frac{1}{2} \Delta c) \Delta a + (c' + \frac{1}{2} \Delta c') \Delta a' + (c'' + \frac{1}{2} \Delta c'') \Delta a''. \end{aligned}$$

En éliminant $\Delta a'$, $\Delta a''$ il vient :

$$(19) \dots \dots \dots R \Delta a = r R_b - q R_c \quad 9,$$

en désignant par R le déterminant :

$$(20) \quad R = \begin{vmatrix} a + \frac{1}{2} \Delta a & b + \frac{1}{2} \Delta b & c + \frac{1}{2} \Delta c \\ a' + \frac{1}{2} \Delta a' & b' + \frac{1}{2} \Delta b' & c' + \frac{1}{2} \Delta c' \\ a'' + \frac{1}{2} \Delta a'' & b'' + \frac{1}{2} \Delta b'' & c'' + \frac{1}{2} \Delta c'' \end{vmatrix}$$

et par $R_a R_b \dots R_{c''}$ les mineurs du second degré de R .

La valeur de R_a est $(b' + \frac{1}{2} \Delta b')(c'' + \frac{1}{2} \Delta c'') - (b'' + \frac{1}{2} \Delta b'')(c' + \frac{1}{2} \Delta c')$. En opérant les multiplications on peut simplifier le résultat à l'aide de la relation (1) et de la valeur de Δa qu'on en tire ; — on trouvera ainsi :

$$R_a = a + \frac{1}{2} \Delta a - \frac{1}{4} (\Delta b' \Delta c'' - \Delta b'' \Delta c'),$$

c. a. d. :

$$(21) \quad \dots \dots \dots R_a = a + \frac{1}{2} \Delta a - \frac{1}{4} D_a \quad 9.$$

On en tire aussitôt :

$$(22) \quad \dots \dots \dots \Sigma R_a \Delta a = 0 \quad 3,$$

$$(23) \quad \dots \dots \dots \Sigma R_a \Delta b = -r \quad 3,$$

$$(24) \quad \dots \dots \dots \Sigma R_a \Delta c = +q \quad 3.$$

L'équation (19) donne ensuite :

$$\begin{aligned} R \Sigma \Delta a^2 &= r \Sigma R_b \Delta a - q \Sigma R_c \Delta a, \\ R \Sigma \Delta a \Delta b &= r \Sigma R_b \Delta b - q \Sigma R_c \Delta b, \end{aligned}$$

c'est-à-dire, en vertu des relations (22), (23), (24) :

$$(25) \quad \left\{ \begin{aligned} R \Sigma \Delta a^2 &= q^2 + r^2, & R \Sigma \Delta a \Delta b &= -p q, \\ R \Sigma \Delta b^2 &= r^2 + p^2, & R \Sigma \Delta b \Delta c &= -q r, \\ R \Sigma \Delta c^2 &= p^2 + q^2, & R \Sigma \Delta c \Delta a &= -r p, \end{aligned} \right.$$

ou bien, en faisant attention aux formules (11) et (14) :

$$(26) \dots \dots \dots \left\{ \begin{array}{l} p^2 = R \Sigma a D_a \\ q^2 = R \Sigma b D_b \\ r^2 = R \Sigma c D_c \end{array} \right.$$

$$(27) \dots \dots \dots \left\{ \begin{array}{l} q r = R \Sigma b D_c = R \Sigma c D_b \\ r p = R \Sigma c D_a = R \Sigma a D_c \\ p q = R \Sigma a D_b = R \Sigma b D_a \end{array} \right.$$

Nous pouvons maintenant exprimer aussi les $D_a \dots D_{c'}$ à l'aide de p, q, r ; — en effet, les formules :

$$\begin{aligned} R (a D_a + a' D_{a'} + a'' D_{a''}) &= p^2 \\ R (b D_a + b' D_{a'} + b'' D_{a''}) &= p q \\ R (c D_a + c' D_{a'} + c'' D_{a''}) &= p r \end{aligned}$$

donnent aussitôt la première des neuf équations :

$$(28) \left\{ \begin{array}{l} R D_a = p (a p + b q + c r), R D_b = q (a p + b q + c r), \\ R D_{a'} = p (a' p + b' q + c' r), R D_{b'} = q (a' p + b' q + c' r), \\ R D_{a''} = p (a'' p + b'' q + c'' r), R D_{c''} = q (a'' p + b'' q + c'' r), \\ R D_c = r (a p + b q + c r), \\ R D_{c'} = r (a' p + b' q + c' r), \\ R D_{c''} = r (a'' p + b'' q + c'' r). \end{array} \right.$$

D'après la définition des $R_a \dots R_{c''}$, on a $R = \Sigma (a + \frac{1}{2} \Delta a) R_a$, ou bien, à cause de (22), $R = \Sigma a R_a$. En substituant la valeur (21) de R_a il vient :

$$R = 1 + \frac{1}{2} \Sigma a \Delta a - \frac{1}{4} \Sigma a D_a = 1 - \frac{1}{4} \Sigma \Delta a^2 - \frac{1}{4} \Sigma a D_a,$$

ou bien, parce que les relations (11) donnent $\Sigma \Delta a^2 = \Sigma b D_b + \Sigma c D_c$:

$$(29) \dots \dots \dots R = 1 - \frac{1}{4} \Sigma a D_a - \frac{1}{4} \Sigma b D_b - \frac{1}{4} \Sigma c D_c.$$

On tire des équations (26) :

$$p^2 + q^2 + r^2 = R (\Sigma a D_a + \Sigma b D_b + \Sigma c D_c);$$

le facteur de R dans le second membre est égal à $4(1 - R)$ d'après (29), donc :

$$(30) \dots \dots \dots p^2 + q^2 + r^2 = 4R(1 - R).$$

La relation (21) donne encore : $\Sigma b R_a = \frac{1}{2} \Sigma b \Delta a - \frac{1}{4} \Sigma b D_a$, ou bien, à cause de (14) : $\Sigma b R_a = \frac{1}{2} \Sigma b \Delta a + \frac{1}{4} \Sigma \Delta a \Delta b$, c'est-à-dire : $\Sigma b R_a = \frac{1}{2} r$. On obtient de la même manière :

$$(31) \dots \dots \dots \begin{cases} p = 2 \Sigma c R_b = -2 \Sigma b R_c \\ q = 2 \Sigma a R_c = -2 \Sigma c R_a \\ r = 2 \Sigma b R_a = -2 \Sigma a R_b. \end{cases}$$

Les équations :

$$\begin{aligned} a R_a + a' R_{a'} + a'' R_{a''} &= R \\ b R_a + b' R_{a'} + b'' R_{a''} &= \frac{1}{2} r \\ c R_a + c' R_{a'} + c'' R_{a''} &= -\frac{1}{2} q \end{aligned}$$

donnent maintenant la première des neuf relations :

$$(32) \left\{ \begin{aligned} R_a &= aR + \frac{1}{2}(br - cq), R_b = bR + \frac{1}{2}(cp - ar), \\ R_{a'} &= a'R + \frac{1}{2}(b'r - c'q), R_{b'} = b'R + \frac{1}{2}(c'p - a'r), \\ R_{a''} &= a''R + \frac{1}{2}(b''r - c''q), R_{b''} = b''R + \frac{1}{2}(c''p - a''r), \\ R_c &= cR + \frac{1}{2}(aq - bp), \\ R_{c'} &= c'R + \frac{1}{2}(a'p - b'p), \\ R_{c''} &= c''R + \frac{1}{2}(a''q - b''p). \end{aligned} \right.$$

La somme des carrés des mêmes équations donne :

$$\Sigma R_a^2 = R^2 + \frac{1}{4} q^2 + \frac{1}{4} r^2 \quad 3, \text{ donc:}$$

$$\Sigma R_a^2 + \Sigma R_b^2 + \Sigma R_c^2 = 3 R^2 + \frac{1}{2} (p^2 + q^2 + r^2),$$

c'est-à-dire, en vertu de (30) :

$$(33) \dots \dots \dots \Sigma R_a^2 + \Sigma R_b^2 + \Sigma R_c^2 = R^2 + 2R$$

5. Revenons maintenant à la proposition II, qui a été démontrée seulement en supposant $\Delta a, \Delta b \dots \Delta c''$ réels. Faisons donc : $D_a = D_b = \dots = D_{c''} = 0$ et voyons ce qui s'en suit. Les équations (29) et (26) donnent : $R = 1, p = 0, q = 0, r = 0$. Ensuite les équations (19) :

$$\Delta a = 0, \Delta b = 0 \dots, \Delta c'' = 0.$$

Comme nous l'avons déjà annoncé, cette proposition II ne dépend donc en aucune façon de la réalité des quantités $\Delta a \dots \Delta c''$.

6. Voyons maintenant dans quels cas la formule (18) cesse de déterminer l'axe de rotation, c'est-à-dire dans quels cas on a $p = 0, q = 0, r = 0$. La formule (30) fait voir que R est égal à l'unité ou à zéro.

Premier cas : $R = 1, p = 0, q = 0, r = 0$.

Les relations (28) font voir que tous les $D_a \dots D_{c''}$ deviennent égaux à zéro, d'après la proposition II, il s'ensuit que tous les $\Delta a \dots \Delta c''$ sont aussi égaux à zéro : il n'y a pas de déplacement. L'indétermination de l'axe de rotation dans ce cas est aussi annoncée par l'équation (13), elle est dans la nature des choses. Les quatre équations $R = 1, p = 0, q = 0, r = 0$ vérifiant la relation (30) équivalent à trois conditions, qui suffisent à déterminer le déplacement, qui est nul, comme on l'a vu. En effet, la condition $R = 1$ donne bien $p^2 + q^2 + r^2 = 0$, mais *algébriquement* cela n'entraîne nullement $p = 0, q = 0, r = 0$, bien que cela ait lieu en admettant seulement des valeurs réelles. P. e., supposons que le tableau (A) soit :

$$\left| \begin{array}{ccc} 1 & 0 & 0 \\ 0 & 1 & 0 \\ 0 & 0 & 1 \end{array} \right| \text{ et après le déplacement } \left| \begin{array}{ccc} \frac{3}{2} & \frac{i}{2} & i \\ \frac{i}{2} & \frac{1}{2} & -1 \\ -i & 1 & 1 \end{array} \right| \text{ donc}$$

$$\begin{aligned} \Delta a &= \frac{1}{2}, & \Delta b &= \frac{i}{2}, & \Delta c &= i, \\ \Delta a' &= \frac{i}{2}, & \Delta b' &= -\frac{1}{2}, & \Delta c' &= -1, \\ \Delta a'' &= -i, & \Delta b'' &= 1, & \Delta c'' &= 0, \end{aligned}$$

on trouvera $R = 1, p = 1, q = i, r = 0$.

Il en est tout autrement dans le

Second cas : $R = 0, p = 0, q = 0, r = 0$.

En effet, les équations (26) montrent que la condition $R = 0$ entraîne déjà ces trois autres : $p = 0, q = 0, r = 0$. Ce second cas est donc caractérisé par la condition unique $R = 0$, qui ne peut pas déterminer le déplacement, qu'on peut au contraire assujettir encore à deux autres conditions.

Pour reconnaître la signification de cette condition $R = 0$, il faut se reporter aux équations (4) et (5), qui donnent :

$$\begin{aligned} x + \frac{1}{2} \Delta x &= (a + \frac{1}{2} \Delta a) x_1 + (b + \frac{1}{2} \Delta b) y_1 + (c + \frac{1}{2} \Delta c) z_1, \\ y + \frac{1}{2} \Delta y &= (a' + \frac{1}{2} \Delta a') y_1 + (b' + \frac{1}{2} \Delta b') y_1 + (c' + \frac{1}{2} \Delta c') z_1, \\ z + \frac{1}{2} \Delta z &= (a'' + \frac{1}{2} \Delta a'') z_1 + (b'' + \frac{1}{2} \Delta b'') y_1 + (c'' + \frac{1}{2} \Delta c'') z_1. \end{aligned}$$

On voit par là que $R = 0$ est la condition nécessaire et suffisante pour qu'il soit possible de satisfaire aux conditions :

$$\begin{aligned} x + \frac{1}{2} \Delta x &= 0, \\ y + \frac{1}{2} \Delta y &= 0, \\ z + \frac{1}{2} \Delta z &= 0, \end{aligned}$$

par des valeurs de x_1, y_1, z_1 qui ne sont pas toutes nulles. Pour tous les points d'une certaine droite passant par l'origine on a alors $x + \Delta x = -x, y + \Delta y = -y, z + \Delta z = -z$, c'est-à-dire, après le déplacement cette droite se retrouve dans sa première position, avec superposition des deux moitiés différentes. Or une considération géométrique bien simple montre que le déplacement consiste alors dans une rotation de 180° autour d'un certain axe, et que toutes les droites passant par l'origine

et situées dans un plan perpendiculaire à l'axe de rotation jouissent de la propriété énoncée. Ainsi, lorsque $R = 0$, les trois plans :

$$\begin{aligned} (a + \frac{1}{2} \Delta a) x_1 + (b + \frac{1}{2} \Delta b) y_1 + (c + \frac{1}{2} \Delta c) z_1 &= 0, \\ (a' + \frac{1}{2} \Delta a') x_1 + (b' + \frac{1}{2} \Delta b') y_1 + (c' + \frac{1}{2} \Delta c') z_1 &= 0, \\ (a'' + \frac{1}{2} \Delta a'') x_1 + (b'' + \frac{1}{2} \Delta b'') y_1 + (c'' + \frac{1}{2} \Delta c'') z_1 &= 0, \end{aligned}$$

passent non seulement par une même droite, mais ces trois plans coïncident avec un plan mené par l'origine perpendiculairement à l'axe de rotation. Autrement, et dans le langage de l'algèbre, nous pouvons énoncer cette :

Proposition III. Lorsque le déterminant R est égal à zéro, ces neuf mineurs $R_a, R_b \dots R_{c'}$ s'évanouissent en même temps.

En effet, la supposition $R = 0$ donne $p = 0, q = 0, r = 0$, et dès lors les équations (32) mettent en évidence notre proposition. Cette démonstration, on le voit, ne dépend nullement de la réalité des quantités $a, b \dots, \Delta a, \Delta b \dots$, comme la considération géométrique qui nous a conduit d'abord à cette proposition. Dans le cas actuel, la relation (21) donne encore : $D_a = 4(a + \frac{1}{2} \Delta a)$ etc., en sorte que l'équation (13) de l'axe de rotation peut s'écrire :

$$(34) \quad \left\{ \begin{aligned} x_1 : y_1 : z_1 &= a + \frac{1}{2} \Delta a : b + \frac{1}{2} \Delta b : c + \frac{1}{2} \Delta c \\ &= a' + \frac{1}{2} \Delta a' : b' + \frac{1}{2} \Delta b' : c' + \frac{1}{2} \Delta c' \\ &= a'' + \frac{1}{2} \Delta a'' : b'' + \frac{1}{2} \Delta b'' : c'' + \frac{1}{2} \Delta c'', \end{aligned} \right.$$

ce qui est bien conforme à ce que nous venons de dire.

Il n'y a pas lieu de s'occuper du sens de la rotation, parce qu'une rotation de 180° dans l'un ou l'autre sens produit le même effet.

7. Après avoir traité complètement le cas $p=0, q=0, r=0$ nous en ferons abstraction dans la suite, et par conséquent l'axe de rotation sera déterminé par l'équation (18). Il nous reste à déterminer l'amplitude et le sens de la rotation qui permet de passer de la première position du système invariable à la seconde position.

Soit ϑ l'amplitude de la rotation; comme une rotation ϑ dans un sens produit le même effet qu'une rotation $360^\circ - \vartheta$ effectuée dans le sens contraire, nous pouvons supposer la valeur absolue de ϑ inférieure à 180° . Prenons un point arbitraire P sur l'axe de rotation et une droite OQ perpendiculaire à OP et liée au système invariable. Pour amener la droite OQ dans sa position finale, il faut la tourner d'un angle $\vartheta < 180^\circ$ autour de OP , dans un certain sens. Supposons que par une rotation de 90° dans le même sens, la droite OQ vienne dans la position OR . Alors nous conviendrons de considérer l'angle ϑ comme positif ou négatif selon que les trois droites OP, OQ, OR ont ou n'ont pas la même disposition que les axes Ox, Oy, Oz . Nous avons pris arbitrairement la direction OP sur l'axe de rotation. On voit qu'en prenant la direction opposée, le signe de ϑ change.

Supposons OQ égal à l'unité et OQ' la position finale de OQ , on voit immédiatement que

$$QQ'^2 = 4 \sin^2 \frac{1}{2} \vartheta,$$

et cette équation détermine complètement la valeur absolue de ϑ .

Soient x_1, y_1, z_1 les coordonnées de Q par rapport aux axes Ox_1, Oy_1, Oz_1 . Les équations (5) donnent :

$$\begin{aligned} QQ'^2 = \Delta x^2 + \Delta y^2 + \Delta z^2 = & x_1^2 \Sigma \Delta a^2 + 2 y_2 z_1 \Sigma \Delta b \Delta c \\ & + y_1^2 \Sigma \Delta b^2 + 2 z_1 x_1 \Sigma \Delta c \Delta a \\ & + z_1^2 \Sigma \Delta c^2 + 2 x_1 y_1 \Sigma \Delta a \Delta b. \end{aligned}$$

En multipliant par R nous trouvons, en faisant attention aux relations (25) :

$$\begin{aligned} R(\Delta x^2 + \Delta y^2 + \Delta z^2) = & (q^2 + r^2) x_1^2 - 2 q r y_1 z_1 \\ & + (r^2 + p^2) y_1^2 - 2 r p z_1 x_1 \\ & + (p^2 + q^2) z_1^2 - 2 p q x_1 y_1 = \\ & (p^2 + q^2 + r^2)(x_1^2 + y_1^2 + z_1^2) - (p x_1 + q y_1 + r z_1)^2. \end{aligned}$$

Mais on a $p x_1 + q y_1 + r z_1 = 0$, à cause de la perpendi-

cularité de OP et OQ , et $x_1^2 + y_1^2 + z_1^2 = 1$; donc :

$$4R \sin \frac{1}{2} \theta^2 = p^2 + q^2 + r^2 = 4R(1-R).$$

Nous arrivons donc à l'expression suivante, qui détermine la valeur absolue de θ :

$$(35) \dots \dots \dots \sin \frac{1}{2} \theta^2 = 1 - R$$

Il faut encore déterminer le signe de θ . Pour cela, soit $OP=1$, et soient

$$\begin{matrix} X_1, & Y_1, & Z_1 \\ X_2, & Y_2, & Z_2 \\ X_3, & Y_3, & Z_3 \end{matrix}$$

les coordonnées de P, Q, Q' par rapport aux axes Ox_1, Oy_1, Oz_1 (dans leur position initiale). Le déterminant

$$\begin{vmatrix} X_1 & Y_1 & Z_1 \\ X_2 & Y_2 & Z_2 \\ X_3 & Y_3 & Z_3 \end{vmatrix}$$

est alors égal en valeur absolue au sextuple de la pyramide $OPQ'Q'$, c'est-à-dire égal à $\pm \sin \theta$, et, d'après la manière dont nous déterminons le signe de θ , le signe de ces deux expressions est encore le même, donc :

$$\sin \theta = \begin{vmatrix} X_1 & Y_1 & Z_1 \\ X_2 & Y_2 & Z_2 \\ X_3 & Y_3 & Z_3 \end{vmatrix} = \begin{vmatrix} X_1 & Y_1 & Z_1 \\ X_2 & Y_2 & Z_2 \\ X_3 - X_2 & Y_3 - Y_2 & Z_3 - Z_2 \end{vmatrix}$$

$$\sin \theta = (X_3 - X_2)(Y_1 Z_2 - Y_2 Z_1) + (Y_3 - Y_2)(Z_1 X_2 - Z_2 X_1) + (Z_3 - Z_2)(X_1 Y_2 - X_2 Y_1)$$

Or, en posant $S = \sqrt{p^2 + q^2 + r^2}$, on aura $X_1 = \frac{p}{S}, Y_1 = \frac{q}{S}, Z_1 = \frac{r}{S}$.

On peut prendre arbitrairement S positif ou négatif, il faut seulement conserver dans la suite la valeur adoptée.

Ensuite $X_3-X_2, Y_3-Y_2, Z_3-Z_2$ sont évidemment les projections sur les axes Ox_1, Oy_1, Oz_1 , de la ligne QQ' . Or on connaît, par les formules (5), les projections de QQ' sur les axes Ox, Oy, Oz ; on en conclut :

$$\begin{aligned} X_3 - X_2 &= X_2 \Sigma a \Delta a + Y_2 \Sigma a \Delta b + Z_2 \Sigma a \Delta c \\ Y_3 - Y_2 &= X_2 \Sigma b \Delta b + Y_2 \Sigma b \Delta b + Z_2 \Sigma b \Delta c \\ Z_3 - Z_2 &= X_2 \Sigma c \Delta a + Y_2 \Sigma c \Delta b + Z_2 \Sigma c \Delta c. \end{aligned}$$

Or on trouve facilement, à l'aide des équations (2), (16), (25) :

$$(36) \dots \dots \dots \left\{ \begin{aligned} R \Sigma a \Delta a &= -\frac{1}{2}(q^2 + r^2) \\ R \Sigma b \Delta b &= -\frac{1}{2}(r^2 + p^2) \\ R \Sigma c \Delta c &= -\frac{1}{2}(p^2 + q^2) \end{aligned} \right.$$

$$(37) \left\{ \begin{aligned} R \Sigma a \Delta b &= -Rr + \frac{1}{2}pq, & R \Sigma b \Delta a &= +Rr + \frac{1}{2}pq \\ R \Sigma b \Delta c &= -Rp + \frac{1}{2}qr, & R \Sigma c \Delta b &= +Rp + \frac{1}{2}qr \\ R \Sigma c \Delta a &= -Rq + \frac{1}{2}rp, & R \Sigma a \Delta c &= +Rq + \frac{1}{2}rp. \end{aligned} \right.$$

En introduisant ces valeurs et celles-ci : $X_1 = \frac{p}{S}, Y_1 = \frac{q}{S},$

$Z_1 = \frac{r}{S}$, il vient :

$$\begin{aligned} RS \sin \theta &= \left[-\frac{1}{2}(q^2 + r^2)X_2 + (-Rr + \frac{1}{2}pq)Y_2 + (Rq + \frac{1}{2}rp)Z_2 \right] \\ &\hspace{15em} (qZ_2 - rY_2) \\ &+ \left[(Rr + \frac{1}{2}pq)X_2 - \frac{1}{2}(r^2 + p^2)Y_2 + (-Rp + \frac{1}{2}qr)Z_2 \right] \\ &\hspace{15em} (rX_2 - pZ_2) \\ &+ \left[(-Rq + \frac{1}{2}rp)X_2 + (Rp + \frac{1}{2}qr)Y_2 - \frac{1}{2}(p^2 + q^2)Z_2 \right] \\ &\hspace{15em} (pY_2 - qX_2) \end{aligned}$$

En réduisant, le second membre devient divisible par R et l'on obtient :

$$\begin{aligned} S \sin \theta &= (q^2 + r^2) X_2^2 - 2 q r Y_2 Z_2 \\ &+ (r^2 + p^2) Y_2^2 - 2 r p Z_2 X_2 \\ &+ (p^2 + q^2) Z_2^2 - 2 p q X_2 Y_2 \end{aligned}$$

et comme tout à l'heure $S \sin \theta = p^2 + q^2 + r^2 = S^2$; donc définitivement :

(38) $\sin \theta = S$.

Les formules (35) et (38), c'est-à-dire :

$$\begin{aligned} \sin \theta &= S \\ \cos \theta &= 2 R - 1, \end{aligned}$$

donnent sans aucune ambiguïté l'angle de rotation θ .

8. La position du système invariable dépend de trois paramètres. Par conséquent, on peut se proposer de déterminer la seconde position en connaissant la première position et les trois quantités p, q, r . Nous avons à exprimer $\Delta a \dots \Delta c''$ à l'aide de p, q, r et de $a, b, c \dots c''$. Les formules que nous avons développées donnent facilement la solution de ce problème. Remarquons d'abord que la quantité R se détermine à l'aide de la relation $p^2 + q^2 + r^2 = 4 R (1 - R)$. On trouve deux valeurs de R qui se rapportent à deux rotations autour d'un même axe, mais dont les amplitudes sont supplémentaires. Les formules (19) et (32) donnent ensuite :

(39) $R \Delta a = R (b r - c q) + \frac{1}{2} p (a p + b q + c r) - \frac{1}{2} a (p^2 + q^2 + r^2)$. 9

Voici une autre expression des $\Delta a \dots$, qu'on obtient à l'aide de (21) et (32) :

$$(40) \dots \Delta a = b r - c q + \frac{1}{2} D_a - 2 a (1 - R) \quad 9$$

Désignons par u, v, w les cosinus des angles que la direction OP de l'axe de rotation fait avec les axes Ox_1, Oy_1, Oz_1 , et par k, k', k'' les cosinus des angles que la même direction fait avec les axes Ox, Oy, Oz ; — on aura, d'après ce qui précède :

$$\begin{aligned} p &= u \sin \theta, & ap + bq + cr &= k \sin \theta, \\ q &= v \sin \theta, & a'p + b'q + cr &= k' \sin \theta, \\ r &= w \sin \theta, & a''p + b''q + c''r &= k'' \sin \theta. \end{aligned}$$

Les équations (28) prennent la forme simple :

$$\begin{aligned} D_a &= 2(1 - \cos \theta)uk, & D_b &= 2(1 - \cos \theta)vk, & D_c &= 2(1 - \cos \theta)wk, \\ D_{a'} &= 2(1 - \cos \theta)uk', & D_{b'} &= 2(1 - \cos \theta)vk', & D_{c'} &= 2(1 - \cos \theta)wk', \\ D_{a''} &= 2(1 - \cos \theta)uk'', & D_{b''} &= 2(1 - \cos \theta)vk'', & D_{c''} &= 2(1 - \cos \theta)wk'', \end{aligned}$$

et les formules (40) :

$$\Delta a = \sin \theta (b w - c v) + (1 - \cos \theta) (u k - a) \quad 9$$

9. Les équations (13) et (18) sont celles de l'axe de rotation par rapport aux axes Ox_1, Oy_1, Oz_1 . On obtient des équations aussi simples par rapport aux axes Ox, Oy, Oz . En effet, on a : $x_1 = a x + a' y + a'' z$, donc $0 = x \Delta a + y \Delta a' + z \Delta a'' + a \Delta x + a' \Delta y + a'' \Delta z + \Delta a \Delta x + \Delta a' \Delta y + \Delta a'' \Delta z$, et par conséquent l'axe de rotation est déterminé par :

$$\begin{aligned} 0 &= x \Delta a + y \Delta a' + z \Delta a'' \\ 0 &= x \Delta b + y \Delta b' + z \Delta b'' \\ 0 &= x \Delta c + y \Delta c' + z \Delta c'', \text{ d'où} \end{aligned}$$

$$(41) \dots \dots \left\{ \begin{aligned} x : y : z &= D_a : D_{a'} : D_{a''} \\ &= D_b : D_{b'} : D_{b''} \\ &= D_c : D_{c'} : D_{c''}. \end{aligned} \right.$$

En poursuivant cette voie, il faudrait introduire, au lieu de p, q, r , trois autres quantités s, s', s'' par les équations :

$$(42) . \begin{cases} s = S(a' + \frac{1}{2} \Delta a') \Delta a'' = -S(a'' + \frac{1}{2} \Delta a'') \Delta a', \\ s' = S(a'' + \frac{1}{2} \Delta a'') \Delta a = -S(a + \frac{1}{2} \Delta a) \Delta a'' \\ s'' = S(a + \frac{1}{2} \Delta a) \Delta a' = -S(a' + \frac{1}{2} \Delta a') \Delta a. \end{cases}$$

Ici le signe sommatoire S a rapport à trois termes qu'on déduit de celui qui est écrit en changeant a en b et en c .

L'axe de rotation est déterminé alors aussi par :

$$(43) x : y : z = s : s' : s''.$$

On obtient du reste un système de relations tout à fait semblable aux formules que nous avons déduites dans le N°. 4; — je crois inutile de m'y arrêter et je me contenterai de donner ces relations :

$$(44) . . \begin{cases} s = ap + bq + cr, & p = as + a's' + a''s'', \\ s' = a'p + b'q + c'r, & q = bs + b's' + b''s'', \\ s'' = a''p + b''q + c''r, & r = cs + c's' + c''s''. \end{cases}$$

LEYDE, août 1884.

ERRATA.

(tome XIX, 2^e livraison)

Page 156, ligne 2, au lieu de 1860, lisez: 1680.

Page 163, lignes 2 et 3, au lieu de ces dernières augites, beaucoup plus abondantes que les vertes, lisez: ces derniers cristaux, beaucoup plus abondants que les verts.

Notre Société vient de subir une perte des plus douloureuses : son Secrétaire, E. H. von Baumhauer, nous a été enlevé au milieu de ses travaux continus pour le bien de la Société Hollandaise des Sciences. Cette livraison, dont il a dirigé l'impression avec son zèle et son exactitude habituels, en est la dernière preuve.

Edouard Henri von Baumhauer naquit le 18 septembre 1820. De ses trois frères, qui tous se sont distingués en diverses régions de la science, les deux aînés l'avaient devancé dans la tombe : lui restait à son poste, sans donner le moindre soupçon qu'il les suivrait de si tôt.

Reçu successivement, en 1843 et en 1844, *Phil. Theor. Mag. Litt. Hum. Doctor* et *Math. Mag. Phil. Nat. Doctor* ¹⁾, il fut

¹⁾ Les deux thèses qu'il écrivit à cette occasion ont pour titre :

Sententiae veterum philosophorum graecorum de visu, lumine et coloribus, 1843.

De ortu lapidum meteoricorum, annexis duorum lapidum analysisibus chemicis, 1844.

nommé, en 1845, professeur de physique et de chimie à l'Athénée Royal de Maastricht, puis, en 1848, professeur de chimie et de pharmacie à l'Athénée Illustre d'Amsterdam. Enfin, en 1864, il devint Secrétaire de notre Société, place qui était vacante par la retraite du Prof. Dr. J. G. S. van Breda. C'est alors que cette charge et celle de Conservateur de la Fondation de Teyler, qui si longtemps avaient été réunies en une même personne, furent séparées. Les heureux effets de cette séparation ne sont pas douteux.

Von Baumhauer entra en fonction à un moment intéressant. Quelques membres de la Société, MM. J. van der Hoeven, H. J. Halbertsma et D. Bierens de Haan, avaient fait la proposition de fonder un journal dans la langue française, où les publications scientifiques écrites dans notre langue pourraient trouver une place, traduites en français, soit en entier, soit par extrait ou par analyse. La Société avait agréé cette proposition, et ce fut von Baumhauer qui, à la tête d'une Commission de rédacteurs, donna au public le premier volume des *Archives néerlandaises des sciences exactes et naturelles*. La Commission était composée de MM. R. van Rees, J. van der Hoeven et D. Bierens de Haan (M. H. J. Halbertsma étant mort avant qu'il y eût un commencement d'exécution); plus tard, MM. C. A. J. A. Oudemans, W. Koster, C. H. D. Buys Ballot et C. K. Hoffmann y furent adjoints. Cette publication, à laquelle von Baumhauer a personnellement contribué par beaucoup d'articles intéressants, et qu'il a su faire entrer dans le nombre des journaux scientifiques que l'on consulte et que l'on cite, a été d'une grande influence pour la propagation des produits

de science néerlandaise. Le but, qui était d'abord de constituer à chaque auteur son droit de priorité et de faire connaître à l'étranger nos travaux, presque inaccessibles à cause de notre langue, ce but a non seulement été absolument atteint, mais von Baumhauer a fait des *Archives* un journal européen, dont désormais on ne pourrait guère se passer. C'est en 1866 que parut le premier volume; maintenant, nous en sommes au volume XIX. Certes, la Société voit ses fonds bien placés dans une entreprise qui a si parfaitement réussi.

Mais dans d'autres voies encore von Baumhauer a bien mérité de la Société. Grâce à ses relations étendues avec des hommes de science, il a contribué à beaucoup élargir le cercle de nos correspondances avec l'étranger. Et cela lui a été d'un précieux secours dans une entreprise dont il a vu d'excellents résultats. La Société s'est dé faite de plusieurs collections scientifiques éparses, sans aucun lien mutuel, pour s'attacher spécialement à enrichir une collection, de la plus haute importance, de Mémoires scientifiques publiés par diverses Académies. A cet effet, von Baumhauer ne s'en est pas tenu exclusivement au système d'échanges mutuels des publications avec les principales Institutions scientifiques, mais il a travaillé sans relâche à remplir par voie d'achat les lacunes que les collections de ce genre présentent toujours, les Institutions ne possédant généralement plus, pour l'échange, des séries complètes. De plus, ces collections étant en grande partie, pour ainsi dire, contemporaines, il les a fait enraciner dans les siècles passés, en les complétant autant que possible dès leur commencement. C'est ainsi que, par une persévérance

et une exactitude extraordinaires, il a su constituer une collection tellement complète et bien organisée, qu'elle lui sera toujours un monument à sa mémoire.

La mort l'a interrompu, le 18 janvier, au milieu de ses travaux, qu'il a conduits presque jusqu'au dernier jour de sa vie. Dans notre Société, E. H. von Baumhauer laisse un vide soudain, une place difficile à bien remplir.

ARCHIVES NÉERLANDAISES

DES

Sciences exactes et naturelles.

SUR LES TRAJECTOIRES

DÉCRITES

SOUS L'INFLUENCE D'UNE FORCE CENTRALE,

PAR

D. J. KORTEWEG.

I. INTRODUCTION.

1. Pour se faire, *à priori*, une idée des différentes formes que pourront prendre les trajectoires résultant de l'action d'une force centrale qui est une fonction uniforme de la distance au centre, on n'a qu'à poursuivre, d'abord dans la direction centrifuge, puis dans la direction centripète, une trajectoire idéale, et à noter les divers cas qui peuvent se présenter. On reconnaît alors immédiatement que la *branche centrifuge* peut finir de trois manières. Elle peut, *en premier lieu*, conduire à un apocentre. La droite qui joint le centre à l'apocentre est alors un axe de symétrie de la trajectoire, de sorte que tout examen de la forme ultérieure de cette trajectoire devient superflu. La branche peut, *en second lieu*, s'éloigner du centre jusqu'à l'infini. *En troisième lieu*, la distance au centre peut approcher d'une valeur limite, qui n'est jamais atteinte. La trajectoire fait alors une infinité de circonvolutions, à la manière d'une spirale, en se rapprochant de plus en plus d'un cercle asymptotique situé en dehors d'elle, sans jamais atteindre ce cercle. Pour désigner cette dernière forme, nous dirons que la trajectoire finit en spirale à cercle asymptotique extérieur ¹⁾.

1) En posant la question comme je le fais ici, la possibilité de l'existence de cette troisième forme de la trajectoire devient évidente dès l'abord. Pourtant, en parcourant la littérature, je ne l'ai trouvée mentionnée que chez van Geer. *Beschouwingen over de recht- en kroml. bew. van een punt.* (1874) et Kärger, *Grunert's Archiv* 58, p. 255, (1876).

Les *branches centripètes* se comportent également de trois manières différentes. Il y en a, *en premier lieu*, qui conduisent au centre. Ce qu'elles deviennent au-delà de ce point, c'est une question dont nous ne nous occuperons pas. Il y en a, *en second lieu* qui donnent naissance à un péricentre, et, *en troisième lieu*, d'autres qui se terminent en spirale à cercle asymptotique intérieur.

En combinant entre eux ces divers modes de terminaison de la trajectoire en direction centrifuge et en direction centripète, on voit donc qu'il peut se présenter *neuf* formes principales différentes, sans compter les formes circulaires et radiales.

2. Si l'on considère maintenant les trajectoires qui prennent naissance sous l'action des forces centrales les plus connues, savoir, la force proportionnelle à la distance et la force en raison inverse du carré de la distance, ce qui doit frapper tout d'abord, c'est que, des neuf formes principales possibles, il s'en produit seulement une dans le premier cas, et seulement deux dans le second. En outre, dans le second cas, le caractère auquel on peut juger, pour un point de départ donné et pour une vitesse donnée, laquelle des deux formes principales apparaîtra, est remarquable par sa simplicité. La direction de la vitesse, en effet, est indifférente; il s'agit seulement de savoir si la vitesse est assez grande pour animer le point d'une force vive capable de fournir le travail nécessaire au transport du point à l'infini. Ce caractère simple persiste pour beaucoup de lois de force, mais pour d'autres il est en défaut. Quelles sont les conditions dans lesquelles il a cours? Entre quelles limites s'applique cette propriété si remarquable de beaucoup de lois de force, que les trajectoires dirigées d'emblée vers le centre sont les seules qui atteignent ce centre, tandis que toutes les autres conduisent à un péricentre? Quelles sont, en général, les conditions sous lesquelles se produisent les différentes formes principales? Dans ce qui a été écrit sur le mouvement central on trouve, pour beaucoup d'hypothèses particulières concernant la loi de la force, le calcul des trajectoires et l'indication de leurs formes. Surtout depuis l'introduction des fonctions elliptiques, le nombre des cas,

où les équations différentielles auxquelles on parvient sont intégrables, s'est notablement accru. Néanmoins, j'ai cherché en vain dans la littérature une réponse directe et générale aux questions qui viennent d'être posées, et c'est ainsi que j'ai été conduit à entreprendre une étude personnelle, qui m'a fait découvrir quelques propriétés générales du mouvement central, assez intéressantes, me semble-t-il, pour être communiquées.

3. Dès le début de mes recherches, j'ai reconnu qu'il convient de partager le champ dans lequel agit la force centrale et qui, puisque toutes les trajectoires sont planes, peut être considéré comme un plan, en trois espèces de régions. A la *première espèce* appartient toute région où la force centrale est répulsive; à la *seconde espèce*, toute région où elle attire et où, en outre, le produit de la force et du cube de la distance au centre croît avec cette distance; à la *troisième espèce*, toute région où la force est attractive et où le produit en question diminue lorsque la distance augmente.

Une région de la *première espèce* sera appelé une région de répulsion, une de la *seconde espèce* une région de stabilité, et une de la *troisième espèce* une région d'instabilité, ces deux dernières dénominations étant empruntées de l'action différente qu'une légère perturbation produit sur le mouvement dans la trajectoire circulaire, suivant que cette trajectoire circulaire se trouve dans une région de la *seconde* ou de la *troisième* espèce.

Naturellement, on peut encore rencontrer, comme cas très particuliers: une région où la force n'exerce aucune action, et une région, — celle de la *raison inverse du cube*, — où le produit de la force par le cube de la distance reste constant.

Un champ de force arbitrairement donné peut être partagé, par des cercles ayant pour centre le point d'où l'action émane, en régions de ces différentes espèces.

4. Il y a deux grandeurs qui, sur une même trajectoire, possèdent partout la même valeur. L'une est relative à l'énergie. Si nous mesurons l'énergie potentielle par le travail qui devient libre lorsque la particule est portée, du point qu'elle occupe, à

une distance fixée une fois pour toutes, l'*énergie actuelle* par la moitié de la force vive, alors la somme de ces deux quantités, l'*énergie totale*, est constante pour chaque trajectoire donnée.

L'autre grandeur constante est le secteur décrit dans l'unité de temps. On donne à cette grandeur, — par analogie avec l'expression : vitesse angulaire, — le nom de *vitesse aréolaire*.

Ces deux constantes et *un* point de la trajectoire déterminent, lorsque la loi de la force est connue, la trajectoire et la vitesse en chacun de ses points. En effet, au moyen de l'*énergie totale* on peut calculer la grandeur de la vitesse au point donné, puis, au moyen de la *vitesse aréolaire*, la direction de cette vitesse ; de là on déduira la position du point suivant, et, en continuant de la sorte, on arrivera à construire la trajectoire entière.

Si l'on choisit ensuite un autre point de départ, sans rien changer à l'*énergie totale* ni à la *vitesse aréolaire*, on retrouvera une trajectoire de la même forme et parcourue avec la même vitesse, *pourvu* que le rayon vecteur du point de départ soit égal à celui d'un des points qui appartenaient à la première trajectoire. Prend-on, au contraire, un point de départ dont le rayon vecteur est plus grand que le maximum ou plus petit que le minimum des rayons vecteurs offerts par la première trajectoire, il pourra encore arriver qu'une trajectoire passe par ce point de départ, mais cette trajectoire possédera alors une forme différente. Avec une *énergie totale* et une *vitesse aréolaire* données, plusieurs trajectoires, de forme différente, sont en général possibles, mais deux de ces trajectoires ne peuvent jamais avoir un rayon vecteur de même longueur, de sorte que la connaissance d'un des rayons vecteurs de la trajectoire détermine celle-ci sans la moindre ambiguïté.

Il va sans dire qu'au point de vue purement mathématique toutes ces trajectoires sont connexes et que toutes, si l'intégration des équations du mouvement peut se faire, seront comprises dans la même équation analytique. Mais il est impossible qu'une particule matérielle passe d'une de ces trajectoires à l'autre, de sorte qu'au point de vue mécanique ce sont des trajectoires différentes.

Comme c'est exclusivement à ce dernier point de vue que les trajectoires seront considérées dans la suite de ce travail, je présenterai ici une remarque qui, pour cette raison, pourrait difficilement trouver place ailleurs. Elle concerne une circonstance qui me causa d'abord quelque surprise. Si d'un même point et avec une même vitesse initiale on fait partir des trajectoires dans des directions différentes, une différence infiniment petite de la direction occasionnera souvent, comme on le verra plus loin, une différence finie dans la distance de l'apocentre. Cela aura lieu chaque fois que, pour une certaine direction de la vitesse, il se produit une trajectoire terminée en spirale à cercle asymptotique.

Comment expliquer ce phénomène au point de vue mathématique? De la manière suivante: A une direction déterminée de la vitesse correspondent deux trajectoires, dans lesquelles la vitesse aréolaire et l'énergie totale possèdent la même valeur, et qui sont donc mathématiquement connexes. L'extérieure de ces deux trajectoires enveloppe l'autre, de telle sorte que son péricentre est plus éloigné du centre que ne l'est l'apocentre de la trajectoire intérieure. Si l'on fait maintenant varier graduellement, dans un sens déterminé, la direction ou la grandeur de la vitesse au point donné, la distance apocentre de la trajectoire intérieure et la distance péricentre de la trajectoire extérieure approchent de plus en plus de l'égalité. Au moment où cette égalité est complètement réalisée, les deux trajectoires se terminent en spirales, qui sont asymptotiques à un même cercle, l'une à l'intérieur, l'autre à l'extérieur.

L'instant suivant, les deux trajectoires sont confondues et doivent être considérées, même au point de vue mécanique, comme une trajectoire unique. La particule matérielle, qui parcourt la trajectoire, atteint alors subitement une distance apocentre égale à celle de la trajectoire extérieure.

5. Par chaque point peut être menée *une* trajectoire circulaire; pour faire décrire celle-ci, il faut donner à la particule matérielle une vitesse déterminée, que nous appellerons la *vitesse circulaire* en ce point; la valeur que l'énergie acquiert alors sera dite

l'énergie du mouvement circulaire en ce point; de même, on peut parler de la *vitesse aréolaire du mouvement circulaire* en un point donné.

Dans la suite, nous supposerons que la masse de la particule matérielle est égale à l'unité de masse, ce qui naturellement ne constitue pas une limitation. Nous introduirons, en outre, les notations suivantes :

- ρ_0 distance du centre au point où l'énergie potentielle est supposée égale à *zéro*,
- ρ distance d'un point quelconque au centre,
- v vitesse en un point quelconque de la trajectoire,
- μ angle aigu entre la tangente et le rayon vecteur,
- F force attractive,
- A énergie totale d'une trajectoire quelconque,
- A_w énergie du mouvement circulaire en un point donné,
- B vitesse aréolaire d'une trajectoire quelconque,
- B_w vitesse aréolaire du mouvement circulaire en un point donné,

A mesure que l'angle μ est plus petit, la trajectoire sera dite plus inclinée.

Entre ces quantités existent, comme on sait, les relations suivantes :

$$w^2 = F \rho \dots \dots \dots (1)$$

$$A = \frac{1}{2} v^2 + \int_{\rho_0}^{\rho} F d \rho \dots \dots \dots (2)$$

$$A_w = \frac{1}{2} w^2 + \int_{\rho_0}^{\rho} F d \rho = \frac{1}{2} F \rho + \int_{\rho_0}^{\rho} F d \rho \dots \dots \dots (3)$$

$$B = \frac{1}{2} \rho v \sin \mu \dots \dots \dots (4)$$

$$B_w = \frac{1}{2} \rho w \dots \dots \dots (5)$$

Nous noterons encore la condition sous laquelle un *péricentre* ou un *apocentre* apparaît dans la trajectoire. Tous les deux exigent

$$\mu = 90^\circ,$$

mais un *péricentre* demande, en outre :

$$v > w \text{ et par conséquent } A > A_w,$$

un *apocentre*, au contraire :

$$v < w \text{ et par conséquent } A < A_w.$$

Une *terminaison en spirale à cercle asymptotique* exige naturellement, puisque la trajectoire approche alors de plus en plus, par sa forme, de la trajectoire circulaire :

$$\lim v = \lim w \quad A = \lim A_w.$$

Enfin nous signalerons une proposition dont, par la suite, nous ferons tacitement un usage répété, à savoir : que lorsque d'un même point partent différentes trajectoires, avec la même vitesse, mais dans des directions différentes, on trouve les mêmes vitesses dans tous les points de ces trajectoires dont les rayons vecteurs sont égaux. En effet, l'énergie est la même dans toutes ces trajectoires. A égale distance du centre, il y a en outre, sur toutes les trajectoires, égalité d'énergie potentielle, donc aussi égalité d'énergie actuelle, et par conséquent égalité de vitesse.

II. THÉORÈMES GÉNÉRAUX.

6. THÉORÈME I. *L'énergie du mouvement circulaire, la vitesse aréolaire du mouvement circulaire et la quantité $F \cdot \rho^3$, en un point donné, croissent et décroissent toujours simultanément quand le point est déplacé dans le champ.*

Démonstration. Les trois grandeurs en question sont exclusivement des fonctions de ρ . On a :

$$\frac{d. A_w}{d \rho} = \frac{3}{2} F + \frac{1}{2} \rho \frac{d F}{d \rho} = \frac{1}{2 \rho^2} \cdot \frac{d. F \cdot \rho^3}{d \rho} \dots \dots (6)$$

d'où il suit que les dérivées de A_w et de $F \rho^3$, par rapport à ρ , ont toujours le même signe.

On a en outre :

$$B^2 w = \frac{1}{4} \rho^2 w^2 = \frac{1}{4} F \cdot \rho^3 \dots \dots \dots (7)$$

ce qui achève la démonstration du théorème.

Corollaires. a. Dans une région de stabilité l'énergie et la vitesse aréolaire du mouvement circulaire croissent avec la distance, dans une région d'instabilité elles décroissent avec elle.

b. Dans la région de la raison inverse du cube, l'énergie et la vitesse aréolaire du mouvement circulaire sont partout les mêmes.

c. A la limite entre une région de stabilité et une région d'instabilité l'énergie et la vitesse aréolaire du mouvement circulaire acquièrent des valeurs maximum ou minimum : des valeurs maximum lorsque la région d'instabilité se trouve à l'extérieur, des valeurs minimum lorsque c'est la région de stabilité qui a cette situation.

d. L'apocentre et le péricentre d'une même trajectoire ne peuvent jamais être situés dans une même région d'instabilité. En effet, si l'on désigne par ρ_2 le rayon vecteur de l'apocentre, par ρ_1 celui du péricentre, on a nécessairement $w_2^2 > v_2^2$, donc $A_{w_2} > A$; par contre $A_{w_1} < A$, donc $A_{w_2} > A_{w_1}$. Or cela est évidemment en contradiction avec le théorème ci-dessus démontré, car, puisque $\rho_2 > \rho_1$, on devrait avoir, dans une région d'instabilité : $A_{w_2} < A_{w_1}$.

e. De là il suit immédiatement que si le champ entier consiste en une seule région d'instabilité, comme c'est le cas, par exemple, pour toute loi de force $F = \frac{f}{\rho^n}$, où $n > 3$, une même trajectoire ne peut jamais présenter à la fois un péricentre et un apocentre. Dans un pareil champ, toutes les trajectoires doivent donc conduire ou bien de l'infini à un péricentre (ou à une terminaison en spirale à cercle asymptotique intérieur), ou bien du centre à un apocentre (ou à une terminaison en spirale à cercle asymptotique extérieur), ou enfin de l'infini au centre.

f. Du corollaire d on peut encore déduire qu'une trajectoire

circulaire dans une région d'instabilité représente un état de mouvement instable, en ce sens que, à la suite d'un petit dérangement, la particule mobile s'éloignera finalement à une distance considérable de la trajectoire circulaire primitive. Après ce dérangement, en effet, soit le péricentre, soit l'apocentre, doit se trouver en dehors de la région d'instabilité.

g. Toute trajectoire qui part d'un point quelconque d'une région d'instabilité en direction centrifuge, avec une vitesse supérieure ou égale à la vitesse circulaire locale, doit nécessairement abandonner cette région au côté extérieur, ou, s'il s'étend à l'infini, posséder une branche qui se prolonge à l'infini. Cette conséquence vaut aussi pour la région de la raison inverse du cube.

En effet, un apocentre est impossible, parce que l'énergie totale de la trajectoire est égale ou supérieure à celle de la trajectoire circulaire locale et qu'il doit en rester ainsi pour toutes les trajectoires circulaires situées à l'extérieur de celle-ci. La trajectoire ne peut pas non plus se terminer en spirale à cercle asymptotique, car alors elle finirait par différer infiniment peu de la trajectoire circulaire asymptotique, et l'énergie de l'une et de l'autre devrait donc être la même. Or cela ne peut pas arriver, puisque l'énergie de la trajectoire surpasse celle de toutes les trajectoires circulaires extérieures. Qu'une trajectoire dont l'énergie est égale à celle de toutes les trajectoires circulaires dans une région de la raison inverse du cube ne se termine pas en spirale à cercle asymptotique, c'est ce que nous verrons plus tard, quand nous déterminerons la forme de cette trajectoire.

h. Toute trajectoire qui part d'un point quelconque d'une région d'instabilité en direction centripète, avec une vitesse inférieure ou égale à la vitesse circulaire locale, doit nécessairement abandonner cette région ou, si elle s'étend jusqu'au centre, atteindre celui-ci. Cette conséquence vaut aussi pour la région de la raison inverse du cube.

7. THÉORÈME II. *Le produit du rayon vecteur et de la vitesse ($v\rho$) est, sur une même trajectoire, croissant avec la distance au centre tant que la vitesse de la particule surpasse la vitesse circulaire locale, décroissant dans le cas contraire.*

Des maxima et des minima de ce produit ne se rencontrent, à part les apocentres et les péricentres, que dans les points où la vitesse du mouvement est égale à la vitesse circulaire.

Si un pareil point est situé dans une RÉGION DE STABILITÉ, le produit est un MAXIMUM, si dans une RÉGION D'INSTABILITÉ, un MINIMUM.

Une région de répulsion peut être considérée, à cet égard, comme une région où la vitesse du mouvement surpasse constamment la vitesse circulaire locale.

Démonstration. Puisque A reste constant sur toute la trajectoire, on a :

$$\begin{aligned} d. v^2 \varrho^2 &= d. (2 A \varrho^2 - 2 \varrho^2 \int_{\varrho_0}^{\varrho} F. d\varrho) = \\ &= (4 A \varrho - 4 \varrho \int_{\varrho_0}^{\varrho} F. d\varrho - 2 F \varrho^2) d\varrho = 4 \varrho (A - A_w) d\varrho = 2 \varrho (v^2 - w^2) d\varrho. \quad (8) \end{aligned}$$

d'où résulte la première partie de la proposition.

Ensuite, $v^2 \varrho^2$, et par conséquent aussi $v \varrho$, ne pourra prendre une valeur maximum ou minimum que :

1°. là où $d \varrho = 0$, c'est-à-dire, au *péricentre* et à l'*apocentre*. Dans chacun de ces deux points $v \varrho$ est minimum, ainsi qu'on le reconnaît aisément en remarquant que dans un *péricentre* on a nécessairement $v^2 > w^2$, de sorte qu'au voisinage immédiat $v^2 \varrho^2$ doit croître avec la distance; tandis qu'à l'*apocentre* on a, au contraire, $v^2 < w^2$, d'où il suit qu'aux points à rayon vecteur plus petit $v^2 \varrho^2$ doit être plus grand que dans l'*apocentre*.

2°. là où $w = v$. Lorsqu'un pareil point est situé dans une région de stabilité, A_w croît avec ϱ . En suivant la trajectoire en direction centrifuge, on a donc $A < A_w$ et, comme en outre ϱ croît, $v^2 \varrho^2$ décroît. En direction centripète, on a $A > A_w$, mais $v^2 \varrho^2$ décroît aussi dans cette direction, parce que ϱ y décroît. On a donc affaire à un maximum. Si le point est situé, au contraire, dans une région d'instabilité, on reconnaît, de la même manière, que $v^2 \varrho^2$ est un minimum.

Pour savoir quels changements de valeur v_ρ éprouve dans une région de répulsion, nous écrivons :

$$d.v^2 \rho^2 = (4A_\rho - 4\rho \int_{\rho_0}^{\rho} F.d\rho - 2F.\rho^2) d\rho = 2\rho(v^2 - F\rho) d\rho \dots (9)$$

d'où il ressort que, F étant négatif dans ce cas, v_ρ doit toujours croître avec ρ dans la région de répulsion.

Remarque. Nous avons admis tacitement que F et par suite w^2 ne changent pas par sauts. Là où un pareil changement a lieu, un examen spécial est nécessaire. Si, en effet, w^2 passe d'une valeur $< v^2$ à une valeur $> v^2$, il existe naturellement, en ce point aussi, un maximum ou un minimum.

Corollaires. a. Dans chaque région de stabilité il ne peut se trouver qu'un seul maximum de v_ρ , dans chaque région d'instabilité qu'un seul minimum, à l'exception toujours du péricentre et de l'apocentre. De l'accroissement ou du décroissement continu de A_w , depuis le côté interne jusqu'au côté externe d'une même région, il suit immédiatement, en effet, que dans une pareille région on ne peut avoir qu'une fois $v = w$ ou $A = A_w$.

b. De là aussi on peut déduire que dans une même région d'instabilité ne peuvent être situés à la fois le péricentre et l'apocentre d'une même trajectoire. Car au péricentre et à l'apocentre v_ρ devient minimum, et entre ces deux points il devrait donc y avoir un maximum, ce qui est impossible dans une région d'instabilité.

Voir, en outre, les corollaires du théorème III.

8. THÉORÈME III. *L'angle aigu μ entre la tangente et le rayon vecteur est, sur une même trajectoire, décroissant avec la distance au centre tant que la vitesse de la particule surpasse la vitesse circulaire locale, croissant, dans le cas contraire.*

Des MAXIMA et des MINIMA de μ , c'est-à-dire des points d'inclinaison maximum ou minimum, ne peuvent, à part les maxima dans l'apocentre et dans le péricentre, se trouver que là où la vitesse du mouvement est égale à la vitesse circulaire locale.

Si un pareil point est situé dans une RÉGION DE STABILITÉ, μ est un MINIMUM, si dans une RÉGION D'INSTABILITÉ, un MAXIMUM.

Une région de répulsion peut de nouveau être considérée, à cet égard, comme une région où la vitesse du mouvement surpasse constamment la vitesse circulaire locale.

Démonstration. Puisque, sur une même trajectoire, $\frac{1}{2} v_0 \sin \mu = B$ est une constante, $\sin \mu$, et par conséquent aussi μ , doit croître lorsque v_0 décroît, et inversement. De cette considération, combinée avec le théorème II, découlent toutes les propriétés de l'angle μ énoncées dans le théorème III.

Corollaires. a. Dans toute région de stabilité il ne peut y avoir qu'un seul minimum de μ , dans toute région d'instabilité, qu'un seul maximum.

b. Si d'un même point on fait partir, avec la même vitesse, des trajectoires différentes, les points d'inclinaison maximum et minimum de toutes ces trajectoires se trouvent sur les mêmes cercles, décrits autour du centre d'attraction.

En effet, la grandeur A ayant pour toutes ces trajectoires la même valeur, les vitesses doivent être égales pour des rayons vecteurs égaux, de sorte que le produit v_0 , et par conséquent aussi l'angle μ , doit, dans toutes ces trajectoires, atteindre les mêmes valeurs maxima ou minima pour des valeurs égales du rayon vecteur.

c. En appliquant ce corollaire à l'attraction en raison inverse du carré de la distance, on retrouve immédiatement quelques beaux théorèmes très connus. Dans les trajectoires elliptiques décrites en vertu de cette loi, μ acquiert, en effet, ses valeurs minima aux extrémités du petit axe; de là résulte, en premier lieu, que:

Les extrémités des petits axes des trajectoires elliptiques qui partent d'un même point avec la même vitesse, sont toutes situées sur un même cercle, décrit autour du centre d'attraction.

Remarquant, en outre, que la distance du foyer aux extrémités du petit axe est égale au grand axe, on voit immédiatement que:

Toutes ces ellipses possèdent des grands axes égaux, et par

conséquent aussi, en vertu de la troisième loi de Kepler, des temps de révolution égaux.

Si l'on considère, enfin, que la vitesse aréolaire est $\frac{1}{2} v \rho \sin \mu$ et que les aires de ces différentes ellipses doivent être entre elles comme les petits axes, il suit de l'égalité des temps de révolution que ces axes sont entre eux comme les vitesses aréolaires; par conséquent :

Les petits axes sont entre eux comme les sinus des angles compris entre le rayon vecteur et la direction primitive de la vitesse.

d. Si l'on applique le corollaire *b* à l'attraction proportionnelle à la distance, on reconnaît que les extrémités des diamètres conjugués égaux (car c'est là que se trouvent alors les points d'inclinaison maximum de la trajectoire), pour toutes les trajectoires partant d'un même point avec la même vitesse, sont situées sur le même cercle décrit du rayon $\frac{1}{2} \sqrt{2(a^2 + b^2)}$, de sorte que la diagonale du rectangle construit sur les axes acquiert pour toutes ces ellipses des valeurs égales.

Dans la région de la raison inverse du cube, A_{ν} reste constant. Si d'un point quelconque de cette région on fait donc partir une trajectoire avec une vitesse égale à la vitesse circulaire, $v \rho$ et par conséquent μ restent constants, puisqu'on a alors partout, en vertu de (8), $d v^2 \rho^2 = 0$.

La trajectoire décrite sera donc, dans ce cas, une spirale logarithmique.

9. THÉORÈME IV. *Lorsqu'un point matériel se meut sur une trajectoire circulaire située dans une région de stabilité, et que le mouvement subit une légère altération, la nouvelle trajectoire acquiert un péricentre et un apocentre dont les distances au centre diffèrent très peu entre elles et du rayon de la trajectoire circulaire primitive.*

Si, au contraire, la trajectoire circulaire est située dans une région d'instabilité, il arrivera, après une légère perturbation, que la distance de l'apocentre au centre, ou celle du péricentre, ou celle de tous les deux, différera notablement du rayon de la trajectoire circulaire.

Démonstration. Après la perturbation, la trajectoire circulaire dont l'énergie totale est égale à celle de la nouvelle trajectoire devra, en général, se trouver un peu plus loin ou plus près du centre que l'ancienne trajectoire circulaire, mais ne s'éloigner pourtant de celle-ci qu'à une faible distance. Dans une région de stabilité, cette trajectoire circulaire de même énergie que la nouvelle trajectoire sera toujours coupée par celle-ci, car, si l'on suit la trajectoire dans la direction qui conduit à la trajectoire circulaire, l'angle aigu μ est décroissant, ainsi qu'on le reconnaît immédiatement en appliquant le premier alinéa du *théorème III* et en ayant égard à la propriété de la région de stabilité, que A_v y croît et décroît avec ρ . Or, tant que μ décroît, la trajectoire continue certainement à s'éloigner ou à se rapprocher du centre, de sorte que, comme il a été dit, le cercle de même énergie doit toujours être atteint. Sur ce cercle, μ a une valeur minimum, ρv une valeur maximum. Si l'on considère maintenant les deux branches qui partent de ce point d'intersection, on trouve que sur toutes les deux ρv décroîtra, μ croîtra. Dans la branche centrifuge, en effet, l'énergie circulaire locale dépasse de plus en plus celle de la trajectoire, et ρv doit donc diminuer lorsque ρ augmente; dans la branche centripète, au contraire, l'énergie circulaire locale est plus petite que celle de la trajectoire, et par conséquent, sur cette branche aussi, ρv doit décroître, puisque ρ est décroissant. Ce décroissement de ρv devient de plus en plus rapide à mesure que le point s'éloigne davantage de la trajectoire circulaire de même énergie. Or, dès le début, à cause de la faiblesse supposée de la perturbation, μ ne diffère que peu de 90° , et on voit donc que le décroissement de $v\rho$ ne tardera pas à rendre $\sin \mu = \frac{B}{\frac{1}{2}v\rho}$ égal à l'unité, moment où sera atteint un *péricentre* ou un *apocentre*. La branche centrifuge devra donc conduire à un *apocentre*, et la branche centripète à un *péricentre*, sans que le rayon vecteur ait beaucoup augmenté ou diminué.

Si la trajectoire circulaire troublée est située au contraire dans une

région d'instabilité, on arrive aisément à conclure que, soit dans la branche centrifuge soit dans la branche centripète, à savoir dans la branche qui s'éloigne de la trajectoire circulaire dont l'énergie est égale à celle du mouvement troublé, μ devra continuer à décroître, et $v \rho$ à croître, jusqu'à ce que la *région d'instabilité* soit abandonnée.

Sur l'autre branche, au contraire, celle qui se rapproche de la trajectoire circulaire de même énergie, $v \rho$ décroîtra et μ croîtra, et il peut alors se présenter l'un des trois cas suivants: *ou bien* le cercle en question est atteint, et alors, à partir de ce moment, μ recommencera à décroître, et la trajectoire quittera aussi à l'autre côté la région d'instabilité; *ou bien* ce cercle fait fonction de cercle asymptotique de la trajectoire, laquelle se termine alors en spirale; *ou bien* le cercle n'est pas atteint, parce que, avant ce moment, s'est produit un *apocentre* ou un *péricentre*. La nature de la perturbation décidera laquelle de ces trois possibilités sera réalisée.

Corollaire. a. Si le champ entier est une seule région d'instabilité, la plus légère altération de la trajectoire circulaire d'un point matériel a pour conséquence que ce point finit par se rendre, ou bien au centre d'attraction, ou bien à une distance infinie de ce centre. Comme, dans une pareille région, toutes les autres trajectoires conduisent également soit au centre, soit à l'infini, un point matériel ne peut rester d'une manière durable dans cette région, à moins de retomber continuellement au centre. Quelque chose d'analogue à notre système solaire est donc impossible là où les forces attractives sont d'une nature telle, qu'elles donnent naissance à une région d'instabilité unique et continue.

III. THÉORÈMES SUR LES TERMINAISONS EN SPIRALE À CERCLE ASYMPTOTIQUE.

10. THÉORÈME V. *Des terminaisons en spirale à cercle asymptotique ne peuvent exister que dans une région d'instabilité. Les trajectoires terminées en spirale à cercle asymptotique possèdent la même énergie totale et la même vitesse aréolaire que la trajectoire circulaire du cercle asymptotique.*

Démonstration. A mesure qu'une trajectoire terminée en spirale se rapproche de son cercle asymptotique intérieur ou extérieur, son rayon vecteur ρ approche de plus en plus du rayon ρ_1 du cercle asymptotique. Comme, en outre, toute la forme de la trajectoire, et par conséquent aussi son rayon de courbure, s'ajuste de plus en plus à celle du cercle asymptotique, v devra approcher de w_1 , μ de 90° . Toute fonction $f(\rho, v, \mu)$ devra donc avoir pour limite $f(\rho_1, w_1, 90^\circ)$. Cela s'applique aussi à l'énergie totale et à la vitesse aréolaire de la trajectoire, mais, puisque ces quantités sont constantes, elles doivent posséder cette valeur limite dès le début. On devra donc avoir, tout le long de la trajectoire :

$$A = \frac{1}{2} v^2 + \int_{\rho_0}^{\rho} F. d\rho = \frac{1}{2} w_1^2 + \int_{\rho_0}^{\rho_1} F. d\rho = A_{w_1} \dots (19)$$

$$B = \frac{1}{2} \rho \mu \sin v = \frac{1}{2} \rho_1 w_1. = B_{w_1} \dots \dots \dots (11)$$

De cette dernière équation on tire :

$$\sin \mu = \frac{\rho_1 w_1}{\rho v} ; \dots \dots \dots (12)$$

or, de là résulte immédiatement, eu égard au *théorème II*, que de pareilles terminaisons en spirale sont impossibles dans une *région de stabilité*. Considérons d'abord, en effet, une terminaison spirale à cercle asymptotique extérieur. Ici, $A = A_{w_1}$ devra partout surpasser l'énergie locale du mouvement circulaire, puisque l'énergie circulaire croît avec le rayon et devra donc, à l'intérieur du cercle asymptotique, être partout moindre que sur ce cercle même. Mais alors, en vertu du premier alinéa du *théorème II*, ρv doit croître avec ρ , et l'on devrait donc avoir partout $\rho v < \rho_1 w_1$, ce qui ferait de l'équation (12) une absurdité.

De la même manière on peut établir que les terminaisons spirales à cercle asymptotique intérieur sont impossibles. Ici A devrait être constamment plus petit que l'énergie locale du mouvement circulaire ; à mesure que ρ décroît, ρv devrait donc croître ; d'où résulterait de nouveau $\rho v > \rho_1 w_1$.

Que des terminaisons spirales à cercle asymptotique ne peuvent pas exister dans une *région de répulsion*, c'est ce qui n'a pas besoin, sans doute, de démonstration spéciale.

Dans une *région de la raison inverse du cube* elles n'apparaîtront pas non plus. Comme l'énergie circulaire locale est alors partout la même, il n'y a à considérer que les trajectoires dont l'énergie totale est égale à celle du mouvement circulaire; mais, dans de pareilles trajectoires, μ reste constant.

Les terminaisons spirales à cercle asymptotique ne sont donc possibles que dans une *région de stabilité*, et là, ainsi que nous le verrons, elles peuvent se présenter aux deux côtés de toute trajectoire circulaire.

Corollaires. a. A l'intérieur d'une même région d'instabilité une même trajectoire ne peut pas posséder deux terminaisons spirales à cercle asymptotique. En effet, l'énergie totale du mouvement circulaire décroissant régulièrement à mesure qu'on s'éloigne du centre, il est impossible que l'énergie totale de la trajectoire soit égale à celle de deux trajectoires circulaires différentes dans cette même région.

b. Une trajectoire spirale à cercle asymptotique intérieur doit avoir son apocentre, si elle en possède un, en dehors de la région d'instabilité où est situé le cercle asymptotique, car, dans cette région, son énergie totale surpasse partout celle du mouvement circulaire.

c. Une trajectoire spirale à cercle asymptotique extérieur doit avoir son péricentre, si elle en possède un, en dehors de la région d'instabilité dans laquelle est situé le cercle asymptotique.

11. THÉORÈME VI. *Par tout point situé dans une région d'instabilité on peut faire passer une trajectoire ayant la même vitesse aréolaire et la même énergie totale qu'une trajectoire circulaire donnée quelconque située dans la même région d'instabilité. Une pareille trajectoire se termine en général, au côté tourné vers la trajectoire circulaire, en une spirale ayant cette trajectoire circulaire pour cercle asymptotique. Des exceptions à cette règle peuvent se présenter lorsque, dans la trajectoire circulaire, la force attractive elle-même, ou sa première dérivée par rapport au rayon, devient infinie.*

Démonstration. Soit ϱ_1 le rayon du cercle qui doit devenir le cercle asymptotique extérieur ou intérieur de la spirale qu'on veut mener par un point P , situé dans la même région d'instabilité, à une distance ϱ_2 du centre. On a alors pour calculer v_2 et μ_2 , c'est-à-dire la grandeur et la direction de la vitesse nécessaire en P :

$$A = \frac{1}{2} v_2^2 + \int_{\varrho_0}^{\varrho_2} F d\varrho = \frac{1}{2} w_1^2 + \int_{\varrho_0}^{\varrho_1} F d\varrho = A_{w_1} \dots (13)$$

$$B = \frac{1}{2} v_2 \varrho_2 \sin \mu_2 = \frac{1}{2} w_1 \varrho_1 = B_{w_1} \dots \dots \dots (14)$$

Au premier abord, il semblerait peut-être que v_2 pût devenir imaginaire, ou $\sin \mu_2$ plus grand que l'unité.

Pour montrer que v_2 est toujours réel, nous tirons de (13):

$$v_2^2 = w_1^2 + \int_{\varrho_2}^{\varrho_1} F d\varrho \dots \dots \dots (15)$$

De là il résulte immédiatement que, pour $\varrho_2 < \varrho_1$, on aura nécessairement $v_2^2 > w_1^2$, et par conséquent v_2 réel. Si, au contraire, $\varrho_2 > \varrho_1$, on a:

$$A = A_{w_1} > A_{w_2},$$

donc :

$$v_2^2 > w_2^2,$$

et alors également réel.

Pour prouver qu'on a $w_1 \varrho_1 < v_2 \varrho_2$ et par conséquent $\sin \mu < 1$, faisons partir du point P , avec la vitesse v_2 , une trajectoire radiale dirigée vers le cercle asymptotique. Il est facile de voir que cette trajectoire doit toujours atteindre ce cercle. Au point de rencontre on a $v = w_1$, mais en outre, d'après le *Théorème II*, $v \varrho$ y est un minimum. Partout ailleurs, par conséquent aussi en P , on a donc $v \varrho > w_1 \varrho_1$.

Ainsi se trouve démontré que, par chaque point de la région d'instabilité, on peut mener une trajectoire qui possède la même vitesse aréolaire et la même énergie qu'une trajectoire circulaire

donnée dans cette même région. Si l'on suit une pareille trajectoire dans la direction qui conduit à la trajectoire circulaire, il est d'abord clair qu'elle ne peut jamais dépasser celle-ci : au point d'intersection, en effet, les vitesses des deux trajectoires devraient, par suite de l'égalité de vitesse aréolaire et d'énergie, être identiques en grandeur et en direction ; mais alors il n'y a plus d'intersection. La trajectoire ne peut pas non plus cesser de se rapprocher de la trajectoire circulaire. Cela ne pourrait avoir lieu que si μ passait par 90° ; or, en comparant la vitesse en un point quelconque avec la vitesse qui existe, à la même distance, sur la trajectoire rectiligne radiale considérée auxiliairement ci-dessus, on reconnaîtra qu'on a toujours

$$v \rho > w_1 \rho_1$$

et que par conséquent $\sin \mu$ est toujours plus petit que l'unité.

Deux cas restent maintenant possibles : ou bien la trajectoire, après un nombre fini de circonvolutions, vient à toucher la trajectoire circulaire et présente alors en ce point un contact d'ordre supérieur ¹⁾, ou bien elle continue à se rapprocher

1) Mon attention a été attirée sur ces deux possibilités par une note de M. J. Boussinesq (*Comptes rendus*, LXXXIV, p. 944—946). Il y parle d'une trajectoire circulaire $r = r_0$ telle que le mobile pourra à partir d'un quelconque de ses points et sans que les équations différentielles cessent d'être satisfaites, soit continuer à la parcourir, soit en dévier pour décrire une nouvelle trajectoire". Cela s'applique donc à toutes les trajectoires circulaires dans une région d'instabilité. En général, toutefois, le point matériel n'a pas le choix entre les deux trajectoires, car, pour arriver par la trajectoire spirale à une distance finie de la trajectoire circulaire, il doit parcourir un chemin infiniment long, en un temps infiniment long. Pourtant le moindre dérangement fini le porte, de la trajectoire circulaire, sur une trajectoire qui en un temps fini conduit à une distance finie de la trajectoire circulaire, distance qui peut continuer à croître longtemps et considérablement.

Comme cas très particulier, il peut aussi se présenter des trajectoires circulaires où il existe effectivement un choix entre deux trajectoires. Cela peut arriver lorsque F ou $\frac{dF}{dq}$ devient infiniment grand sur la trajectoire

asymptotiquement de la trajectoire circulaire. Entre ces deux cas on peut décider en calculant le temps nécessaire pour que le point matériel parvienne, sur la trajectoire que nous étudions, de la distance ϱ , où il est initialement, à la distance ϱ_1 , égale au rayon de la trajectoire circulaire.

On a :

$$\begin{aligned} \frac{d\varrho}{dt} &= v \cos \mu = \sqrt{v^2 - v^2 \sin^2 \mu} = \sqrt{v^2 - \frac{w_1^2 \varrho_1^2}{\varrho^1}} = \\ &= \sqrt{\left(w_1^2 + 2 \int_{\varrho}^{\varrho_1} F. d\varrho - \frac{w_1^2 \varrho_1^2}{\varrho^2} \right)} \dots \dots \dots (16) \end{aligned}$$

de sorte qu'on trouve pour le temps :

$$T_{\varrho_2}^{\varrho_1} = \int_{\varrho_2}^{\varrho_1} \frac{\varrho. d\varrho}{\sqrt{w_1^2 (\varrho^1 - \varrho_1^2) + 2 \varrho^2 \int_{\varrho}^{\varrho_1} F. d\varrho}} \dots \dots (17)$$

circulaire. Comme exemple, j'indiquerai la trajectoire circulaire $\varrho = \varrho_1$, décrite sous l'action de la force $F = \frac{A}{\varrho^3} - f(\varrho - \varrho_1)^{1/3}$. Cette trajectoire est située dans une région d'instabilité. Par un point P , situé à la distance ϱ_1 du centre, on peut faire passer une trajectoire :

$$\frac{1}{2} v^2 = \frac{1}{2} w_1^2 + \int_{\varrho}^{\varrho_1} F. d\varrho \quad \varrho v \sin \mu = \varrho_1 w_1 .$$

Cela exige :

$$v^2 = \frac{A}{\varrho^2} + \frac{3}{2} f(\varrho - \varrho_1)^{\frac{4}{3}} ; \quad \sin^2 \mu = \frac{A}{A + \frac{3}{2} f \varrho^2 \cdot (\varrho - \varrho_1)^{\frac{4}{3}}} .$$

Le temps nécessaire pour aller de la distance ϱ_2 à la distance ϱ_1 est alors :

$$T_{\varrho_2}^{\varrho_1} = \sqrt{\frac{2}{3}} \int_{\varrho_2}^{\varrho_1} \frac{d\varrho}{f^{\frac{1}{2}}(\varrho - \varrho_1)^{\frac{2}{3}}} = \sqrt{6} f \cdot (\varrho_1 - \varrho_2)^{\frac{1}{3}} ,$$

et comme la vitesse est partout finie, cette trajectoire doit conduire par un arc de longueur finie à la trajectoire circulaire. Réciproquement, la particule peut à chaque instant passer de la trajectoire circulaire à la trajectoire en question.

De cette intégrale nous ne considérons que la partie pour laquelle l'argument q ne diffère encore que très peu de q_1 . Posant donc :

$$w_1^2 (q^2 - q_1^2) + 2 \cdot q^2 \int_q^{q_1} F dq = \varphi(q), \dots (18)$$

on aura :

$$\varphi(q) = \varphi(q_1) + (q - q_1)\varphi'(q_1) + \frac{(q - q_1)^2}{1.2} \varphi''(q_1 + \theta(q - q_1)); (19)$$

mais :

$$\varphi(q_1) = 0; \varphi'(q) = 2qw_1^2 + 4q \int_q^{q_1} F dq - 2q^2 F; \varphi'(q_1) = 0, \dots (20)$$

$$\varphi''(q) = 2w_1^2 + 4 \int_q^{q_1} F dq - 8qF - 2q^2 \frac{dF}{dq},$$

$$\varphi''(q_1) = -6w_1^2 - 2q_1^2 \left(\frac{dF}{dq} \right)_1 \dots (21)$$

Nous pouvons donc poser :

$$T^2_{q_1} = \int_q^{q_1} \frac{q \cdot dq}{(q - q_1) \sqrt{\frac{1}{2} \varphi''(q_1 + \theta(q - q_1))}} \dots (22)$$

Or, dans une région d'instabilité, $\varphi''(q_1)$ est toujours positif; on y a, en effet :

$$\frac{d \cdot F q^3}{dq} < 0,$$

done

$$q^3 \frac{dF}{dq} + 3q^2 F < 0,$$

done :

$$\left(3w_1^2 + q^2 \frac{dF}{dq} \right) q < 0, \dots (23)$$

d'où il suit immédiatement que $\varphi''(q_1)$ doit être positif.

Soit, en outre, α la plus grande et β la plus petite des valeurs que l'expression

$$\frac{1}{\varrho} \sqrt{\frac{1}{2} \varphi'' (\varrho_1 + \theta (\varrho - \varrho_1))} \dots \dots \dots (24)$$

prend entre les limites ϱ et ϱ_1 ; la valeur de T^{ϱ_1} est alors comprise entre les limites :

$$\frac{1}{\alpha} \int_{\varrho}^{\varrho_1} \frac{d\varrho}{\varrho - \varrho_1} \quad \text{et} \quad \frac{1}{\beta} \int_{\varrho}^{\varrho_1} \frac{d\varrho}{\varrho - \varrho_1} ; \dots \dots (25)$$

c'est-à-dire qu'elle est, en tout cas, infiniment grande. On a donc toujours affaire à des trajectoires qui se rapprochent asymptotiquement de la trajectoire circulaire, sans l'atteindre, sauf dans le cas très particulier où :

$$\varphi'' (\varrho_1) = - 6 F_1 \varrho_1 - 2 \varrho_1^2 \left(\frac{dF}{d\varrho} \right)_1 = \infty \dots \dots (26)$$

Ce cas demande naturellement un examen spécial, qui tantôt conduira à un contact d'ordre supérieur, tantôt à une spirale à cercle asymptotique, comme dans le cas général.

Corollaire. a. Dans une région d'instabilité, des trajectoires spirales à cercle asymptotique sont possibles aux deux côtés de toute trajectoire circulaire. Les cercles limites entre une région d'instabilité et une région de stabilité ou de répulsion sont les seuls qui ne peuvent être asymptotiques que d'un côté à une trajectoire spirale.

12. THÉORÈME VII. *De chaque point on peut faire partir, avec une vitesse donnée v_1 , autant de trajectoires centrifuges terminées en spirale à cercle asymptotique qu'il y a, sur la trajectoire centrifuge radiale commencée au même point avec la même vitesse, de valeurs minima de $v\varrho$, plus petites que les valeurs minima précédentes (comptées depuis le point jusqu'à l'infini) et plus pe-*

tites aussi (mais non NULLES) que la valeur $v_1 \varrho_1$ de ce produit au point même. Les cercles asymptotiques de ces terminaisons spirales passent par les points de la trajectoire radiale où se trouvent les valeurs minima de $v\varrho$.

Démonstration. Soit $v_2 \varrho_2$ une pareille valeur minimum: on pourra alors, puisque $v_2 \varrho_2 < v_1 \varrho_1$, faire partir du point donné, avec la vitesse v_1 , une trajectoire sous l'angle μ_1 , de sorte que

$$B = \frac{1}{2} v_1 \varrho_1 \sin \mu_1 = \frac{1}{2} v_2 \varrho_2.$$

Si $\varrho_2 > \varrho_1$, on donnera à cette trajectoire une direction centrifuge, dans le cas contraire, une direction centripète. Un *apocentre* ou un *péricentre* ne pourra alors apparaître avant que le rayon vecteur n'ait pris la valeur ϱ_2 : car entre ϱ_1 et ϱ_2 on a partout sur la trajectoire radiale, et par conséquent aussi sur la trajectoire émise, $v\varrho > v_2 \varrho_2$, donc $\sin \mu < 1$.

Un minimum de $v\varrho$ ne peut, suivant le *théorème II*, être situé que dans une région d'instabilité. Mais, dès que la trajectoire s'engage dans cette région, les raisonnements qui ont servi à démontrer le *théorème VI* sont applicables et, sauf l'exception mentionnée dans ce théorème, la trajectoire finira donc en spirale à cercle asymptotique, ϱ_2 devenant le rayon de ce cercle.

Un minimum de $v\varrho$ plus grand que $v_1 \varrho_1$ ou qu'un minimum antérieur ne saurait donner lieu à une terminaison en spirale à cercle asymptotique. En effet, lorsqu'on veut donner à la trajectoire la vitesse aréolaire requise, $\sin \mu$ devient dans l'un des cas immédiatement > 1 , tandis que dans l'autre cas on a $\sin \mu > 1$ pour des valeurs du rayon vecteur qui correspondent à un minimum antérieur. La trajectoire doit donc, avant que cette valeur soit atteinte, présenter un *apocentre*.

On reconnaît facilement, d'ailleurs, que toute spirale à cercle asymptotique, qui part du point donné avec la vitesse donnée, doit nécessairement avoir pour cercle asymptotique l'un des cercles qui passent par les points où $v\varrho$ acquiert, sur la trajectoire radiale, des valeurs minima.

Soit, en effet, ρ_2 le rayon du cercle asymptotique; on a alors :

$$A = A_{w_2},$$

donc :

$$\lim. v = v_2 = w_2,$$

et puisque les terminaisons en spirale à cercle asymptotique ne peuvent se produire que dans une région d'instabilité, la trajectoire radiale présente en ce point, d'après le théorème II, un minimum de $v \rho$.

IV. THÉORÈMES CONCERNANT L'EXTENSION DE LA TRAJECTOIRE JUSQU'AU CENTRE ET JUSQU'À L'INFINI.

13. THÉORÈME VIII. *Lorsque d'un point quelconque P partent deux trajectoires centripètes à vitesses initiales égales, la distance péricentrique qui appartient à la trajectoire la plus inclinée doit être plus petite (à moins que les trajectoires ne conduisent toutes les deux au centre) que celle de la trajectoire moins inclinée.*

Si d'un pareil point partent, au contraire, deux trajectoires centrifuges de même vitesse initiale, mais de direction différente, la distance apocentrique de la trajectoire la plus inclinée devra être plus grande que celle de la trajectoire moins inclinée, à moins que toutes les deux ne conduisent à l'infini.

Démonstration. Si l'on compare entre eux ceux des points des deux trajectoires centripètes dont les rayons vecteurs sont égaux, les vitesses en ces points sont pareillement égales. Or le produit $v \rho \sin \mu$ est, pour la trajectoire plus inclinée, constamment plus petit que pour la trajectoire moins inclinée, et par conséquent $\sin \mu$ doit, dans la trajectoire la plus inclinée, être plus petit que dans l'autre. Si maintenant la trajectoire moins inclinée conduit à un péricentre ou à une spirale à cercle asymptotique, on a en ces points $\sin \mu = 1$, et pour la trajectoire plus inclinée $\sin \mu$ est donc encore < 1 , de sorte que cette trajectoire continue en direction centripète et donne lieu à des valeurs plus petites du rayon vecteur.

La seconde partie du théorème se démontre par un raisonnement analogue.

Corollaires. a. Lorsqu'une trajectoire partant d'un point déterminé conduit au centre, toutes les trajectoires plus inclinées partant de ce même point, avec la même vitesse, conduisent également au centre.

b. Une pareille trajectoire conduit-elle, au contraire, à un *péricentre* ou à une *spirale à cercle asymptotique*, alors, chez toutes les trajectoires moins inclinées et de même vitesse initiale, la branche centripète se termine d'une de ces deux manières.

c. Lorsqu'une trajectoire centrifuge conduit à l'infini, il en est de même de toutes les trajectoires plus inclinées à vitesse initiale égale.

d. Une pareille trajectoire conduit-elle à un *apocentre* ou à une *spirale à cercle asymptotique*, alors les trajectoires moins inclinées ne peuvent pas conduire à l'infini.

14 THÉORÈME IX. *Si une trajectoire s'étend jusqu'au centre, on aura, lorsqu'elle en approche :*

$$\lim v^2 \rho^2 = \lim w^2 \rho^2 = \lim F \rho^3 \dots \dots \dots (27)$$

Démonstration. Soient ρ_1 le rayon vecteur d'un des points par lesquels la trajectoire passe, v_1 la vitesse en ce point; on a :

$$v^2 = v_1^2 + 2 \int_{\rho}^{\rho_1} F d\rho \dots \dots \dots (28)$$

donc :

$$\lim \rho^2 v^2 = \lim 2 \rho^2 \int_{\rho}^{\rho_1} F d\rho \dots \dots \dots (29)$$

Si, en premier lieu, $\lim \int_{\rho}^{\rho_1} F d\rho$ est finie, $\lim v \rho$ est ZÉRO,

mais alors il faut que $\lim F \rho^3$ soit également ZÉRO; car si $\lim F \rho^3$ était finie, on pourrait, depuis une certaine valeur ρ'

du rayon vecteur jusqu'au centre, poser :

$$F \varrho^3 > \gamma,$$

γ étant fini. Mais alors on aurait :

$$\lim \int_{\varrho}^{\varrho_1} F d\varrho > \gamma \cdot \lim \int_{\varrho}^{\varrho_1} \frac{d\varrho}{\varrho^3} = \infty.$$

Si, en second lieu, $\lim \int_{\varrho}^{\varrho_1} F d\varrho$ est infinie, on peut écrire :

$$\lim \varrho^2 v^2 = \lim \frac{2 \int_{\varrho}^{\varrho_1} F d\varrho}{\varrho^{-2}} = \lim \frac{-2 F}{-2 \varrho^{-3}} = \lim F \varrho^3 = \lim \omega^2 \varrho^2,$$

de sorte que dans les deux cas le théorème est démontré.

15. THÉORÈME X^a. Lorsque le centre est entouré d'une région de répulsion, ou qu'au centre on a $\lim F \varrho^3 = 0$, il n'y a que les trajectoires radiales qui puissent conduire au centre. Toutes les autres trajectoires, qui pénètrent dans la région de répulsion ou de stabilité entourant le centre, possèdent un péricentre dans cette région.

Si au centre on a $F \varrho^3 = \alpha^2$, les trajectoires dont la vitesse aréolaire est plus petite que $\frac{1}{2} \alpha$, et parfois aussi celles dont la vitesse aréolaire est égale à $\frac{1}{2} \alpha$, seront les seules qui puissent atteindre le centre.

Démonstration. Représentons-nous une trajectoire conduisant à un centre où $F \varrho^3$ approche de zéro: $v \varrho$ approchera donc aussi indéfiniment de zéro; mais alors la vitesse aréolaire $\frac{1}{2} v \varrho \sin \mu$, qui doit être constante, ne peut pas non plus différer de zéro. La trajectoire doit donc être radiale.

Si le centre est entouré d'une région de répulsion et que $F \varrho^3$ tende vers zéro, le même raisonnement est applicable. Si $\lim F \varrho^3$ a une valeur négative, finie ou infinie, même une trajectoire radiale ne peut conduire au centre, du moins lorsque la vitesse initiale est finie, ce que d'ailleurs nous supposons toujours.

Lorsque $F \varrho^3$ tend vers une valeur limite α positive et finie, ce qui peut arriver aussi bien dans une région de stabilité que dans une région d'instabilité, $\frac{1}{2} v \varrho \sin \mu$ doit, au voisinage du centre et par conséquent aussi partout ailleurs, posséder la valeur $\frac{1}{2} \alpha \sin \mu_0$, où μ_0 représente la valeur limite vers laquelle tend l'angle μ en approchant du centre; la vitesse aréolaire de toutes les trajectoires qui passent par le centre est donc plus petite que $\frac{1}{2} \alpha$.

Si de pareilles trajectoires atteignent le centre, μ tend vers une certaine limite, et elles prennent alors près du centre la forme d'une spirale logarithmique, qui entoure le centre d'un nombre infini de circonvolutions, mais l'atteint néanmoins en un temps fini.

16. Quant à la question de savoir si une trajectoire dont la vitesse aréolaire est *exactement* $\frac{1}{2} \alpha$ peut conduire au centre, la solution en est un peu plus compliquée. Dans une semblable trajectoire on doit, au voisinage du centre, avoir nécessairement $\lim \mu = 90^\circ$, puisque $v \varrho \sin \mu = \alpha$ et $\lim v^2 \varrho^2 = \lim F \varrho^3 = \alpha^2$. Dans ce voisinage, la trajectoire doit donc nécessairement devenir, en direction centripète, de moins en moins inclinée. Cela ne peut être le cas, comme nous le savons, que si $v > w$. On doit donc avoir: $\lim v \geq \lim w$. Soit ϱ_1 le rayon vecteur d'un point si rapproché du centre que, depuis ce point jusqu'au centre, le produit $F \varrho^3$ varie régulièrement dans le même sens; posons:

$$F \varrho^3 = \alpha^2 + \varepsilon \dots \dots \dots (30)$$

ε est alors une quantité qui dans une région de stabilité est *positive*, dans une région d'instabilité *négative*, et qui approche de *zéro* en même temps que ϱ .

On a alors :

$$v^2 = v_1^2 + 2 \int_{\varrho}^{\varrho_1} F d\varrho = v_1^2 + \frac{\alpha^2}{\varrho^2} - \frac{\alpha^2}{\varrho_1^2} + 2 \int_{\varrho}^{\varrho_1} \frac{\varepsilon}{\varrho^3} d\varrho \dots (31)$$

$$w^2 = F \varrho = \frac{\alpha^2}{\varrho^2} + \frac{\varepsilon}{\varrho^2} \dots \dots \dots (32)$$

et :

$$v_1 \varrho_1 \sin \mu_1 = \alpha \dots \dots \dots (33)$$

De ces trois relations il résulte :

$$v^2 - w^2 = v_1^2 \cos^2 \mu_1 + \left[2 \int_{\rho}^{\rho_1} \frac{\varepsilon}{\rho^3} d\rho - \frac{\varepsilon}{\rho^2} \right] \dots (34)$$

Or, il est facile de voir que lorsque ε décroît d'une manière continue depuis ρ_1 jusqu'à ρ on a, en valeur absolue :

$$\lim 2 \int_{\rho}^{\rho_1} \frac{\varepsilon}{\rho^3} d\rho > \lim \frac{\varepsilon}{\rho^2} ;$$

là où ε est positif, comme c'est le cas dans une région de stabilité, la condition $\lim v > \lim w$ pourra donc toujours être satisfaite. Une trajectoire émise, avec la vitesse aréolaire α , du point dont le rayon vecteur est ρ_1 , devra nécessairement approcher indéfiniment du centre; par conséquent :

THÉORÈME X^b. Lorsque le centre est entouré d'une région de stabilité, il pourra toujours y avoir des trajectoires qui, partant avec la vitesse aréolaire $\frac{1}{2} \alpha$, approchent indéfiniment du centre.

En ce qui concerne le temps nécessaire pour parvenir, du point dont le rayon vecteur est ρ_1 , au centre, on peut remarquer (voir (16)) que :

$$\begin{aligned} T &= \lim \int_{\rho}^{\rho_1} \frac{d\rho}{\sqrt{v^2 - v^2 \sin^2 \mu}} = \\ &= \lim \int_{\rho}^{\rho_1} \frac{d\rho}{\sqrt{v^2 - \frac{\alpha^2}{\rho^2}}} = \lim \int_{\rho}^{\rho_1} \frac{d\rho}{\sqrt{v_1^2 - \frac{\alpha^2}{\rho_1^2} + 2 \int_{\rho}^{\rho_1} \frac{\varepsilon}{\rho^3} d\rho}}. \end{aligned} \quad (35)$$

Comme on a toujours :

$$v_1 \rho_1 > \alpha^2 \dots \dots \dots (36)$$

et que dans une région de stabilité ε est positif, le dénominateur ne tend pas vers zéro et le temps devient fini; par conséquent :

THÉORÈME X^c. Dans une région de stabilité, qui entoure le centre, le temps nécessaire pour atteindre le centre est toujours fini.

17. Pour rechercher si les trajectoires dont la vitesse aréolaire est $\frac{1}{2} \alpha$ peuvent aussi atteindre le centre dans une région d'instabilité, nous supposerons FQ^3 développé suivant les puissances ascendantes de q ; on a alors, d'après (30):

$$\varepsilon = q \left(\frac{d.FQ^3}{dq} \right)_0 + \frac{q^2}{1.2} \left(\frac{d^2.FQ^3}{dq^2} \right)_0 + \frac{q^3}{1.2.3} \left(\frac{d^3.FQ^3}{dq^3} \right)_0 + \text{etc.} \quad (37)$$

et de (34) il résulte:

$$v^2 - w^2 = v_1^2 \cos^2 \mu_1 + \left\{ \frac{1}{q} - \frac{2}{q_1} \right\} \left(\frac{d.FQ_3}{dq} \right)_0 + \\ + \frac{1}{2} \left[2l \left(\frac{q_0}{q} \right) - 1 \right] \left(\frac{d^2.FQ^3}{dq^2} \right)_0 + \frac{1}{6} \left[2q_1 - 3q \right] \left(\frac{d^3.FQ^3}{dq^3} \right)_0 + \text{etc.} \quad (38)$$

En général, le deuxième terme du second membre prend, au centre, une valeur infinie négative. Il est donc, en général, impossible de choisir v_1 de telle sorte que la condition $v > w$, au voisinage du centre, soit satisfaite. La même chose s'applique — si $\left(\frac{d.FQ^3}{dq} \right)_0$ était accidentellement zéro — au troisième

terme du second membre, car alors $\left(\frac{d^2.FQ^3}{dq^2} \right)$ doit devenir négatif, puisque autrement on aurait affaire à une région de stabilité, et le terme devient évidemment infiniment grand pour $q = 0$; par conséquent:

THÉORÈME X^d. *Dans une région d'instabilité, qui entoure le centre, les trajectoires partant avec la vitesse aréolaire $\frac{1}{2} \alpha$ ne peuvent atteindre le centre, à moins que $\lim. \frac{dFQ^3}{dq}$ et $\lim. \frac{d^2.FQ^3}{dq^2}$ ne soient toutes deux égales à zéro.*

Dans le cas très particulier où $\lim. \frac{dFQ^3}{dq}$ et $\lim. \frac{d^2.FQ^3}{dq^2}$ sont l'une et l'autre zéro, il est possible, pour des valeurs suffisamment grandes de v_1 , d'obtenir des trajectoires qui, avec la vitesse aréolaire $\frac{1}{2} \alpha$, dans une région d'instabilité, conduisent au centre.

Pour l'expression du temps nécessaire pour atteindre le centre, on trouve, par substitution dans l'équation (35):

$$T = \lim_{\varrho} \int_{\varrho}^{\varrho_1} \frac{d\varrho}{\sqrt{v_1^2 - \frac{\alpha^2}{\varrho_1^2} + \frac{1}{3}(\varrho_1 - \varrho) \left(\frac{d^3 F \varrho^3}{d\varrho^3} \right)_0 + \frac{1}{24}(\varrho_1^2 - \varrho^2) \left(\frac{d^4 F \varrho^3}{d\varrho^4} \right)_0 + \text{etc.}}} \quad (3)$$

En général, cette intégrale est finie. Cela est même *toujours* le cas lorsque $\left(\frac{d^3 F}{d\varrho^3} \right)_0$ n'est pas zéro. C'est seulement *lorsque* cette expression s'annule que le temps peut devenir infiniment grand. Comme exemple, nous prendrons une trajectoire décrite sous l'influence de la force:

$$F = \frac{\alpha^2}{\varrho^3} - \beta\varrho.$$

En désignant par ϱ_1 le rayon vecteur d'un point situé dans la région d'instabilité qui entoure le centre, par v_1 la vitesse en ce point, et par μ_1 l'angle qu'y font la tangente et le rayon vecteur, on trouve pour le temps nécessaire pour atteindre le centre, si $v_1 \varrho_1 \sin \mu_1 = \alpha$:

$$T = \lim \int_{\varrho}^{\varrho_1} \frac{d\varrho}{\sqrt{v_1^2 - \frac{\alpha^2}{\varrho_1^2} - \beta(\varrho_1^2 - \varrho^2)}}$$

En choisissant v_1 de façon que

$$v_1^2 = \frac{\alpha^2}{\varrho_1^2} + \beta \varrho_1^2,$$

le temps nécessaire pour atteindre le centre devient infiniment grand, et la preuve qu'une pareille trajectoire peut être émise résulte de la valeur que doit prendre μ_1 ; on trouve, en effet:

$$\sin \mu_1 = \frac{1}{\sqrt{1 + \frac{\beta}{\alpha^2} \varrho_1^4}},$$

valeur toujours réalisable.

Toutes les trajectoires plus inclinées, qui partent de ce point avec la vitesse aréolaire $\frac{1}{2} \alpha$, atteignent le centre en un temps fini; les trajectoires moins inclinées ne l'atteignent pas.

18. THÉORÈME XI. *Dans une région d'instabilité qui s'étend jusqu'à l'infini, la vitesse circulaire est plus grande que la vitesse qui doit être donnée à une particule matérielle pour qu'en direction radiale elle atteigne l'infini. Dans une région de stabilité qui s'étend jusqu'à l'infini, la relation est inverse.*

Démonstration. La première partie du théorème est, en réalité, déjà démontrée dans le *Corollaire g* du premier théorème, car, si une trajectoire émise dans une direction oblique atteint l'infini, cela devra, en vertu du théorème VIII, être à fortiori le cas pour une trajectoire radiale.

Voici une autre démonstration, qui embrasse aussi la seconde partie du théorème. Soit ϱ_1 la distance d'un point quelconque situé dans une pareille région $\frac{\text{d'instabilité}}{\text{de stabilité}}$, on a alors pour toute distance plus grande: $F\varrho_3 \begin{matrix} < \\ > \end{matrix} F_1\varrho_1^3$, par conséquent:

$$\int_{\varrho_1}^{\infty} F d\varrho \begin{matrix} < \\ > \end{matrix} F_1\varrho_1^3 \int_{\varrho_1}^{\infty} \frac{d\varrho}{\varrho^3} \begin{matrix} < \\ > \end{matrix} \frac{1}{2} F_1 \varrho_1 \dots \dots (40)$$

donc, en désignant par u_1 la vitesse nécessaire pour atteindre en direction radiale l'infini:

$$u_1 \begin{matrix} < \\ > \end{matrix} w_1 \dots \dots \dots (41)$$

suivant que la région en question est une région d'instabilité ou de stabilité.

Corollaire a. *Toute trajectoire qui, dans une région de stabilité, part avec une vitesse supérieure ou égale à u_1 , devra nécessairement posséder une branche prolongée à l'infini.*

En effet, d'après ce qui a été démontré, si l'on suit la trajectoire en direction centrifuge, la vitesse sur la trajectoire, qui doit toujours rester suffisante pour conduire à l'infini, surpassera

partout la vitesse circulaire locale; par conséquent, il ne peut pas se produire un apocentre.

19. THÉORÈME XII. *Lorsqu'une trajectoire se prolonge jusqu'à l'infini, et que partout la vitesse est tout juste suffisante pour conduire à l'infini le long de la trajectoire radiale, on a :*

$$\lim v_{\rho} = \lim \sqrt{F \rho^3} = \lim w_{\rho}.$$

Démonstration. Soit u_1 la vitesse à la distance ρ_1 du centre; on a alors, par hypothèse :

$$u_1^2 = 2 \int_{\rho_1}^{\infty} F d\rho \dots \dots \dots (42)$$

Partout ailleurs on a :

$$v^2 = u_1^2 - 2 \int_{\rho_1}^{\rho} F d\rho \dots \dots \dots (43)$$

donc :

$$\lim \rho^2 v^2 = \lim \rho^2 \left(u_1^2 - 2 \int_{\rho_1}^{\rho} F d\rho \right) = \lim \frac{u_1^2 - 2 \int_{\rho_1}^{\rho} F d\rho}{\rho^{-2}} \dots (44)$$

A la limite, cette expression devient $\frac{0}{0}$; mais, en différentiant le numérateur et le dénominateur, on trouve immédiatement :

$$\lim \rho^2 v^2 = \lim \frac{-2 F}{-2 \rho^{-3}} = \lim F \rho^3 \dots \dots (45)$$

V. APPLICATIONS.

20. I. *Déterminer les différentes formes principales des trajectoires qui peuvent se produire sous l'action d'une force à loi donnée, lorsqu'une particule matérielle part d'un point donné, avec une vitesse donnée, dans des directions différentes.*

On commence par chercher toutes les trajectoires qui se terminent en spirale à cercle asymptotique. A cet effet, il suffit, suivant le théorème VII, de déterminer, sur la trajectoire radiale qui part du même point avec la même vitesse, les points où v_ϱ prend une valeur minimum.

Pour trouver ces points, il faut résoudre l'équation, en général transcendante :

$$A_w = A \dots \dots \dots (46)$$

c'est-à-dire :

$$\frac{1}{2} \varrho F + \int_{\varrho_0}^{\varrho} F d\varrho = \frac{1}{2} v_1^2 + \int_{\varrho_0}^{\varrho_1} F d\varrho \dots \dots \dots (47)$$

Si toutefois le champ a été préalablement divisé en régions de stabilité, d'instabilité et de répulsion, les racines sont déjà séparées. Dans chaque région de stabilité ou d'instabilité il ne peut y avoir, en effet, suivant le *Theorème II, Corollaire a*, qu'une seule racine. En outre, on n'a besoin de connaître que les racines situées dans des régions d'instabilité, car celles qui se trouvent dans une région de stabilité conduisent à des valeurs maxima de v_ϱ . Enfin, lorsque la trajectoire radiale ne conduit ni à l'infini ni au centre, mais possède des points terminaux, où la vitesse se renverse, il faut d'emblée rejeter les racines situées au-delà de ces points terminaux.

Pour savoir maintenant si dans une région d'instabilité donnée, sur laquelle passe la trajectoire radiale, il y a une racine, on déterminera la valeur de A_w aux deux limites de la région. Ce n'est que dans le cas où la valeur de A est comprise entre ces deux valeurs de A_w qu'il y a une racine, laquelle peut alors être trouvée par approximation.

Cette recherche peut présenter quelque embarras dans la région d'instabilité extérieure, si celle-ci s'étend jusqu'à l'infini, ou dans l'intérieure, si celle-ci entoure immédiatement le centre. Dans le premier cas on doit déterminer $\lim A_w$ pour $\varrho = \infty$, dans le second, pour $\varrho = 0$.

La détermination de $\lim A_w$ pour $\varrho = \infty$ n'offre, lorsque la dernière région est une région d'instabilité, aucune difficulté spéciale, car si $\lim F\varrho^3$ est finie ou nulle, $\lim F\varrho$ est CERTAINEMENT nulle, et par conséquent :

$$\lim A_w (\varrho = \infty) = \int_{\varrho_0}^{\infty} F d\varrho (48)$$

Pour $\varrho = 0$, au contraire, et dans une région d'instabilité, $\lim A_w$ prend en général une forme indéterminée, et alors les remarques suivantes peuvent contribuer beaucoup à abrégier les recherches :

1°. Si $\lim F\varrho^3$ est infinie, $\lim A_w$ est également infinie. On a, en effet, d'après (6) :

$$\frac{d A_w}{d\varrho} = \frac{1}{2\varrho^2} \frac{d F\varrho^3}{d\varrho} .$$

En considérant l'accroissement que A_w et $F\varrho^3$ éprouvent quand on se rapproche du centre depuis la distance ϱ_1 jusqu'à une distance plus petite ϱ_2 , on a donc :

$$\Delta A_w > \frac{1}{2\varrho_1^2} \Delta F\varrho^3 , (49)$$

d'où il suit immédiatement que lorsque $F\varrho^3$ devient infini, il doit en être de même de A_w .

2°. Même si $F\varrho^3$ tend vers une limite finie, A_w deviendra infiniment grand, à moins que $\lim \left(\frac{d F\varrho^3}{d\varrho} \right)$ et $\lim \left(\frac{d^2 F\varrho^3}{d\varrho^2} \right)$ ne deviennent toutes les deux nulles.

Lorsque $\lim F\varrho^3$ est finie, on peut poser :

$$F\varrho^3 = (F\varrho^3)_0 + \varrho \left(\frac{dF\varrho^3}{d\varrho} \right)_0 + \frac{\varrho^2}{1.2} \left(\frac{d^2 F\varrho^3}{d\varrho^2} \right)_0 + \frac{\varrho}{1.2.3} \left(\frac{d^3 F\varrho^3}{d\varrho^3} \right)_0 + .. (50)$$

Mais alors on a :

$$A_w = \frac{1}{2} F_{\varrho} + \int_{\varrho_0}^{\varrho} F d\varrho = \frac{1}{2\varrho_0^2} (F_{\varrho^3})_0 + \left(\frac{1}{\varrho_0} - \frac{1}{\varrho} \right) \left(\frac{dF_{\varrho^3}}{d\varrho} \right)_0 + \\ + \frac{1}{4} \left(2 + l \left(\frac{\varrho}{\varrho_0} \right) \right) \left(\frac{d^2 F_{\varrho^3}}{d\varrho^2} \right)_0 + \frac{1}{12} (3\varrho - 2\varrho_0) \left(\frac{d^3 F_{\varrho^3}}{d\varrho^3} \right)_0 + \dots \quad (51)$$

expression qui devient toujours ∞ , à moins que les dérivées en question ne s'annulent. C'est donc dans ce cas-là seulement que $\lim A_w$ demande un calcul plus compliqué.

21. Après avoir déterminé les rayons vecteurs de tous les points de la trajectoire radiale dans lesquels v_{ϱ} acquiert des valeurs minima, on calculera ces valeurs elles-mêmes. Ce calcul est beaucoup simplifié par la circonstance que, suivant le *théorème II*, on a, aux points en question, $v = w$, et par conséquent :

$$v_{\varrho} = w_{\varrho} = \sqrt{F_{\varrho^3}}.$$

Conformément au *théorème VII*, on doit maintenant rejeter tous les points pour lesquels $v_{\varrho} > v_{1\varrho_1}$, ainsi que ceux pour lesquels v_{ϱ} prend des valeurs *plus grandes* que la valeur de cette expression dans l'un des autres points situés entre le point considéré et le point de départ.

Autant il reste de points après cette élimination, autant il y aura de trajectoires, partant du point avec la vitesse donnée, qui pourront conduire à une spirale. Les rayons vecteurs des points seront les rayons des cercles asymptotiques de ces spirales.

Soient: ϱ_p le rayon vecteur d'un pareil point, v_p la vitesse pour ce point sur la trajectoire radiale, μ_p l'angle sous lequel la trajectoire spirale correspondante doit quitter le point de départ; on aura, d'après le *théorème VII*:

$$\sin \mu_p = \frac{v_p \varrho_p}{v_{\varrho}} = \frac{w_p \varrho_p}{v_{\varrho}}.$$

De cette manière on peut donc assigner, au point donné, toutes les trajectoires qui, pour la vitesse donnée, se terminent en spirale à cercle asymptotique. Lorsque, pour une trajectoire

quelconque, l'angle de départ se trouve entre les angles de départ de deux trajectoires terminées en spirale à cercle asymptotique, la trajectoire en question doit posséder un apocentre ou un péri-centre. Si les trajectoires terminées en spirale sont toutes les deux centripètes ou toutes les deux centrifuges, on pourra encore resserrer la partie du champ dans laquelle peut se trouver le péri-centre ou l'apocentre, en remarquant qu'il ne saurait être situé dans la région d'instabilité appartenant à la moins inclinée des deux trajectoires terminées en spirale.

Il résulte de là que, lorsque la vitesse change graduellement de direction, il s'opère, au passage d'une des directions qui donnent lieu à des trajectoires terminées en spirale, un saut brusque dans la distance de l'apocentre, saut dont l'explication, au point de vue purement mathématique, a été donnée au § 4.

Si l'on veut trouver, pour une trajectoire donnée, le rayon vecteur du péri-centre ou de l'apocentre, il suffit de remarquer que ce rayon vecteur est égal à celui du point de la trajectoire radiale dans lequel se réalise pour la première fois — depuis le point de départ — la relation

$$v \varrho = v_1 \varrho_1 \sin \mu_1 \quad (1) \dots \dots \dots (52)$$

1) De cette relation il résulte:

$$\varrho^2 (v_1^2 - 2 \int_{\varrho_1}^{\varrho} F d\varrho) = v_1^2 \varrho_1^2 \sin^2 \mu_1.$$

C'est l'équation en ϱ , qui sert à déterminer les distances des sommets d'une trajectoire centrale au centre. Naturellement, la solution du problème qui nous occupe se laisserait aussi déduire, par voie purement algébrique, de cette équation.

Des trajectoires à apocentre et péri-centre prennent naissance lorsque cette équation a deux racines, entre lesquelles se trouve ϱ_1 . S'il n'y a pas de racine entre ϱ_1 et ∞ , ni entre ϱ_1 et *zéro*, la trajectoire conduit à l'infini ou au centre.

Des cas intermédiaires se présentent lorsqu'une des racines, entre lesquelles est situé ϱ_1 , se confond avec une autre racine. Cela ne peut arriver que pour des valeurs de ces racines qui satisfont à l'équation dérivée ;

Pour ce rayon vecteur, en effet, on a dans la trajectoire donnée: $\sin \mu = 1$, donc $\mu = 90^\circ$.

22. Quand on a déterminé ainsi les deux trajectoires les plus inclinées qui conduisent l'une en direction centrifuge et l'autre en direction centripète à des spirales à cercle asymptotique, il ne reste plus qu'à examiner les trajectoires plus inclinées.

Pour ce qui concerne les *trajectoires centrifuges*, la décision est maintenant devenue très facile. Elle ne dépend que de la question de savoir si la trajectoire radiale conduit à l'infini, en d'autres termes, si la moitié de la force vive suffit à produire le travail nécessaire pour conduire la particule, à travers toutes les régions d'attraction, jusqu'à l'infini. Lorsque, en effet, cette force vive est insuffisante pour ce travail, il doit naturellement y avoir un apocentre. Après que le produit $v\rho$, dans la trajectoire radiale, aura passé par la dernière valeur minima, il commencera par croître, puis il décroîtra de nouveau et deviendra nul avec la vitesse. Préalablement il sera un instant égal à $v_1 \rho_1 \sin \mu_1$, et alors la distance apocentrique est atteinte.

Si, au contraire, la force vive est *plus que suffisante*, la trajectoire doit s'étendre à l'infini, car sa vitesse aréolaire est moindre que celle de la trajectoire spirale la plus inclinée, pour laquelle elle est égale à la moitié de la plus petite valeur minima de $v\rho$ située entre le point de départ et l'infini. On a donc partout:

$$v \rho \sin \mu = v_1 \rho_1 \sin \mu_1 < v \rho$$

$$\sin \mu < 1.$$

$$2 \rho \int_{\rho_1}^{\rho} F d \rho + F \rho - v_1^2 = 0,$$

laquelle est identique avec notre équation $A_w = A$. Dans le cas intermédiaire, il se produit en général des spirales à cercle asymptotique.

Si l'on veut entrer dans plus de détails, fixer les limites des racines de l'équation et de sa dérivée, donner des règles pour déterminer lesquelles des racines de la dérivée peuvent réellement conduire à un cas intermédiaire, etc., alors se présentent une à une toutes les difficultés qui, plus haut, ont été vaincues, à ce qu'il me semble, d'une manière plus représentative.

Il y a un peu plus de difficulté à décider entre les deux possibilités lorsque la force vive est *tout juste suffisante*. Dans ce cas, en effet, la valeur limite de v_ρ prend une forme indéterminée. Mais ici le *théorème XII* nous vient en aide pour trouver cette valeur limite. Si cette valeur limite $\sqrt{F\rho^3}$ est *plus grande* que la plus petite valeur minimum de v_ρ entre le point de départ et l'infini, ou, s'il n'existe pas de valeur minimum plus petite que $v_1 \rho_1$, plus grande que $v_1 \rho_1$, alors toutes les trajectoires plus inclinées que la plus inclinée des trajectoires centrifuges terminées en spirale à cercle asymptotique, ou, en l'absence de ces dernières, toutes les trajectoires conduisent à l'infini.

Si la valeur limite $\sqrt{F\rho^3}$ est, au contraire, *plus petite* que $v_1 \rho_1$, et plus petite que la plus petite valeur minimum, il existe un nouvel angle limite μ_p , déterminé par

$$\sin \mu_p = \frac{\sqrt{F\rho^3}}{v_1 \rho_1},$$

de sorte que toutes les trajectoires plus inclinées, de même que la trajectoire partant sous cet angle même, conduisent à l'infini, tandis que toutes les trajectoires moins inclinées possèdent un apocentre entre l'infini et la limite extérieure de la région d'instabilité de la plus inclinée des trajectoires en spirale à cercle asymptotique. La trajectoire qui part sous l'angle limite même présente la particularité de tendre de plus en plus à devenir normale au rayon vecteur. Les autres trajectoires qui atteignent l'infini ont également besoin d'un nombre infini de circonvolutions pour y arriver, mais, chez elles, l'angle du rayon vecteur et de la trajectoire tend vers une limite différente.

23. En ce qui concerne les *trajectoires centripètes* plus inclinées que la plus inclinée des trajectoires centripètes terminées en spirale à cercle asymptotique, pour décider si elles atteindront ou non le centre, on déterminera d'abord $\lim \sqrt{F\rho^3}$ pour $\rho = 0$. Si cette limite est zéro, toutes les trajectoires en question possèdent, suivant le théorème X_a , un péricentre. Il en est de même lorsque le centre est entouré d'une région de répulsion et que la limite, par conséquent, devient imaginaire.

Si $\lim \sqrt{F' \rho^3}$ est, au contraire, infiniment grande, ou du moins plus grande que $v_1 \rho_1$, ou plus grande que la plus petite valeur minimum de v_ρ située entre le point de départ et le centre, alors toutes ces trajectoires conduisent au centre; à condition, toutefois, que la trajectoire radiale y conduise, ce qui pourrait être empêché par la présence d'une région de répulsion. Dans ce dernier cas, naturellement, toutes les trajectoires possèdent de nouveau un péricentre.

Un examen ultérieur n'est donc nécessaire que dans le cas où $\lim \sqrt{F' \rho^3} = \alpha$ est finie, plus petite que $v_1 \rho_1$, et plus petite que la plus petite valeur minimum de v_ρ dans la direction du centre.

Il existe alors un nouvel angle limite:

$$\sin \mu_p = \frac{\sqrt{F' \rho^3}}{v_1 \rho_1},$$

de sorte que les trajectoires plus inclinées passent par le centre, et que les trajectoires moins inclinées possèdent un apocentre.

Le cas limite a été étudié à fond au § 16, auquel nous renvoyons.

II. 24. Déterminer les différentes formes principales des trajectoires décrites sous l'action d'une force attractive $F = f \rho^n$, et les conditions dans lesquelles ces formes apparaissent.

Premier cas: $n \geq -1$.

Outre les trajectoires radiales et circulaires, que nous laissons tacitement de côté dans ce qui suit, il ne peut exister qu'une seule espèce de trajectoires, savoir, des trajectoires possédant à la fois un apocentre et un péricentre. En effet, le travail nécessaire pour atteindre l'infini est infiniment grand: donc il n'y a jamais de branches infinies. $\lim F' \rho^3$ est zéro: donc le centre n'est jamais atteint.

Deuxième cas. $-1 > n > -3$.

Il y a deux espèces de trajectoires. La première espèce possède un apocentre et un péricentre. Elle apparaît lorsque

$v_1 < \frac{\sqrt{2f}}{-n-1} \varrho_1^{n+1}$; alors, en effet, la force vive est insuffisante à fournir le travail nécessaire pour atteindre l'infini.

La seconde espèce possède des branches infinies et un péricentre.

Elle se forme toujours lorsque $v_1 \geq \frac{\sqrt{2f}}{-n-1} \varrho_1^{n+1}$, ainsi qu'il résulte du *Théorème XI, Corollaire a.*

Troisième cas : $n = -3$.

Il y a trois espèces de trajectoires. *La première espèce passe par le centre et possède un apocentre.* Elle naît lorsque

$v_1 < w_1 = \frac{\sqrt{f}}{\varrho_1}$. En effet, d'après le *Théorème I, Corollaire h*,

la trajectoire doit alors conduire, en direction centripète, jusqu'au centre; en outre, elle ne peut avoir de branches infinies, parce que la force vive est insuffisante. *La seconde espèce possède une branche infinie et conduit au centre.* Elle se produit lorsqu'on a

simultanément $v_1 \geq w_1 = \frac{\sqrt{f}}{\varrho_1}$ et $\sin \mu_1 \leq \frac{\sqrt{f}}{\varrho_1 v_1}$. En effet,

d'après le *Théorème I, Corollaire g*, il doit alors apparaître en direction centrifuge une branche infinie, tandis que, par application du § 21, on trouve immédiatement que le centre devra être atteint. Cette seconde espèce comprend les trajectoires en forme de spirales logarithmiques, qui naissent lorsque

$v_1 = w_1 = \frac{\sqrt{f}}{\varrho_1}$ (Voir *Théorème III, Corollaire e*).

La troisième espèce possède un péricentre et deux branches infinies. Elle se produit lorsqu'on a $v_1 > w_1 = \frac{\sqrt{f}}{\varrho_1}$ et simul-

tanément $\sin \mu_1 > \frac{\sqrt{f}}{\varrho_1 v_1}$.

Quatrième cas : $d < -3$.

Il y a cinq espèces de trajectoires. *La première espèce passe par le centre et possède un apocentre.* Elle se forme toujours

lorsque $v_1 < \frac{\sqrt{2f}}{-n-1} \varrho_1^{n+1}$; dans ce cas, en effet, il ne peut apparaître de branche infinie, la force vive étant insuffisante; en outre, on a alors $v_1 < w_1 = \sqrt{f \varrho^{n+1}}$, de sorte que, d'après le *Théorème I, Corollaire h*, la trajectoire doit conduire, en direction centripète, jusqu'au centre. Elle ne se forme jamais lorsque $v_1 > w_1 = \sqrt{f \varrho_1^{n+1}}$, car alors la trajectoire, en vertu du *Théorème I, Corollaire g*, se prolonge jusqu'à l'infini. Si v_1 est situé entre ces deux limites, on pourra assigner un angle limite μ' , tel que la trajectoire qui part en direction centrifuge sous cet angle se termine en spirale à cercle asymptotique, et que toute trajectoire plus inclinée conduit à l'infini, toute trajectoire moins inclinée à un apocentre. Pour obtenir cet angle limite, on déduira de l'équation (47) la valeur du rayon vecteur pour lequel $v \varrho$ devient minimum; on trouve:

$$\varrho = \left(\frac{-n-1}{-n-3} \frac{v_1^2}{f} - \frac{2}{-n-3} \varrho_1^{n+1} \right)^{\frac{1}{n+1}}.$$

Pour la valeur $v \varrho$ elle-même, qui correspond à ce rayon vecteur, on trouve:

$$v \varrho = \sqrt{F \varrho^3} = \sqrt{f} \cdot \left(\frac{-n-1}{-n-3} \frac{v_1^2}{f} - \frac{2}{-n-3} \varrho_1^{n+1} \right)^{\frac{n+3}{2(n+1)}},$$

et par conséquent pour l'angle limite

$$\sin \mu' = \frac{\sqrt{f} \cdot \left(\frac{-n-1}{-n-3} \frac{v_1^2}{f} - \frac{2 \varrho_1^{n+1}}{-n-3} \right)^{\frac{n+1}{2(n+3)}}}{v_1 \varrho_1}.$$

La seconde espèce passe par le centre et se termine en spirale à cercle asymptotique extérieur. Elle se produit dès que $v_1 < w_1 = \sqrt{f \varrho^{n+1}}$ et $\mu_1 = \mu'$.

La troisième espèce passe par le centre et possède une branche infinie. Elle se produit, comme nous l'avons vu, dès qu'on a

$v_1 < w_1 = \sqrt{f \varrho_1^{n+1}}$ mais $> \sqrt{\frac{2f}{-n-1} \varrho_1^{n+1}}$ et en outre $\mu_1 < \mu'$. Elle peut, toutefois, apparaître aussi lorsque $v_1 \overline{=} w_1 = \sqrt{f \varrho_1^{n+1}}$. Dans ce cas, la trajectoire, en direction centrifuge, possède toujours une branche infinie, conformément au *Théorème I, Corollaire g*. Lorsque $v_1 = w_1 = \sqrt{f \varrho_1^{n+1}}$, la branche centripète conduit, en vertu du *Théorème I, Corollaire h*, au centre, et il se forme donc une trajectoire de la troisième espèce. Lorsque $v_1 > w_1 = \sqrt{f \varrho_1^{n+1}}$, on peut de nouveau assigner un angle limite μ^1 , pour lequel vaut la formule développée ci-dessus, et tel que la trajectoire partant sous cet angle se termine en spirale à cercle asymptotique intérieur. Toute trajectoire moins inclinée possède alors un péricentre, toute trajectoire plus inclinée conduit au centre et est donc de la troisième espèce.

La quatrième espèce possède une branche infinie et se termine en spirale à cercle asymptotique intérieur. Elle se produit lorsqu'on a $v_1 > w_1 = \sqrt{f \varrho_1^{n+1}}$ et, en outre, $\mu_1 = \mu'$.

La cinquième espèce possède un péricentre et deux branches infinies. Elle se forme lorsque: $v_1 > w_1 = \sqrt{f \varrho_1^{n+1}}$ et, en outre, $\mu_1 > \mu'$.

III. 23. *Déterminer la nature et les limites des régions qui se forment dans le plan d'un anneau homogène de matière, qui attire suivant la loi de la gravitation universelle.*

Il m'a paru utile de traiter ce problème, afin de faire voir que la gravitation universelle peut donner lieu à la production de régions d'instabilité.

Il va sans dire que l'attraction qui émane d'un pareil anneau peut être conçue comme une force centrale, ayant pour centre le centre de l'anneau. Désignons par M la masse de l'anneau et par R son rayon, prenons pour unité de force la constante de la gravitation universelle, et introduisons les intégrales elliptiques complètes :

$$\omega(\theta) = \int_0^{\frac{\pi}{2}} \frac{d\varphi}{\sqrt{1 - \sin^2 \theta \sin^2 \varphi}}; \vartheta(\theta) = \int_0^{\frac{\pi}{2}} d\varphi \cdot \sqrt{1 - \sin^2 \theta \sin^2 \varphi}.$$

Posons, en outre: $\varrho = R \cot^2 \frac{1}{2} \theta$; le potentiel V de la force attractive, en un point extérieur à l'anneau, devient alors:

$$V = \frac{2 M \sin^2 \frac{1}{2} \theta}{\pi R} \omega(\theta).$$

De là, en différenciant par rapport à ϱ et en appliquant la formule:

$$\omega'(\theta) = -\cot \theta \cdot \omega(\theta) + \frac{1}{\sin \theta \cos \theta} \vartheta(\theta),$$

on déduit aisément:

$$F = \frac{M \cdot \sin^4 \frac{1}{2} \theta}{\pi R^2 \cos^2 \frac{1}{2} \theta} \left[\omega(\theta) + \frac{\vartheta(\theta)}{\cos \theta} \right].$$

Pour la distance ϱ_0 , à laquelle l'énergie potentielle est supposée égale à *zéro*, nous prenons la valeur infiniment grande; l'énergie totale d'une particule matérielle, qui décrit une trajectoire déterminée, est alors:

$$A = \frac{1}{2} v^2 - 2 \int_{\varrho}^{\infty} F d\varrho = \frac{1}{2} v^2 - \frac{2 M \cdot \sin^2 \frac{1}{2} \theta}{\pi R} \cdot \omega(\theta).$$

On a en outre:

$$w^2 = \varrho F = \frac{M \cdot \sin^2 \frac{1}{2} \theta}{\pi R} \left[\omega(\theta) + \frac{\vartheta(\theta)}{\cos \theta} \right],$$

d'où il suit:

$$A_w = \frac{M \cdot \sin^2 \frac{1}{2} \theta}{\pi R} \left[-3 \omega(\theta) + \frac{\vartheta(\theta)}{\cos \theta} \right]$$

$$B_w^2 = \varrho^2 w^2 = \frac{M \cdot \cos^4 \frac{1}{2} \theta}{\pi \sin^2 \frac{1}{2} \theta} \left[\omega(\theta) + \frac{\vartheta(\theta)}{\cos \theta} \right].$$

A l'intérieur de l'anneau il y a naturellement une région de répulsion. En dehors et tout près de l'anneau, A_w devient très grand, et même, *sur* l'anneau, infiniment grand, ce dont il est facile de se convaincre en laissant θ s'approcher de la limite 90° . Ensuite, A_w décroît lorsque ϱ croît. L'anneau est donc entouré d'une *région d'instabilité*. A celle-ci doit toutefois succéder une *région de stabilité*, car la loi d'attraction tend vers la limite $F = \frac{M}{\varrho^2}$, laquelle loi limite fournit une région de stabilité. La

démarcation entre les deux régions se trouve là où :

$$\frac{d \cdot A_w}{d \varrho} = -\frac{1}{R} \cdot \frac{\sin^3 \frac{1}{2} \theta}{\cos \frac{1}{2} \theta} \cdot \frac{d A_w}{d \theta} = 0.$$

En appliquant la formule :

$$\vartheta'(\theta) = \cot \theta (\vartheta(\theta) - \omega(\theta))$$

on trouve, après exécution des différentiations, que, pour déterminer cette démarcation, il faut résoudre l'équation :

$$\omega(\theta) = \frac{\sin^4 \frac{1}{2} \theta}{\cos^2 \theta} \cdot \vartheta(\theta).$$

On obtient ainsi :

$$\theta = 76^\circ 29' 30''$$

$$\varrho = 1,609^5 R.$$

Par conséquent, l'anneau matériel est entouré jusqu'à la distance

$$R_1 = 1,609^5 R$$

d'une région d'instabilité, région dans laquelle peuvent donc se présenter, sous l'action de la gravitation universelle, des spirales à cercle asymptotique, et des trajectoires circulaires instables.

Sur le cercle de démarcation entre la région de stabilité et la région d'instabilité on a :

$$A_w = -0,7742 \frac{M}{\pi R},$$

où le signe négatif indique que la force vive du mouvement circulaire serait insuffisante pour fournir le travail nécessaire au transport à l'infini. Plus près de l'anneau, toutefois, A_w croît et devient finalement positif, de sorte qu'on obtient alors des trajectoires circulaires, qui sont parcourues avec des vitesses si grandes que la force vive suffirait, et au-delà, pour exécuter ce travail.

Cela a lieu dès que :

$$A_w > 0,$$

ce qui exige :

$$\theta > 84^\circ 55' 30''$$

$$\varrho < 1,194 R.$$

QUELQUES REMARQUES

SUR LA

VARIATION DE LA DENSITÉ DANS L'INTÉRIEUR DE LA TERRE.

PAR

M. T. J. STIELTJES.

INTRODUCTION.

1. Considérons la terre comme formée de couches ellipsoïdales, telles que la densité f soit constante dans l'étendue de chacune d'elles. Une de ces couches sera déterminée par le rayon x de la sphère équivalente et nous supposerons qu'à la surface on ait $x=1$.

Il suit de ces notations que le volume de la terre est $\frac{4}{3} \pi$, sa masse est $4 \pi \int_0^1 x^2 f(x) dx$. Donc la densité moyenne $\Delta = 3 \int_0^1 x^2 f(x) dx$.

Dans ce qui suit, je suppose connu Δ , ainsi que le rapport

$$\lambda = \frac{\int_0^1 x^2 f(x) dx}{\int_0^1 x^4 f(x) dx},$$

dont on peut obtenir la valeur en combinant les observations astronomiques avec celles qui servent à faire connaître la figure de la terre.

Enfin, comme dernière donnée, je prendrai la valeur de la densité à la surface : $f(1) = d$.

Dans ces conditions mon but est de limiter, autant que possible, la marche de la fonction inconnue $f(x)$. Cela n'est possible qu'à l'aide de certaines hypothèses: les deux suivantes seront discutées successivement.

I. La densité va continuellement en croissant de la surface jusqu'au centre de la terre.

II. La densité va continuellement en croissant de la surface jusqu'au centre, mais la rapidité de cet accroissement va en diminuant de la surface jusqu'au centre.

Enfin, dans une troisième partie, je considérerai brièvement la mise en nombres des résultats obtenus, et j'ajouterai une discussion de différentes formules qu'on a proposées pour représenter la densité dans l'intérieur de la terre.

Mais, avant d'entrer en matière, voici quelques remarques préliminaires qui se rapportent également à la discussion des deux hypothèses.

D'abord il convient d'introduire au lieu de Δ et λ les intégrales:

$$(1) \dots \dots \dots A = \int_0^1 x^2 f(x) dx,$$

$$(2) \dots \dots \dots B = \int_0^1 x^4 f(x) dx,$$

$$\text{en sorte qu'on a } A = \frac{\Delta}{3}, \quad B = \frac{\Delta}{3\lambda}.$$

Ensuite, démontrons la proposition suivante:

„Lorsque deux fonctions $F(x)$, $G(x)$ vérifient les équations:

$$(3) \dots \dots \int_0^1 x^2 F(x) dx = A, \int_0^1 x^4 F(x) dx = B,$$

$$(4) \dots \dots \int_0^1 x^2 G(x) dx = A, \int_0^1 x^4 G(x) dx = B,$$

alors la différence $F(x) - G(x)$, si elle n'est pas constamment égale à zéro, doit changer au moins DEUX fois de signe dans l'intervalle de zéro à l'unité”.

En effet les équations (3) et (4) donnent :

$$(5) \dots \int_0^1 x^2 [F(x) - G(x)] dx = 0,$$

$$(6) \dots \int_0^1 x^4 [F(x) - G(x)] dx = 0,$$

d'où il est évident que $F(x) - G(x)$ doit changer de signe au moins une fois.

Mais supposons que $F(x) - G(x)$ change *seulement* une fois de signe, et que par conséquent $F(x) - G(x)$ ait un signe déterminé pour les valeurs

$$0 < x < b$$

et de même un signe déterminé, mais contraire au précédent, pour les valeurs

$$b < x < 1,$$

b étant comprise entre zéro et l'unité.

Posons :

$$F(x) - G(x) = \varphi(x) \quad 0 < x < b$$

$$G(x) - F(x) = \psi(x) \quad b < x < 1,$$

alors $\varphi(x)$ et $\psi(x)$ ne changent pas de signe et ont même signe.

Or on devra avoir d'après (5) et (6) :

$$\int_0^b x^2 \varphi(x) dx = \int_b^1 x^2 \psi(x) dx,$$

$$\int_0^b x^4 \varphi(x) dx = \int_b^1 x^4 \psi(x) dx,$$

d'où l'on tire :

$$\int_0^b x^2 (b^2 - x^2) \varphi(x) dx = \int_b^1 x^2 (b^2 - x^2) \psi(x) dx,$$

équation absurde parce que les deux membres sont évidemment de signe contraire.

La proposition que nous venons de démontrer sera d'un usage continuels et l'on verra qu'à peu près tout ce qui suit en dépend.

PREMIÈRE PARTIE.

Discussion de l'hypothèse I.

2. Nous allons donc supposer maintenant que $f(x)$ est une fonction décroissante.

Il convient d'observer d'abord que cela entraîne nécessairement entre nos données A , B , d l'inégalité :

$$(7) \dots\dots\dots, 3A > 5B > d.$$

L'inégalité $5B > d$ résulte immédiatement de la signification de ces quantités, et l'on démontre encore facilement, de diverses manières, que $3A > 5B$. Mais, pour faire connaître dès à présent la nature de la méthode dont je ferai un usage continuels dans la suite, je tirerai ici cette inégalité de la proposition du N^o. 1.

J'observe pour cela qu'on peut déterminer les constantes p , q de l'expression $F(x) = p - qx$ de manière qu'elle satisfasse aux équations (3). On trouve ainsi :

$$F(x) = 30A - 45B - 12(3A - 5B)x,$$

et comme la densité $f(x)$ satisfait aux équations (1) et (2), la différence $F(x) - f(x)$ doit changer au moins deux fois de signe d'après notre proposition. Or cela serait manifestement impossible si l'on avait $3A \leq 5B$, parce qu'alors $F(x)$ serait croissant ou du moins non décroissant et ainsi $F(x) - f(x)$ varierait toujours dans le même sens. On doit donc avoir $3A > 5B$.

A la rigueur on pourrait avoir $3A = 5B$, mais alors $f(x)$ serait nécessairement constant et $5B = d$. Nous ferons abstraction de ce cas, parce que pour la terre les inégalités (7) ont lieu effectivement.

3. *Limite inférieure m de la densité au centre.*

Tâchons de déterminer une loi de densité de la manière suivante :

$$f(x) = m \quad \text{de } x = 0 \text{ jusqu'à } x = a < 1$$

$$f(x) = d \quad \text{de } x = a \text{ jusqu'à } x = 1.$$

Les inconnues m et a doivent être trouvées par les conditions (1) et (2); — on obtient après une légère réduction :

$$3A - d = (m - d) a^3$$

$$5B - d = (m - d) a^5,$$

d'où

$$(8) \dots\dots\dots a = \sqrt{\frac{5B - d}{3A - d}}$$

$$(9) \dots\dots\dots m = d + \sqrt{\frac{(3A - d)^5}{(5B - d)^3}}$$

Comme on le voit par les inégalités (7), la valeur de a est inférieure à l'unité; quant à $m = d + \frac{3A - d}{a^3}$, à cause de $a < 1$ il vient $m > 3A$, c'est-à-dire m est supérieur à la densité moyenne de la terre, — ce qui est évident a priori.

En prenant (fig. 1) un système d'axes rectangulaires OX , OY , $OA = 1$, $OD = m$, $AB = d$, $OF = a$, cette loi de densité est représentée par les deux droites DE , CB . Or il est évident maintenant que m est la densité minima au centre, c'est-à-dire qu'il n'y a aucune loi de densité qui donne pour $x=0$ une densité inférieure à m . En effet, désignons par $f(x)$ la loi de densité représentée par DE , CB , et par $f_1(x)$ une autre loi de densité, qui donnerait au centre une densité inférieure à m ; on voit aussitôt que $f(x) - f_1(x)$ ne pourrait présenter qu'un seul changement de signe, ce qui est impossible d'après la proposition du N°. 1.

4. Dans la suite, la limite inférieure de la densité pour $x = b$ sera désignée par $t(b)$ et la limite supérieure de cette même densité par $T(b)$. Le résultat que nous venons d'obtenir s'exprime donc ainsi: $t(0) = m$, tandis qu'on a évidemment $t(1) = d$, $T(1) = d$.

Nous nous proposons de déterminer ces fonctions $t(b)$, $T(b)$ pour une valeur quelconque de b .

D'abord il est évident, en jetant un regard sur la fig. 1, que

$$t(b) = d \quad a \leq b \leq 1,$$

et à l'aide d'un raisonnement, tout-à-fait analogue à celui qui nous a fait voir que $t(o) = m$, on se convainc que

$$T(a) = m.$$

La fonction $t(b)$ étant connue maintenant pour les valeurs de b comprises entre a et l'unité, il reste seulement à trouver la valeur de $t(b)$ pour les valeurs positives de b inférieures à a . (Nous savons déjà que $t(o) = m$).

Pour cela, je cherche une fonction $F(x)$, ainsi:

$$\begin{aligned} F(x) &= K & o < x < b \\ F(x) &= k & b < x < 1, \end{aligned}$$

K et k étant des constantes qui doivent être déterminées par les conditions (3). Un calcul facile donne:

$$\begin{aligned} K &= \frac{3(1-b^5)A - 5(1-b^3)B}{b^3(1-b^2)}, \\ k &= \frac{5B - 3b^2A}{1-b^2}. \end{aligned}$$

La valeur de k , considérée comme fonction de b , est décroissante, et comme on voit facilement que pour $b = a$ il vient $k = d$, la valeur de k sera supérieure à d dans l'hypothèse actuelle $o < b < a$. D'après la proposition du N° 1 on en conclut $K > m$. Dans la fig. 1 la fonction $F(x)$ est représentée par les droites IK , HG et $OL = b$.

On voit maintenant, d'après un raisonnement déjà développé plus d'une fois, qu'il ne peut exister une loi de densité qui donne pour $x = b$ une densité inférieure à k ou supérieure à K ; donc $t(b) \geq k$, $T(b) \leq K$.

La fonction $F(x)$ n'est pas, à proprement parler, une fonction

qui puisse être assimilée à la densité, parce qu'on a $T(1) = k > d$. Mais on peut se figurer une loi de densité qui diffère très peu de $F(x)$ dans tout l'intervalle de zéro à l'unité et qui présente seulement dans le voisinage de la surface un changement extrêmement rapide de k à d .

D'après cette remarque, on doit avoir: $t(b) = k$, $T(b) = K$,
 c.à.d.: $t(b) = \frac{5B - 3b^2 A}{1 - b^2}$, $T(b) = \frac{3(1 - b^5) A - 5(1 - b^3) B}{b^3(1 - b^2)}$,

sous la condition $0 < b \leq a$.

La fonction $t(b)$ est maintenant parfaitement connue. Remarquons qu'elle présente une discontinuité; en effet, ϵ étant infiniment petit, on a
 $t(\epsilon) = 5B < 3A$
 et $t(0) = m > 3A$.

Cette singularité s'explique très bien si l'on fait attention à la grande différence qui existe entre les deux lois de densité qui donnent la densité minima au centre et la densité minima dans un point voisin du centre.

5. Il reste à déterminer $T(b)$ pour les valeurs de b comprises entre a et 1. J'observe pour cela que:

$$B = \int_0^b x^4 f(x) dx + \int_b^1 x^4 f(x) dx,$$

donc

$$B \geq f(b) \int_0^b x^4 dx + f(1) \int_b^1 x^4 dx \quad \text{c. à. d. :}$$

$$B \geq \frac{1}{5} b^5 f(b) + \frac{1 - b^5}{5} d,$$

par conséquent

$$f(b) \leq \frac{5B - (1 - b^5) d}{b^5}.$$

Il est évident par là qu'on doit avoir aussi:

$$(10) \dots\dots\dots T(b) \leq \frac{5B - (1 - b^5)d}{b^5}.$$

C'est une simple limitation de $T(b)$, qu'on pourrait facilement vérifier dans l'intervalle $0 < b \leq a$ où nous connaissons déjà la valeur exacte de $T(b)$. On voit aussi que pour $b = a$ il faut mettre le signe $=$ dans la relation (10).

Mais je dis maintenant qu'on a pour toute valeur de b comprise entre a et 1 :

$$T(b) = \frac{5B - (1 - b^5)d}{b^5}.$$

Pour le démontrer en toute rigueur, il faudrait faire voir que, R étant une quantité inférieure à $\frac{5B - (1 - b^5)d}{b^5}$ mais en différant aussi peu qu'on le veut, il existe toujours une loi de densité telle que $f(b) = R$. Mais il me semble que l'indication suivante suffit.

Soit

$$\begin{aligned} \varphi(x) &= \frac{5B - (1 - b^5)d}{b} & 0 \leq x \leq b \\ \varphi(x) &= d & b \leq x \leq 1, \end{aligned}$$

on vérifie sans peine que

$$\int_0^1 x^4 \varphi(x) dx = B.$$

En désignant par A' la valeur de l'intégrale $\int_0^1 x^2 \varphi(x) dx$, on

trouve :

$$A' = \frac{5B - d + b^2 d}{3b^2}.$$

Considérée comme fonction de b , A' est décroissante, et pour $b = a$, $A' = A$; donc, dans la supposition $a < b < 1$, A' est inférieure à A .

La fonction $\varphi(x)$ ne satisfait donc pas aux conditions imposées à la densité, mais en posant :

$$f'(x) = \varphi(x), \quad \varepsilon < x < 1$$

$$f'(x) = \varphi(x) + \frac{A - A'}{\varepsilon x^2}, \quad 0 < x < \varepsilon,$$

ε étant une quantité aussi petite qu'on voudra, il vient :

$$\int_0^1 x^2 f'(x) dx = A' + \int_0^\varepsilon \frac{A - A'}{\varepsilon} dx = A$$

$$\int_0^1 x^4 f'(x) dx = B + \int_0^\varepsilon \frac{A - A'}{\varepsilon} x^2 dx = B + \frac{1}{3} (A - A') \varepsilon^2.$$

En prenant ε infiniment petit, la fonction $f'(x)$ satisfait donc bien aux conditions imposées à la densité et l'on a $f'(b) = \frac{5B - (1 - b^5)d}{b^5}$.

D'une manière sommaire, mais peu exacte, on pourrait dire que, pour avoir la plus grande densité pour $x = b > a$, il faut se figurer comme condensée dans le centre de la terre une partie finie de la masse totale de la terre. Cette partie de la masse a alors une influence appréciable dans l'intégrale $\int_0^1 x^2 f'(x) dx$,

mais elle ne change en rien la valeur de $\int_0^1 x^4 f'(x) dx$, à cause du facteur x^4 .

En réunissant les résultats obtenus, on a les formules suivantes :

$$(11). \dots \dots \dots \left\{ \begin{array}{ll} t(0) = m & \\ t(b) = \frac{5B - 3b^2 A}{1 - b^2} & 0 < b \leq a \\ t(b) = d & a \leq b \leq 1 \end{array} \right.$$

$$(12) \dots \left\{ \begin{array}{l} T(b) = \frac{3(1-b^5)A - 5(1-b^3)B}{b^3(1-b^2)} \quad 0 < b \leq a \\ T(b) = \frac{5B - (1-b^5)d}{b^5} \quad a \leq b < 1 \\ T(1) = d. \end{array} \right.$$

La fonction $T(b)$ présente une discontinuité; en effet, ε étant infiniment petit, on a:

$$\begin{aligned} T(1-\varepsilon) &= 5B > d \\ T(1) &= d. \end{aligned}$$

DEUXIÈME PARTIE.

Discussion de l'hypothèse II.

6. Dans ce qui suit, nous admettrons:

1° que la fonction $f(x)$ ne croît jamais avec x .

2° que la fonction $\frac{df(x)}{dx}$ ne croît jamais avec x .

Quant à cette seconde condition, elle semble exiger l'existence de la fonction dérivée $\frac{df(x)}{dx}$; pour cette raison, il vaut mieux l'énoncer un peu autrement, en disant que, sous la condition

$$0 \leq x < y < z \leq 1,$$

on doit avoir toujours:

$$(13) \dots \dots \frac{f(x) - f(y)}{y - x} \leq \frac{f(y) - f(z)}{z - y}.$$

Notons une différence profonde qui existe entre notre hypothèse actuelle et celle que nous venons de discuter. Dans la première hypothèse, la fonction $f(x)$ peut avoir un saut brusque pour une valeur quelconque de x ; on voit facilement que cela n'est plus possible maintenant, à cause de la condition (13), que pour la seule valeur $x=1$.

Voyons d'abord quelles relations l'hypothèse actuelle entraîne entre les données A , B , d .

Naturellement, on a comme auparavant, $3A > 5B > d$, mais il existe encore une autre relation, propre à notre hypothèse. Pour la trouver, considérons la fonction $F(x)$, qui s'est présentée déjà dans le N°. 2 :

$$F(x) = 30A - 45B - 12(3A - 5B)x$$

et qui vérifie les relations :

$$\int_0^1 x^2 F(x) dx = A, \int_0^1 x^4 F(x) dx = B.$$

Cette fonction $F(x)$ décroît de $M = F(0) = 30A - 45B$ jusqu'à $D = F(1) = 15B - 6A$.

Je dis maintenant que la valeur $d = f(1)$ doit être inférieure à $D = 15B - 6A$. C'est ce qu'on voit facilement en jetant le regard sur la fig. 2, où la fonction $F(x)$ est représentée par la droite FE , et en se rappelant que la différence $F(x) - f(x)$ doit changer au moins deux fois de signe d'après la proposition du N°. 1. Cela se fonde sur la notion qu'on a d'une courbe qui tourne sa concavité vers OA , car c'est par une telle courbe qu'est représentée la fonction $f(x)$ d'après notre hypothèse. Mais voici une démonstration arithmétique. Supposons $d > D$, alors $F(x) - f(x)$ est négative pour $x = 1$, et comme cette différence doit changer au moins deux fois de signe, il doit exister un nombre $a < 1$ tel que $F(a) - f(a) > 0$, et un nombre $b < a$ tel que $F(b) - f(b) < 0$, donc :

$$\begin{aligned} F(1) &< f(1), \\ F(a) &> f(a), \\ F(b) &< f(b), \end{aligned}$$

d'où l'on tire :

$$\frac{F(a) - F(1)}{1 - a} > \frac{f(a) - f(1)}{1 - a}, \quad \frac{F(b) - F(a)}{a - b} < \frac{f(b) - f(a)}{b - a};$$

mais évidemment $\frac{F(a) - F(1)}{1 - a} = \frac{F(b) - F(a)}{a - b}$, donc :

$$\frac{f(b) - f(a)}{a - b} > \frac{f(a) - f(1)}{1 - a},$$

ce qui est en contradiction avec la relation (13), en posant, comme il est permis de le faire, $x = b$, $y = a$, $z = 1$. La supposition $d > D$ ne peut être admise, et nous pouvons noter les conditions:

$$(14) \dots\dots\dots \left\{ \begin{array}{l} 3A > 5B > d, \\ 15B - 6A > d. \end{array} \right.$$

On voit encore que, si l'on avait $15B - 5A = d$, la fonction $f(x)$ serait parfaitement définie et devrait être identique à $F(x)$; nous ferons abstraction de ce cas, qui ne se présente pas dans la nature. ¹⁾

Nous allons nous occuper maintenant du même problème qui a déjà été résolu dans notre première hypothèse — c.à.d. nous allons chercher la limite supérieure $T(b)$ et la limite inférieure $t(b)$ de la densité pour $x = b$.

7. Considérons d'abord les valeurs particulières $T(0)$, $t(0)$. La fig. 2 fait voir immédiatement que $T(0)$ n'est autre chose que la valeur de la fonction $F(x)$, considérée dans le N°. précédent pour $x = 0$, donc:

$$(15) \dots\dots\dots T(0) = M = 30A - 45B.$$

Quant à la valeur de $t(0)$, que nous désignerons par m , on voit sans peine qu'elle correspond à la loi de densité suivante: une densité constante m de $x = 0$ jusqu'à une certaine valeur $x = a < 1$, représentée dans la fig. 2 par la droite horizontale CD , et pour $x > a$ un décroissement régulier de la densité jusqu'à la valeur d représentée par la droite DB ; donc:

$$\begin{aligned} f(x) &= m & 0 < x \leq a \\ f(x) &= m - \frac{m-d}{1-a} (x-a) & a < x < 1. \end{aligned}$$

¹⁾ En introduisant Δ et λ au lieu de A et B , la limitation $15B - 6A > d$ peut se mettre sous la forme $\lambda < \frac{5\Delta}{2\Delta+d}$. Adoptant les valeurs $\Delta = 5,56$ et $d = 2,6$, il vient $\lambda < 2,026$, tandis qu'on a $\lambda = 1,87$, avec une erreur que j'estime ne pouvoir dépasser notablement 0,06.

Mais il faut faire voir qu'on obtient une détermination convenable des deux inconnues m et a par les équations (1) et (2). Or on obtient après quelques réductions qui se présentent d'elles-mêmes :

$$\begin{aligned} 12 A - 4 d &= (1 + a) (1 + a^2) (m - d), \\ 30 B - 6 d &= (1 + a) (1 + a^2 + a^4) (m - d), \end{aligned}$$

d'où, pour la détermination de a :

$$(16) \dots \frac{1 + a^2 + a^4}{1 + a^2} = \frac{15 B - 3 d}{6 A - 2 d} = \frac{3 (5 B - d)}{2 (3 A - d)}.$$

Le membre tout connu est supérieur à l'unité mais inférieur à $\frac{3}{2}$ d'après les inégalités (14), tandis qu'on voit facilement que l'expression $\frac{1 + a^2 + a^4}{1 + a^2}$ varie de 1 à $\frac{3}{2}$, en croissant constamment, quand a varie de 0 à 1. Donc l'équation (16) détermine une valeur unique de a , comprise entre 0 et 1.

Après avoir calculé a , on trouve m à l'aide de :

$$(17) \dots \dots \dots m = d + \frac{12 A - 4 d}{(1 + a) (1 + a^2)},$$

et à cause de $a < 1$ on voit que $m > 3 A$, c.à.d. m est supérieur à la densité moyenne de la terre, ce qui est évident a priori.

8. Voici maintenant comment on obtient la valeur de $T(b)$ pour une valeur quelconque de b . Supposons d'abord b comprise entre zéro et la valeur a déterminée dans le N°. précédent.

Soit :

$$\begin{aligned} F(x) &= K & 0 < x < b \\ F(x) &= K - h(x - b) & b < x < 1 \end{aligned}$$

et déterminons les constantes K, h par les conditions (3).

On obtient :

$$\begin{aligned} K &= \frac{6 (5 - 6 b + b^6) A - 15 (3 - 4 b + b^4) B}{1 - 3 b^4 + 2 b^6} \\ h &= \frac{36 A - 60 B}{1 - 3 b^4 + 2 b^6}. \end{aligned}$$

Dans la fig. 2 cette fonction $F(x)$ est représentée par la ligne brisée HIG , et l'on trouve

$$F(1) = AG = \frac{15(1+b^2)B - 6(1+b^2+b^4)A}{1+b^2-2b^4}.$$

Comme on voit, h est positif et croît avec b . Quant à la valeur de $F(1)$, elle décroît avec b . C'est ce qui résulte de l'expression :

$$F(1) = \frac{5B - 3pA}{1-p} = 3A - \frac{3A - 5B}{1-p},$$

où $p = \frac{2(1+b^2+b^4)}{3(1+b^2)}$ est une fonction croissante.

De ce que h croît et $F(1)$ décroît avec b on peut conclure, d'après la proposition du N°. 1, que K est décroissant. On pourrait aussi s'en convaincre directement.

Il est évident maintenant que pour $b=0$ la droite IG se confond avec FE , et pour $b=a$ elle se confond avec DB . Le point G se meut donc de E vers B , en sorte que $F(1)$ ne devient pas inférieur à d .

On voit maintenant immédiatement qu'il ne peut exister une loi de densité qui donne pour $x=b$ une densité supérieure à K ; donc $T(b) = K$, c.à.d.:

$$(18). \quad T(b) = \frac{6(5-6b+b^6)A - 15(3-4b+b^4)B}{1-3b^4+2b^6} \quad 0 \leq b \leq a.$$

Comme on le voit $T(a) = m$.

L'équation de la droite IG est:

$$(19) \dots \begin{cases} y = K - h(x-b) & \text{où} \\ K = \frac{6(5-6b+b^6)A - 15(3-4b+b^4)B}{1-3b^4+2b^6} \\ h = \frac{36A - 60B}{1-3b^4+2b^6} \end{cases}$$

Le système de droites IG qu'on obtient en faisant varier b de 0 à a sera appelé le *premier système de droites*.

9. Supposons maintenant $a < b < 1$, et déterminons une loi de densité $f(x)$ ainsi:

$$f(x) = K - h(x - b) \quad 0 < x < b$$

$$f(x) = \frac{1}{1-b} \left[K - db - (K-d)x \right] \quad b < x < 1$$

représentée par la ligne brisée $KL B$ de la fig. 2.

En déterminant K, h par les conditions (1), (2), on trouve:

$$K = \frac{30 B - 12 b^2 A - (5 - b - 4 b^2) d}{1 + b}$$

$$h = \frac{12(1 + b^2 + b^4) A - 30(1 + b^2) B + 2(1 + b^2 - 2b^4) d}{b^4}$$

La valeur de K décroît avec b , comme on le voit en écrivant:

$$K = d + \frac{(30 B - 6 d) - b^2(12 A - 4 d)}{1 + b}.$$

Au contraire, en observant que:

$$h = 12 A - 4 d - \frac{2(15 B - 6 A - d)}{q - 1},$$

où $q = \frac{1 + b^2 + b^4}{1 + b^2}$ est une fonction croissante, on voit que la valeur de h croît avec b .

Il est évident maintenant que pour $b = a$ la droite KL se confond avec CD et $h = 0$. Pour des valeurs plus grandes de b , h est donc positif, et lorsque $b = 1$ la droite KL se confond avec FE .

Il est facile de s'assurer qu'il ne peut exister aucune loi de densité qui donne pour $x = b$ une densité supérieure à K , donc:

$$(20) \quad T(b) = \frac{30 B - 12 b^2 A - (5 - b - 4 b^2) d}{1 + b} \quad a \leq b < 1.$$

La fonction $T(b)$ est maintenant parfaitement connue; remarquons qu'elle présente une discontinuité: en effet, ε étant infiniment

petit, on a :

$$\begin{aligned} T(1 - \epsilon) &= 15 B - 6 A > d \\ T(1) &= d. \end{aligned}$$

En représentant la fonction $T(b)$ par une courbe, cette courbe se compose de deux arcs qui se rencontrent en D , où ils ont des tangentes distinctes. La tangente en F se confond avec la droite FE et les deux arcs sont convexes vers $O A$.

L'équation de la droite KL est :

$$(21) \dots \left\{ \begin{array}{l} y = K - h(x - b) \quad \text{où} \\ K = \frac{30 B - 12 b^2 A - (5 - b - 4 b^2) d}{1 + b}, \\ h = \frac{12(1 + b^2 + b^4) A - 30(1 + b^2) B + 2(1 + b^2 - 2b^4) d}{b^4}. \end{array} \right.$$

Le système des droites KL qu'on obtient en faisant varier b de a à 1 sera appelé le *second système de droites*. On verra facilement que l'intersection K se meut toujours dans le même sens de C vers F .

10. Il nous reste à déterminer la fonction $t(b)$, dont jusqu'à présent nous connaissons seulement les valeurs particulières $t(0) = m$, $t(1) = d$. Or cela ne semble pas possible d'une manière aussi directe que celle qui nous a fait trouver la valeur de $T(b)$. On verra aussi que l'expression analytique de $t(b)$ est beaucoup plus compliquée que celle de $T(b)$.

Imaginons que dans la fig. 2 on ait tracé les droites du premier et du second système. Ces droites occupent, dans leur ensemble, une certaine partie du plan, limitée inférieurement par une certaine courbe. Nous allons déterminer cette courbe, mais, pour motiver cette recherche qui pourrait sembler étrangère à notre objet, disons dès à présent que cette courbe n'est autre chose que la représentation géométrique de la fonction $t(b)$.

Évidemment, nous sommes amenés ainsi à la recherche des courbes enveloppes des deux systèmes de droites.

Courbe enveloppe du premier système de droites.

L'équation d'une droite du premier système a déjà été donnée, voyez form. (19). Pour avoir l'enveloppe, il faut prendre la dérivée par rapport à b et éliminer ensuite ce paramètre entre l'équation obtenue et l'équation primitive. On obtiendrait ainsi l'équation de la courbe enveloppe, mais cela serait de peu d'importance pour notre objet, et il est bien plus naturel d'exprimer seulement les coordonnées x, y de la courbe par le paramètre b , dont on connaît la signification. Les équations étant linéaires en x et y , ce calcul n'a aucune difficulté et l'on obtient :

$$(22) \dots \dots \dots \left\{ \begin{array}{l} x = \frac{10 + b^2 + b^4}{12} \\ y = \frac{5B - 3b^2A}{1 - b^2} \end{array} \right. \quad 0 \leq b \leq a$$

Il est remarquable que l'expression de x ne contient ni A , ni B . On obtient les extrémités P, Q de l'arc courbe, situées sur les droites FE, DB , en posant $b = 0$ et $b = a$. L'abscisse du point P est donc $\frac{5}{6}$, celle de Q est $= \frac{10 + a^2 + a^4}{12}$ et par conséquent inférieure à l'unité.

Courbe enveloppe du second système de droites. On peut suivre la même voie pour obtenir cette seconde courbe, en partant de l'équation (21). On obtient par un calcul un peu laborieux, mais qui ne présente pas de difficulté :

$$(23) \dots \left\{ \begin{array}{l} (1 + b)^2 (4 + 2b^2) x = 3b + 6b^2 + 4b^3 + 2b^4, \\ b^3(1 + b)^2(4 + 2b^2)y = 12(1 + 2b + 3b^2 + 4b^3 + 5b^4)A \\ \quad - 30(1 + 2b + 3b^2)B \\ \quad + 2(1 + b)(1 - b)^2(1 + 3b + 7b^2 + 3b^3 + b^4)d \end{array} \right. \quad a \leq b \leq 1$$

Ici encore l'expression de x ne contient point les données A, B, d .

On obtient les extrémités R, S de l'arc courbe, situées sur les droites CD, FE , en posant $b = a$ et $b = 1$. L'abscisse du point R est positive, celle de S est $\frac{5}{8}$.

D'après cela, la limite inférieure de la partie du plan occupée

par les droites du premier et second système se compose des 5 parties suivantes :

- 1° la droite horizontale CR ,
- 2° l'arc courbe RS ,
- 3° la droite inclinée SP ,
- 4° l'arc courbe PQ ,
- 5° la droite inclinée QB .

Nous allons faire voir maintenant que cette ligne $CRSPQB$ est réellement la représentation géométrique de la fonction cherchée $t(b)$. Supposons qu'on trace la ligne $y=f(x)$ et nommons cette ligne une courbe de densité. Alors nous devons montrer qu'aucune courbe de densité n'est possible qui pénètre dans la partie du plan au-dessous de $CRSPQB$.

11. Voici d'abord quelques observations préliminaires :

(A) Une courbe de densité (qui commence toujours en B), ne peut avoir en B une inclinaison plus faible sur l'axe OA que la ligne BD . Cela est évident parce qu'elle doit couper en deux points la ligne brisée ADB , d'après la proposition du N°. 1.

(B) Toute courbe de densité doit couper en deux points la droite EF .

En suivant une courbe de densité de B vers l'axe OY , l'inclinaison de la tangente sur OA va toujours en diminuant, d'après notre hypothèse. Il est évident par là que l'inclinaison de cette tangente surpasse celle de EF pour la partie de la courbe entre B et la première intersection avec EF , tandis que l'inclinaison de la tangente est plus faible que celle de EF pour la partie de la courbe entre le second point d'intersection avec EF et l'axe OY .

Supposons maintenant qu'il existe une courbe de densité dont un point A est situé au-dessous de la courbe $CRSPQB$.

Je distingue deux cas :

1°. Le point A se trouve entre B et la première intersection de la courbe avec EF . (fig. 3.)

Alors la tangente en A doit couper la ligne BE dans un point T au-dessous de E parce que l'inclinaison de la tangente est plus forte que celle de EF . Mais ce point T doit se trouver au-dessus de B et ne peut se confondre avec B , car dans ce dernier cas la courbe de densité entre A et B devrait se confondre avec sa tangente AB , ce qui est impossible d'après (A).

Maintenant par le point T passe une droite du premier système TS , qu'on peut compléter par une droite horizontale SU de manière à obtenir une ligne brisée TSU , représentation d'une fonction $F(x)$ qui satisfait aux conditions (3) ¹⁾.

Or la courbe de densité se trouve située entièrement en dessous de sa tangente TA , par conséquent elle ne peut couper la droite TS . Quant à la droite horizontale SU , elle ne peut la couper qu'en un seul point. Mais, d'après la proposition du N^o. 1, chaque courbe de densité doit avoir au moins deux intersections avec TSU , par conséquent il ne peut exister une courbe de densité avec le point A au-dessous de $CRSPQB$.

2^o. Le point A se trouve entre la seconde intersection de la courbe de densité avec EF et l'axe OY (fig. 4). Alors la tangente en A doit couper OY en un point T au-dessous de F , parce que l'inclinaison de cette tangente sur OX est plus faible que celle de EF . Le point T se trouve naturellement au-dessus de C , parce que la courbe elle-même vient rencontrer l'axe OY au-dessus de C .

Maintenant il passe par T une droite TS du second système, et joignant S et B par une droite, on peut regarder TSB comme une courbe de densité. Mais évidemment la courbe de densité passant par A ne peut couper la droite TS , et l'on se trouve de nouveau en contradiction avec la proposition du N^o. 1.

En somme il ne peut exister aucune courbe de densité qui pénètre dans la partie du plan au-dessous de $CRSPQB$ et cette courbe est donc bien, comme nous l'avons annoncé, la représentation géométrique de la fonction $t(b)$.

1) La droite TS doit avoir naturellement une inclinaison sur OX plus forte que celle de TA , parce qu'on suppose que A se trouve dans la partie du plan au-dessous de la courbe limite des droites du premier système.

Voici maintenant la détermination analytique de la fonction $t(b)$.

Nommons x_1, x_2, x_3, x_4 les abscisses des points R, S, P, Q :

$$x_1 = \frac{3a + 6a^2 + 4a^3 + 2a^4}{(1+a)^2(4+2a^2)}, x_2 = \frac{5}{8}, x_3 = \frac{5}{6}, x_4 = \frac{10+a^2+a^4}{12}.$$

Alors on a :

$$t(b) = m \quad 0 \leq b \leq x_1.$$

Mais lorsque b est comprise entre x_1 et x_2 , il faut d'abord calculer une quantité u comprise entre a et 1 à l'aide de l'équation du 4^{ième} degré:

$$(1+u)^2(4+2u^2)b = 3u + 6u^2 + 4u^3 + 2u^4,$$

et l'on obtient $t(b)$ à l'aide de l'équation:

$$\begin{aligned} u^3(1+u)^2(4+2u^2)t(b) &= 12(1+2u+3u^2+4u^3+5u^4)A \\ &\quad - 30(1+2u+3u^2)B \\ &\quad + 2(1+4)(1-u)^2(1+3u+7u^2+3u^3+u^4)d. \end{aligned}$$

On a ensuite:

$$t(b) = 30A - 45B - 12(3A - 5B)b \quad x_2 \leq b \leq x_3.$$

Dans le quatrième intervalle $x_3 \leq b \leq x_4$, il faut calculer la quantité u comprise entre 0 et a à l'aide de:

$$b = \frac{10 + u^2 + u^4}{12},$$

et ensuite on a

$$t(b) = \frac{5B - 3u^2A}{1 - u^2}.$$

Enfin, dans le dernier intervalle $x_4 \leq b \leq 1$, on a:

$$t(b) = m - \frac{m-d}{1-a}(b-a).$$

J'avais d'abord considéré seulement les limites de la densité au centre de la terre, dans les deux hypothèses que nous venons de discuter complètement. En causant sur les résultats obtenus avec M. Bakhuyzen, celui-ci me suggéra l'idée de chercher des limites de la densité dans un point quelconque de l'intérieur de la terre. Je me suis aperçu alors que ma méthode donnait encore facilement la solution de ce problème plus général.

TROISIÈME PARTIE.

12. Pour la réduction en nombres des résultats obtenus par la discussion de l'hypothèse II, j'adopterai les valeurs $d = 2.6$, $\Delta = 5.56$, ce dernier nombre étant celui donné par MM. Cornu et Baille [*Comptes Rendus de l'Acad. d. Sc.* Tome 76]. Quant à λ , cette constante est déterminée par la relation :

$$\lambda = \frac{C - A}{\varepsilon - \frac{1}{2}\varphi},$$

C et A étant les moments d'inertie de la terre par rapport à l'axe de rotation et à un diamètre quelconque de l'équateur, ε l'aplatissement de la terre, φ le rapport de la force centrifuge à la pesanteur à l'équateur. J'ai adopté la valeur

$$\frac{C - A}{C} = 0.00324256 \quad 1)$$

obtenue par M. Nyren dans son Mémoire sur la détermination de la nutation de l'axe terrestre. [*Mém. de l'Acad. Impér. de St. Pétersb.*, VII^e Série, Tome XIX].

Quant à ε et φ , j'ai adopté les valeurs déduites par M. Listing [*Nachrichte der Königl. Ges. d. Wiss. zu Göttingen* 1877):

$$\begin{aligned} \varepsilon &= 0.003466445 = 1 : 288.4800 \\ \varphi &= 0.003467199 = 1 : 288.4179. \end{aligned}$$

On en déduit $\lambda = 1.8712$, mais j'ai adopté simplement :

$$\lambda = 1.87.$$

Ce nombre est certainement sujet à quelque incertitude; il me semble pourtant difficile d'admettre que l'erreur dépasse notablement 0.06. J'ai donc calculé quelques valeurs numériques des fonctions $T(b)$ et $t(b)$ en adoptant les valeurs :

$$d = 2.6, \quad \Delta = 5.56, \quad \lambda = 1.87,$$

1) La légère différence entre ce nombre et celui qu'on trouve à la page 19 du Mémoire de M. Nyren s'explique par la Note qu'on trouve à la page 54.

mais, comme une faible variation de λ a une influence notable sur les résultats, j'ai encore repris le même calcul avec la valeur $\lambda = 1.92$.

Voici maintenant les valeurs obtenues, la fig. 5 donne la représentation graphique correspondant à la valeur $\lambda = 1.87$:

$$\lambda = 1.87, a = 0.73985, m = 6.998, M = 11.001, D = 3.746.$$

$$\lambda = 1.92, a = 0.65416, m = 7.613, M = 12.162, D = 3.359.$$

$$\lambda = 1.87, x_1 = 0.50077, x_2 = \frac{5}{8}, x_3 = \frac{5}{6}, x_4 = 0.90392,$$

$$\lambda = 1.92, x_1 = 0.45278, x_2 = \frac{5}{8}, x_3 = \frac{5}{6}, x_4 = 0.88425.$$

b	$\lambda = 1.87$		$\lambda = 1.92$	
	$T(b)$	$t(b)$	$T(b)$	$t(b)$
0.00	11.00	7.00	12.16	7.61
0.05	10.64	7.00	11.72	7.61
0.10	10.28	7.00	11.28	7.61
0.15	9.92	7.00	10.85	7.61
0.20	9.57	7.00	10.43	7.61
0.25	9.24	7.00	10.02	7.61
0.30	8.92	7.00	9.63	7.61
0.35	8.62	7.00	9.27	7.61
0.40	8.34	7.00	8.93	7.61
0.45	8.08	7.00	8.62	7.61
0.50	7.84	7.00	8.33	7.51
0.55	7.63	6.90	8.07	7.24
0.60	7.44	6.64	7.84	6.87
0.65	7.27	6.29	7.63	6.44
0.70	7.11	5.92	7.05	6.00
0.75	6.87	5.56	6.43	5.56
0.80	6.24	5.20	5.81	5.12
0.85	5.62	4.83	5.20	4.68
0.90	4.99	4.29	4.58	4.05
0.95	4.37	3.45	3.97	3.32
1.00	2.60 (3.75)	2.60	2.60 (3.36)	2.60

13. Newton, en considérant la terre comme une masse fluide homogène, douée d'un mouvement de rotation, et en supposant que la forme propre à l'équilibre est celle d'un ellipsoïde de révolution, a déterminé le rapport des axes du globe terrestre. En nommant φ le rapport de la force centrifuge à la pesanteur à l'équateur, il trouve l'aplatissement égal à $\frac{5}{4} \varphi$.

Clairaut, dans sa *Théorie de la figure de la terre*, a confirmé ce résultat, et, en abandonnant l'hypothèse de l'homogénéité, il a donné pour la première fois le moyen de déterminer l'aplatissement en supposant donnée la loi de la variation de la densité. En supposant que la densité croît constamment à mesure qu'on s'approche du centre de la terre, il arrive à ce résultat que l'aplatissement est plus faible que dans l'hypothèse de l'homogénéité.

Quand, plus tard, les observations avaient montré d'une manière certaine que l'aplatissement du globe terrestre est, en effet, plus faible que dans l'hypothèse d'une densité constante, il était naturel de proposer une loi de densité propre à donner l'aplatissement observé.

Il paraît que la première hypothèse proposée est celle de Legendre, que Laplace a discutée plus tard dans la *Mécanique céleste*; elle revient à supposer:

$$f(x) = C \frac{\sin nx}{x}.$$

On en déduit aisément:

$$\Delta = 3 \int_0^1 x^2 f(x) dx = 3 C \frac{\sin n - n \cos n}{n^2}$$

$$\lambda = \frac{\int_0^1 x^2 f(x) dx}{\int_0^1 x^4 f(x) dx} = \frac{n^2 (\sin n - n \cos n)}{(3n^2 - 6) \sin n - (n^3 - 6n) \cos n}$$

$$d = C \sin n$$

D'après la théorie de Clairaut, l'aplatissement ε se détermine à l'aide de

$$\varepsilon = \frac{5}{2} \varphi \frac{\frac{3(1 - n \cotg n)}{n^2} - 1}{\frac{n^2}{1 - n \cotg n} - 2 - n \cotg n}.$$

En adoptant la valeur $\Delta = 5.56$ et la valeur de φ donnée précédemment d'après Listing, j'ai calculé les valeurs de d , λ , ε pour quelques valeurs de n ; — voici les résultats:

Hypothèse de Legendre.

n	d	λ	ε
136 ⁰	3.02	1.948	1 : 286.3
137	2.97	1.954	1 : 287.5
138	2.93	1.961	1 : 288.7
139	2.88	1.968	1 : 290.0
140	2.83	1.975	1 : 291.3
141	2.78	1.982	1 : 292.6
142	2.73	1.990	1 : 294.0
143	2.68	1.998	1 : 295.4
144	2.63	2.006	1 : 296.8
145	2.57	2.014	1 : 298.2
146	2.52	2.022	1 : 299.7

Comme on le voit, l'hypothèse de Legendre ne peut pas représenter suffisamment les faits observés. Dans la *Mécanique céleste*, Laplace admet la valeur $n = 150^0$, ce qui répond à la valeur 1 : 306.6 de l'aplatissement, qu'on ne peut plus admettre. On voit aussi qu'on obtient ainsi une valeur beaucoup trop forte de λ .

La loi de Legendre $f(x) = C \frac{\sin nx}{x}$ ne satisfait pas à notre hypothèse II. On trouve que $f'(x)$ change de signe dans le voisinage de la surface de la terre, en sorte que la courbe de densité présente une inflexion. Toutefois, la convexité vers l'axe

OA est peu sensible. — Plus tard M. Roche a proposé la formule $f(x) = a - b x^2$; mais je passerai directement à la loi plus générale:

$$f(x) = a - b x^n,$$

proposée par M. Lipschitz. (*Journal* de Borchardt. Bd 62).

Dans cette hypothèse, l'équation différentielle du second ordre d'où dépend l'aplatissement peut s'intégrer à l'aide de la fonction hypergéométrique de Gauss. Les trois constantes a, b, n sont déterminées à l'aide des trois données d, Δ , et $\frac{\varepsilon}{\varphi}$.

M. Lipschitz obtient une équation transcendante pour l'inconnue n et démontre par une analyse ingénieuse que cette équation admet une seule racine positive. Dès que n est connu, on obtient a et b par les formules:

$$a = \frac{(n + 3) \Delta - 3 d}{n}$$

$$b = \frac{(n + 3) (\Delta - d)}{n}.$$

M. Lipschitz obtient ainsi:

$$f(x) = 9.453 x^{2.39},$$

en attribuant à $d, \Delta, \frac{\varepsilon}{\varphi}$ des valeurs qui diffèrent légèrement de celles que nous avons données plus haut. Comme on le voit, la seule donnée qui n'a pas été employée par M. Lipschitz, c'est la quantité λ . On peut donc avoir une vérification en calculant la valeur de λ d'après la formule de M. Lipschitz. J'ai donc calculé la valeur de λ en adoptant la valeur $\Delta = 5.56$ et les valeurs de ε et de φ d'après Listing, pour différentes valeurs de d . J'ai obtenu ainsi: ¹⁾

¹⁾ J'ai pu abrégé beaucoup les calculs nécessaires à l'aide d'une formule que M. Tisserand a bien voulu me communiquer et que l'on trouvera dans les *Comptes Rendus de l'Acad. d. Sc.* (Octobre. 13, 1884). Cette formule donne directement une valeur suffisamment approchée de n .

d	λ
2.0	1.963
2.2	1.963
2.4	1.963
2.6	1.963
2.8	1.964
3.0	1.964

Comme on le voit, cette valeur de λ est un peu forte et à peu près indépendante de d . Mais la valeur de λ ne dépend pas des valeurs absolues de d et Δ , mais seulement de leur rapport. On ne peut donc pas obtenir une valeur plus faible de λ en faisant varier Δ . Il reste seulement à chercher l'influence de l'aplatissement. Les résultats précédents supposent $\varepsilon = 1 : 288.48$, mais en posant $\varepsilon = 1 : 280$, $d = 2.6$ (les autres données restant les mêmes), il vient :

$$\lambda = 1.927.$$

Comme on le voit, dans toutes les hypothèses admissibles, on obtiendra toujours une valeur de λ un peu forte. Cela semble indiquer que la densité au centre est encore un peu plus faible et que la diminution de la densité en s'éloignant du centre est encore plus lente, que ne le suppose la loi de M. Lipschitz.

LEIDE, Octobre 1884.

SUR L'ÉQUATION COMPLÈTE DU VIRIEL,

PAR

C. H. C. GRINWIS.

1. M. R. Clausius, professeur à Bonn, fit, le 13 juin 1870, à la „*Niederreheinische Gesellschaft für Natur- und Heilkunde*”, une communication sur „une proposition applicable à la chaleur”, communication qui bientôt après fut publiée dans les *Poggendorff Annalen*, t. 141, p. 124.

Dans ce Mémoire, M. Clausius établit cette loi connue, que, lors du mouvement dit stationnaire d'un nombre quelconque de points matériels, la force vive moyenne du système est égale à son viriel, ou, analytiquement :

$$\Sigma \frac{m}{2} \bar{v}^2 = - \frac{1}{2} \Sigma \overline{(Xx + Yy + Zz)}, \dots (1)$$

équation où v désigne la vitesse d'une particule m , X , Y , Z les composantes de la force qui agit sur cette particule, et x , y , z les coordonnées de la particule, c'est-à-dire du point d'application de la force, tandis que les traits horizontaux, placés au-dessus des deux membres, indiquent qu'on a en vue les *valeurs moyennes* pendant le mouvement stationnaire.

La grandeur représentée dans le second membre de cette équation dépend des forces qui agissent sur le système et serait, si pour des coordonnées données toutes les forces variaient dans le même rapport, proportionnelle à ces forces.

M. Clausius propose, en conséquence, de donner à la valeur moyenne de cette grandeur le nom de *viriel* (du latin *vis*), analogue à celui de *potentiel*; nous adopterons cette dénomination,

en l'appliquant toutefois, ainsi qu'on le fait assez généralement, à la grandeur

$$-\frac{1}{2} \Sigma (Xx + Yy + Zz)$$

elle-même, et non à sa moyenne.

La loi ci-dessus s'exprime alors en disant que la force vive moyenne du système est égale à son viriel *moyen*.

2. La règle (1) se déduit de la relation :

$$\frac{d^2(x^2)}{dt^2} = 2 \left(\frac{dx}{dt} \right)^2 + 2x \frac{d^2x}{dt^2},$$

qui donne immédiatement :

$$\frac{m}{2} \left(\frac{dx}{dt} \right)^2 = \frac{m}{4} \frac{d^2(x^2)}{dt^2} - \frac{1}{2} Xx (2)$$

En ajoutant à cette expression les expressions analogues pour y et z , on obtient, r désignant la distance de la particule à l'origine des coordonnées :

$$\frac{m}{2} v^2 = \frac{m}{4} \frac{d^2(mr^2)}{dt^2} - \frac{1}{2} (Xx + Yy + Zz), . . . (3)$$

équation qui, pour un système de points matériels, devient :

$$\Sigma \frac{m}{2} v^2 = \frac{1}{4} \Sigma \frac{d^2(mr^2)}{dt^2} - \frac{1}{2} \Sigma (Xx + Yy + Zz) . . (3_a)$$

Les équations (3) et (3_a) forment deux relations, qu'on pourrait appeler, au point de vue de la loi énoncée par Clausius, les équations *complètes* du viriel. Elles ont été étudiées, en 1872, par Villarceau (*Compt Rend.*, t. 75, p. 232—237), et Clausius, en 1874 (*Pogg. Ann., Jubelband*, p. 411—423), s'est longuement arrêté sur les transformations que l'équation (3) et surtout l'équation (3_a) peuvent subir.

Lorsque, dans le mouvement stationnaire, on considère les valeurs moyennes pour un laps de temps suffisant, le terme en $\frac{d^2x}{dt^2}$ disparaît de l'équation (2), et l'éq. (3_a) se réduit à l'équation (1), donnée par Clausius.

3. Nous nous proposons d'examiner, de plus près qu'on ne l'a fait jusqu'ici, le terme $\frac{d^2 mr^2}{dt^2}$, qui entre dans les équations complètes (3) et (3_a). Cette expression, — qui représente la seconde dérivée par rapport au temps pour le moment d'inertie polaire, relativement à l'origine, du point ou du système en mouvement, — est, de même que le potentiel et le viriel, une fonction des coordonnées, c'est-à-dire qu'elle a pour chaque point de l'espace une valeur propre; elle change donc avec le point pris pour origine, et elle s'évanouira pour certains points particuliers.

Ces changements, qui déterminent la vraie signification de l'équation du viriel, n'ont jusqu'ici pas attiré l'attention, ou n'ont été signalés qu'en passant.

Pour une origine donnée, seulement, nous trouvons, au sujet de cette dérivée du second ordre, des indications intéressantes.

C'est ainsi que, pour un système de points, Jacobi (*Vorlesungen über Dynamik*, p. 27) a déjà, en cas d'hypothèses déterminées concernant la fonction des forces, fixé l'attention sur la valeur générale de cette expression. M. Lipschitz aussi (*Journal von Crelle*, t. 66) a examiné la signification de $\frac{d^2 \sum m r^2}{dt^2}$, en faisant, sur la nature de la fonction des forces, l'hypothèse qu'elle est une fonction algébrique homogène des coordonnées, et en cherchant pour ce cas, la condition nécessaire et suffisante pour que le mouvement soit stable.

Il y aurait quelque intérêt, semble-t-il, à considérer au point de vue ci-dessus indiqué la signification de l'équation complète, et c'est ce que nous allons faire, en nous bornant provisoirement à l'équation (3) pour un point matériel; plus tard, nous étendrons peut-être cette étude à l'équation (3_a), relative à un système de points.

En premier lieu, nous nous occuperons des changements que $\frac{d^2 m r^2}{dt^2}$ éprouve à mesure que l'origine se déplace, et nous

examinerons ces changements plus en particulier pour quelques exemples de mouvement. Ensuite, nous montrerons que cette expression peut être considérée comme la différence de deux viriels.

Enfin, nous ferons ressortir la signification propre de la proposition de Clausius, pour laquelle ce coefficient différentiel disparaît.

4. Le viriel pour un point unique — $\frac{1}{2}(Xx + Yy + Zz)$ se laisse réduire, F étant la force qui agit sur le point et φ l'angle qu'elle fait avec le rayon vecteur r , à

$$-\frac{1}{2} \left(\frac{Xx + Yy + Zz}{Fr} \right) Fr = -\frac{1}{2} Fr \cos \varphi ;$$

de sorte que, en désignant par R la composante de la force suivant r , comptée positivement en allant vers l'origine des coordonnées, on a :

$$-\frac{1}{2}(Xx + Yy + Zz) = \frac{1}{2} Rr \dots \dots \dots (4)$$

Le viriel d'une force est donc égal au demi-produit du rayon vecteur du point d'application par la composante de cette force suivant le rayon vecteur, prise positivement en allant vers l'origine.

Il peut par conséquent, pour ce qui concerne sa grandeur, abstraction faite du signe, être regardé comme la moitié du moment non actif (perdu) de cette force par rapport à l'origine. Le moment actif Q de cette force, ou le couple qui résulte de la réduction de la force à l'origine, est égal à $Fr \sin \varphi$; de sorte que, si V représente le viriel double, ou $V = Fr \cos \varphi$, on a :

$$V^2 + Q^2 = F^2 r^2 \dots \dots \dots (5)$$

Le viriel dépend donc évidemment du point d'application de la force, et joue par suite un rôle dans les recherches concernant les cas où les forces changent de direction tout en conservant les mêmes points d'application, par exemple, dans l'étude de l'équilibre astatique.

Mais on voit, en outre, que le viriel change de valeur avec l'origine O à laquelle il se rapporte (pour laquelle il est pris).

Plus loin nous reviendrons sur ce point avec plus de détails.

5. En conséquence de ce que nous venons de dire, l'équation (3) devient:

$$\frac{m}{2} v^2 = \frac{1}{4} \frac{d^2 m r^2}{d t^2} + \frac{1}{2} R r \dots \dots \dots (6)$$

Désignons par P le moment d'inertie polaire $m r^2$ du point relativement à l'origine, et par P' et P'' les dérivées première et seconde de ce moment par rapport au temps; soit, comme à l'ordinaire, T la demi-force vive du point; l'équation (6) prend alors la forme

$$4 T = P'' + 2 R r, \dots \dots \dots (7)$$

d'où l'on tire pour P''

$$P'' = 4 T \left\{ 1 - \frac{R r}{2 T} \right\}, \dots \dots \dots (8)$$

de sorte que P'' , tout comme le viriel, change avec r , par conséquent avec l'origine; tous les deux sont des fonctions des coordonnées du point d'application de la force; leur valeur varie donc, de même que celle de ces coordonnées, avec le lieu du point qu'on choisit pour origine et par rapport auquel le viriel est pris.

Soit d la projection de r sur la direction de la résultante; puisque.

$$R = F \cos \varphi,$$

on aura

$$R r = F r \cos \varphi = F d$$

et

$$P'' = 4 T \left\{ 1 - \frac{F d}{2 T} \right\} \dots \dots \dots (9)$$

Comme P'' est alors constant en même temps que d , projection de r sur la direction de la résultante, on voit que, pour tous les points d'un plan perpendiculaire à la résultante, ou, en cas de mouvement dans un plan, pour tous les points d'une perpendiculaire à F , P'' conserve la même valeur. P'' disparaît pour les points

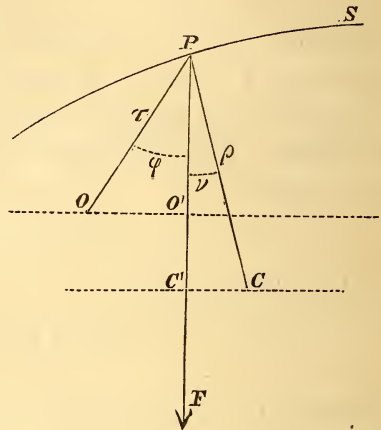
de la droite menée, à la distance $d = \frac{2 T}{F}$ du point mobile, perpendiculairement à la résultante.

6. Bornons-nous au mouvement plan d'un point unique p ; soit s la trajectoire, F la résultante, $p C = r$ le rayon de courbure en p ; représentons par φ et ν les angles que r et ρ font avec la résultante; il suit alors, de l'équation (7),

$$P'' = 2 (m v^2 - R r) \dots (10)$$

ou, puisque $F \cos \nu$, composante normale de la force mouvante, est $= \frac{m v^2}{\rho}$, et

$$R = F \cos \varphi,$$



$$P'' = 2 F (\rho \cos \nu - r \cos \varphi) \dots \dots \dots (11)$$

Si $p C' = \rho \cos \nu$ et $p O' = r \cos \varphi$ sont les projections du rayon de courbure et du rayon vecteur sur la direction de F , on aura

$$P'' = 2 F (p C' - p O') \dots \dots \dots (11_a)$$

ou, en posant $p C' - p O' = l$,

$$P'' = 2 F l \dots \dots \dots (11_b)$$

P'' est par conséquent proportionnel à la différence des deux projections.

Si l'on mène donc, par le centre de courbure C de la trajectoire en p , une ligne (ou, pour l'espace, un plan) perpendiculaire à la direction de la résultante F , cette ligne (ou ce plan) sera le lieu géométrique des points pour lesquels P'' s'anule et, pour abrégé, nous l'appellerons la *ligne zéro* (ou le *plan zéro*). Pour toute ligne (ou tout plan) parallèle à cette ligne (ou à ce plan) zéro et située à une distance l , on aura $P'' = 2 F l$,

et cette valeur sera positive ou négative suivant que la ligne (ou le plan) se trouve, par rapport à la ligne (ou au plan) zéro, du même côté que le point p , ou du côté opposé.

7. Comme conséquences immédiates des équations (11) nous remarquerons ce qui suit, en nous bornant au mouvement dans un plan :

I. Pour les points de la tangente à la courbe en p , on a $\cos \varphi = \sin \nu$, par conséquent :

$$P'' = 2 F (\varrho \cos \nu - r \sin \nu) = 2 m \left(v^2 - r \frac{dv}{dt} \right),$$

valeur qui, pour les différents points de la tangente, est, en général, variable avec r , à moins que la tangente ne soit perpendiculaire à la force, cas où $\nu = 0$ et où, par conséquent, le terme $r \frac{dv}{dt}$ s'évanouit.

Pour le point p on a $r = 0$ et

$$P'' = 2 m v^2 = 4 T.$$

II. Pour les points de la perpendiculaire élevée en p sur la force F , on a $\varphi = 90^\circ$, $\cos \varphi = 0$, et par conséquent

$$P'' = 2 m v^2 = 4 T.$$

III. Lorsque F coïncide avec la normale, c'est-à-dire lorsque $F = \frac{m v^2}{\varrho}$ et $\cos \nu = 1$, on a, pour un point quelconque O (r, φ) du plan,

$$P'' = 2 F (\varrho - r \cos \varphi) = 2 m v^2 \left(1 - \frac{r}{\varrho} \cos \varphi \right),$$

de sorte que, si $r \cos \varphi = \varrho$ (cas où O se trouve sur la ligne zéro), P'' disparaît.

IV. En vertu de l'équation (11), on peut écrire :

$$P'' = 4 T \left\{ 1 - \frac{r \cos \varphi}{\varrho \cos \nu} \right\} (12)$$

et en prenant de nouveau, sur la direction de la force, à partir du point mobile ϱ , une distance $d = r \cos \varphi$, on a :

$$P'' = 4 T \left\{ 1 - \frac{d}{\rho \cos \nu} \right\}, \dots \dots \dots (13)$$

de sorte que P'' est constant pour tous les points d'une ligne perpendiculaire à la direction de la force, et que la ligne zéro est située à la distance $d = \rho \cos \nu$, ainsi que nous l'avions déjà trouvé ci-dessus.

V. Prenons à partir de p , dans la direction opposée à celle de la force, une distance n ; on a alors, pour une ligne menée par ce point perpendiculairement à la force,

$$P'' = 4 T \left\{ 1 + \frac{n}{\rho \cos \nu} \right\}, \dots \dots \dots (14)$$

d'où résulte ensuite

$$\frac{d P''}{d n} = \frac{4 T}{\rho \cos \nu} = 2 F, \dots \dots \dots (15)$$

de sorte que la dérivée de P'' par rapport à cette direction est égale au double de la force. Remarquons l'analogie qui existe entre cette expression et celle de la dérivée de la fonction potentielle, laquelle fonction est analogue à P'' , puisque, ainsi qu'on le verra plus loin, $\frac{d^2 m r^2}{d t^2}$ est proportionnel à la différence de deux viriels, et que le viriel et le potentiel peuvent être regardés comme des grandeurs analogues.

8. Comme application des formules (9) et (13) au mouvement plan d'un point matériel, nous déterminerons P'' , — pour toute ligne menée perpendiculairement à la direction de la force, à une distance d du point mobile comptée vers la partie du plan suivant laquelle la force agit, — par les valeurs :

$$P'' = 4 T \left\{ 1 - \frac{F d}{2 T} \right\} = 4 T \left\{ 1 - \frac{d}{\rho \cos \nu} \right\}.$$

I. *Mouvement sur un cercle, le centre de force étant au centre du cercle.*

On a alors $\rho = a = \text{const. } v = 0$

$$P'' = 4 T \left\{ 1 - \frac{d}{a} \right\}, \dots \dots \dots (16)$$

de sorte que la ligne zéro passe constamment par le centre et que par conséquent, pour ce point, la demi-force vive est toujours égale au viriel, ou

$$\frac{m}{2} v^2 = \frac{1}{2} F a \quad \text{ou} \quad F = \frac{m v^2}{a} .$$

A partir de la tangente en p , pour les points de laquelle on a $P'' = 4 T = 2 m v^2$, P'' décroît continûment, et il s'annule pour la droite menée par le centre parallèlement à la tangente; ensuite, P'' devient égal à $- 2 m v^2$ pour la tangente au point situé diamétralement. Le diamètre divise le plan en deux parties, dans lesquelles P'' est respectivement positif et négatif. La ligne zéro, passant toujours par le centre, tourne avec le point mobile, de manière à rester toujours parallèle à la tangente en ce point. Pour un point quelconque O , situé à une distance l du centre, P'' est donné par (16), de sorte que, si p est le point mobile, C le centre du cercle et α l'angle que forment $C O$ et $C p$, on a $d = a - l \cos \alpha$ et

$$P'' = 2 m v^2 \frac{l}{a} \cos \alpha; \dots \dots \dots (16a)$$

P'' est donc périodique et change de signe à chaque demi-révolution. Le centre C est le seul point pour lequel P'' soit constamment nul.

II. *Mouvement en cas d'attraction vers un centre fixe, proportionnelle à la distance.*

On sait que dans ce cas, où l'attraction $F = m \mu r$, on a $T = \frac{1}{2} m \mu (a^2 + b^2 - r^2)$, si a et b sont les demi-axes de l'ellipse; il vient donc:

$$P'' = 4 T \left\{ 1 - \frac{r d}{a^2 + b^2 - r^2} \right\}, \dots \dots \dots (17)$$

équation pour laquelle on peut aussi écrire, en désignant par f et f' les distances de p aux foyers :

$$P'' = 4 T \left\{ 1 - \frac{r d}{f f'} \right\} \dots \dots \dots (17a)$$

La ligne zéro est perpendiculaire au rayon vecteur, à la distance $d = \frac{a^2 + b^2 - r^2}{r}$, comptée à partir du point mobile.

L'enveloppe de ces lignes zéro forme une courbe jouissant, en conséquence de ce qui précède, de la propriété que lorsque le point O (l'origine, par rapport à laquelle est pris le viriel) la parcourt, à partir d'un point déterminé, de telle manière que p et O restent toujours des *points homologues*, P'' est constamment nul; on a donc constamment

$$\frac{m}{2} v^2 = \frac{1}{2} R r,$$

c'est-à-dire que, le point homologue de la courbe enveloppe étant pris pour origine, la demi-force vive (il n'est pas question ici de moyenne) est à chaque instant égale au viriel.

Nous ne nous occuperons pas, en ce moment, de déterminer cette enveloppe; remarquons seulement que de pareilles courbes zéro peuvent être assignées pour tout mouvement curviligne.

En remarquant que l'énergie potentielle de la masse mobile par rapport au centre est

$$V = \int_r^0 - m \mu r \, dr = \frac{1}{2} m \mu r^2,$$

on voit que, pour le centre de l'ellipse, l'équation (17) devient

$$P''_0 = 4 T \left\{ 1 - \frac{V}{T} \right\} = 4 (T - V). \dots \dots \dots (18)$$

Ici, P'' est donc toujours proportionnel à la différence des énergies actuelle et potentielle du point mobile, et lorsque la ligne zéro passe par l'origine on aura $T = V$; cela arrive quand

$$d = \frac{a^2 + b^2 - r^2}{r} = r \quad \text{ou} \quad r^2 = \frac{a^2 + b^2}{2},$$

c'est-à-dire, dans les points où les diagonales du rectangle circonscrit coupent l'ellipse. En ces points l'énergie actuelle est égale à l'énergie potentielle par rapport au centre d'attraction. Pour les deux arcs de l'ellipse limités par ces points aux extrémités du grand axe, $T - V$ est négatif; dans les deux autres parties, près des extrémités du petit axe, on a $T > V$.

De l'équation (18) il suit qu'au centre de l'ellipse on a :

$$P'_0 = 2 m \mu (a^2 + b^2 - 2 r^2).$$

et si l'on désigne par φ l'angle compris entre le rayon vecteur et le grand axe, d'où

$$r^2 = \frac{a^2 b^2}{a^2 \sin^2 \varphi + b^2 \cos^2 \varphi},$$

et qu'on pose

$$1 - \frac{b^2}{a^2} = e^2,$$

on trouve, après réduction,

$$P'_0 = -2 m \mu a^2 e^2 \left\{ \frac{1 - (2 - e^2) \cos^2 \varphi}{1 - e^2 \cos^2 \varphi} \right\};$$

en comptant le temps, de même que φ , à partir de l'extrémité du grand axe, on a :

$$t = \int_0^\varphi \frac{r^2 d\varphi}{a b \sqrt{\mu}} = \frac{1}{\sqrt{\mu}} B \operatorname{tg} \left(\frac{a}{b} \operatorname{tg} \varphi \right),$$

d'où il suit

$$\operatorname{tg} \varphi = \frac{b}{a} \operatorname{tg} (t \sqrt{\mu}), \quad \cos^2 \varphi = \frac{1}{1 + (1 - e^2) \operatorname{tg}^2 t \sqrt{\mu}},$$

et enfin

$$P_0'' = -2 m \mu a^2 e^2 \cos (2 t \sqrt{\mu}), \quad \dots \dots (18_a)$$

ou, puisque le temps de révolution $\tau = \frac{2\pi}{\sqrt{\mu}}$,

$$P_0'' = -\frac{8\pi^2}{\tau^2} m a^2 e^2 \cos\left(4\pi \frac{t}{\tau}\right), \dots \dots (18b)$$

ce qui montre que P'' change périodiquement avec le temps et que, pour $e = 0$, c'est-à-dire pour le cercle, il est constamment nul.

Par intégration, on trouve :

$$P_0' = -\frac{2\pi}{\tau} m a^2 e^2 \sin\left(4\pi \frac{t}{\tau}\right), \dots \dots (18c)$$

l'intégrale ne prend pas de constante, puisque, pour $t = 0$, P_0' doit s'évanouir. Intégrant de nouveau, on obtient :

$$P_0 = \frac{m}{2} a^2 e^2 \cos\left(4\pi \frac{t}{\tau}\right) + \text{const.},$$

done, pour $t = 0$:

$$P_0 = \frac{m}{2} a^2 e^2 + C = m a^2,$$

de sorte qu'on a, en général, pour le centre de l'ellipse,

$$P_0 = \frac{m}{2} a^2 e^2 \cos\left(4\pi \frac{t}{\tau}\right) + \frac{m}{2} a^2 (2 - e^2)$$

ou

$$P_0 = m a^2 \left(1 - e^2 \sin^2 2\pi \frac{t}{\tau}\right) \dots \dots (18d)$$

III. *Mouvement elliptique autour du foyer.* (Attraction en raison inverse du carré de la distance).

En désignant par a la moitié du grand axe de l'ellipse, par f et f' les rayons vecteurs des foyers, on a :

$$F = \frac{m\mu}{f^2}, \quad 2T = v^2 m = \frac{2m\mu}{a} \left(\frac{a}{f} - \frac{1}{2}\right) = \frac{m\mu f'}{af}$$

$$P'' = 4T \left(1 - \frac{a}{ff'}\right) \dots \dots (19a)$$

ou

$$P'' = \frac{2m\mu}{f} \left\{ \frac{f'}{a} - \frac{d}{f} \right\}, \dots \dots (19b)$$

et puisque $f f' = a^2 + b^2 - r^2$, lorsque r est le rayon vecteur pris à partir du centre de l'ellipse, on a encore :

$$P'' = 4 T \left(1 - \frac{a d}{a^2 + b^2 - r^2} \right) (19c)$$

La forme de P'' dans l'équation (19a) est remarquable sous ce rapport que f , le rayon vecteur du foyer actif, et f' , le rayon vecteur du second foyer (où il n'y a pas d'action), y entrent d'une manière symétrique.

La ligne zéro est, ainsi qu'il résulte de l'équation (19c), une droite menée, à une distance $d = \frac{a^2 + b^2 - r^2}{a}$ du point mobile, perpendiculairement au rayon vecteur f .

Pour le foyer actif (le centre de force), l'équation (19b) donne, lorsque $d = f$,

$$P''_0 = \frac{2 m \mu}{f} \left(\frac{f' - a}{a} \right)$$

ou, à cause de $f' - a = a - f$,

$$P''_0 = 2 m \mu \left(\frac{1}{f} - \frac{1}{a} \right) (19d)$$

P''_0 a donc la valeur la plus grande pour l'extrémité du grand axe située près de ce foyer, extrémité où $f = a(1 - e)$; cette valeur est :

$$P''_0 = \frac{2 m \mu}{a} \frac{e}{1 - e} = \frac{2 m \mu e}{f};$$

pour l'autre extrémité du grand axe, on a $f = a(1 + e)$, par conséquent :

$$P''_0 = - \frac{2 m \mu}{a} \frac{e}{1 + e} = - \frac{2 m \mu e}{f},$$

de sorte que, aux extrémités du grand axe, P''_0 est en raison inverse du rayon vecteur de ces extrémités.

Pour les extrémités du petit axe, puisque alors $f' = a$, l'équation (19_d) donne $P''_0 = 0$, ce qui s'accorde avec la formule (19); la ligne zéro est déterminée, en effet, par $d = \frac{f \cdot f'}{a}$, et par conséquent pour l'extrémité du petit axe, où $f' = f = a$, par $d = f = a$. La ligne zéro passe alors par le centre d'attraction.

Pour les extrémités du grand axe, la position de la ligne zéro est donnée par

$$d = \frac{a^2 (1 - e^2)}{a} = \frac{b^2}{a};$$

pour ces points, les lignes zéro coïncident donc avec celles du mouvement elliptique autour du centre de l'ellipse pris pour centre de force.

IV. *Mouvement parabolique autour du foyer.* (Attraction en raison inverse du carré de la distance).

Soit r le rayon vecteur pris à partir du foyer; on a alors

$$F = \frac{m \mu}{r^2},$$

$$T = \frac{m \mu}{r},$$

donc

$$P'' = 4 T \left(1 - \frac{F d}{2 T} \right) = 4 T \left(1 - \frac{d}{2 r} \right) (20)$$

Les lignes zéro sont perpendiculaires au rayon vecteur, à une distance $d = 2 r$ du point mobile.

Pour le foyer (centre de force) on a $d = r$, de sorte que

$$P''_0 = 2 T = \frac{2 m \mu}{r} (20_a)$$

P''_0 est donc toujours en raison inverse du rayon vecteur, relation qui dans l'ellipse, pour la même loi d'attraction, ne se trouve qu'à l'extrémité du grand axe.

9. Résolvons maintenant la question de savoir comment une particule de masse m doit se mouvoir dans l'espace, pour que $P'' = f(t)$ soit indépendant du point O , par rapport auquel le

viriel est pris et dont nous représentons les coordonnées par a, b, c .

Si x, y, z sont les coordonnées de la particule m , on aura

$$P = m \{ (x - a)^2 + (y - b)^2 + (z - c)^2 \}$$

$$P' = 2 m \{ (x - a) x' + (y - b) y' + (z - c) z' \}$$

$$P'' = 2m \{ x'^2 + y'^2 + z'^2 + xx'' + yy'' + zz'' - (ax'' + by'' + cz'') \}$$

$$= 4 T + 2 m \{ (x - a) x'' + (y - b) y'' + (z - c) z'' \};$$

pour que cette valeur soit indépendante de a, b, c , il faut qu'on ait $x'' = 0, y'' = 0, z'' = 0$: aucune force ne doit donc agir sur la particule, de sorte que c'est seulement en cas de mouvement rectiligne uniforme que P'' a pour tous les points de l'espace la même valeur, à savoir

$$P'' = 4 T = 2 m v^2 = 2 m C^2,$$

où C est la vitesse initiale.

10. Une réduction facile montre que $\frac{1}{4} P''$ se laisse représenter par la *différence de deux viriels*; nous avons, en effet,

$$P'' = 4 T - 2 R r = 2 (m v^2 - R r),$$

ou, puisque

$$F \cos \nu = \frac{m v^2}{\rho}, \quad P'' = 2 (F \rho \cos \nu - R r),$$

$$\frac{1}{4} P'' = \frac{1}{2} F \rho \cos \nu - \frac{1}{2} R r \dots \dots \dots (21)$$

Or, $\frac{1}{2} \rho F \cos \nu$ est le viriel de la force au centre C du cercle de courbure, $\frac{1}{2} r R$ le viriel pour le point O auquel se rapporte r ; on voit donc que $\frac{1}{4} \frac{d^2 (m r^2)}{d r^2}$ est égal à la *différence des viriels pour les points C et O* ; ou, V désignant le double du viriel,

$$\frac{1}{4} P'' = \frac{1}{2} V_c - \frac{1}{2} V_o, \dots \dots \dots (21a)$$

Quand on fait changer le point O , le second viriel, à raison de $\frac{1}{2} R r = \frac{1}{2} F r \cos \varphi$, reste le même pour tous les points pour lesquels $r \cos \varphi = d$ reste constant, c'est-à-dire pour tous les points d'une perpendiculaire à la direction de la force. Si cette perpendiculaire passe par le centre de courbure C du point p de

la trajectoire, où se trouve le point mobile, on a $d = \rho \cos \nu$, et par suite

$$\frac{1}{2} P'' = \frac{1}{2} F (\rho \cos \nu - r \cos \varphi) = \frac{1}{2} F (\rho \cos \nu - d) \dots (21b)$$

disparaîtra; si O est situé sur une perpendiculaire dont la distance au point mobile est plus grande que celle de la ligne zéro, P'' est *négalif*, pour les distances plus petites il est *positif*. Pour le point mobile (ou plutôt pour la perpendiculaire abaissée de ce point sur la direction de la force) le second viriel disparaît, et on a alors:

$$\frac{1}{4} P'' = \frac{1}{2} F \rho \cos \nu = \frac{1}{2} m v^2$$

ou

$$P'' = 4 T.$$

11. Réciproquement, nous pouvons chercher une expression pour la différence des viriels, et nous trouvons alors directement l'équation complète du viriel. Prenons en effet, pour simplifier, O sur la direction du rayon de courbure: on a alors $\nu = \varphi$,

$$R = F \cos \varphi = F \cos \nu,$$

et pour la différence en question:

$$\begin{aligned} \frac{1}{2} (V_c - V_o) &= \frac{1}{2} (F \rho \cos \nu - F r \cos \varphi) = \frac{1}{2} R (\rho - r) \\ &= \frac{1}{2} m v^2 - \frac{1}{2} R r, \dots \dots \dots (22) \end{aligned}$$

Or, pour le point O , origine des coordonnées polaires de la courbe décrite par le point mobile, on a

$$v^2 = \left(\frac{dr}{dt}\right)^2 + r^2 \left(\frac{d\varphi}{dt}\right)^2,$$

et, comme on sait, pour la force R suivant le rayon vecteur r ,

$$R = m r \left(\frac{d\varphi}{dt}\right)^2 - m \frac{d^2 r}{dt^2};$$

on obtient donc:

$$\begin{aligned} \frac{m}{2} v^2 - R r &= \frac{m}{2} \left\{ \left(\frac{dr}{dt}\right)^2 + r^2 \left(\frac{d\varphi}{dt}\right)^2 - r^2 \left(\frac{d\varphi}{dt}\right)^2 + r \frac{d^2 r}{dt^2} \right\} = \\ &= \frac{m}{2} \left\{ \left(\frac{dr}{dt}\right)^2 + r \frac{d^2 r}{dt^2} \right\} = \frac{m}{2} \frac{d}{dt} \left(r \frac{dr}{dt} \right) = \frac{m}{4} \frac{d^2 r^2}{dt^2}, \end{aligned}$$

ou

$$\frac{m}{2} v^2 = \frac{1}{4} \frac{d^2 m r^2}{dt^2} + \frac{1}{2} R r, \dots \dots \dots (23)$$

ce qui est l'équation complète du viriel.

12. Ainsi que nous en avons fait la remarque au n°. 1, dans le cas du mouvement stationnaire d'un système, et cela s'applique aussi au mouvement stationnaire d'un point matériel unique, le terme $\frac{1}{4} \frac{d^2 m r^2}{dt^2}$ disparaît, de sorte que l'équation (23) devient alors

$$\frac{m}{2} \overline{v^2} = \frac{1}{2} \overline{Rr} \dots \dots \dots (24)$$

c'est-à-dire que la force vive moyenne de la particule est égale à son viriel moyen, quelle que soit l'origine des coordonnées par rapport à laquelle on compte *r*.

Ce dernier résultat s'explique d'après ce qui précède; puisque, en effet, la valeur moyenne de *P'*, la différence des viriels, est nulle, on voit que les *viriels moyens* par rapport au centre de courbure variable et par rapport à un point *O* arbitrairement choisi ont les mêmes valeurs; en d'autres termes, *la moyenne des viriels relatifs au point O est indépendante du lieu de ce point, elle est donc la même pour tous les points du plan et toujours égale à la moyenne des viriels relatifs aux différents centres de courbure de la trajectoire que le point mobile parcourt.*

Telle est donc la vraie signification de l'équation (24), et la même chose s'applique à un système de points en mouvement stationnaire; ainsi apparaît dans un jour caractéristique le fécond théorème de Clausius, „la force vive moyenne est égale au viriel moyen”.

Pour finir, appliquons ce qui précède au cas simple d'une particule *m* unique, qui, sous l'action d'une force constante *F* dirigée vers le centre, se meut avec une vitesse constante sur une circonférence de cercle.

En vertu de la formule (16_a), on aura, a désignant le rayon du cercle pour un point O situé à une distance l du centre C ,

$$P'' = 2 m v^2 \frac{l}{a} \cos \alpha = 2 F l \cos \alpha = 2 F l \cos (n t),$$

où α est l'angle que CO fait avec Cp , et comme cet angle varie proportionnellement au temps, on peut poser $\alpha = n t$, n étant une constante.

L'équation (21_a) donne ensuite

$$\frac{1}{2} V_0 = \frac{1}{2} V_c - \frac{1}{4} P'' = \frac{m v^2}{2} - \frac{1}{2} F l \cos (n t),$$

d'où résulte, pour la valeur moyenne,

$$\begin{aligned} \frac{1}{2} \bar{V}_0 &= \frac{m}{2} \bar{v}^2 - \frac{1}{2} \frac{F l}{t} \int_0^t \cos (n t) d t \\ &= \frac{m}{2} \bar{v}^2 - \frac{1}{2} F l \left(\frac{\sin (n t)}{n t} \right); \end{aligned}$$

pour de grandes valeurs de t , on a

$$\lim. \left(\frac{\sin (n t)}{n t} \right) = 0,$$

par conséquent

$$\frac{1}{2} \bar{V}_0 = \frac{m}{2} \bar{v}^2,$$

ou, le viriel moyen de la particule pour un point O quelconque sera égal à sa force vive moyenne.

UTRECHT, Avril 1884.

Fig. 1.

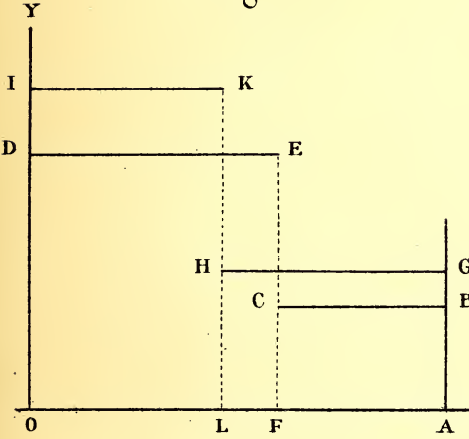


Fig. 2.

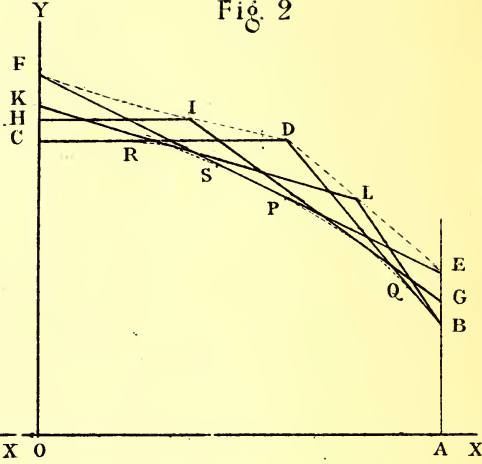


Fig. 3.

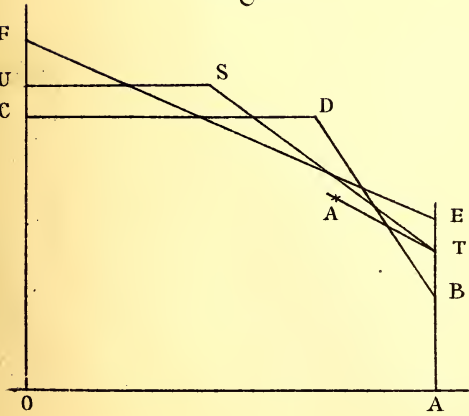
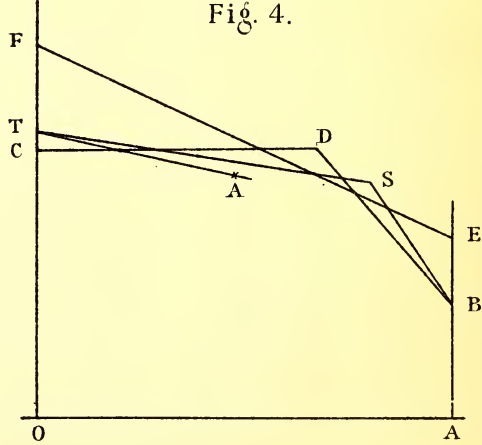


Fig. 4.



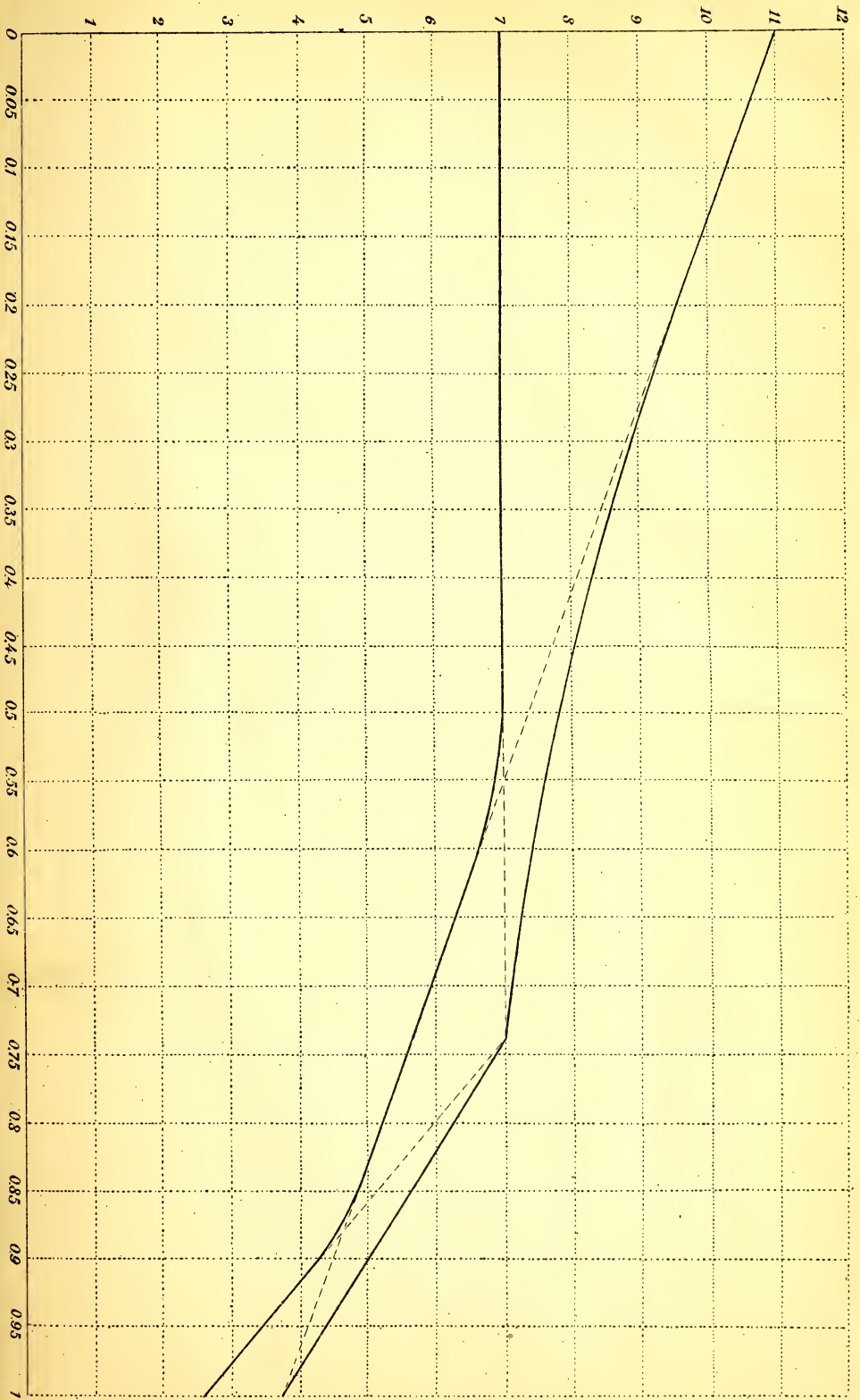
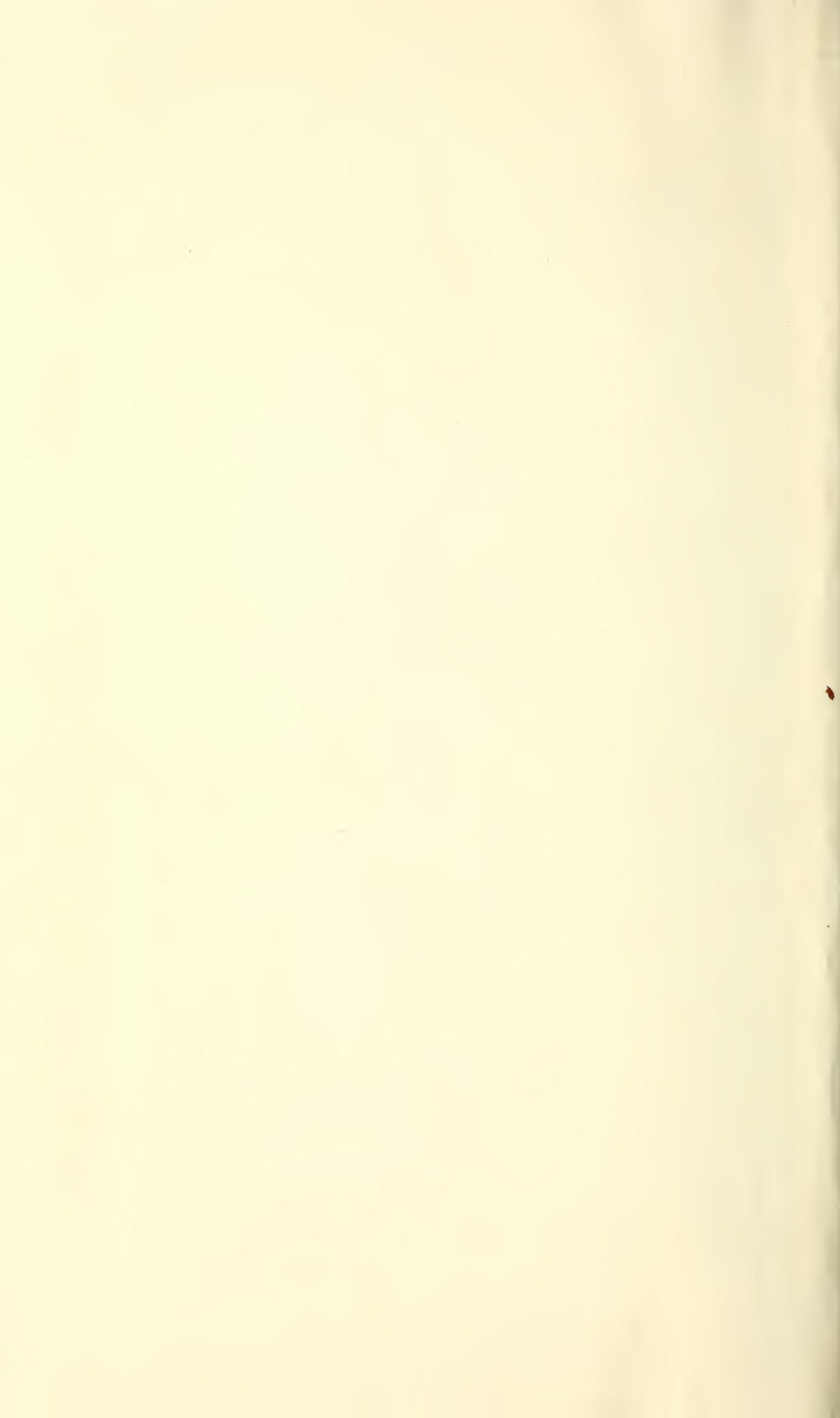


Fig. 5.

505.492

Archives Neerlandaises de
naturelles. v.19, no







SMITHSONIAN INSTITUTION LIBRARIES



3 9088 01305 3053